

М. И. ШАХПАРОНОВ

МЕХАНИЗМЫ БЫСТРЫХ ПРОЦЕССОВ В ЖИДКОСТЯХ



М. И. ШАХПАРОНОВ

МЕХАНИЗМЫ БЫСТРЫХ ПРОЦЕССОВ В ЖИДКОСТЯХ

Допущено
Министерством высшего и среднего специального
образования СССР в качестве учебного пособия
для студентов химических и химико-технологических
специальностей высших учебных заведений



**МОСКВА
«ВЫСШАЯ ШКОЛА»
1980**

ББК 24.5
Ш51
УДК 541.1

Рецензенты:

кафедра физической и коллоидной химии
Ростовского государственного университета
(зав. кафедрой проф. О. А. Осипов)
и проф. Л. А. Николаев (2 МОЛМИ)

Шахпаронов М. И.
Ш51 **Механизмы быстрых процессов в жидкостях:** Учеб.
пособие для вузов. — М.: Высш. школа, 1980. — 352 с., ил.
В пер.: 1 р. 10 к.

В книге излагаются теоретические основы методов изучения кинетики и механизмов быстрых и сверхбыстрых процессов, протекающих в жидкостях. Теоретические положения иллюстрируются примерами.

Книга содержит ряд оригинальных разработок и приложений.

Предназначена для студентов старших курсов университетов, аспирантов, научных сотрудников, преподавателей, инженеров, химиков и физиков.

Ш	<u>20503—324</u>	48—80	1805000000	541
	001(01)—80			ББК 24.5

ПРЕДИСЛОВИЕ

В книге излагается теория тех быстрых процессов, которые можно охарактеризовать в терминах химических реакций. Поток научных работ в этой области с каждым годом увеличивается. Но учебных пособий по теории быстрых реакций в жидкостях нет. Цель данного пособия хотя бы частично восполнить этот пробел.

Теория быстрых и сверхбыстрых реакций в жидкостях включает и процессы переноса электрона и протона, и реакции с участием возбужденных частиц и свободных радикалов, и вопросы ферментативного катализа, и, наконец, неисчислимо множество быстрых и сверхбыстрых реакций, сочетание которых вносит большой вклад в тепловое движение.

В одной книге осветить все это невозможно. Здесь рассматриваются быстрые и сверхбыстрые реакции, протекающие при тепловом движении молекул, а также связь между ними и более медленными химическими и физическими явлениями, давно уже ставшими предметом научных исследований. Речь идет о центральных вопросах теории быстрых реакций. Их изложение может содействовать пониманию других разделов этой области науки.

Предлагаемое вниманию читателя учебное пособие состоит из «Введения» и двух частей. В первой части рассматриваются основные положения теории, ее логическая структура, дается представление о методах, используемых в этой теории.

Во второй части дается систематическое описание математического аппарата теории и некоторых из его приложений.

Учебное пособие рассчитано на студентов старших курсов университетов, аспирантов, научных сотрудников, преподавателей, инженеров-химиков, физиков, биохимиков, биофизиков, интересующихся молекулярными механизмами процессов, протекающих в жидкостях.

По своему содержанию предлагаемое пособие примыкает к вышедшей в 1976 г. книге «Введение в современную теорию растворов» (М., Высшая школа) и может рассматриваться, как ее продолжение.

Автор благодарит М. Е. Мартынову, М. М. Поплавскую, В. А. Дурова, Т. М. Усачеву за помощь в работе над рукописью, а также проф. Л. А. Николаева и проф. О. А. Осипова за полезные критические замечания.

Автор

И я вполне убежден, что (когда уже отношения крупных химических явлений изучены) будущее развития химии больше зависит от изучения слабо протекающих химических реакций, характерным пределом которых служат растворы, и изучение их отразится на судьбе всей химии.

Д. И. Менделеев. Растворы. Изд-во АН СССР, 1959, с. 299.

ГЛАВА I

ВВЕДЕНИЕ

Классификация реакций. Деление реакций на медленные, быстрые и сверхбыстрые существует в научной литературе уже более 10 лет. Термин «сверхбыстрые реакции», вероятно, впервые применен Н. М. Эмануэлем в 1966 г. в его предисловии к книге Е. Колдина [10]. Удобно считать сверхбыстрыми реакции, характеристические времена Δt которых удовлетворяют условию $10^{-6} \text{ с} > \Delta t \geq 10^{-12} \text{ с}$; быстрыми — реакции, у которых эти времена лежат в интервале $1 \text{ с} > \Delta t \geq 10^{-6} \text{ с}$; медленными — характеристические времена которых больше или равны 1 с. Под «характеристическими временами» подразумеваются времена релаксации, периоды полупревращения и т. п. (подробнее см. гл. III).

Деление реакций на медленные, быстрые и сверхбыстрые условно, как и любая другая классификация. Одна и та же реакция при разных температурах, давлениях, концентрациях реагентов может быть сверхбыстрой, быстрой и медленной.

Так, реакция второго порядка, если ее константа скорости велика, будет сверхбыстрой или быстрой при больших концентрациях реагентов и медленной, когда концентрации реагирующих веществ достаточно малы. Реакция разрыва водородных связей $\text{O}—\text{H} \dots \text{O}$ между молекулами *n*-пропанола в ассоциатах $(\text{C}_3\text{H}_7\text{OH})_n$ при комнатной температуре сверхбыстрая [2], при 120 К в переохлажденном жидком пропанол-е — быстрая, а при температуре стеклования переохлажденного *n*-пропанола, равной $\simeq 98 \text{ К}$ [3], — медленная. При 85 К реакция разрыва слабых химических связей между атомами аргона в жидком аргоне сверхбыстрая, но при температурах, близких к 0 К, в твердом аргоне эта реакция должна быть медленной. При 293 К реакция разрыва связей между атомами углерода в графите протекает очень медленно, а выше 4100 К, когда графит плавится под давлением 10,3 ГПа, расчеты показывают, что эта же реакция становится сверхбыстрой, и т. д. Вдали от точки стеклования жидкостей при атмосферном давлении реакции разрыва связей между частицами, представляющими собой основные структурные элементы жидкостей (молекулы ROH в жидких спиртах, атомы аргона в жидком аргоне, атомы углерода в жидком углероде и т. п.), есть сверхбыстрые реакции. Эти реакции — один из основных путей локальной перестройки структуры жидкостей в ходе их теплового движения.

Здесь и далее под химическими связями между атомами или молекулами подразумеваются такие силы притяжения, которые сопровождаются обобществлением электронов и возникновением достаточно ус-

тойчивых упорядоченных образований из атомов или, соответственно, молекул. Среднее время жизни этих ассоциатов или комплексов зависит от свойств среды, в которой они существуют, но оно должно быть достаточно велико, чтобы при описании реакций их образования можно было опираться на принципы неравновесной термодинамики.

Потребность введения понятий о сверхбыстрых, быстрых и медленных реакциях обусловлена в основном двумя причинами. Во-первых, экспериментальные методы изучения быстрых и сверхбыстрых реакций и методы теоретического анализа экспериментальных данных, в общем, отличаются от методов исследования медленных реакций. Во-вторых, быстрые и сверхбыстрые реакции могут определять механизмы медленных реакций или существенно влиять на них. Влиянием медленных реакций на быстрые и сверхбыстрые реакции, обычно, можно пренебречь. Быстрые и в особенности сверхбыстрые реакции могут представлять собой и такие взаимодействия, которые отличаются от обычных химических процессов. Таковы, например, реакции возбуждения и дезактивации молекул, конформационные превращения, реакции, приводящие к возникновению или исчезновению флуктуаций плотности, аннотропии, концентрации.

К истории изучения быстрых реакций. Начиная с первых исследований, выполненных в середине XIX в., реакции в растворах изучались при смешивании веществ, после чего следили за изменением какого-либо свойства реагирующей системы. Так можно было изучать лишь те реакции, для которых время, затрачиваемое на смешивание веществ, много меньше характеристического времени реакции (например, периода полупревращения). Постепенно техника смешивания реагентов совершенствовалась и, согласно [4], Э. Резерфорд был первым, которому удалось начать исследование быстрых реакций, длительность которых составляла доли секунды [5]. Он воспользовался методом непрерывной струи, подробное описание которого имеется в [1,4]. Затем наряду с дальнейшим совершенствованием метода струи появились новые методики, число которых в последние десятилетия резко возросло.

Вначале исследовались такие химические реакции, например кинетика реакции гемоглобина с оксидом углерода [6], которые сопровождаются изменением числа и вида сильных химических связей и отличаются от ранее изучавшихся лишь большей скоростью. Затем объектом измерений стали быстрые и сверхбыстрые реакции, протекающие при тепловом движении молекул.

Первые работы в этом направлении были выполнены П. А. Бажулиным [7]. Параллельно развивалась теория быстрых реакций. В работе А. Эйнштейна [8] впервые было дано теоретическое обоснование акустического метода изучения реакций диссоциации газообразного N_2O_4 . Затем Герцфельдом и его школой, Кнезером, Мандельштамом и Леонтовичем [9], Мейкснером были сформулированы основы теории [10]. Эти работы развивались далее Э. Лэмбом, И. Г. Михайловым и его учениками, М. Ейгеном и др. [4,11—14].

Основы диэлектрической радиоспектроскопии быстрых реакций в жидких фазах были заложены в работах П. Дебая, Л. Онзагера, Д. Кирквуда и ряда других физиков [15—17]. Обширные измерения ди-

электрических спектров жидкостей выполнены Ч. Смайсом и его сотр. [18].

Основы люминесцентных методов изучения быстрых реакций разрабатывались С. И. Вавиловым [19], В. Л. Левшиным [20], А. Н. Терениным [21], П. Принсгеймом [22], Б. И. Степановым [23] и многими их последователями и учениками.

История развития теории быстрых и сверхбыстрых реакций, конечно, никоим образом не исчерпывается этим беглым перечнем. Она сложна и могла бы стать предметом специального исследования.

Теория быстрых реакций и теория жидкостей. Чтобы охарактеризовать связь между этими теориями, надо сначала сказать несколько слов об основных направлениях, по которым развивается теория жидкостей. Для одного из них характерно стремление к описанию свойств жидкостей с помощью очень простых моделей. Например, принимают, что молекулы жидкости представляют собой шарики. Энергия взаимодействия таких частиц следует какой-либо эмпирической зависимости от расстояния между их центрами, скажем, уравнению Леннард-Джонса. В одних вариантах теории шарики распределены неупорядоченно под влиянием действующих между ними центральных сил, в других — шарики занимают узлы некоторой решетки. Такого рода модели при ряде других упрощений позволяют выполнить статико-механические расчеты свойств жидкостей и потом, сопоставляя результаты расчетов с опытом, высказать предположения о природе закономерностей, наблюдающихся при изучении жидкостей [24—26].

В основе другого направления лежит теория термодинамического подобия, опирающаяся на обобщенное уравнение соответственных состояний, в котором переменные, характеризующие состояние системы, безразмерны. Так можно установить ряд полезных соотношений для термодинамических и кинетических свойств многих жидкостей [27].

И наконец, исследователи, принадлежащие к третьему направлению, занимаются изучением строения жидкостей: они стремятся понять, что в действительности представляет собой каждая индивидуальная жидкая фаза. Из работ этого направления следует, что жидкости, в сущности, — огромные макромолекулы, местное, локальное строение которых испытывает под влиянием теплового движения кратковременные, как правило, небольшие отклонения от средней, равновесной структуры.

Строение жидкостей определяется в основном химическими взаимодействиями между атомами, молекулами или ионами. Нередко существенную роль играет притяжение между ионами или полярными молекулами и окружающей жидкой средой. Химические взаимодействия сопровождаются обобществлением электронов. Они приводят к образованию ассоциатов и комплексов. Химические взаимодействия могут быть сильными, порядка 10^2 — 10^3 кДж/моль, и слабыми, порядка 1 — 10 кДж/моль.

Слабые химические взаимодействия пока еще мало изучены. Они многообразны. Молекул или атомов, не способных вступать в слабые химические взаимодействия в природе, по-видимому, нет. Даже атомы гелия способны в основном электронном состоянии образовывать ассо-

циаты с возбужденными атомами Не или комплексы с атомами Не, Аг и других веществ. Эти ассоциаты и комплексы, если они находятся в вакууме, так же устойчивы, как и любые другие изолированные молекулы. Но в жидкостях они очень быстро распадаются (подробнее см. [28]).

О связи между быстрыми и медленными реакциями в растворах. Медленные химические реакции в растворах сопровождаются множеством быстрых и сверхбыстрых реакций. За промежуток времени, который требуется для одного элементарного события медленной реакции, могут произойти миллионы и миллиарды элементарных событий многих быстрых и сверхбыстрых реакций.

Вопрос о связи между медленными и быстрыми реакциями в общей форме ставился давно. По существу это один из путей решения давно возникшего вопроса, как и почему тепловое движение влияет на медленные химические реакции. Вместе с тем это и проблема химии промежуточных продуктов, выдвинувшаяся на первый план в химической кинетике уже около 40 лет тому назад. «Химическая кинетика может быть по праву названа химией промежуточных продуктов», — писал в 1939 г. Н. Н. Семенов. С развитием теории быстрых и сверхбыстрых реакций появляется возможность выявить всю гамму промежуточных продуктов, механизмов их возникновения и исчезновения, которая дает в совокупности то, что именуется медленной химической реакцией. Здесь ключевое место занимает теория активных комплексов, вопрос о механизмах реакций, ведущих к образованию активных комплексов, и процессах, приводящих эти комплексы в неустойчивое состояние, распадающееся на продукты реакции.

Исследования влияния жидкой среды на скорость и механизмы химических реакций были начаты Н. А. Меншуткиным [29]. Он показал, что при 100° С скорость взаимодействия триэтиламина с иодистым этилом увеличивается в 2800 раз, если растворитель — гексан — заменить на нитробензол. В последующем в этом направлении был накоплен обширный экспериментальный материал, обобщение и анализ которого имеется в кн. Е. А. Мельвин-Хьюза [30], Н. М. Эмануэля, Г. Е. Зайкова, З. К. Майзуса [31], Е. Н. Еремина [32], С. Г. Энтелеса и Р. П. Тигера [33], А. Амиса [34], и у многих других более ранних исследователей. Среда может не только изменять скорость процесса, но и его механизм. Учет каждого из этих факторов сложен.

Теория быстрых и сверхбыстрых реакций в жидкостях необходима для решения этой проблемы. Вместе с теорией жидкостей, основанной на учете реальной структуры и динамики жидких фаз, теория быстрых и сверхбыстрых реакций делает возможным исследование связей между быстрыми и медленными реакциями, а следовательно, открывает общие пути решения вопросов о влиянии жидких сред на химические реакции.

О единстве химических и физических явлений. В итоге у исследователя, изучающего жидкие фазы, создается представление о глубоком единстве и общности химических и физических явлений. Процессы вязкого течения, диффузии, поглощения звука и электромагнитных волн, рассеяния света связаны в конечном счете с теми же молекуляр-

ными механизмами, которые приводят к химическим реакциям. В общей форме это было понято давно.

«Деление всех процессов на физические и химические — несостоятельно», — писал Д. И. Менделеев в 1875 г. Теперь имеется возможность обосновать правильность этого утверждения более детально, чем ранее.

ЛИТЕРАТУРА

1. Колдин Е. Быстрые реакции в растворах. — М.: Мир, 1966.
2. Маманов Т., Парпиев К. Г., Хабибуллаев П. К. — Акуст. ж., 1969, 15, с. 620.
3. Ферри Д. Вязкоупругие свойства полимеров. — М.: ИЛ., 1963.
4. Методы исследования быстрых реакций /Под ред. Г. Хеммиса. — М.: Мир, 1977.
5. Rutherford E. — *Phil. Mag.*, 1897, 44; с. 422.
6. Hartridge H., F. J. W. Roughton. — *Proc. Roy. Soc. (London)*, 1923, B.94, с. 303.
7. Бажулин П. А. — ДАН СССР, 1936, 3, с. 285.
8. Эйнштейн А. *Sitzber. preuss. Acad. Wiss.*, 1920, 24 с. 380.
9. Мандельштам Л. И., Леонтович М. А. — ЖЭТФ, 1937, 7, с. 438.
10. Meixner J., Reik H. G. — *Handbuch der Physik: Bd III*. Berlin, 1959, с. 413—523.
11. Herzfeld K. F., Litovitz T. H. *Absorption and Dispersion of Ultrasonic Wave*. N. Y., Acad. Press, 1959.
12. Михайлов И. Г., Соловьев В. А., Сырников Ю. П. Основы молекулярной акустики. — М.: Наука, 1964.
13. Физическая акустика /Под ред. У. Мэзона, т. II, ч. А. Свойства газов, жидкостей и растворов/ Под ред. И. Г. Михайлова. — М., Мир, 1968.
14. Ноздрев В. Ф., Федорищенко Н. В. Молекулярная акустика. — М.: Высшая школа, 1974.
15. Фрелих Г. Теория диэлектриков. — М.: ИЛ, 1960.
16. Сканапи Г. И. Физика диэлектриков. — М. — Л.: Гостехиздат, 1949.
17. Хиппель А. Р. Диэлектрики и волны. — М.: ИЛ, 1960.
18. Smyth C. P. *Dielectric behavior and structure*. — N. Y. Mc. Craw Hill, 1955.
19. Вавилов С. И. Микроструктура света. — АН СССР, 1950.
20. Левшин В. Л. Фотолюминесценция жидких и твердых веществ. — М. — Л.: Гостехиздат, 1951.
21. Теренин А. Н. Фотоника молекул красителей. — Л.: Наука, 1967.
22. Принсгейм П. Флюоресценция и фосфоресценция. — М.: ИЛ, 1951.
23. Степанов Б. И. Люминесценция сложных молекул. — Минск, Изд. АН БССР, 1955.
24. Гиршфельдер Дж., Кертисс Ч., Берд Р. Молекулярная теория газов и жидкостей/ Под ред. Е. В. Ступоченко. — М.: ИЛ, 1961.
25. Watts R. O., Gee I. J. *Mc. Ziquid State Chemical Physics*. — N. Y.: Wiley Int. Publ, 1976.
26. Физика простых жидкостей /Под ред. Г. Темперли, Дж. Роулинсона, Дж. Рашбрука. — М.: Мир, 1971.
27. Филиппов Л. П. Подобие свойств веществ. — М.: изд-во МГУ, 1978.
28. Шахпаронов М. И. Введение в современную теорию растворов. — М.: Высшая школа, 1976.
29. Меншуткин Н. А. — ЖРФХО, 1878, 10, с. 276; 1881, 13, с. 562, 563.
30. Мельвин-Хьюз Е. А. Равновесие и кинетика реакций в растворах. — М., Химия, 1975.
31. Эмануэль Н. М., Зайков Г. Е., Майзус З. К. Роль среды в радикально-цепных реакциях окисления органических соединений. — М.: Наука, 1973.
32. Еремин Е. Н. Основы химической кинетики в газах и растворах. — М.: изд-во МГУ, 1971.
33. Энтелис С. Г., Тигер Р. П. Кинетика реакций в жидкой фазе. Коллективный учет влияния среды. — М.: Химия, 1973.
34. Аамс А. Влияние растворителя на скорость реакции. — М.: Мир, 1968.

ПРИНЦИПЫ ТЕОРИИ БЫСТРЫХ И СВЕРХБЫСТРЫХ РЕАКЦИЙ В ЖИДКОСТЯХ

ГЛАВА II

О МЕХАНИЗМАХ ТЕПЛОВОГО ДВИЖЕНИЯ В ЖИДКОСТЯХ

§ 1. МЕЖМОЛЕКУЛЯРНЫЕ ВЗАИМОДЕЙСТВИЯ

В жидких системах с течением времени происходят изменения: в них протекают медленные, быстрые и очень быстрые процессы. Чтобы управлять такими процессами, надо изучить их механизмы. В сущности это и есть главная задача теории жидкого состояния вещества. Для ее решения необходимо знать строение жидкостей, взаимодействия между ее структурными элементами — атомами, ионами, молекулами.

Как известно, потенциальная энергия взаимодействия двух изолированных молекул при изменении расстояния R между ними проходит через минимум (рис. 1). На малых расстояниях преобладают силы отталкивания, быстро растущие с уменьшением R . После прохождения через минимум превалируют силы притяжения. Если бы не было сил отталкивания, молекулы проникали бы друг в друга; при отсутствии сил притяжения охлажденные газы не превращались бы в жидкости и твердые тела. Уравнения Лондона для дисперсионных сил и Кeesома для диполь-дипольных взаимодействий сферических молекул в лучшем случае грубо приближенно описывают некоторый, отдаленный интервал потенциальной кривой, изображенной на рис. 1. Положение и ширина этого интервала, вообще говоря, неизвестны. Можно лишь сказать, что расстояния R , которым он соответствует, должны хотя бы на порядок превышать размеры самих молекул, но не быть слишком большими, так как при $R \gtrsim 10^2$ нм в расчетах сил притяжения надо учитывать конечность скорости распространения электромагнитных волн, поскольку при выводе уравнений Лондона и Кeesома эта скорость считается бесконечно большой.

Другая часть потенциальной кривой, которая соответствует отталкиванию молекул, как правило, оценивается с помощью эмпирических

уравнений. Теории, количественно описывающей взаимное отталкивание молекул, пока тоже нет.

Таким образом, самая интересная для теории жидкостей область потенциальной кривой, расположенная около ее минимума, оставалась неисследованной. Некоторые химики считали, что слабые межмолекулярные взаимодействия, в основном, имеют те же свойства, что и обычные химические связи. Но экспериментальных доказательств для этого не было, так как экспериментальные методы изучения слабых взаимодействий до середины XX в. были недостаточно разработаны. Исключение составляли некоторые виды водородных связей. То что они по существу не отличаются от обычных химических связей, обнаружилось около 30 лет тому назад после работ Н. Д. Соколова (1947), а затем многих других исследователей.

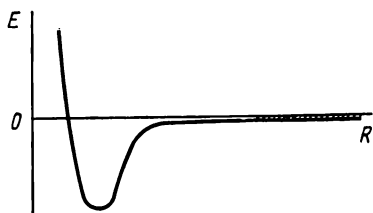


Рис. 1. Потенциальная энергия E взаимодействия двух атомов или молекул как функция расстояния R между их центрами:

заштрихована область применимости уравнений Лондона и Кeesома

Экспериментальные исследования, выполненные в 60—70-х годах, показали, что водородные связи лишь один из множества видов слабых химических взаимодействий. В частности, оказалось, что атомы инертных газов образуют димеры Ne_2 , Ar_2 , Kr_2 , Xe_2 , комплексы NeAg , HeNe и другие более сложные молекулы. Свойства некоторых из этих молекул хорошо изучены. Так, например, детально исследован колебательный и вращательный спектры молекулы Ar_2 . Было установлено, что эти и другие молекулы качественно ничем не отличаются от молекул, образованных с помощью сильных химических связей, H_2 , O_2 и т. п. Различия между слабыми и сильными химическими связями в основном количественные: энергия образования слабых связей на 1—2 порядка меньше, чем энергия образования сильных («валентных») связей. Не способные по общепринятым представлениям образовывать валентные связи атомы инертных газов и «валентно насыщенные» молекулы, такие, как H_2O , C_6H_6 и т. д., в действительности соединяются друг с другом связями, качественно не отличающимися от обычных «валентных» связей (подробнее см. [1]). Если такие связи расположить в ряд так, чтобы более сильные связи следовали за менее сильными, то переход от слабых связей к сильным оказывается непрерывным. Классификация связей на сильные и слабые в этом отношении условная. Классическое учение о валентности, утвердившееся в начале XIX в., представляет собой не более, чем первое приближение к действительности.

Как уже было сказано, границ между слабыми и сильными взаимодействиями молекул нет. Но существует ли предел энергии слабых химических связей, ниже которого представление о таких связях теряет смысл? Предельно малыми энергиями слабых химических связей мож-

но считать энергии связей в таких молекулах, как HeNe (энергия диссоциации $\Delta E = 117$ Дж/моль). Методами ИК спектроскопии в разбавленных растворах установлены Н-связи с энтальпией образования порядка 2 кДж/моль*.

Выяснилось, что множество атомов Х и У, способных участвовать в образовании водородных связей $X-H \dots U$, очень велико. Роль атома Х может играть каждый атом, образующий с водородом сильную химическую связь. Атомами У, вероятно, могут быть любые атомы.

Читатель, интересующийся методами исследования слабых взаимодействий, может получить необходимые сведения в [2].

Если жидкость состоит из неполярных или малополярных молекул, то около 99% потенциальной энергии межмолекулярного взаимодействия обусловлено слабыми химическими связями. Например, молекулы бензола образуют друг с другом две водородные связи $C-H \dots C_{\pi}$, где C_{π} — π -орбиталь второй молекулы C_6H_6 [1]. Энергия образования каждой связи составляет около $5,5 \pm 1,5$ кДж/моль. Каждая молекула бензола может иметь не более 6 таких связей. Энергия испарения бензола при $25^\circ C$ равна 31 кДж/моль. Следовательно, на одну молекулу жидкого бензола при температуре $25^\circ C$ приходится в среднем около 5,7 связей $C-H \dots C_{\pi}$.

Молекулы CCl_4 образуют друг с другом связи $Cl \dots Cl$, энергия которых равна $4 \pm 1,5$ кДж/моль [1]. Одна молекула CCl_4 может принимать участие, вероятно, в 12 таких связях, так как у каждого из четырех атомов хлора имеется 3 неподеленных пары электронов и каждая из таких пар, по-видимому, в равной степени способна вступать в слабое химическое взаимодействие с другой молекулой CCl_4 . Энергия испарения четыреххлористого углерода при нормальной температуре кипения ($76, 75^\circ C$) равна 27 кДж/моль. Поэтому молекулы жидкого CCl_4 вблизи точки кипения имеют в среднем около 7 связей $Cl \dots Cl$ с ближайшими молекулами CCl_4 .

Когда в жидкой фазе присутствуют полярные молекулы, наряду со слабыми химическими взаимодействиями существенную роль может играть реактивное взаимодействие полярных молекул с окружающей средой. Если молекула полярна, то под влиянием поля, создаваемого ее электрическим моментом диполя μ , молекулы жидкости поляризуются. Во всех молекулах, окружающих данную полярную молекулу, происходит смещение электронов и атомных ядер, возникают небольшие электрические моменты.

Поляризация окружающей среды есть ее реакция на присутствие в ней данной полярной молекулы. Эта реакция, т. е. поляризация, приводит к тому, что в элементе объема, занимаемом данной полярной молекулой, возникает реактивное поле \vec{R} . Поле \vec{R} равнонаправлено с

* Иногда ассоциаты и комплексы, возникающие в результате слабых химических взаимодействий, называют «вандерваальсовыми комплексами». Этот термин неточен. Вандерваальсовы силы притяжения между молекулами по определению дальние. Обычно считалось, что потенциальная энергия этих сил приблизительно пропорциональна R^{-6} . Такие силы не образуют ни ассоциатов, ни комплексов.

электрическим моментом диполя данной молекулы, если жидкость изотропна. Реактивное поле поляризует ту полярную молекулу, благодаря которой оно возникло. Энергию реактивного взаимодействия одного моля полярных молекул с окружающей изотропной средой можно найти с помощью уравнения [1]

$$E_R = -\frac{4}{9} \pi N_A \frac{(\epsilon_s - 1)(\epsilon_\infty + 2)}{2\epsilon_s + \epsilon_\infty} \frac{\mu_V^2}{v_M}. \quad (II.1)$$

Основное допущение, принимаемое при выводе уравнения (II.1), состоит в том, что среда, непосредственно окружающая молекулу, считается в среднем изотропной, т. е. корреляция между соседними молекулами не играет роли. Здесь v_M — объем, занимаемый одной полярной молекулой в изотропной среде; N_A — постоянная Авогадро; ϵ_s — статическая диэлектрическая проницаемость; ϵ_∞ — вклад в диэлектрическую проницаемость, обусловленный электронной и атомной поляризуемостью полярных молекул.

Для молекул H_2O $\mu_V = 1,8D$; $v_M = 18 \text{ см}^3/N_A = 3 \cdot 10^{-23} \text{ см}^3$ при 20°C ; $E_R = -18 \text{ кДж/моль}$, а энергия испарения 42 кДж/моль , т. е. она приблизительно равна потенциальной энергии межмолекулярного взаимодействия одного моля жидкой воды. Следовательно, энергия реактивного взаимодействия молекул воды составляет около 40% от всей потенциальной энергии межмолекулярного взаимодействия в воде. Результаты более строгих расчетов, учитывающие корреляцию молекул воды, не меняют этого вывода. Остальные 60% потенциальной энергии обусловлены водородными связями $O-H \dots O$. Отметим, что при термодинамических расчетах энергии $O-H \dots O$ связей в жидкой воде реактивное взаимодействие молекул воды ранее не учитывалось. Поэтому величину $\Delta H \simeq 21 \text{ кДж/моль}$, принимаемую, обычно, при термодинамических оценках энергии H -связи в жидкой воде, следует считать завышенной. Ближе к действительности значение $\Delta H = 15,5 \text{ кДж/моль}$, или $3,7 \text{ ккал/моль}$, которое следует также и из спектроскопических данных [2,3]. E_R для воды велика по сравнению со многими другими полярными молекулами, в частности потому, что молекулярный объем воды мал. Так, например, вклад энергии реактивного взаимодействия в потенциальную энергию метанола почти в 2 раза меньше, чем в случае воды. У спиртов с числом углеродных атомов ≥ 4 энергия реактивного взаимодействия не превышает 10% от общей величины потенциальной энергии межмолекулярного взаимодействия.

Под влиянием реактивного поля жидкость сжимается, часто становится термодинамически более устойчивой. Это одна из причин роста температуры кипения и понижения температуры плавления полярных жидкостей по сравнению с жидкостями, состоящими из близких по составу и строению, но неполярных молекул [1].

Под влиянием реактивного взаимодействия энергия образования слабых химических связей может уменьшаться. Это одна из возможных причин наблюдаемых отличий энергий некоторых из слабых химических связей в жидких фазах от энергий тех же связей в парах и кристал-

лах. В книге [1] в качестве примера рассмотрено влияние реактивного взаимодействия на энергию Н-связей в жидкой уксусной кислоте. Что касается диполь-дипольного, лондоновского (или дисперсионного) и поляризационного взаимодействия, то при расчетах потенциальной энергии молекул в жидких системах влиянием этих дальнедействующих сил можно пренебречь — оно ничтожно.

§ 2. СТРОЕНИЕ ЖИДКОСТЕЙ

Существуют три способа приближенного описания строения жидкостей. Один из них опирается на представление об ассоциатах и комплексах, другой связан с понятием о функциях распределения частиц, третий использует понятие о флуктуациях [1]. Здесь будет использовано представление об ассоциатах и комплексах, а также понятие о флуктуациях. Функции распределения частиц рассматриваться не будут по следующим причинам. Поскольку строение жидкостей определяется короткодействующими химическими силами, то и корреляция, т. е. взаимосвязь положений молекул, также должна зависеть, в основном, от короткодействующих сил химического типа. Эти силы определяют вероятные положения молекул первой координационной сферы. От этих сил зависят вероятные положения молекул второй координационной сферы по отношению к молекулам первой сферы и т. д. Таким образом, корреляция есть статистическое описание ассоциации и комплексообразования. Функции распределения положений частиц, описывающие корреляцию молекул или атомов, имеют статистическую природу. Связь между функциями распределения и межмолекулярными взаимодействиями, а также строением ассоциатов и комплексов сложна и неоднозначна. Известен ряд приближенных аналитических выражений этой связи, которые, как правило, основаны на предположении, что молекулы представляют собой шарики. Потенциал взаимодействия молекул обычно подбирается с помощью эмпирических соотношений, например, уравнения Леннард-Джонса. Этот подход получил наибольшее распространение при описании строения одноатомных жидкостей, таких, как жидкий аргон. Здесь надо иметь в виду следующее. Приближения, которые приводят к имеющимся в литературе аналитическим выражениям функций распределения атомов, в действительности имеют смысл, лишь когда речь идет не о жидкостях, а газах, причем достаточно разреженных, чтобы уравнение состояния могло быть представлено в виде сходящегося ряда по степеням V^{-1} , где V — объем газа. Практически все встречающиеся в литературе функции распределения, строго говоря, пригодны для тех степеней разрежения газа, для которых можно ограничиться вторым, третьим или четвертым членом упомянутого ряда.

Поэтому наибольший интерес представляют те сведения о функциях распределения, которые могут быть получены на основе анализа экспериментальных данных, т. е. независимо от модели системы. Основным источником такой информации для жидкостей служат рассеяние рентгеновских лучей или нейтронов. Каждый из этих методов позволяет получить сведения о радиальной функции распределения $g(R)$.

К сожалению, $g(R)$ малочувствительна даже к существенным изменениям не только дальнедействующей, но и близкодействующей части потенциальной энергии межмолекулярных сил. Кроме того, рентгенография и нейтронография наиболее эффективны при изучении простых жидкостей. Для более сложных систем расшифровка экспериментальных данных о рассеянии рентгеновских лучей и нейтронов, как правило, связана с необходимостью преодоления ряда дополнительных трудностей [4].

Метод функций распределения в настоящее время не дает возможности исследовать механизмы быстрых процессов, протекающих в жидких фазах. Наиболее перспективен в этом отношении способ описания структуры жидкостей с помощью понятий об ассоциатах и комплексах.

Каждую жидкую фазу можно считать гигантской макромолекулой [1]. В таких огромных макромолекулах встречаются однотипные малые фрагменты, содержащие небольшое число атомных ядер, взаимное расположение которых более или менее фиксировано. Эти фрагменты — упорядоченные образования, возникающие в результате химического взаимодействия между частицами, называются молекулами, их ассоциатами и комплексами. Ассоциаты и комплексы — однотипные образования и различаются только своим составом. В книге ассоциатами будут называться такие упорядоченные образования, которые состоят из одинаковых молекул (мономерных звеньев). Таков ассоциат $(\text{H}_2\text{O})_p$, в котором имеется p молекул воды, ассоциат метилового спирта $(\text{CH}_3\text{OH})_q$ и т. д. Комплексы отличаются от ассоциатов тем, что состоят из разнородных молекул. Например, в растворах вода — метиловый спирт кроме одиночных молекул и ассоциатов присутствуют комплексы $(\text{H}_2\text{O})_p \cdot (\text{CH}_3\text{OH})_q$.

Для характеристики ассоциатов и комплексов необходимо знать их состав, структуру, а также энергии химических связей между частицами (молекулами, атомами, ионами), образующими ассоциат или комплекс. Когда состав и структура комплексов и ассоциатов установлена, нужно найти их концентрации. Как правило, в чистых жидкостях имеется множество различных ассоциатов, а в растворах кроме ассоциатов присутствует очень много разнообразных комплексов. Полное описание всех видов и форм ассоциатов и комплексов, которые могут быть в какой-либо жидкой фазе, не может быть достигнуто ни одним из современных методов исследования или их сочетанием. Но можно определить основные, типические ассоциаты и комплексы, наиболее часто встречающиеся в данной жидкости и поэтому в первом приближении характеризующие ее строение. Такая характеристика неизбежно будет приближенной. Положительная сторона ее состоит в наглядности, возможности проверки несколькими независимыми методами, а, главное, в способности предсказывать свойства жидких фаз и изучать молекулярные механизмы тех процессов, которые протекают в жидкостях. Ограничимся здесь одним примером — качественным описанием структуры жидких одноатомных алканолов ROH .

Молекулы жидких алканолов могут образовывать друг с другом H -связи вида $\text{O}—\text{H} \cdots \text{O}$, $\text{C}—\text{H} \cdots \text{O}$ и $\text{C}—\text{H} \cdots \text{C}$. Энтальпия образования связей $\text{OH} \cdots \text{O}$ составляет около 21 кДж/моль. Эти связи обнаружены дав-

но [2]. Связи $C-H\cdots O$ и $C-H\cdots C$ почти не изучены. Присутствие таких связей косвенно следует из результатов измерений ИК спектров и диэлектрических радиоспектров жидкостей в миллиметровом и субмиллиметровом диапазонах длин волн (см. гл. VIII). Энтальпия образования связей $C-H\cdots O$ и $C-H\cdots C$ составляет около 4 кДж/моль. Физическая химия и молекулярная физика лишь приступают к изучению этих связей. Поэтому ограничимся характеристикой тех ассоциатов, которые возникают за счет более прочных связей $O-H\cdots O$.

Атом кислорода в молекуле ROH имеет две неподеленные пары электронов и может принимать участие не более, чем в двух связях $O-H\cdots O$. В результате могут образовываться цепочечные и кольцевые ассоциаты, разветвленные и неразветвленные. Приведем примеры.

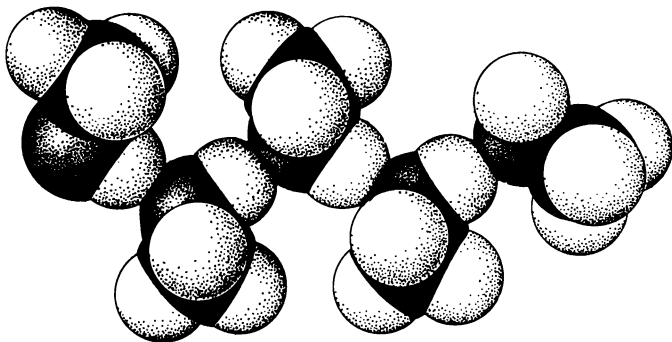


Рис. 2. Стюартовская модель цепочечного ассоциата метанола $(CH_3OH)_5$

1. Цепочечные неразветвленные ассоциаты (рис. 2). В неразветвленных цепочечных ассоциатах $(ROH)_p$ каждый атом кислорода участвует только в одной H -связи. Цепочка может состоять из 2, 3, 4, ..., p ... молекул ROH . Число p в принципе не ограничено. Ассоциаты могут иметь различные конформации за счет «внутреннего вращения» вокруг связей $O-H\cdots O$. Переход от одной конформации к другой в ходе теплового движения молекул в данном случае происходит, как правило, с разрывом H -связей, следовательно, не так, как в полиэтилене и других полимерах, образованных за счет сильных химических связей. Но итог одинаков — наряду с трансконформацией ассоциата существует множество свернутых конформаций.

Конформационные превращения цепочек формально можно рассматривать как заторможенное внутреннее вращение вокруг связей $O-H\cdots O$, поскольку потенциальная энергия молекулы зависит от угла поворота звеньев в цепочке. При достаточно большом числе звеньев в цепочечном ассоциате его среднее состояние можно описывать теми методами, которыми пользуется теория цепочечных полимерных молекул [5].

Теперь вспомним, что атом кислорода имеет две неподеленные пары электронов. В неразветвленных цепочечных ассоциатах это приводит

к «шарнирным перескокам» групп OR с изменением их ориентации на угол, равный примерно 120° [6,7]. В ходе такого перескока одна связь $\text{H}\dots\text{OR}$ разрывается на очень короткое время и после поворота группы OR вновь образуется за счет второй неподеленной пары электронов того же атома кислорода.

Далее надо иметь в виду внутреннее вращение в мономерных звеньях ассоциатов около σ -связей $\text{O}-\text{R}$ и $\text{C}-\text{C}$ в углеводородных радикалах, а также скачкообразные изменения положения гидроксильного протона у атомов кислорода группы OH, расположенной на одном из концов цепочечного ассоциата.

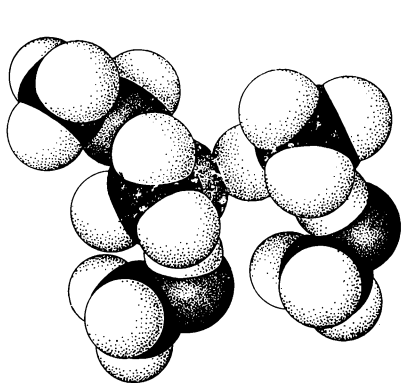


Рис. 3. Стюартовская модель цепочечного разветвленного ассоциата $(\text{CH}_3\text{OH})_5$

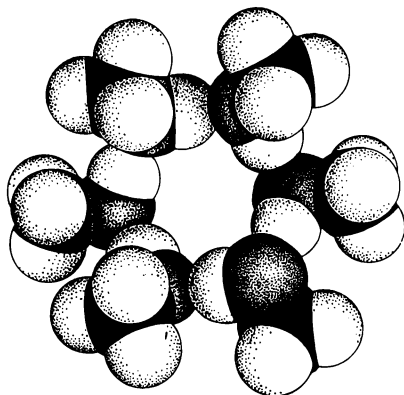


Рис. 4. Модель кольцевого ассоциата $(\text{CH}_3\text{OH})_6$

2. Цепочечные разветвленные ассоциаты алканолов $(\text{ROH})_p$ (рис.3). Присутствие второй неподеленной пары электронов у атомов кислорода в спиртах может приводить к возникновению разветвленных ассоциатов. Эти ассоциаты имеют большее число свободных концевых групп OH, равное числу ответвлений в цепочке. Те кислородные атомы, которые одновременно участвуют в двух водородных связях, что и приводит к разветвлению цепочки, сохраняют способность выполнять «шарнирные скачки», сопровождающиеся изменением ориентации соответствующей группы OR. Но в отличие от неразветвленных участков здесь «шарнирный переход» требует одновременного разрыва двух H -связей и после восстановления одной из них сопровождается исчезновением разветвления. Такие переходы приводят к частичному распаду разветвленного ассоциата и потому не входят в группу конформационных превращений.

3. Кольцевые ассоциаты представлены на рис. 4. Они могут быть неразветвленными и разветвленными. Неразветвленные кольцевые ассоциаты $(\text{ROH})_p$ не имеют свободных гидроксильных групп.

4. Разветвленные кольцевые ассоциаты при большом числе ответвлений от кольца могут образовывать кустовые ассоциаты.

Таблица 1

**Ассоциация в метаноле с помощью связей О—Н...О
при 0, 100 и 230° С [9]**

ρ	$\bar{p}=3,5;$ $c_p, \text{ моль} \cdot \text{л}^{-1}$	$\bar{p}=10;$ $c_p, \text{ моль} \cdot \text{л}^{-1}$	$\bar{p}=30;$ $c_p, \text{ моль} \cdot \text{л}^{-1}$	$\bar{p}=3,5;$ $\rho c_p, \text{ моль} \cdot \text{л}^{-1}$	$\bar{p}=10;$ $\rho c_p, \text{ моль} \cdot \text{л}^{-1}$	$\bar{p}=30;$ $\rho c_p, \text{ моль} \cdot \text{л}^{-1}$
1	1,123	0,221	0,0280	1,123	0,221	0,028
2	0,803	0,199	0,0271	1,606	0,398	0,054
3	0,573	0,179	0,0262	1,719	0,537	0,079
4	0,410	0,162	0,0253	1,640	0,648	0,101
5	0,292	0,145	0,0245	1,460	0,725	0,122
6	0,209	0,131	0,0237	1,254	0,786	0,142
7	0,149	0,118	0,0229	1,045	0,826	0,160
8	0,107	0,106	0,0221	0,856	0,848	0,177
9	0,076	0,095	0,0214	0,685	0,855	0,193
10	0,054	0,086	0,0207	0,544	0,860	0,207
11	0,039	0,077	0,0200	0,428	0,847	0,220
12	0,028	0,070	0,0193	0,334	0,840	0,232
13	0,020	0,062	0,0187	0,260	0,806	0,243
14	0,014	0,056	0,0180	0,197	0,784	0,252
15	0,010	0,051	0,0174	0,152	0,765	0,261
16	0,007	0,046	0,0169	0,115	0,736	0,270
17	0,005	0,041	0,0163	0,088	0,697	0,277
18	0,004	0,037	0,0158	0,067	0,660	0,284
19	0,003	0,033	0,0152	0,049	0,627	0,289
20	0,002	0,030	0,0147	0,038	0,600	0,294

В любом жидком одноатомном алканоле могут присутствовать все перечисленные ассоциаты, возникающие за счет связей О—Н...О. Кроме того, существует множество менее устойчивых ассоциатов, образованных с помощью связей С—Н...О и С—Н...С. При этом надо иметь в виду, что, как известно, группы С—Н в радикалах R, вообще говоря, не эквивалентны и, следовательно, связи С—Н...О и С—Н...С могут несколько различаться. Таким образом, структура жидких алканолов сложна, и полное описание ее с помощью представлений об ассоциатах вряд ли возможно. Но можно дать приближенную характеристику, во многих случаях хорошо согласующуюся с опытом. Так, например, для всех до сих пор изученных нормальных алканолов ряда $n\text{-C}_n\text{H}_{2n+1}\text{OH}$ достаточно ограничиться учетом цепочечных неразветвленных ассоциатов. Концентрации различных таких ассоциатов в ряде случаев можно установить несколькими независимыми друг от друга способами, например по данным о статической диэлектрической проницаемости.

В табл. 1 приведены результаты расчетов концентраций c_p и величин ρc_p для метанола при средних степенях ассоциации $\bar{p} = 30$ (2°С); $\bar{p} = 10$ (104°С) и $\bar{p} = 3,5$ (230°С). Здесь $c_p = n_p/V$, n_p — число молей ассоциата $(\text{ROH})_p$ в объеме V жидкого спирта. На рис. 5 представлены графики, описывающие зависимость концентрации c_p от ρ . Пусть

N_1 — число мономерных молекул спирта в объеме V , а N_0 — общее число молекул спирта в том же объеме без учета их ассоциации: $N_0 = \sum_{p \geq 1} p N_p$. Введем обозначение α для относительной концентрации мономерных молекул: $\alpha = N_1/N_0$. Зная α и \bar{p} , по формуле

$$\alpha_p = \alpha (1 - \sqrt{\alpha})^{p-1} \quad (\text{II.2})$$

можно определить относительную концентрацию α_p цепочечных ассоциатов, содержащих p молекул алканола; $p \geq 2$.

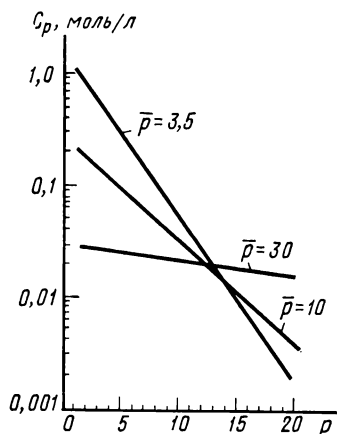


Рис. 5. Зависимость объемной концентрации c_p ассоциатов $(\text{РОН})_p$ спирта от числа p мономерных звеньев РОН в ассоциате при средних степенях ассоциации \bar{p} , равных 3, 5; 10 и 30

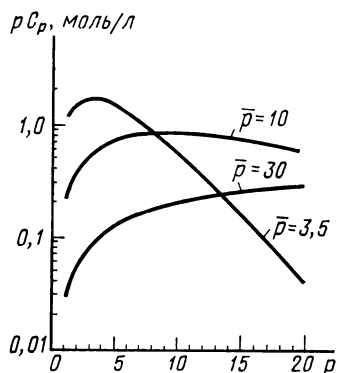


Рис. 6. Зависимость величины pc_p от \bar{p} для метанола при средних степенях ассоциации $\bar{p} = 30$, $\bar{p} = 10$ и $\bar{p} = 3,5$

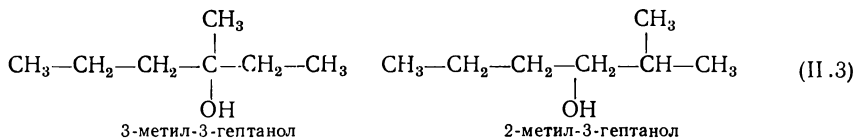
На рис. 6 представлена зависимость числа молей алканола, принимающих участие в ассоциатах, т. е. pc_p от степени ассоциации p при средней степени ассоциации $\bar{p} = 3,5$, $\bar{p} = 10$ и $\bar{p} = 30$. С ростом \bar{p} максимум этой зависимости сдвигается в область больших значений p и концентрация мономеров α уменьшается. Средняя степень ассоциации алканолов падает с ростом температуры.

Из табл. 9 следует, что с ростом числа атомов углерода n в радикале $\text{C}_n\text{H}_{2n+1}$ средняя степень ассоциации алканола \bar{p} уменьшается. Подобная зависимость наблюдается и в растворах алканолов в алканах при уменьшении концентрации алканола. Причина в обоих случаях одна и та же. С ростом числа атомов C в радикале $\text{C}_n\text{H}_{2n+1}$ быстро возрастает число связей $\text{C}-\text{H} \dots \text{C}$, приходящихся на одну связь $\text{O}-\text{H} \dots \text{O}$. Энтальпия связей $\text{C}-\text{H} \dots \text{C}$, как уже говорилось, примерно на порядок меньше энтальпии связей $\text{O}-\text{H} \dots \text{O}$, но число их велико и поэтому влияние связей $\text{C}-\text{H} \dots \text{C}$ на строение ассоциатов алканола становится доминирующим. Но современные экспериментальные методы иссле-

дования пока еще приспособлены, в основном, для изучения относительно прочных связей $O-H \dots O$. Поэтому падение степени ассоциации алканолов с ростом n означает лишь постепенное исчезновение тех ассоциатов, которые имеют связи $O-H \dots O$. Алканола с высоким числом атомов углерода в радикале $C_n H_{2n+1}$ ассоциированы, в основном, за счет связей $C-H \dots C$. Степень ассоциации алканолов за счет связей $C-H \dots C$ еще не определена.

Строение ассоциатов алканолов $C_n H_{2n+1} OH$ существенно зависит также от степени разветвленности углеводородного радикала и положения группы OH . Если группа OH расположена у вторичного или третичного атомов углерода или же если углеводородный радикал сильно разветвлен, роль связей $C-H \dots C$ возрастает. Углеводородный радикал частично экранирует группы OH . В результате ассоциация спиртов за счет связей $O-H \dots O$ уменьшается, а сами ассоциаты становятся преимущественно кольцевыми [8,9].

Так, например, у жидкого нормального октанола, углеводородный радикал которого не разветвлен, имеются, в основном, цепочечные ассоциаты; кольцевые ассоциаты практически отсутствуют. У его изомеров, например



имеющих CH_3 - и OH -группы, расположенные у одного и того же или соседних атомов углерода, цепочечные ассоциаты не обнаруживаются, типическим элементом структуры служат кольцевые ассоциаты.

Наиболее доступны исследованию ассоциаты, удовлетворяющие следующим условиям. Связи, благодаря которым они возникают, более прочны, чем все другие типы связей между молекулами, возможные в данной жидкой фазе. Так, в спиртах связи $O-H \dots O$ значительно прочнее, чем связи $C-H \dots O$ и $C-H \dots C$. Присутствие более слабых связей на фоне относительно сильных связей обычно остается незамеченным. Поэтому в течение многих лет считалось, что группы $C-H$ молекул алканов и алкильных радикалов не могут участвовать в образовании H -связей.

Исследование ассоциатов и комплексов существенно облегчается, если их строение простое, а другие структуры за счет тех же связей отсутствуют или же играют второстепенную роль. В нормальных одноатомных алканолах ROH основной тип ассоциатов — неразветвленные цепочки. Другие типы ассоциатов за счет связей $O-H \dots O$ могут быть, но их концентрация мала, их влиянием на свойства алканолов при современной точности эксперимента можно пренебречь. Изучение цепочечных ассоциатов существенно облегчается и тем, что теория, позволяющая рассчитывать концентрации различных цепочек и описывать внутреннее вращение в цепочках, сравнительно хорошо разработана. Описание разветвленных и кольцевых ассоциатов значительно сложнее, эта проблема еще ждет своего решения.

Принципиальные трудности возникают, когда речь идет об ассоциатах и комплексах, представляющих собой двух или трехмерные сетки, похожие на те, которые наблюдаются в стеклах. Методы расчета свойств таких систем отсутствуют. Кроме того, само понятие об ассоциатах и комплексах как фрагментах макромолекул в этом случае, в известной мере, теряет смысл, потому что пространственная сетка, в сущности, не имеет границ. Выделение в пространственной сетке отдельных фрагментов и описание их как относительно независимых конструкций представляет собой более грубое приближение, чем в тех случаях, когда можно отвлечься от существования сетчатых структур.

Подчеркнем еще раз, что в любой жидкой фазе пространственные сетки молекул существуют всегда. Каждый образец жидкости—гигантская макромолекула. Речь идет о возможности приближенного подразделения пространственных структур на относительно независимые простые фрагменты. Наконец, надо иметь в виду, что изучение ассоциатов и комплексов становится на много более сложным, если молекулы могут образовывать друг с другом несколько одинаковых связей, например $C-H\cdots C$, приобретая при этом разные взаимные ориентации. Если вероятность возникновения димеров, тримеров и т. д. со многими различными взаимными ориентациями мономерных звеньев приблизительно одинакова, то подобные ассоциаты и комплексы для большинства современных методов исследования выглядят как хаотические, бесструктурные, неупорядоченные, неассоциированные системы. Именно эта особенность объясняет то, что ассоциация четыреххлористого углерода, алканов и некоторых других жидкостей до недавних пор не обнаруживалась.

Теперь надо сказать о третьем способе описания структуры жидкостей, опирающемся на понятие о флуктуациях. Флуктуации представляют собой локальные отклонения свойств вещества от их среднего значения, случайно возникающие под действием теплового движения и молекулярных сил. Для характеристики строения жидких фаз и процессов, протекающих в жидкостях, существенны флуктуации плотности, температуры, анизотропные флуктуации и (когда речь идет о растворах) флуктуации концентрации [1].

Итак, характеристика молекул жидкостей, как шариков, взаимодействующих друг с другом с помощью потенциала Леннард-Джонса или другого эмпирического потенциала центральных сил, далека от действительности. Строение молекул и их индивидуальные особенности определяют строение жидкостей, в частности тех ассоциатов и комплексов, которые играют доминирующую роль в данной жидкой фазе. Строение молекул в конечном счете определяет и процессы, которые протекают в жидкостях, и механизмы этих процессов.

§ 3. ОБ ЭЛЕМЕНТАРНЫХ РЕАКЦИЯХ

Для описания упомянутых процессов нужно сначала охарактеризовать понятие об элементарных реакциях.

Как известно [10], элементарная реакция представляет собой совокупность большого числа однотипных прямых переходов исходных

частиц в продукты реакции. Каждый отдельный прямой переход будем в дальнейшем называть элементарным событием реакции.

Участниками элементарных событий реакций, рассматриваемых в этой книге, могут быть любые объекты, для которых имеет смысл понятие о химическом потенциале

$$\mu = \left(\frac{\partial G}{\partial n_i} \right)_{T, p, n_j}, \quad (\text{II.4})$$

где G — свободная энтальпия макроскопической системы; n_i — число объектов или частиц сорта i . Химический потенциал можно определить как изменение свободной энтальпии системы при изменении числа частиц сорта i на единицу в условиях, когда температура T , давление p и числа частиц всех других сортов остаются постоянными. В элементарных реакциях могут принимать участие атомы, ионы (в том числе протоны и электроны), молекулы, ассоциаты и комплексы молекул, дефекты квазикристаллической структуры, в том числе узлы решетки и вакансии («дырки»), ассоциаты дефектов, комплексы дефектов. Способы определения химических потенциалов рассмотрены в [11].

Элементарным событием может быть внутримолекулярная перегруппировка какой-либо мономерной молекулы, диссоциация молекулы, или же ассоциата, или комплекса, взаимодействие двух или трех частиц, а также какой-либо молекулы с поверхностью раздела фаз, образование дефекта и т. д. Элементарные реакции, протекающие в пределах одной фазы, называются гомогенными элементарными реакциями. Такие реакции различаются по числу частиц, принимающих участие в элементарном событии.

Реакции, в элементарном событии которых участвует одна частица, называются мономолекулярными, две частицы — бимолекулярными, три — тримолекулярными. В следующем параграфе будет введено представление об элементарных событиях коллективных реакций, в ходе которых происходит одновременный прямой переход в продукты реакции нескольких или даже многих частиц.

Стехиометрическое уравнение любой двусторонней элементарной реакции имеет вид



где M_i — частицы, участвующие в элементарных событиях реакции; v_i — стехиометрические коэффициенты. Согласно сказанному, для элементарных реакций v_i, v'_i могут принимать лишь следующие значения: 0, 1, 2, 3 — не более. Скорости прямой и обратной реакций следуют основному закону химической кинетики:

$$v_{\text{пр}} = -k \prod_i [M_i]^{v_i}; \quad v_{\text{обр}} = k' \prod_i [M_i]^{v'_i}, \quad (\text{II.6})$$

где k — константа скорости прямой реакции; k' — константа скорости обратной реакции.

От механизмов элементарных реакций зависят механизмы более сложных, т. е. неэлементарных реакций. В учебном пособии рассмат-

риваются такие элементарные реакции, характеристические времена которых (периоды полупревращения, времена релаксации и т. п.) удовлетворяют соотношению

$$\tau \gg 10^{-11}/T, \text{ с}, \quad (11.7)$$

где T — температура в К. Это ограничение диктуется термодинамическим методом описания реакций — пределами применимости неравновесной термодинамики (см. гл. VI). Реакции, удовлетворяющие этому условию, протекают без нарушения распределения Максвелла — Больцмана.

Элементарные реакции протекают независимо друг от друга. Иначе говоря, константа скорости элементарной химической реакции не зависит от того, идут ли в данной системе одновременно другие элементарные реакции [10].

Прямой переход исходных частиц в продукты реакции в жидких фазах обычно сопровождается небольшими смещениями окружающих частиц — атомов, молекул, ионов, дефектов. Небольшие движения и изменения окружающей среды непосредственно в термодинамическом методе не учитываются. Они вносят свой вклад в интегральные характеристики реакций — например, в тепловой эффект реакции, объемный эффект реакции, энтропийный эффект, т. е. изменение энтропии в результате одного элементарного события и т. д. Таким образом, фиксируются сравнительно крупные, резкие изменения состояния частиц и не детализируются мелкие изменения, происходящие за промежутки времени порядка $10^{-11}/T$, с или меньшие.

Следовательно, представленное здесь понятие об элементарных реакциях условно. Оно позволяет резко упростить описание действительной картины процесса, сохранив главные его черты (см. гл. V).

§ 4. ПРОЦЕССЫ, ПРОТЕКАЮЩИЕ ПРИ ТЕПЛОМ ДВИЖЕНИИ В ЖИДКОСТЯХ

Ограничимся в этом параграфе рассмотрением процессов, протекающих в жидкостях при тепловом движении молекул независимо от того, идут ли в этих жидкостях обычные химические реакции или нет.

При этом будем изучать только такие элементарные процессы, элементарные события которых можно формально или по существу описывать с помощью уравнений химических реакций и методов химической кинетики (это приемлемо для множества химических и физических явлений, происходящих в жидких фазах). Речь пойдет о реакциях, которые проходят при 300 К, как правило, быстро, за времена порядка $1-10^{-12}$ с. Как уже говорилось в гл. I, реакции, протекающие за времена, лежащие в интервале от 10^{-6} с до 10^{-12} с относятся к сверхбыстрым. О понятии «время протекания реакций» см. § 5.

Охарактеризуем реакции, о которых будет говориться в этой книге.

Реакции разрыва или образования связей — мономолекулярные реакции, приводящие к перестройке ассоциатов или комплексов без

изменения числа и типа мономерных молекул, входящих в их состав. Элементарные события таких реакций имеют вид



Например, реакция превращения кольцевого p -мера алканола $(\text{ROH})_{pk}$ в цепочечный p -мер $(\text{ROH})_{pц}$, сопровождающаяся разрывом одной связи $\text{O—H} \dots \text{O}$, или обратная ей. Такая реакция ведет к изменению числа слабых химических связей в системе.

Другой, чаще встречающийся случай, — изменение структуры сложного сетчатого ассоциата или комплекса, сводящееся к переориентации одной из молекул, входящих в состав сетчатого образования (см. с. 14).

Реакции диссоциации — мономолекулярные в прямом направлении и бимолекулярные в обратном направлении. Элементарные события таких реакций имеют вид



или

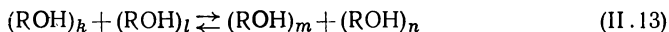


где A_k , A_l и A_m — ассоциаты, содержащие k , l , m мономерных молекул, соответственно; AB — комплекс, состоящий из молекул A и B , имеющих неодинаковый химический состав. Реакция диссоциации димера спирта — один из простейших примеров реакций вида (II.9). Реакция диссоциации комплекса, содержащего одну молекулу спирта и одну молекулу воды, — пример реакций вида (II.10).

Реакции перераспределения химических связей в ассоциатах и комплексах. Это бимолекулярные реакции в прямом и обратном направлениях:



Уравнение (II.11) описывает элементарные события реакций перераспределения связей в ассоциатах, содержащих k , l , m и n мономерных молекул без изменения общего числа связей в системе. Уравнение (II.12) соответствует элементарным событиям реакций, сопровождающихся перераспределением связей с участием комплексов. Общее число связей и число связей отдельных видов может изменяться. Например, в спиртах идут реакции, элементарные события которых имеют вид



В ходе таких реакций число связей $\text{O—H} \dots \text{O}$ в системе сохраняется.

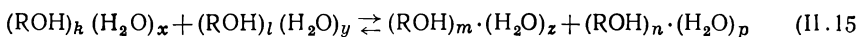
В водных растворах спиртов протекают, в частности, реакции, элементарные события которых можно описать с помощью следующего уравнения:



В ходе реакций (II.14) общее число связей $\text{O—H} \dots \text{O}$ в растворе может сохраняться в одних случаях и изменяться в других. Допустим, что элементарное событие реакции (II.14) сопровождается отрывом от ассоциата $(\text{H}_2\text{O})_l$ такой молекулы H_2O , которая была связана в этом ас-

социате с другими молекулами воды двумя связями $O-H \dots O$. Тогда взаимодействие $(ROH)_k$ и $(H_2O)_l$ вызывает разрыв трех связей $O-H \dots O-H \dots O$ — одной в ассоциате $(ROH)_k$ и двух в ассоциате $(H_2O)_l$. Если в комплексах $(ROH)_m \cdot H_2O$ и $(ROH)_n \cdot (H_2O)_{l-1}$ ассоциат $(ROH)_m$ имеет одну водородную связь с H_2O , а $(ROH)_n$ — две водородных связи с ассоциатом $(H_2O)_{l-1}$, то общее число связей $O-H \dots O$ в результате реакции (II.14) не меняется при условии, что связи $O-H \dots O$ считаются одинаковыми независимо от того, какими молекулами они образованы. Если же ассоциаты $(ROH)_m$ имеют одну связь $O-H \dots O$ с H_2O и $(H_2O)_{l-1}$, соответственно, то общее число водородных связей в ходе реакций (II.14) уменьшается или растет в зависимости от направления реакции. Если учесть различия между связями $ROH \dots OH$, $ROH \dots OR$ и $OH \dots OH$, то реакции (II.14) при сделанном допущении о разрыве двух связей между молекулами в ассоциате $(H_2O)_l$ будут сопровождаться изменением чисел всех типов указанных водородных связей.

Можно представить себе элементарные реакции (II.14), которые будут приводить к изменению некоторых типов связей $O-H \dots O$, не приводя к изменению общего числа связей $O-H \dots O$ в системе, а также реакции, в ходе которых и общее число связей $O-H \dots O$ и число каждого из типов связей $O-H \dots O$ сохраняется. Элементарные события таких реакций имеют вид



причем, во всех четырех типах комплексов ассоциаты $(ROH)_i$ и $(H_2O)_j$ соединены одним и тем же числом связей типа $ROH \dots OH$.

Реакции вида (II.11) и (II.12) не следует представлять в виде последовательности двух реакций вида (II.9) или (II.10). Тогда реакции (II.11) и (II.12) не были бы элементарными, так как имели бы две стадии. Здесь же имеются в виду элементарные реакции (II.11) и (II.12), т. е. такие реакции, которые состоят из одной стадии.

Надо учесть, что одно и то же, порой, весьма простое уравнение реакции может описывать и элементарную, и сложную, т. е. многостадийную, реакцию. Так, например, уравнение реакции



представляет собой уравнение сложной реакции, если в действительности оно описывает результат элементарных реакций:



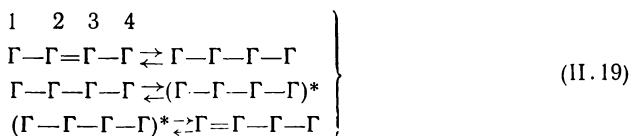
Уравнение (II.16) характеризует элементарные реакции только в том случае, если A непосредственно превращается в D , иначе говоря, это превращение протекает лишь в одну стадию без участия промежуточных продуктов. Сказанное здесь нуждается в некоторых уточнениях, которые будут приведены в гл. V.

Пусть символ G обозначает молекулу глицерина. Каждая такая молекула содержит три группы OH и может образовывать с другой молекулой глицерина одну или две водородные связи $O-H \dots O$, но не

более. Одна из реакций перестройки тетрамеров глицерина может быть изображена уравнением



Можно подумать, что реакция (II.18) представляет собой одну из элементарных реакций вида (II.8). На самом деле это не так. Реакция (II.18) состоит из последовательности элементарных реакций:



Первая из этих реакций приводит к разрыву одной из связей О—Н...О между молекулами 2 и 3 глицерина в тетрамере. Вторая — описывает такое конформационное превращение тетрамера, в результате которого становится возможным образование второй связи О—Н...О между молекулами 1 и 2 глицерина в тетрамере. Предполагается, что вторая реакция идет в одну стадию. Если это не так, то число реакций, описывающих конформационное превращение, возрастет. Третья реакция в последовательности (II.19) сводится к образованию другой связи О—Н...О между 1 и 2 молекулами глицерина в тетрамере.

Неколлективные и коллективные реакции. До сих пор рассматривались неколлективные реакции, сопровождающиеся разрывом или образованием связей. В элементарных событиях таких реакций принимают участие одна, две или три молекулы мономеров, ассоциатов или комплексов. Кроме неколлективных реакций в жидких фазах протекают коллективные реакции ассоциации и комплексобразования. В элементарных событиях коллективных реакций может принимать участие неопределенное число частиц, но не меньше четырех в зависимости от вида реакции.

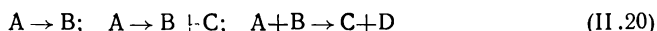
Различие неколлективных и коллективных реакций состоит в следующем. Элементарные события неколлективных реакций происходят в каком-либо элементе объема системы dV_1 в некоторый промежуток времени δt и не зависят от того, протекают ли в других элементах объема dV_i соседних с dV_1 или удаленных на некоторое расстояние R от dV_1 в тот же промежуток времени δt элементарные события такой же или какой-нибудь другой реакции.

Элементарные стадии коллективных реакций можно представить, как взаимосвязанную группу из нескольких или многих простых событий, которые описываются уравнениями неколлективных реакций. Все эти простые события происходят в разных элементах объема системы. Обычно при понижении температуры и повышении давления взаимосвязь или, иначе говоря, корреляция простых событий возрастает и среднее число одновременно коррелирующих простых событий увеличивается. При повышении температуры и понижении давления корреляция простых событий постепенно исчезает. Тогда коллективная реакция распадается на одну или несколько неколлективных реакций.

Различают два вида коллективных реакций. *Несмешанные коллективные реакции*, элементарные стадии которых представляют собой группу одинаковых простых событий. *Смешанные коллективные реакции*, элементарные стадии которых подразделяются на два или несколько различных видов простых событий.

При повышении температуры и понижении давления несмешанная коллективная реакция переходит в одну неколлективную реакцию, а смешанная коллективная реакция — в две или большее число различных неколлективных реакций.

Несмешанной коллективной реакции соответствует химическое уравнение, описывающее каждое из одинаковых коррелированных простых событий, совокупность которых образует элементарную стадию. Следовательно, каждое из уравнений вида



может описывать как одну неколлективную, так и одну несмешанную коллективную реакцию. Смешанная коллективная реакция в общем случае может быть описана с помощью нескольких неодинаковых простых уравнений вида (II.20). Каждое из этих уравнений соответствует одной из неколлективных реакций, на которые распадается смешанная коллективная реакция при нагревании системы или понижении давления.

Различие между неколлективными и коллективными реакциями выявляется главным образом в характере их зависимости от температуры и давления. Так, например, константа скорости неколлективной реакции в не очень больших интервалах температур следует эмпирическому уравнению Аррениуса

$$k = A \exp(-E/RT).$$

Константа скорости коллективной реакции подчиняется эмпирическому уравнению Вильямса — Ландела — Ферри (см. гл. IX).

Представление о коллективных реакциях впервые развито автором и В. А. Дуровым [12]. Основы теории коллективных реакций излагаются в гл. IX.

Следующая группа быстрых и сверхбыстрых реакций, протекающих при тепловом движении в жидкостях, это конформационные превращения мономерных молекул, а также всевозможных ассоциатов и комплексов. Конформационные превращения в жидких фазах можно характеризовать как мономолекулярные реакции. Элементарные стадии этих реакций имеют вид (II.8). Они подробно рассматриваться не будут.

Далее надо сказать о процессах возбуждения и дезактивации молекул в ходе теплового движения или внешних воздействий (электромагнитное излучение, механические силы и т.п.). Элементарные события этих процессов тоже можно описывать в терминах химических реакций. Будем различать следующие реакции этой группы.

Реакции, приводящие к изменению колебательного квантового состояния молекул — возбуждению колебательного состояния или его дезактивации в ходе теплового движения взаимодействующих друг с другом («сталкивающихся») молекул жидкости (колебательная релакса-

ция). Энергия колебательного возбуждения возникает за счет кинетической энергии теплового движения «сталкивающихся» молекул. При обратном процессе — дезактивации возбужденных молекул — энергия вновь переходит в кинетическую энергию теплового движения «сталкивающихся» молекул. Термин «столкновение» при описании взаимодействия молекул в жидкой фазе имеет несколько иной смысл, чем в разреженных газах. Подробнее об этом будет сказано далее (см. гл. VIII).

Элементарные стадии этих процессов могут быть неколлективными (взаимодействие двух или трех молекул) и коллективными (взаимодействие большего числа молекул). Неколлективные процессы возбуждения внутримолекулярных колебаний формально можно описать уравнениями химических реакций:



где В — любая молекула жидкой фазы возбужденная или невозбужденная, мономер, ассоциат или комплекс; A_0 — молекула некоторого определенного сорта, обозначаемого символом А; индекс «0» означает, что эта молекула находится в основном колебательном состоянии, т. е. на наиболее низком колебательном уровне при заданном, обычно тоже основном, электронном состоянии; индексы 1, 2, ..., $n - 1$, n , ... соответствуют номеру колебательного уровня энергии. Чем больше индекс, тем выше энергия колебательного возбуждения молекулы А. Молекула В, в частности, может быть одной из молекул сорта А, находящихся в основном или возбужденном колебательном состоянии.

Реакции резонансного перехода энергии колебательного возбуждения от одной молекулы к другой. Если молекула А может поглотить квант энергии $h\nu_i$, а молекула В* испустить такой же квант энергии, то при «столкновении» молекул А и В* может произойти резонансный перенос энергии возбуждения от молекулы В к молекуле А. Излучения и затем поглощения кванта энергии при этом не происходит. Миграция энергии возбуждения от В* к А протекает безызлучательно. Резонансный перенос энергии возбуждения может быть описан уравнением вида



где A^* и B^* — возбужденные молекулы. В тех случаях, когда какая-либо полоса в спектре испускания молекулы А налагается на одну из полос в спектре поглощения молекулы В, резонансная миграция энергии может происходить между молекулами В* и А, даже если они удалены друг от друга. Такой процесс именуется индуктивным резонансом ([1] с. 32).

Реакции, приводящие к возбуждению или дезактивации электронных состояний молекул. Между простыми молекулами эти реакции происходят в редких случаях, когда кинетическая энергия «сталкиваю-

щихся» молекул очень велика. Если мономерные молекулы жидкости сложны, число колебательных степеней свободы молекул очень велико. Запас колебательной энергии возбуждения сложных молекул даже при 300 К может быть достаточно большим, чтобы превзойти энергию электронного возбуждения. В сложных молекулах с большой быстротой может происходить перекачка энергии колебательного возбуждения в энергию электронного возбуждения, а энергия электронного возбуждения может опять переходить в энергию внутримолекулярных колебаний.

Поэтому при тепловом движении системы, в которой имеются сложные молекулы, вероятность безызлучательного возбуждения и дезактивации электронных состояний достаточно велика. Уравнения, описывающие этот процесс, имеют вид (II.21). Кроме того, происходит резонансная миграция энергии электронного возбуждения — тоже безызлучательный перенос энергии, сходный с резонансной миграцией энергии внутримолекулярных колебаний.

§ 5. О ПРОЦЕССАХ ВОЗНИКНОВЕНИЯ И РАЗРУШЕНИЯ ФЛУКТУАЦИЙ ПРИ ТЕПЛОВОМ ДВИЖЕНИИ

Эти процессы также можно рассматривать как неколлективные или коллективные реакции. Но здесь имеются некоторые особенности. Остановимся кратко на упомянутых в § 2 видах флуктуаций.

Флуктуации плотности — случайные локальные сгущения и разрежения вещества. Различают два вида флуктуаций плотности: адиабатические и изобарические. Адиабатические флуктуации плотности в жидких фазах по своей физической природе эквивалентны адиабатическим сгущениям и разрежениям, возникающим при распространении в жидкостях продольных звуковых волн. В сущности, адиабатические флуктуации плотности есть затухающие звуковые колебания, перемещающиеся в жидкости со скоростью звука во всех направлениях от области возникновения флуктуации. Возникают адиабатические флуктуации плотности, например, в тех случаях, когда векторы скорости движения нескольких молекул случайно направлены либо к центру малого элемента объема жидкости, тогда локальное давление возрастает и образуется адиабатическое сгущение, либо от центра — тогда давление падает и происходит адиабатическое расширение. При адиабатическом расширении в жидкости может возникнуть полость или «дырка». Молекулярные механизмы образования флуктуаций плотности связаны с появлением дефектов в квазикристаллической структуре жидкой фазы.

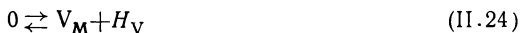
Хотя жидкость в целом разупорядочена, в малые промежутки времени, величина которых зависит от температуры и состава жидкости, локальная упорядоченность атомов, молекул или ионов сохраняется. Термин «локальная упорядоченность», конечно, не означает ту степень локального порядка, которая наблюдается в идеальных кристаллах. Это некоторое временно фиксированное распределение молекул, частично соединенных друг с другом слабыми химическими связями. Если сравнивать такое распределение с идеальным кристаллом, то оно будет

отличаться присутствием дефектов, число которых может быть настолько большим, что свойственная кристаллу упорядоченность практически отсутствует. В кристаллах самопроизвольно возникает целый ряд типов разупорядочения [11]. Несомненно, такие же или сходные процессы еще более интенсивно происходят в жидкостях. Дефекты или изменения локальной упорядоченности, приводящие к флуктуациям плотности, в частности, напоминают широко известные типы разупорядочения в кристаллах по Шоттки и по Френкелю.

В кристаллах чистых простых веществ вакансии (дыры) в решетке могут создаваться в результате перемещения атомов из узлов решетки, находящихся в объеме кристалла, во вновь образующиеся узлы на поверхности кристалла. Образование вакансий по Шоттки можно представить как реакцию вида



Здесь использованы обозначения: M_M^* — атом или молекула, расположенные в узле решетки M ; V_M^* — вакансия, образованная в узле, занятом ранее M после ухода молекулы из этого узла; H_V — энтальпия реакции образования вакансии. Уравнение (II.23) можно представить в другой форме:



Это уравнение можно интерпретировать как растворение вакуума «0» в кристалле ([11], с. 237).

При разупорядочении по Френкелю атомы или ионы переходят из узлов кристаллической решетки в междоузлия. Пусть V_i^* обозначает свободное междоузлие кристаллической решетки. Тогда образование дефекта по Френкелю описывается уравнением



где M_i^* — атом M , расположенный в междоузлии решетки; V_M^* — имеет тот же смысл, что и в (II.23).

До сих пор говорилось об одиночных дефектах, о реакциях их возникновения, в которых участвует всего одна молекула. Подобно молекулам, однотипные дефекты могут объединяться в ассоциаты, дефекты разных типов могут образовывать комплексы. Соответственно и амплитуды флуктуаций, связанных с дефектами, будут возрастать. Реакции образования ассоциатов и комплексов дефектов похожи на обычные реакции ассоциации и комплексообразования. В окрестности критической точки, равновесия жидкость — пар концентрация ассоциатов и комплексов дефектов, приводящих к флуктуациям плотности, максимальна. Жидкость становится все более пористой, похожей на губку, с тем отличием, что средний диаметр пор в этой губке имеет величину порядка 1 нм.

Сжатия и разрежения, коль скоро они протекают адиабатически, сопровождаются локальным разогревом или же локальным охлаждением системы. Локальное изменение температуры вызывает локальный сдвиг равновесий реакций ассоциации, комплексообразования, кон-

формационных превращений мономеров, ассоциатов и комплексов, а также реакций возбуждения молекул.

В отличие от адиабатических флуктуаций изобарические флуктуации плотности с течением времени в равновесной системе не перемещаются. Они зависят от флуктуаций энтропии и производной плотности жидкости по ее энтропии при постоянном давлении.

Флуктуации энтропии в данном случае сопровождаются локальными изменениями температуры — температурными волнами. Локальные изменения температуры могут вызывать локальные изменения структуры, степени заселенности возбужденных состояний и другие отклонения от равновесия, которые приводят к локальному изменению энтропии и связанным с ней локальным изменением плотности системы. Иначе говоря, изобарические флуктуации плотности означают флуктуации концентрации ассоциатов и комплексов, их конформеров, а также возбужденных молекул. В растворах эти флуктуации не сопровождаются изменением концентраций независимых компонентов системы. Их не следует смешивать с флуктуациями концентрации независимых компонентов.

Возможен, например, следующий молекулярный механизм возникновения изобарической флуктуации плотности. Избыток энергии колебательного движения сложной молекулы, ассоциата или комплекса, перераспределяясь по степеням свободы внутримолекулярных колебаний, спонтанно переходит в кинетическую энергию трансляционного движения молекул жидкости. Возникает локальный разогрев системы, сопровождающийся возникновением температурных волн и изобарических флуктуаций плотности.

Анизотропные флуктуации представляют собой случайные локальные отклонения свойств жидкости от изотропного поведения. Анизотропные флуктуации имеются в однокомпонентных жидкостях и растворах, если в жидкой фазе есть анизотропные молекулы, или анизотропные ассоциаты или комплексы [1]. Анизотропия молекул обычно наблюдается, если молекулы (или их ассоциаты и комплексы) не имеют шаровой симметрии. Тогда поляризуемость таких молекул — тензор второго ранга. Нередко такие молекулы полярны, т. е. имеют постоянный электрический момент диполя. Чтобы анизотропные флуктуации существенно повлияли на свойства жидкости и могли, следовательно, быть замеченными, достаточно изменить ориентацию лишь небольшого числа частиц. Анизотропные флуктуации могут возникать или исчезать в ходе следующих процессов:

1. Конформационные превращения мономерных молекул, их ассоциатов и комплексов, сопровождающиеся изменением величины или ориентации электрического момента диполя $\vec{\mu}$ или анизотропии тензора поляризуемости γ^2 молекулы, ассоциата или комплекса, соответственно. Таковы, например, рассмотренные в § 2 шарнирные переходы групп OR в цепочечных ассоциатах алканолов.

Процессы перехода молекул поворотных изомеров друг в друга происходят в динамическом равновесии. Если в каком-либо изотропном элементе объема жидкости одна из молекул в ходе теплового движения

случайно меняет свою конформацию, так что меняется $\vec{\mu}$ или γ^2 (или и $\vec{\mu}$, и γ^2), то в этом объеме возникает анизотропная флуктуация. Через некоторое время динамическое равновесие восстанавливается в результате изменения конформации той же или других молекул. Исчезнет и анизотропная флуктуация в данном элементе объема. Но появятся анизотропные флуктуации в других участках жидкости. Эти процессы протекают непрерывно, если состояние жидкости таково, что они могут происходить.

2. Изменение $\vec{\mu}$, γ^2 или ориентаций молекул в ходе реакций ассоциации и комплексообразования или перераспределения ассоциатов и комплексов.

3. Вращательные качания (либрации) молекул или их частей. Вращательные качания — это неупорядоченные малые изменения ориентации молекулы около временного положения ее равновесия. Они не сопровождаются перераспределением положений соседних молекул и не связаны с преодолением потенциального барьера.

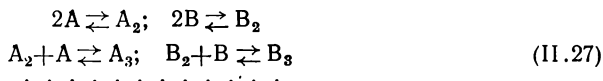
Анизотропные флуктуации, возникающие в результате рассматриваемых единичных элементарных событий, описываются каким-либо из уравнений (II.8) — (II.12).

Если в одном и том же элементе объема одновременно происходит несколько превращений, которые ведут к появлению относительно устойчивых анизотропных областей или доменов, то с ростом таких доменов происходит фазовый переход изотропной жидкости в жидкий кристалл.

Флуктуации концентрации — случайные локальные отклонения концентраций независимых компонентов раствора от некоторого среднего значения, соответствующего термодинамическому равновесию при заданных внешних условиях. Флуктуации концентрации возникают в результате локальных нарушений динамического равновесия реакций ассоциации, комплексообразования, конформационных превращений в растворах. Локальные нарушения динамического равновесия происходят в ходе теплового движения. Допустим, например, что в растворе, состоящем из компонентов А и В, протекает обратимая реакция образования комплексов АВ



и реакция образования ассоциатов



Если в ходе теплового движения в каком-либо элементе объема раствора равновесие реакции (II.26) сместится влево, появится локальный избыток молекул А и В, не связанных друг с другом. Эти молекулы могут принять участие в образовании ассоциатов А и В и таким образом в соседних элементах объема возникнут флуктуации концентрации А и В. В одном из элементов объема раствора будет избыток молекул А, в другом — избыток молекул В по сравнению со средним числом таких молекул в состоянии термодинамического равновесия.

Выше была дана характеристика процессов возникновения или исчезновения флуктуаций около равновесного состояния. Молекулярные механизмы флуктуаций около неравновесных, например, стационарных состояний, рассматриваемых в [13, 14], по-видимому, остаются теми же. Меняется сочетание различных реакций, их взаимосвязь. Флуктуации плотности, концентрации, температуры, анизотропные флуктуации могут быть результатом как единичных элементарных стадий рассмотренных неколлективных реакций, так и коррелированных простых событий, представляющих собой элементарные стадии коллективных реакций. Вдали от критических точек жидкость — пар, критических точек расслаивания, фазовых переходов второго рода, по-видимому, большую роль играют неколлективные механизмы возникновения флуктуаций. В окрестности критических точек и точек стеклования преобладают коллективные реакции.

Теперь надо сказать о броуновском движении молекул в жидких фазах. Как известно, броуновское движение — это беспорядочное изменение положений и ориентаций макроскопических дисперсных частиц, взвешенных в жидкости. Диаметр частиц в сотни и тысячи раз превышает размер окружающих молекул жидкости. Предполагается, что каждая частица движется совершенно независимо от других частиц, совершая поступательные и вращательные движения под влиянием окружающих частиц молекул жидкости. При описании движения частиц вводятся новые ограничения. Так, теория вращательного броуновского движения рассматривает два взаимно исключаящих вида поворотных движений макроскопических твердых шарообразных или эллипсоидальных частиц. Либо это движения, когда поворот частицы на конечный угол осуществляется бесконечно большим числом ее случайных вращений на бесконечно малые углы. Тогда говорят о так называемой «вращательной диффузии» частиц. Либо частица меняет свою ориентацию спонтанно и сразу на конечный угол, т. е. происходят случайные вращательные блуждания частиц.

Эта модель приближенно отражает свойства дисперсных систем, состоящих из твердых макроскопических частиц, плавающих в жидкости на значительном расстоянии друг от друга (разреженная дисперсная система). Применение такой модели для описания движения молекул в жидких фазах вызывает ряд затруднений. Во-первых, между молекулами жидкости имеются химические связи. Движение молекул нельзя рассматривать независимо друг от друга. Во-вторых, ни вращательная диффузия, ни случайные блуждания не соответствуют действительной картине вращательных движений молекул в жидкой фазе. Хотя молекулы, как правило, меняют свою ориентацию на конечный угол, угол поворота не случаен. Он определен ориентациями соседних молекул — возможностями возникновения химических связей при некоторых дискретных взаимных ориентациях соседних молекул. Ориентации ближайших молекул также, как уже говорилось, не произвольны. Наконец, молекулы — не твердые макрочастицы. Они имеют внутренние степени свободы, которые активно участвуют в тепловом движении. Молекулы возбуждаются, дезактивируются. Энергия возбуждения перераспределяется между степенями свободы. Эти явления нель-

зя исключить, изучая механизмы процессов, протекающих в жидких средах.

Реакции образования и разрушения ассоциатов и комплексов, процессы возникновения дефектов, конформационные превращения обычно протекают с преодолением некоторого потенциального барьера. Для этого нужно, чтобы молекулы, непосредственно участвующие в соответствующем элементарном событии, приобрели энергию, достаточную для преодоления потенциального барьера. Механизм такого преодоления в ходе указанных процессов еще слабо изучен. Это проблема, имеющая общие черты для быстрых и медленных реакций (см. гл. V).

В заключение необходимо подчеркнуть, что приведенное описание молекулярных процессов нельзя считать исчерпывающим. Здесь не были рассмотрены, например, спин-решеточные и спин-спиновые взаимодействия, которые имеют большое научное и прикладное значение. Читатель, интересующийся этими вопросами, может получить необходимые сведения в книгах по ЯМР спектроскопии.

ГЛАВА III

ЭЛЕМЕНТЫ ТЕОРИИ БЫСТРЫХ РЕАКЦИЙ

§ 6. ХАРАКТЕРИСТИЧЕСКИЕ ВРЕМЕНА РЕАКЦИЙ

Допустим, что состояние какой-либо макроскопической системы, например жидкой фазы, с течением времени изменяется. Это означает, что изменяется одно или несколько макроскопических свойств этой системы, таких, как плотность, температура, концентрации компонентов, диэлектрическая проницаемость и т. д. Процессы, приводящие к изменению состояния системы, как уже говорилось, можно подразделить на медленные, быстрые и сверхбыстрые. В этой классификации внимание фиксируется прежде всего на тех характеристиках процессов, которые определяют скорость их протекания. Представление о скорости протекания процесса, приводящего к изменению состояния системы, может быть получено с помощью величин, которые принято именовать характеристическими временами. Сюда относятся времена релаксации и периоды полупревращения.

Релаксация и время релаксации. Предположим, что какая-либо макроскопическая система находится в термодинамически неравновесном состоянии. Если такую систему предоставить самой себе, т. е. не менять внешние условия ее существования — температуру, давление, напряженность внешнего электрического поля и т. п., то следуя второму закону термодинамики, система будет самопроизвольно стремиться вернуться в состояние термодинамического равновесия, которое соответствует заданным внешним условиям. Процесс самопроизвольного перехода неравновесной макроскопической системы в состояние термодинамического равновесия называют *релаксацией*. Пусть x — какое-либо макроскопическое свойство системы, изменяющееся в ходе релаксации, и x_p — величина x в состоянии термодинамического равновесия. В ходе релаксации величина x стремится принять значение, равное

x_p . Предположим, что x — независимая переменная. Тогда, зависимость между x и временем t (см. гл. VI) имеет следующий вид:

$$x(t) = x(0) e^{-t/\tau}; \quad \Delta x(t) = \Delta x_0 e^{-t/\tau}, \quad (\text{III.1})$$

где $\Delta x = x - x_p$; $x(0)$ — величина x в произвольно выбранный момент $t = 0$, с которого начинается отсчет времени; $x(t)$ — величина x в некоторый момент времени $t \geq 0$; τ — константа, имеющая размерность времени. Разность $x(0) - x_p = \Delta x_0$ характеризует отклонение x от равновесного значения x_p в момент времени $t = 0$, разность $x(t) - x_p = \Delta x(t)$ определяет отклонение x от равновесного значения в момент времени t . При t , равном τ , разность $x(t) - x_p$ в e раз меньше разности $x(0) - x_p$. Следовательно, τ равно времени, за которое в процессе релаксации отклонение x от равновесного значения x_p уменьшается в e раз ($e \simeq 2,7$).

Согласно уравнению (III.1) разность $x(t) - x_p$ обращается в нуль лишь при $t \rightarrow \infty$. Иначе говоря, продолжительность процесса релаксации величины x в принципе бесконечно велика. Скорость релаксации x можно охарактеризовать с помощью времени релаксации τ . Дифференцируя обе части равенства (III.1) по t и учитывая, что x_p от t не зависит, получаем:

$$\frac{1}{\Delta x} \frac{d\Delta x}{dt} = \frac{1}{\Delta x} \frac{dx}{dt} = -\frac{1}{\tau}. \quad (\text{III.2})$$

Левая часть этого равенства представляет собой скорость изменения x в момент времени t , деленную на Δx . Это относительная скорость изменения x в момент времени t . В данном случае относительная скорость релаксации x не зависит от времени t . Она постоянна и равна $-1/\tau$. Знак минус говорит о том, что разность $x(t) - x_p$ с течением времени уменьшается.

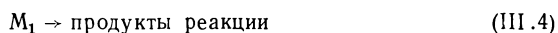
Уравнение (III.1) описывает простейшую зависимость x от t при релаксации системы. Процессы релаксации, подчиняющиеся уравнению (III.1), встречаются часто. В качестве примера приведем релаксацию поляризации жидкого ацетона при 20°C .

Допустим, что внешнее электрическое поле \mathcal{E}_0 отсутствует. Тогда средний электрический момент макроскопического образца жидкого ацетона равен нулю, $M = 0$ (подробнее см. [1] гл. 2). Примем теперь, что на жидкий ацетон действует внешнее электрическое поле. Под влиянием внешнего поля ацетон поляризуется. В нем возникает макроскопический электрический момент M . Если внешнее поле убрать, поляризация ацетона исчезает, т.е. макроскопический момент M обратится в нуль. Иначе говоря, произойдет релаксация поляризации к равновесному состоянию, соответствующему исходному внешнему условию $\mathcal{E}_0 = 0$. Предположим, что внешнее поле исчезло мгновенно. Релаксация поляризации в ацетоне, как показывает опыт, следует уравнению (III.1), т. е.

$$M(t) = M(0) e^{-t/\tau_D}, \quad (\text{III.3})$$

[Смысл обозначений здесь тот же, что и в уравнении (III.1).] τ_D — время релаксации* поляризации. Оно характеризует относительную скорость процесса исчезновения поляризации.

Период полупревращения. В некоторых случаях скорость процесса можно охарактеризовать с помощью периода времени $\tau_{1/2}$, в течение которого концентрация одного из веществ, имеющихся в системе, уменьшится в два раза. $\tau_{1/2}$ называют периодом полупревращения. Так, например, для односторонней реакции первого порядка

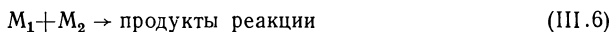


период полупревращения определяется соотношением

$$\tau_{1/2} = \ln 2 / k_1 = 0,69 / k_1, \quad (\text{III.5})$$

где k_1 — константа скорости реакции (III.4). Отметим, что $1/k_1$ равно средней продолжительности жизни молекул вещества M_1 (см. например [15]). Здесь предполагается, что молекулы M_1 превращаются в другие частицы только в ходе реакции (III.4).

Для односторонней реакции второго порядка



период полупревращения зависит не только от величины константы скорости k_{II} реакции (III.6), но и от концентраций исходных веществ M_1 и M_2 . Если начальные концентрации $[M_i]_0$ одинаковы, т. е.

$$[M_1]_0 = [M_2]_0 = a, \quad (\text{III.7})$$

период полупревращения реакции (III.6) равен

$$\tau_{1/2II} = \frac{1}{ak_{II}}. \quad (\text{III.8})$$

Способы расчета периодов полупревращения в других случаях описаны в курсах химической кинетики. Здесь рассматриваются те коллективные и неколлективные процессы, характеристические времена τ которых по порядку величины равны или больше того времени τ_m , за которое устанавливается распределение Максвелла в макроскопических элементах объема системы, если оно было нарушено. В жидкостях при 300 К время τ_m , требующееся для установления максвелловского распределения скоростей молекул, составляет около 10^{-13} с. Следовательно, характеристические времена рассматриваемых далее процессов при комнатной температуре удовлетворяют соотношению

$$\tau > 10^{-13} \text{ с.} \quad (\text{III.9})$$

Сюда относятся: ассоциация и комплексообразование за счет слабых химических связей, перенос энергии возбуждения, конформационные превращения молекул, спиновая и спин-решеточная релаксация, образование и исчезновение флуктуаций плотности, флуктуаций кон-

* Мы ограничиваемся сейчас формальным, эмпирическим определением времени релаксации. Вопрос о связи между временем релаксации и механизмами процессов, протекающих в жидких фазах, будет рассмотрен позднее с помощью понятий и методов неравновесной термодинамики.

центрации, анизотропных флуктуаций и ряд других процессов. Если характеристические времена процессов удовлетворяют неравенству

$$\tau \gg \tau_m, \quad (\text{III.10})$$

то, как будет показано далее, теория таких процессов опирается на методы неравновесной термодинамики. В большинстве рассматриваемых в этой книге случаев неравенство (III.10) выполняется.

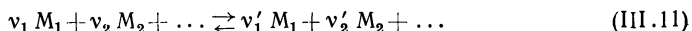
§ 7. ХИМИЧЕСКИЕ СТЕПЕНИ СВОБОДЫ СИСТЕМЫ. ЕСТЕСТВЕННЫЕ И НОРМАЛЬНЫЕ РЕАКЦИИ

Химические степени свободы системы. Допустим, что однородная система замкнута, т. е. не обменивается веществом с окружающей средой. Предположим, что в такой системе не протекают реакции. Тогда ее состав задан и не зависит от внешних условий. Состояние системы термодинамически однозначно определяется с помощью температуры, давления, напряженности электрического поля или каких-либо других внешних переменных.

Предположим теперь, что в замкнутой системе идут реакции. Тогда ее состав и, следовательно, состояние с течением времени меняется. Если такая замкнутая система находится в полном термодинамическом равновесии, а значит, и химическом равновесии, то ее состав зависит лишь от внешних переменных, например температуры, давления, напряженности внешнего электрического поля. При изменении внешних переменных химическое равновесие будет смещаться, состав системы будет изменяться. Величины, определяющие состав замкнутой системы, т. е. числа молей или концентрации веществ, в этом случае не могут рассматриваться как независимые переменные. Но если замкнутая система неравновесна, внешние переменные недостаточны для однозначной характеристики ее состояния. Такая система имеет несколько независимых химических переменных, химических степеней свободы.

Пусть система состоит из κ веществ и содержит n_i молей каждого из этих веществ ($i = 1, 2, \dots, \kappa$). Если бы она могла свободно обмениваться этими веществами с окружающей средой, т. е. была открытой, то для характеристики состава потребовалось бы κ химических переменных. Так как система замкнута, то масса ее постоянна и поэтому число независимых химических переменных будет меньше κ . Чтобы определить число независимых переменных, нужно сосчитать все концентрации, которые однозначно определяют химический состав при условии, что известны концентрации всех молекулярных остатков, т. е. не изменяющихся в ходе реакций групп атомов.

Степени полноты реакции. Химические реакции — это один из частных случаев тех необратимых процессов или потоков, которые рассматриваются неравновесной термодинамикой. Уравнение произвольной элементарной или сложной двусторонней химической реакции можно написать в следующей общей форме:



или

$$\sum_i \nu_i M_i \rightleftharpoons \sum_i \nu'_i M'_i, \quad (\text{III.12})$$

где M_1, M_2, \dots — виды молекул, участвующих в реакции; ν_1, ν_2, \dots — стехиометрические коэффициенты исходных веществ; ν'_1, ν'_2, \dots — стехиометрические коэффициенты продуктов реакции. Стехиометрические коэффициенты обычно выражаются целыми числами или равны нулю. Последнее означает, что соответствующий вид молекул в исходных веществах или продуктах реакции отсутствует.

Введем обозначения:

$$\Delta \nu_i = \nu'_i - \nu_i \quad (i = 1, 2, \dots, \kappa). \quad (\text{III.13})$$

Пусть $dn_1, dn_2, \dots, dn_i, \dots, dn_\kappa$ — числа прореагировавших молей вещества $M_1, M_2, \dots, M_\kappa$ в ходе реакции (III.11) за некоторый отрезок времени dt . Из стехиометрического уравнения химической реакции (III.11) следует, что величины dn_i пропорциональны разностям стехиометрических коэффициентов $\Delta \nu_i$:

$$dn_i = \Delta \nu_i d\xi \quad (\text{III.14})$$

или

$$\frac{dn_1}{\Delta \nu_1} = \frac{dn_2}{\Delta \nu_2} = \dots = \frac{dn_\kappa}{\Delta \nu_\kappa} = d\xi. \quad (\text{III.15})$$

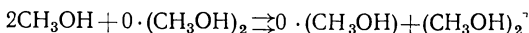
Переменная ξ называется *степенью полноты* реакции. Уравнение (III.15) определяет лишь изменение $d\xi$ степени полноты реакции, но не абсолютную величину ξ . Начало отсчета ξ выбирается произвольно исходя из соображений удобства в связи с условиями протекания химической реакции. Величина ξ , следовательно, может быть найдена с точностью до некоторой произвольной постоянной.

Степень полноты реакции ξ — экстенсивная величина. Преимущество степени полноты реакции ξ , как переменной, характеризующей состояние системы, по сравнению с числами молей n_i или концентрациями $c_i = \frac{n_i}{V}$, состоит в том, что для описания изменения состояния системы в результате реакции (III.11) достаточно пользоваться лишь одной переменной ξ . Если же применять числа молей n_i или концентрации c_i , то надо вводить столько переменных, сколько веществ M_i участвует в реакции. Это делает уравнения более громоздкими.

Рассмотрим в качестве примера простейшую из реакций ассоциации метанола с помощью водородных связей $\text{O—H} \dots \text{O}$ — двустороннюю реакцию димеризации:



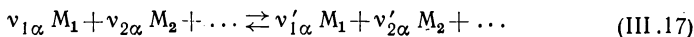
Представим это уравнение в более общей форме (III.11), так чтобы каждый из сортов молекул фигурировал в обеих частях равенства:



Здесь $M_1 = \text{CH}_3\text{OH}$; $M_2 = (\text{CH}_3\text{OH})_2$; $\nu_1 = 2$; $\nu_2 = 0$; $\nu'_1 = 0$; $\nu'_2 = 1$; следовательно, $\Delta \nu_1 = -2$; $\Delta \nu_2 = 1$.

Согласно уравнению (III.16) степень полноты реакции димеризации увеличится на единицу, $d\xi = 1$, если $dn_1 = -2$ и, следовательно, $dn_2 = 1$, т. е. произойдет димеризация двух молей мономеров метанола. Степень полноты реакции (III.16) уменьшится на единицу, $d\xi = -1$, если $dn_1 = 2$ и $dn_2 = -1$, т. е. произойдет диссоциация одного моля димеров метанола. Отношения $dn_1/\Delta v_1$ и $dn_2/\Delta v_2$ следуют уравнению (III.15).

Допустим, что в системе идет r двусторонних реакций. Каждую из них можно написать в виде уравнения (III.11). Перенумеруем реакции в произвольном порядке. Пусть индекс α обозначает номер реакции ($\alpha = 1, 2, \dots, r$). Имеем:



В соответствии с (III.15) изменение числа молей вещества сорта i в ходе реакции α пропорционально разности стехиометрических коэффициентов этого вещества $\Delta v_{i\alpha} = v'_{i\alpha} - v_{i\alpha}$:

$$dn_{i\alpha} = \Delta v_{i\alpha} d\xi_{\alpha}, \quad (\text{III.18})$$

где $d\xi_{\alpha}$ — коэффициент пропорциональности, не зависящий от i и представляющий собой изменение степени полноты реакции α .

Когда система находится в состоянии полного термодинамического равновесия, $d\xi_{\alpha} = 0$, степень полноты реакции α равна тому ее значению $\xi_{0\alpha}$, которое соответствует условиям термодинамического равновесия

$$\xi_{\alpha} = \xi_{0\alpha}. \quad (\text{III.19})$$

$\xi_{0\alpha}$ однозначно определяется внешними переменными, которым соответствует термодинамическое равновесие. Так, для однокомпонентной жидкой фазы при отсутствии внешних полей может быть две независимых внешних переменных, например T и P . В этих условиях

$$\xi_{0\alpha} = \xi_{0\alpha}(T, P). \quad (\text{III.20})$$

Иначе говоря, в состоянии полного термодинамического равновесия степени полноты реакций, протекающих в однокомпонентной жидкости, не принадлежат к числу независимых переменных, характеризующих состояние системы.

При отклонениях от полного термодинамического равновесия равенство (III.19) нарушается, степени полноты реакций α изменяются. ξ_{α} входят в число независимых переменных, характеризующих состояние неравновесных систем. Таким образом, если бы в неравновесной однокомпонентной жидкости протекали одни лишь химические потоки, то состояние системы определялось бы переменными $x, y, \xi_1, \dots, \xi_{\alpha}, \dots, \xi_r$. Любая термодинамическая функция состояния однокомпонентной жидкости в этих условиях зависит от внешних переменных x, y и множества внутренних переменных $\{\xi\} \equiv \xi_1, \dots, \xi_r$. Так, например, внутренняя энергия U упомянутой неравновесной системы представляет собой функцию ее энтропии, объема и множества $\{\xi\}$ степеней полноты реакции:

$$U = U(S, V, \{\xi\}); \quad (\text{III.21})$$

энтальпия: $H = H(S, p, \{\xi\})$; свободная энергия; $F = F(T, V, \{\xi\})$; свободная энтальпия*:

$$G = G(T, P, \{\xi\}); \quad (\text{III.22})$$

энтропия

$$S = S(U, V, \{\xi\}) \quad (\text{III.23})$$

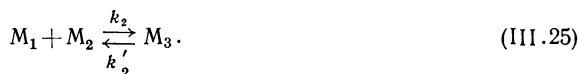
и т. д.

Числа реакций и химических переменных. Пусть r — число реакций, а m — число химических переменных в замкнутой системе. Если $r = m$, полная определенность состояния системы с помощью степеней полноты ξ_1, \dots, ξ_r очевидна. При $r < m$ число химических переменных уменьшается до r за счет дополнительных условий, появляющихся в стехиометрических уравнениях реакций. Например, уравнение $A_2 + B + C \rightarrow AB + AC$ содержит дополнительное условие: числа молей A_2, B, C, AB и AC , образующиеся или исчезающие в ходе реакции, должны быть одинаковы. Общее число дифференциалов dn_i равно 5, число химических переменных $m = 4$, поскольку масса замкнутой системы постоянна. Но вследствие указанного выше дополнительного условия число независимых дифференциалов dn_i равно единице, так как достаточно задать один из них, чтобы были определены все остальные. При $r > m$ изменение состояния системы, вызванное $r - m$ реакциями, может быть получено линейной комбинацией остальных m реакций. Этот случай будет подробнее рассмотрен в § 44.

Рассмотрим в качестве простого примера две элементарные реакции, протекающие в закрытой однокомпонентной жидкой фазе. Одна из них — реакция образования димеров M_2 из мономеров M_1 :



другая — реакция образования тримеров M_3 из мономеров M_1 и димеров M_2 :



Пусть $[M_1]$, $[M_2]$ и $[M_3]$ — концентрации молекул мономера, димера и тримера, соответственно. Все эти концентрации выражены в одних и тех же единицах измерения: мольных долях, числах молей на литр, массовых процентах или каких-либо других — это пока не имеет значения. Если жидкая фаза — закрытая система, т. е. обмена веществом с

* Здесь используется рекомендованное в СССР наименование этого термодинамического потенциала. Термин «свободная энтальпия» для функции $G = H - TS$ лучше других коррелирует с общепринятым термином «свободная энергия» для функции $F = U - TS$. Другое употребляемое название этого термодинамического потенциала — «функция Гиббса» — не коррелирует с термином «свободная энергия» и менее удобно. Так, например, термины «свободная энтальпия активации», «избыточная свободная энтальпия смещения», вероятно, звучат лучше, чем термины «функция Гиббса активации» и «избыточная функция Гиббса смещения».

окружающей средой не происходит, то концентрации $[M_1]$, $[M_2]$ и $[M_3]$ должны быть связаны друг с другом уравнением, вытекающим из закона сохранения вещества. Например, если n_0 — общее число молекул сорта M в пересчете на мономер, находящихся в объеме, занимаемом закрытой системой, то число молей мономеров n_1 , димеров n_2 и тримеров n_3 в жидкой фазе связаны друг с другом соотношением

$$n_1 + 2n_2 + 3n_3 = n_0 = \text{const.} \quad (\text{III.26})$$

Следовательно, если не существует каких-либо других условий, налагающих ограничения на изменения величин $[M_1]$, $[M_2]$, $[M_3]$, то число независимых химических переменных или, иначе говоря, число химических степеней свободы данной системы равно двум. В дифференциальной форме уравнение (III.26) имеет вид

$$dn_1 + 2dn_2 + 3dn_3 = 0, \quad (\text{III.27})$$

где dn_i — дифференциальные химические переменные.

Вместо чисел молей можно выбрать в качестве химических переменных степени полноты ξ_1 и ξ_2 реакций (III.24) и (III.25). По определению (III.15) имеем:

$$d\xi_1 = dn_{11} = \frac{dn_{21}}{2}; \quad (\text{III.28})$$

$$d\xi_2 = dn_{12} = dn_{22} = dn_{33}. \quad (\text{III.29})$$

Величины dn_{11} , dn_{21} , dn_{12} , dn_{22} и dn_{33} связаны друг с другом соотношениями:

$$dn_{11} = dn_{21}/2; \quad (\text{III.30})$$

$$dn_{12} = dn_{22}; \quad (\text{III.31})$$

$$dn_{22} = dn_{33}$$

Соотношение (III.30) следует из стехиометрического уравнения реакции (III.24), соотношения (III.31) вытекают из стехиометрического уравнения реакции (III.25). Соотношения (III.30) и (III.31) представляют собой следствия закона сохранения вещества. Таким образом, в равновесном состоянии при отсутствии каких-либо дополнительных условий, ограничивающих поведение системы, ξ_1 и ξ_2 можно рассматривать как две независимые химические степени свободы.

В состоянии полного термодинамического равновесия химические переменные $[M_1]$, $[M_2]$ и $[M_3]$ связаны друг с другом еще двумя соотношениями, вытекающими из закона действующих масс:

$$[M_2]/[M_1]^2 = K_{1p}; \quad (\text{III.32})$$

$$\frac{[M_3]}{[M_2][M_1]} = K_{2p}, \quad (\text{III.33})$$

где K_{1p} и K_{2p} — константы химического равновесия реакций (III.24) и (III.25). K_{1p} и K_{2p} зависят только от внешних переменных, определяющих состояние системы. Ради простоты можно принять здесь коэффициенты активности всех реагентов равными единице. Таким образом, в состоянии полного термодинамического равновесия в данном случае концентрации всех веществ, участвующих в реакциях (III.24) и

(III.25), однозначно определены двумя внешними переменными, например температурой T и давлением P . Следовательно, и равновесные степени полноты реакций

$$\xi_1 = \xi_{10}(P, T) = \text{const}_1;$$

$$\xi_2 = \xi_{20}(P, T) = \text{const}_2$$

при $P = \text{const}$ и $T = \text{const}$ постоянны. Число химических степеней свободы термодинамически равновесной системы равно нулю.

Продолжая анализ этого простого примера, вернемся к варианту, когда жидкая фаза не находится в состоянии полного термодинамического равновесия. Теперь поведение ее определяется не только двумя внешними переменными T и P , но и двумя внутренними переменными — химическими степенями свободы, в качестве которых удобно выбрать степени полноты ξ_1 и ξ_2 реакций (III.24) и (III.25). Скорости этих двусторонних элементарных реакций имеют вид:

$$v_1 = \frac{d\xi_1}{dt} \equiv \dot{\xi}_1 = -k_1 [M_1]^2 + k'_1 [M_2]; \quad (\text{III.34})$$

$$v_2 = \frac{d\xi_2}{dt} \equiv \dot{\xi}_2 = -k_2 [M_1] [M_2] + k'_2 [M_3]. \quad (\text{III.35})$$

При термодинамическом равновесии $v_1 = 0$ и $v_2 = 0$. В отличие от степеней полноты реакций ξ_1 , и ξ_2 скорости реакций $\dot{\xi}_1$ и $\dot{\xi}_2$ в общем случае нельзя считать независимыми переменными. Справедливость сказанного будет подробно обоснована в гл. VII. Здесь будут приведены только пояснения.

Согласно основным положениям неравновесной термодинамики каждый из необратимых процессов возникает в системе в результате действия связанной с ним силы. Следуя терминологии, принятой в неравновесной термодинамике, скорости реакций (III.24) и (III.25) есть химические потоки. Они возникают под действием сил A_1 и A_2 , именуемых **сродствами** реакций (III.24) и (III.25), соответственно. Когда состояние системы характеризуется с помощью набора независимых переменных T , P , ξ_1 , и ξ_2 , термодинамическим потенциалом служит свободная энтальпия $G = G(P, T, \xi_1, \xi_2)$. Сродства реакций (III.24) и (III.25) представляют собой частные производные:

$$A_1 = - \left(\frac{\partial G}{\partial \xi_1} \right)_{P, T, \xi_2}; \quad A_2 = - \left(\frac{\partial G}{\partial \xi_2} \right)_{P, T, \xi_1}. \quad (\text{III.36})$$

Следовательно, в общем случае A_1 и A_2 — функции P , T , ξ_1 и ξ_2 , откуда следует, что полный дифференциал свободной энтальпии рассматриваемой неравновесной системы имеет вид

$$dG = -SdT + VdP - A_1 d\xi_1 - A_2 d\xi_2. \quad (\text{III.37})$$

Принцип независимости элементарных реакций (см. § 3) в терминах неравновесной термодинамики означает, что скорость каждой из элементарных реакций определяется только ее собственным сродством. Из опыта следует, что скорость i -й элементарной реакции при заданной температуре T прямо пропорциональна ее сродству:

$$\dot{\xi}_\alpha = L_\alpha \frac{A_\alpha}{T} (\alpha = 1, 2), \quad (\text{III.38})$$

где L_α — коэффициент пропорциональности, некоторая константа, именуемая феноменологическим коэффициентом реакции, коэффициентом химической проводимости или коэффициентом Онзагера. Согласно (III.38) при $A_\alpha \rightarrow 0$ скорость реакции $\xi_\alpha \rightarrow 0$, как это следует из опыта. Но поскольку A_α определяется соотношениями (III.36), в общем случае сродство элементарных реакций A_1 и A_2 зависит от степеней полноты обеих элементарных реакций ξ_1 и ξ_2 . Поэтому скорости элементарных реакций могут быть взаимосвязаны.

Феноменологический коэффициент L_α . Физический смысл коэффициента L_α подробно обсуждается в § 27. L_α для элементарных реакций в окрестности термодинамического равновесия зависит от константы скорости прямой или обратной реакций α и от произведения термодинамически равновесных концентраций (или, в общем случае, активностей) реагентов в степенях, равных стехиометрическим коэффициентам реакции

$$L_\alpha = \frac{V}{R} k_\alpha \prod_i [M_i]_0^{v_{i\alpha}} = \frac{V}{R} k'_\alpha \prod_i [M_i]_0^{\bar{v}'_{i\alpha}}, \quad (\text{III.39})$$

где k_α, k'_α — константы скорости прямой и обратной реакций α , соответственно; $v_{i\alpha}, \bar{v}'_{i\alpha}$ — стехиометрические коэффициенты уравнения, описывающего элементарное событие реакции; $[M_i]_0$ — равновесные концентрации веществ, принимающих участие в реакции. Индекс «0» обозначает, что эти концентрации соответствуют термодинамическому равновесию в системе. Важная особенность феноменологического коэффициента химической реакции L_α состоит в том, что L_α зависит от кинетики и механизма реакции α . Кинетика и механизм реакции определяются константой скорости k_α или k'_α , реагентами, их концентрациями и стехиометрическими коэффициентами уравнения реакции. Все эти величины фигурируют в уравнении (III.39).

Естественные и нормальные реакции. Любые элементарные или сложные реакции, стехиометрические уравнения которых имеют вид



будут называться *естественными реакциями*. Здесь v_i, \bar{v}'_i — стехиометрические коэффициенты. Когда уравнение (III.40) описывает элементарную стадию реакции, то v_i и \bar{v}'_i всегда целые числа или нули, и речь идет об элементарной естественной реакции. Если же уравнение (III.40) описывает только окончательный результат процесса, состоящего из двух или большего числа различных стадий, — это сложная естественная реакция. Для сложных реакций v_i и \bar{v}'_i не обязательно целые числа. Скорости естественных реакций, как уже было сказано, могут быть взаимосвязаны между собой. Но можно показать, что в общем случае существуют такие линейные комбинации естественных реакций, которые кинетически независимы и называются *нормальными реакциями* (подробнее см. гл. VII.) Скорость каждой нормальной реакции, т. е. определенной линейной комбинации естественных реакций, как и для элементарных реакций, тоже зависит лишь от одного соответствующего ей сродства, т. е. подчиняется уравнению (III.38). Но в отличие

от элементарной естественной реакции, сродство нормальной реакции зависит от степени полноты лишь этой нормальной реакции и, разумеется, еще от внешних переменных, определяющих термодинамическое состояние системы. Степени полноты нормальных реакций принято обозначать символом ξ_i , чтобы отличать их от степеней полноты естественных реакций ξ_α . Если какая-либо из естественных реакций кинетически независима от других естественных или нормальных реакций, она играет роль нормальной реакции. В этом, частном, случае естественная и нормальная реакции совпадают.

Понятие о нормальных реакциях играет важную роль в теории быстрых процессов потому, что экспериментальные данные непосредственно дают информацию о величинах, связанных со скоростями нормальных реакций. Так, например, времена релаксации $\tau_{i, xy}$, определяемые методами диэлектрической, акустической или релеевской спектроскопии или какими-либо другими методами, как будет показано в гл. VII, непосредственно зависят от величин, характеризующих какую-либо одну i -ю нормальную реакцию

$$\tau_{i, xy}^{-1} = -L_i \left(\frac{\partial A_i}{\partial \xi_i} \right)_{xy}, \quad (\text{III.41})$$

где L_i — феноменологический коэффициент; A_i — сродство; ξ_i — степень полноты i -й нормальной реакции; x и y — внешние переменные, например T и P . L_i есть функция константы скорости i -й нормальной реакции и концентрации реагентов; $\frac{\partial A_i}{\partial \xi_i}$ также зависит от величин, определяющих механизм тех естественных реакций, линейная комбинация которых дает i -ю нормальную реакцию. Необходимо располагать методами, позволяющими от выражений, полученных в терминах нормальных реакций, переходить к уравнениям, найденным в терминах естественных реакций, и наоборот. Эти методы подробно рассмотрены в гл. VII и VIII.

§ 8. О ВЗАИМОСВЯЗЯХ МЕЖДУ ЕСТЕСТВЕННЫМИ И НОРМАЛЬНЫМИ РЕАКЦИЯМИ

Линейная комбинация, связывающая между собой степени полноты естественных и нормальных реакций, имеет вид

$$\xi_\alpha = \sum_{i=1}^r x_{\alpha i} \xi_i, \quad (\text{III.42})$$

где $x_{\alpha i}$ — некоторые постоянные во времени коэффициенты этого преобразования. Как будет показано в гл. VII, коэффициенты $x_{\alpha i}$ представляют собой элементы матрицы преобразования X , с помощью которой естественные степени полноты реакций ξ_α или естественные химические координаты системы преобразуются к степеням полноты ξ_i нормальных реакций, т. е. к нормальным химическим координатам*.

* Аналогично тому, как в теории малых колебаний молекул естественные координаты атомных ядер преобразуются к нормальным координатам и вместе с этим естественные колебания преобразуются к нормальным колебаниям.

В свою очередь, нормальные химические координаты можно преобразовать к естественным. Линейную комбинацию, с помощью которой степени полноты нормальных реакций ξ_i преобразуются к степеням полноты естественных реакций можно представить так:

$$\xi_i = \sum_{\alpha=1}^r w_{i\alpha} \xi_{\alpha}, \quad (\text{III.43})$$

где $w_{i\alpha}$ — постоянные во времени коэффициенты преобразования.

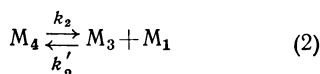
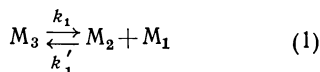
Поскольку $x_{\alpha i}$ и $w_{i\alpha}$ постоянные во времени, преобразования (III.42) и (III.43) применимы также и для скоростей реакций, т. е.

$$\dot{\xi}_{\alpha} = \sum_{i=1}^r x_{\alpha i} \dot{\xi}_i; \quad (\text{III.44})$$

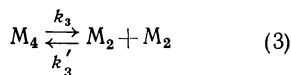
$$\dot{\xi}_i = \sum_{\alpha=1}^r w_{i\alpha} \dot{\xi}_{\alpha}. \quad (\text{III.45})$$

Связь между коэффициентами $x_{\alpha i}$ и $w_{i\alpha}$ рассмотрена в гл. VII. Там же приведен подробный вывод взаимосвязей между другими величинами, характеризующими естественные и нормальные реакции. Эти соотношения не всегда простые. Здесь ограничимся двумя полезными для приложений примерами, когда, как мы увидим, уравнения (III.42) и (III.43) имеют простой вид.

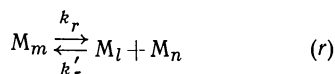
Пусть M_1 — мономерные молекулы жидкого вещества M , а M_2 , M_3 , ..., M_{κ} , ..., M_l , ..., M_m — цепочечные ассоциаты, содержащие 2, 3, ..., κ , ..., l , ..., m мономерных молекул, соответственно. Рассмотрим r реакций распада и образования цепочечных ассоциатов M_m ($m \geq 3$):



(III.46)



.....



где число r может быть очень большим. Такие реакции протекают в тех жидких фазах, где есть цепочечные ассоциаты. В обычных условиях это быстрые или сверхбыстрые реакции.

Предположим, что константы скорости всех прямых и обратных реакций этой системы r реакций в пределах ошибок опыта неразличимы, т. е.

$$k_1 = k_2 = k_3 = \dots = k_r = k; \quad (\text{III.47})$$

$$k'_1 = k'_2 = k'_3 = \dots = k'_r = k'. \quad (\text{III.48})$$

Допустим, что средняя степень ассоциации молекул M в жидкой фазе много больше единицы, $\bar{p} \gg 1$. В VIII гл. показано, что нормальные реакции для этой системы, т. е. независимые линейные комбинации r естественных реакций (III.46), обладают следующими замечательными особенностями. Среди r различных возможных нормальных реакций существует одна и только одна нормальная реакция, степень полноты которой равна сумме степеней полноты всех r естественных реакций вида (III.46). Обозначим эту реакцию индексом «1». Тогда имеем:

$$\xi_1 = \sum_{\alpha=1}^r \xi_{\alpha}; \quad (\text{III.49})$$

$$d\xi_1 = \sum_{\alpha=1}^r d\xi_{\alpha}. \quad (\text{III.50})$$

Для этой нормальной реакции каждый из коэффициентов $\omega_{1\alpha}$ в уравнениях (III.45) равен единице. Поясним смысл уравнений (III.49) и (III.50). Пусть $dn_{1\alpha}, \dots, dn_{\kappa\alpha}, \dots, dn_{m\alpha}$ обозначают изменения числа молей соединений $M_1, \dots, M_{\kappa}, \dots, M_m$ в ходе естественных реакций (III.46) за какой-нибудь промежуток времени Δt . Для каждой из естественных реакций достаточно задать изменение числа молей $dn_{\kappa\alpha}$ одного из реагентов, так как изменения чисел молей других реагентов однозначно связаны с $dn_{\kappa\alpha}$ стехиометрическим уравнением реакции. Пользуясь (III.15), получаем:

$$d\xi_1 = \sum_{\alpha=1}^r \Delta v_{\kappa\alpha}^{-1} dn_{\kappa\alpha}, \quad (\text{III.51})$$

где $\kappa \geq 3$. Здесь индекс « κ » обозначает ассоциаты, стоящие в левой части уравнений (III.46). Так как в этом случае все $\Delta v_{\kappa\alpha}$ одинаковы и равны -1 , то

$$d\xi_1 = - \sum_{\alpha=1}^r dn_{\kappa\alpha}, \quad (\text{III.52})$$

где $dn_{\kappa\alpha}$ — изменение числа молей ассоциата M_{κ} в ходе реакции α за промежуток времени Δt . Отметим, что знак $dn_{\kappa\alpha}$ здесь не указан. Он отрицателен для прямых реакций (III.46) и положителен для обратных реакций (III.46). Таким образом в уравнении (III.50) $d\xi_1$ определяет общее изменение числа молей всех ассоциатов, начиная с M_3 в ходе реакций (III.46) за время Δt .

Как известно (см. § 7), каждая из степеней полноты ξ_{α} может быть задана с точностью до некоторой произвольной постоянной $\xi_{\alpha 0}$. Выберем $\xi_{\alpha 0}$ так, чтобы в состоянии термодинамического равновесия степени полноты всех реакций были равны нулю. В неравновесных состояниях некоторые или все ξ_{α} отличаются от $\xi_{\alpha 0}$ (т. е. от нуля). В этом случае $\Delta \xi_{\alpha} = \xi_{\alpha} - \xi_{\alpha 0} = \xi_{\alpha}$. Из сказанного следует, что $\xi_{\alpha} = \Delta \xi_{\alpha} = - \Delta n_{\kappa\alpha}$. Имеем поэтому

$$\xi_1 = \sum_{\alpha=1}^r \xi_{\alpha} = - \sum_{\alpha=1}^r \Delta n_{\kappa\alpha}. \quad (\text{III.53})$$

Следовательно, степень полноты нормальной реакции ξ_1 для некоторого заданного неравновесного состояния $(x, y, \xi_1, \dots, \xi_r)$ может быть определена как разность общего числа молей всех ассоциатов M_3, \dots, M_m в неравновесном и равновесном состояниях системы. Можно написать и «стехиометрическое уравнение» этой нормальной реакции. Оно представляет собой сумму стехиометрических уравнений двусторонних реакций (III.46):

$$\sum_{m \geq 3} (M_m \rightleftharpoons M_l + M_k). \quad (\text{III.54})$$

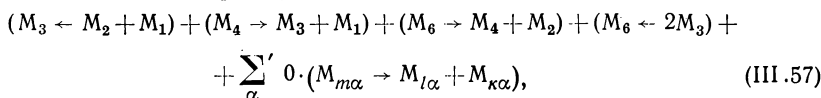
Стрелки указывают направление естественных реакций. Направление каждой из r естественных реакций, фигурирующих в этом уравнении, зависит от состояния неравновесной системы. Направления естественных реакций в течение промежутка времени Δt могут не совпадать. Одни из них могут идти в прямом направлении, другие в обратном.

Степени полноты остальных $r-1$ нормальных реакций представляют собой такие линейные комбинации степеней полноты естественных реакций (III.46), которые тождественно равны нулю:

$$\xi_i = \sum_{\alpha=1}^r w_{i\alpha} \xi_{\alpha} = 0 \quad (i=2, 3, \dots, r); \quad (\text{III.55})$$

$$d\xi_i = \sum_{\alpha=1}^r w_{i\alpha} d\xi_{\alpha} = 0. \quad (\text{III.56})$$

Стехиометрическое уравнение, соответствующее одной из таких нормальных реакций системы, находящейся в неравновесном состоянии, может иметь, например, следующий вид:



где Σ' означает, что суммирование производится по всем реакциям (III.46), за исключением тех, которые фигурируют в первых 4 членах суммы (III.57). Раскрывая в (III.57) скобки, получаем:

$$M_2 + M_1 + M_4 + M_6 + 2M_3 + \sum_{\alpha} ' 0 \cdot M_{m\alpha} \rightarrow 2M_3 + M_1 + M_4 + M_2 + M_6 + \\ + \sum_{\alpha} ' 0 \cdot M_{l\alpha} + \sum_{\alpha} ' 0 \cdot M_{k\alpha}$$

Так как правая и левая части равенства (III.57) совпадают, нормальная реакция (III.57) не влияет на состояние неравновесной системы. От обозначений реагентов ($M_{1\alpha}, \dots, M_{m\alpha}$), фигурирующих в (III.57), можно перейти к числам молей $dn_{1\alpha}, \dots, dn_{m\alpha}$ и к степеням полноты естественных реакций ξ_{α} и показать, что и в этой форме равенство (III.57) тождественно равно нулю. Этого делать не будем, поскольку преобразования здесь те же, что и для уравнений (III.49)—(III.54). Видим, что на состояние жидкой фазы в данном случае влияет только одна нормальная реакция, обозначенная индексом «1». Остальные $r-1$ нормаль-

ные реакции представляют собой такие линейные комбинации из r естественных реакций вида (III.46), которые не изменяют состояния неравновесной системы. Экспериментально обнаруживается только одно время релаксации τ_{1xy} . В гл. VIII показано, что оно определяется простым соотношением

$$\tau_{1xy}^{-1} = \frac{3}{2} k, \quad (\text{III.58})$$

где k — константа скорости прямых естественных реакций (III.46). Здесь индексы x, y обозначают те внешние переменные, которые сохраняются неизменными в ходе релаксации системы. Например, τ_{1PT} означает время релаксации, обусловленное нормальной реакцией «1» при условии, что релаксация происходит при постоянстве внешних переменных — давления P и температуры T . Константа скорости обратных реакций (III.46) может быть в этом случае найдена с помощью соотношения

$$k' = k/K_0, \quad (\text{III.59})$$

где K_0 — константа равновесия реакций (III.46). В гл. VIII будет показано, что времена релаксации, зависящие от остальных $r - 1$ нормальных реакций, в данном случае бесконечно велики:

$$\tau_i \rightarrow \infty; \quad i \geq 2. \quad (\text{III.60})$$

Отсюда следует, что остальные $r - 1$ нормальные реакции не изменяют состояние системы и не могут быть обнаружены.

Таким образом, экспериментальные данные о времени релаксации τ_{1xy} при выполнении упомянутых выше условий непосредственно дают сведения о константе скорости элементарных естественных реакций вида (III.46). Уравнение (III.58) показывает, что время релаксации τ_{1xy} системы реакций (III.46) зависит только от константы скорости k и не зависит от концентрации ассоциатов, фигурирующих в уравнениях (III.46) или же от средней степени ассоциации \bar{p} . Но если бы в жидкости протекала только какая-либо одна из реакций (III.46), например реакция

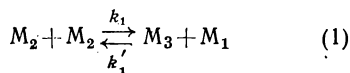


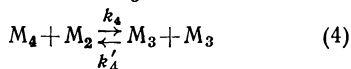
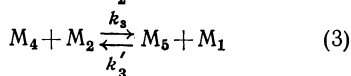
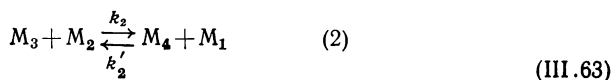
то время релаксации системы, обусловленное этой реакцией, было бы связано с k и концентрациями ассоциатов следующим уравнением:

$$\tau_{1xy}^{-1} = k \left(1 + \frac{[M_n]}{[M_n]} + \frac{[M_l]}{[M_l]} \right), \quad (\text{III.62})$$

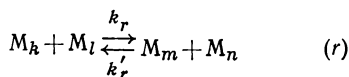
где $[M_n]$, $[M_n]$ и $[M_l]$ — концентрации реагентов. Вывод уравнения (III.62) будет приведен в гл. VI.

Рассмотрим теперь систему, состоящую из протекающих в жидкости однотипных естественных элементарных бимолекулярных реакций перестройки цепочечных ассоциатов:





.....



где r может иметь большие значения. Снова примем, что константы скорости r прямых и обратных реакций вида (III.63) в пределах погрешностей опыта удовлетворяют уравнениям (III.47) и (III.48) и средняя степень ассоциации молекул M в жидкой фазе $\bar{p} \gg 1$. Оказывается (см. гл. VIII) множество бимолекулярных реакций (III.63) перестройки цепочечных ассоциатов, при указанных условиях, имеет свойства, в некоторых отношениях напоминающие свойства множества реакций вида (III.46); у множества реакций (III.63) также имеется одна и только одна нормальная реакция, степень полноты которой равна сумме степеней полноты всех r бимолекулярных реакций перестройки ассоциатов. Степени полноты остальных $r - 1$ нормальных реакций также равны нулю. Следовательно, здесь тоже имеют место соотношения (III.49), (III.56) и (III.60). Лишь одна нормальная реакция, обозначенная индексом «1», изменяет состояние неравновесной системы. Все остальные $r - 1$ нормальные реакции на состояние системы не влияют. Но в отличие от реакций диссоциации вида (III.46) время релаксации τ_{1xy} , связанное с первой нормальной реакцией системы (III.63), зависит от средней степени ассоциации (см. гл. VIII). При $\bar{p} \gg 1$ выполняется следующее уравнение:

$$\tau_{1xy}^{-1} = kc_0 \bar{p}^{-1}, \quad (III.64)$$

где c_0 — число молей жидкости в единице объема (без учета ассоциации). С помощью этого уравнения, располагая данными о τ_{1xy} и \bar{p} , можно найти константу скорости естественных бимолекулярных реакций вида (III.63).

Если бы вместо r естественных реакций (III.63) в жидкой фазе протекала одна единственная естественная реакция



то время релаксации жидкости к равновесному состоянию, связанное с этой реакцией, определялось бы соотношением

$$\tau_{xy}^{-1} = k([M_k] + [M_l]) + k'([M_m] + [M_n]), \quad (III.66)$$

где $[M_k]$, ..., $[M_n]$ — концентрации веществ M_k , M_l , M_m и M_n , соответственно. Вывод уравнения (III.65) приведен в гл. VI. Другие примеры, характеризующие взаимосвязи между естественными и нормальными реакциями, рассмотрены во II части этого учебного пособия.

ЭКСПЕРИМЕНТАЛЬНЫЕ МЕТОДЫ ИЗУЧЕНИЯ БЫСТРЫХ И СВЕРХБЫСТРЫХ РЕАКЦИЙ, ПРОТЕКАЮЩИХ ПРИ ТЕПЛОВЕМО ДВИЖЕНИИ В ЖИДКОСТЯХ

В этой главе приведена характеристика тех методов, которые позволяют изучать кинетику и механизмы теплового движения жидкостей (в основном, неметаллов), а также ряда методов, дающих сведения, необходимые при теоретическом анализе кинетических исследований теплового движения. Некоторое представление о возможностях других кинетических методов, применяемых для изучения быстрых реакций, дает табл. 2, заимствованная из книги Е. Колдина с небольшими уточнениями и дополнениями. Описание не вошедших в эту главу экспериментальных методов исследования быстрых реакций имеется в кн. [16, 17].

§ 9. ДИЭЛЕКТРИЧЕСКАЯ РАДИОСПЕКТРОСКОПИЯ ЖИДКОСТЕЙ

Диэлектрическая радиоспектроскопия жидкостей изучает комплексную диэлектрическую проницаемость ϵ^* жидких диэлектриков в области частот радиоволн от 0 до $\simeq 10^{11}$ Гц:

$$\epsilon^* = \epsilon' + i\epsilon'', \quad (IV.1)$$

где ϵ' — действительная часть комплексной диэлектрической проницаемости; ϵ'' — коэффициент диэлектрических потерь (в учебном пособии будут использованы принятые в литературе сокращенные наименования этих величин: ϵ' — диэлектрическая проницаемость; ϵ'' — диэлектрические потери).

ϵ' и ϵ'' зависят от частоты ν радиоволн. При частоте, равной нулю, т. е. в постоянном поле, $\epsilon'' = 0$ и ϵ' равно статической диэлектрической проницаемости ϵ_s .

Экспериментальные методы диэлектрической радиоспектроскопии описаны в [18, 19, 22, 24]; теоретические основы излагаются в [20—23]. Здесь будут описаны физические принципы, на которых базируются методы диэлектрической радиоспектроскопии изотропных жидкостей. Приложения этих методов будут обсуждаться во второй части книги.

На изотропный жидкий диэлектрик, находящийся при заданной температуре T и внешнем давлении P , действует электрическое поле $\vec{\mathcal{E}}_0$. Это поле может быть постоянным или переменным. Поле $\vec{\mathcal{E}}_0$ должно быть слабым, т. е. таким, чтобы диэлектрическая проницаемость ϵ' и диэлектрические потери ϵ'' не зависели от напряженности $\vec{\mathcal{E}}_0$ внешнего поля. Напомним, что диэлектрики, это вещества, проводимость которых не превышает 10^{-8} Ом $^{-1}$ ·см $^{-1}$. Можно изучать вещества, проводимость которых несколько выше. Но следует иметь в виду, что теоретические основы методов диэлектрической спектроскопии, как правило,

Таблица 2

Характеристика методов исследования быстрых и сверхбыстрых реакций (все цифровые значения дают порядок величины; $t_{1/2}$ — периоды полупревращения реакций 1-го порядка; k — константа скорости реакций второго порядка)

Метод	интервал наблюдаемых $t_{1/2}$, с	интервал наблю- даемых k , л/моль·с
	10^{-2} 10^{-4} 10^{-6} 10^{-8} 10^{-10} 10^{-12}	10^2 10^4 10^6 10^8 10^{10}
Низких концентраций		
Низких температур		
Измерение константы равновесия и скорости обратной реакции		
Конкурентный		
Теплового максимума	—	—
Остановки реакции	—	—
Струевой	—	—
Температурного скачка	—	—
Скачка давления	—	—
Флеш-метод	—	—
Флуоресцентный	—	—
Электрохимический	—	—
ЭПР	—	—
ЯМР	—	—
Диэлектрическая радиоспектроскопия		
Акустическая спектроскопия	—	—
Релеевская спектроскопия	—	—
Пикосекундная спектроскопия	—	—

базируются на предположениях, что свободных зарядов в жидкой фазе нет и при наложении внешнего поля ток проводимости не возникает.

Магнитную проницаемость μ диэлектриков с точностью, достаточной для задач диэлектрической радиоспектроскопии, можно принять равной единице. Для неферромагнитных тел отклонения μ от 1 не превышают 10^{-4} — 10^{-6} . Магнитное поглощение будем считать отсутствующим.

Диэлектрическая проницаемость и диэлектрические потери связаны со скоростью распространения c и коэффициентом поглощения радиоволн в диэлектрике. Рассмотрим однородный изотропный жидкий диэлектрик, заполняющий некоторую достаточно большую область пространства. Местонахождение элементов объема в диэлектрике определяется с помощью лабораторной системы координат X, Y, Z . Пусть в положительном направлении оси X распространяются плоские синусоидальные волны, частота которых в герцах $\nu = \omega/2\pi$. В условиях, когда среда не содержит свободных электрических зарядов и тока проводимости нет, электрический вектор указанных плоских волн $\vec{\mathcal{E}}_y$ колеблется в направлении оси Y . Диэлектрик поглощает энергию электромагнитных волн, поэтому амплитуда колебаний электрического вектора \mathcal{E}_{0Y} с ростом X затухает, следуя соотношению

$$\mathcal{E}_{0Y} = \mathcal{E}_{00Y} e^{-\alpha X}, \quad (\text{IV.2})$$

где α — коэффициент поглощения; \mathcal{E}_{00Y} — амплитуда в начале координат, где $X = 0$. Из теории распространения электромагнитных волн следует, что скорость распространения c и коэффициент поглощения α плоских электромагнитных волн в указанных условиях связаны с ϵ' и ϵ'' следующими соотношениями:

$$c = c_0 \left[\frac{1}{2} \epsilon' \left(\sqrt{1 + \left(\frac{\epsilon''}{\epsilon'} \right)^2} + 1 \right) \right]^{-1/2}; \quad (\text{IV.3})$$

$$\alpha = \frac{\omega}{c_0} \left[\frac{1}{2} \epsilon' \left(\sqrt{1 + \left(\frac{\epsilon''}{\epsilon'} \right)^2} - 1 \right) \right]^{1/2}, \quad (\text{IV.4})$$

где c_0 — скорость света в вакууме; отношение ϵ''/ϵ' в радиотехнике называют тангенсом угла диэлектрических потерь, $\text{tg} \delta$:

$$\text{tg} \delta = \epsilon''/\epsilon'. \quad (\text{IV.5})$$

Скорость c и коэффициент поглощения α электромагнитных волн взаимосвязаны: Это показывают уравнения (3) и (4). Точно так же нельзя считать независимыми друг от друга диэлектрическую проницаемость ϵ' и диэлектрические потери ϵ'' (см. с. 59).

Поляризация \mathcal{P} и электрическая индукция \vec{D} . Если на диэлектрик действует внешнее электрическое поле $\vec{\mathcal{E}}_0$, то диэлектрик поляризуется.

Во-первых, внешнее поле влияет на движение электронов и атомных ядер так, что во всех молекулах возникают индуцированные электрические моменты. Принято говорить, что происходит электронная и атомная поляризация молекул. Формирование электронной поляризации происходит за промежуток времени порядка $10^{-14} - 10^{-15}$ с. Атомная поляризация создается несколько медленнее, за $\sim 10^{-12} - 10^{-13}$ с.

Во-вторых, когда в диэлектрике присутствуют полярные молекулы, т. е. такие, которые имеют постоянный электрический момент \vec{p} , то при наложении внешнего поля кроме электронной и атомной поляризации возникает дипольная поляризация. В отсутствие внешнего электрического поля в изотропных жидкостях любая ориентация какой-либо мо-

лекулы по отношению к лабораторной системе координат равновероятна. При наложении внешнего поля не все ориентации полярных молекул равновероятны. Возрастает вероятность таких ориентаций, когда дипольный момент молекулы направлен по полю. Уменьшается вероятность ориентаций дипольных моментов против поля. Если напряженность внешнего поля составляет величину порядка 1 В/см или менее, доля полярных молекул, дипольные моменты которых ориентированы по полю, мала. Она составляет около одной миллионной доли всех молекул жидкости. Даже при напряженности поля 100 000 В/см по полю ориентируется всего лишь около 2% диполей. Поэтому в слабых полях свойства жидкостей практически не меняются.

Подчеркнем, что вращение молекул обусловлено тепловым движением. Поле лишь незначительно изменяет вероятности поворота диполей из одного положения равновесия в другое. Так как число молекул в единице объема жидкости очень велико, то даже малые изменения вероятностей поворота диполей приводят к заметной поляризации диэлектрика.

Состояние поляризованного диэлектрика принято описывать с помощью вектора напряженности среднего макроскопического поля \vec{E} в диэлектрике, вектора электрической поляризации диэлектрика \vec{P} и вектора электрической индукции \vec{D} . В изотропных диэлектриках \vec{E} , \vec{D} и \vec{P} равнонаправлены. Они связаны друг с другом линейной зависимостью*

$$\vec{D} = \vec{E} + 4\pi\vec{P}. \quad (IV.6)$$

Эта зависимость сохраняет силу для постоянных и переменных полей. Таким образом, для описания электрического поля в диэлектрике достаточно двух величин: \vec{D} и \vec{E} , \vec{D} и \vec{P} или \vec{E} и \vec{P} .

Поляризация \vec{P} есть электрический дипольный момент единицы объема диэлектрика.

В постоянном, т. е. не зависящем от времени, поле связь между \vec{D} и \vec{E} имеет вид

$$\vec{D} = \epsilon_s \vec{E}. \quad (IV.8)$$

* Как и в кн. [1], здесь и далее для электрических величин приведены соотношения, принятые в системе СГС. В системе СИ уравнение (IV.6) имеет следующий вид:

$$\vec{D} = \epsilon_0 \vec{E} + \vec{P}, \quad (IV.7)$$

где ϵ_0 — электрическая постоянная: $\epsilon_0 = \frac{10^7}{4\pi c_0^2} \simeq 8,854 \cdot 10^{-12} \text{Ф/м}$. Так как ϵ_0 размерная постоянная, то в системе СИ векторы \vec{D} и \vec{E} имеют разную размерность, что противоречит основам теории электричества. Поляризация \vec{P} и поляризуемость α в системе СИ в 4 л раз больше, чем в системе СГС. Критика системы СИ для электрических и магнитных величин имеется в кн.: Д. В. Сивухин. Общий курс физики. М., Наука, 1977, т. III. § 85.

Переменное, т. е. зависящее от времени, поле может быть представлено в виде совокупности монохроматических волн, у которых зависимость \vec{E} от времени имеет вид

$$\vec{E} = \vec{E}_0 e^{-i\omega t}. \quad (IV.9)$$

Для полей, следующих уравнению (IV.9), связь между \vec{D} и \vec{E} выражается вещественной частью равенства

$$\vec{D} = \epsilon^*(\omega) \vec{E}, \quad (IV.10)$$

где $\epsilon^*(\omega)$ — комплексная диэлектрическая проницаемость.

Другими словами, электромагнитная индукция описывается соотношением

$$D = D_1 \cos \omega t + D_2 \sin \omega t, \quad (IV.11)$$

где $D_1 = \epsilon' E_0$ и $D_2 = \epsilon'' E_0$.

При теоретическом анализе экспериментальных данных, получаемых методами диэлектрической радиоспектроскопии, необходимо располагать сведениями о поляризуемостях и электрических моментах диполей молекул.

Поляризуемость. Для однокомпонентных неполярных жидкостей имеет место формула Клаузиуса — Мосотти

$$\frac{\epsilon_s - 1}{\epsilon_s + 2} \frac{M}{\rho} = \frac{4\pi N_A \langle \alpha \rangle}{3}, \quad (IV.12)$$

где ϵ_s — статическая диэлектрическая проницаемость; $\langle \alpha \rangle$ — средняя статистическая поляризуемость одной молекулы жидкости; ρ — плотность; M — молярная масса; N_A — постоянная Авогадро. $\langle \alpha \rangle$ слабо зависит от температуры и давления и, как правило, отличается от средней поляризуемости α одной изолированной молекулы. Средние поляризуемости α изолированных молекул более или менее точно определяются по данным об ϵ_s соответствующих разреженных газов. К сожалению, такие измерения пока что выполнены для небольшого числа веществ. Приводимые в справочниках средние поляризуемости молекул нередко представляют собой данные об $\langle \alpha \rangle$, найденные с помощью уравнения (IV.12) на основании измерений ϵ_s и ρ неполярных жидкостей.

К полярным жидкостям уравнение (IV.12) неприменимо. В этих случаях пользуются уравнением Лоренца—Лоренца

$$\frac{n_\infty^2 - 1}{n_\infty^2 + 2} \frac{M}{\rho} = 4\pi \frac{N_A \langle \alpha \rangle}{3}, \quad (IV.13)$$

где n_∞ — результат экстраполяции показателя преломления однокомпонентной жидкости для оптического и инфракрасного диапазона длин волн в область бесконечно больших длин волн $\lambda \rightarrow \infty$. Способы экстраполяции описаны в кн. [25]. Если экспериментальные данные, позволяющие определить n_∞ , отсутствуют, то можно приближенно принять для жидкостей, состоящих из не имеющих внутреннего вращения

молекул, $n_{\infty}^2 \simeq 1,05 n_D^2$. Для жидкостей, состоящих из молекул, имеющих поворотные изомеры, $n_{\infty}^2 \approx 1,1 n_D^2$.

Отличия средней статистической поляризуемости $\langle \alpha \rangle$ молекул в жидкостях от средней поляризуемости α изолированных молекул помимо неточностей, связанных со способами определения этой величины, объясняются следующими причинами.

Неполярные молекулы однокомпонентных жидкостей могут образовывать ассоциаты, имеющие небольшой электрический момент диполя. Таковы, например, ассоциаты бензола или четыреххлористого углерода [26], а также ассоциаты алканов [26, 27]. При наложении внешнего поля это приводит к возникновению дипольной поляризации, завышению величины ϵ_s , а следовательно, и средней поляризуемости молекул.

Как уже говорилось, молекулы в жидких фазах, обычно, входят в состав ассоциатов и комплексов. При образовании сильных или слабых химических связей происходит перераспределение электронной плотности, которое не только влияет на величину электрического момента диполя, но и на среднюю статистическую поляризуемость $\langle \alpha \rangle$. Влияние сильных химических связей на $\langle \alpha \rangle$ исследуется давно, а слабых мало изучено, так как их роль невелика.

Средняя поляризуемость молекул $\langle \alpha \rangle$ состоит из электронной поляризуемости $\alpha_{эл}$ и атомной поляризуемости $\alpha_{ат}$:

$$\langle \alpha \rangle = \alpha_{эл} + \alpha_{ат}. \quad (IV.14)$$

Атомная поляризуемость молекул во многих случаях имеет величину порядка 5—10% от электронной поляризуемости, но может быть и большей.

Электрический момент диполя (дипольный момент) молекул. Методы измерения дипольных моментов молекул в основном связаны с изучением дипольной поляризации вещества во внешнем электрическом поле. Надо различать дипольный момент изолированных молекул, так называемый «вакуумный дипольный момент» \vec{p}_v , и дипольный момент \vec{p} молекул, взаимодействующих с окружающей средой. Наиболее достоверные сведения о величинах вакуумного дипольного момента молекул \vec{p}_v получают при изучении достаточно разреженных газов, когда влиянием межмолекулярных взаимодействий можно пренебречь. Но значительно чаще величины \vec{p}_v полярных молекул находят с помощью измерений диэлектрической проницаемости разбавленных растворов полярных веществ в неполярных растворителях. Техника этих измерений проще, чем в случае разреженных паров. Кроме того, многие вещества при комнатной температуре практически не летучи, а при нагревании разлагаются и, следовательно, измерения диэлектрической проницаемости паров невыполнимы.

При анализе экспериментальных данных о диэлектрической проницаемости разбавленных растворов необходимо иметь в виду влияние окружающей среды. Если это влияние ограничивается поляризацией молекулы под действием реактивного поля R , то внутренний дипольный

момент молекулы в жидкости, имеющей диэлектрическую проницаемость ϵ_s , определяется соотношением

$$\vec{p}_i = \vec{p}_v + \alpha \vec{R} = \frac{2\epsilon_s + 1}{2\epsilon_s + \epsilon_\infty} \frac{\epsilon_\infty + 2}{3} \vec{p}_v, \quad (\text{IV.15})$$

где $\epsilon_\infty \simeq n_\infty^2$ (подробнее см. [1] гл. II). Так, например, для разбавленного раствора воды в *n*-гексане при 25° С $\epsilon_s \simeq 2,0$; $\epsilon_\infty \simeq 2,0$; $\vec{p}_i \simeq \frac{10}{9} \vec{p}_v$.

В действительности, кроме реактивного взаимодействия происходит ассоциация и комплексообразование. Когда комплексы с участием растворенных молекул обусловлены слабыми химическими силами, изменения дипольного момента растворенных молекул обычно невелики. Эти изменения в настоящее время не поддаются расчету. Они могут быть определены лишь экспериментально. Затем, как уже отмечалось, следует иметь в виду, что неполярные растворители на самом деле состоят из слабо полярных ассоциатов. Пренебрежение этим при расчетах вакуумного дипольного момента молекул растворенного вещества также может быть источником ошибок. По этим причинам значения \vec{p}_v , найденные с помощью измерений свойств разбавленных растворов, как правило, зависят от выбора растворителя и нередко существенно отличаются от величин \vec{p}_v , установленных для газов.

Так, например, вакуумный дипольный момент молекул воды, определенный по данным о диэлектрической проницаемости паров, составляет $6,13 \pm 0,026 \cdot 10^{-12}$ Кл·м ($1,84 \pm 0,008 D$); измерения с помощью эффекта Штарка дают $6,15 \pm 0,017 \cdot 10^{-12}$ Кл·м ($1,846 \pm 0,005 D$); измерения разбавленных растворов воды в бензоле приводят к значению $5,7 \pm 0,2 \cdot 10^{-12}$ Кл·м и т. д. Величины \vec{p}_v , полученные для одних и тех же растворителей разными исследователями, нередко существенно различаются (см. [28]).

Постоянное поле. Однокомпонентные жидкости. Статическая диэлектрическая проницаемость неполярных жидкостей следует уравнению Клаузиуса — Мосотти (IV.12). Величина $\langle \alpha \rangle$ очень слабо зависит от структуры жидкостей. По этой причине статическая диэлектрическая проницаемость неполярных жидкостей непосредственно не дает информации о строении жидких фаз.

В случае полярных жидкостей статическая диэлектрическая проницаемость следует соотношению

$$\epsilon_s - n_\infty^2 = 4\pi \frac{\epsilon_s}{2\epsilon_s + n_\infty^2} \left(\frac{n_\infty^2 + 2}{3} \right)^2 \frac{N_A}{V_M k_B T} \langle p_v^2 \rangle, \quad (\text{IV.16})$$

где V_M — молярный объем жидкости; $\langle p_v^2 \rangle$ — среднее статистическое квадрата вакуумного дипольного момента одной молекулы жидкости. Величина $\langle p_v^2 \rangle$ определяется строением жидкости. Пусть в объеме V_M однокомпонентной жидкости при заданной температуре T и давлении P имеется N_1 неассоциированных молекул, N_2 , N_3 , ..., N_p , ... ассоциатов, различающихся числом или взаимным расположением молекул, или и тем, и другим. Например, если существуют димеры, име-

ющие разную структуру, такую, что их дипольные моменты неодинаковы, то этим димерам в указанных выше обозначениях будут соответствовать разные индексы. Пусть $\vec{p}_{v1}, \vec{p}_{v2}, \dots, \vec{p}_{vp}, \dots$ обозначают вакуумные дипольные моменты мономеров и ассоциатов вида 2, 3, ..., p, \dots . Тогда можно показать, что

$$\langle p_v^2 \rangle = \sum_{p \geq 1} \frac{N_p}{N_A} p_{vp}^2. \quad (\text{IV.17})$$

Дипольный момент \vec{p}_{vp} ассоциата, имеющего индекс p , зависит от строения этого ассоциата, т. е. от числа и взаимного расположения мономерных звеньев в молекулах ассоциата. Величина $\langle p_v^2 \rangle$ зависит от дипольных моментов \vec{p}_{vp} и относительных концентраций ассоциатов N_p/N_A .

Постоянное поле. Растворы. Разбавленные растворы полярного компонента «2» в неполярном растворителе «1» подчиняются уравнению

$$\varepsilon_s - n_\infty^2 = \frac{4\pi p_{vII}^2 N_{0II}}{3k_B T} \left[\frac{\varepsilon_{sI}(n_\infty^2 + 2)}{2\varepsilon_{sI} + n_\infty^2} \right]^2, \quad (\text{IV.18})$$

где ε_s — статическая диэлектрическая проницаемость раствора; N_{0II} — число молекул растворенного вещества в единице объема раствора; p_{vII} — вакуумный дипольный момент молекул растворенного вещества; ε_{sI} — статическая диэлектрическая проницаемость растворителя; n_∞ — показатель преломления чистого жидкого растворенного вещества, экстраполированный в область длин волн $\lambda \rightarrow \infty$. Уравнение (IV.18) получено при допущении, что раствор разбавлен настолько, что ассоциаты молекул растворенного вещества отсутствуют.

Для многокомпонентных растворов, содержащих в единице объема N_{01}, \dots, N_{0k} молекул компонентов 1, ..., k ,

$$\varepsilon_s - 1 = \frac{4\pi\varepsilon_s}{2\varepsilon_s + 1} \frac{1}{k_B T} \sum_{\kappa \geq 1} \langle p_{v\kappa}^2 \rangle \left(\frac{n_{\infty\kappa}^2 + 2}{3} \right)^2 N_{0\kappa}, \quad (\text{IV.19})$$

где ε_s — относительная статическая диэлектрическая проницаемость раствора; $n_{\infty\kappa}$ — показатель преломления чистого жидкого компонента k , экстраполированный в область длин волн $\lambda \rightarrow \infty$; $\langle p_{v\kappa}^2 \rangle$ — среднее статистическое квадрата дипольного момента мономерных молекул компонента k ;

$$\langle p_{v\kappa}^2 \rangle = \sum_{p \geq 1} \frac{N_{0\kappa p}}{N_{0\kappa}} p_{v\kappa p}^2, \quad (\text{IV.20})$$

где $N_{0\kappa p}$ — число молекул ассоциата или комплекса вида p в единице объема, содержащего одну или более молекул сорта k ; $\vec{p}_{v\kappa p}$ — вакуумный дипольный момент ассоциата или комплекса вида p , обусловленный молекулами сорта k .

Если в ассоциате или комплексе вида p нет молекул сорта k , то дипольный момент $\vec{p}_{вкр}$ и член, соответствующий этому ассоциату или комплексу в сумме (IV. 20), отсутствуют.

Уравнение (IV.19) не учитывает неоднородности растворов, обусловленной флуктуациями концентрации [22]. Если флуктуации концентрации в растворе сильно развиты, т. е. имеют место большие положительные отклонения свойств раствора от идеальности, то в различных малых элементах объема локальная диэлектрическая проницаемость может быть неодинаковой. Локальная диэлектрическая проницаемость каждого из элементов объема колеблется вокруг некоторого среднего значения $\overline{\epsilon_d}$, одинакового для всех элементов объема раствора. $\overline{\epsilon_d}$ — это диэлектрическая проницаемость раствора при допущении, что в нем флуктуации отсутствуют, т. е. свойства раствора во всем объеме совпадают с их средними локальными значениями. Это одно из допущений, на котором основан вывод уравнения (IV.20).

Диэлектрическая проницаемость раствора в целом может отличаться от средней локальной диэлектрической проницаемости. В кн. [22] автором рассмотрены поправки, учитывающие влияние флуктуаций концентрации при условии, что раствор не содержит ассоциатов и комплексов. В действительности указанное условие не выполняется, поэтому величины поправок, которые следовало бы вводить при вычислениях диэлектрической проницаемости растворов с положительными отклонениями от идеальности, нуждаются в уточнениях.

Жидкости, содержащие полярные молекулы. Переменные поля. Как показывает опыт, комплексная диэлектрическая проницаемость жидкостей, содержащих полярные молекулы, в переменных электромагнитных полях радиочастотного диапазона зависит от частоты. Действительная часть диэлектрической проницаемости жидкостей ϵ' в диапазоне радиочастот от 0 до 10^{11} Гц уменьшается с ростом частоты; диэлектрические потери ϵ'' проходят через максимум. В простейшем случае частотная зависимость ϵ^* следует уравнению с одним временем релаксации:

$$\epsilon^* = \epsilon_\infty + \frac{\epsilon_s - \epsilon_\infty}{1 + i\omega\tau_{PT}}, \quad (\text{IV. 21})$$

где ϵ_∞ — вклад в ϵ' , обусловленный электронной и атомной поляризацией; τ_{PT} — время релаксации. Величину, обратную времени релаксации τ_{PT}^{-1} , называют «релаксационной частотой» или «частотой релаксации». Разность $\epsilon_s - \epsilon_\infty$ есть релаксационная сила, она характеризует влияние релаксационного процесса на диэлектрическую проницаемость жидкости.

Физический смысл уравнения (IV.21) сводится к следующему. Из соотношений (IV.6) и (IV.7) вытекает, что поляризация $\vec{\mathcal{P}}$ жидкости равна:

$$\vec{\mathcal{P}} = \frac{(\epsilon^* - 1)}{4\pi} \vec{\mathcal{E}} = \frac{(\epsilon^* - \epsilon_\infty)}{4\pi} \vec{\mathcal{E}} + \frac{(\epsilon_\infty - 1)}{4\pi} \vec{\mathcal{E}} = \vec{\mathcal{P}}_d + \vec{\mathcal{P}}_{ea}, \quad (\text{IV. 22})$$

где дипольная поляризация $\mathcal{P}_d = (\epsilon^* - \epsilon_\infty)\mathcal{E}/4\pi$, электронная и атомная поляризация $\vec{\mathcal{P}}_{ea} = \frac{(\epsilon_\infty - 1)\vec{\mathcal{E}}}{4\pi}$. Отношение модулей векторов $\vec{\mathcal{P}}_d$ и $\vec{\mathcal{E}}$ равно:

$$\mathcal{P}_d/\mathcal{E} = (\epsilon^*(\omega) - \epsilon_\infty)/4\pi. \quad (\text{IV.23})$$

Это отношение характеризует величину дипольной поляризации, возникающей в единице объема изотропной жидкости, когда напряженность среднего макроскопического поля равна единице.

Если жидкость состоит из полярных молекул, то разность $\epsilon^* - \epsilon_\infty$ определяется строением жидкости, как это следует из уравнения (IV.16). Если полярных молекул в жидкой фазе нет, дипольная поляризация равна нулю и $\epsilon^* = \epsilon_\infty$. С

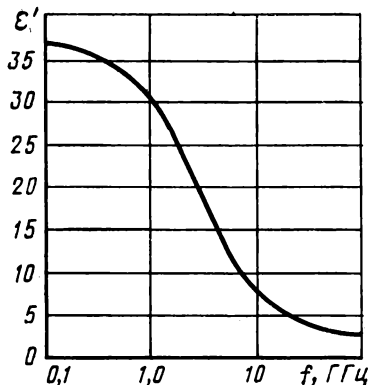


Рис. 7. Зависимость действительной части диэлектрической проницаемости ϵ' от $\lg f$ радиоволн в простейшем случае, когда выполняется уравнение (IV.24)

ростом частоты переменного поля дипольная поляризация жидкости уменьшается. Для дипольной поляризации жидкости требуется некоторый промежуток времени. В переменном поле промежуток времени, за который жидкость может приобрести дипольную поляризацию, ограничивается периодом колебаний поля. При увеличении частоты период колебаний уменьшается, и дипольная поляризация не успевает устанавливаться. При достаточно высоких частотах дипольная поляризация исчезает. Уравнения (IV.21) и (IV.23) показывают, как уменьшается дипольная поляризация жидкости точнее отношение $\mathcal{P}_d/\mathcal{E}$ с ростом частоты поля.

Умножая числитель и знаменатель правой части равенства (IV.21) на $1 - i\omega\tau_{PT}$ и разделяя действительную и мнимую части комплексной диэлектрической проницаемости, получаем:

$$\frac{\epsilon' - \epsilon_\infty}{\epsilon_s - \epsilon_\infty} = \frac{1}{1 + \omega^2 \tau_{PT}^2}; \quad (\text{IV.24})$$

$$\frac{\epsilon''}{\epsilon_s - \epsilon_\infty} = \frac{\omega \tau_{PT}}{1 + \omega^2 \tau_{PT}^2}. \quad (\text{IV.25})$$

Из общей теории релаксационных процессов, которая будет изложена во второй части книги, следует, что уравнения (IV.21), (IV.24) и (IV.25) выполняются, когда в системе протекает только одна нормальная реакция. Реакция эта при наложении внешнего поля должна способствовать поляризации системы. Таковы, например, реакция ассоциации и комплексообразования с участием полярных молекул, реакции перераспределения ассоциатов, конформационные превращения,

сопровождающиеся изменением электрического момента диполя молекул. С другой стороны, процессы возбуждения внутримолекулярных колебаний — пример тех реакций, которые не способны вызывать поляризацию системы во внешнем поле и поэтому не обнаруживаются методами диэлектрической радиоспектроскопии.

Согласно уравнениям (IV.24) и (IV.25) при $\omega = 0$ $\epsilon' = \epsilon_s$ и $\epsilon'' = 0$; при $\omega\tau_{PT} \gg 1$ $\epsilon' \rightarrow \epsilon_\infty$, $\epsilon'' \rightarrow 0$. На рис. 7 и 8 изображены графики, описывающие зависимости ϵ' и ϵ'' нитробензола при 10°C от логарифма круговой частоты ω в интервале частот 0,1—100 ГГц согласно уравнениям (IV.24) и (IV.25). График диэлектрической проницаемости напоминает «ступеньку», график диэлектрических потерь показывает,

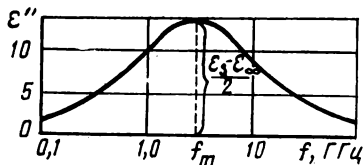


Рис. 8. Зависимость диэлектрических потерь ϵ'' от $\lg f$ радиоволн в простейшем случае, когда выполняется уравнение (IV.25) [24] ($f = \omega/2\pi$)

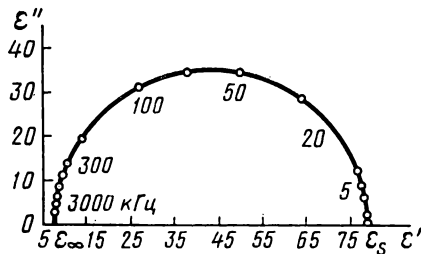


Рис. 9. Зависимость ϵ'' от ϵ' для этилового спирта при -143°C [24]

что в спектре диэлектрических потерь наблюдается полоса, максимум которой соответствует релаксационной частоте $2\pi f_m = \omega_m = \tau_{PT}^{-1}$. Ордината максимума равна $(\epsilon_s - \epsilon_\infty)/2$. Полуширина полосы $\Delta\omega_{1/2} = 2\sqrt{3}/\tau_{PT}$ — это ширина данной полосы при ординате, равной половине максимума, т. е. $(\epsilon_s - \epsilon_\infty)/4$.

Из уравнений (IV.24) и (IV.25) следует:

$$\epsilon''^2 = (\epsilon_s - \epsilon')(\epsilon' - \epsilon_\infty). \quad (\text{IV.26})$$

Преобразуя это уравнение, получаем:

$$\epsilon''^2 + \left(\epsilon_s - \epsilon' - \frac{\epsilon_s - \epsilon_\infty}{2} \right)^2 = \left(\frac{\epsilon_s - \epsilon_\infty}{2} \right)^2. \quad (\text{IV.27})$$

График зависимости ϵ'' от ϵ' , соответствующий уравнению (IV.27) или (IV.26), изображен на рис. 9. Он представляет полуокружность, центр которой лежит на оси абсцисс в точке $\epsilon' = (\epsilon_s + \epsilon_\infty)/2$. Радиус полуокружности равен $(\epsilon_s - \epsilon_\infty)/2$. Этот график — диаграмма комплексной диэлектрической проницаемости в простейшем случае, когда дисперсия ϵ^* описывается уравнением (IV.21). Уравнения (IV.21), (IV.24) и (IV.25) часто называют формулами Дебая, а график зависимости (рис. 9) — диаграммой Дебая.

В общем случае зависимость ϵ^* от частоты следует уравнению

$$\frac{\epsilon^* - \epsilon_\infty}{\epsilon_s - \epsilon_\infty} = \sum_{j \geq 1} \frac{b_{dj}}{1 + i\omega\tau_{PTj}}. \quad (\text{IV.28})$$

Это уравнение—одно из следствий теории быстрых реакций, рассматриваемой во второй части книги. Каждому члену суммы в правой части равенства (IV.28) соответствует простая область дисперсии комплексной диэлектрической проницаемости. Термин «простая область» означает, что в пределах точности эксперимента она описывается выражением

$$(\epsilon_s - \epsilon_\infty) \frac{b_{dj}}{1 + i\omega\tau_{PTj}}, \quad (\text{IV.29})$$

где b_{dj} и τ_{PTj} — параметры j -й простой области дисперсии, не зависящие от частоты; b_{dj} — относительная релаксационная сила; τ_{PTj} — время релаксации при заданных давлении P и температуре T .

Из теории следует, что каждой простой области дисперсии соответствует некоторая нормальная реакция, активная в диэлектрическом спектре, т. е. содействующая дипольной поляризации системы при наложении внешнего поля.

Относительная релаксационная сила b_{dj} — безразмерная величина — число, характеризующее долю, вносимую j -й нормальной реакцией в комплексную диэлектрическую проницаемость. Относительная релаксационная сила b_{dj} больше нуля, если соответствующая нормальная реакция вносит вклад в дипольную поляризацию жидкости, возникающую при наложении внешнего поля. Величины b_{dj} удовлетворяют соотношению

$$\sum_{j \geq 1} b_{dj} = 1. \quad (\text{IV.30})$$

Относительная релаксационная сила b_{dj} , умноженная на разность $\epsilon_s - \epsilon_\infty$, дает абсолютную величину релаксационной силы j -й простой области дисперсии. Релаксационная сила $b_{dj} (\epsilon_s - \epsilon_\infty)$ определяет вклад j -й нормальной реакции в диэлектрическую проницаемость системы. Эту величину часто выражают в следующей форме:

$$b_{dj} (\epsilon_s - \epsilon_\infty) = \epsilon_{js} - \epsilon_{j\infty}. \quad (\text{IV.31})$$

Тогда уравнение (IV.28) принимает следующий вид:

$$\epsilon^* (\omega) - \epsilon_\infty = \sum_{j \geq 1} \frac{\epsilon_{js} - \epsilon_{j\infty}}{1 + i\omega\tau_{PTj}}, \quad (\text{IV.32})$$

причем $\epsilon_{js} = \epsilon_{j-1,\infty}$; $\epsilon_{j\infty} = \epsilon_{j+1,s}$ (см. § 43).

Здесь $\epsilon_{js} - \epsilon_{j\infty}$ представляет собой вклад в статическую диэлектрическую проницаемость, которую имела бы система, если бы в жидкой фазе протекала лишь j -я нормальная реакция, влияющая на дипольную поляризацию жидкости при наложении внешнего поля. Разность $\epsilon_{js} - \epsilon_{j\infty}$ связана с концентрациями и электрическими дипольными

моментами ассоциатов и комплексов, участвующих в j -й нормальной реакции, что вытекает из уравнения (IV.16) (см. § 35).

Умножая и деля каждый из членов суммы в (IV.32) на $1 - i\omega\tau_{PTj}$, получаем:

$$\frac{\epsilon' - \epsilon_\infty}{\epsilon_s - \epsilon_\infty} = \sum_{j \geq 1} \frac{b_{dj}}{1 + \omega^2 \tau_{PTj}^2}; \quad (IV.33)$$

$$\frac{\epsilon''}{\epsilon_s - \epsilon_\infty} = \sum_{j \geq 1} \frac{b_{dj} \omega \tau_{PTj}}{1 + \omega^2 \tau_{PTj}^2}. \quad (IV.34)$$

Каждой простой области дисперсии ϵ' на графике зависимости ϵ от частоты соответствует простая «ступенька», аналогичная той, кото-
рая изображена на рис. 8. Высота j -й ступеньки определяется относи

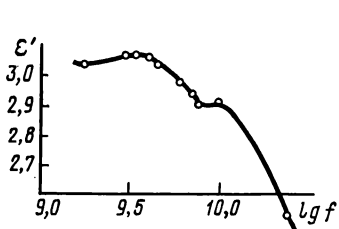


Рис. 10. График двух областей дисперсии ϵ' ; метиловый эфир пальмитиновой кислоты; 31° С [24]

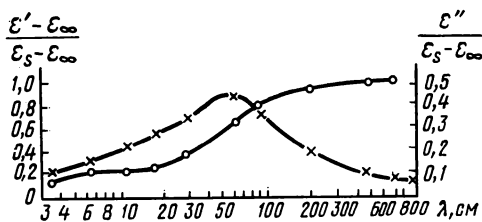


Рис. 11. График зависимости ϵ' и ϵ'' от длины волны λ , когда простые области дисперсии имеют близкие времена релаксации; бензиловый спирт при $t = 19^\circ \text{C}$ [24]

тельной релаксационной силой b_{dj} ; она равна $b_{dj} (\epsilon_s - \epsilon_\infty)$. Положение j -й «простой ступеньки» зависит от времени релаксации τ_{PTj} ; точка перегиба соответствует релаксационной частоте

$$\omega_{mj} = \tau_{PTj}^{-1}. \quad (IV.35)$$

Таким образом, с ростом частоты ϵ' постепенно уменьшается от величины ϵ_s до ϵ_∞ . В тех случаях, когда времена релаксации τ_{PTj} отличаются друг от друга в 10 раз или более, кривая, описывающая зависимость ϵ' от частоты, имеет ряд «ступенек», как показано на рис. 10. Если времена релаксации различаются в меньшее число раз, «простые ступеньки» сливаются и график принимает форму кривой, полого ниспадающей с ростом частоты к величине ϵ_∞ (рис. 11). Могут быть такие случаи, когда «ступеньки» на графике, изображающем зависимость ϵ' от частоты, не четко выражены и не описываются одним членом суммы в уравнении (IV.33). Такие «ступеньки» состоят из двух или большего числа «простых ступенек», налагающихся друг на друга.

На рис. 12 каждой простой области дисперсии соответствует простая полоса поглощения, контур которой описывается выражением

$$(\epsilon_s - \epsilon_\infty) \frac{b_{dj} \omega \tau_{PTj}}{1 + \omega^2 \tau_{PTj}^2}. \quad (IV.36)$$

Абсцисса максимума j -й простой полосы равна релаксационной частоте $\omega_{mj} = \tau_{PTj}^{-1}$; ордината максимума равна $(\epsilon_s - \epsilon_\infty) b_{dj}/2$, полуширина $\Delta\omega_{j1/2} = 2\sqrt{3}/\tau_{PTj}$. Когда времена релаксации различаются в 10 раз или более, график зависимости ϵ'' от частоты состоит из ряда полос, максимумы которых разделяются. Если различие между временами релаксации не так велико, несколько полос или все они сливаются в одну широкую полосу диэлектрических потерь, имеющую пологий максимум.

Когда дисперсия диэлектрической проницаемости описывается несколькими временами релаксаций и релаксационными силами, принято говорить о «спектре» времен релаксации и релаксационных сил.

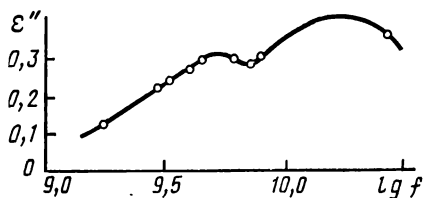


Рис. 12. График двух полос поглощения ϵ'' ; метиловый эфир пальмитиновой кислоты при $t = 31^\circ \text{C}$ [24]

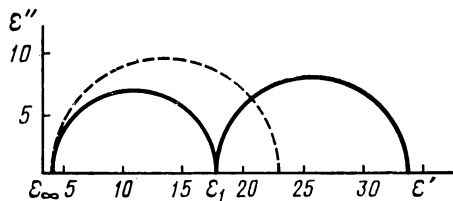


Рис. 13. Диаграмма комплексной диэлектрической проницаемости для случая, когда наблюдаются две простые области дисперсии [24]:

пунктир — жидкий аммиак при $t = 40^\circ \text{C}$;
сплошные линии — раствор 0,5 м. д. натрия в аммиаке

Встречаются случаи (например, некоторые растворы полимеров, когда спектр времен релаксации непрерывен, и релаксационные силы можно выразить в виде функции времен релаксации τ . Тогда суммирование в уравнениях (IV.33) и (IV.34) заменяется интегрированием:

$$\frac{\epsilon' - \epsilon_\infty}{\epsilon_s - \epsilon_\infty} = \int \frac{b(\tau) d\tau}{1 + \omega^2 \tau^2}; \quad (\text{IV.37})$$

$$\frac{\epsilon''}{\epsilon_s - \epsilon_\infty} = \int \frac{b(\tau) \omega \tau d\tau}{1 + \omega^2 \tau^2}. \quad (\text{IV.38})$$

Теперь надо сказать о диаграмме комплексной диэлектрической проницаемости, изображающей ϵ'' как функцию ϵ' . Если частотная зависимость диэлектрической проницаемости такова, что наблюдаются две или большее число простых областей дисперсии, диаграмма комплексной диэлектрической проницаемости представляет собой ряд полуокружностей, число которых равно числу простых областей дисперсии (рис. 13).

Радиус каждой из полуокружностей определяется соответствующей релаксационной силой — он равен $(\epsilon_s - \epsilon_\infty) b_{dj}/2$, а место полуокружности на диаграмме зависит от величины времени релаксации τ_{PTj} . Крайняя справа полуокружность соответствует той простой области дисперсии диэлектрической проницаемости, которая имеет наибольшее

время релаксации. Крайняя слева полуокружность отвечает простой области дисперсии с наименьшим временем релаксации.

Положение полуокружности на диаграмме легко фиксировать, если времена релаксации соседних простых областей дисперсии различаются на порядок или более. Если же различие между временами релаксации соседних простых областей дисперсии невелико, то разделение простых областей дисперсии затруднено; ошибки при расчетах величин b_{dj} и τ_{PTj} возрастают [29].

В тех случаях, когда времена релаксации соседних простых областей дисперсии близки, форма диаграммы комплексной диэлектрической проницаемости определяется величинами релаксационных сил. Допустим, например, что для некоторой жидкости существует всего две про-

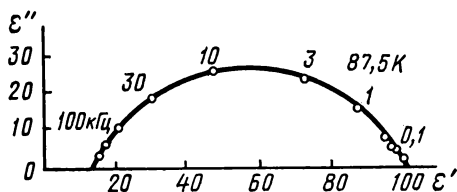


Рис. 14. Симметричная диаграмма комплексной диэлектрической проницаемости (диаграмма Коула — Коула); бромистый водород при 87,5 К [24]

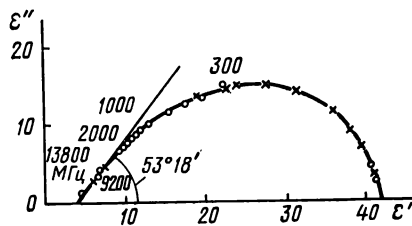


Рис. 15. Асимметричная диаграмма комплексной диэлектрической проницаемости (асимметричная дуга Дэвидсона — Коула); глицерин $t = 28^\circ \text{C}$ [24]

стые области дисперсии ϵ с мало отличающимися временами релаксации. Если релаксационные силы обеих простых областей приблизительно одинаковы, диаграмма комплексной диэлектрической проницаемости представляет собой симметричную дугу, центр которой лежит ниже оси абсцисс (рис. 14).

Подобного рода симметричные диаграммы получаются и при большем числе простых областей дисперсии, когда релаксационные силы соседних простых областей дисперсии близки по величине и убывают на краях диаграммы. Такие графики часто именуются диаграммами Коула — Коула, по имени исследователей, впервые описавших эти диаграммы с помощью эмпирического уравнения

$$\frac{\epsilon^* - \epsilon_\infty}{\epsilon_s - \epsilon_\infty} = \frac{1}{1 + (i\omega\tau)^{1-\alpha}}, \quad (\text{IV.39})$$

где τ и α — эмпирические параметры не зависящие от частоты.

Если релаксационная сила низкочастотной простой области дисперсии в несколько раз больше релаксационной силы соседней более высокочастотной области дисперсии, а времена релаксации по порядку величины близки, то диаграмма комплексной диэлектрической проницаемости напоминает «скошенную» дугу (рис. 15). Графики типа «скошенной» дуги принято называть диаграммами Дэвидсона — Коула, так как эти исследователи предложили эмпирическое уравнение

$$\frac{\epsilon^* - \epsilon_\infty}{\epsilon_s - \epsilon_\infty} = \frac{1}{(1 + i\omega\tau)^\beta}, \quad (\text{IV.40})$$

приближенно выражающее связь между ϵ'' и ϵ' . Здесь τ и β — не зависящие от частоты эмпирические параметры. При соответствующем отношении релаксационных сил и релаксационных частот диаграмма Дэвидсона — Коула может иметь место и для трех или сколь угодно большого числа простых областей дисперсии. Нужно лишь, чтобы релаксационная сила первой, т. е. низкочастотной области дисперсии, была существенно больше релаксационных сил других областей дисперсии и по мере продвижения к высоким частотам релаксационные силы простых областей дисперсии уменьшались.

При изменении температуры или давления отношение величин релаксационных сил может изменяться, поскольку они связаны с разными нормальными реакциями. Одни из релаксационных сил могут расти быстрее, а другие медленнее или даже убывать. Тогда форма диаграммы будет изменяться. Диаграмма Коула — Коула будет постепенно деформироваться в диаграмму Дэвидсона — Коула или наоборот, диаграмма Дэвидсона — Коула будет превращаться в диаграмму Коула — Коула или же приобретать какую-либо иную форму, совместимую с уравнением (IV. 32).

Подчеркнем еще раз, что уравнения Коула — Коула, Дэвидсона — Коула и другие такого рода соотношения, описывающие экспериментальные данные об ϵ' и ϵ'' , представляют собой не более чем сокращенный, условный, не имеющий теоретической базы, эмпирический способ характеристики результатов опыта. Для последовательного теоретического анализа данных диэлектрической радиоспектроскопии требуется расшифровка спектра на простые области дисперсии. Это может вызвать необходимость проведения дополнительных исследований. Если такие исследования выполнены, то сведения о релаксационных силах и временах релаксации дают богатую информацию о кинетике и механизме быстрых реакций в жидких фазах.

§ 10. АКУСТИЧЕСКАЯ СПЕКТРОСКОПИЯ ЖИДКОСТЕЙ

Экспериментальные методы акустической спектроскопии подробно описаны в [30, 31]. Теоретические основы акустической спектроскопии жидкостей излагаются в [32—34]. Здесь будет дан лишь краткий обзор понятий и представлений, на которых основываются методы акустической спектроскопии изотропных жидкостей.

Акустическая спектроскопия жидкостей исследует скорость и поглощение звука в жидкостях в зависимости от частоты звуковых колебаний. Лабораторные исследования акустических спектров жидкостей производятся в интервале частот* от $\simeq 20$ кГц до $\simeq 10$ ГГц. Скорость звука в жидкостях по порядку величины составляет обычно около 10^3 м.

* Н. Б. Лежневым в 1978 г. впервые выполнены прямые измерения поглощения звука в жидкостях на частоте $\simeq 10$ ГГц.

При частотах ниже 20 кГц длина звуковых волн $\Lambda \geq 5$ см. Для акустических измерений в области более низких частот при существующих методах измерений требуются очень большие объемы жидкости, что ограничивает круг объектов исследования.

Пусть c обозначает фазовую скорость распределения плоской продольной звуковой волны, частота которой в герцах $\nu = \omega/2\pi$. Продольная звуковая волна представляет собой распространяющиеся в среде, последовательно чередующиеся друг с другом сжатия и разрежения. Опыт показывает, что с повышением частоты звуковых колебаний скорость звука в жидкостях возрастает, приближаясь при очень высоких частотах к некоторой предельной величине c_∞ . При $\nu \rightarrow 0$ скорость звука стремится к значению c_0 . Таким образом, с изменением частоты наблюдается дисперсия скорости звука, как это представлено на рис. 16.

Примем, что P_r обозначает гидростатическое давление, а $\Delta P = P - P_r$ — избыточное давление, возникающее при распространении плоской продольной звуковой волны в изотропной жидкости. В области сжатия ΔP положительно, в областях разрежения ΔP отрицательно. Будем считать, что плоская звуковая волна распространяется в положительном направлении оси X лабораторной системы координат. Тогда изменение избыточного давления в зависимости от X и времени t следует уравнению

$$\Delta P = \Delta P_0 e^{-i(\omega t - k^* X)}, \quad (\text{IV.41})$$

где ΔP_0 — амплитуда давления в начале координат ($X = 0$); k^* — комплексный волновой вектор. Его направление совпадает с направлением звуковой волны, а комплексный модуль имеет вид

$$k^* = k' - ik'' = \frac{\omega}{c} - i\alpha_a \quad (\text{IV.42})$$

Действительная часть k^* равна $\frac{\omega}{c} = \frac{2\pi}{\Lambda}$, где Λ — длина волны; коэффициент при мнимой части α_a , есть амплитудный коэффициент поглощения продольной звуковой волны той изотропной среды, где она распространяется. Подстановка (IV.42) в (IV.41) показывает, что амплитуда плоской звуковой волны следует уравнению

$$\Delta P(X) = \Delta P_0 e^{-\alpha_a X}. \quad (\text{IV.43})$$

При прохождении волной расстояния, равного единице длины, амплитуда звуковых колебаний уменьшается в e раз.

Напомним, что продольные звуковые волны называются так потому, что частицы жидкости совершают колебания вперед и назад по направлению движения волны, в данном случае вдоль оси X . Здесь понятие «частица» имеет тот смысл, который фигурирует в физике сплошных сред. Кроме продольных звуковых волн в жидкостях могут быть поперечные звуковые волны, о которых далее будет сказано отдельно.

Сжатия и разрежения означают деформации жидкости. В теории сплошных сред доказывается, что такие деформации можно представить как сочетание сдвиговых деформаций и объемных деформаций. При сдвиговых деформациях происходит взаимное тангенциальное смеще-

ние соседних слоев жидкости. При объемных деформациях имеет место всестороннее сжатие или расширение элементов объема жидкости. Для создания деформации требуется затрата энергии — это основная причина поглощения звука. Часть коэффициента поглощения звука α_a , которая обусловлена сдвиговыми деформациями, пропорциональна коэффициенту сдвиговой вязкости η_s . Другая часть коэффициента поглощения звука, вызванная объемными деформациями, пропорциональна коэффициенту объемной вязкости η_v . Кроме того, между областями сжатия и расширения возникает разность температур, а это вызывает поток теплоты от более горячих элементов объема жидкости к более холодным. Разности температур малы и потоки теплоты незначительны. Но теплообмен, вызванный разностью температур, — процесс необра-

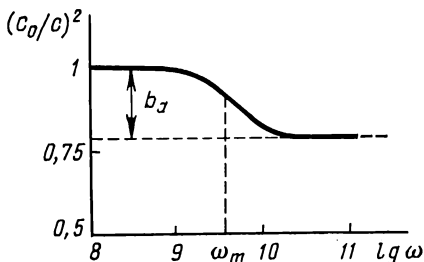


Рис. 16. Дисперсия скорости звука в жидком бензоле при 20°С:

$$b_a = 0,212; \quad \tau_{PS} = \frac{1}{\omega_m} = 2,7 \cdot 10^{-10} \text{ с [56]}$$

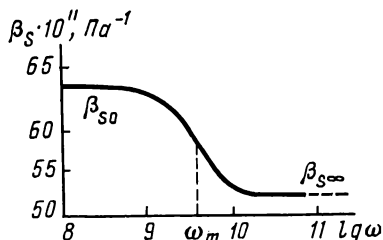


Рис. 17. Зависимость адиабатической сжимаемости бензола β_s от частоты звуковых колебаний при 20°С

тимый. Некоторая доля энергии звуковых волн, пропорциональная коэффициенту теплопроводности κ , расходуется на этот необратимый процесс. В итоге амплитудный коэффициент поглощения продольных звуковых волн связан с феноменологическими коэффициентами неравновесной термодинамики η_s , η_v и κ (теория сплошных сред — это часть неравновесной термодинамики) следующим соотношением:

$$\frac{\alpha_a}{\omega^2} = (2\rho c^3)^{-1} \left\{ \frac{4}{3} \eta_s + \eta_v + \kappa \left(\frac{1}{C_V} + \frac{1}{C_P} \right) \right\}, \quad (\text{IV.44})$$

где C_V и C_P — удельные теплоемкости при постоянстве объема V или давления P . Для жидких неметаллов при частотах до $\simeq 10^{10}$ Гц третий член в уравнении (IV.44), зависящий от теплопроводности, несуществен и им обычно пренебрегают.

Как уже говорилось, звуковая волна вызывает в жидкости сжатия и разрежения, т. е. локальные отклонения от термодинамического равновесия. Это не означает, что в областях сжатия и разрежения жидкая фаза теряет устойчивость. Локальное термодинамическое равновесие сохраняется, так как в акустической спектроскопии применяются звуковые волны малых амплитуд (см. часть вторую).

Приведем некоторые цифры, характеризующие процесс распространения звуковых волн при исследованиях методами акустической спект-

роскопии. Интенсивность звука, распространяющегося в жидкости, обычно не превышает $10^{-4} - 10^{-6}$ Вт/см². В этих условиях амплитуда колебательной скорости частиц жидкости $\omega A = \sqrt{2I/\rho c} = 10^{-1} - 10^{-2}$ см/с, если $c = 10^3$ м/с. При частоте $\nu = \omega/2\pi = 1$ МГц амплитуда смещения частиц от положения равновесия A составляет $2 \cdot 10^{-7} - 2 \cdot 10^{-8}$ см, а при частоте 1 ГГц величина A составляет всего около 10^{-11} см. Амплитуда деформации при частоте 1 МГц $\frac{\omega A}{c} = 6 \cdot 10^{-7} - 6 \cdot 10^{-8}$ см, а при частоте 1 ГГц $\simeq 6 \cdot 10^{-11}$. Амплитуда напряжения (давления) в жидкой фазе $\rho c \omega A$ при частоте 1 МГц равна $1,7 \cdot 10^3 - 1,7 \cdot 10^2$ Па (т.е. $1,7 \cdot 10^{-2} - 1,7 \cdot 10^{-3}$ атм); при 1 ГГц равна $1,7 \cdot 10^5$ Па (т.е. 1,7 атм.). Плотность энергии звука $I/c = 7 \cdot 10^{-9} - 7 \cdot 10^{-11}$ Дж/см³, т.е. не больше чем $10^{13} k_B T/\text{см}^3$ при 300 К. Разности температур между соседними областями сжатия и разрежения в указанных условиях при частоте 1 МГц по порядку величины равны $10^{-3} - 10^{-4}$ К; при частоте 1 ГГц составляют около 10^{-1} К. При частотах от 0 до $\simeq 10^{11}$ Гц, как следует из теории сплошных сред, сжатия и разрежения, возникающие при распространении звуковых волн, можно считать адиабатическими, т.е. происходящими без теплообмена с окружающими слоями среды. В таких условиях скорость звука следует уравнению Лапласа

$$\frac{k^2}{\omega^2} = \rho \beta_S, \quad (\text{IV.45})$$

где ρ — равновесная плотность жидкости, термодинамическое свойство, не зависящее от частоты звука; β_S — комплексная адиабатическая сжимаемость:

$$\beta_S = \beta'_S - i\beta''_S, \quad (\text{IV.46})$$

где индекс «S» обозначает отсутствие внешнего потока энтропии при определении адиабатической сжимаемости жидкостей, т.е. отсутствие теплообмена с окружающей средой в процессе сжатия жидкости. β_S зависит от частоты звука. Так как скорость звука с увеличением частоты растет, а плотность от частоты не зависит, то согласно уравнению Лапласа (IV.45) адиабатическая сжимаемость при повышении частоты уменьшается. Ее зависимость от частоты напоминает дисперсию действительной части диэлектрической проницаемости ϵ' . При $\nu \rightarrow 0$ β_S стремится к термодинамически равновесной адиабатической сжимаемости β_{S0} , скорость звука, как уже было сказано, становится равной c_0 . Следовательно, при $\nu \rightarrow 0$

$$\frac{1}{c_0^2} = \rho \beta_{S0}. \quad (\text{IV.47})$$

Равновесная адиабатическая сжимаемость определяется соотношением

$$\beta_{S0} = -\frac{1}{V} \left(\frac{\partial V}{\partial P} \right)_S. \quad (\text{IV.48})$$

При достаточно высоких частотах, когда $c \rightarrow c_\infty$, $\beta_S \rightarrow \beta_{S\infty}$,

$$c_\infty^2 = \rho \beta_{S\infty}. \quad (\text{IV.49})$$

Частотная зависимость адиабатической сжимаемости жидкостей означает, что эта величина зависит от промежутка времени, в течение которого выполняется ее измерение. При высоких звуковых частотах вызванное звуком сжатие или расширение элемента объема жидкости быстро исчезает. Промежуток времени, в течение которого фиксируется сжимаемость, уменьшается и сжимаемость жидкости падает (рис. 17). По своей сжимаемости жидкости при высоких звуковых частотах, т. е. при кратких механических воздействиях, приближаются к твердым телам. Это происходит потому, что за малые промежутки времени быстрые реакции, способствующие перераспределению положений молекул, не успевают происходить. Молекулы, как в твердых телах, почти не меняют своего взаимного расположения, не успевают уплотниться. В простейшем случае частотная зависимость комплексной адиабатической сжимаемости описывается следующим соотношением:

$$\frac{\beta_S - \beta_{S\infty}}{\beta_{S0} - \beta_{S\infty}} = \frac{1}{1 + i\omega\tau_{PS}}, \quad (IV.50)$$

где τ_{PS} — время акустической релаксации. Процесс акустической релаксации протекает при постоянстве энтропии S и внешнего давления P , что и отмечено индексами « P » и « S ». Вывод уравнения (IV.50) приведен в гл. VI.

Уравнение (IV.50) выполняется, когда на акустический спектр влияет только одна нормальная реакция. Отделяя действительную часть уравнения (IV.50) от мнимой, получаем:

$$\frac{\beta'_S - \beta_{S\infty}}{\beta_{S0} - \beta_{S\infty}} = \frac{1}{1 + \omega^2 \tau_{PS}^2}; \quad (IV.51)$$

$$\frac{\beta''_S}{\beta_{S0} - \beta_{S\infty}} = \frac{\omega\tau_{PS}}{1 + \omega^2 \tau_{PS}^2}. \quad (IV.52)$$

Уравнения (IV.50)—(IV.52) и уравнения (IV.21), (IV.24) и (IV.25) аналогичны. Адиабатическая сжимаемость при акустической релаксации зависит от частоты в данном случае так же, как диэлектрическая проницаемость, когда речь идет о простой области ее дисперсии, описываемой одним временем релаксации. Но в акустической спектроскопии принято описывать экспериментальные данные не величинами β'_S и β''_S а более привычными характеристиками — скоростью и коэффициентом поглощения звуковых волн. С этой целью, подставляя (IV.42) и (IV.46) в уравнение (IV.45), получаем*:

$$\frac{k^2}{\omega^2} = \frac{1}{c^2} - \frac{\alpha_a^2}{\omega^2} - i \frac{2\alpha_a}{\omega c} = \rho\beta'_S - i\rho\beta''_S. \quad (IV.53)$$

* В (IV.59) и далее α'_a обозначает «релаксирующую часть» коэффициента поглощения звука, т. е. $\alpha_a(\omega) - \alpha_{a\infty}$, где $\alpha_a(\omega)$ — коэффициент поглощения при круговой частоте звуковых колебаний, равной ω , $\alpha_{a\infty}$ — коэффициент поглощения на частоте, при которой $\omega\tau_{PS} \gg 1$.

Отсюда следует, что

$$\rho\beta'_S = \frac{1}{c^2} - \frac{\alpha_a^2}{\omega^2}; \quad (\text{IV.54})$$

$$\rho\beta''_S = \frac{2\alpha_a}{\omega c} = \frac{\alpha_a \Lambda}{\pi c^2}. \quad (\text{IV.55})$$

Отношение второго члена к первому в правой части уравнения (IV.54) равно $\frac{(\alpha_a \Lambda)^2}{4\pi^2}$. В большинстве случаев $\alpha_a \Lambda < 1$ и

$$\frac{(\alpha_a \Lambda)^2}{4\pi^2} \ll 1. \quad (\text{IV.56})$$

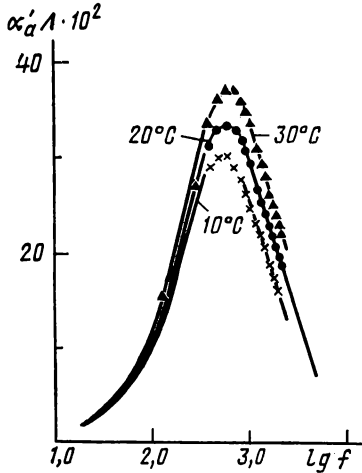


Рис. 18. Графики зависимости величины $\alpha'_a \Lambda$ от $\lg f$ для простой области акустического поглощения в жидком бензоле [56]:

$\alpha'_a = \alpha_a - \alpha_{a\infty}$, где $\alpha_{a\infty}$ — коэффициент поглощения в области частот, где $2\pi/\tau_{PS} = \omega\tau_{PS} \gg 1$; множитель $(c_0/c)^2 \simeq 1$ и поэтому опущен

Тогда вторым членом в правой части (IV.54) можно пренебречь. Подставляя $\rho\beta'_S = c^{-2}$, $\rho\beta_{S0} = c_0^{-2}$ и $\rho\beta_{S\infty} = c_{\infty}^{-2}$ в уравнение (IV.51), умножая обе части равенства (IV.51) на c_0^2 и преобразуя, получаем:

$$\frac{c_0^2}{c^2} = 1 - \left(1 - \frac{c_0^2}{c_{\infty}^2}\right) \frac{\omega^2 \tau_{PS}^2}{1 + \omega^2 \tau_{PS}^2} = 1 - b_a \frac{\omega^2 \tau_{PS}^2}{1 + \omega^2 \tau_{PS}^2}, \quad (\text{IV.57})$$

где

$$b_a = 1 - \frac{c_0^2}{c_{\infty}^2} = \frac{c_{\infty}^2 - c_0^2}{c_{\infty}^2} \quad (\text{IV.58})$$

характеризует влияние релаксационного процесса на скорость звука. Параметр b_a называется *акустической релаксационной силой*. Чем больше b_a , тем сильнее возрастает скорость звука с частотой, тем значительнее отличие предельной высокочастотной скорости звука c_{∞} от низкочастотного предела скорости звука c_0 . Пользуясь (IV.52) и (IV.55), находим:

$$\alpha'_a \Lambda \left(\frac{c_0}{c}\right)^2 = \pi b_a \frac{\omega \tau_{PS}}{1 + \omega^2 \tau_{PS}^2}. \quad (\text{IV.59})$$

График величины $\alpha'_a \Lambda \left(\frac{c_0}{c}\right)^2$ как функции $\ln \omega$ представлен на рис. 18. Это простая полоса в акустическом спектре. Ее максимум соответствует релаксационной частоте ω_m (см. гл. VI):

$$\omega_m = 1/\tau_{PS}. \quad (\text{IV.60})$$

Ордината максимума равна $\pi b_a/2$. Полуширина полосы $\omega_{1/2} = 2\sqrt{3}\omega_m$. Полуширина полосы в акустическом спектре больше чем $2\sqrt{3}\omega_m$ в тех случаях, когда полоса сложная, т. е. состоит из двух или большего числа налагающихся друг на друга простых полос. Из теории релаксационных явлений (см. часть вторую) следует, что акустическая релаксационная сила b_a , фигурирующая в уравнениях (IV.57) и (IV.59), отличается от нуля, когда протекающая в жидкой фазе реакция сопровождается выделением или поглощением теплоты и изменением объема системы или хотя бы каким-либо одним из двух этих эффектов. Уравнение, связывающее b_a с тепловым эффектом ΔH и объемным эффектом ΔV реакции, имеет вид

$$b_a = \frac{(C_P^0 - C_V^0)(C_P^0 - C_P^\infty)}{C_V^0 C_P^\infty} \left(1 - \frac{C_P^0}{V_m \theta^0} \frac{\Delta V}{\Delta H_P} \right)^2, \quad (\text{IV.61})$$

где ΔH_P — тепловой эффект реакции при постоянном давлении; C_P^0 и C_V^0 — термодинамически равновесные молярные теплоемкости жидкости при постоянном давлении P и при постоянном объеме V , соответственно; C_P^∞ — молярная теплоемкость при таких частотах, когда скорость звука $c = c_\infty$; θ^0 — термодинамически равновесный коэффициент объемного расширения жидкости,

$$\theta^0 = \frac{1}{V} \left(\frac{\partial V}{\partial T} \right)_P. \quad (\text{IV.62})$$

Вывод уравнения (IV.61) дан в гл. VI. В общем случае дисперсия скорости звука и частотная зависимость амплитудного коэффициента поглощения звука описываются следующими соотношениями (см. гл. VII):

$$\alpha_a \Lambda \left(\frac{c_0}{c} \right)^2 = \pi \sum_{j \geq 1} \frac{b_{aj} \omega \tau_{PSj}}{1 + \omega^2 \tau_{PSj}^2}. \quad (\text{IV.63})$$

$$\alpha'_a \Lambda \left(\frac{c_0}{c} \right)^2 = \pi \sum_{j \geq 1} \frac{b_{aj} \omega \tau_{PSj}}{1 + \omega^2 \tau_{PSj}^2} \quad (\text{IV.64})$$

Каждый член суммы в уравнениях (IV.63) и (IV.64) представляет собой вклад в акустическую дисперсию акустически наблюдаемой нормальной реакции. Механизм естественных реакций, сочетание которых дает активную в акустическом спектре нормальную реакцию, должен быть таким, чтобы тепловой эффект ΔH_{pj} или объемный эффект ΔV_j , либо оба этих эффекта j -й нормальной реакции были отличны от нуля.

В уравнении (IV.63) член суммы

$$\frac{b_{aj} \omega^2 \tau_{PS, j}^2}{1 + \omega^2 \tau_{PS, j}^2} \quad (\text{IV.65})$$

характеризует j -ю простую область дисперсии скорости звука, т. е. такую, для описания которой достаточно двух параметров, не зависящих от частоты звуковых волн: времени акустической релаксации $\tau_{PS, j}$ и релаксационной силы b_{aj} . Релаксационная сила b_{aj} определяет высоту j -й простой «ступеньки» акустической дисперсии. Высота j -«ступеньки» равна b_{aj} . Величины b_{aj} связаны с ΔH_{pj} и ΔV_j соотношениями, сходными с уравнением (IV.60), которые будут рассмотрены в гл. VII. Время релаксации $\tau_{PS, j}$ характеризует положение j -й простой «ступеньки» на графике, описывающем дисперсию скорости звука или, точнее сказать, частотную зависимость величины $(c_0/c)^2$. Время релаксации $\tau_{PS, j}$ зависит от кинетики и механизма естественных реакций, из которых складывается j -я нормальная реакция, а также от концентраций реагентов.

В уравнении (IV.64) член суммы

$$\frac{b_{aj} \omega \tau_{PS, j}}{1 + \omega^2 \tau_{PS, j}^2} \quad (\text{IV.66})$$

описывает простую полосу в спектре акустического поглощения. Максимум полосы наблюдается при релаксационной частоте $\omega_{mj} = \tau_{PS, j}^{-1}$; ордината максимума равна $\pi b_{aj}/2$; полуширина j -й простой полосы $\Delta\omega_{j, 1/2} = 2\sqrt{3}\omega_{mj}$.

Если все времена релаксации $\tau_{PS, j}$ отличаются друг от друга в 10 раз или более, то графики, изображающие зависимость $(c_0/c)^2$ и $\alpha'_0 \Lambda \left(\frac{c_0}{c}\right)^2$ от частоты, имеют вид, представленный на рис. 19 и 20. Каждой «ступеньке» на рис. 19 соответствует одна простая область дисперсии скорости звука; каждому максимуму на рис. 20 соответствует простая полоса поглощения звука. Если некоторые времена релаксации различаются менее чем в 5 раз, соответствующие им простые области акустической дисперсии имеют близкие по величине времена релаксации, то графики уравнений (IV.63), и (IV.64) приобретают вид, изображенный на рис. 21 и 22, соответственно.

Теперь надо сказать о поперечных звуковых волнах, которые часто называются сдвиговыми волнами. В плоских сдвиговых волнах частицы жидкости колеблются перпендикулярно направлению распространения волны. Скорость распространения поперечных синусоидальных звуковых волн c_t в жидкостях следует уравнению

$$c_t^2 = \mu/\rho, \quad (\text{IV.67})$$

где ρ — плотность; μ — модуль сдвига. Величина μ жидкостей пока еще мало изучена. Коэффициент поглощения поперечного звука на длину волны $\alpha_t \Lambda = 2\pi$, откуда следует, что поперечная звуковая волна затухает очень быстро. Исследования поперечных звуковых волн

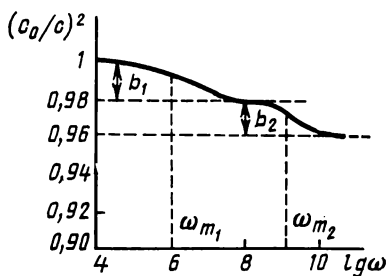


Рис. 19. График зависимости $(c_0/c)^2$ от $\lg \omega$ для системы, где $\tau_1 = 10^{-6}$ с; $b_{a1} = 10^{-2}$; $\tau_2 = 10^{-9}$ с; $b_{a2} = 10^{-2}$

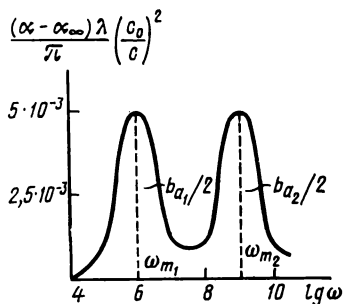
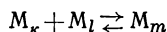


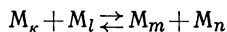
Рис. 20. График зависимости $\alpha' \Lambda (c_0/c)^2$ от $\lg \omega$ для системы, где $\tau_1 = 10^{-6}$ с; $b_{a1} = 10^{-2}$; $\tau_2 = 10^{-9}$ с; $b_{a2} = 10^{-2}$; $\alpha'_a = \alpha_a - \alpha_{a\infty}$

в жидкостях начаты недавно [35]. Они представляют существенный интерес для теории быстрых реакций.

Итак, само существование акустической дисперсии дает указания о механизме реакций, протекающих при тепловом движении в жидкостях. Реакции должны сопровождаться тепловым или объемным эффектом или же тем и другим одновременно. Например, реакции ассоциации



приводят к изменению энтальпии и объема системы. Они активны в акустическом спектре. Бимолекулярные реакции перераспределения ассоциатов



если они не приводят к изменению числа и вида химических связей, не активны в акустическом спектре, потому что тепловой и объемный эффекты у таких реакций отсутствуют. Поэтому акустическая спектроскопия существенно расширяет возможности исследования кинетики и механизма быстрых реакций в жидких фазах.

Анализ акустических спектров прежде всего предусматривает деление на простые области акустической дисперсии. В тех случаях, когда

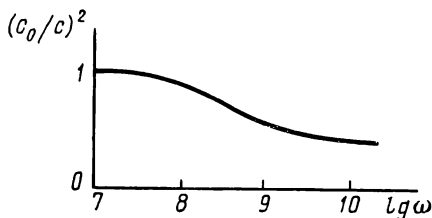


Рис. 21. График зависимости $(c_0/c)^2$ от $\lg \omega$ [уравнение (IV.63)], когда простые области дисперсии скорости звука имеют близкие по величине времена релаксации

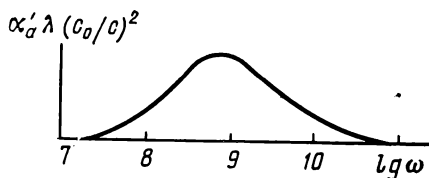


Рис. 22. График зависимости $\alpha'_a \Lambda (c_0/c)^2$ от $\lg \omega$, когда простые области дисперсии имеют близкие значения времен релаксации

простые области налагаются друг на друга, для расшифровки акустического спектра однокомпонентной жидкости могут потребоваться исследования акустических спектров растворов и другие методы.

§ 11. РЕЛЕЕВСКАЯ СПЕКТРОСКОПИЯ ЖИДКОСТЕЙ

Методы релеевской спектроскопии жидкостей по существу были развиты в течение последних 15—20 лет. Этому способствовали в основном два фактора: решение ряда вопросов теории и практики исследований релеевского рассеяния света в жидких фазах и создание лазеров.

Методы релеевской спектроскопии позволяют определять строение, конформации и ряд других свойств молекул, строение жидких фаз, в том числе структуру ассоциатов в чистых жидкостях, ассоциатов и комплексов в растворах [36]. С помощью этих методов можно изучать кинетику и механизм реакций образования наименее устойчивых ассоциатов и комплексов, распадающихся за 10^{-11} — 10^{-12} с, которые не обнаруживаются многими другими методами [37—40]. Можно получать сведения о процессах колебательного возбуждения молекул, находить коэффициенты активности, теплоты смешения, энтропии смешения растворов [41, 42], определять сжимаемость жидкостей [36], теплоемкость [36], теплопроводность [43], коэффициенты диффузии растворов [44], скорость распространения продольного и поперечного звуков и коэффициенты их поглощения [45]. Исследования релеевского рассеяния света позволяют выявить особенности строения вещества в окрестности критической точки жидкость — пар и критической точки расслаивания, изучать природу фазовых переходов [46, 47]. С их помощью можно, наконец, получать сведения о молекулярных массах полимеров и олигомеров, конформационных превращениях полимерных молекул, потенциальных барьерах внутреннего вращения, сольватации макромолекул [48, 49].

В спектре света, рассеянного жидкостью, релеевское рассеяние — очень узкая симметричная полоса («линия»), центр которой соответствует частоте ν_0 возбуждающего потока света. Полуширина полосы $\Delta\nu$ не превышает 10^{-1} см, т. е. $3 \cdot 10^{11}$ Гц. Интегральная интенсивность этой полосы следует закону Релея: $I \sim \nu_0^4$, если в жидкой фазе нет макромолекул, пыли, других загрязнений и если жидкость не находится в окрестности критической точки. Измерения релеевского рассеяния света сводятся к определению интегральной интенсивности I упомянутой полосы, степени деполяризации релеевского рассеяния света Δ и спектра релеевской «линии», т. е. распределения ее интенсивности в интервале частот порядка $3 \cdot 10^{11}$ Гц.

Интегральные свойства релеевского рассеяния света. Определения. Пусть поток монохроматических параллельных лучей неполяризованного света распространяется вдоль оси X лабораторной системы координат. Свет проходит через жидкость, находящуюся в кювете, и частично рассеивается. Длина волны возбуждающего монохроматического излучения λ_0 должна выбираться в таком диапазоне, где жидкость для электромагнитных волн прозрачна, т. е. полосы поглощения,

обусловленные внутримолекулярными переходами, расположены на шкале длин волн далеко от λ_0 . Электрические векторы падающего и рассеянного излучения можно разложить на компоненты, линейно поляризованные вдоль осей координат так, как показано на рис. 23. Угол θ между направлениями падающего и рассеянного излучения на рисунке равен 90° . На расстоянии r от центра рассеивающего объема V жидкости располагается прибор, регистрирующий рассеянное излучение.

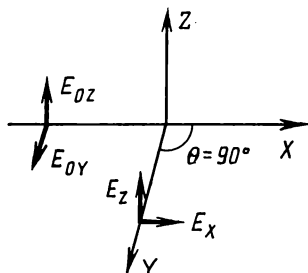


Рис. 23. Направление электрических векторов падающего и рассеянного света при рассеянии под углом 90°

Измеряется интегральная интенсивность рассеянного излучения I и степень деполаризации $\Delta = E_x^2/E_z^2 = I_x/I_z$. Зная интенсивность I_{90} и степень деполаризации Δ_{90} света, рассеянного под углом $\theta = 90^\circ$, можно вычислить I и Δ при любом другом угле рассеяния [45]. Обычно интенсивность рассеянного света I составляет лишь малую долю — от одной десятичной до одной миллионной доли — от интенсивности падающего излучения, обозначаемой I_0 . При соблюдении ряда предосторожностей можно выполнять измерения интенсивности рассеянного света с точностью до 1—5% [36].

Интенсивность рассеянного света I_{90} при заданной частоте зависит от интенсивности падающего излучения, расстояния r между центром рассеивающего объема V и регистратором излучения, от величины рассеивающего объема и свойств рассеивающей среды:

$$I_{90} = I_0 \frac{V}{r^2} R_{90}, \quad (\text{IV.68})$$

где R_{90} — абсолютный коэффициент рассеяния света или коэффициент Релея. Эта величина определяется при угле рассеяния 90° . R_{90} пропорционален λ_0^{-4} и, кроме того, существенно зависит от свойств рассеивающей среды. Прямые измерения коэффициента Релея сравнительно трудоемки. Много проще определять R_{90} при помощи относительных измерений, сравнивая интенсивность I_{90} света, рассеянного какой-либо жидкостью, с интенсивностью света, рассеянного эталоном, которым может служить, например, жидкий бензол:

$$R_{90} = \frac{I_{90}}{I_{90, \text{C}_6\text{H}_6}} R_{90, \text{C}_6\text{H}_6}, \quad (\text{IV.69})$$

где R_{90} и $R_{90, \text{C}_6\text{H}_6}$ — коэффициенты Релея исследуемой жидкости и бензола, соответственно; $I_{90}/I_{90, \text{C}_6\text{H}_6}$ — отношение интенсивностей света, рассеянного в изучаемой жидкости и бензоле. Это отношение определяется экспериментально. Коэффициент Релея эталона должен быть известен. Так, для бензола $R_{90, \text{C}_6\text{H}_6}$ при $\lambda_0 = 366$ нм и 25°C равен $106 \pm 5 \cdot 10^{-6} \text{ см}^{-1}$; при $\lambda_0 = 436$ нм и 20° — равен $46,4 \pm 0,5 \times 10^{-6} \text{ см}^{-1}$, при $\lambda_0 = 546$ нм и 20°C — равен $16,0 \pm 0,2 \cdot 10^{-6} \text{ см}^{-1}$.

Наиболее полный обзор результатов прямых измерений абсолютных коэффициентов рассеяния света R_{90} жидкостей приведен в [36].

Если бы молекулы среды были распределены вполне однородно, т. е. в среде не было бы флуктуаций, то свет, рассеянный молекулами, благодаря интерференции должен был бы погашаться. Релеевское рассеяние света наблюдается потому, что в среде самопроизвольно в ходе теплового движения образуются флуктуации плотности $\Delta\rho$, флуктуации концентрации Δx (в растворах), анизотропные флуктуации. Флуктуации плотности и концентрации не нарушают изотропности жидких фаз (жидкие кристаллы здесь не рассматриваются). Анизотропные флуктуации представляют собой случайные нарушения изотропности. Упомянутые три вида флуктуаций статистически независимы. Поэтому коэффициент Релея в общем случае состоит из трех независимых частей: коэффициента рассеяния света на флуктуациях плотности $R_{пл}$, коэффициента рассеяния света на флуктуациях концентрации $R_{к}$ и коэффициента рассеяния света на анизотропных флуктуациях $R_{ан}$.

$$R_{90} = R_{пл} + R_{к} + R_{ан}. \quad (IV.70)$$

В правой части уравнения (IV.70) индекс «90» опущен ради упрощения обозначений. Для однокомпонентных жидкостей и растворов при неполяризованном возбуждающем излучении

$$R_{ан} = \frac{13}{6} R_{90} \frac{\Delta_{90}}{1 + \Delta_{90}}. \quad (IV.71)$$

Для однокомпонентных жидкостей

$$R_{пл} = R_{90} - R_{ан}; \quad (IV.72)$$

для растворов

$$R_{пл} \simeq \sum_i R_{пл\ i} x_i; \quad (IV.73)$$

$$R_{к} = R_{90} - R_{ан} - R_{пл}. \quad (IV.74)$$

где $R_{пл\ i}$ — коэффициент рассеяния света на флуктуациях плотности в однокомпонентной жидкости вида i ; x_i — молярная доля компонента i .

Каждый из коэффициентов рассеяния несет в себе полезную информацию. Коэффициент рассеяния света на анизотропных флуктуациях $R_{ан}$ позволяет определять строение и концентрацию неустойчивых ассоциатов и комплексов, средняя продолжительность жизни которых обычно не превышает $10^{-11} - 10^{-12}$ с, а также концентрации различных неустойчивых форм молекул.

С помощью коэффициента рассеяния на флуктуациях концентрации $R_{к}$ определяют активности компонентов и избыточные термодинамические функции растворов. Коэффициент рассеяния света на флуктуациях плотности открывает путь для расчета сжимаемости жидкостей.

Ассоциаты и комплексы. Известно, что под влиянием внешнего электрического поля $\vec{\mathcal{E}}$ молекулы поляризуются, в них возникает электрический момент $\vec{\Delta\mu}$. Если внешнее поле $\vec{\mathcal{E}}$ слабое, то

$$\vec{\Delta\mu} = \alpha_{ij} \vec{\mathcal{E}}, \quad (IV.75)$$

где α_{ij} — тензор поляризуемости молекулы. Один из инвариантов этого тензора

$$\gamma^2 = \frac{1}{2} [(\alpha_{xx} - \alpha_{yy})^2 + (\alpha_{xx} - \alpha_{zz})^2 + (\alpha_{yy} - \alpha_{zz})^2] \quad (\text{IV.76})$$

именуется анизотропией поляризуемости молекулы. γ^2 зависит от симметрии молекулы, следовательно, от ее структуры. При шаровой симметрии $\alpha_{xx} = \alpha_{yy} = \alpha_{zz}$ и $\gamma^2 = 0$. Анизотропия поляризуемости ассоциатов или комплексов вида p , γ_p^2 определяется структурой этих ассоциатов или комплексов и главными значениями тензоров поляризуемости α_{xx} , α_{yy} и α_{zz} тех мономерных молекул, из которых состоят ассоциаты или комплексы.

Формула, связывающая $R_{\text{ан}}$ и среднюю статистическую анизотропию поляризуемости одной молекулы однокомпонентной жидкости, имеет вид [36]

$$R_{\text{ан}} = \frac{104}{45} \left(\frac{\pi}{\lambda_0} \right)^4 \left(\frac{n^2 + 2}{3} \right)^4 \frac{N_A \rho}{M} \langle \gamma^2 \rangle, \quad (\text{IV.77})$$

где N_A — постоянная Авогадро; M — относительная молекулярная масса мономерных молекул; n — показатель преломления света на длине волны λ_0 ; ρ — плотность жидкости. По данным о $R_{\text{ан}}$ вычисляют $\langle \gamma^2 \rangle$. Для однокомпонентных жидкостей средняя статистическая анизотропия поляризуемости одной молекулы

$$\langle \gamma^2 \rangle = \sum_{p \geq 1}^m \frac{N_p}{N} \gamma_p^2, \quad (\text{IV.78})$$

где N_p — число ассоциатов вида p в единице объема.

Ассоциаты могут различаться числом мономерных молекул и их взаимным расположением. При одном и том же числе n мономерных молекул ассоциаты могут иметь различную структуру. Таковы, например, кольцевые и цепочечные димеры уксусной кислоты. Перенумеруем все возможные ассоциаты с учетом различий в числах мономерных звеньев и способах связи этих звеньев друг с другом. Индекс p означает номер какого-либо из этих ассоциатов и может принимать значения 1, 2, 3, ...

Пусть какие-либо две молекулы ассоциатов имеют одинаковое число n -мономерных звеньев, причем эти звенья расположены по-разному, т. е. порядок слабых химических связей в молекулах этих ассоциатов различен. Такие молекулы принадлежат ассоциатам с различными индексами p . В (IV.78) N — общее число молекул жидкости в единице объема в пересчете на мономер (т. е. как если бы ассоциации не было); γ_p^2 — анизотропия поляризуемости ассоциата вида p ($p = 1, 2, \dots, m$). Методы расчета γ_p^2 рассмотрены в работах [36, 50]. Если в жидкости присутствуют ассоциаты нескольких разных структур, то возможны случаи, когда положительные и отрицательные члены в сумме

$\sum_{p \geq 2}^m$ уравнения (IV.78) таковы, что сумма обращается в нуль и $\langle \gamma^2 \rangle = \gamma_1^2$. Тогда жидкость по отношению к рассеянию света на анизотропных флуктуациях ведет себя так, как если бы она была неассоциирова-

на, т. е. любые взаимные ориентации молекул были бы равновероятны, хотя на самом деле этого нет. Релеевское рассеяние света на анизотропных флуктуациях непосредственно «не обнаруживает» присутствия и таких n -мерных ассоциатов вида p , строение которых приводит к соотношению $\gamma_p^1 = n\gamma_1^2$. Вклад такого n -мерного ассоциата в $R_{ан}$ не отличается от вклада n неассоциированных молекул.

Физически обоснованные пространственные модели ассоциатов выбираются такими, чтобы не только выполнялось соотношение (IV.78) для $\langle \gamma^2 \rangle$, но и совпадала с опытом зависимость $\langle \gamma^2 \rangle$ от температуры. Необходимо также, чтобы с помощью этих моделей объяснялись результаты исследований жидкости методами акустической спектроскопии, диэлектрической радиоспектроскопии, ЯМР, ИК и КР спектроскопии, термодинамическими методами и т. д. Быть может менее наглядна, но во многих отношениях более удобна, чем уравнение (IV.78), для выполнения расчетов следующая формула:

$$\begin{aligned} \langle \gamma^2 \rangle = & \gamma_1^2 + \sum_p \sum_q c_p z_{pq} (z_{pq} - 1) L_{qq} + \\ & + \sum_p c_p \sum_q z_{pq} \sum_{q'} z_{pq'} L_{qq'} \quad (q' \neq q); \end{aligned} \quad (\text{IV.79})$$

где $c_p = N_p/N$; z_{pq} и $z_{pq'}$ — числа мономерных молекул однокомпонентной жидкости в молекуле ассоциата p , имеющих однотипную ориентацию, обозначаемую индексом q или q' , соответственно; L_{qq} и $L_{qq'}$ — факторы корреляции ориентаций мономерных звеньев. L_{qq} — фактор корреляции звеньев однотипной ориентации q :

$$L_{qq} = \frac{1}{2} \sum_{\sigma=1}^3 \sum_{\tau=1}^3 \alpha_{\sigma} \alpha_{\tau} (3 \langle \cos^2 \eta_{\sigma, \tau}^{qq} \rangle - 1). \quad (\text{IV.80})$$

$L_{qq'}$ — фактор корреляции ориентаций звеньев разнотипной ориентации q и q' :

$$L_{qq'} = \frac{1}{2} \sum_{\sigma=1}^3 \sum_{\tau=1}^3 \alpha_{\sigma} \alpha_{\tau} (3 \langle \cos^2 \eta_{\sigma, \tau}^{qq'} \rangle - 1). \quad (\text{IV.81})$$

σ и τ — главные оси эллипсоидов поляризуемости молекул, имеющих ориентации типа q и q , или q и q' ; α_{σ} и α_{τ} — главные значения тензора поляризуемости мономерных молекул жидкости, соответствующие осям σ и τ эллипсоида поляризуемости молекул; $\eta_{\sigma, \tau}^{qq}$ и $\eta_{\sigma, \tau}^{qq'}$ — углы между осью σ молекулы, имеющей ориентацию типа q , и осью τ молекулы, имеющей ориентацию типа q или q' , соответственно. Эти углы можно определить, если на основании имеющихся данных о возможной структуре ассоциатов построить пространственные модели их молекул.

Допустим, что ассоциатов в однокомпонентной жидкости нет. Тогда среднестатистическое квадрата косинуса углов для всех σ и τ равно $1/3$ [22]. Факторы корреляции ориентации L_{qq} и $L_{qq'}$, обращаются в нуль, и $\langle \gamma^2 \rangle = \gamma_1^2$.

Если две молекулы в ассоциате ориентированы так, что соответственные главные оси их эллипсоидов поляризуемости параллельны, т. е.

$\eta_{\sigma,\tau}^{qq} = 0$ при $\sigma = \tau$ и $\eta_{\sigma,\tau}^{qq} = 90^\circ$ при $\sigma \neq \tau$, то, пользуясь формулой (IV.80), получим $L_{qq} = \gamma_1^2$. Если же три главные оси эллипсоида поляризуемости одной молекулы в ассоциате перпендикулярны трем соответственным осям другой молекулы, то $L_{qq} = -\gamma_1^2/2$. Таким образом, суммы в уравнении (IV.79) могут содержать и положительные, и отрицательные слагаемые. Их вклады определяются строением и концентратиями ассоциатов.

Для растворов

$$R_{\text{ан}} = \frac{104}{45} \left(\frac{\pi}{\lambda_0} \right)^4 \left(\frac{n^2 + 2}{3} \right)^4 \frac{N_A \rho}{\sum_l x_l M_l} \langle \gamma^2 \rangle, \quad (\text{IV.82})$$

где M_l — молекулярная масса компонента l ; x_l — его молярная доля;

$$\langle \gamma^2 \rangle = \sum_l x_l \langle \gamma_l^2 \rangle, \quad (\text{IV.83})$$

причем $\langle \gamma_l^2 \rangle = \gamma_l^2 + \sum_p \sum_{q_l} c_{pl} z_{pq_l} (z_{pq_l} - 1) L_{q_l q_l} +$

$$+ x_{l'} \sum_p c_{pl} \sum_{q_l} z_{pq_l} \sum_{q'_l} z_{pq'_l} L_{q_l q'_l}; \quad (\text{IV.84})$$

индекс « l » обозначает номер компонента раствора; p — номер ассоциата или комплекса; $c_{pl} = N_p/N_l$ — отношение числа молекул ассоциата p в объеме V раствора к числу всех молекул компонента l в том же объеме V , где в число N_l входят и мономерные молекулы компонента l и те молекулы этого компонента, которые связаны в ассоциатах или комплексах; q_l, q'_l — различные типы ориентаций молекулы компонента l в ассоциатах и комплексах; z_{pq_l} и $z_{pq'_l}$ — числа молекул компонента l , имеющих ориентацию типа q_l или q'_l в ассоциате или комплексе, обозначенном индексом p ; $L_{q_l q'_l}$ — фактор корреляции ориентации типа q_l и q'_l молекул компонента l в ассоциатах или комплексах,

$$L_{q_l q'_l} = \frac{1}{2} \sum_{\sigma=1}^3 \sum_{\tau=1}^3 \alpha_{\sigma}^l \alpha_{\tau}^{l'} \left[3 \langle \cos^2 \eta_{\sigma l, \tau l'}^{q_l q'_l} \rangle - 1 \right], \quad (\text{IV.85})$$

где α_{σ}^l и $\alpha_{\tau}^{l'}$ — главные значения тензоров поляризуемости молекул компонентов l и l' , соответственно; $\eta_{\sigma l, \tau l'}^{q_l q'_l}$ — угол между осью σ -эллипсоида поляризуемости мономерной молекулы компонента l , имеющей ориентацию типа q_l и осью τ -эллипсоида поляризуемости мономерной молекулы компонента l' , имеющего в том же комплексе ориентацию типа q'_l . Примеры расчетов по этим формулам имеются в [51, 52].

Измерения γ_1^2 могут быть проведены в разреженных парах и разбавленных растворах по данным о рассеянии света на анизотропных флуктуациях. Для паров в ряде случаев измерения осложняются влиянием комбинационного спектра вращательных переходов [53] и комбинационного спектра низкочастотных колебательных переходов ассоциатов. Для растворов оба эти фактора несут незначительный вклад, но зато может ска-

зываются влияние ассоциатов и комплексов на величину $\langle \gamma^2 \rangle$ и влияние межмолекулярного взаимодействия на величину γ_1^2 . Для паров расчеты $\langle \gamma^2 \rangle$ проводятся по формуле

$$\langle \gamma^2 \rangle = \frac{45\Delta_{90} \alpha^2}{6 - 7\Delta_{90}} \simeq \gamma_1^2, \quad (IV.86)$$

учитывающей вклад вращательного спектра комбинационного рассеяния (см. [40]). Здесь α — средняя поляризуемость молекул пара; $\alpha = (\alpha_{xx} + \alpha_{yy} + \alpha_{zz})/3$. Величина α может быть рассчитана на основании значений показателя преломления света в парах по уравнению Лоренца — Лоренца, но, к сожалению, данные о показателе преломления паров в большинстве случаев отсутствуют. Поэтому приходится пользоваться сведениями о показателе преломления жидкостей. Формула Лоренца — Лоренца имеет вид

$$\frac{n^2 - 1}{n^2 + 2} \frac{M}{\rho} = \frac{4}{3} \pi N_A \langle \alpha \rangle \simeq \frac{4}{3} \pi N_A \alpha. \quad (IV.87)$$

Следует иметь в виду, что межмолекулярное взаимодействие влияет на величины α_{xx} , α_{yy} и α_{zz} , а следовательно, на $\langle \alpha \rangle$ и, как уже говорилось, на γ_1^2 . Влияние межмолекулярного взаимодействия на α обычно не превышает 1—2%, влияние на γ_1^2 в некоторых случаях может быть более значительным.

При расчетах γ_1^2 мономерных молекул растворенного вещества в разбавленных растворах анализируется функция $\langle \gamma^2 \rangle = f(x)$, где x — молярная доля растворенного вещества. В качестве растворителя удобно применять метанол, воду и другие жидкости, молекулы которых отличаются малыми значениями величины α_{xx} , α_{yy} и α_{zz} . Надо иметь в виду, что сопоставление величин γ_1^2 молекул одного и того же вещества в парах и растворах имеет смысл, только когда есть объективные основания считать, что в растворах и парах эти величины одинаковы. При тщательном выполнении измерений данные о γ_1^2 , полученные для разбавленных растворов, предпочтительнее для последующих расчетов строения ассоциатов и комплексов потому, что они учитывают влияние межмолекулярных взаимодействий на величину γ_1^2 . Отметим также, что измерения γ_1^2 в парах возможны для сравнительно летучих веществ, что существенно ограничивает число объектов исследования. В случае растворов возможности исследования во много раз возрастают.

При существующей точности измерений рассеяния света в растворах область концентраций $x \leq 0,02$, как правило, пока еще не доступна исследованию. Для молекул, имеющих осевую симметрию, два из трех главных значений тензора поляризуемости одинаковы. Они могут быть найдены по данным о γ_1^2 и α . В остальных случаях требуются сведения о постоянной Керра. Это затруднение может быть преодолено также с помощью исследований анизотропии поляризуемости комплексов [36].

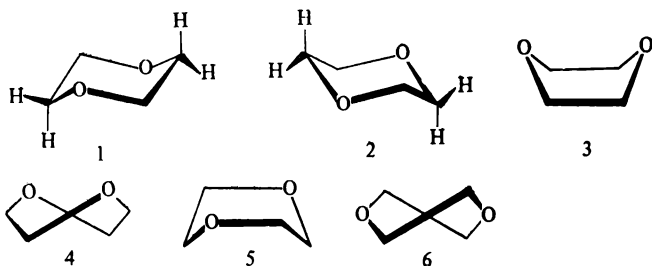
Если молекулы имеют полосы поглощения в диапазоне волн 300—400 нм, как у бензола, толуола, хинолина и ряда других ароматических веществ, то в оптическом диапазоне длин волн дисперсия $\langle \gamma^2 \rangle$ и γ_1^2 мо-

жет превышать случайные ошибки измерений этих величин. Уравнения (IV.77) для $R_{ан}$ и (IV.72) для $R_{пл}$ в этих случаях сохраняют силу для оптического диапазона длин волн. Дисперсия $\langle \gamma^2 \rangle$ и γ_1^2 так же, как и дисперсия α , как обычно, обусловлена зависимостью от частоты главных значений тензора поляризуемости молекул α_{xx} , α_{yy} и α_{zz} . В ряде случаев α_{xx} , α_{yy} и α_{zz} уменьшаются с ростом длины волн пропорционально друг другу, т. е. так же, как средняя поляризуемость α .

Конформационные превращения. Бывают случаи, когда ассоциация и комплексообразование в жидкой фазе не оказывают существенного влияния на γ_1^2 , т. е., например, для однокомпонентной жидкости иногда $\langle \gamma^2 \rangle = \gamma_1^2$. Если молекулы мономера способны к конформационным превращениям, сопровождающимся изменениями их анизотропии поляризуемости, то исследования рассеяния света на анизотропных флуктуациях позволяют изучать эти превращения [36]. Тогда

$$\gamma_1^2 = \sum_i c_i \gamma_i^2, \quad (\text{IV.88})$$

где γ_i^2 — анизотропия поляризуемости i -го конформера; c_i — его молярная доля. Так, например, молекулы 1,4-диоксана, по-видимому, имеют шесть конформаций:



Конформации 3 и 4 полярны, а конформации 1, 2, 5 и 6 неполярны. Анизотропии поляризуемости первых пяти конформаций одинаковы. Анизотропия поляризуемости шестой конформации (*твист*-формы) больше, чем у остальных. В диоксане ассоциаты за счет связей C—H...O практически с равной вероятностью могут иметь много различных конфигураций, так что, как показывают расчеты, взаимные ориентации соседних молекул в среднем близки к хаотическим. При нагревании от 20 до 90°С γ_1^2 диоксана увеличивается на $\simeq 40\%$, что можно объяснить ростом концентрации *твист*-формы. В разбавленных водных растворах устойчивость полярных конформаций диоксана возрастает за счет энергии E_R реактивного взаимодействия их диполей с окружающей средой, $E_R \simeq 5,5$ кДж/моль. Это должно приводить к уменьшению концентрации неполярной *твист*-формы, а следовательно, к снижению γ_1^2 . Анализ результатов измерений рассеяния света растворами диоксан-вода [54] подтверждает этот вывод. Таким образом, с помощью релеевской спектроскопии можно изучать как полярные, так и неполярные конформации молекул.

Релеевская спектроскопия позволяет получать независимую дополнительную информацию о строении ассоциатов и комплексов, обнаруженных другими физическими методами. Вместе с тем можно обнаруживать и изучать такие ассоциаты и комплексы, которые, иногда, не могут быть исследованы с помощью ИК, КР, ЯМР диэлектрических и других физических измерений. Этим методом изучают ассоциацию и комплексобразование веществ, растворенных в воде, метаноле и ряде других преимущественно неокрашенных растворителей, не только при малых, но и при очень высоких концентрациях растворенного соединения.

Коэффициенты активности и избыточные термодинамические функции. Теория А. Эйнштейна [55] приводит к соотношению, связывающему коэффициент рассеяния света на флуктуациях концентрации R_K двухкомпонентного неидеального раствора с производной коэффициента активности f_1 по молярной доле x_1 компонента 1:

$$R_K = \frac{2\pi^2}{\lambda_0^4} \frac{V_M x_1 n^2 \left(\frac{\partial n}{\partial x_2} \right)_{PT}^2}{(N_A/x_2) + (N_A f_1/x_1) (\partial f_1/\partial x_1)_{PT}}, \quad (IV.89)$$

где $V_M = (x_1 M_1 + x_2 M_2)/\rho$ — молярный объем раствора. Остальные обозначения те же, что и раньше. Для идеального раствора, т. е. такого, где при любых концентрациях компонентов, $0 \leq x_i \leq 1$, коэффициенты активности $f_i = 1$ ($i = 1, 2$), имеем:

$$R_{K, \text{ид}} = \frac{2\pi^2}{\lambda_0^4} \frac{V_M x_1 x_2}{N_A} n^2 \left(\frac{\partial n}{\partial x_2} \right)_{PT}. \quad (IV.90)$$

Из уравнений (IV.89) и (IV.90) и соотношения Гиббса — Дюгема $\partial \ln f_1 = (-x_2/x_1) d \ln f_2$ следует, что

$$1 - \frac{R_{K, \text{ид}}}{R_K} = - \left(\frac{\partial \ln f_1}{\partial \ln x_1} \right)_{PT} = - \left(\frac{\partial \ln f_2}{\partial \ln x_2} \right)_{PT}. \quad (IV.91)$$

Значения коэффициентов активности получаются интегрированием:

$$\ln f_i = \int_0^{x_i} \frac{1}{x_i} \left\{ 1 - \frac{R_{K, \text{ид}}}{R_K} \right\} dx_i \quad (i = 1, 2). \quad (IV.92)$$

Зная $\ln f_i$ ($i = 1, 2$), с помощью известных термодинамических соотношений (см., например, [41, 42]) вычисляют избыточную свободную энтальпию смешения G^E компонентов 1 и 2, энтальпию смешения $H^E = H^M$ и энтропию смешения S^E . Для растворов с положительными отклонениями от идеальности и отличной от нуля производной $(dn/dx_2)_{PT}$ эта методика изучения указанных термодинамических свойств проста, удобна и в ряде случаев по точности уступает лишь результатам измерений давления паров, если они выполнены наиболее прецизионными методами. Если $\frac{dn}{dx_2} \simeq 0$, т. е. показатель преломления раствора не зависит от концентрации, то эта методика непригодна.

Изотермическая сжимаемость β_T . В [36] показано, что

$$R_{пл} = \frac{\pi^2}{2\lambda_0^4} (n^2 - 1)^2 \left(\frac{n^2 + 2}{3} \right)^2 k_B T \left(\beta_T - \frac{1}{\rho} \frac{(c_r^2 - c_0^2)}{(c_r^2 c_0^2)} \right), \quad (IV.93)$$

где k_B — постоянная Больцмана; T — температура, К; c_0 — скорость распространения звука в области низких звуковых частот, где зависимость скорости звука от частоты (т. е. дисперсией скорости звука) можно пренебречь; c_r — скорость распространения звука, длина волны которого Λ при угле рассеяния света $\theta = 90^\circ$ удовлетворяет соотношению

$$\Lambda = n\lambda_0 \sqrt{2}. \quad (IV.94)$$

Звуковые колебания с такой длиной волны имеют частоты порядка 10^{10} Гц (гиперзвуковые частоты). Измерения c_r чаще всего выполняются оптическим методом по данным о релеевском спектре (см. ниже). Если в молекулах имеется внутреннее вращение и жидкие фазы при 20°C имеют вязкость порядка 10^{-2} П, то разность $c_r - c_0$ мала и вторым членом в скобках уравнения (IV.93) можно пренебречь [56, 57].

Уравнение (IV.93) позволяет рассчитывать изотермическую сжимаемость β_T оптически прозрачных жидкостей по данным о коэффициенте рассеяния света на флуктуациях плотности с точностью порядка 5—10%. Этот способ определения β_T проще и в большинстве случаев точнее других. Например, при 20°C $\beta_T \cdot 10^{12} \text{ Па}^{-1}$ равно для пиридина 5,9 ($59 \cdot 10^{-12} \text{ см}^2/\text{дин}$), хинолина — 4,1; 1,4-диоксана — 5,6; триоксана — 10,0; тетрагидрофурана — 8,5; n -гексана — 15,7 и т. д. [36, 41]. Прямые измерения β_T при 20°C , согласно имеющимся в литературе материалам, из перечисленных выше жидкостей проводились только для пиридина, хинолина и n -гексана с точностью порядка 10%. Они дали значения β_T , равные, соответственно, 6,7; 4,5 и $16,9 \cdot 10^{-12} \text{ Па}^{-1}$. В пределах ошибок опыта это согласуется с результатами релеевской спектроскопии. Отметим, что при измерении β_T с помощью релеевского рассеяния света речь идет о величинах изотермической сжимаемости, найденных для интервала давлений порядка 10^6 Па (10 атм), возникающих при средних статистических флуктуациях плотности в элементах объема, линейные размеры которых не превышают $\lambda_0/20$, где $\lambda_0 \simeq 500 \text{ нм}$.

Спектры релеевского рассеяния света. Допустим теперь, что монохроматический луч света, длина волны которого равна λ_0 , линейно поляризован так, что электрический вектор колеблется вдоль оси Y ($E_{oz} = 0$; $E_{oy} \neq 0$) или вдоль оси Z ($E_{oz} \neq 0$; $E_{oy} = 0$) (см. рис. 23). Луч падает на кювету с изотропной жидкостью, помещенную в термостат. Рассеивающий объем жидкости равен V . Рассмотрим спектр X - и Z -компоненты излучения, рассеянного жидкостью под прямым углом ($\theta = 90^\circ$).

Предположим, что электрический вектор падающего луча направлен вдоль оси Y и исследуется та часть рассеянного излучения, электрический вектор которой направлен вдоль оси X , т. е. компонента I_{YX} рассеянного света. Здесь и далее первый индекс у I_{ij} обозначает направление электрического вектора падающего излучения, а второй

индекс — ось координат, вдоль которой колеблется электрический вектор рассеянного излучения.

Из теории релеевского рассеяния света следует, что компоненты I_{YX} и I_{ZX} одинаковы. Они обусловлены рассеянием света на анизотропных флуктуациях. Рассмотрим спектр компоненты I_{YX} рассеянного излучения

$$I_{YX} = I_0 \frac{\pi^2}{\lambda^4} \langle (\Delta \epsilon_{YX})^2 \rangle V^*, \quad (IV.95)$$

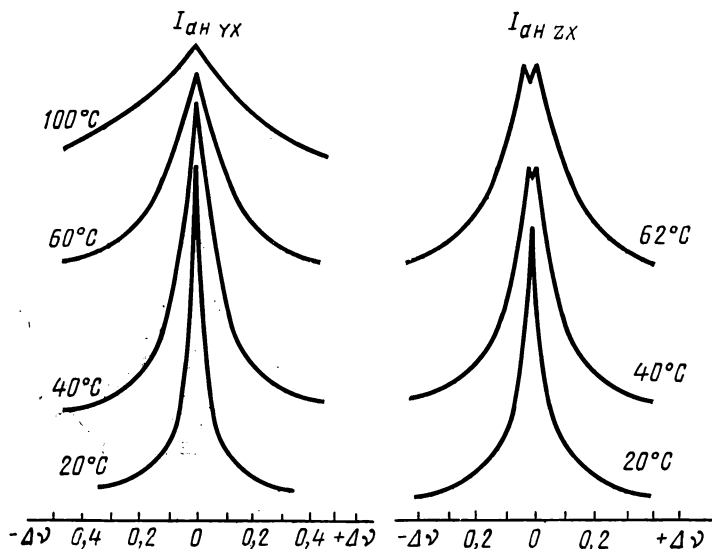


Рис. 24. Спектр компонент $I_{ан YX}$ и $I_{ан ZX}$. Пара-бромфенол

где $\Delta \epsilon_{YX}$ — анизотропная компонента флуктуации диэлектрической проницаемости оптического диапазона частот в малом элементе объема жидкости, равном $V^* \simeq \lambda^3/10^4$.

Анизотропные флуктуации могут возникать в результате неколлективных и коллективных элементарных реакций, протекающих в жидкости при тепловом движении. Это могут быть конформационные превращения, реакции изомеризации, ассоциации, комплексообразования, реакции перестройки ассоциатов и комплексов. В элементарных событиях неколлективных реакций участвуют всего одна, две, редко три молекулы. Поэтому такие события, создающие анизотропные флуктуации, обычно не сопровождаются возникновением упругих напряжений и деформаций в жидкостях. Спектр компонент $I_{ан YX}$ и $I_{ан ZX}$ представляет собой полосу, изображенную на рис. 24. Распределение интенсивности в этой полосе зависит от механизма и кинетики упомянутых сверхбыстрых неколлективных реакций.

В элементарных событиях коллективных реакций может участвовать большое число частиц (см. § 4 и гл. IX). Поэтому создаваемые кол-

лективными событиями анизотропные флуктуации, особенно если они происходят в сравнительно вязких жидкостях, сопровождаются локальными упругими напряжениями и деформациями. Это приводит к распространению в жидкой фазе быстро затухающих поперечных колебаний (поперечные звуковые волны).

Частицы жидкости колеблются в плоскости, перпендикулярной направлению распространения упомянутых упругих деформаций. В 1941 г. М. А. Леонтович показал, что этот процесс должен приводить к расщеплению $I_{ZX \text{ ан}}$ компоненты света, рассеянного анизотропными флуктуациями. Впервые расщепление $I_{ZX \text{ ан}}$ света, рассеянного в кинолине, наблюдалось И. Л. Фабелинским и его сотрудниками (эффект Леонтовича — Фабелинского) [58] (рис. 25). Исследование спектра $I_{YX \text{ ан}}$ и $I_{ZX \text{ ан}}$ компонент представляет большой интерес для выяснения механизма и кинетики быстрых коллективных процессов, протекающих в жидких фазах.

В работах автора и О. И. Зиновьева [37—39] развита теория, позволяющая связать спектр $I_{ZX \text{ ан}}(\omega)$ с величинами, дающими представление о кинетике и механизмах упомянутых сверхбыстрых неколлективных нормальных реакций, протекающих в жидких фазах с характерными временами τ_δ порядка 10^{-10} — 10^{-12} с. Если падающий на кювету с жидкостью монохроматический луч света поляризован так, что его электрический вектор колеблется вдоль оси Z , а в рассеянном излучении при угле рассеяния $\theta = 90^\circ$ наблюдается компонента, электрический вектор которой колеблется вдоль оси X , то распределение интенсивности рассеянного излучения следует уравнению

$$I_{ZX \text{ ан}} = \frac{24Q''}{45\pi} \sum_{\delta=1}^m \frac{\tau_\delta}{1 + (\omega\tau_\delta)^2} \langle \gamma^2 \rangle_\delta, \quad (\text{IV.96})$$

где

$$Q'' = \frac{I_{0Z} V}{r^2} \left(\frac{\pi}{\lambda_0} \right)^4 \left(\frac{n^2 + 2}{3} \right)^4 \frac{N_A \rho}{\sum x_l M_l}; \quad (\text{IV.97})$$

I_{0Z} — интенсивность падающего луча света; λ_0 , n , N_A , ρ , x_l и M_l — имеют тот же смысл, что и в уравнении (IV.82); круговая частота ω есть умноженная на 2π разность частоты ν' рассеянного и частоты ν_0 падающего излучения; $\omega = \omega' - \omega_0$; индекс δ обозначает какую-либо нормальную реакцию, протекающую при тепловом движении в жидкой фазе; ζ_δ — степень полноты этой нормальной реакции.

Величина $\langle \gamma^2 \rangle_\delta$ имеет вид

$$\langle \gamma^2 \rangle_\delta = \int_0^{\bar{\zeta}_\delta} \frac{\partial}{\partial \zeta_\delta} \langle \gamma^2 \rangle d\zeta_\delta, \quad (\text{IV.98})$$

где $\langle \gamma^2 \rangle$ — средняя статистическая анизотропия поляризуемости молекул жидкости; $\bar{\zeta}_\delta$ — степень полноты нормальной реакции δ при термодинамическом равновесии. В начале нормальной реакции, когда продуктов этой реакции нет, ее степень полноты равна нулю.

Спектр той компоненты рассеяния света, электрический вектор которой колеблется вдоль оси Z , т. е. $I_{ZZ\text{ ан}}(\omega)$ связан с $I_{ZX\text{ ан}}(\omega)$ соотношением

$$I_{ZZ\text{ ан}}(\omega) = \frac{4}{3} I_{ZX\text{ ан}}(\omega). \quad (\text{IV.99})$$

Если падающее излучение поляризовано так, что электрический вектор колеблется вдоль оси X , то для изотропных жидкостей

$$I_{XZ}(\omega) = I_{XY}(\omega) = I_{ZX}(\omega).$$

Уравнение (IV.96) имеет существенное значение для понимания природы спектра света, рассеянного теми анизотропными флуктуациями, которые возникают в результате неколлективных реакций. Из него сле-

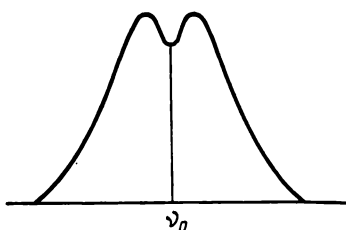


Рис. 25. Спектр $I_{\text{ан } zx}$ компоненты света, рассеянного хинолином при 20°C :
дублет — компоненты Леонтовича — Фабелинского

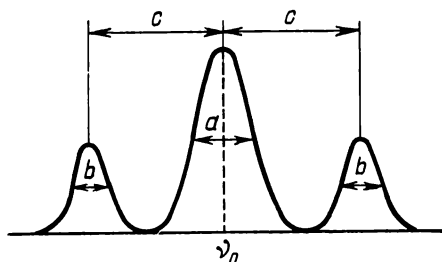


Рис. 26. Спектр «релеевского триплета» в пиридине при 25°C :
 a — ширина компоненты Гросса; b — ширина компонент Мандельштама — Бриллюэна;
 c — смещение компонент Мандельштама — Бриллюэна относительно частоты падающего света

дует два основных вывода. Во-первых, спектр компоненты $I_{ZX\text{ ан}}(\omega)$ в общем случае определяется нормальными реакциями, протекающими в жидкой фазе. Времена релаксации τ_δ отражают кинетику нормальных реакций (подробнее см. гл. VIII). Во-вторых, вклад в спектр $I_{ZX\text{ ан}}(\omega)$ вносят только те нормальные реакции, для которых производная

$$\frac{\partial}{\partial \xi_\delta} \langle \gamma^2 \rangle \neq 0. \quad (\text{IV.100})$$

Это означает, что в анизотропном рассеянии света могут быть активны лишь те реакции, которые способны изменять среднюю статистическую анизотропию поляризуемости молекул жидкости $\langle \gamma^2 \rangle$. Если в результате какой-либо реакции величина $\langle \gamma^2 \rangle$ не меняется, в анизотропном рассеянии света никаких изменений, связанных с этой реакцией, не будет наблюдаться.

Таким образом, существование спектра анизотропного рассеяния света указывает на присутствие в жидкости таких естественных реакций, в ходе которых сумма анизотропий поляризуемости молекул про-

дуктов реакции отличается от суммы анизотропий поляризуемости исходных реагентов:

$$\sum_i v_i \gamma_i^2 \neq \sum_i v'_i \gamma_i^2, \quad (\text{IV.101})$$

где v_i и v'_i — стехиометрические коэффициенты уравнений вида (III.11). Примеры, показывающие как пользоваться этими соотношениями, приведены во второй части книги.

Спектры «изотропного» рассеяния света. Предположим, что электрический вектор падающего луча направлен вдоль оси Z и исследуется та часть рассеянного излучения, электрический вектор которой тоже направлен вдоль оси Z . Другими словами, рассмотрим компоненту I_{ZZ} рассеянного света. Эта компонента складывается из «изотропного» рассеяния света на флуктуациях плотности и концентрации — его степень деполяризации равна нулю — и света $I_{ZZ \text{ ан}}$, рассеянного анизотропными флуктуациями. При линейно поляризованном падающем излучении степень деполяризации «неизотропного» рассеяния света $\Delta_{\text{ан}} = I_{ZX \text{ ан}}/I_{ZZ \text{ ан}} = 3/4$. Если измерить распределение интенсивности в спектре компоненты $I_{ZX \text{ ан}} \equiv I_{ZX}$, умножить I_{ZX} на $4/3$ и вычесть из распределения интенсивности в спектре компоненты I_{ZZ} , то остающаяся часть спектра компоненты I_{ZZ} обусловлена флуктуациями плотности, а когда рассеивающая жидкая фаза — раствор, еще и флуктуациями концентрации.

Спектр рассеяния света на флуктуациях плотности. Опишем сначала только ту часть рассеянного излучения, которая обусловлена флуктуациями плотности $\Delta\rho$, т. е. $I_{ZZ \text{ пл}}$. Спектр рассеянного света $I_{ZZ \text{ пл}}$ можно изучать в однокомпонентных жидкостях и таких растворах, где по каким-либо причинам рассеяние света на флуктуациях концентрации мало. Это либо идеальные растворы, либо растворы с отрицательными отклонениями от идеальности, либо, наконец, растворы с положительными отклонениями от идеальности, для которых производная показателя преломления на длине волны λ_0 по концентрации, т. е. $d n_{\lambda_0}/d c$, близка к нулю.

Спектр $I_{ZZ \text{ пл}}$ состоит из трех линий («релеевский триплет», рис. 26). Центральная, т. е. несмещенная, линия, или компонента Гросса, в индивидуальных жидкостях обусловлена изобарическими флуктуациями плотности (см. § 4 и [11]), которые пропорциональны флуктуациям энтропии. В отличие от адиабатических флуктуаций изобарические флуктуации с течением времени не изменяют своего положения в пространстве. Поэтому максимум компоненты Гросса соответствует частоте ν_0 возбуждающего излучения. Изучая спектр компоненты Гросса, можно определять коэффициенты температуропроводности и теплопроводности жидкости. Исследования спектра компоненты Гросса в растворах позволяют находить коэффициент диффузии [44]. Симметрично расположенные по отношению к центральной компоненте боковые компоненты релеевского триплета, или компоненты Мандельштама — Бриллюэна, обусловлены адиабатическими флуктуациями плотности. Изучая положение и спектр компонент Мандельштама — Бриллюэна, можно определять скорость распространения гиперзвуковых волн и

коэффициент их поглощения (см. [46]). Такие исследования позволяют определять скорость звука и поглощение звука в жидкостях на частотах звуковых колебаний от 3 до 10 ГГц.

Здесь дано краткое описание свойств и применений собственно релеевского рассеяния света, интенсивность которого подчиняется закону Релея $I \sim \nu_0^4$. В окрестности критической точки расслаивания растворов, критической точки жидкость — пар и в растворах полимеров закон Релея нарушается потому, что неоднородности, существующие в жидкой фазе, по своим размерам сравнимы с длиной волны света в оптическом диапазоне. Изучение рассеяния света в окрестности точки расслаивания дает богатую и разностороннюю информацию о строении вещества в окрестности критической точки и кинетике процессов образования и разрушения флуктуаций. Обзор этих исследований имеется в статьях [46—47]. Рассеяние света в растворах полимеров — один из основных методов исследования этих систем (см., например, [48, 49]).

Итак, с помощью релеевской спектроскопии можно изучать строение жидкостей, механизм и кинетику ряда процессов, протекающих в жидкостях при тепловом движении, измерять ряд важных физико-химических свойств жидких фаз. Преимущества метода — возможность получения многосторонней, в ряде случаев уникальной, информации. Недостаток — отсутствие стандартной аппаратуры, с помощью которой можно было бы выполнять измерения на уровне, соответствующем лабораторным установкам. Это затруднение временное. Оно вызвано новизной метода.

§ 12. ПИКОСЕКУНДНАЯ СПЕКТРОСКОПИЯ

Если в изотропной жидкости, состоящей из анизотропных молекул ($\gamma^2 > 0$), распространяется интенсивный световой импульс, создаваемый мощным лазером, то в жидкости возникает способность к двойному лучепреломлению. Жидкость по своим оптическим свойствам становится похожей на оптически одноосный кристалл. Для низкочастотных полей это явление известно давно. Его называют эффектом Керра. Способность к двойному лучепреломлению, возникшая под влиянием светового импульса, сохраняется жидкостью, пока длится световой импульс.

Световой эффект Керра, впервые обнаруженный в 1964 г. [59], послужил основой для создания сверхскоростных оптических затворов или «световых ячеек Керра», с помощью которых можно изучать быстрые и сверхбыстрые реакции в жидких фазах.

Чтобы создать световой эффект Керра, импульс света должен продолжаться в течение промежутка времени, превышающего время релаксации анизотропных флуктуаций $\tau_{ан}$, когда процесс релаксации этих флуктуаций сводится к одной нормальной реакции (см. § 11). Если же анизотропные флуктуации возникают и исчезают в результате n нормальных реакций, то для создания светового эффекта Керра продолжительность светового импульса должна превышать наименьшее из величин τ_{ani} ($i = 1, 2, \dots, n$). В этом случае с ростом продолжитель-

ности импульса эффект двойного лучепреломления будет увеличиваться до тех пор, пока его продолжительность не станет превышать наибольшее из времен релаксации τ_{ani} .

Величины времен релаксации анизотропных флуктуаций τ_{ani} можно определять независимо с помощью анализа распределения интенсивности в спектрах релеевского рассеяния света, обусловленного анизотропными флуктуациями (см. § 11). При 300 К τ_{ani} низкомолекулярных жидкостей обычно имеют значения порядка 10^{-12} — 10^{-11} с. Следовательно, для создания светового эффекта Керра нужно применять импульсы, продолжительность которых не менее 10^{-12} с, т. е. пикосекундные импульсы.

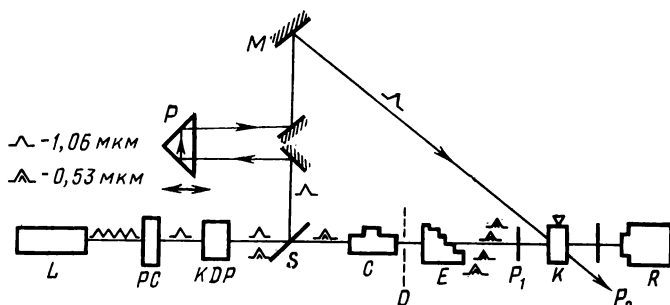


Рис. 27. Схема одного из видов экспериментальных установок, применяемых для пикосекундной спектроскопии:

L — лазер с синхронизацией мод, излучающий цуг пикосекундных импульсов; PC — ячейка Поккельса, выделяющая пикосекундный импульс; KDP — кристалл, генерирующий вторую гармонику; S — разделительная пластинка; P — подвижная шкала, создающая переменную линию задержки; M — зеркало; C — кювета; D — диффузор; E — эшелон, выполняющий роль ступенчатой линии задержки; P_1 и P_2 — скрещенные поляризаторы; K — ячейка сверхскоростного затвора, как правило, наполненная сероуглеродом; R — приемник излучения, иногда соединенный со спектральным прибором [60]

Принцип работы ряда экспериментальных установок следующий. Интенсивный световой импульс разделяется на две, резко отличающиеся по интенсивности части. Одна из них, обладающая высокой интенсивностью, проходя через кювету с жидкостью (например, с сероуглеродом), вызывает в ней способность к двойному лучепреломлению. Эта часть импульса управляет работой сверхскоростного оптического затвора. Другая, во много раз менее интенсивная часть импульса используется для изучения быстротекающих процессов. Схема устройства представлена на рис. 27 [60]. Лазер излучает последовательность пикосекундных импульсов, один из которых выделяется с помощью ячейки Поккельса *. Небольшая доля света этого одиночного импульса превращается после прохождения кристалла KDP (дигидрофосфат калия KH_2PO_4) в импульс с удвоенной частотой. Разделительная пластинка S пропускает свет второй гармоники, тогда как

* Оптический затвор, основная часть которого — анизотропный кристалл, помещенный в переменное электромагнитное поле. От напряженности этого поля зависит плоскость поляризации светового луча, проходящего через кристалл.

свет основной частоты направляется в линию регулируемой оптической задержки P и после отражения от зеркала M попадает в ячейку K , где и вызывает эффект Керра. Световой сигнал удвоенной частоты после прохождения кюветы C , содержащей исследуемое вещество (в зависимости от целей эксперимента положение исследуемого объекта в схеме может быть и иным), попадает на диффузно рассеивающую пластину D , формирующую достаточно широкий пучок света, проходящий через эшелон E . Свет, равномерно освещающий эшелон *, разделяется в нем на отдельные световые пучки. Время запаздывания Δt между соседними световыми пучками при нормальном падении света на торцы стеклянных пластинок определяется соотношением

$$\Delta t = \frac{d}{c} (n - 1), \quad (\text{IV.102})$$

где n — показатель преломления стекла эшелона; d — толщина пластин; c — скорость света. Эшелон играет здесь роль дискретного набора линий оптической задержки для импульсов удвоенной частоты. Таким образом, в экспериментальной установке имеется два разных устройства для оптической задержки. Одно из них P применяется для задержки импульса основной частоты, другое E — для задержки импульса удвоенной частоты. Это позволяет регулировать интервалы времени между моментом прихода максимума интенсивного импульса основной частоты в ячейку K и моментом прихода в эту ячейку сравнительно слабого импульса удвоенной частоты. Измерения такого рода позволяют изучать кинетику процесса нарастания и спада двулучепреломления жидкости, находящейся в ячейке K , и кинетику быстрых процессов, протекающих в другой жидкости, помещенной в кювете C , информацию о которых несет слабый импульс удвоенной частоты [60, 61].

Релаксация вынужденной анизотропии жидкостей. Теория, с помощью которой анализируются результаты изучения релаксации анизотропии, создаваемой интенсивным лучом света, пока что развита в грубом приближении. Процесс релаксации описывается с помощью одного времени релаксации $\tau_{\text{ан}}$. Это верно, лишь когда двойное лучепреломление создается одной нормальной реакцией.

Пусть в некоторый момент времени на изотропную жидкость, состоящую из оптически анизотропных молекул, налагается внешнее электрическое поле $\vec{\mathcal{E}}_0$. Под влиянием этого поля в жидкости создается отличное от нуля среднее внутреннее поле \vec{f} , равнонаправленное $\vec{\mathcal{E}}_0$.

Рассмотрим ориентацию какой-либо произвольно выбранной оптически анизотропной молекулы жидкости по отношению к лабораторной системе координат. Речь идет о молекулах, находящихся в жидкой фазе на достаточно большом удалении от поверхности. При $\vec{f} = 0$

* Эшелон — набор плоскопараллельных стеклянных пластинок одинаковой толщины, сложенных таким образом, что их концы образуют «ступеньки» лестницы.

вероятность любой из ориентаций молекулы одинакова. Но если $\vec{f} \neq 0$, вероятность ориентации молекулы по отношению к лабораторной системе координат зависит от направления внешнего поля. Жидкость перестает быть изотропной. Она становится похожей по своим свойствам на оптически одноосный кристалл. Возникает двойное лучепреломление. В тех случаях, когда напряженность внешнего поля много меньше напряженности полей, создаваемых соседними молекулами ($10^6 - 10^7$ В/см), поле \vec{f} непосредственно не вызывает поворот молекулы, оно изменяет вероятность ориентаций молекул, а их вращение непосредственно обусловлено влиянием теплового движения, т. е. главным образом действием соседних молекул жидкости. При выключении внешнего электрического поля тепловое движение очень быстро уничтожает анизотропию жидкости и связанное с этим двойное лучепреломление — происходит релаксация анизотропии. Двойное лучепреломление можно определять с помощью соотношения

$$\Delta n(t) = \delta n_{\parallel} - \delta n_{\perp} = \lambda K \mathcal{E}_0^2(t), \quad (\text{IV.103})$$

где δn_{\parallel} — изменение показателя преломления при распространении света в направлении внешнего электрического поля; δn_{\perp} — изменение показателя преломления при распространении света в направлении, перпендикулярном направлению внешнего электрического поля; λ — длина волны света; K — постоянная Керра; t — время. Если бы поле выключалось мгновенно и релаксация анизотропии была обусловлена лишь одной естественной или нормальной реакцией, то

$$\Delta n(t) = \text{const } e^{-t/\tau_{\text{ан}}}, \quad (\text{IV.104})$$

где $\tau_{\text{ан}}$ — время релаксации анизотропии. Но интенсивность поля, управляющего сверхбыстрым затвором, нарастает и спадает не мгновенно. Если длительность импульса превышает время релаксации анизотропии, то соотношение (IV.104) обобщается следующим образом [60]:

$$\Delta n(t) = \frac{\lambda K}{2\tau_{\text{ан}}} \int_{-\infty}^t \mathcal{E}_{01}^2 \langle t' \rangle \exp\left(\frac{t' - t}{\tau_{\text{ан}}}\right) dt', \quad (\text{IV.105})$$

где $\vec{\mathcal{E}}_{01}$ — напряженность поля, создаваемого импульсом основной частоты. Интенсивность света второй гармоники после прохождения ее через ячейку K в указанных условиях определяется соотношением

$$I(t) = \int_{-\infty}^t \mathcal{E}_{02}^2(t) \sin^2 \left[\frac{2\pi}{\lambda} \Delta n(t') l \right] dt', \quad (\text{IV.106})$$

где величина $\sin^2 \left[\frac{2\pi}{\lambda} \Delta n(t') l \right]$ определяет пропускаемость ячейки l — ее длина. Если $\frac{2\pi}{\lambda} \Delta n l \ll 1$, то $\sin \left(\frac{2\pi}{\lambda} \Delta n l \right) \simeq \frac{2\pi}{\lambda} \Delta n l$ и, следовательно, 90

$$I(t) = \left(\frac{2\pi l}{\lambda} \right)^2 \int_{-\infty}^t \mathcal{E}_{02}^2(t') \Delta n^2(t') dt', \quad (IV.107)$$

где $\Delta n(t')$ определяется уравнением (IV.105).

Экспериментальные данные, приведенные в табл. 3, показывают, что пикосекундная спектроскопия дает значения времен релаксации анизотропии, в пределах ошибок опыта согласующиеся с результатами, полученными путем анализа релеевского рассеяния света на анизотропных флуктуациях. В обоих случаях речь идет об эффективном времени релаксации, рассчитанном при допущении, что процесс описывается одним значением $\tau_{ан}$ [61].

Колебательная релаксация. Пикосекундная спектроскопия в жидких фазах позволяет измерять времена жизни молекул в определенных возбужденных колебательных состояниях и изучать механизмы перераспределения энергии возбуждения в молекулах и колебательной релаксации.

Как и в описанных выше опытах, исходный световой импульс разделяется на две части, существенно отличающиеся по интенсивности. Более мощная часть после удвоения частоты с помощью кристалла KDP используется для возбуждения в жидкости, помещенной в кювету K , интенсивных внутримолекулярных колебаний. Энергия этого накачивающего импульса (порядка 10 мДж) достаточна, чтобы примерно в 1000 раз увеличить заселенность некоторого определенного возбужденного колебательного состояния по сравнению с его заселенностью при термодинамическом равновесии.

Второй импульс, имеющий основную частоту, попадает в эту же кювету K с жидкостью через заданное время задержки. Измеряется комбинационное рассеяние света. В результате высокой степени заселенности некоторого колебательного состояния молекул антистоксова компонента соответствующей линии в спектре комбинационного рассеяния возрастает до 10^4 раз. Изменяя время задержки между накачивающим импульсом с удвоенной частотой и импульсом с основной частотой, можно проследить за возрастанием и спадом избыточной на-

Т а б л и ц а 3

Время релаксации анизотропии жидкостей $\tau_{ан} \cdot 10^{12}$ с,
найденные методами релеевской спектроскопии (РС)
и пикосекундной спектроскопии (ПС) [60]

Жидкость	$t, ^\circ\text{C}$	$\tau_{РС} \cdot 10^{12}$ с	$t, ^\circ\text{C}$	$\tau_{ПС} \cdot 10^{12}$ с
Сероуглерод	20	2,4	20—72	$2 \pm 0,5$
Нитробензол	20	46	20	$47,4$
Толуол	20	4,1	—	5 ± 1
m-Нитротолуол	26	50	23 ± 2	44
Бензол	20	3,3	—	$4 \pm 0,5$
Бромбензол	$22 \pm 0,3$	11	—	13 ± 2

селенности соответствующего возбужденного колебательного состояния молекул среды.

Одновременно с процессом генерации интенсивных некогерентных внутримолекулярных колебаний возбуждаются когерентные внутримолекулярные колебания, что приводит к возникновению когерентной стоксовой компоненты вынужденного комбинационного рассеяния (ВКР) накачивающего импульса *. Так возбуждаются только самые интенсивные линии комбинационного рассеяния света. Они только и могут быть изучены с помощью методов пикосекундной спектроскопии [60]. Так были исследованы полносимметричные валентные

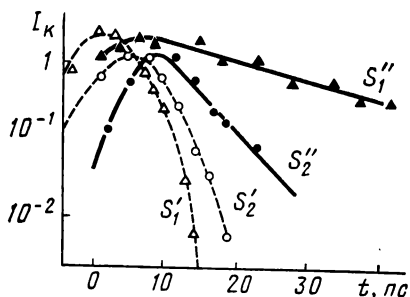


Рис. 28. Зависимость интенсивности комбинационного рассеяния I_k (когерентный и некогерентный сигнал S' и S'' соответственно) от времени задержки t в пикосекундах для C_2H_5OH (индекс «1») и CH_3CCl_3 (индекс «2») [60]

колебания группы CH_3 в 1,1,1-трихлорэтано с частотой $8,817 \cdot 10^{13}$ Гц и группы $C-H$ в этиловом спирте с частотой $8,784 \cdot 10^{13}$ Гц при 300 К [62]. На рис. 28 представлены результаты измерений. Величины S'_1 и S'_2 интенсивности обычного некогерентного антистоксова сигнала, полученного при рассеянии второго импульса, имеющего основную частоту в этиловом спирте и трихлорэтано, соответственно, представлены в зависимости от времени задержки.

Как видно из рисунка, рассеянный сигнал проходит через максимум при определенном значении времени задержки, требующемся для того, чтобы в процессе накачки осуществлялось накопление возможно большего числа возбужденных молекул. При дальнейшем увеличении времени задержки интенсивность некогерентного рассеяния уменьшается по экспоненте, что позволяет непосредственно определить время жизни молекулы в данном возбужденном состоянии. Оно оказалось равным $2,2 \cdot 10^{-11}$ с для C_2H_5OH и $5 \cdot 10^{-12}$ с для CH_3CCl_3 . На этом же рисунке изображены графики, описывающие зависимость от времени задержки интенсивности S' стоксовой компоненты ВКР основного (накачивающего) импульса в направлении, обратном направлению падающего света. Максимальные значения S'_2 и S'_1 соответствуют времени задержки $5 \cdot 10^{-12}$ с для CH_3CCl_3 и примерно $2 \cdot 10^{-12}$ с для C_2H_5OH .

Пунктирные кривые, приведенные на рис. 28 для величин S' , представляют результаты расчета при $\tau_k = 1,3 \cdot 10^{-12}$ с для CH_3CCl_3 и $2,6 \cdot 10^{-13}$ с для C_2H_5OH .

* Стоксова компонента в комбинационном рассеянии имеет частоту меньшую, чем частота поглощенного излучения; антистоксова компонента имеет частоту большую, чем частота поглощенного излучения.

Таким образом пик некогерентного рассеяния сдвинут к большим временам задержки, чем пик когерентного рассеяния. Время релаксации изученного некогерентного возбужденного состояния в трихлорэтаноле в 4 раза превышает время релаксации когерентного возбужденного состояния τ_k ; для этилового спирта отношение $\tau_n/\tau_k \simeq 80$. Такое различие времени жизни когерентных и некогерентных фононов означает, что когерентность, возникающая в результате накачки, исчезает намного быстрее, чем происходит дезактивация соответствующего колебания в молекуле. Величина τ_n определяется временем дезактивации соответствующего колебательного состояния молекулы. Время релаксации когерентных колебательных состояний определяется процессом обмена энергией колебаний между соседними частицами [62].

Отношение τ_n/τ_k для жидкого азота оказалось величиной порядка 10^6 , что во много раз превышает аналогичные отношения для других изученных жидкостей.

Методами пикосекундной спектроскопии удалось получить сведения о процессах перераспределения энергии колебательного возбуждения в молекулах, предшествующих дезактивации молекул. Так были изучены валентные и деформационные колебания группы C—H молекул этанола в области частот вблизи $8,7 \cdot 10^{13}$ Гц. Установлено, что накачивающий импульс непосредственно возбуждает внутримолекулярное колебание с частотой $8,784 \cdot 10^{13}$ Гц, после чего происходит очень быстрое, примерно за $\tau_c = 0,5 \cdot 10^{-12}$ с, перераспределение энергии между группой соседних колебательных уровней: $8,918 \times 10^{-13}$ Гц; $8,631 \cdot 10^{-13}$ Гц; $8,691 \cdot 10^{-13}$ Гц. Энергия колебательного возбуждения накапливается на этих уровнях и затем сравнительно медленно с постоянной времени $\tau_c = 2,2 \cdot 10^{-11}$ с убывает за счет передачи энергии группе колебательных уровней в полосе $4,2 \cdot 10^{13}$ Гц — уровни с частотой $4,555 \cdot 10^{13}$ Гц; $4,368 \cdot 10^{13}$ Гц; $4,158 \cdot 10^{13}$ Гц. Эти колебательные уровни дезактивируются с временем релаксации $\tau_2 \approx \approx 4 \cdot 10^{-11}$ с [63].

§ 13. МАГНИТНАЯ СПЕКТРОСКОПИЯ

Магнитная спектроскопия открыта в 1944 г. Е. К. Завойским. Им было обнаружено явление резонансного поглощения энергии радиоволн в веществах, содержащих парамагнитные частицы, при наложении постоянного магнитного поля \vec{H} . В его опытах парамагнетизм частиц был обусловлен собственным магнитным моментом электронов $\vec{\mu}_e$, который примерно в тысячу раз больше собственного момента μ_N атомных ядер.

Явление, открытое Е. К. Завойским, названо электронным парамагнитным резонансом (ЭПР) или электронным спиновым резонансом (ЭСР). После этого был обнаружен ряд родственных эффектов — ядерный магнитный резонанс (ЯМР), ядерный квадрупольный резонанс (ЯКР) и некоторые другие.

Магнитные моменты сложных частиц — атомов, молекул, свободных радикалов и т. д. — зависят от спиновых и орбитальных моментов соответствующих электронов и атомных ядер. Связь между магнитным моментом $\vec{\mu}$ частицы и ее полным моментом количества движения \vec{J} в общем случае имеет вид [64]

$$\vec{\mu} = \beta_0 g_{\alpha\beta} \vec{J}, \quad (\text{IV.108})$$

где $\beta_0 = e\hbar/2mc$; e — заряд частицы; m — ее масса; \hbar — постоянная Планка; c — скорость света; $g_{\alpha\beta}$ — тензор, называемый g -тензором. У атомных ядер и сферически-симметричных электронных систем (свободных атомов и ионов) тензор $g_{\alpha\beta}$ в (IV.108) сводится к скаляру g , так что векторы $\vec{\mu}$ и \vec{J} равнонаправлены или противоположны в зависимости от знака β_0 , который определяется зарядом частицы:

$$\vec{\mu} = \beta_0 g \vec{J}. \quad (\text{IV.109})$$

Пусть \vec{L} и \vec{S} обозначают полный орбитальный и спиновый моменты количества движения всех электронов в каком-либо сферически симметричном атоме или ионе. Для электронных магнитных моментов атомов и ионов, если ограничиться учетом спин-орбитального взаимодействия, g -фактор в уравнении (IV.109) имеет вид

$$g_e = 1 + \frac{J(J+1) - L(L+1) + S(S+1)}{2J(J+1)}, \quad (\text{IV.110})$$

где \vec{J} — полный момент количества движения всех электронов, $\vec{J} = \vec{L} + \vec{S}$. Вывод уравнения (IV.110) можно найти в [65]. При $L = 0$, $g_e = 2$ — значение g -фактора в нерелятивистском приближении для спина электрона, «свободного» от спин-орбитального взаимодействия. С учетом релятивистских особенностей взаимодействий g -фактор «свободного» электрона равен 2,002322. При $L = 0$ и $g_e = 0$ электронный магнитный момент атома или иона обращается в нуль. В этом случае магнитный момент атома или иона обусловлен спином его ядра.

Пусть g_n обозначает g -фактор «свободного» атомного ядра; при учете орбитального движения электронов [64]

$$g_n = g_e - \delta_g. \quad (\text{IV.111})$$

По порядку величины δ_g равно отношению энергии взаимодействия ядерного спина с орбитальным движением электрона к кулоновскому взаимодействию электрона и ядра.

Предположим теперь, что на сферически симметричную частицу действует постоянное внешнее магнитное поле \vec{H} . Гамильтониан взаимодействия магнитного момента ядра атома с внешним магнитным полем \vec{H} имеет вид

$$\mathcal{H} = -\vec{\mu} \vec{H}, \quad (\text{IV.112})$$

где $\vec{\mu}$ — эффективный магнитный момент ядра. Пользуясь (IV.109) и (IV.111), получаем:

$$\mathcal{H} = -\beta_n (g_n - \delta_g) \vec{J} \vec{H} = -\vec{\mu}_n \vec{H} (1 - \sigma), \quad (\text{IV.113})$$

где $\vec{\mu}_n$ — магнитный момент «свободного», т. е. не окруженного электронами, ядра,

$$\vec{\mu}_n = \beta_n g_n I, \quad (\text{IV.114})$$

где I — полный момент количества движения «свободного» ядра; $\beta_n = e\hbar/2m_n c$. Параметр σ в уравнении (IV.113) определяется соотношением

$$\sigma = \delta_g / g_n. \quad (\text{IV.115})$$

Из уравнения (IV.113) следует, что постоянную величину σ можно интерпретировать как обусловленное электронной оболочкой атома изменение (экранирование) величины внешнего магнитного поля, действующего на ядро атома. Поэтому σ называют константой ядерного магнитного экранирования в атомах.

Молекулы и радикалы, как правило, не обладают сферической симметрией. Направления магнитного момента $\vec{\mu}$ и полного механического момента количества движения таких частиц могут не совпадать потому, что свойства орбитального движения электронов различны в различных направлениях. Для электронных магнитных моментов парамagnetных частиц

$$g_{\alpha\beta}^e = 2\delta_{\alpha\beta} + \Delta g_{\alpha\beta}^e, \quad (\text{IV.116})$$

где $\delta_{\alpha\beta}$ — единичный тензор. Тензор $g_{\alpha\beta}$ почти всегда симметричен. Главные оси тензора $g_{\alpha\beta}$ совпадают с осями симметрии молекулы. Для ядерных магнитных моментов молекул

$$g_{\alpha\beta}^n = g_n \delta_{\alpha\beta} - \Delta g_{\alpha\beta}^n. \quad (\text{IV.117})$$

С помощью уравнений (IV.108) и (IV.117) находим для гамильтониана взаимодействия магнитного момента ядра атома с постоянным внешним магнитным полем \vec{H} :

$$\mathcal{H} = -\vec{\mu} \vec{H} = -\beta_n I g_{\alpha\beta}^n \vec{H} = -\vec{\mu}_n (1 - \sigma) \vec{H}, \quad (\text{IV.118})$$

где $\vec{\mu}_n = \beta_n g_n \delta_{\alpha\beta} \vec{I}$ — магнитный момент свободного ядра; $\sigma = \Delta g_{\alpha\beta}^n / g_n$ — тензор экранирования.

Ядерный магнитный резонанс. Рассмотрим простой случай, когда магнитный момент ядра обусловлен только его спином. Состояния ядерного спина I квантованы, так что ядерное спиновое квантовое число m_I в любом направлении может принимать какое-либо одно из значений дискретного набора $I, I-1, \dots, -I$.

Спин протона $I = 1/2$, поэтому m_I может принимать значения либо $1/2$, либо $-1/2$. Гамильтониан, описывающий взаимодействие между магнитным моментом $\vec{\mu}_N$ протона и постоянным внешним магнитным по-

лем \vec{H} , направленным по оси Z лабораторной системы координат, имеет вид

$$\mathcal{H} = -\vec{\mu}_N \vec{H} = -g_N \beta_N H I_z = -\gamma_N \hbar H I_z. \quad (\text{IV.119})$$

Как уже было сказано, I_z может иметь значение $1/2$ или $-1/2$; β_N — ядерный магнетон протона, равный $e\hbar/2Mc$; g_N протона равен 5,585; γ_N — гиромагнитное отношение протона, равное $4107 \text{ рад} \cdot \text{с}^{-1} \times \times \text{э}^{-1}$. На рис. 29 изображена схема энергетических уровней протона в постоянном магнитном поле.

Из уравнения (IV.119) следует, что состояниям с меньшей энергией соответствует $m_I = +1/2$; в этом состоянии ядерный момент $\vec{\mu}_N$

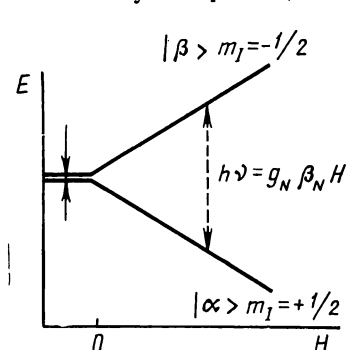


Рис. 29. Схема энергетических уровней E протона в постоянном магнитном поле H

параллелен магнитному полю \vec{H} . Состояниям с большей энергией соответствует $m_I = -1/2$.

Пусть ΔE обозначает разность энергий этих двух состояний при некотором значении магнитного поля H . Предположим, что система состоит из большого числа протонов, находящихся в термодинамическом равновесии; $N_{1/2}$ протонов имеет спин, равный $+1/2$; $N_{-1/2}$ протонов имеет спин равный $-1/2$. При тепловом равновесии в соответствии с принципом Больцмана

$$\frac{N_{1/2}}{N_{-1/2}} = e^{-\Delta E/k_B T}. \quad (\text{IV.120})$$

Так как $\Delta E < 0$, то согласно (IV.120) $N_{1/2} > N_{-1/2}$. Чтобы вызвать переходы протонов из одного состояния в другое, необходимо воздействовать на систему переменным полем, магнитный вектор которого перпендикулярен вектору \vec{H} постоянного магнитного поля. Кроме того, нужно, чтобы частота ν переменного магнитного поля удовлетворяла условию резонанса, которое следует из уравнения (IV.119).

$$h\nu = \beta_N g_N H. \quad (\text{IV.121})$$

В ЯМР спектрометрах рабочая частота ν переменного поля задана, изменяется напряженность постоянного поля H .

При выполнении условия (IV.121) поглощение энергии переменного поля резко возрастает. На графике, характеризующем зависимость поглощенной энергии от H , наблюдается резкий максимум.

Из (IV.121) следует, что частота, при которой наблюдается резонанс, пропорциональна напряженности постоянного внешнего магнитного поля H . Рабочие частоты современных ЯМР спектрометров достигают 100 МГц. В атомах и молекулах, как уже говорилось, под влиянием поля, создаваемого электронами, постоянное магнитное по-

ле, которое действует на магнитный момент ядра, уменьшается. Согласно уравнению (IV.118)

$$\vec{H}_{eff} = (1 - \sigma) \vec{H}, \quad (\text{IV.122})$$

где постоянная экранирования, как показывает опыт, по порядку величины равна 10^{-6} . При рабочей частоте 100 МГц период колебаний магнитного поля составляет $\simeq 10^{-8}$ с. За этот промежуток времени молекулы изотропных неполимерных жидкостей успевают изменить свою ориентацию много раз. Поэтому тензор экранирования $\sigma_{\alpha\beta}$ усредняется и уравнение (IV.118) приобретает следующий вид:

$$\mathcal{H} = -g_N \beta_N (1 - \sigma) H I_z. \quad (\text{IV.123})$$

Химический сдвиг. Если \vec{H}_0 — поле, при котором на рабочей частоте ν ЯМР спектрометра может наблюдаться резонанс свободного протона, а \vec{H}_1 — резонансное поле протона в атоме или молекуле, то из (IV.121) и (IV.123) следует:

$$h\nu = g_N \beta_N H_0 = g_N \beta_N (1 - \sigma) H_1 \quad (\text{IV.124})$$

или

$$\sigma = \frac{H_1 - H_0}{H_1} \simeq \frac{H_1 - H_0}{H_0}. \quad (\text{IV.125})$$

Положительные значения постоянной экранирования σ , часто именуемой «химическим сдвигом», означают, что сдвиг резонансной частоты происходит в область более сильного поля. В качестве стандартного состояния, при измерениях химического сдвига выбирают не свободные протоны, а протоны молекул растворителя или какой-либо эталонной жидкости, например тетраметилсилана. Единицей химического сдвига обычно служит одна миллионная доля (м. д.). Если в молекулах какого-либо соединения имеются химически неэквивалентные протоны 1 и 2 (например, протоны групп CHCl_2 и COOH в молекуле $\text{CHCl}_2\text{—COOH}$), то относительный химический сдвиг протонов 1 и 2 равен:

$$\sigma_1 - \sigma_2 = \frac{H_1 - H_2}{H_0}. \quad (\text{IV.126})$$

Нередко химический сдвиг выражают в герцах. В этом случае химический сдвиг обозначается символом δ . Разность относительных химических сдвигов $\delta_1 - \delta_2$ связана с разностью $\sigma_1 - \sigma_2$ соотношением

$$(\sigma_1 - \sigma_2) \nu = \delta_1 - \delta_2, \quad (\text{IV.127})$$

где ν — частота магнитного поля, на которой производятся измерения с помощью ЯМР спектрометра.

На величину химического сдвига влияют: 1) напряженность внешнего магнитного поля; 2) ядерное спин-спиновое взаимодействие; 3) магнитная анизотропия различных связей и групп в молекуле; 4) полярность молекулы; 5) объемная диамагнитная восприимчивость раствора, которая изменяет химический сдвиг на величину $\sigma_m = k\chi$, где k — постоянная, зависящая от формы образца; χ — диамагнитная восприимчивость; 6) слабые химические взаимодействия исследуемой молекулы с окружающей средой; 7) реактивное поле R исследуемой мо-

Отметим также, что по наблюдениям Райнеса и Раза химический сдвиг метильных протонов молекул ДМФ для растворов в *n*-гексане и других перечисленных «инертных» растворителях меньше, чем химический сдвиг в бензоле, на 10 и более герц, что указывает на существование короткодействующих сил притяжения между протонами групп CH_3 в ДМФ и молекулами растворителя. Кроме того, были изучены растворы ДМФ в $\text{Si}(\text{OC}_2\text{H}_5)_4$ и $\text{Si}(\text{OCH}_3)_4$. Появление в молекулах растворителя кислорода сопровождается уменьшением $\delta_{\text{цис}}$ на 2,3 и $\delta_{\text{транс}}$ на 6,8 Гц отчасти под влиянием реактивного поля; так что в итоге расщепление $\delta_{\text{цис}} - \delta_{\text{транс}}$ возрастает на 2,6 Гц. По-видимому, здесь играют роль и слабые Н-связи $\text{C}-\text{H}\cdots\text{O}$ с участием метильных протонов молекул ДМФ [68].

Спин-решеточная релаксация [66, 69, 70]. Ядерные спины всегда взаимодействуют со своим окружением—«решеткой». Обычно это взаимодействие мало и поэтому можно с известным приближением [64] различать спиновую температуру и температуру решетки. В результате слабого взаимодействия между решеткой и ядерными спинами обе системы находятся в тепловом равновесии друг с другом. Теплоемкость спиновой системы очень мала по сравнению с теплоемкостью решетки, за исключением систем, находящихся при температурах, близких к 0 К. Поэтому температура, характеризующая состояние равновесия между решеткой и ядерными спинами, обычно близка к температуре решетки. Поглощение энергии радиочастотных колебаний спиновой системой уменьшает заселенность состояния, соответствующего минимуму энергии. Этому противостоит передача теплоты от ядер к решетке, способствующая увеличению заселенности нижнего уровня энергии спиновой системы.

Переходы на низший уровень происходят под влиянием магнитного поля окружающих частиц. Процесс восстановления нарушенного равновесия между системой ядерных спинов и «решеткой» называется спин-решеточной релаксацией. Чтобы охарактеризовать способы экспериментального исследования спин-решеточной релаксации, воспользуемся следующим примером. Протоны обычного льда при -180°C были подвергнуты воздействию радиочастотного поля высокой интенсивности. Затем поле было уменьшено до величины достаточно малой, чтобы можно было наблюдать резонансное поглощение. При этом наблюдался экспоненциальный рост сигнала поглощения.

Пусть \vec{M}_{0z} обозначает *Z*-компоненту равновесного макроскопического магнитного момента, обусловленного системой атомных ядер, в единице объема в постоянном поле \vec{H}_{0z} ; \vec{M}_z есть *Z*-компонента магнитного момента в отсутствии равновесия. \vec{M}_{0z} и \vec{M}_z равнаправлены вектору напряженности внешнего магнитного поля \vec{H}_{0z} . В тех случаях, когда релаксационный процесс описывается экспоненциальной функцией, производная \vec{M}_z по времени следует уравнению Блоха

$$\frac{d\vec{M}_z}{dt} = -\frac{\vec{M}_z - \vec{M}_{0z}}{T_1}, \quad (\text{IV.128})$$

где T_1 — константа, называемая временем продольной релаксации, так как речь идет о приближении к равновесию той из компонент магнитного момента, которая равнонаправлена внешнему магнитному полю. T_1 представляет собой время, за которое в ходе магнитной релаксации разность $\vec{M}_Z - \vec{M}_{0Z}$ уменьшается в e раз. В опытах со льдом T_1 оказалось равным $6 \cdot 10^2$ с. В твердых телах T_1 может принимать значения от 10^{-4} до 10^4 с, а в однокомпонентных жидкостях — от 10^{-3} до 10 с. В жидких растворах, содержащих парамагнитные соединения, T_1 может уменьшаться до 10^{-5} с [66, 69].

Поперечная спин-решетчатая релаксация. Кроме компоненты \vec{M}_Z неравновесный магнитный момент имеет компоненты \vec{M}_X и \vec{M}_Y . При достижении состояния равновесия \vec{M}_X и \vec{M}_Y стремятся к нулю, $\vec{M}_{0X} = 0$ и $\vec{M}_{0Y} = 0$, так что $\vec{M}_{0Z} \equiv \vec{M}_0$. Если релаксация компонент \vec{M}_X и \vec{M}_Y происходит экспоненциально, то производные \vec{M}_X и \vec{M}_Y по времени t подчиняются уравнениям Блоха:

$$\frac{d\vec{M}_X}{dt} = \omega_0 \vec{M}_Y - \frac{\vec{M}_X}{T_2}; \quad \frac{d\vec{M}_Y}{dt} = -\omega_0 \vec{M}_X - \frac{\vec{M}_Y}{T_2}, \quad (\text{IV.129})$$

где ω_0 — частота ларморовой прецессии ядерных магнитных моментов вокруг направления магнитного поля; T_2 — поперечное время спиновой релаксации, называемое так потому, что речь идет о релаксации компонент \vec{M}_X и \vec{M}_Y , направленных под прямым углом к вектору постоянного внешнего магнитного поля \vec{H}_{0Z} .

Спин-решетчатая релаксация в жидкостях [70]. Приближенная теория спин-решеточной релаксации приводит к соотношениям, из которых следует, что T_1 и T_2 зависят от произведения ω_0 на время корреляции ориентаций молекул τ_c .

$$\tau_c = 4\pi\eta a^3 / 3k_B T, \quad (\text{IV.130})$$

где η — коэффициент вязкости; a — радиус сферической молекулы. Для воды при 20°C $\eta = 0,01$ П. Полагая радиус молекулы воды a равным $1,5 \cdot 10^{-8}$ см и подставляя указанные значения η и a в (IV.130), находим $\tau_c = 3,5 \cdot 10^{-12}$ с. Экспериментальные исследования [71] диэлектрических радиоспектров воды дают при 20°C для среднего времени дипольной релаксации воды $\tau_D = 9,1 \cdot 10^{-12}$ с. Так как $\tau_c = \frac{\tau_D}{3}$, получаем $\tau_c = 3 \cdot 10^{-12}$ с.

Если ЯМР спектрометр работает на частоте 60 МГц, то $\omega_0 = 1,9 \times 10^8$ рад/с и произведение $\omega_0 \tau_c \ll 1$. Тогда из теории следует, что

$$T_1 = T_2, \quad (\text{IV.131})$$

$$\frac{1}{T_1} = \frac{3}{2} \frac{g_N^4 \beta_N^4}{\hbar^2 r^6} \tau_c + \frac{\pi}{5} \frac{g_N^4 \beta_N^4}{\hbar^2} \frac{N}{D b}, \quad (\text{IV.132})$$

где r — расстояние между ближайшими протонами в молекуле воды, равное $1,58 \cdot 10^{-8}$ см; N — концентрация спинов, т.е., в данном случае,

число протонов в единице объема; b — расстояние наибольшего сближения между спинами соседних молекул; D — коэффициент самодиффузии. Первый член в (IV.132) представляет собой вклад вращательного движения молекул в $1/T_1$ при условии, что $\omega_0\tau_c \ll 1$, второй член в (IV.132) — вклад поступательного движения молекул в $1/T_1$. Оба эти вклада, согласно (IV.132), должны быть пропорциональны отношению коэффициента вязкости η к температуре T , т. е. η/T , поскольку первый из них зависит от времени корреляции $\tau_c = 4\pi a^3\eta/k_B T$, а второй — от коэффициента диффузии D , который для сферических молекул тоже зависит от η/T , так как в этом случае $D^{-1} = 6\pi\eta a/k_B T$.

Как уже говорилось, g -фактор протона $g_N = 5,585$; ядерный магнетон $\beta_N = e\hbar/2Mc = 5,0509 \cdot 10^{-27}$ Дж/Т⁻¹ (Т — тесла). Принимая для молекул воды $D = 1,85 \cdot 10^{-5}$ см²/с, $N = 6,75 \cdot 10^{22}$, $b = 1,74 \cdot 10^{-8}$ см и подставляя эти значения в (IV.132), находим, что T_1 равно 2,4 с. Опыт дает 3,6 с.

Обозначая первый член в (IV.132) как $(1/T_1)_{\text{rot}}$, а второй член как $(1/T_1)_{\text{trans}}$, получаем: $T_{1,\text{rot}} = 6$ с; $T_{1,\text{trans}} = 13,6$ с.

Из теории следует, что при $\omega_0\tau_c \gg 1$ продольное и поперечное времена спин-решеточной релаксации должны расходиться. В окрестности точки $\omega_0\tau_c \simeq 1$ продольное время релаксации проходит через минимум, а поперечное время релаксации продолжает уменьшаться, как это показано на рис. 30. Эти выводы теории подтверждаются измерениями T_1 и T_2 протонов в глицерине [72].

Электронный парамагнитный резонанс (ЭПР) наблюдается, когда переменное электромагнитное поле вызывает переходы между уровнями энергии, различающимися ориентацией магнитного момента электрона в пространстве. Физические принципы, на которых базируются исследования спектров ЭПР и ЯМР, во многом сходны. Поэтому вопросы теории ЭПР рассматриваться не будут. Читатель, интересующийся теоретическими основами и применениями ЭПР спектроскопии, может получить необходимые сведения в [70, 73, 74]. Методы ЭПР наиболее эффективны при изучении разбавленных растворов парамагнитных частиц в результате высокой чувствительности ЭПР спектрометров. В отдельных случаях можно обнаруживать примеси парамагнитных частиц, концентрация которых составляет величину порядка 10^{-8} моль/л.

§ 14. ИНФРАКРАСНАЯ СПЕКТРОСКОПИЯ

ИК спектры жидкостей, как правило, колебательные спектры. Они обусловлены изменениями колебательных состояний мономерных молекул, а также их ассоциатов и комплексов. Свободное вращение молекул

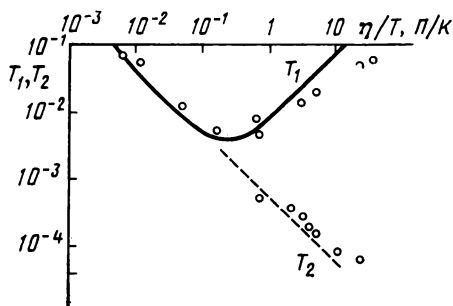


Рис. 30. Времена релаксации T_1 и T_2 протонов в глицерине при температурах от 60 до 350°С (Измерения производились при 29 МГц) [70]

в жидкостях, за редким исключением, отсутствует. Поэтому вращательные переходы в ИК спектрах обычно не наблюдаются [75]. У некоторых сложных молекул энергии соседних электронных состояний близки. Тогда в ИК спектрах растворов таких молекул наблюдаются полосы, вызванные электронными переходами [76].

Каждому отдельному переходу в ИК спектре соответствует резонансная полоса, интенсивность которой, если исключить искажения, вызванные приборами, описывается эмпирической функцией Лоренца

$$\ln \left[\frac{I(\nu)}{I(\nu_0)} \right] = \frac{b^2}{b^2 + (\nu - \nu_0)^2}. \quad (\text{IV.133})$$

где ν_0 и $I(\nu_0)$ — частота и интенсивность, соответствующие максимуму полосы; b — половина полуширины полосы поглощения:

$$b = \frac{1}{2} \Delta \nu_{1/2}. \quad (\text{IV.134})$$

В колебательных спектрах многоатомных молекул частоты ν_0 , связанные с различными колебательными переходами, нередко бывают близки друг другу. Тогда соседние полосы налагаются друг на друга. Кроме того, если два колебательных уровня многоатомной молекулы, принадлежащие различным колебаниям или комбинациям колебаний, имеют почти одинаковую или одинаковую энергию (а значит, и частоту), то между этими случайно совпадающими по частоте колебательными состояниями возникает резонанс Ферми. Происходит «отталкивание» таких колебательных уровней друг от друга и перераспределение энергии колебаний между этими уровнями. Например, когда частота валентного колебания ν_s связи $X—Y$ близка к частоте $2\nu_b$ первого обертона деформационного колебания ν_b той же связи и симметрия этих колебаний одинакова, то между колебаниями $2\nu_b$ и ν_s возникает резонанс Ферми. Колебательные уровни $h\nu_s$ и $2h\nu_b$ «отталкиваются». В ИК спектрах поглощения вместо одной полосы, соответствующей наложению колебаний ν_s и $2\nu_b$, наблюдаются две полосы. Интенсивность полосы обертона деформационного колебания $2\nu_b$ возрастает за счет интенсивности основной полосы валентного колебания ν_s , которая ослабляется. Происходит перекачка энергии от валентного колебания $X—Y$ к первому обертому деформационного колебания той же группы атомов. Это обнаруживается, например, у характеристических полос поглощения, связанных с валентными и деформационными колебаниями групп $C—H$ в ИК спектрах метана.

По этим причинам полосы колебательных спектров многоатомных молекул обычно имеют сложную структуру. Расшифровка колебательных спектров веществ, состоящих из многоатомных молекул, — нелегкая задача, даже когда речь идет о разбавленных растворах этих веществ в «инертных» растворителях, где можно пренебречь влиянием ассоциации растворенных молекул друг с другом и комплексобразованием их с растворителем. Методы изучения колебательных спектров многоатомных молекул, способы их расшифровки описаны в [77].

ИК спектры подразделяются на спектры поглощения и комбинационного рассеяния. В ИК спектрах поглощения наблюдаются те нор-

мальные колебания молекул, для которых отлична от нуля производная дипольного момента молекулы \vec{p} по соответствующей нормальной координате Q_i :

$$\frac{\partial \vec{p}}{\partial Q_i} \neq 0. \quad (\text{IV.135})$$

В ИК спектрах комбинационного рассеяния наблюдаются те нормальные колебания молекул, у которых не равен нулю тензор производной поляризуемости молекул α_{xy} по Q_i :

$$\frac{\partial \alpha_{xy}}{\partial Q_i} \neq 0. \quad (\text{IV.136})$$

Условия (IV.135) и (IV.136) зависят от вида колебаний, строения и симметрии молекулы. Они облегчают расшифровку ИК спектров. Подобно тому, как сам факт присутствия релаксационной полосы в акустических, диэлектрических и релеевских спектрах говорит о механизме связанной с ней нормальной реакции (см. § 9—11), так и в данном случае присутствие резонансной полосы в ИК спектре поглощения или комбинационного рассеяния указывает на характер нормального колебания, соответствующего этой резонансной полосе.

ИК спектроскопия широко применяется для изучения концентрации и состояния веществ в разбавленных растворах. В качестве растворителей обычно выбираются «химически инертные» жидкости, не имеющие полос поглощения в области спектра, которая изучается. Интенсивность полосы поглощения растворенного вещества зависит от его концентрации. Изучая эту зависимость и форму полосы поглощения, можно получить сведения о состоянии растворенного вещества и его концентрации, что важно для кинетических исследований. При увеличении концентрации растворенного вещества расшифровка ИК спектров усложняется. Ассоциация молекул влияет на положение и форму полос. Появляются новые полосы. По этим причинам возможности ИК спектроскопии при анализе строения концентрированных растворов и чистых жидкостей пока что существенно ограничены. Все же и в этих случаях ИК спектры полезны для нахождения дополнительной качественной информации о строении жидких фаз. Большой интерес представляет в этом отношении ИК спектроскопия в области частот $10^{12} - 10^{13}$ Гц, непосредственно примыкающей к частотам радиодиапазона. Она позволяет получать экспериментальные данные о колебательных спектрах наименее устойчивых молекул ассоциатов и комплексов, средняя продолжительность жизни которых составляет $10^{-11} - 10^{-12}$ с. Если методы и техника ИК спектроскопии в этой области достигнут такого уровня, что окажется возможным расшифровывать колебательные спектры неустойчивых ассоциатов и комплексов в концентрированных растворах, то ИК спектроскопия может стать одним из основных способов исследования быстрых реакций в жидких фазах.

§ 15. ТЕРМОДИНАМИЧЕСКИЕ МЕТОДЫ

В этом параграфе речь идет о классических методах термодинамики, таких, как измерения давления и плотности насыщенных паров чистых жидкостей и растворов, исследования равновесий жидкость — жидкость и жидкость — твердая фаза, определения плотности, сжимаемости, коэффициентов расширения, теплоемкости и т. п. Эти методы непосредственно не несут сведений о кинетике и механизмах быстрых реакций в жидких фазах. Они не связаны с изучением отклика жидкости на возмущения, вызываемые внешними воздействиями — электрическими, магнитными, акустическими. Но знание некоторых из термодинамических свойств бывает необходимо для расшифровки результатов кинетических исследований.

Так, например, для теоретического анализа результатов измерений диэлектрической проницаемости требуются сведения о плотности жидкой фазы. При теоретическом анализе акустических спектров используются результаты измерений плотности, теплоемкости при постоянном давлении C_p и постоянном объеме C_v , равновесного коэффициента расширения θ^0 . Кроме того, классические методы термодинамики могут быть источником информации о строении жидких фаз, которая полезна для теоретического анализа результатов кинетических исследований [78—89].

Чтобы по данным о термодинамических свойствах жидкостей можно было судить о их строении, нужна теория, связывающая термодинамические свойства со строением жидкостей и межмолекулярными взаимодействиями. Для создания такой теории необходимо воспользоваться одним из общих уравнений статистической механики, связывающих какой-либо из термодинамических потенциалов жидкости с координатами и импульсами молекул, из которых жидкость состоит. Таково, например, уравнение для свободной энергии

$$F = -k_B T \ln Z_N;$$

$$Z_N = \text{const} \int \dots \int e^{-H(p, q)} dp dq, \quad (\text{IV.137})$$

где $H(p, q)$ — гамильтониан жидкости, т. е. ее кинетическая и потенциальная энергии, представленные в виде функций координат q и импульсов p частиц. Символы p и q в уравнении (IV.137) обозначают множество координат и импульсов всех частиц, занимающих заданный объем V жидкости при некоторой определенной температуре T . Если какой-либо из термодинамических потенциалов жидкости вычислен с достаточно высокой степенью точности, то расчеты всех других термодинамических свойств жидкости могут быть выполнены с помощью простых термодинамических соотношений, которые можно найти в курсах термодинамики (см. например, [83]).

Допустим, что с помощью уравнения (IV.137) удалось найти с высокой степенью точности свободную энергию жидкости как функцию T , V и чисел молекул компонентов жидкой фазы N_1, \dots, N_K ; $N = \sum_{i=1}^K N_i$.

Тогда производные свободной энергии

$$S = -\left(\frac{\partial F}{\partial T}\right)_{V, N_i}; \quad \mu_i = \left(\frac{\partial F}{\partial N_i}\right)_{T, V, N_j}; \quad P = -\left(\frac{\partial F}{\partial V}\right)_{T, N_i} \quad (\text{IV.138})$$

дают энтропию S , химические потенциалы μ_i компонентов жидкости и давление P как функцию T , V и N_i , т. е. уравнение состояния жидкой фазы. Затем, пользуясь соотношениями

$$H = F + TS; \quad C_V^\circ = \left(\frac{\partial H}{\partial T}\right)_V; \quad C_P^\circ = \left(\frac{\partial H}{\partial P}\right)_V; \quad U = H - PV; \quad \beta_T^\circ = \frac{1}{V} \left(\frac{\partial V}{\partial P}\right)_T,$$

можно вычислить энтальпию H , внутреннюю энергию U , равновесные теплоемкости C_V° и C_P° , равновесную изотермическую сжимаемость β_T° и т. д.

Вернемся к уравнению (IV.137). Для расчета F надо определить гамильтониан жидкости $H(p, q)$, для чего необходимо знать, как потенциальная и кинетическая энергия каждой из молекул жидкости зависит от ее собственных координат и импульсов, а также от координат и импульсов других молекул. А это означает, что сначала нужно построить молекулярную модель жидкой фазы. Чем ближе такая модель будет соответствовать действительности, тем лучше должны совпадать с опытом результаты расчетов термодинамических потенциалов и их первых и вторых производных, которые определяют перечисленные выше и другие важнейшие термодинамические свойства системы. Но правильная модель жидкости может быть создана лишь в том случае, если правильно охарактеризовано строение жидкости и хорошо определены силы, действующие между молекулами.

Молекулярная модель жидкой фазы, необходимая для расчета термодинамических свойств, в принципе может быть установлена с помощью оптических, радиофизических, акустических и других методов, независимых от методов классической термодинамики. Для каждой жидкой фазы отыскивается модель, учитывающая специфические особенности строения и межмолекулярных взаимодействий, присущие именно этой жидкой фазе.

Эта задача трудна и для большинства жидкостей еще не решена.

§ 16. О СПОСОБАХ ВЫЯСНЕНИЯ МЕХАНИЗМОВ БЫСТРЫХ РЕАКЦИЙ В ЖИДКИХ ФАЗАХ

В жидкостях протекает одновременно целый ряд быстрых и сверхбыстрых реакций, различающихся физической природой и механизмом (см. § 4). Нужно располагать критериями, позволяющими выделять и изучать реакции какого-либо одного вида, несмотря на присутствие реакций других видов. Быстрые и сверхбыстрые реакции одного вида, как правило, представляют собой множество однотипных элементарных естественных реакций. Надо иметь возможность охарактеризовать механизм каждой из элементарных реакций и определить ее место и роль в упомянутом множестве.

Механизмы элементарных реакций зависят от межмолекулярных взаимодействий и строения ассоциатов и комплексов. Нужно знать, как молекулы интересующей нас жидкой фазы образуют связи друг с

другом. Требуется проводить экспериментальные исследования с помощью методов, позволяющих надежно фиксировать отклик системы на очень короткие во времени внешние возмущения, продолжительность которых может составлять до 10^{-12} — 10^{-13} с.

Решение задачи становится возможным благодаря следующим обстоятельствам:

1. Существуют методы, позволяющие получать сведения непосредственно о нормальных реакциях, т. е. о группах зависящих друг от друга естественных реакций. Во многих случаях методы дают информацию лишь об одной, двух или трех нормальных реакциях и этого оказывается достаточно, чтобы выяснить физическую природу и механизмы множества соответствующих естественных реакций. Связь между естественными и нормальными реакциями кратко обсуждалась в § 7. Более подробно она будет проанализирована во второй части этой книги. Экспериментальные методы, о которых идет речь, — акустическая спектроскопия, диэлектрическая радиоспектроскопия и релеевская спектроскопия — охарактеризованы в этой главе.

2. Отклик системы на внешнее механическое или электрическое воздействие во многих случаях определяется механизмом реакции, а также строением исходных реагентов и продуктов реакции. Так, например, в окрестности термодинамического равновесия акустические методы позволяют наблюдать лишь те реакции, которые сопровождаются изменением энтальпии или объема системы или тем и другим вместе. С помощью диэлектрической радиоспектроскопии обнаруживаются только те реакции, которые приводят к изменению поляризации жидкости во внешнем электрическом поле. Релеевская спектроскопия фиксирует реакции, которые изменяют анизотропию поляризуемости жидкой фазы. Поэтому измерения акустического, диэлектрического или релеевского спектров сами по себе, без выявления вкладов естественных реакций, уже несут важную информацию о физической природе и механизмах соответствующих естественных реакций. Комплексное изучение жидкой фазы несколькими, а еще лучше многими методами, позволяет выявить всю совокупность естественных элементарных реакций, происходящих при тепловом движении, и дать наиболее обоснованные выводы о механизмах таких реакций.

3. У каждого отдельного вида элементарных реакций имеются свои особенности, отличающие, например, реакции возбуждения внутримолекулярных колебаний от реакций ассоциации и комплексообразования, реакции ассоциации — от бимолекулярных реакций перестройки ассоциатов и т. д. Разные виды реакций обнаруживают неодинаковое поведение в зависимости от температуры, состава жидкой фазы, особенностей межмолекулярного взаимодействия, строения молекул, составляющих жидкость, строения жидкой фазы в целом. Поэтому систематическое исследования акустических, диэлектрических, релеевских спектров и других свойств жидких фаз при изменении температуры давления и состава жидкости существенно способствуют выяснению механизмов и кинетики быстрых и сверхбыстрых реакций. Эти же исследования обогащают и уточняют данные о строении жидких фаз и взаимодействиях между молекулами.

Следует сказать, что выводы о строении жидкостей и о механизмах реакций, как правило, имеют характер вероятностных суждений. Комплексные и систематические исследования, достаточно широко и последовательно выполненные с помощью ряда независимых экспериментальных методов, позволяющих превращать вероятностные высказывания в достоверные утверждения.

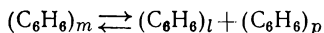
Рассмотрим, например, некоторые из процессов, протекающие в бензоле.

Акустическая релаксация в бензоле. Исследования акустических спектров жидкого бензола обнаруживают широкую и интенсивную полосу поглощения, расположенную в интервале частот от $\simeq 50$ МГц до $\simeq 5$ ГГц. На рис. 18 приведены экспериментальные данные при 20°C . На оси абсцисс отложены величины $\lg \omega$, где $\omega = 2\pi f$ — круговая частота звуковых колебаний, распространяющихся в бензоле. На оси ординат отложены значения индекса поглощения звука $\mu = \alpha_a \lambda$, где α_a — амплитудный коэффициент поглощения звуковых волн, длина которых равна λ , а частота ν (см. § 10). Исследование экспериментальной кривой, изображенной на рис. 18, показывает, что эта кривая в пределах ошибок опыта следует уравнению

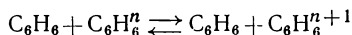
$$\mu \left(\frac{c_0}{c} \right)^2 = \pi b_a \frac{\omega \tau_{PS}}{1 + (\omega \tau_{PS})^2}, \quad (\text{IV.139})$$

где τ_{PS} и b_a — параметры кривой, не зависящие от частоты ν ; τ_{PS} — время релаксации; b_a — релаксационная сила (подробнее см. § 10 и гл. VI). При 20°C $\tau_{PS} = 2,7 \cdot 10^{-10}$ с, $b_a = 0,212$.

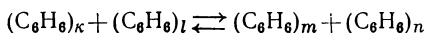
Из теории акустических спектров следует, что полоса поглощения, подчиняющаяся уравнению (IV.139), может возникнуть в результате воздействия звуковых волн на нормальную реакцию, происходящую при тепловом движении в бензоле. Нормальная реакция должна представлять собой линейную комбинацию таких естественных реакций, которые сопровождаются изменением энтальпии бензола и его объема или какой-либо одной из этих величин. Иначе она не могла бы наблюдаться в акустических спектрах. Этому условию удовлетворяют два вида элементарных реакций — реакции распада и образования ассоциатов



и реакции возбуждения колебательных степеней свободы молекул бензола, например



где индексами n и $n + 1$ обозначены различные возбужденные колебательные состояния молекулы бензола, причем $n + 1$ колебательное состояние соответствует большей величине энергии внутримолекулярных колебаний. Обе эти реакции сопровождаются увеличением энтальпии жидкости при смещении равновесия вправо и уменьшением ее энтальпии при смещении равновесия влево. Бимолекулярные реакции перестройки ассоциатов



Вклад энергии возбуждения внутримолекулярных колебаний в теплоемкость жидкого бензола по данным акустической спектроскопии δC_a и ИК спектроскопии [56] δC в Дж·моль⁻¹·К⁻¹

$t, ^\circ\text{C}$	$C_P, \text{ Дж} \cdot \text{моль} \cdot ^{-1}\text{К}^{-1}$	$C_V, \text{ Дж} \cdot \text{моль} \cdot ^{-1}\text{К}^{-1}$	δC	δC_a
10	131,7	90,8	43,9	39,3
20	134,5	93,6	47,4	45,6
30	136,7	97,0	50,2	49,7

не сопровождаются заметными изменениями энтальпии и объема системы, так как в результате реакции не изменяется число связей С—Н ... C_π между молекулами бензола, вызывающих ассоциацию. Поэтому бимолекулярные реакции перестройки ассоциатов не могут влиять на акустические спектры. Поворотнo-изомерные превращения мономерных молекул бензола, как известно, отсутствуют. Некоторые из поворотнo-изомерных превращений ассоциатов в принципе могли бы быть акустически наблюдаемы, но различия в энтальпии поворотных изомеров молекул ассоциатов должны быть очень малыми, во всяком случае существенно меньшими, чем энтальпия образования связи С—Н ... C_π , соответствующая всего лишь около 4 кДж/м. Поэтому поворотнo-изомерные превращения ассоциатов бензола тоже не могут иметь заметное влияние на акустические спектры.

При повышении температуры релаксационная сила полосы поглощения в акустическом спектре растет. Это должно наблюдаться для реакций возбуждения внутримолекулярных колебаний и мало вероятно для реакций ассоциации, так как с ростом температуры концентрация ассоциатов обычно уменьшается.

Как правило, реакции ассоциации в жидкостях сопровождаются большими изменениями объема системы. В ходе этих реакций изменяется число молекул и число связей между ними, например из одной молекулы $(C_6H_6)_m$ образуется две молекулы, а именно $(C_6H_6)_l$ и $(C_6H_6)_p$, и наоборот. Реакции возбуждения практически не влияют на объем системы. В тех случаях, когда объемным эффектом нормальной реакции можно пренебречь, по экспериментальным данным о релаксационной силе b_a легко определить вклад δC_a интересующего нас акустически наблюдаемого процесса в теплоемкость жидкости. Расчет производится по формуле (см. гл. VI)

$$\delta C_a = \frac{b_a C_P}{\frac{C_P}{C_V} + b_a - 1}, \quad (\text{IV.140})$$

где C_P и C_V — теплоемкости жидкости при постоянном давлении и постоянном объеме, соответственно. В табл. 4 приведены результаты расчетов δC_a , выполненных в работе [56] на основании исследований акустического спектра бензола, проведенных авторами этой работы. Из таблицы видно, что при повышении температуры ΔC_a рас-

тет. Это согласуется с предположением, что наблюдаемый процесс вызван реакциями возбуждения внутримолекулярных колебаний. Значения δC найдены с помощью формулы Планка—Эйнштейна по данным о колебательных спектрах жидкого бензола.

Величины δC и δC_a согласуются в пределах ошибок опыта. Это подтверждает, что полоса поглощения в акустическом спектре бензола, представленная на рис. 20, обусловлена реакциями возбуждения внутримолекулярных колебаний, т. е. колебательной релаксацией.

Теперь надо сказать об исследованиях реакций ассоциации. Ассоциаты бензола имеют небольшой электрический момент диполя порядка $0,2D$, возникающий за счет перераспределения электронной плотности в молекулах бензола при образовании связей $C-H \dots C_\pi$ [50]. Поэтому реакциям ассоциации бензола должна соответствовать релаксационная полоса поглощения в спектре электромагнитных волн. Эта полоса обнаружена методами диэлектрической радиоспектроскопии [90, 91]. Указанной полосе поглощения соответствует время релаксации порядка 10^{-12} с. Аналогичные результаты были получены на основе анализа релеевских спектров бензола [92].

Акустическими методами при атмосферном давлении эта реакция в бензоле не может быть исследована потому, что соответствующая ей релаксационная частота ~ 100 ГГц пока недоступна для акустических измерений в жидкостях.

ГЛАВА V

ТЕОРИЯ КОНСТАНТ СКОРОСТЕЙ РЕАКЦИЙ И КОМПЕНСАЦИОННЫХ ЭФФЕКТОВ В ЖИДКОСТЯХ

§ 17. ТЕОРИЯ АБСОЛЮТНЫХ СКОРОСТЕЙ РЕАКЦИИ (ТАС) В ИДЕАЛЬНЫХ ГАЗАХ

Пусть в какой-либо однофазной системе протекают две элементарные реакции, которые следуют стехиометрическому уравнению



где M_i — молекулы сорта i ; ν_i и ν'_i — стехиометрические коэффициенты реакции, $\nu_i, \nu'_i = 0, 1, 2, \dots$

По основному постулату химической кинетики, который базируется на результатах опыта, скорость прямой реакции (V.1) v_1 определяется уравнением

$$v_1 = -k_1 \prod_i [M_i]^{\nu_i}, \quad (V.2)$$

а скорость обратной реакции (V.1) v_2 — уравнением

$$v_2 = k_2 \prod_i [M_i]^{v_i'}, \quad (\text{V.3})$$

где $[M_i]$ — концентрация сортов молекул M_i ; k_1 и k_2 — константы скоростей или, иначе говоря, удельные скорости прямой или обратной реакции, соответственно.

Предположим, что концентрации $[M_i]$ известны. Тогда для вычисления скоростей прямой или обратной реакций достаточно знать константы скорости k_1 или k_2 . Теория, указывающая пути расчета констант k_1 и k_2 , называется *теорией констант скоростей реакций*.

История зарождения и развития теории констант скоростей реакций связана с именами Аррениуса, Бренстеда, Поланьи, Эйринга, Семенова, Баландина и многих других исследователей [10, 15, 93].

Теория констант скоростей реакций в идеальных газах подразделяется на теорию активных столкновений и теорию абсолютных скоростей реакций. В теории активных столкновений предполагается, что молекулы термодинамически равновесного идеального газа представляют собой упругие шарики. Вероятность столкновения таких шариков в единице объема в единицу времени определяется с помощью методов статистической механики. Расхождение между теорией и опытом устраняется с помощью подгоночного параметра, называемого «стерическим коэффициентом». Значительно больший интерес представляет теория абсолютных скоростей реакций (ТАС). Теория опирается на следующие постулаты [94]:

1. Все реакции, требующие энергии активации E_A , т. е. подчиняющиеся эмпирическому уравнению Аррениуса

$$k = Ze^{-E_A/RT}, \quad (\text{V.4})$$

должны пройти через стадию образования активного комплекса. Или, в более общем случае, реагенты должны перейти в «активное состояние»*. В уравнении (V.4) множитель Z постоянен или слабо зависит от температуры T ; R — газовая постоянная.

2. Активный комплекс есть некоторая конфигурация, состоящая из реагирующих между собой атомов или молекул и находящаяся на вершине потенциального барьера, лежащего между начальным состоянием (до реакции) и конечным состоянием (после реакции) (рис. 31).

3. Потенциальный барьер имеет сравнительно плоскую вершину.

4. Активный комплекс обладает почти всеми свойствами обычной молекулы. Он устойчив по отношению к перемещениям составляющих его частиц во всех направлениях, кроме одного из направлений, которое называется координатой реакции. Если частицы, составляющие активный комплекс, двигаются вдоль координаты реакции и преодолевают потенциальный барьер, активный комплекс распадается на части, представляющие собой продукты реакции.

* В литературе часто используется термин «активированный комплекс».

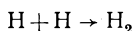
5. Степень свободы, соответствующая координате реакции, может рассматриваться как степень свободы одномерного поступательного движения.

6. Скорость реакции определяется скоростью, с которой активный комплекс проходит через вершину потенциального барьера.

7. Исходные вещества всегда находятся в равновесии с активными комплексами.

8. Процесс перемещения активного комплекса вдоль координаты реакции на вершине потенциального барьера происходит достаточно медленно по сравнению с временем, требующимся для установления максвелловского распределения скоростей. Последнее при 300 К в жидкостях составляет около 10^{-13} с. В газах оно превышает эту величину и растет с уменьшением плотности (подробнее см. § 26).

9. Не все активные комплексы, находящиеся на вершине потенциального барьера, превращаются в конечные продукты реакции — часть из них распадается с образованием исходных веществ. Доля активных комплексов, превращающихся в конечные продукты реакции, определяется трансмиссионным коэффициентом κ . Этот коэффициент может быть очень малым. Так, например, в отсутствие третьего тела, отводящего энергию реакции, трансмиссионный коэффициент реакции



имеет величину порядка 10^{-14} [94]. Активные комплексы прямой реакции, образующиеся из исходных веществ, и активные комплексы обратной реакции, образующиеся из конечных продуктов реакции (V.1), тождественны. ТАС развита для реакций, протекающих в разреженных газах.

Основное уравнение теории имеет вид

$$k = \kappa_3 \frac{k_B T}{h} \exp(-\Delta G^\ddagger / RT), \quad (\text{V.5})$$

где κ_3 — трансмиссионный коэффициент Эйринга; k_B — постоянная Больцмана; h — постоянная Планка ($h = 6,62517 \cdot 10^{-34}$ Дж · с); ΔG^\ddagger — стандартная свободная энтальпия активации системы в расчете на моль активных комплексов. (Обычно ее называют «свободной энтальпией активации».) В качестве стандартного состояния выбрано такое состояние системы, когда концентрации всех реагентов $[M_i]$, фигурирующих в уравнении (V.1) равны единице. Размерности константы скорости k и выражения в правой части уравнения (V.5) должны быть

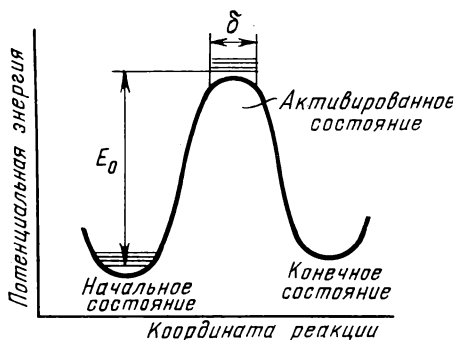


Рис. 31. Кривая потенциальной энергии реакции с воображаемым потенциальным ящиком, соответствующим активированному состоянию [94]

одинаковы. Это достигается тем, что в правой части (V.5) фигурирует размерный множитель, зависящий от выбора стандартного состояния, которое, в свою очередь, определяется способом выражения концентраций реагентов, фигурирующих в уравнениях (V. 2) или (V.3) для скоростей реакций. Если стандартное состояние выбрано, то в уравнении (V.5) появляется соответствующий размерный множитель, например 1 с^{-1} для мономолекулярных реакций, $1 \text{ л} \cdot \text{моль}^{-1} \cdot \text{с}^{-1}$ для бимолекулярных реакций и т. п. Множитель $k_B T/h$ имеет размерность частоты. $k_B T/h$ представляет собой частоту, с которой активный комплекс переходит через вершину потенциального барьера при температуре T ; при 300 К эта частота составляет $6,250744 \text{ с}^{-1}$. Множитель $\exp(-\Delta G^\ddagger/RT)$ согласно [94] численно равен константе равновесия K_1^\ddagger реакции образования активного комплекса из молекул, атомов или ионов веществ, вступающих в реакцию (V.1). Реакция образования активного комплекса имеет вид



Стандартная свободная энтальпия активации ΔG^\ddagger связана со стандартными энтальпией ΔH^\ddagger и энтропией ΔS^\ddagger активации соотношением

$$\Delta G^\ddagger = \Delta H^\ddagger - T\Delta S^\ddagger. \quad (\text{V.7})$$

Поэтому уравнение (V.5) можно представить в следующей форме:

$$k = \kappa_3 \frac{k_B T}{h} e^{\Delta S^\ddagger/RT} e^{-\Delta H^\ddagger/RT}. \quad (\text{V.8})$$

Уравнение (V.8) по существу совпадает с эмпирическим уравнением Аррениуса (V.4), так как в узких интервалах температур, для которых только и справедливо уравнение (V.4), зависимостью множителя

$$\kappa_3 \frac{k_B T}{h} e^{\Delta S^\ddagger/RT} \quad (\text{V.9})$$

от температуры можно пренебречь по сравнению с зависимостью от T выражения $e^{-\Delta H^\ddagger/RT}$.

Из уравнения (V.8) следует:

$$\Delta H^\ddagger = RT^2 \left(\frac{\partial \ln k}{\partial T} \right)_P - RT - RT^2 \left(\sum_i \Delta \nu_i \right) \left(\frac{\partial \ln \rho}{\partial T} \right)_P, \quad (\text{V.10})$$

где k — константа скорости реакции



$\Delta \nu_i = \nu'_i - \nu_i$; ρ — плотность гомогенной среды, в которой протекает реакция (V.11). Уравнение (V.10) показывает, что стандартная энтальпия активации ΔH^\ddagger не зависит от трансмиссионного коэффициента реакции κ_3 .

Когда имеются экспериментальные данные о зависимости константы скорости реакции от температуры, пользуясь уравнением (V.10), можно вычислить стандартную энтальпию активации реакции (V.11).

Последний член уравнения (V.10), содержащий производную $(\partial p/\partial T)_p$, мал или равен нулю, если $\sum_i \Delta v_i = 0$. Как правило, этим членом пренебрегают. Чтобы рассчитать ΔG^\ddagger по уравнению (V.5) или ΔS^\ddagger по уравнению (V.8) (если известно ΔH^\ddagger), нужно иметь данные о трансмиссионном коэффициенте реакции κ_a . ТАС не позволяет выполнять расчеты трансмиссионного коэффициента. Обычно предполагают, что $\kappa_a = 1$. Определяемые при этом условии кажущиеся величины $\Delta G_{\kappa_a=1}^\ddagger$ и $\Delta S_{\kappa_a=1}^\ddagger$ будут сильно отличаться от подлинных величин ΔG^\ddagger и ΔS^\ddagger , фигурирующих в уравнении (V.5), если в действительности $\kappa_a \ll 1$.

Экспериментальные методы изучения активных комплексов до последнего времени отсутствовали [10]. Квантовомеханические расчеты поверхностей потенциальной энергии затруднительны даже в случае простейших реагирующих систем частиц. Использование таких расчетов для предсказания энергий активации и других свойств активного комплекса в принципе возможно, но на практике весьма ограничено. В ТАС время жизни активного комплекса не определено. Существует точка зрения, что сама постановка вопроса об экспериментальном исследовании свойств активного комплекса в рамках ТАС не имеет смысла.

Вывод основного уравнения ТАС. Вывод уравнения (V.5) подробно излагается в монографии [94] и учебных пособиях по химической кинетике. В соответствии с приведенными постулатами рассматривается термодинамически равновесная система, т. е. такая, где активный комплекс A^\ddagger находится в равновесии с исходными веществами и продуктами реакции



Поэтому при выводе выражений (V.5) для константы скорости прямой k_1 или обратной реакции k_2 применяется статистическая теория термодинамически равновесных систем. Расчеты выполнены при допущении, что реакции протекают в идеальном газе. Для реакции (V.12) константа равновесия определяется законом действующих масс. Она связана с суммами состояний исходных компонентов Q_i и активного комплекса Q^\ddagger , а также со стандартной свободной энтальпией активации реакции (V.12) соотношениями:

$$k_1^\ddagger = \frac{c^\ddagger}{\prod_i c_i^{v_i}} = \frac{Q^\ddagger e^{-E_0/RT}}{\prod_i Q_i^{v_i}} = e^{-\frac{\Delta G_1^\ddagger}{RT}} [R_1], \quad (\text{V.14})$$

где E_0 — разность между энергиями нулевых уровней на моль активного комплекса и исходных веществ. Аналогичное выражение имеет место для обратной реакции (V.13)

$$k_2^\# = \frac{c^\#}{\prod_i c_i^{\nu_i'}} = \frac{Q_\# e^{-E_0'/RT}}{\prod_i [Q_i']^{\nu_i'}} = e^{-\frac{\Delta G_2^\#}{RT}} [R_2]. \quad (\text{V.15})$$

Как уже сказано, движение активного комплекса вдоль координаты реакции рассматривается как движение частицы однокомпонентного одноатомного идеального газа, имеющей некоторую эффективную массу $m^\#$. Предполагается, что такая одноатомная частица в течение некоторого интервала времени находится на вершине потенциального барьера в одномерном потенциальном ящике, расстояние между стенками которого равно δ . Напомним, что внутри такого ящика потенциальная энергия частицы постоянна, а на границах она бесконечно велика. Это означает, что частица не может выходить из потенциального ящика. Энергия поступательного движения частицы идеального газа в таком ящике принимает дискретные значения. Уровни энергии равны

$$e_n = h^2 n^2 / 8m^\# \delta^2, \quad (\text{V.16})$$

где h — постоянная Планка; n — порядковый номер уровня энергии; $n = 1, 2, \dots$. Поэтому статистическая сумма одноатомного одномерного идеального газа в потенциальном ящике имеет вид

$$Q_i^0 = \sum_{n=1}^{\infty} e^{-e_n/k_B T} = \sum_{n=1}^{\infty} e^{-h^2 n^2 / 8m^\# \delta^2 k_B T}. \quad (\text{V.17})$$

Если $h^2/8 m^\# \delta^2 k_B T \ll 1$, уровни энергии в потенциальном ящике близки друг к другу. Тогда суммирование в (V.17) можно заменить интегрированием, что дает

$$Q_i^0 = \frac{(2\pi m^\# k_B T)^{1/2}}{h} \delta. \quad (\text{V.18})$$

Предполагается, что $Q_i^0 = 1$ (см. [94], с. 191).

При этом возникают следующие вопросы. Можно ли рассматривать изменение состояния активного комплекса как поступательное движение атомов идеального газа? Можно ли пользоваться представлением о потенциальном ящике в области, расположенной на вершине потенциального барьера? Какова должна быть ширина δ потенциального ящика, чтобы дно его можно было считать плоским? Исходя из известных сведений о структуре молекул следует полагать, что δ должно быть значительно меньше межъядерных расстояний, т. е. по порядку величины составлять доли ангстрема. Возникает и вопрос, как согласуется представление о движении частицы в потенциальном ящике с утверждением, что эта частица непременно проходит через его стенки, в результате чего образуются продукты реакции или исходные реагенты.

Надо сказать и об уравнении (V.18), поскольку оно играет в теории существенную роль. Величина

$$h^2/8m^\# \delta^2 k_B T \quad (\text{V.19})$$

мала, если δ велико. Например, когда идеальный газ находится в сосуде, имеющем макроскопические размеры, δ равно расстоянию между стенками этого сосуда. Если $\delta = 1$ см, $T = 300$ К и $m^\ddagger = 100 m_H$, где m_H — масса атома водорода, то

$$h^2/8m^\ddagger \delta^2 k_B T \simeq 10^{-18}.$$

Но на вершине потенциального барьера физически обоснованные величины δ могут быть порядка 10^{-9} см. Тогда при $T = 300$ К и $m^\ddagger = 100 m_H$

$$h^2/8m^\ddagger \delta^2 k_B T \sim 1;$$

при $m^\ddagger = 10 m_H$ отношение (V.19) возрастает до 10. А это означает, что в (V.17) переход от суммирования к интегрированию недопустим. Уравнение (V.18) непригодно для расчета статистической суммы Q_i^\ddagger активного комплекса, движущегося в одномерном потенциальном ящике на вершине потенциального барьера.

О скорости движения активного комплекса. Согласно [94] скорость реакции зависит от средней продолжительности жизни τ активного комплекса A^\ddagger . Среднее время жизни τ принимается равным времени прохождения молекул A^\ddagger через потенциальный барьер:

$$\tau = \delta / \langle v \rangle, \quad (V.20)$$

где $\langle v \rangle$ — средняя скорость движения A^\ddagger через потенциальный барьер вдоль координаты реакции в направлении, ведущем к распаду A^\ddagger на продукты реакции. $\langle v \rangle$ вычисляется с помощью соотношения

$$\langle v \rangle = (k_B T / 2\pi m^\ddagger)^{1/2}, \quad (V.21)$$

справедливого для одномерного, термодинамически равновесного идеального газа. При $T = 300$ К и $m^\ddagger = 100 m_H$, $\langle v \rangle \simeq 10^2$ м · с⁻¹. Но квантовая неопределенность импульса $\Delta p = m^\ddagger \Delta v$ на отрезке $\delta = 10^{-9}$ см следует неравенству

$$m^\ddagger \Delta v \delta \geq \frac{\hbar}{2} \simeq 10^{-34} \text{ Дж/с}. \quad (V.22)$$

При $m^\ddagger = 100 m_H$, $\Delta v \geq 10^2$ м/с; при $m^\ddagger = 10 m_H$ $\Delta v \geq 10^3$ м/с. Таким образом, неопределенность $\Delta v \geq \langle v \rangle$. Иначе говоря, скорость движения A^\ddagger вдоль координаты реакции при физически обоснованных величинах δ неопределенна.

В конечной формуле теории [94] параметры m^\ddagger и δ не фигурируют. Но это не дает основания считать несущественными физические и математические погрешности, допускаемые при выводе основного уравнения теории.

Об уравнении Бренстеда — Бьеррума. Некоторые исследователи, рассматривая реакции в неидеальных системах, записывают уравнение (V.5) в следующей более общей форме:

$$k = \kappa_3 \frac{k_B T}{h} e^{-\frac{\Delta G^\ddagger}{RT}} \frac{\prod (\gamma_i)^{\nu_i}}{\gamma^\ddagger}, \quad (V.23)$$

где γ_i — обычные термодинамические коэффициенты активности реагентов; γ^\ddagger — коэффициент активности комплекса A^\ddagger . Когда концентрации всех реагентов в растворе приближаются к нулю, все γ_i и γ^\ddagger стремятся к единице и уравнение (V.23) переходит в уравнение (V.5). Соотношение (V.23) известно как уравнение Бренстеда — Бьеррума. Методы, позволяющие измерить коэффициенты активности реагентов γ_i , излагаются в курсах химической термодинамики. Способы определения величины γ^\ddagger , независимые от уравнения (V.23), отсутствуют.

О трансмиссионном коэффициенте. В ТАС [94] трансмиссионный коэффициент κ_3 при расчетах с помощью уравнения (V.5) принимается равным единице. Но из основных допущений этой теории следует, что κ_3 не может быть больше 1/2. Действительно, следуя уравнению (V.5), получим для констант скоростей прямой k_1 и обратной k_2 реакций (V.12) и (V.13) соотношения:

$$k_1 = \kappa_{13} \frac{k_B T}{h} e^{-\Delta G_1^\ddagger / RT} [R_1]; \quad (V.24)$$

$$k_2 = \kappa_{23} \frac{k_B T}{h} e^{-\Delta G_2^\ddagger / RT} [R_2], \quad (V.25)$$

где $[R_1]$ и $[R_2]$ — размерные множители.
Далее имеем

$$\frac{k_1}{k_2} = [R_0] \frac{\kappa_{13}}{\kappa_{23}} e^{-\frac{\Delta G_1^\ddagger - \Delta G_2^\ddagger}{RT}} = \frac{\kappa_{13}}{\kappa_{23}} e^{-\frac{\Delta G_0}{RT}} [R_0] = K^\circ, \quad (V.26)$$

где $[R_0] = [R_1]/[R_2]$; ΔG_0 — свободная энтальпия прямой реакции

$$\sum_i \nu_i M_i \rightleftharpoons \sum_i \nu'_i M_i \quad (V.27)$$

K° — константа равновесия этой реакции. Но, как известно,

$$\frac{k_1}{k_2} = K^\circ = e^{-\frac{\Delta G_0}{RT}} [R_0]. \quad (V.28)$$

Сравнивая (V.28) и (V.26), видим, что отношение κ_{13}/κ_{23} должно быть равно единице. Если κ_{13} определяется как доля молекул активного комплекса, распадающихся на продукты реакции, и активный комплекс прямой и обратной реакций одинаков, то, очевидно, κ_{23} должно быть равно 1 — κ_{13} . Поэтому $\kappa_{13} = \kappa_{23} = 0,5$.

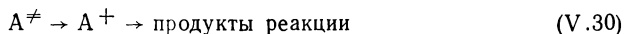
§ 18. ТЕОРИЯ РАЙСА — РАМСПЕРГЕРА — КАССЕЛЯ — МАРКУСА (ТЕОРИЯ РРKM)

Теория РРKM предложена для мономолекулярных реакций в идеальных газах [95]. Она развивает далее представление об активном комплексе и его свойствах.

Главная особенность теории РРКМ состоит в несколько ином, чем прежде, понимании процесса распада возбужденной молекулы активного комплекса A^\ddagger на продукты реакции. Вводится различие между активным комплексом A^\ddagger и его переходным (или активированным) состоянием A^+ . Согласно теории Эйринга — Поланьи распад активного комплекса на продукты реакции происходит непосредственно:



В теории РРКМ предполагается, что в активном комплексе A^\ddagger возникает неустойчивое состояние A^+ , после чего происходит распад на продукты реакции:



Как известно, любая молекула, если она достаточно сложна, может иметь большое число различных возбужденных колебательных и вращательных квантовых состояний. Это число зависит от степени сложности молекулы и от интервала энергии возбуждения ΔE , в котором подсчитываются различные возбужденные квантовые состояния. Чем больше интервал энергий ΔE , тем больше возможных возбужденных состояний молекулы, энергия которых лежит в интервале ΔE .

Пусть $P(E_v)$ — число колебательных квантовых состояний с колебательной энергией E_v , т. е. степень вырождения уровня E_v . Полное число колебательных квантовых состояний с энергией, не превышающей некоторое значение E , равно:

$$W(E) = \sum_{E_v=0}^E P(E_v). \quad (\text{V.31})$$

Рис. 32 и 33 дают представление о зависимости $W(E)$ от энергии E для молекул, содержащих 3, 5, 7 и 8 атомных ядер, причем одна из молекул имеет циклическую структуру. На рис. 32 приведены графики при сравнительно малых энергиях возбуждения до 20—30 кДж/моль. Рис. 33 демонстрирует быстрый рост числа колебательных квантовых состояний для молекул с большим числом колебательных степеней свободы.

При больших энергиях возбуждения зависимость $W(E)$ от E хорошо описывается гладкой кривой. В этих условиях можно ввести производную $W(E)$ по E

$$N(E) = \frac{dW(E)}{dE}, \quad (\text{V.32})$$

т. е. число квантовых колебательных состояний, приходящихся на единицу интервала энергии. $N(E)$ называется плотностью квантовых состояний. В табл. 5 в качестве примера приведены значения чисел колебательных квантовых состояний $W(E)$ для хлороформа и циклопропана в зависимости от энергии возбуждения [95].

Схема мономолекулярной реакции. Пусть A — молекула, вступающая в реакцию, в результате которой происходит ее превращение в молекулу B или разрушение на части. M — какая-либо другая молекула.

М может быть молекулой сорта А или молекулой другого вида. При взаимодействии («столкновении») молекул А и М часть кинетической энергии поступательного движения одной или обеих «сталкивающихся» молекул переходит в энергию возбуждения колебательно-вращательного движения молекулы А, если молекула М находится в основном квантовом состоянии. Если же молекула М возбуждена, то энергия возбуждения может быть частично или полностью отдана молекуле А, которая таким образом переходит в возбужденное состояние A^* с энергией возбуждения, лежащей в интервале энергий от E^* до $E^* + \delta E^*$.

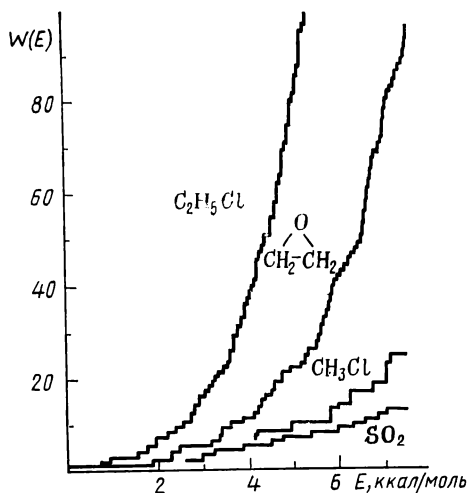


Рис. 32. Зависимость $W(E)$ от энергии возбуждения для некоторых молекул при низких энергиях возбуждения [95]

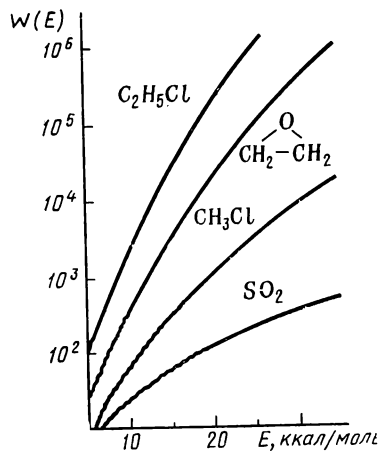
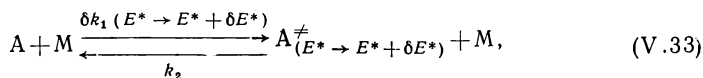


Рис. 33. Зависимость $W(E)$ от энергии возбуждения для некоторых молекул в области высоких энергий [95]. (Значения $W(E)$ нанесены в логарифмическом масштабе)

Схема мономолекулярной реакции в теории РРKM состоит из двух стадий. Первая стадия ведет к образованию активной молекулы A^\ddagger , энергия возбуждения которой соответствует интервалу от E^* до $E^* + \delta E^*$:



где $\delta k_1 (E^* \rightarrow E^* + \delta E^*)$ — константа скорости реакции возбуждения; k_2 — константа скорости реакции дезактивации возбужденной молекулы в результате ее «столкновения» с молекулой М.

Термин «столкновение», по существу, подразумевает некоторое взаимодействие между молекулами А и М или M^* и М, которое в теории РРKM не расшифровывается. Поскольку речь идет о реакциях в газах,

Значения $W(E)$ для хлороформа и циклопропана [95]
 $(E_z$ — энергия внутримолекулярных колебаний
 в основном квантовом состоянии молекулы)

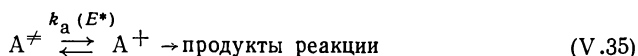
$\text{CHCl}_3; (E_z = 50,958 \text{ кДж/моль})$			C_3H_6	
$E_v, \text{ кДж/моль}$	E_v/E_z	$W(E)$	$E_v, \text{ кДж/моль}$	$W(E)$
50,958	1,00	$8,20 \cdot 10^3$	41,868	$8,02 \cdot 10^2$
101,916	2,00	$4,57 \cdot 10^5$	125,604	$2,69 \cdot 10^6$
152,874	3,00	$6,85 \cdot 10^6$	209,340	$6,12 \cdot 10^8$
254,790	5,00	$2,86 \cdot 10^8$	418,680	$5,84 \cdot 10^{12}$
407,664	8,00	$1,14 \cdot 10^{10}$	628,020	$3,00 \cdot 10^{15}$
			837,360	$3,54 \cdot 10^{17}$

возбуждаться могут не только колебательные, но и вращательные состояния молекул А. Отношение

$$\delta k_1 (E^* \rightarrow E^* + \delta E^*) / k_2 \quad (\text{V.34})$$

есть константа равновесия реакции (V.33), в ходе которой молекулы А термически активируются в малый интервал энергий от E^* до $E^* + \delta E^*$.

Вторая стадия представляет собой самопроизвольное изменение состояния активной молекулы A^\ddagger , энергия возбуждения которой равна E^* с образованием переходного (или активированного) состояния A^\ddagger , которое непременно ведет к образованию продуктов реакции



где $k_a(E^*)$ — константа скорости внутримолекулярного перехода $A^\ddagger \rightarrow A^+$. Среднее время жизни $\tau(E^*)$ и з о л и р о в а н н ы х активных молекул, имеющих энергию возбуждения E^* , равно:

$$\tau(E^*) \simeq 1/k_a(E^*). \quad (\text{V.36})$$

Активная молекула A^\ddagger — это, по существу, молекула А, которая обладает достаточной энергией, чтобы вступить в реакцию. Распределение энергии по колебательным и вращательным степеням свободы в активной молекуле A^\ddagger в общем случае не таково, чтобы реакция произошла немедленно. В заданном малом интервале энергий имеется много квантовых состояний активной молекулы и только небольшое число из них отвечает распределениям энергии, при которых молекула действительно может превращаться в продукты реакции. Более того, активные молекулы не обязательно будут сразу вступать в реакцию, даже если достигнуто одно из этих сравнительно редких квантовых состояний, поскольку фазы колебаний атомов, участвующих в реакции, могут быть так взаимосвязаны друг с другом, что превращение активной молекулы в продукты реакции не произойдет. Следовательно, активные молекулы имеют средние времена жизни, которые в разреженном газе намного больше периодов внутримолекулярных колебаний

($\sim 10^{-13}$ с). Времена жизни активных молекул относительно дезактивации и превращения в продукты реакции зависят от значений скоростей реакций k_2 [М] [A^\neq] и k_a (E^*) [A^\neq], соответственно.

Переходное состояние (или активированный комплекс) в теории РРКМ представляет собой такое состояние активной молекулы, которое характеризуется конфигурацией, соответствующей вершине потенциального барьера между реагентом и продуктами. Подобно ТАС (см. § 17), переход A^+ в продукты реакции рассматривается как поступательное движение некоторой воображаемой эффективной частицы вдоль координаты реакции x . Профиль энергии вдоль координаты реакции имеет потенциальный барьер между реагентом и продуктами высотой E_0 (критическая энергия), и этот барьер нужно преодолеть, чтобы произошла реакция. Активированный комплекс A^+ в теории РРКМ, так же как и в ТАС, представляет собой молекулу, которой соответствует произвольная малая область протяженности δ вдоль координаты реакции на вершине потенциального барьера. Следовательно, активированный комплекс нестабилен относительно движения в любом направлении вдоль координаты реакции и в отличие от активной молекулы не имеет определенного времени жизни. Обычно существует несколько квантовых состояний A^+ , которые могут возникнуть из данного A^\neq ввиду различных возможных распределений энергии между координатой реакции и колебательными и вращательными степенями свободы комплекса. Поэтому константа скорости k_a (E^*) равна, как и в ТАС, сумме вкладов от различных возможных активированных комплексов или переходных состояний [95].

«Фиксированная» и «текущая» энергии возбуждения [95]. Для расчета равновесных концентраций A^\neq и A^+ теория РРКМ использует аппарат статистической механики, и, таким образом, она связана с расчетом числа возможностей распределения заданного количества энергии между различными степенями свободы молекулы. Ясно, что любая *фиксированная* энергия, которая не может быть перераспределена, с этой точки зрения не представляет интереса; такова, например, нулевая энергия молекулярных колебаний. Перемещение активной молекулы A^\neq как целого не влияет на скорость ее перехода в A^+ и, следовательно, поступательная энергия молекулы A^\neq тоже фиксирована. В отличие от этого часть энергии возбуждения активной молекулы (*текущая* энергия) может перераспределяться по различным степеням свободы в молекуле. В частности, предполагается, что колебательная энергия молекулы (кроме фиксированной нулевой энергии) подвержена быстрому статистическому перераспределению.

В отличие от жидкостей вращательная энергия молекул в газах может эффективно участвовать в реакции (например, центробежная сила, возникающая при вращении молекулы, может способствовать разрыву связи). Но существуют ограничения, связанные с законом сохранения момента количества движения. Если в ходе реакции вращательная степень свободы остается в одном и том же квантовом состоянии, то эту степень свободы называют *адиабатической*. Между адиабатической и другими степенями свободы отсутствует статистический обмен энергией.

Для пояснения на рис. 34 приведена энергетическая диаграмма, которой будем пользоваться в дальнейшем с уточнениями.

Активная молекула A^\ddagger — это молекула идеального газа вида A , которая обладает достаточной энергией, чтобы вступить в реакцию. Она содержит текущую энергию E^* , превышающую критическую величину E_0 , ниже которой реакция не идет. Эта критическая энергия есть разность основных квантовых состояний молекул A^\ddagger и A идеального газа. Текущая энергия E^* активных молекул идеального газа содержит колебательную и вращательную текущие энергии, обозначаемые, соответственно, как E_v^+ и E_r^+ :

$$E^* \equiv E_{vr}^+ = E_v^+ + E_r^+ + x. \quad (V.37)$$

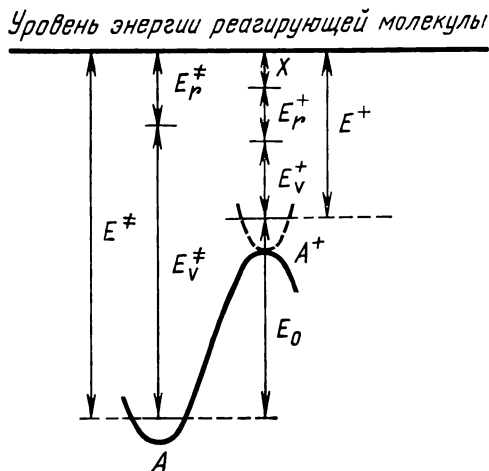


Рис. 34. Энергетическая диаграмма моно-молекулярной реакции

Полная текущая энергия в переходном состоянии молекулы обозначается в теории РРКМ как E^\ddagger :

$$E^\ddagger = E^* - E_0. \quad (V.38)$$

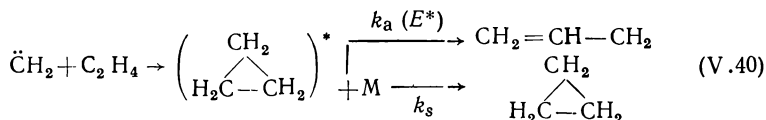
О константе скорости $k_a(E^*)$. Для константы скорости $k_a(E^*)$ теория РРКМ дает следующее выражение [118]:

$$k_a(E^*) = \frac{LQ^+}{hN^*(E^*)Q_1} \sum_{E_{vr}^+=0}^{E^+} P(E_{vr}^+), \quad (V.39)$$

где $N^*(E^*)$ — плотность квантовых состояний активного комплекса A^\ddagger , текущая энергия активных степеней свободы которого равна E^* ; L — число различных эквивалентных путей, по которым может идти реакция; Q^+ и Q_1 — статистические суммы для адиабатических вращений в состоянии A^+ и молекулы A , соответственно. Суммирование в формуле (V.39) производится по общему числу всех колеба-

тельно-вращательных квантовых состояний с учетом всех квантовых уровней с энергией, не превышающей E^+ .

Нетермические способы активации. Химическая активация. Помимо термической активации молекул, в ходе которой молекулы получают энергию возбуждения при «столкновениях», существуют другие способы активации. Один из них — поглощение излучения или фотоактивация. Другой — химическая активация, т. е. возникновение активной молекулы в результате некоторой химической реакции. Один из примеров химической активации — бимолекулярная реакция свободного радикала метилена $\dot{\text{C}}\text{H}_2$ с этиленом:



В ходе этой реакции образуется активная молекула циклопропана, причем энергия активации, в основном, обусловлена химической энергией взаимодействия $\dot{\text{C}}\text{H}_2$ и C_2H_4 . Активная молекула циклопропана может либо испытать мономолекулярное превращение в пропилен, либо отдать энергию возбуждения какой-либо другой молекуле M и перейти в неактивное устойчивое состояние.

О постулатах теории РРКМ. Теория РРКМ в основном опирается на те же постулаты, что и ТАС [94]. Более глубокое представление о процессе возникновения переходного (или активированного) состояния связано с введением нескольких новых постулатов, еще не обсуждавшихся:

1) предполагается, что текущая энергия активных внутримолекулярных колебаний и вращений молекул идеальных газов способна быстро перераспределяться между различными колебательными степенями свободы. Это предположение в основном согласуется с результатами исследований перераспределения энергии возбуждения с помощью методов химической активации и пикосекундной спектроскопии;

2) предполагается, что при молекулярных столкновениях энергия, переносимая на внутренние степени свободы, во много раз больше $k_B T$. Иначе говоря, перенос энергии осуществляется при «сильных» столкновениях в одну стадию, а не постепенно, не ступенчато, не малыми порциями;

3) считается, что состояние молекулы после столкновения никак не связано с ее состоянием до столкновения. Поэтому динамика молекулярного столкновения не рассматривается;

4) предполагается, что активные молекулы A^\neq имеют распределение $P(\tau)$ времен жизни τ , которое имеет вид

$$P(\tau) = k_a \exp(-k_a \tau), \quad (\text{V. 41})$$

где k_a — константа скорости процесса перехода $A^\neq \rightarrow A^+$. Случайное распределение (V. 41) подобно распределению Пуассона.

Итак, теория РРКМ, как и ТАС, развита для идеальных газов. Противоречия, присущие этим теориям, отсутствуют в более общей

теории, основанной на первых принципах физики и применимой к любым неидеальным системам (см. § 19). Когда плотность системы стремится к нулю и система приобретает свойства идеального газа, основные постулаты теорий, рассмотренных в этом и предыдущем параграфах, приближенно отражают действительность.

Наряду с теориями, использующими термодинамические характеристики реагирующих идеально-газовых систем, существуют иные методы описания скоростей реакций, эффективные при изучении реакций в молекулярных пучках и других случаях, когда понятие температуры теряет смысл [96].

§ 19. ТЕОРИЯ КОНСТАНТ СКОРОСТЕЙ РЕАКЦИЙ В НЕИДЕАЛЬНЫХ СИСТЕМАХ

В § 17 и 18 была дана характеристика теорий констант скоростей реакций в идеальных газах. Теперь рассмотрим теорию констант скоростей реакций в неидеальных системах — жидкостях, сжатых газах и т. д. [97, 98]. Она исходит из трех общих принципов физики: соотношения неопределенности энергия — время, представления о локальном равновесии и принципа Больцмана.

Прежде чем перейти к изложению теории констант скоростей реакций в неидеальных системах, напомним содержание этих принципов физики.

Соотношение неопределенности энергия — время [65]. Рассмотрим систему, состоящую из двух слабо взаимодействующих частей. Предположим, что в некоторый момент времени t известно, что эти части обладают определенными значениями энергии, например E и ε . Пусть через некоторый интервал времени Δt производится снова измерение энергии; оно дает некоторые значения E' и ε' , отличные от E , ε . Можно показать, что

$$|E + \varepsilon - E' - \varepsilon'| \Delta t \geq \hbar/2. \quad (V.42)$$

Таким образом, чем больше интервал времени Δt , тем меньшее изменение энергии будет обнаружено.

Соотношение (V.42) справедливо для любых систем: микроскопических и макроскопических [99]. О соотношении (V.42) часто говорят как о соотношении неопределенности для энергии. Необходимо, однако, подчеркнуть, что его смысл существенно отличается от смысла соотношения неопределенности $\Delta p \Delta x \sim \hbar$ для координаты и импульса. В последнем Δp и Δx — неопределенности в значениях импульса и координаты в один и тот же момент времени; они показывают, что эти две величины вообще не могут иметь одновременно строго определенных значений. Энергии же E и ε , наоборот, могут быть измерены в каждый данный момент времени с любой точностью. Величина $(E + \varepsilon) - (E' + \varepsilon')$ в (V.42) есть разность двух точно измеренных значений энергии $E + \varepsilon$ в два различных момента времени, а отнюдь не неопределенность в значении энергии в определенный момент времени.

Если рассматривать E как энергию некоторой системы, а ε — как энергию «измерительного прибора», то энергия взаимодействия меж-

ду ними может быть учтена лишь с точностью до $\hbar/\Delta t$. Обозначим посредством ΔE , $\Delta \varepsilon$, ..., $\Delta \varepsilon'$ погрешности в измерениях соответствующих величин. В благоприятном случае, когда ε , ε' известны точно ($\Delta \varepsilon = 0$; $\Delta \varepsilon' = 0$), имеем:

$$\Delta(E - E') \sim \hbar/\Delta t. \quad (V.43)$$

Пусть Δt — минимальный промежуток времени, за который система может изменить свою энергию на величину ΔE , тогда

$$|\Delta E| \Delta t = \hbar/2. \quad (V.44)$$

Локальное равновесие. Любая достаточно малая макроскопическая часть массы неравновесной макросистемы находится в состоянии термодинамического равновесия. Это представление лежит в основе неравновесной термодинамики. Представление о локальном термодинамическом равновесии в жидкостях применимо почти всегда. При 300 К локальное равновесие в жидкостях существует при градиентах температур порядка 10^9 К/см и градиентах давления порядка 10^{12} Па/см (10^7 атм/см). В жидкостях локальное равновесие устанавливается за 10^{-13} — 10^{-14} с.

Более подробная характеристика будет дана во второй части книги (см. гл. VI).

Принцип Больцмана. Рассмотрим систему, состоящую из термостата T и заключенной в нем макроскопической подсистемы A . Система $T + A$ изолирована, ее энергия фиксирована. Согласно принципу Больцмана термодинамическая вероятность W какого-либо равновесного или неравновесного состояния системы определяется соотношением*

$$W = e^{S/k_B}, \quad (V.45)$$

где S — энтропия системы в соответствующем равновесном или неравновесном состоянии. Отношение вероятностей каких-либо двух состояний «1» и «2» имеет вид

$$W_1/W_2 = e^{(S_1 - S_2)/k_B}. \quad (V.46)$$

Если энтальпия системы $T + A$ задана, то

$$S_1 - S_2 = -\frac{G_1 - G_2}{T}, \quad (V.47)$$

где $G = H - TS$, т. е. свободная энтальпия системы.

Подставляя (V.47) в (V.46), получаем уравнение

$$W_1/W_2 = e^{-(G_1 - G_2)/k_B T}. \quad (V.48)$$

Здесь речь идет о термодинамических функциях S , H , G неравновесных состояний. Такие функции имеют смысл, если неравновесная подсистема

* Напомним, что термодинамическая вероятность W или статистический вес макроскопического состояния есть число допустимых квантовых состояний системы, соответствующих данному макросостоянию (подробнее см. курсы статистической физики).

стема А находится в состоянии локального равновесия. Подробнее о принципе Больцмана см. [100].

Универсальный масштаб частоты. Макросистемы. Рассмотрим какую либо закрытую макросистему. Она не обменивается веществом с окружающей средой, но может получать или отдавать энергию в виде теплоты или работы. Допустим, что состояние системы меняется во времени. Предположим, что полная энергия системы изменилась на величину ΔE . Рассматривая эту систему как квантовомеханическую и применяя соотношение неопределенности энергия — время, получим:

$$|\Delta E| \tau = \hbar/2, \quad (\text{V.49})$$

где τ — наименьший промежуток времени, за который полная энергия данной системы может измениться на величину ΔE ; $\hbar = \hbar/2 \pi = = 1,0545919 \cdot 10^{-34}$ Дж · с. В уравнении (V.49) величина ΔE может иметь любое физически допустимое значение. В частности, ΔE может быть равна $k_B T$. Согласно (V.49) наименьший промежуток времени, за который энергия системы может измениться на величину $k_B T$, равен:

$$\tau = \hbar/2k_B T. \quad (\text{V.50})$$

Величина $\tau^{-1} = \nu_1$ есть максимальная частота, с которой может происходить изменение полной энергии системы на величину $k_B T$. Для закрытой системы в термостате при заданном давлении и локальном равновесии в условиях постоянства S и V изменение полной энергии равно изменению свободной энтальпии ΔG . Если $k_B T$ есть разность энергий некоторого возбужденного состояния и основного состояния системы, то τ можно называть временем жизни возбужденного состояния. Частота

$$\nu_1 = 2k_B T/\hbar \quad (\text{V.51})$$

представляет собой некоторую единицу измерения частоты для любой, произвольно выбранной, равновесной или неравновесной макроскопической закрытой системы в термостате при температуре T . Эта единица имеет вполне определенный, физический смысл. Сама по себе она не имеет никакого отношения к проблеме констант скоростей реакции, но понадобится при дальнейшем изложении материала.

Отметим, что частота, определяемая выражением (V.51), равна максимальной частоте образования средних статистических флуктуаций в термодинамически равновесной системе. Пусть x обозначает какую-либо обобщенную (термодинамическую) координату (например, объем), характеризующую состояние какой-либо равновесной макроскопической системы; $\langle |\Delta x| \rangle$ — средняя флуктуация этой обобщенной координаты (иногда именуемая стандартным отклонением или просто «стандартом»); $\langle |\Delta x| \rangle$ есть модуль квадратного корня из средней квадратичной флуктуации; $\langle |\Delta x| \rangle = \sqrt{\langle (\Delta x)^2 \rangle}$. Согласно теории термодинамических флуктуаций изменение энергии системы, необходимое для того, чтобы в системе возникла средняя флуктуация

$\langle |\Delta x| \rangle$, равно $k_B T$; $\Delta E = k_B T$. Справедливость этого утверждения можно продемонстрировать с помощью общего соотношения [101]

$$\langle (\Delta x)^2 \rangle = \langle |\Delta x|^2 \rangle = -k_B T \frac{\partial x}{\partial X}, \quad (V.52)$$

где X — обобщенная сила, термодинамически сопряженная с обобщенной координатой x . Например, если x — объем системы V , то X — давление P и уравнение (V.52) принимает следующий вид:

$$\langle (\Delta V)^2 \rangle = \langle |\Delta V|^2 \rangle = -k_B T \left(\frac{\partial V}{\partial P} \right)_T. \quad (V.53)$$

Переходя в правой части (V.52) или (V.53) к конечным малым разностям, можем написать

$$\langle |\Delta x| \rangle^2 = -k_B T \frac{\langle |\Delta x| \rangle}{\Delta X} \quad (V.54)$$

или

$$\langle |\Delta V| \rangle^2 = -k_B T \frac{\langle |\Delta V| \rangle}{\Delta P}, \quad (V.55)$$

где ΔX и ΔP — изменение X или, соответственно, P , необходимое для того, чтобы x или V изменились на величину $\langle |\Delta x| \rangle$ или $\langle |\Delta V| \rangle$. Сокращая правую и левую части уравнения (V.54) на $\langle |\Delta x| \rangle$ и уравнения (V.55) на $\langle |\Delta V| \rangle$, получаем:

$$\langle |\Delta x| \rangle \Delta X = -k_B T; \quad \langle |\Delta V| \rangle \Delta P = -k_B T. \quad (V.56)$$

Левая часть уравнения (V.56) представляет собой работу, которую надо затратить, чтобы изменение свойства x макросистемы было равно $\langle |\Delta x| \rangle$, и, в частности, объем системы изменился на $\langle |\Delta V| \rangle$. Величина $\tau = \hbar/2k_B T$ в данном случае представляет собой время жизни средней флуктуации любой обобщенной координаты x , характеризующей состояние закрытой макроскопической, термодинамически равновесной системы.

Универсальный масштаб частоты. Микросистемы. Рассмотрим какую-либо квантовую микросистему (молекулу, атом и т. п.), находящуюся в квазистационарном состоянии. Оператор Гамильтона \hat{H} такой системы может иметь непрерывный или дискретный спектр собственных значений. Квазистационарные состояния не имеют постоянной, не зависящей от времени энергии, но среднее значение энергии $\langle E \rangle$ не зависит от времени. В квантовой механике доказывается, что квазистационарные состояния могут возникать в тех случаях, когда стандартное отклонение энергии ΔE мало по сравнению с $\langle E \rangle$ [102]. Хотя среднее значение энергии квазистационарного состояния не зависит от времени, плотность вероятности любого из состояний в интервале ΔE есть функция времени. Изменения энергии квазистационарного состояния происходят за счет слабого взаимодействия микросистемы с окружающей средой. Из соотношения неопределенности энергия—время следует, что минимальный промежуток времени Δt , за который вероятность некоторого начального состояния системы уменьшится в

e раз (e — основание натуральной системы логарифмов), определяется уравнением

$$\Delta t = \hbar/2 \mid \Delta E \mid. \quad (\text{V.57})$$

Предположим, что микросистема представляет собой часть какого-либо статистического ансамбля, состояние которого характеризуется, в частности, температурой T . Пусть спектр собственных значений энергии микросистемы лежит в таком интервале ΔE , который равен $k_B T$. Тогда минимальное время, за которое вероятность некоторого начального состояния такой микросистемы изменится в e раз, равно:

$$\tau = \hbar/2k_B T. \quad (\text{V.58})$$

Частота таких изменений микросистемы

$$\nu_1 = \tau^{-1} = \frac{2k_B T}{\hbar}. \quad (\text{V.59})$$

Эта частота есть некоторая единица частоты, масштаб в шкале частот, который можно применять при описании процессов, происходящих с любыми микросистемами, находящимися в слабом взаимодействии с окружающей средой, состояние которой характеризуется, в частности, температурой T . Подчеркнем, что ν_1 в уравнении (V.59) также, как и в уравнении (V.51), есть не более, чем единица частоты, имеющая для макросистем и микросистем указанный выше простой физический смысл. Операторы Гамильтона тех микросистем, для изучения которых применима эта единица частоты, могут иметь любые интервалы собственных значений ΔE , удовлетворяющие неравенству $\Delta E \ll \langle E \rangle$.

Частота возникновения произвольных изменений состояния системы. Рассмотрим макроскопическую систему, погруженную в термостат, имеющий температуру T . Пусть состояния упомянутой системы кроме температуры T характеризуются давлением P . Эти состояния могут быть либо равновесными, либо неравновесными. Допустим, что система самопроизвольно переходит из некоторого начального состояния «1» в другое состояние «2». В общем случае оба состояния «1» и «2» могут быть неравновесными. В частности, одно из них соответствует состоянию термодинамического равновесия при заданных P и T . Воспользуемся представлением о локальном равновесии. Неравновесной системе при локальном равновесии присущи определенные величины свободной энтальпии $G = H - TS$ при заданных P , T и внутренних переменных системы, например степенях полноты естественных реакций $\xi_1, \dots, \xi_N, \dots$ или нормальных реакций $\zeta_1, \dots, \zeta_N, \dots$, [100].

Согласно принципу Больцмана для системы в термостате термодинамические вероятности W_1 и W_2 обоих состояний при заданных P и T , но различных внутренних переменных, связаны соотношением

$$W_2/W_1 = e^{-\frac{G'_2 - G'_1}{k_B T}} = e^{-\frac{G_2 - G_1}{RT}}, \quad (\text{V.60})$$

где G'_1 и G'_2 — свободные энтальпии состояний «1» и «2», соответственно (рис. 35); $G_1 = N_A G'_1$; $G_2 = N_A G'_2$, где N_A — постоянная Авогадро. Обозначим свободную энтальпию некоторого исходного стандартного состояния системы G_0 . Пусть в неравновесном состоянии «1» свободная энтальпия системы при заданных P и T отличается от G_0 на величину, равную $k_B T$. Введя отсчет свободной энтальпии от G_0 , получим $G_1 = N_A k_B T = RT$. Считая, что частоты возникновения состояний ν_1 и ν_2 пропорциональны их термодинамическим вероятностям W_1 и W_2 , и пользуясь для ν_1 соотношением (V.51), получаем с помощью уравнения (V.60) следующее выражение:

$$\nu_2 = \frac{2k_B T}{\hbar} e^{-\frac{G_2 - (RT + G_0)}{RT}} = \frac{2k_B T e^{-\frac{\Delta G_2}{RT}}}{\hbar} \quad (\text{V.61})$$

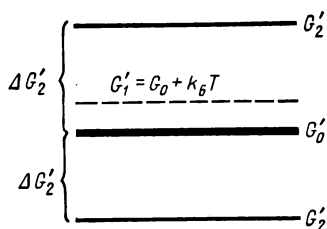


Рис. 35. Свободные энтальпии стандартного состояния G'_0 , состояния «1» G'_1 и состояния «2» G'_2 (Свободная энтальпия состояния «2» может быть больше или меньше G'_0)

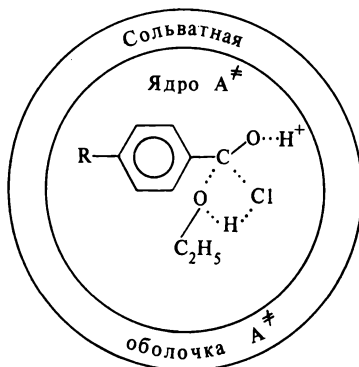


Рис. 36. Строение активного комплекса в растворах. Возможная структура ядра A^* для реакций алкохолиза паразамещенных бензоилхлоридов

Это уравнение определяет частоту возникновения состояния «2», свободная энтальпия которого отличается от свободной энтальпии стандартного состояния G_0 на величину ΔG_2 . Последнюю можно назвать стандартной свободной энтальпией состояния «2». Состоянию «2» может соответствовать значение свободной энтальпии G_2 , большее или меньшее, чем свободная энтальпия G_1 состояния «1». Когда $G_1 < G_2$, состояние «2» менее вероятно, чем состояние «1». Если же $G_1 > G_2$, состояние системы «2» имеет большую термодинамическую вероятность, нежели состояние «1».

Основное уравнение теории. Уравнение (V.61) есть общее соотношение, справедливое для любых макроскопических систем, независимо от того, идут в них реакции или нет. Теперь перейдем к выводу уравнения для констант скоростей реакций.

Пусть в системе протекает какая-либо элементарная реакция вида



Скорость этой реакции v подчиняется соотношению

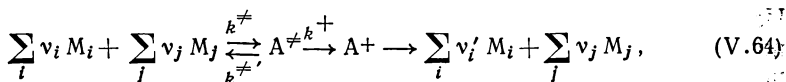
$$v = -k \prod_i [M_i]^{\nu_i}, \quad (\text{V.63})$$

где k — константа скорости реакции; $[M_i]$ — концентрации реагентов; ν_i — некоторые действительные целые числа.

Уравнение (V.63) находится на основании опыта. Это феноменологическое соотношение, выражающее основной закон химической кинетики. Здесь и далее ради простоты будем пользоваться концентрациями реагентов $[M_i]$, а не их активностями a_i .

Примем следующие постулаты:

1. В общем случае реакция (V.62) проходит через стадии активного комплекса A^\ddagger и переходного состояния A^+ :



где M_j — молекулы среды, в которой идет реакция (V.61). Если среда — разреженный газ, то все $\nu_j = 0$ и сумма $\sum_j \nu_j M_j$ исчезает. Возможны

и такие случаи, когда стадия образования активного комплекса отсутствует. Таковы, например, некоторые фотохимические реакции.

Как и в теории РРКМ, переходное состояние A^+ есть неустойчивое состояние активного комплекса A^\ddagger . Молекула активного комплекса в переходном состоянии неизбежно распадается на продукты реакции; $k \neq$, $k \neq'$ и k^+ — константы скоростей соответствующих стадий реакции (V.64).

2. В жидких фазах активный комплекс A^\ddagger состоит из ядра и сольватной оболочки (рис. 36). Ядро активного комплекса образуют молекулы реагентов. Сольватная оболочка состоит из других молекул, непосредственно не участвующих в реакции. Подробнее об активном комплексе в растворах будет сказано в следующем параграфе. В идеальных газах сольватной оболочки нет.

Если в какой-либо системе образуется x молей активных комплексов, то связанный с этим процессом прирост стандартной свободной энтальпии $\Delta G_x = x \Delta G^\ddagger$, где ΔG^\ddagger — изменение стандартной свободной энтальпии системы в расчете на 1 моль активных комплексов. Величина ΔG^\ddagger определяется теми отклонениями от исходного состояния системы, которые сопровождаются образованием молекул A^\ddagger и выбором стандартного состояния. Как уже говорилось, изменение свободной энтальпии при неравновесном изменении состояния системы при заданных P и T зависит от внутренних переменных, например степеней полноты естественных ξ_α или нормальных ζ_β реакций. Величина ΔG^\ddagger определяется некоторым набором значений переменных ξ_α или ζ_β , которые соответствуют возникновению активного комплекса. На-

чало отсчета внутренних переменных ξ_α или ζ_β может быть выбрано произвольно. В принципе возможны такие состояния, когда для различных наборов $\{\xi_\alpha\}$ или $\{\zeta_\beta\}$ величины ΔG^\ddagger могут совпадать. Термодинамические вероятности p а з н ы х состояний системы тогда будут одинаковы. Не все эти состояния будут связаны с возникновением активного комплекса. Поэтому в соотношении для частоты появлений активных комплексов должен фигурировать множитель, учитывающий «вырождение» системы, т. е. число различных состояний с одинаковой или почти одинаковой величиной ΔG^\ddagger . Такие аномальные случаи, сходные с критическими явлениями, рассматриваться не будут, поскольку еще нет соответствующих экспериментальных материалов.

Обозначим символом ν_\ddagger частоту возникновения в системе состояний, для которых $\Delta G_2 = \Delta G^\ddagger$. Согласно (V.61) частота ν_\ddagger определяется соотношением

$$\nu_\ddagger = \frac{2ek_B T}{h} e^{-\Delta G^\ddagger/RT}. \quad (V.65)$$

Из общего числа ν_\ddagger событий, приводящих в единицу времени к возникновению активных молекул A^\ddagger , доля таких событий κ сопровождается последующим возникновением из активных молекул переходного состояния A^+ , после чего происходит распад на продукты реакции. κ — трансмиссионный коэффициент реакции (V.62). Произведение

$$\nu_\ddagger \kappa = k_\ddagger \quad (V.66)$$

представляет собой частоту событий, приводящих к появлению продуктов реакции из исходных реагентов. Пользуясь (V.66) и (V.65), получаем:

$$k_\ddagger = \kappa \frac{2ek_B T}{h} e^{-\Delta G^\ddagger/RT}. \quad (V.67)$$

Рассмотрим теперь связь между k_\ddagger и интересующей нас константой скорости реакции (V.62). k_\ddagger имеет размерность частоты. Размерность константы скорости реакции (V.62) определяется уравнением (V.63)

$$v = -k \prod_i [M_i]^{\nu_i}$$

и способом выбора концентраций $[M_i]$. Константа скорости реакции k прямо пропорциональна частоте элементарных событий реакции в системе, если все концентрации $[M_i]$ приняты равными единице (при выбранном способе определения концентраций). Коэффициент пропорциональности зависит от способа выбора стандартного состояния системы. Величины k и k_\ddagger отличаются друг от друга множителем, значение и размерность которого зависят от способа выбора единиц концентраций $[M_i]$ и стандартного состояния системы, а также от показателей степени ν_i в уравнении (V.63).

Умножая правую и левую части уравнения (V.67) на этот размерный множитель, можно преобразовать частоту k_\ddagger в константу скорости k реакции (V.62). Упомянутый размерный множитель можно не вво-

доть явно, поскольку он может быть различным. Множитель можно подразумевать, как это обычно принято. Тогда вместо (V.67) получим:

$$k = \kappa \frac{4\pi e k_B T}{h} e^{-\Delta G^\ddagger / RT} = \kappa_3 \frac{k_B T}{h} e^{-\frac{\Delta G^\ddagger}{RT}} \quad (\text{V.68})$$

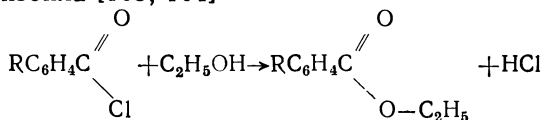
Это и есть искомое основное уравнение, определяющее константу скорости реакции в любой системе идеальной или неидеальной, равновесной или неравновесной. Формально оно отличается от уравнения (V.5) лишь множителем $4\pi e$ в предэкспоненте, так что полагая

$$\kappa_3 = 4\pi e \kappa, \quad (\text{V.69})$$

получаем общеизвестное уравнение (V.5). Но совпадение уравнений (V.68) и (V.5) внешнее. В действительности эти уравнения для неидеальных систем существенно различаются. Обсуждение этого вопроса будет проведено в § 25 после того, как подробнее будет рассмотрено строение и свойства активного комплекса A^\ddagger , переходного состояния A^+ , а также методы расчета трансмиссионного коэффициента κ (или κ_3). Отметим здесь, что, как следует из вывода уравнения (V.68) (см. с. 128), величина ΔG^\ddagger может быть не только положительной, но и равной нулю или отрицательной. Если $\Delta G^\ddagger = 0$, состояние системы с активными молекулами имеет такую же термодинамическую вероятность, что и состояние системы без активных молекул, но с молекулами исходных реагентов. Если же $\Delta G^\ddagger < 0$, то термодинамическая вероятность состояния системы с активным комплексом выше термодинамической вероятности ее состояния перед началом реакции. В неидеальной системе стандартные состояния зависят не только от концентраций реагентов, но и от состава окружающей среды.

§ 20. О СТРОЕНИИ АКТИВНОГО КОМПЛЕКСА A^\ddagger И МЕХАНИЗМАХ ЕГО ВОЗНИКНОВЕНИЯ И РАЗРУШЕНИЯ*

Приведем в качестве примера реакцию алкоголиза паразамещенных хлористого бензоила [103, 104]



где R — радикал, находящийся в *para*-положении по отношению к

группе $\text{---C} \begin{array}{l} \text{// O} \\ \text{--- Cl} \end{array}$. В качестве R фигурируют NO_2 , I, Br, Cl, H, F, CH_3

и CH_3O . Реакция проводилась при 0 и 25°C в растворе, содержащем 60% этилового эфира и 40% этилового спирта (объемные проценты).

* В этом параграфе почти не рассматривается различие между активным комплексом A^\ddagger и его переходным (или «активированным») состоянием A^+ , поскольку A^\ddagger и A^+ термодинамически неразличимы. Превращение $A^\ddagger \rightarrow A^+$ подробнее обсуждается в § 22.

Изучались разбавленные растворы. Начальные концентрации паразамещенных хлористого бензоила составляли около 0,001 моля на литр раствора. Реакция необратима. В пределах точности эксперимента с течением времени она завершается полностью.

В качестве примера на рис. 37 представлены кинетические кривые реакции алкоголиза *пара*-нитробензоилхлорида при различных концентрациях реагента и HCl. Из рисунка видно, что кинетические кривые состоят из двух прямых линий. Угол их пересечения зависит от концентрации паразамещенного хлористого бензоила и начальной концентрации HCl в растворе. Одна из прямых линий описывает начальную стадию процесса, а другая — основную стадию. Из графиков следует, что начальная и основная стадии процесса алкоголиза формально представляют собой реакции 1-го порядка. Константы скорости начальной k_i и основной k_f реакций определяются непосредственно из углов наклона прямых для начальной или, соответственно, основной реакции (индексы: i — initial, f — final). Величины k_i и k_f в пределах ошибок опыта не зависят от концентрации паразамещенных бензоилхлоридов. Так, для *пара*-бензоилхлорида в интервале концентраций от 0,0014 до 0,0021 k_i и k_f оставались постоянными. $k_i = 0,1103 \text{ мин}^{-1}$ со средним отклонением $\pm 2,5\%$ и максимальным отклонением 4,8% (для 10 изученных случаев, когда в начале эксперимента HCl отсутствовала). $k_f = 0,1223 \text{ мин}^{-1}$ со средним отклонением $\pm 2,0\%$ и наибольшим отклонением 3,6% (для 14 изученных случаев, в четырех из них в начале эксперимента прибавлялась HCl). С ростом концентрации *пара*-бензоилхлорида доля времени, приходящаяся на начальную фазу реакции, уменьшалась от 78 до 31% (в указанном выше интервале концентраций). Эта закономерность наблюдается при сопоставлении 1-й и 2-й кинетических кривых на рис. 37. То же происходило и при добавлении в раствор соляной кислоты, как следует из кривых 2, 3 и 4 на рисунке. Когда соляная кислота прибавляется в начальной стадии реакции, k_i уменьшается, но зато основная стадия процесса начинается скорее и k_f несколько возрастает.

Так, например, для кривой 2 (рис. 37) начальная концентрация *пара*-бензоилхлорида равна 0,000493 моль/л, начальная концентрация соляной кислоты равна нулю, $k_i = 0,114 \text{ мин}^{-1}$, $k_f = 0,119 \text{ мин}^{-1}$, начальная стадия реакции составила 44% от общего времени ее протекания. Для кривой 3 при той же концентрации *пара*-бензоилхлорида начальная концентрация соляной кислоты равна 0,000493 моль/л, $k_i = 0,088 \text{ мин}^{-1}$, $k_f = 0,120 \text{ мин}^{-1}$ и начальная стадия заняла 29% от общего времени реакции. Для кривой 4 начальные концентрации *пара*-бензоилхлорида и соляной кислоты были соответственно равны 0,000388 и 0,001636 моль/л, $k_i = 0,069 \text{ мин}^{-1}$, $k_f = 0,127 \text{ мин}^{-1}$, начальная стадия заняла всего 15% от общего времени протекания реакции.

Соляная кислота катализирует основную реакцию. С увеличением начальной концентрации HCl или паразамещенного хлористого бензоила константа скорости k_f немного увеличивается. Так, у пяти кривых для *пара*-нитробензоилхлорида при 25°C со средней начальной концентрацией *пара*-бензоилхлорида, равной 0,0008 моль/л, среднее

значение k_f составляло $0,1205 \text{ мин}^{-1}$, а для пяти кривых со средней начальной концентрацией $0,0019 \text{ моль/л}$ средняя величина k_f была равна $0,1249 \text{ мин}^{-1}$.

Константы скорости реакции и характеристики активированного состояния. Константы скоростей основной стадии реакции при 0 и 25°C и параметры Z и E уравнения Аррениуса (V.4) приведены в табл. 6. Величины $\lg Z$ вычислялись по уравнению $\lg Z = \lg k^{25} + E/2,3 RT$, где k^{25} выражено в с^{-1} . В таблице приведены также значения энтальпии активации ΔH^\ddagger и кажущиеся величины энтропии активации ΔS_k^\ddagger , $T\Delta S_k^\ddagger$ и свободной энтальпии активации ΔG_k^\ddagger , рассчитанные по уравнению (V.68) при допущении, что $\kappa_0 = 1$. Расчеты выполнены по формулам:

$$\Delta H^\ddagger = E - RT; \quad (\text{V.70})$$

$$\Delta S_k^\ddagger = R \left(2,30 \lg Z - 1 - \ln \frac{k_B T}{h} \right). \quad (\text{V.71})$$

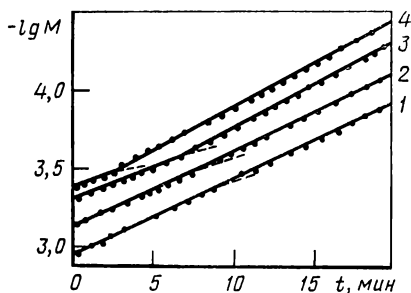
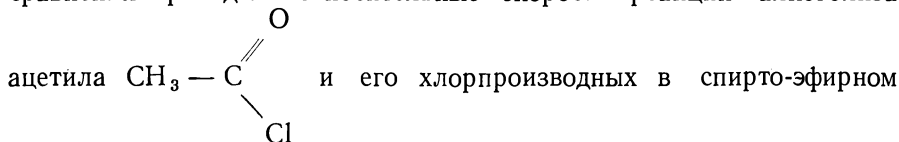


Рис. 37. Кинетические кривые алкоголиза *para*-нитробензоилхлорида (ПБХ). Начальные концентрации в $\text{моль} \cdot \text{л}^{-1}$:

1 — 0,00104 ПБХ; 2 — 0,000474 ПБХ; 3 — 0,000474 ПБХ; 0,000493 HCl; 4 — 0,000388 ПБХ; 0,001636 HCl; пунктир — продолжение линий, проведенных через точки, относящиеся к начальной стадии реакции; точки на кривой 2 смещены на 0,2 единицы [103]

Из таблицы видно, что рост ΔH^\ddagger сопровождается возрастанием абсолютной величины ΔS_k^\ddagger так, что величина $\Delta G_k^\ddagger = \Delta H^\ddagger - T\Delta S_k^\ddagger$ изменяется мало. Такая корреляция между ΔH^\ddagger и ΔS_k^\ddagger наблюдается часто. Некоторые авторы называют ее изокинетической зависимостью, другие — компенсационным эффектом.

В § 21 будет показано, что с позиций неравновесной термодинамики компенсационный эффект получает простое объяснение. В табл. 7 [103] сопоставлены скорости реакции алкоголиза различных паразамещенных хлористого бензоила при 25°C . Это медленная реакция. В таблице скорость алкоголиза бензоила принята за единицу. Для сравнения приведены относительные скорости реакции алкоголиза



растворе. Алкоголиз этих веществ протекает значительно быстрее.

Последняя колонка табл. 7 содержит данные работы [105] об относительных скоростях алкоголиза соответствующих паразамещенных трифенилметилхлорида в абсолютном этаноле. Здесь за единицу при-

Таблица 6

Константы скорости реакции алкоголиза и активационные характеристики этой реакции, вычисленные по уравнению (V. 68) при условии, что $\alpha_0 = 1$

Хлориды	$k^\circ, \text{мин}^{-1}$ (при 0°C)	$k^\circ, \text{мин}^{-1}$ (при 25°C)	$E,$ кДж	$\lg Z$	$\Delta H^\ddagger,$ кДж/моль	$-\Delta S^\ddagger,$ Дж/моль·К	$-\Delta S^\ddagger_{\text{к}},$ кДж/моль	$\Delta G^\ddagger,$ кДж/моль
Хлорацетил	2,89	—	—	—	—	—	—	—
Ацетил	0,143	0,986	52	7,4	50	110	34	84
<i>n</i> -NO ₂ -бензоил*	0,0222	0,1225	46	5,5	44	150	45	89
<i>n</i> -I-бензоил	0,00158	0,0126	56	6,2	54	137	41	96
<i>n</i> -Br-бензоил	0,00167	0,0134	56	6,2	54	136	41	96
<i>n</i> -Cl-бензоил	0,00145	0,0123	56	6,5	56	131	39	95
Бензоил	0,000700	0,00648	60	6,6	58	129	39	97
<i>n</i> -F-бензоил	0,000761	0,00732	61	7,8	59	107	32	91
<i>n</i> -CH ₃ -бензоил	0,000332	0,00386	67	7,5	64	113	35	99
<i>n</i> -CH ₃ O-бензоил	0,000180	0,00320	78	9,4	76	77	23	99

* Паразамещенные бензоилхлоридов расположены в последовательности возрастания величин экспериментальной энергии активации E .

нята скорость алкоголиза трифенилметилхлорида. Скорость алкоголиза этих веществ изменяется в последовательности, прямо противоположной производным *пара*-бензоилхлорида.

Таблица 7

Относительные скорости $v_{\text{отн}}$ алкоголиза некоторых соединений при 25°C [103, 105]
(Скорость алкоголиза бензоила принята равной единице)

Соединение	$v_{\text{отн}}$		
	в алкогольно-эфирном растворе	в абсолютном спирте	для соответствующих трифенилметилхлоридов
Трихлорацетил	(~8000)	—	—
Дихлорацетил	(~8000)	—	—
Хлорацетил	(~4100)	—	—
Ацетил	171	—	0,00007
<i>n</i> -NO ₂ -бензоил	19,0	21,6	0,011
<i>n</i> -Br-бензоил	2,1	2,1	0,28
<i>n</i> -Cl-бензоил	1,9	1,9	0,32
<i>n</i> -I-бензоил	1,9	1,9	0,34
<i>n</i> -F-бензоил	1,1	—	0,76
Бензоил	1,0	1,0	1,0
<i>n</i> -CH ₃ -бензоил	0,60	0,78	4,1
<i>n</i> -CH ₃ O-бензоил	0,49	0,81	(~90)

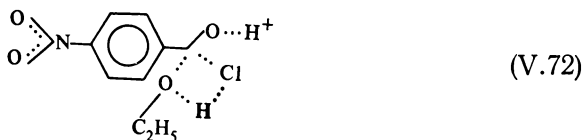
О механизме образования активного комплекса в реакции алкоголиза паразамещенных хлористого бензоила. Ядро этого активного комплекса. Экспериментальные данные показывают, что

1) реакция алкоголиза паразамещенных бензоилхлоридов состоит из двух стадий: начальной, в ходе которой достигается стационарная концентрация промежуточных продуктов, и основной стадии, когда происходит алкоголиз оставшейся части RC_6H_4COCl ;

2) на реакцию в целом и особенно ее начальную стадию влияет соляная кислота;

3) в последовательности радикалов R от NO_2 к CH_3O , приведенной в табл. 6, сродство радикалов к электрону увеличивается. Вместе с этим растет энтальпия и энтропия активации реакции. Наблюдается изокинетический или компенсационный эффект.

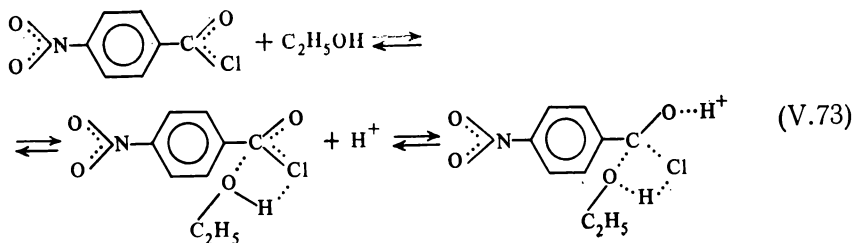
Примем, что исходные реагенты и растворитель образуют активный комплекс A^\ddagger , ядро которого может иметь такую структуру:



Здесь и далее слабые химические связи обозначены пунктиром, а сильные — чертой. В данном случае речь идет о *пара*-нитробензоилхлориде и, следовательно, роль радикала, находящегося в *пара*-поло-

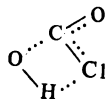
жении по отношению к группе $C \begin{array}{c} O \\ || \\ Cl \end{array}$, играет группа NO_2 . Ядро актив-

ного комплекса, имеющего такое строение, представляет собой положительно заряженный ион. Можно предполагать, что ядро возникает в результате двух элементарных реакций, протекающих, например, в такой последовательности:



Первая реакция сводится к сольватации паразамещенного бензоилхлорида молекулой этанола с образованием двух слабых химических связей $C \cdots O$ и $H \cdots Cl$. В ходе второй реакции ион H^+ присоединяется к атому кислорода группы $C=O$, оттягивая на себя часть электронного об-

лака, связанного с группой

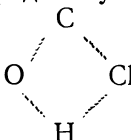


. В результате сильные связи

$C-Cl$ и $O-H$ резко ослабляются. Поэтому связи $C \cdots Cl$ и $O \cdots H$ обозначены в (V.72) пунктиром, как это принято для слабых связей.

С этих позиций нетрудно понять особенности процесса алкоголиза бензоилхлоридов. В начальной стадии протекают процессы образования активного комплекса. Так как для создания A^\neq нужны ионы H^+ , то прирост концентрации соляной кислоты в начальной стадии алкоголиза протекает до тех пор, пока концентрация комплексов A^\neq не достигнет стационарного значения. После этого реакция вступает в основную стадию, в ходе которой концентрация A^\neq остается стационарной и по этой причине прирост концентрации соляной кислоты в единицу времени увеличивается. Когда почти весь бензоилхлорид прореагирует, скорость нарастания концентрации соляной кислоты вновь несколько увеличивается, потому что расход ионов H^+ на образование A^\neq прекращается. Если в раствор прибавить соляную кислоту, то концентрация комплексов A^\neq в стационарном состоянии повысится, стационарное состояние будет достигнуто быстрее и в конце реакции прирост скорости образования соляной кислоты станет более заметным. Именно это и наблюдалось в опытах Бранча и Никсона [103].

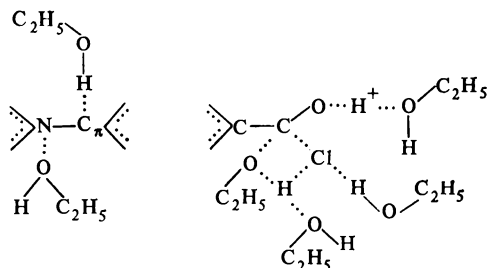
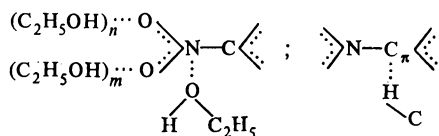
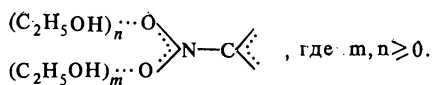
Так как в последовательности радикалов R от NO_2 к CH_3O сродство к электрону увеличивается, то в молекулах паразамещенных хлористого бензоила происходит перераспределение электронной плотности по направлению к радикалу R . Плотность электронного облака

около атомов в группе  уменьшается. Поэтому связь

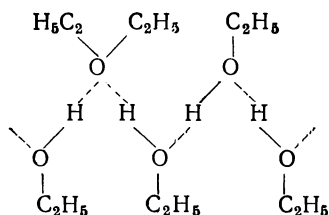
$O \cdots H^+$ образуется реже. Концентрация активных комплексов уменьшается. Процесс алкоголиза замедляется в соответствии с результатами опытов, приведенными в табл. 6.

О сольватной оболочке ядра активного комплекса. Сольватация ядра может происходить многими способами, например с помощью следующих слабых химических связей: $O-H \cdots O$, $O \cdots H^+ \cdots O$, $Cl \cdots H-O$, $C_\pi \cdots H-O$, $C_\pi \cdots H-C$, $N \cdots Cl$, $N \cdots O$, $C_\sigma-H \cdots C_\pi$, $C_\sigma-H \cdots C_\sigma$ и других, где C_π — π -орбитали ароматического цикла; C_σ — атомы углерода алкильных радикалов C_2H_5 .

Сольватированные фрагменты ядра активного комплекса могут иметь, например, следующий вид:



Здесь приведены случаи, когда в сольватации участвуют только молекулы этанола. Но в спирто-эфирном растворе сольватация может происходить и с участием эфира. Подобно молекулам этанола молекулы эфира могут непосредственно сольватировать ядро активного комплекса (V.72). Они могут входить в состав цепочечных и иных структур растворителя, сольватирующего активный комплекс, так что вместо ассоциатов $(\text{C}_2\text{H}_5\text{OH})_n$ в общем случае будут присутствовать комплексы, например, такой структуры:



При этом в окрестности активного комплекса будет меняться структура растворителя, т. е. концентрации молекул ассоциатов вида C_n и Э_k и комплексов вида $\text{C}_n\text{Э}_k$, где C — мономер спирта; Э — мономер эфира; n и k — числа натурального ряда. Но это значит, что будут изменяться степени полноты реакций ξ_α вида:



Химическая энергия сольватации может служить одним из источников возникновения в активном комплексе избыточной энергии возбуждения (химическая активация).

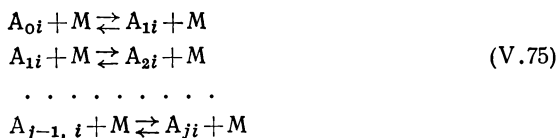
Таким образом, процесс образования сложной молекулы A^\ddagger , имеющей структуру активного комплекса, в общем случае представляет

собой результат целого ряда реакций. Они входят в совокупность естественных реакций, о которых говорилось ранее в § 19. Но процессы, приводящие к возникновению активного комплекса, этими реакциями не исчерпываются.

О влиянии переноса энергии внутримолекулярных колебаний на процесс образования активного комплекса. В ходе теплового движения энергия трансляционного движения частиц переходит в энергию возбуждения внутримолекулярных колебаний. Молекулы, находящиеся в возбужденных колебательных состояниях, дезактивируются. Если система равновесна, оба процесса находятся в динамическом равновесии. Кинетика и механизм этих процессов изучаются в основном акустическими и оптическими методами. Миграция энергии внутримолекулярных колебаний может осуществляться следующими способами: а) при непосредственном контакте молекул; б) путем индуктивного резонансного взаимодействия молекул, не находящихся в непосредственном контакте друг с другом [106].

Возбуждение колебательных состояний молекул в жидкостях может происходить при коллективных и неколлективных взаимодействиях. В последнем случае возбуждение чаще происходит так, что энергия ϵ_i нормального колебания ν_i при каждом элементарном взаимодействии может изменяться только на один квант: $\Delta\epsilon_i = \pm \hbar\nu_i$. Легче всего возбуждаются низкочастотные нормальные колебания. Когда энергия низкочастотных нормальных колебаний становится достаточно большой, за ее счет могут возбуждаться нормальные колебания, имеющие более высокие частоты [33, 57, 107].

Рассмотрим с этих позиций молекулы активного комплекса A^\ddagger . Пусть индекс i обозначает какое-либо низкочастотное нормальное колебание молекул A^\ddagger . По отношению к этому нормальному колебанию молекулы A^\ddagger могут находиться в основном A_{0i} и возбужденных $A_{1i}, A_{2i}, \dots, A_{ji} = A^\ddagger$ колебательных состояниях. Переход из основного в возбужденные колебательные состояния можно рассматривать как ряд последовательных реакций вида:



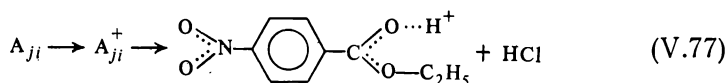
где $A_{ji} \equiv A^\ddagger$; M — какая-либо другая молекула, ассоциат или комплекс.

Предположим, что колебания активного комплекса A^\ddagger происходят так, что в группе

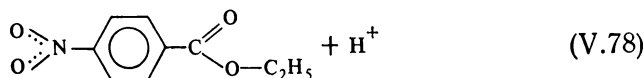


атомные ядра C и O движутся в направлении, противоположном движению атомных ядер H и Cl . С ростом энергии возбуждения амплитуда этих колебаний будет увеличиваться.

При достижении j -го колебательного уровня в молекуле $A_{ji} = A^\ddagger$ может возникнуть переходное состояние A_{ji}^\ddagger . Две связи, обозначенные в (V.76) индексом «1», разорвутся, произойдет превращение



с последующим отщеплением протона и образованием электрически нейтральной молекулы



Противоположный процесс образования молекул A^\ddagger из молекул (V.78) и ионов H^+ и Cl^- , по-видимому, мало вероятен, быть может по-

тому, что группа $\text{C} \begin{matrix} \text{O} \\ \text{O} - \end{matrix}$ экранирована радикалом C_2H_5 . Реакция

алкоголиза бензоилхлоридов практически необратима.

Таким образом, в рассматриваемой схеме роль переходного состояния в конечном счете выполняют молекулы A^+ , т. е. те молекулы A^\ddagger , значительная часть текущей энергии возбуждения которых сосредоточивалась на связях $\text{C} \cdots \text{Cl}$ и $\text{O} \cdots \text{H}$, в результате чего эти связи распались.

Сольватация может выполнять при этом двойную роль. Во-первых, под влиянием сольватирующих молекул частота i -го нормального колебания будет варьировать. В этом плане сольватация выполняет роль, которая напоминает работу настройщика музыкальных инструментов. Она способствует необходимой «настройке» колебаний молекулы A^\ddagger . Во-вторых, сольватирующие молекулы могут быть источником или передатчиком тех квантов колебательной энергии или «вибронов», которые равны $h\nu_i$. Здесь они выступают как бы в роли пианиста, играющего на им же настроенном инструменте. Когда энергия сольватации переходит в энергию возбуждения внутримолекулярных колебаний активного комплекса, происходит его химическая активация, т. е. процесс, аналогичный образованию активной молекулы циклопропана в ходе реакции (V.40) в газах (см. § 18).

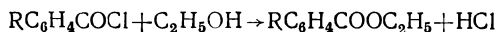
Итак, образование активного комплекса A^\ddagger может быть результатом ряда процессов, которые можно выразить в терминах химических реакций. Речь идет о реакциях образования ядра активного комплекса, реакциях сольватации этого ядра, частично сопровождающихся химической активацией A^\ddagger , реакциях перестройки структуры растворителя около сольватированного ядра, реакциях вида (V.75) переноса энер-

гии внутримолекулярных колебаний. Одни из них идут в растворе и в отсутствие более медленной реакции, другие сопутствуют этой реакции. Изменение степеней полноты упомянутых естественных реакций ξ_α или их независимых линейных комбинаций, нормальных реакций ζ_β в равновесной или неравновесной системе приводит к возникновению такого состояния, в котором система теряет устойчивость и в ней происходит химическое превращение, т. е. переход в новое устойчивое состояние. Разумеется, это лишь качественное описание тех процессов, которые могут происходить при образовании и разрушении активного комплекса. Для получения количественных характеристик нужны дальнейшие исследования (см. гл. VIII).

§ 21. ТЕОРИЯ ИЗОКИНЕТИЧЕСКОГО ЭФФЕКТА. РАСЧЕТ ТРАНСМИССИОННОГО КОЭФФИЦИЕНТА κ , ИСТИННЫХ ЭНТРОПИИ И СВОБОДНОЙ ЭНТАЛЬПИИ РЕАКЦИИ

Рассмотрим некоторую реакцию, для которой из опыта известны константы ее скорости при нескольких температурах. По уравнению (V.68) вычислим свободную энтальпию ΔG_κ^\ddagger , энтальпию ΔH^\ddagger и энтропию ΔS_κ^\ddagger активации этой реакции. Так как трансмиссионный коэффициент неизвестен, то в ходе этих расчетов будем считать, что $\kappa_3 = 4 \text{ лем}$ в уравнении (V.68) равно единице. Обозначим интересующую нас реакцию символом q , а рассчитанные термодинамические характеристики активного комплекса этой реакции символами ΔH_q^\ddagger , $\Delta G_{q\kappa}^\ddagger$ и $\Delta S_{q\kappa}^\ddagger$. Индекс «к» — начальная буква слова «кажущийся», так как расчет выполнен при условии, что κ_3 или, соответственно, 4 лем равны единице.

Как было показано в § 20, процессы образования активного комплекса в жидких фазах могут быть выражены в терминах химических реакций. Поскольку речь идет о неравновесном состоянии, степени полноты этих реакций ξ_α представляют собой внутренние переменные, определяющие состояние неравновесной системы. Таким образом, свойства системы определяются не только внешними переменными, например давлением P и температурой T , но и внутренними переменными — степенями полноты реакций ξ_α ($\alpha = 1, 2, \dots, r$), где r — общее число естественных реакций, в результате которых в системе могут возникать неравновесные состояния и тем самым создаваться условия для протекания реакции q , константа скорости которой фигурирует в уравнении (V.68). Подчеркнем, что реакция q не обязательно должна входить в перечень реакций, обозначаемых здесь и далее индексом $\alpha = 1, 2, \dots, r$. Например, реакции α могут быть быстрыми и сверхбыстрыми, а реакция q — медленной. В таких случаях реакция q выступает как кинетически лимитирующая стадия процесса, возможность протекания которого создается реакциями α . В примере, рассмотренном в § 20, реакция q — это алкоголиз паразамещенных бензоилхлорида:



Реакции α — это, во-первых, те, которые ведут к образованию ядра активного комплекса, затем реакции его сольватации, реакции пере-

стройки структуры среды около молекул активного комплекса и накопец реакции возбуждения молекул активного комплекса.

Изокинетический эффект. Для однотипных процессов вида q нередко наблюдается линейная зависимость между ΔH_q^\ddagger и $\Delta S_{qк}^\ddagger$. Одновременно существует линейная связь между ΔH_q^\ddagger и $\Delta G_{qк}^\ddagger$, а также между $\Delta G_{qк}^\ddagger$ и $\Delta S_{qк}^\ddagger$. Такого рода эмпирические зависимости описаны, например, в кн. Гаммета [104]. Они именуются изокинетическими зависимостями или кинетическими компенсационными эффектами*. Рассмотрим эти эффекты с помощью представлений, развитых в работах [97, 98, 108].

Прежде всего надо иметь в виду, что компенсационный эффект наблюдается не для истинных величин свободной энтальпии и энтропии активации, а для величин $\Delta G_{qк}^\ddagger$ и $\Delta S_{qк}^\ddagger$, вычисленных при допущении, что $\kappa_3 = 4\pi e\kappa = 1$. Расчеты ΔH_q^\ddagger , $\Delta G_{qк}^\ddagger$ и $\Delta S_{qк}^\ddagger$ производятся по формулам, которые можно получить из (V.68) и уравнения

$$\Delta G_{qк}^\ddagger = \Delta H_q^\ddagger - T\Delta S_{qк}^\ddagger. \quad (V.79)$$

Истинная энтальпия активации реакции q рассчитывается по уравнению (V.10). Для мономолекулярных реакций $\sum_i \Delta v_i$ в уравнении (V.10) равна нулю. Для реакции вида



$\sum_i \Delta v_i$ равна — 1. Для реакции



$\sum_i \Delta v_i = 0$. Из уравнения (V.10) следует, что множитель $4\pi e\kappa \equiv \kappa_3$ на величину ΔH_q^\ddagger не влияет, поэтому

$$\Delta H_{qк}^\ddagger \equiv \Delta H_q^\ddagger, \quad (V.82)$$

т. е. «кажущаяся», и истинная энтальпия тождественны. Согласно уравнению (V.68), имеем:

$$\Delta G_q^\ddagger = -RT \ln k + RT \ln \kappa_3 + RT \ln \frac{k_B T}{h}. \quad (V.83)$$

Следовательно, истинная и кажущаяся свободные энтальпии активации следуют соотношению

$$\Delta G_q^\ddagger = \Delta G_{qк}^\ddagger + RT \ln \kappa_3. \quad (V.84)$$

* Для описания кинетического компенсационного эффекта часто пользуются параметрами E_q и $\lg Z_q$ уравнения Аррениуса или другими, связанными с E_q и $\lg Z_q$ величинами. В этих случаях необходимо выполнять пересчет литературных данных к значениям энтальпии ΔH_q^\ddagger и кажущейся энтропии активации $\Delta S_{qк}^\ddagger$. Формулы, позволяющие рассчитывать ΔH_q^\ddagger по данным о E_q и $\Delta S_{qк}^\ddagger$ по данным о $\lg Z_q$, приведены на с. 133. Пересчет нужен потому, что именно ΔH_q^\ddagger и $\Delta S_{qк}^\ddagger$ необходимы для теоретического анализа компенсационного эффекта.

Это значит, что «кажущаяся» свободная энтальпия активации отличается от истинной на величину $-RT \ln 4 \text{ пек} \equiv -RT \ln \kappa_a$. Истинная энтропия активации реакции q отыскивается с помощью соотношения

$$\Delta S_q^\# = \left(\frac{\partial RT \ln k}{\partial T} \right)_P - R - R \ln \frac{k_B T}{h} - R \ln \kappa_a + \\ + RT \left(\sum_i \Delta v_i \right) \left(\frac{\partial \ln p}{\partial T} \right)_P. \quad (\text{V.85})$$

Отсюда истинная и кажущаяся энтропии реакции подчиняются соотношению

$$\Delta S_q^\# = \Delta S_{qk}^\# - R \ln \kappa_a. \quad (\text{V.86})$$

Кажущаяся энтропия активации отличается от истинной на величину $R \ln \kappa_a = R \ln 4 \text{ пек}$.

Теория изокINETического эффекта. Пусть в каких-либо системах 1, 2, ..., f при температуре T и давлении P протекает реакция q одного и того же типа для всех f систем. Внешние и внутренние переменные, характеризующие состояние неравновесной системы, это в данном случае, $T, P, \xi_1, \dots, \xi_\beta, \dots$. Анализ в терминах нормальных реакций $\{\xi\}$ упрощает задачу.

Рассмотрим некоторую замкнутую область v в каждой из систем, достаточно большую, чтобы можно было применять понятия и методы неравновесной термодинамики, и одновременно достаточно малую, чтобы в области v мог возникать только один активный комплекс. Предположим, что переход в активное состояние во всех f системах обусловлен одной нормальной реакцией ξ_β , одинаковой во всех f системах:

$$\xi_\beta = \sum_\alpha w'_{\beta\alpha} \xi_\alpha \quad (\alpha = 1, 2, \dots, r). \quad (\text{V.87})$$

Сказанное означает, что коэффициенты линейного преобразования $w'_{\beta\alpha}$ не зависят от номера системы i . Набор естественных реакций $\{\xi\}$, фигурирующих в (V.87), одинаков для всех f систем. Все остальные степени полноты нормальных реакций сохраняют значения $\xi_1 = \xi_{10} = 0$ и т. д., соответствующие стандартному состоянию при $T = T_0$ и $P = P_0$. Таким образом, свободная энтальпия и другие термодинамические функции области v в данном случае зависят только от ξ_β :

$$G_{iv} = G_{\beta v}(\xi_\beta); \quad H_{iv} = H_{\beta v}(\xi_\beta); \quad S_{iv} = S_{\beta v}(\xi_\beta). \quad (\text{V.88})$$

Эти функции одинаковы для всех f систем. Степень полноты нормальной реакции β при возникновении в объеме v активного комплекса равна $\xi_{\beta i}^\#$. Она, вообще говоря, различна для систем, входящих в набор f . Перенумеруем системы в таком порядке, чтобы в последовательности 1, 2, ..., i , ..., f разность $\xi_{\beta i}^\# - \xi_{\beta i0} \equiv \xi_{\beta i}^\#$ монотонно возрастала.

Изменение свободной энтальпии объема v i -й системы при возникновении в нем активного состояния равно:

$$\Delta G_{iv}^{\neq} = G_{iv}^{\neq} - G_{0iv} = \int_0^{\xi_{\beta i}^{\neq}} \frac{\partial G_{iv}}{\partial \xi_{\beta}} d\xi_{\beta}. \quad (\text{V.89})$$

Точно так же

$$\Delta H_{iv}^{\neq} = \int_0^{\xi_{\beta i}^{\neq}} \frac{\partial H_{iv}}{\partial \xi_{\beta}} d\xi_{\beta}; \quad (\text{V.90})$$

$$\Delta S_{iv}^{\neq} = \int_0^{\xi_{\beta i}^{\neq}} \frac{\partial S_{iv}}{\partial \xi_{\beta}} d\xi_{\beta}. \quad (\text{V.91})$$

Производная $\partial G_{iv}/\partial \xi_{\beta}$ равна нулю, когда $\xi_{\beta i} = 0$, если стандартное состояние термодинамически равновесно, так как в этом случае при $T = T_0$ и $P = P_0$ термодинамический потенциал G в точке $\xi_{\beta i} = 0$ имеет минимум.

Будем считать, что производная $\partial G_{iv}/\partial \xi_{\beta}$ представляет собой непрерывную монотонную функцию ξ_{β} в промежутке $(0, \xi_{\beta i}^{\neq})$, т. е. в этом промежутке система не имеет фазового перехода и других особых состояний. Таким образом

$$\left(\frac{\partial G_{iv}}{\partial \xi_{\beta}} \right)_{\xi_{\beta} = \xi_{\beta i 0}} \leq \frac{\partial G_{iv}}{\partial \xi_{\beta}} \leq \left(\frac{\partial G_{iv}}{\partial \xi_{\beta}} \right)_{\xi_{\beta} = \xi_{\beta i}^{\neq}} \quad (\text{V.92})$$

или

$$\left(\frac{\partial G_{iv}}{\partial \xi_{\beta}} \right)_{\xi_{\beta} = \xi_{\beta i}^{\neq}} \leq \frac{\partial G_{iv}}{\partial \xi_{\beta}} \leq \left(\frac{\partial G_{iv}}{\partial \xi_{\beta}} \right)_{\xi_{\beta} = \xi_{\beta i 0}}. \quad (\text{V.93})$$

Воспользуемся первым из этих соотношений. Знак ξ_{β} в промежутке $(\xi_{\beta i 0}, \xi_{\beta i}^{\neq})$ не изменяется, следовательно, к уравнению (V.89) можно применить теорему о среднем значении:

$$\Delta G_{iv}^{\neq} = \left(\frac{\partial G_{iv}}{\partial \xi_{\beta}} \right)_{\xi_{\beta} = \bar{\xi}_{\beta i}} \Delta \xi_{\beta i}^{\neq}, \quad (\text{V.94})$$

где $\bar{\xi}_{\beta i}$ — то значение степени полноты ξ_{β} , при котором производная $\partial G_{iv}/\partial \xi_{\beta}$ удовлетворяет уравнению (V.94). Величины ΔG_{iv} и $\Delta \xi_{\beta i}$ в (V.94) конечны. Поэтому отношение

$$\frac{\Delta G_{iv}}{\Delta \xi_{\beta i}} = \left(\frac{\partial G_{iv}}{\partial \xi_{\beta}} \right)_{\xi_{\beta} = \bar{\xi}_{\beta i}} \neq 0. \quad (\text{V.95})$$

Производная $(\partial G_{iv}/\partial \xi_{\beta})_{\xi_{\beta} = \bar{\xi}_{\beta i}} \equiv G'_{\beta iv}$ может зависеть от $\xi_{\beta i}$ (рис.38). Будем считать эту зависимость слабой:

$$G'_{\beta iv} \simeq G'_{\beta jv} \quad (i, j = 1, 2, \dots, f) \quad (\text{V.96})$$

для всех f систем.

Подставляя (V.96) в (V.94) и замечая, что свободная энтальпия активации реакции q в расчете на 1 моль активных комплексов ΔG_{qi}^\ddagger в N_A раз больше, чем $\Delta G_{\beta iv}^\ddagger$, после умножения обеих частей равенства (V.94) на N_A , получаем:

$$\Delta G_{qi}^\ddagger = G'_q \Delta \zeta_{\beta i}^\ddagger, \quad (\text{V.97})$$

где G'_q — изменение свободной энтальпии любой из f систем, когда степень полноты нормальной реакции ζ_β изменяется на единицу; ΔG_{qi}^\ddagger — свободная энтальпия активации реакции q в i -й системе; $\Delta \zeta_{\beta i}^\ddagger$ — то изменение степени полноты нормальной реакции β , ко-

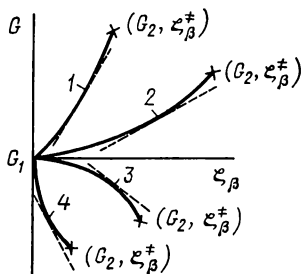


Рис. 38. Возможные графики зависимости G от ζ при образовании активного комплекса:

1, 2 — $-\Delta G^\ddagger > 0$; 3, 4 — $-\Delta G^\ddagger < 0$;
1, 4 — начальное и конечное состояния неравновесны; 2, 3 — начальное состояние равновесное; пунктир — касательная в точке $\zeta_\beta = \zeta_\beta^*$

торое необходимо, чтобы i -я система перешла в активное состояние. ΔG_{qi}^\ddagger связана с энтальпией активации ΔH_{qi}^\ddagger и энтропией активации ΔS_{qi}^\ddagger соотношением

$$\Delta G_{qi}^\ddagger = \Delta H_{qi}^\ddagger - T \Delta S_{qi}^\ddagger, \quad (\text{V.98})$$

которое следует из (V.96) и уравнения

$$G'_{\beta iv} = H'_{\beta iv} - T S'_{\beta iv}; \quad i = 1, 2, \dots, f. \quad (\text{V.99})$$

$H'_{\beta iv}$ и $S'_{\beta iv}$ подобно $G'_{\beta iv}$ почти одинаковы для всех f систем, $G'_{\beta iv}$, $H'_{\beta iv}$ и $S'_{\beta iv}$ представляют собой линейные комбинации вида (V.87) соответствующих производных по степеням полноты естественных реакций α .

Из уравнений (V.82), (V.83), (V.85) и (V.95)—(V.98) следует, что

$$\left. \begin{aligned} \Delta H_{qik}^\ddagger &\equiv \Delta H_{qi}^\ddagger = H'_q \Delta \zeta_{\beta i}^\ddagger \\ \Delta G_{qik}^\ddagger + RT \ln 4\pi e \kappa_{qi} &= G'_q \Delta \zeta_{\beta i}^\ddagger \\ \Delta S_{qik}^\ddagger - R \ln 4\pi e \kappa_{qi} &= S'_q \Delta \zeta_{\beta i}^\ddagger \end{aligned} \right\} (i = 1, 2, \dots, f), \quad (\text{V.100})$$

где κ_{qi} — трансмиссионный коэффициент реакции q в системе i . Пользуясь (V.100), находим, что для любой пары систем i и j среди упомянутых f систем, в которых протекает однотипная реакция q :

$$\frac{\Delta H_{qi}^\ddagger}{\Delta H_{qj}^\ddagger} = \frac{\Delta \zeta_{\beta i}^\ddagger}{\Delta \zeta_{\beta j}^\ddagger} = \frac{\Delta G_{qik}^\ddagger + RT \ln 4\pi e \kappa_{qi}}{\Delta G_{qjk}^\ddagger + RT \ln 4\pi e \kappa_{qj}} = \frac{\Delta S_{qik}^\ddagger - R \ln 4\pi e \kappa_{qi}}{\Delta S_{qjk}^\ddagger - R \ln 4\pi e \kappa_{qj}}. \quad (\text{V.101})$$

Предположим теперь, что для реакции типа q в системе 1, 2, ..., выполняется условие

$$\kappa_{qi} = \kappa \quad (i = 1, 2, \dots, f). \quad (\text{V.102})$$

Тогда из (V.101) и (V.102) следует, что связь между ΔH_{qi}^\ddagger и $\Delta S_{qi\kappa}^\ddagger$ должна быть линейной:

$$\Delta H_{qi}^\ddagger = A + B \Delta S_{qi\kappa}^\ddagger, \quad (\text{V.103})$$

где A и B — постоянные:

$$\begin{aligned} A &= - \frac{\Delta H_{q1}^\ddagger R \ln 4\pi\kappa}{\Delta S_{q1}^\ddagger - R \ln 4\pi\kappa} = - \frac{\Delta H_1^\ddagger R \ln 4\pi\kappa}{\Delta S_{q1\kappa}^\ddagger - R \ln 4\pi\kappa} = \\ &= \Delta H_1^\ddagger R \ln 4\pi\kappa / \Delta S_{q1}^\ddagger; \end{aligned} \quad (\text{V.104})$$

$$B = -A/R \ln 4\pi\kappa = \Delta H_{qi}^\ddagger / \Delta S_{qi}^\ddagger \quad (i = 1, 2, \dots, f). \quad (\text{V.105})$$

В (V.104) $j \neq i$. При $j = i$ уравнение (V.103) обращается в тождество. Постоянные A и B не зависят от j , в чем можно убедиться, выразив в (V.104) ΔH_{qj}^\ddagger через ΔH_{q1}^\ddagger и $\Delta S_{q1\kappa}^\ddagger$ с помощью уравнений (V.101) и (V.102).

Уравнение (V.103) представляет собой искомое выражение изокинетической зависимости или (что то же самое) кинетического компенсационного эффекта. По наблюдениям Леффлера [109], коэффициент B мало зависит от температуры. Это согласуется с теорией, поскольку зависимость ΔH_q^\ddagger и $\Delta S_{q\kappa}^\ddagger$ от температуры незначительна. Эмпирические постоянные A и B уравнения (V.103) определяются с помощью значений ΔH_{qi}^\ddagger и $\Delta S_{qi\kappa}^\ddagger$, вычисленных по экспериментальным данным о константах скоростей серии f однотипных реакций (типа q). Постоянная B имеет размерность температуры. Иногда ее именуют изокинетической температурой (смысл этого термина разъясняется далее).

Пользуясь уравнением (V.105), находим, что в тех случаях, когда параметр B конечен:

$$\Delta H_{qi}^\ddagger = B \Delta S_{qi}^\ddagger \quad (i = 1, 2, \dots, f), \quad (\text{V.106})$$

энтальпия активации i -й реакции из серии q пропорциональна (с точностью до знака) истинной энтропии активации той же реакции. Зная ΔH_{qi}^\ddagger и B , с помощью уравнения (V.106) легко определить истинные энтропии активации ΔS_{qi}^\ddagger .

Параметр B есть тангенс угла наклона прямой линии, описываемой уравнением (V.106). Обычно B положительно. Этому случаю соответствует рис. 39, а. При положительной изокинетической температуре уравнение (V.106) напоминает соотношение, связывающее тепловой эффект $\Delta H \equiv (\partial H / \partial \xi)_{PT}$ и энтропийный эффект $\Delta S_P \equiv (\partial S / \partial \xi)_{PT}$ обратной реакции в условиях термодинамического равновесия при заданных T и P . В этих условиях изменение свободной энтальпии системы при изменении степени полноты реакции на единицу равно нулю, $\Delta G = (\partial G / \partial \xi)_{PT} = \Delta H - T \Delta S_P = 0$, поэтому $\Delta H = T \Delta S_P$. Отличие процесса образования активного комплекса от

равновесной обратимой реакции состоит в том, что изокINETическая температура B , как правило, не равна температуре T системы. Если температура системы T равна изокINETической температуре B ($T = B$), то при этой температуре $\Delta H_{qi}^\ddagger = T\Delta S_{qi}^\ddagger$, и, следовательно, истинная (не кажущаяся) свободная энтальпия активации каждой из реакций i серии q равна нулю, $\Delta G_{qi}^\ddagger = 0$, а кажущаяся свободная энтальпия

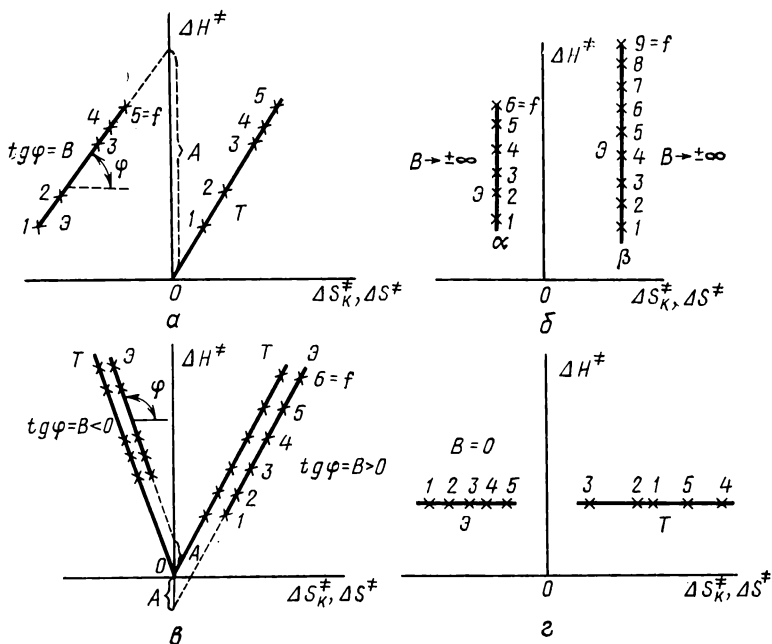


Рис. 39. Частные случаи эмпирической зависимости $\Delta H_{qi}^\ddagger = A + B\Delta S_{qi}^\ddagger$:

a — A и B положительны, b — $B \rightarrow \pm \infty$; α — кажущаяся энтропия активации; ΔS_{qi}^\ddagger отрицательная; β — ΔS_{qi}^\ddagger — положительная; ϵ — $0 \leq A/B \leq R \ln 2\pi e$; $г$ — $A > 0, B = 0$; $э$ — графики экспериментальных зависимостей ΔH_{qi}^\ddagger от ΔS_{qi}^\ddagger ; T — графики теоретических зависимостей $\Delta H_{qi}^\ddagger = B\Delta S_{qi}^\ddagger$; f — число реакций в серии; цифры на графиках обозначают номера индекса i -й реакции, входящей в серию однотипных реакций q

реакции одинакова для всех реакций этой серии и равна $-RB \ln 4 \pi e k$. В этом можно убедиться с помощью соотношений (V.103), (V.105), (V.79), (V.84) и (V.86). При изокINETической температуре все f реакций серии q идут с одинаковой скоростью. Причина этого состоит в том, что нормальная реакция, которая приводит к образованию активного комплекса A^\ddagger , при изокINETической температуре для всех f однотипных реакций серии q протекает о б р а т и м о. Таков физический смысл понятия изокINETическая температура. В действительности по разным причинам, зависящим от природы систем, серия реак-

ций типа q далеко не всегда может быть реализована при температуре, равной изокинетической температуре.

Уравнение (V.106) аналогично соотношению между изменениями энтальпии $\Delta H_{\Phi 1}$ и энтропии $\Delta S_{\Phi 1}$ при фазовых переходах первого рода $\Delta H_{\Phi 1} = T_{\Phi 1} \Delta S_{\Phi 1}$, где $T_{\Phi 1}$ — температура фазового перехода 1-го рода (температура плавления или кипения при $P = \text{const}$ и т. п.). Рост энтальпии системы при плавлении кристаллов, кипении жидкостей и т. п. сопровождается разупорядочением системы в целом, что не исключает локального упорядочения в отдельных элементах объема. Разупорядочение системы вызывает увеличение ее энтропии. Нечто похожее происходит при возникновении активного комплекса, если $B > 0$. Увеличение энтальпии системы на величину ΔH_{qi}^\ddagger сопровождается разупорядочением системы в целом, приводящим к росту ее энтропии на величину ΔS_{qi}^\ddagger . Разумеется, и здесь речь идет лишь о некоторых чертах сходства, потому что в отличие от температуры $T_{\Phi 1}$ при фазовых переходах 1-го рода B , как правило, отличается от температуры системы, в которой возникает активный комплекс.

Если трансмиссионный коэффициент серии однотипных реакций удовлетворяет соотношению

$$\kappa = (4\pi e)^{-1} \simeq 3 \cdot 10^{-2},$$

то $\ln 4\pi e \kappa \rightarrow 0$ и, согласно уравнению (V.105), параметр $B \rightarrow \infty$. В этом случае, пользуясь уравнениями (V.86) и (V.103), получаем:

$$\Delta S_{qik}^\ddagger = \Delta S_{qi}^\ddagger = \text{const} \quad (i = 1, 2, \dots, f). \quad (\text{V.107})$$

Такая серия реакций типа q называется изоэнтропийной. График зависимости (V.107) изображен на рис. 39, б. Энтальпия активации такой серии реакций не зависит от энтропии активации.

При значениях κ , лежащих в интервале $(4\pi e)^{-1} < \kappa \leq 1/2$ так, что $1 < 4\pi e \kappa \leq 2\pi e$, знаменатель уравнения (V.105) положителен. При положительных значениях параметра A параметр B отрицательный. При отрицательных значениях A параметр B положительный (рис. 39, в).

Для отрицательных значений B термин изокинетическая температура теряет смысл, так как температура по определению положительна. Физические причины отрицательных значений параметра B могут быть следующими.

При отрицательных B истинная энтропия активации ΔS_{qi}^\ddagger должна быть тоже отрицательной, если ΔH_{qi}^\ddagger положительна. Так как трансмиссионный коэффициент реакции, согласно принятому выше условию близок к максимально возможному значению, равному $1/2$, вероятность распада активного комплекса A^\ddagger на продукты реакции большая. Следовательно, текущая энергия E^+ активного комплекса может быть малой. Основной вклад в энтропию активации вносят процессы, приводящие к возникновению ядра A^\ddagger и его ближней сольватации. Если процессы сопровождаются значительным локальным упорядочением системы, они ведут к уменьшению ее энтропии в целом, т. е. к отрицательным значениям истинной энтропии активации ΔS_{qi}^\ddagger .

Случаи, когда параметр B равен нулю (изоэнтальпийные серии реакций) или не только B , но и A равно нулю (реакции, не имеющие стадии активации), будут рассмотрены в § 22.

Так как $\Delta G_{qi\kappa}^\ddagger = \Delta H_{qi}^\ddagger - T \Delta S_{qi\kappa}^\ddagger$, линейная связь между ΔH_{qi}^\ddagger и $\Delta S_{qi\kappa}^\ddagger$ однотипной реакции q в ряду систем 1, 2, ..., f означает линейность связей между $\Delta G_{qi\kappa}^\ddagger$ и $\Delta S_{qi\kappa}^\ddagger$, а также между $\Delta G_{qi\kappa}^\ddagger$ и ΔH_{qi}^\ddagger .

Соответствующие уравнения имеют вид:

$$\Delta G_{qi\kappa}^\ddagger = A' + \left(1 - \frac{T}{B}\right) \Delta H_{qi}^\ddagger; \quad (\text{V.108})$$

$$\Delta G_{qi\kappa}^\ddagger = A + (B - T) \Delta S_{qi\kappa}^\ddagger. \quad (\text{V.109})$$

В уравнении (V.108) $A' = TA/B$.

Если бы уравнения (V.108) или (V.107) соблюдались точно, то при изокинетической температуре $T_{из} \equiv B$

$$\Delta G_{qi\kappa}^\ddagger = A' = \text{const} \quad (i = 1, 2, \dots, f). \quad (\text{V.110})$$

Как уже говорилось $\Delta G_{qi\kappa}^\ddagger$ рассчитано при допущении, что трансмиссионные коэффициенты κ реакций равны $(4\pi e)^{-1}$. Поэтому, согласно теории констант скоростей реакций [см. уравнения (V.67) и (V.84)], одинаковым величинам $\Delta G_{qi\kappa}^\ddagger$ должны соответствовать одинаковые константы скорости однотипных реакций.

При изокинетической температуре все $\Delta G_{qi}^\ddagger = 0$; константы скорости всех реакций вида q должны были бы быть одинаковыми и равными $\kappa 4\pi e_B T/h$, если при $T = B$ в данной системе реакции вида q могли бы протекать.

Допустим, что при $T < B$ константы скоростей реакций 1, 2, ..., f , для которых наблюдается изокинетический эффект, составляют некоторую последовательность величин монотонно возрастающих или уменьшающихся в ряду 1, 2, ..., f . При $T > B$ эта последовательность должна изменяться на противоположную, по сравнению с последовательностью, наблюдаемой в условиях, когда $T < B$. Так, если при $T < B$ константы скорости серии однотипных реакций q в последовательности 1, 2, ..., f постепенно растут, то при $T > B$ в той же последовательности они уменьшаются.

В принципе не исключено, что изокинетический эффект будет наблюдаться и при нарушении условия (V.102). Если уравнение (V.103) соблюдается при нарушении условия (V.102), речь идет о кажущемся изокинетическом эффекте. При большом числе f членов серии реакций q это маловероятно.

Условие (V.102) представляет собой количественную формулировку той особенности однотипных реакций q , которая была указана еще Леффлером [109]. «Одно из ограничений и одна из полезных черт изокинетического соотношения состоит в том, — писал Леффлер — что, как можно полагать, оно приложимо лишь к тем сериям реакций, в которых растворитель или структурные изменения не меняют механизмы реакции или природу переходного состояния. Существование

этого соотношения дает основания предполагать, что соответствующая серия реакций имеет один и тот же механизм».

Расчет трансмиссионного коэффициента. Предположим, что с помощью экспериментальных данных о ΔG_{qi}^\ddagger , ΔS_{qi}^\ddagger и ΔH_{qi}^\ddagger найдена какая-либо из линейных зависимостей (V.103), (V.108) или (V.109). Находя из опыта значения постоянных A и B , можно определить трансмиссионный коэффициент κ . Для этой цели достаточно сопоставить и какие-либо две системы i и j из ряда 1, 2, ..., f . Тогда

$$\ln 4\pi\kappa = -\frac{A}{RB} = \frac{\Delta G_{qik}^\ddagger - a_{ij} \Delta G_{qjk}^\ddagger}{RT(a_{ij} - 1)} = \frac{\Delta S_{qik}^\ddagger - a_{ij} \Delta S_{qjk}^\ddagger}{R(1 - a_{ij})}; \quad (\text{V.111})$$

$$\kappa = \frac{1}{4\pi e} e^{-\frac{A}{RB}} = \frac{1}{2} e^{-\frac{A'}{(RB)^2}},$$

где

$$A' = RB [A + RB (1 + \ln 2\pi)];$$

$$a_{ij} = \Delta H_{qi}^\ddagger / \Delta H_{qj}^\ddagger = \Delta \zeta_{\beta i}^\ddagger / \Delta \zeta_{\beta j}^\ddagger. \quad (\text{V.112})$$

Возможность вычислить трансмиссионный коэффициент представляет интерес не только потому, что сама по себе эта величина имеет большое значение для понимания механизма реакции, но и потому, что позволяет определить истинные величины ΔS_{qi}^\ddagger и ΔG_{qi}^\ddagger .

Итак, для того чтобы у какой-либо реакции наблюдался изокинетический эффект, достаточны следующие условия:

а) активное состояние должно возникать в результате одной нормальной реакции β или же одной естественной реакции α , отличающейся от реакции q ;

б) изменение энтальпии, энтропии и свободной энтальпии при изменении степени полноты ζ_β или ξ_α на единицу должно быть одинаково для всех систем, где идет реакция q ;

в) трансмиссионный коэффициент реакции q для всех упомянутых систем тоже должен быть одинаков.

И наоборот, если наблюдается изокинетический эффект, то есть все основания ожидать, что реакция протекает в соответствии с условиями a , b и $в$. Отсюда вытекает следующее. Допустим, имеется некоторый тип реакций q . Нужно определить термодинамические функции активного состояния и трансмиссионный коэффициент. Чтобы решить эту задачу, достаточно найти условия, при которых для реакции q в соответствующем интервале концентраций реагентов будет выполняться изокинетический эффект. Здесь следует подчеркнуть, что рассчитанный с помощью изокинетического эффекта трансмиссионный коэффициент группы реакций q имеет значение только для тех интервалов концентраций, температур и давлений, в которых группа реакций q следует изокинетической зависимости. При заданных концентрации и температуре реагентов изокинетический эффект в ряде случаев можно наблюдать, изменяя давление в реагирующей среде.

Изокинетический эффект реакции алкоголиза паразамещенных бензоилхлорида. Вернемся к реакции алкоголиза паразамещенных бензоилхлорида, рассмотренной в предыдущем параграфе. На рис. 40 представлен график зависимости ΔH_{qi}^\ddagger от $\Delta S_{qi\kappa}^\ddagger$, где i обозначает номер радикала R в последовательности NO₂, I, Br, Cl, H, F, CH₃ и CH₃O.

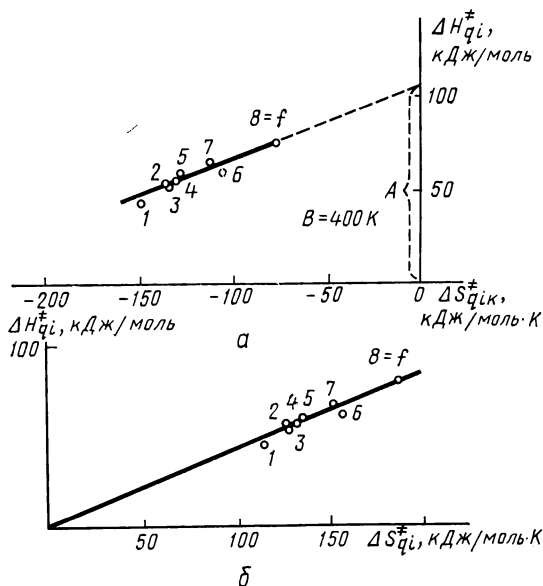


Рис. 40. Изокинетическая зависимость для восьми реакций алкоголиза паразамещенных бензохлоридов:

a — зависимость энтальпии активации от кажущейся энтропии активации реакций; b — зависимость энтальпии активации от истинной энтропии активации реакций (для графика a в уравнении (V.85) $\ln \mu_\kappa = 0$); 1 — n-NO₂-бензол; 2 — n-I-бензол; 3 — n-Br-бензол; 4 — n-Cl-бензол; 5 — бензол; 6 — n-F-бензол; 7 — n-ClI₃-бензол; 8 — n-CH₃O-бензол

Из рисунка видно, что ΔH_{qi}^\ddagger — линейная функция $\Delta S_{qi\kappa}^\ddagger$. Следовательно, для реакции алкоголиза паразамещенных хлористого бензоила в спиртоэфирной среде наблюдается изокинетический эффект:

$$\Delta H_{qi}^\ddagger = A + B \Delta S_{qi\kappa}^\ddagger. \quad (\text{V.113})$$

Напомним, что индекс « κ » обозначает, что «кажущаяся» энтропия активации вычислена при условии $4\mu_\kappa = 1$. Из рис. 40, a следует, что коэффициент B в уравнении (V.113) равен $\simeq 400\text{ K}$, $A = 105\text{ кДж/моль}$. Пользуясь уравнением (V.111), получаем, что $\ln 4\mu_\kappa = -105000/400R = -31,6$. Следовательно, $4\mu_\kappa = e^{-31,6} \simeq 10^{-13,7}$; $\mu_\kappa = 5,4 \cdot 10^{-16}$.

В табл. 8 приведены истинные значения свободной энтальпии и энтропии активации этой реакции, вычисленные по уравнениям

$$\Delta G_{qi}^\ddagger = \Delta G_{qi\kappa}^\ddagger + RT \ln 4\mu_\kappa = \Delta G_{qi\kappa}^\ddagger - 2,48 \cdot 31,6 = \Delta G_{qi\kappa}^\ddagger - 78\text{ кДж/моль},$$

Истинные значения энтальпии ΔH_{qi}^\ddagger , свободной энтальпии ΔG_{qi}^\ddagger и энтропии ΔS_{qi}^\ddagger активации реакции алкоголиза паразамещенных бензоилхлоридов в спирто-эфирном растворе

i	Соединение	ΔH_{qi}^\ddagger , кДж/моль	ΔG_{qi}^\ddagger , кДж/моль	ΔS_{qi}^\ddagger , Дж/моль·К
1	<i>n</i> -NO ₂ -бензоил	44	10	115
2	<i>n</i> -I-бензоил	54	16	127
3	<i>n</i> -Br-бензоил	54	16	127
4	<i>n</i> -Cl-бензоил	56	16	133
5	Бензоил	58	17	135
6	<i>n</i> -F-бензоил	59	12	158
7	<i>n</i> -CH ₃ -бензоил	64	18	152
8	<i>n</i> -CH ₃ O-бензоил	76	19	187

$$\Delta S_{qi}^\ddagger = \Delta S_{qik}^\ddagger - R \ln 4\pi e\kappa = \Delta S_{qik}^\ddagger + 263 \text{ Дж/моль} \cdot \text{К}.$$

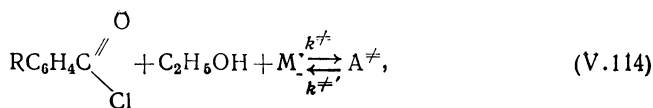
На рис. 40, б изображена зависимость ΔH_{qi}^\ddagger от ΔS_{qi}^\ddagger этой реакции.

Как следует из материалов, приведенных в [103; 104], средняя случайная ошибка значений ΔH_{qi}^\ddagger составляет около $\pm 1,3$ кДж/моль, ΔS_{qi}^\ddagger — около ± 5 кДж/моль·К, ΔG_{qi}^\ddagger — около $\pm 0,4$ кДж/моль. Величина *A* определена с точностью около 3%. Величина *B* определена с точностью порядка $\pm 5\%$. Поэтому возможная ошибка величины $\ln 4\pi e\kappa$ составляет около 8% и, следовательно, в данном случае ΔG_{qi}^\ddagger могут систематически отличаться от правильных значений на ± 4 кДж/моль, а величины ΔS_{qi}^\ddagger в среднем на ± 20 Дж/моль·К.

В заключение отметим, что изложенная в этом параграфе теория изокINETического эффекта позволяет не только понять его физический смысл, но и рассчитать трансмиссионные коэффициенты, а также истинные величины энтропий и свободных энтальпий реакций, протекающих в неидеальных системах, т. е. решить задачу, пока что не разрешимую, с помощью других методов. Знание трансмиссионного коэффициента, истинных энтропий и энтальпий активации реакций, как будет видно из дальнейшего, может существенно содействовать пониманию механизма реакций, протекающих в неидеальных системах.

§ 22. ТЕОРИЯ КОНСТАНТ СКОРОСТЕЙ И МЕХАНИЗМЫ РЕАКЦИЙ В ЖИДКИХ СРЕДАХ

О механизме реакций алкоголиза паразамещенных бензоилхлоридов. Рассмотрим теперь выводы о механизме реакций алкоголиза, вытекающие из теории изокINETического эффекта и приведенных расчетов. В соответствии с общей схемой (V.64) реакция образования активного комплекса имеет вид



где М — молекулы окружающей среды, участвующие в реакции образования активного комплекса. В условиях, когда наблюдается изокINETический эффект, реакция (V.114) есть одна нормальная реакция, практически одинаковая для всех паразамещенных бензоилхлоридов, приведенных в табл. 6. Доля молекул A_{\neq} , превращающихся далее в A^+ и распадающихся затем на продукты реакции — сложный эфир и соляную кислоту, ничтожно мала: $\kappa \simeq 5 \cdot 10^{-16}$. Поэтому с высокой степенью точности можно считать, что активный комплекс A_{\neq} находится в равновесии с исходными реагентами. Константа равновесия этой реакции

$$k_0^{\neq} = \frac{C_{\text{A}_{\neq}}}{C_{\text{ПХВ}} C_{\text{СП}} C_{\text{М}}} = \frac{k_{\neq}}{k_{\neq'}} = [\text{c}] e^{-\Delta G^{\neq}/RT}. \quad (\text{V.115})$$

В уравнении (V.115) активности заменены концентрациями. $C_{\text{ПХВ}}$, $C_{\text{СП}}$, $C_{\text{М}}$, $C_{\text{A}_{\neq}}$ — концентрации паразамещенного хлористого бензоила, этилового спирта, молекул окружающей среды, участвующих в реакции (V.114), и активного комплекса, соответственно; k_{\neq} и $k_{\neq'}$ — константы скорости прямой и обратной реакций (V.114); $[\text{c}]$ — размерный множитель, зависящий от порядка прямой и обратной реакций и выбора единиц концентраций; ΔG^{\neq} , согласно табл. 8, составляет в среднем около 15 кДж/моль при $T = 300$ К, $RT \simeq 2,5$ кДж; $k_0^{\neq} = [\text{c}] 2,5 \cdot 10^{-3}$. При $C_{\text{ПХВ}} = 10^{-3}$ моль/л концентрации активного комплекса

$$C_{\text{A}_{\neq}} = C_{\text{ПХВ}} C_{\text{СП}} C_{\text{М}} [\text{c}] 2,5 \cdot 10^{-3} \simeq 10^{-5} - 10^{-4} \text{ моль/л.}$$

Свойства активного комплекса паразамещенных хлористого бензоила при $C_{\text{ПХВ}} \simeq 10^{-3}$ моль/л можно изучать с помощью экспериментальных методов, пригодных для исследований свойств разбавленных растворов.

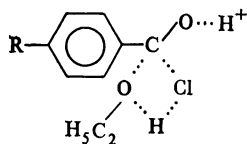
Согласно табл. 6 кажущаяся энтропия активации $\Delta S_{\text{к}}^{\neq}$ представляет собой отрицательную величину, лежащую в интервале от -70 до -150 Дж/моль·К, в то время как энтальпия активации ΔH^{\neq} положительна и принимает значения от 76 до 44 кДж/моль, соответственно. Локальный разогрев системы (рост энтальпии) при образовании активного комплекса сопровождается ее кажущимся упорядочением (кажущимся уменьшением энтропии). Такое сочетание знаков ΔH^{\neq} и $\Delta S_{\text{к}}^{\neq}$ встречается часто. Оно есть следствие того, что величина $\Delta S_{\text{к}}^{\neq}$ получается намного меньше истинных значений энтропии активации, так как трансмиссионные коэффициенты соответствующих реакций $\kappa \ll 1$. Истинные величины энтропий активации, приведенные в табл. 6,

положительны. Они растут с ростом энтальпии активации. Локальный разогрев системы при образовании молекул A^\ddagger , как правило, сопровождается ее локальным разупорядочением (увеличением энтропии), как это чаще всего и происходит в природе. Разумеется, молекулы активного комплекса A^\ddagger сами по себе упорядоченные образования. Рост энтропии обусловлен уменьшением степени упорядоченности среды, окружающей молекулу A^\ddagger . Уменьшается число водородных или других химических связей, что ведет к росту энтальпии и числа степеней свободы поступательного движения молекул. Возрастание числа степеней свободы поступательного движения молекул раствора — одна из причин увеличения энтропии. Вклад степени свободы поступательного движения молекул в энтропию системы составляет величину порядка $\frac{k_B}{2} \ln T$. В расчете на моль таких степеней свободы это дает $\frac{R}{2} \ln T = [23,7 \text{ Дж/моль} \cdot \text{К}]$ при $T = 300 \text{ К}$.

Согласно табл. 8 в случае *пара*-нитрохлористого бензоила $\Delta S^\ddagger = 115 \text{ Дж/моль} \cdot \text{К}$. Если этот прирост энтропии отнести целиком за счет увеличения числа поступательных степеней свободы, что не вполне соответствует действительности, то число поступательных степеней свободы системы при образовании одной молекулы A^\ddagger увеличивается на $n^\ddagger = 2\Delta S^\ddagger/R \ln T$. При 300 К получим $n^\ddagger = 115/23,7 = 4,85 \simeq 5$ поступательных степеней свободы. Прирост энтальпии на каждую степень свободы при $\Delta H^\ddagger = 44 \text{ кДж/моль}$ равен $h^\ddagger = 44/4,85 = 9,07 \text{ кДж/моль}$. Для *пара*-метоксихлористого бензоила имеем, соответственно, $\Delta S^\ddagger = 187 \text{ Дж/моль} \cdot \text{К}$, $\Delta H^\ddagger = 76 \text{ кДж/моль}$, число $n^\ddagger = 187/23,71 = 7,89$ и $h^\ddagger = 9,63 \text{ кДж/моль}$.

Чтобы оценить степень физической разумности приведенных здесь чисел, рассмотрим следующий пример. Энтальпия образования Н-связи между молекулами жидкой воды составляет около 21 кДж/моль. При разрушении димера $(H_2O)_2$ число поступательных степеней свободы молекул жидкой воды возрастает на 3, и, соответственно, прирост энтальпии на одну степень свободы составляет около 7 кДж/моль, т. е. величину того же порядка, что и h^\ddagger . Надо иметь в виду, что часть энтальпии активации может быть обусловлена повышенной энергией возбуждения молекулы A^\ddagger .

Итак, наши расчеты показывают, что возникновение активного комплекса в растворах может сопровождаться разрывом небольшого числа слабых химических связей между молекулами растворителя. Энергия активации, по крайней мере в тех случаях, когда наблюдается изокINETический эффект, возникает за счет химической энергии межмолекулярных взаимодействий в растворах. Рост энергии активации сопровождается увеличением числа разрушающихся слабых связей между молекулами растворителя, возрастанием числа поступательных степеней свободы. Потенциальная энергия слабых химических связей превращается в кинетическую энергию поступательного движения молекул, избыток которой переходит в энергию возбуждения активного комплекса. С возрастанием электроотрицательности заместителя R в ряду паразамещенных бензоилхлоридов, начиная от NO_2 и кончая



CH_3O , энергия сольватации реакционного центра молекул A^\ddagger изменяется. В результате этого возрастает ΔH^\ddagger и ΔS^\ddagger , что и приводит к изокинетической зависимости.

Текущая энергия колебательного возбуждения в момент образования ядра активного комплекса паразамещенного бензоилхлорида и этилового спирта, по-видимому, сосредоточивается в основном на вновь возникающих связях $\text{C} \dots \text{O}$ и $\text{Cl} \dots \text{H}$. Этим можно объяснить относительно высокую вероятность распада молекул упомянутого активного комплекса на исходные вещества. Чтобы произошел распад молекул A^\ddagger на продукты реакции, текущая энергия возбуждения должна успеть перераспределиться на другие колебательные степени свободы.

Перейдем теперь к «реакции»



Константа скорости этой «реакции» пропорциональна трансмиссионному коэффициенту κ . В принципе κ зависит от состава и строения ядра активного комплекса и его сольватной оболочки. Молекулы активных комплексов A^\ddagger в жидких растворах, как правило, многоатомные и имеют большое число сильных и слабых химических связей. Так, например, в ядре активного комплекса *para*-нитрохлористого бензоила (V.72) имеется 27 химических связей. Значительно большее число химических связей может быть в сольватной оболочке ядра молекулы A^\ddagger . Считая внутримолекулярные колебания гармоническими, в первом приближении можно принять, что флуктуации энергии возбуждения внутримолекулярных колебаний в активном комплексе следуют нормальному распределению. Тогда функция распределения флуктуаций энергии колебательного возбуждения

$$f(\Delta E) \simeq \exp \left\{ -(\Delta E)^2 / 2 \langle (\Delta E)^2 \rangle \right\}. \quad (\text{V.117})$$

Трансмиссионный коэффициент κ пропорционален плотности вероятности $f(E^+)$ того, что на некоторой выбранной химической связи в молекуле A^\ddagger сосредоточена энергия возбуждения внутримолекулярных колебаний, достаточная для возникновения переходного состояния A^+ , равная ΔE_v^+ , т. е.

$$\kappa = Q e^{-\langle (\Delta E_v^+) \rangle / 2 \langle \Delta E \rangle^2}. \quad (\text{V.118})$$

Множитель Q можно определить исходя из того, что при $\Delta E_v^+ = 0$, т. е. в условиях, когда равна нулю текущая энергия возбуждения, требующаяся для распада молекул A^\ddagger на исходные вещества или продукты реакции, трансмиссионный коэффициент имеет максимально

возможное значение, равное $1/2$ (см. § 17). Таким образом $\bar{Q} = 1/2$ и (см. V.111)

$$\kappa = \frac{1}{2} e^{-(\Delta E_{\ddagger}^{\dagger})^2/2 \langle (\Delta E)^2 \rangle} = \frac{1}{2} e^{-\frac{A'}{(RB)^2}}. \quad (\text{V.119})$$

Способы расчета величины средней квадратичной флуктуации энергии возбуждения $\langle (\Delta E)^2 \rangle$ многоатомных молекул в жидких фазах отсутствуют. В качестве грубой оценки порядка величины $\langle (\Delta E)^2 \rangle$ примем, что $|V \langle (\Delta E)^2 \rangle| \simeq k_B B$, где B — «изокINETическая температура» (см. § 19). Для реакции алкоголиза паразамещенных бензоилхлоридов в рассмотренных условиях опыта, при которых наблюдается изокINETический эффект $4\pi\kappa = e^{-31.6}$, $\kappa = e^{-35.1}$. Следовательно, $(E_{\ddagger}^{\dagger})^2/\langle (\Delta E)^2 \rangle = 17,2$ и $E_{\ddagger}^{\dagger} = 4,2 \langle |\Delta E| \rangle$. Если $\langle |\Delta E| \rangle = k_B B$, то при $B = 400$ К $\Delta E_{\ddagger}^{\dagger} \simeq 15$ кДж/моль. Так как трансмиссионный коэффициент очень мал, мономолекулярная «реакция» (V.116) должна быть кинетически лимитирующей стадией реакции алкоголиза паразамещенных бензоилхлоридов. По данным Бранча и Никсона [103] константа скорости реакции алкоголиза *пара*-нитробензоила хлорида составляет величину порядка 10^{-1} мин $^{-1}$, т. е. $1,6 \cdot 10^{-3}$ с $^{-1}$. Следовательно, $k^+ = 1,6 \cdot 10^{-3}$ с $^{-1}$.

Трансмиссионный коэффициент $\kappa = k^+/(k^+ + k^{\neq})$. Поэтому константы скорости $k^{\neq'}$ и k^{\neq} в уравнении (V.114) равны:

$$k^{\neq'} = \frac{k^+ (1 - \kappa')}{\kappa} = \frac{k^+}{\kappa} = 2,8 \cdot 10^{12} \text{ с}^{-1}; \quad k^{\neq} \simeq 5 \cdot 10^{10} [\text{с}] \text{ с}^{-1}. \quad (\text{V.120})$$

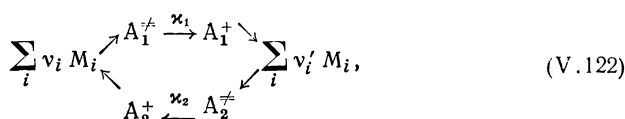
Таким образом, прямая и обратная реакции (V.114) сверхбыстрые. Скорости этих реакций можно изучать кинетическими методами.

Отметим, что реакция (V.116) обычными кинетическими методами не может быть обнаружена, так как она не изменяет термодинамическое состояние системы. Процессы перераспределения энергии в молекулах активного комплекса можно изучать методами пикосекундной спектроскопии.

О времени жизни активного комплекса $\tau_{A^{\neq}}$. Среднее время жизни активного комплекса, т. е. период полураспада молекул A^{\neq} на исходные реагенты или продукты реакции определяется константами скоростей реакций $A \xrightarrow{\sum_i \nu_i M_i} A^{\neq} \xrightarrow{k^+} A^+$. Если бы это время жизни определялось «реакцией» $A^{\neq} \xrightarrow{k^+} A^+$, то период полупревращения A^{\neq} был бы равен $1/k^+$. Если же $\tau_{A^{\neq}}$ определялось бы реакцией $A^{\neq} \xrightarrow{k^{\neq'}} \sum_i \nu_i M_i$, то период полупревращения был бы равен $1/k^{\neq'}$. В действительности оба эти процесса протекают одновременно. Считая их независимыми друг от друга, получим:

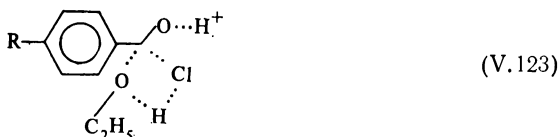
$$\tau_{A^{\neq}} = 1/(k^+ + k^{\neq'}). \quad (\text{V.121})$$

О принципе детального равновесия. Если химического равновесия в системе нет, двусторонняя реакция имеет вид

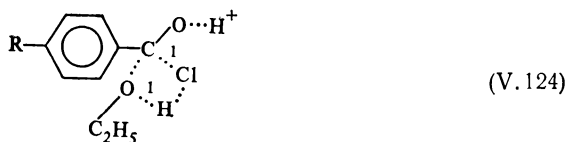


где A_1^{\ddagger} и A_2^{\ddagger} различаются либо только сольватными оболочками, либо и ядрами, и сольватными оболочками. Трансмиссионные коэффициенты прямой и обратной реакций (V.122) могут быть различными.

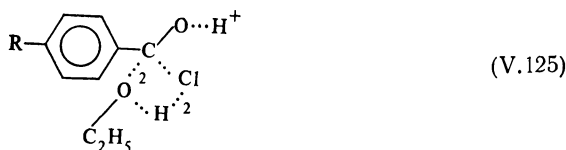
Если химическое равновесие достигнуто, выполняется принцип детального равновесия. В этом случае активные комплексы A_1^{\ddagger} и A_2^{\ddagger} идентичны. Различны лишь их переходные состояния A_1^+ и A_2^+ . Так, например, если бы реакция алкохолиза бензоилхлоридов была обратима, то в условиях химического равновесия ядро активного комплекса прямой и обратной реакции могло бы иметь упомянутую выше структуру:



Окружающая среда в данном случае одинакова для прямой и обратной реакции. Поэтому сольватные оболочки одинаковы и $A_1^{\ddagger} = A_2^{\ddagger} = A^{\ddagger}$. Но переходные состояния A^+ различны. Для прямой реакции (V.122) ядро переходного состояния A_1^+ имеет вид



Текущая энергия возбуждения внутримолекулярных колебаний E_v^+ в A_1^+ сосредоточена на связях $C \dots Cl$ и $O \dots H$, обозначенных в (V.124) индексом «1», причем корреляция колебаний атомных ядер C , O , H и Cl такова, что связи $C \dots Cl$ и $O \dots H$ растягиваются синхронно и разрушаются одновременно с образованием оксониевого иона сложного эфира и HCl . Для обратной реакции (V.122) ядро переходного состояния A_2^+ имеет вид



Текущая энергия внутримолекулярных колебаний E_v^+ в A_2^+ сосредоточена на связях $C \dots O$ и $Cl \dots H$, обозначенных в (V.125) индексом «2», причем колебания атомных ядер C , O , Cl и H коррелированы таким образом, что обе упомянутые связи одновременно испытывают растяжение и разрыв с образованием оксониевого иона бензоилхлорида и C_2H_5OH . В состоянии химического равновесия в закрытой макроскопической системе событие, связанное с возникновением активного комплекса A^\ddagger из реагентов или продуктов реакции, можно рассматривать как тепловую флуктуацию в закрытой системе, относительная вероятность которой в $e^{-\Delta G^\ddagger/RT}$ раз меньше вероятности средней статистической флуктуации энергии, равной $k_B T$. Трансмиссионные коэффициенты прямой и обратной реакций, как уже говорилось, в этом случае одинаковы: $\kappa_1 = \kappa_2 = 1/2$. Свободная энергия активации ΔG^\ddagger в общем случае зависит от состава раствора. По мере приближения к состоянию термодинамического равновесия она стремится к значению, соответствующему этому состоянию.

Порядок реакции и активный комплекс. Пусть в неидеальной системе протекает элементарная прямая реакция



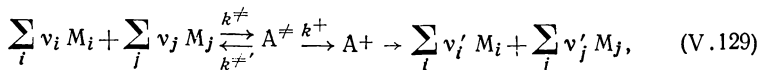
Из опыта следует, что скорость элементарной реакции определяется соотношением

$$\frac{d[M_i]}{dt} = -k \prod_i [M_i]^{\nu_i}, \quad (V.127)$$

где ν_i — стехиометрические коэффициенты реакции (V.126). Порядок реакции (V.126) p равен

$$p = \sum_i \nu_i. \quad (V.128)$$

Если элементарная реакция проходит через стадию образования активного комплекса, то она может быть представлена уравнением (V.64)

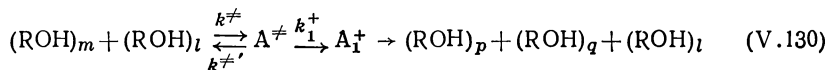


где M_j — те молекулы окружающей среды, которые в результате реакции не изменяются. Молекулы M_j могут принимать участие в образовании активного комплекса при сольватации ядра A^\ddagger , передаче энергии возбуждения молекулам A^\ddagger от окружающей среды, перестройке структуры среды, необходимой для возникновения A^\ddagger , и т. п., но в итоге молекулы M_j регенируются подобно катализаторам.

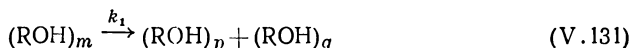
Таким образом уравнения (V.126) и (V.129) в общем случае представляют собой итог некоторого сложного процесса, протекающего с участием ряда быстрых и сверхбыстрых реакций.

Молекулы M_j не фигурируют в уравнении (V.127). Порядок реакции (V.126) определяется на основе анализа кинетических кривых или процессов релаксации. Например, реакция разрыва одной связи

О—Н ...О в цепочечных ассоциатах $(\text{ROH})_m$, как следует из анализа экспериментальных данных, приведенных в § 54—57, имеет вид



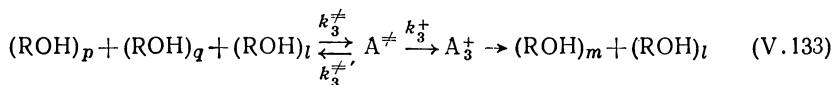
или в сокращенной форме



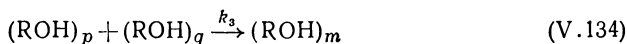
В результате этой реакции одна из связей О—Н...О в ассоциате $(\text{ROH})_m$ разрушается с образованием ассоциатов $(\text{ROH})_p$ и $(\text{ROH})_q$. Концентрация ассоциатов $(\text{ROH})_l$ не меняется, хотя они принимают участие в образовании активного комплекса. Как следует из анализа данных опыта, реакция (V.131) имеет первый порядок, $p = 1$, так как ее скорость зависит только от концентрации ассоциатов $(\text{ROH})_m$ в степени $v_m = 1$:

$$\frac{d[(\text{ROH})_m]}{dt} = -k_1 [(\text{ROH})_m]. \quad (\text{V.132})$$

Реакция образования одной связи О—Н...О, обратная реакции (V.130), может быть записана так:



или сокращенно

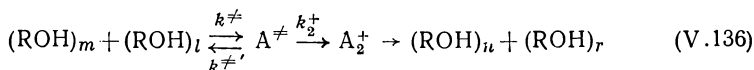


Исследования, выполненные методами акустической и диэлектрической спектроскопии, показывают, что скорость реакции (V.133) подчиняется уравнению

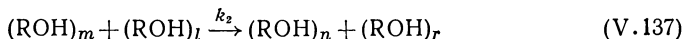
$$\frac{d[(\text{ROH})_p]}{dt} = -k_3 [(\text{ROH})_p] [(\text{ROH})_q]. \quad (\text{V.135})$$

Реакция (V.134) имеет второй порядок, $p = 2$, так как $v_p = 1$ и $v_q = 1$. В реакциях (V.130) и (V.133) ассоциаты $(\text{ROH})_l$ выступают в роли катализатора.

Еще один пример — реакция переноса связи О—Н...О в тех же цепочечных ассоциатах спиртов. В § 56 и 57 показано, что эта реакция имеет вид



или в сокращенной форме



В ходе реакции (V.137) из ассоциатов $(\text{ROH})_m$ и $(\text{ROH})_l$ образуются два новых ассоциата $(\text{ROH})_n$ и $(\text{ROH})_r$. Число водородных связей О—Н...О не изменяется. Скорость реакции (V.137), как следует из

анализа диэлектрических радиоспектров спиртов, подчиняется уравнению

$$\frac{d[(\text{ROH})_m]}{dt} = -k_2 [(\text{ROH})_m] [(\text{ROH})_l]. \quad (\text{V.138})$$

В данном случае $\nu_m = 1$ и $\nu_l = 1$, $p = 2$, т. е. реакция (V.138) — бимолекулярная.

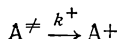
Отметим следующие интересные особенности реакций (V.130), (V.133) и (V.136). Энергии и энтропии активации реакций разрыва (V.130) и переноса (V.136) связи $\text{O—H} \dots \text{O}$ отличаются от нуля и совпадают. При $m \geq 3$ они не зависят от чисел m , p , q , r и n звеньев ROH в соответствующих ассоциатах. Энергии и энтропии активации реакций образования связей $\text{O—H} \dots \text{O}$ (V.133) равны нулю. В этом случае возникновение активного комплекса не сопровождается изменением энергии и энтропии системы.

Ядра активных комплексов у реакций разрыва, образования и переноса связи $\text{O—H} \dots \text{O}$ одинаковы. Но их переходные состояния A_1^+ , A_2^+ и A_3^+ отличаются распределением и величиной той части текущей энергии ΔE^+ , которая необходима для распада A^\ddagger с образованием соответствующих продуктов реакции.

Активный комплекс и лимитирующая стадия реакции. Пусть скорость реакции образования активного комплекса в (V.129) много больше, чем скорость распада A^\ddagger на продукты реакции, т. е.

$$k^\ddagger \prod_i [M_i]^{q_i} [M_j]^{q_j} \gg k^+ [A^\ddagger], \quad (\text{V.139})$$

где q_i и q_j — целые или дробные действительные числа. При выполнении неравенства (V.139) лимитирующей стадией реакции (V.129) служит процесс возникновения в A^\ddagger переходного состояния



В этих случаях

$$k \prod_i [M_i]^{\nu_i} \simeq k^+ [A^\ddagger]. \quad (\text{V.140})$$

Если же скорость реакции образования активного комплекса много меньше, чем скорость его распада на продукты реакции, то лимитирующей стадией реакции (V.129) будет процесс возникновения A^\ddagger . Тогда

$$k \prod_i [M_i]^{\nu_i} \simeq k^\ddagger \prod_i [M_i]^{q_i} \prod_j [M_j]^{q_j} = k^{\ddagger'} \prod_i [A^\ddagger]. \quad (\text{V.141})$$

Отсюда следует, что лимитирующая стадия реакции (V.129) вдали от состояния равновесия и в окрестности химического равновесия может быть разной. Допустим, что вдали от химического равновесия трансмиссионный коэффициент реакции (V.129) $\kappa \ll 1$, как это наблюдается в случае реакции алкоголиза паразамещенных бензоилхлоридов. Тогда константа скорости k^+ мала, кинетически лимитирующей стадией реакции (V.129) может быть процесс перехода A^\ddagger в состояние A^+ . При достижении равновесия трансмиссионный коэффициент κ и свобод-

ная энтальпия активации могут возрастать. В окрестности состояния равновесия $\kappa \simeq 1/2$, и распад активных комплексов на продукты реакции может происходить очень быстро. В этих условиях кинетически лимитирующей стадией реакции (V.129) может стать реакция образования молекул активного комплекса. При этом константа скорости реакции k вдали от равновесия и вблизи от равновесия может меняться слабо или даже сохранять свою величину. Величина k определяется произведением двух зависящих от состава раствора сомножителей: κ и $e^{-\Delta G^\ddagger/RT}$. Изменение трансмиссионного коэффициента κ может компенсироваться соответствующим изменением истинной стандартной свободной энтальпии активации ΔG^\ddagger , которая, как уже говорилось, может быть определена лишь, когда известен трансмиссионный коэффициент. В ходе реакции с изменением состава среды стандартное состояние изменяется. Даже незначительные изменения состава растворителя могут оказывать сильное влияние на скорость и механизм реакций, протекающих в растворах, отмечает П. Сайкс в кн. «Механизмы реакций в органической химии» (М., Химия, изд. 3-е, 1977, с. 64). Причины таких влияний далеко не всегда изучены. В одних случаях это могут быть новые промежуточные комплексы, в других — перемена кинетически лимитирующей стадии реакции.

Об элементарных реакциях в растворах. Если реакция проходит через стадию образования активного комплекса, то, строго говоря, она может быть элементарной (см. § 3) в разреженных газах, т. е. в условиях, когда возникает лишь «ядро» или «реакционный центр», активного комплекса. В неидеальных системах (жидкие растворы, неидеальные газы и т. д.) кроме ядра активного комплекса образуется «оболочка», т. е. протекает еще целый ряд процессов, необходимых для возникновения активного комплекса, в том числе таких процессов, которые можно выразить в терминах химических реакций. В этих условиях неколлективная реакция может обладать свойствами элементарной реакции, если:

а) в результате одной стадии реакции существенно изменяется состояние небольшого числа частиц — одной, двух или трех. Перемены состояний других частиц неидеальной системы относительно малы, несущественны, — ими можно пренебречь;

б) порядок реакции соответствует ее молекулярности, т. е. показатели степени ν_i в уравнении (V.127) равны стехиометрическим коэффициентам реакции (V.126).

О реакциях при $T \rightarrow 0$. Рассмотрим формальные следствия из теории, когда $T \rightarrow 0$. Если $\Delta G^\ddagger > 0$, то термодинамическая вероятность образования активного комплекса при $T \rightarrow 0$ обращается в нуль, так как множитель $e^{-\Delta G^\ddagger/RT}$, определяющий эту вероятность, стремится к нулю. Реакция идти не будет. Если $\Delta G^\ddagger < 0$, то термодинамическая вероятность образования A^\ddagger стремится к бесконечности, иначе говоря, все молекулы, способные принимать участие в образовании активных комплексов, будут входить в состав молекул A^\ddagger . Но согласно (V.116) трансмиссионный коэффициент

$$\kappa = \frac{1}{2} \exp [-(\Delta E_v^\ddagger)^2 / 2 \langle (\Delta E)^2 \rangle] \quad (\text{V.142})$$

при $T \rightarrow 0$ стремится к нулю, так как в замкнутой системе при $T \rightarrow 0$ флуктуации энергии ΔE_v^+ обращаются в нуль. Напомним, что E_v^+ здесь величина текущей энергии возбуждения, необходимая для разложения молекулы активного комплекса на продукты реакции. В уравнении (V.142) флуктуация энергии ΔE_v^+ входит во второй степени. Следовательно, при $T \rightarrow 0$ ΔE_v^+ приближается к нулю быстрее, чем $e^{-\Delta G^\ddagger/RT}$ стремится к бесконечности. Таким образом, при $\Delta G^\ddagger < 0$ константа скорости реакции обращается в нуль, потому что молекулы активного комплекса, даже если они имеются, не могут разложиться на продукты реакции.

Изокинетическая температура $B = 0$. Известны случаи, когда изокинетическая зависимость при $T > 0$ имеет следующий вид:

$$\Delta H_{qi}^\ddagger = A = \text{const} \quad (i = 1, 2, \dots, f). \quad (\text{V.143})$$

График такой зависимости изображен на рис. 39, г. При $B = 0$ уравнение (V.109) имеет вид

$$\Delta G_{qi\kappa}^\ddagger = A - T\Delta S_{qi\kappa}^\ddagger, \quad (\text{V.144})$$

где A — эмпирическая постоянная.

Если ΔH_{qi}^\ddagger постоянная, то это означает, что она не зависит от степени полноты нормальной реакции $\xi_{\beta i}$. Теория изокинетического эффекта (см. § 21) к таким случаям не применима. Тем не менее можно высказать следующие соображения о природе этого формально частного случая изокинетического эффекта. Предположим, что для серии f реакций типа q в уравнении (V.143) все ΔH_{qi}^\ddagger равны нулю, а $\Delta S_{qi\kappa}^\ddagger \neq 0$. Следовательно, в уравнении (V.103) постоянные $A = 0$ и $B = 0$. Линейная функция (V.103) на рис. 39, г совпадает с осью абсцисс.

Рассмотрим макроскопический, но малый элемент объема системы dV . Предположим, что в этом элементе объема может образоваться активный комплекс A^\ddagger . Пусть процесс образования A^\ddagger происходит настолько быстро, что обменом энергией и веществом между dV и окружающей средой можно пренебречь. Иными словами, за малый промежуток времени Δt , достаточный для образования активного комплекса, элемент объема dV можно считать изолированным. Допустим, что в объеме dV существует локальное равновесие и промежуток времени Δt настолько мал, что локальное равновесие сохраняется. Согласно (II.7) (см. также § 26) при 300 К Δt по порядку величины должно быть не менее 10^{-13} с. Пусть изменение энтальпии системы, находящейся в термодинамическом равновесии, при образовании активного комплекса $\Delta H_{qi}^\ddagger = 0$. Энтальпия H при $\{d\xi\} = 0$ системы есть функция энтропии и давления, $dH = TdS + VdP$. Примем, что за промежуток времени Δt давление P в элементе объема dV не изменяется, $dP = 0$. Тогда $\Delta H = T\Delta S$. Следовательно, в указанных выше условиях равенство энтальпии активации нулю означает, что изменение энтропии при образовании активного комплекса тоже равно нулю, ина-

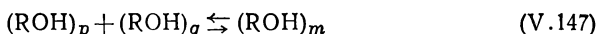
че процесс образования A^\ddagger нарушил бы локальное равновесие. Таким образом, истинная энтальпия активации ΔS_{qi}^\ddagger при данных условиях равна нулю. Пользуясь уравнением (V.86) и полагая в нем $\Delta S_{qi}^\ddagger = 0$, получаем

$$\Delta S_{qik}^\ddagger = R \ln 4\pi e. \quad (V.145)$$

Уравнение (V.145) означает, что в данном случае кажущаяся энтропия активации не связана с истинной энтропией активации, а зависит только от трансмиссионного коэффициента реакции κ . Но так как κ не может быть больше 1/2 и $4\pi e \simeq 34$, то ΔS_{qik}^\ddagger должно удовлетворять следующему неравенству:

$$\Delta S_{qik}^\ddagger \leq R \ln 17 = 23,6 \text{ Дж/моль} \cdot \text{К}. \quad (V.146)$$

Пример такого процесса — реакции образования связей $O-H \dots O$ в жидких спиртах (см. гл. VIII):



Энтальпия активации реакций (V.147) во всех изученных спиртах ROH равна нулю.

Интервал времени Δt , который требуется для образования A^\ddagger , больше 10^{-13} с. Кажущаяся энтропия активации отрицательна. Пользуясь уравнением (V.145), можно по данным о ΔS_{qik}^\ddagger вычислить трансмиссионные коэффициенты реакций (V.147), что и выполнено в § 56. Рассматриваемый здесь частный случай эмпирической линейной функции (V.103) имеет иную природу, нежели кинетический компенсационный эффект. При кинетическом компенсационном эффекте трансмиссионные коэффициенты f реакций типа q о д и н а к о в ы. Если постоянные уравнения (V.103) A и B равны нулю, трансмиссионные коэффициенты f реакций различны.

Предположим теперь, что у ряда однотипных реакций q выполняется эмпирическое соотношение (V.143). Согласно (V.144) это уравнение будет выполняться, в частности, когда истинная энтропия активации для всех f реакций этого ряда одинакова. Тогда разность кажущихся энтропий активации двух однотипных реакций i и j этого ряда связана с трансмиссионными коэффициентами этих реакций κ_i и κ_j соотношением

$$\Delta S_{qik}^\ddagger - \Delta S_{qjk}^\ddagger = R \ln \frac{\kappa_i}{\kappa_j}. \quad (V.148)$$

Уравнение (V.148) следует из соотношений (V.86) и (V.146).

Итак, если изокинетическая температура B равна нулю, речь идет о рядах таких однотипных реакций, трансмиссионные коэффициенты которых различны. Эти зависимости лишь ф о р м а л ь н о представляют собой частные случаи изокинетического эффекта (V.103). Физический смысл соотношений (V.103) при $B = 0$ коренным образом отличается от физического смысла тех уравнений (V.103), у которых эмпирические постоянные B не равны нулю,

О возможности экспериментального исследования реакций образования активного комплекса. Реакция



может быть изучена методами акустической спектроскопии, диэлектрической радиоспектроскопии и другими методами в тех случаях, когда концентрация $[A^\ddagger]$ и время τ_{A^\ddagger} достаточно велики. Концентрация $[A^\ddagger]$ может быть оценена с помощью изложенной теории для тех реакций и тех концентраций реагентов, где наблюдается изокINETический эффект. Если концентрация $[A^\ddagger]$ составляет величину порядка 10^{-1} моль/л и $\tau_{A^\ddagger} \geq 10^{-10}$ с в акустическом спектре будет обнаруживаться новая простая область дисперсии, обусловленная нормальной реакцией, приводящей к образованию молекул A^\ddagger [110].

Промежуточные реакции. До сих пор рассматривалась относительно медленная реакция q , которая протекает потому, что существуют некоторые другие нормальные реакции β или естественные реакции α , переводящие систему в активное состояние, со свободной энтальпией активации, равной ΔG_q^\ddagger . Но естественные реакции α или нормальные реакции β в общем случае, в свою очередь, могут протекать при условии возникновения активных состояний, свободная энтальпия которых отличается от свободной энтальпии стандартного состояния на ΔG_α^\ddagger или ΔG_β^\ddagger соответственно. Реакции α или β более быстрые, чем реакция q . Состояния, соответствующие ΔG_α^\ddagger или ΔG_β^\ddagger , могут создаваться еще более быстрыми реакциями α' или их линейными комбинациями β' и т. д. Эта цепочка завершается самыми быстрыми реакциями, стандартная свободная энтальпия активации которых (на моль) по порядку величины равна RT , трансмиссионный коэффициент близок к 0,5 и константа скорости, следовательно, имеет порядок величины предэкспоненциального множителя в уравнении (V.68), т. е. $4\pi k_B T/h$.

Таким образом, в общем случае, медленная реакция есть результат участия ряда быстрых и сверхбыстрых промежуточных процессов. Теория констант скоростей реакций, основанная на методах и понятиях неравновесной термодинамики, естественным образом приводит к выводу о большой роли промежуточных продуктов, а следовательно, и к выводу о необходимости их изучения.

Различные аспекты этой проблемы давно обсуждаются многими исследователями [10, 15, 93].

При рассмотрении изокINETического эффекта серии однотипных реакций вида q и расчетах трансмиссионного коэффициента κ сведения о промежуточных реакциях не нужны. Если речь идет о механизме медленных реакций q , то в первом приближении достаточно ограничиться изучением лишь тех промежуточных реакций, которые ведут к образованию ядра активного комплекса, его сольватации и возбуждению до уровня A^\ddagger .

Более быстрые реакции α — промежуточные стадии реакций q , также могут быть экспериментально изучены. Если при этом для груп-

пы реакций α будет обнаружен изокинетический эффект, то для реакций α может быть применена теория изокинетического эффекта, позволяющая вычислить трансмиссионный коэффициент κ_α , определить истинные величины свободной энтальпии активации ΔG_α^\ddagger , энтропии активации ΔS_α^\ddagger и продвинуться вперед в понимании механизма реакции α .

О реакциях в идеальных газах. Для систем, свойства которых близки к свойствам идеальных газов, теория, развитая в § 19, приводит к соотношениям, совпадающим с соотношениями теории абсолютных скоростей реакций (ТАС) и РРКМ с точностью до множителя 4πe. Преимущества теории, изложенной в § 19, состоят в том, что удается избежать противоречий при выводе основного уравнения для констант скоростей реакций. Следует также иметь в виду, что ТАС и теория РРКМ в отличие от теории констант скоростей реакций в неидеальных системах не учитывают возможности образования неустойчивых промежуточных соединений в разреженных газах.

О других линейных соотношениях, встречающихся в термодинамике и кинетике реакций. Кроме изокинетической зависимости известен ряд других эмпирических линейных соотношений между различными термодинамическими или кинетическими характеристиками систем, в которых идут реакции, например уравнение Гаммета. Рассмотрение этих соотношений с помощью методов неравновесной термодинамики имеется в § 23.

О реакционной способности молекул в жидких средах. Давно замечено, что многие химические реакции способны протекать только в жидких средах, а не в газах или твердых телах. Этот факт общеизвестен, но до последнего времени был непонятен. Теория констант скоростей реакций дает ему следующее объяснение. В жидкостях высокая степень заполнения пространства молекулами сочетается с относительно большой их подвижностью, сравнительной легкостью образования различного рода отклонений от среднего распределения молекул. Тем самым создаются благоприятные условия для появления в жидкой фазе различных неустойчивых сложных структур, в том числе активных комплексов A^\ddagger . Молекулы таких комплексов состоят из ядра и сольватной оболочки, т. е. из молекул реагентов и растворителя; они могут состоять из многих мономерных звеньев. Текущая энергия возбуждения E^+ активных комплексов может быть весьма малой по сравнению с энергией внутримолекулярных колебаний всей молекулы A^\ddagger и в то же время очень большой относительно энергий некоторых из валентных или деформационных колебаний. Поэтому вероятность возникновения флуктуации энергии упомянутых валентных или деформационных колебаний, равной E^+ , в случае сложных молекул A^\ddagger , возникающих в жидких фазах, значительно выше, чем для малых комплексов, которые в разреженных газах состоят, как правило, лишь из двух молекул реагентов. Часто молекулы жидкой среды играют роль катализатора реакции.

Таким образом, в жидких средах более вероятно, чем в газах, появление сложных структур, более вероятен процесс их активации до

состояния A^\ddagger с последующим переходом в неустойчивое состояние A^+ и распадом на продукты реакции. Если для каких-либо реакций в жидких фазах такие процессы бывают сравнительно маловероятны, то в газах и твердых телах для многих реакций они практически неосуществимы. Такова основная причина, что множество сложных реакций, в том числе тех, которые ведут к возникновению биологически активных систем, могут протекать только в жидких средах.

§ 23. ВЫВОД УРАВНЕНИЯ ГАММЕТА И ЕГО ОБОБЩЕНИЯ

Методы, использованные в теории кинетического компенсационного эффекта, можно применить для изучения ряда других родственных явлений [97].

О линейных соотношениях свободных энтальпий. В химической кинетике для многих серий реакций q наблюдаются эмпирические соотношения вида

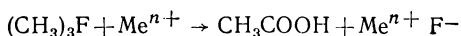
$$\Delta G_{qki}^\ddagger - \Delta G_{k1}^\ddagger = p (\Delta G_{qi}^0 - \Delta G_{q1}^0), \quad (V.150)$$

где индекс i — порядковый номер в последовательности реакций q ; ΔG_{qki}^\ddagger — кажущаяся свободная энтальпия активации i -й реакции; ΔG_{qi}^0 — свободная энтальпия i -й реакции:

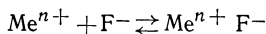
$$\Delta G_{qi}^0 = -RT \ln K_{qi}^0; \quad i = 1, 2, \dots, f, \quad (V.151)$$

где K_{qi}^0 — константа равновесия реакции i в серии реакций q ; p — эмпирический коэффициент пропорциональности.

Уравнение (V.150) представляет собой линейное соотношение свободных энтальпий. Н. М. Эмануэль и Д. Г. Кнорре [10] в качестве примера такой зависимости приводят связь между константами скорости реакций *трет*-бутилфторида с различными ионами



и константами равновесия реакций



Известное соотношение Гаммета тоже представляет собой один из частных случаев уравнения (V.150). Рассмотрим уравнение (V.150) с позиций неравновесной термодинамики.

Пусть индекс q обозначает серию из f реакций, для которых известны константы скорости, а следовательно, кажущиеся свободные энтальпии активации G_{qki}^\ddagger ($i = 1, 2, \dots, f$), вычисленные при условии, что $4\text{пех} = 1$. Индекс q_1 обозначает серию из f реакций, для которых известны константы равновесия $K_{q_1i}^0$, а значит, и свободные энтальпии реакции $\Delta G_{q_1i}^0$ ($i = 1, 2, \dots, f$).

Имеем:

$$\frac{k_{q_1i}}{k'_{q_1i}} = K_{q_1i}^0 = [\text{R}^0] e^{-\frac{\Delta G_{q_1i}^0}{RT}}, \quad (V.152)$$

где $k_{q,i}$ — константа скорости i -й прямой реакции серии q_1 ; $k'_{q,i}$ — константа скорости i -й обратной реакции серии q_1 . Подчеркнем, что индекс i обозначает номер реакции в последовательностях q и q_1 . Общее число реакций вида q и q_1 в обеих последовательностях одинаково и равно f . $[R^\circ]$ в (V.152) — размерный множитель.

Так как

$$k_{q,i} = \frac{k_B T}{h} e^{-\Delta G_{q_1, ki}^\ddagger / RT} [R]; \quad (V.153)$$

$$k'_{q,i} = \frac{k_B T}{h} e^{-\Delta G_{q_1, ki}' / RT} [R'], \quad (V.154)$$

то

$$\Delta G_{q_1, i}^0 = \Delta G_{q_1, ki}^\ddagger - \Delta G_{q_1, ki}'. \quad (V.155)$$

В (V.153) и (V.154) $[R]$ и $[R']$ — размерные множители. Примем, как и при анализе компенсационного эффекта, что переход в активное состояние для некоторой серии реакций вида q или q' обусловлен одной нормальной реакцией, одинаковой для всех членов соответствующей серии.

Воспользуемся также следующими обозначениями:

$$\Delta G'_\beta = \frac{\partial G_i}{\partial \xi_\beta}; \quad \Delta G'_\gamma = \frac{\partial G_i}{\partial \xi_\gamma}; \quad \Delta G'_\delta = \frac{\partial G_i}{\partial \xi_\delta}, \quad (V.156)$$

где индекс β символизирует нормальную реакцию, которая вызывает переход в активное состояние тех систем, где протекают реакции вида q ; индексом γ отмечена нормальная реакция, вызывающая переход в активное состояние для прямых реакций вида q_1 ; индекс δ относится к нормальной реакции, которая ответственна за возникновение активного состояния для обратных реакций вида q_1 .

Производные G'_β , G'_γ , G'_δ и трансмиссионные коэффициенты одинаковы для всех членов соответствующих последовательностей, поэтому они не зависят от индексов i .

Разлагая G_i в ряд Тейлора и ограничиваясь линейным приближением (см. § 21), получаем:

$$\left. \begin{aligned} \Delta G_{q,i}^\ddagger &= G'_\beta \Delta \xi_{\beta i}^\ddagger; \\ \Delta G_{q_1,i}^\ddagger &= G'_\gamma \Delta \xi_{\gamma i}^\ddagger; \\ \Delta G_{q_1,i}' &= G'_\delta \Delta \xi_{\delta i}^\ddagger. \end{aligned} \right\} \quad (V.157)$$

Допустим, что величины $\Delta G_{q,i}^\ddagger$, $\Delta G_{q_1,i}^\ddagger$ и $\Delta G_{q_1,i}'$ подчиняются линейному соотношению свободных энтальпий (V.150). Тогда, пользуясь (V.157) и учитывая, что в данном случае разности эмпирических и истинных свободных энтальпий каких-либо двух реакций, входящих в одну и ту же серию q , q_1 или q'_1 , одинаковы, после простых преобразований получаем:

$$G'_\beta (\Delta \xi_{\beta i}^\ddagger - \Delta \xi_{\beta 1}^\ddagger) = p [G'_\gamma (\Delta \xi_{\gamma i}^\ddagger - \Delta \xi_{\gamma 1}^\ddagger) - G'_\delta (\Delta \xi_{\delta i}^\ddagger - \Delta \xi_{\delta 1}^\ddagger)]. \quad (V.158)$$

Откуда следует, что

$$\Delta \xi_{\beta i}^{\neq} - \Delta \xi_{\beta 1}^{\neq} = A (\Delta \xi_{\gamma i}^{\neq} - \Delta \xi_{\gamma 1}^{\neq}) - B (\Delta \xi_{\delta i}^{\neq} - \Delta \xi_{\delta 1}^{\neq}), \quad (\text{V.159})$$

где

$$A = \frac{pG'_{\gamma}}{G'_{\beta}}; \quad B = \frac{pG'_{\delta}}{G'_{\gamma}}. \quad (\text{V.160})$$

Иначе говоря, в последовательности серии реакций q разности степеней полноты реакций β , соответствующих активным состояниям, представляют собой линейные функции разностей степеней полноты реакций γ и δ соответствующих членов последовательности в серии реакций q_1 . Этот вывод представляет собой достаточное условие для выполнения линейных соотношений свободных энтальпий, в том числе уравнения Гаммета и уравнений вида

$$\lg k_{iq} = A + p \lg K_{iq_1}^0, \quad (\text{V.161})$$

где k_{iq} — константа скорости реакции i в серии реакций q , состоящей из f реакций вида q ; $K_{iq_1}^0$ — константа равновесия реакции i в серии реакций q_1 , состоящей из f реакций вида q_1 .

Частные случаи уравнения (V.159) получить нетрудно, и они обсуждаться не будут. Изложенные здесь рассуждения могут принести пользу при изучении механизмов реакций, подчиняющихся эмпирическому уравнению Гаммета, уравнению (V.159) и, наконец, линейному соотношению свободных энтальпий (V.150).

§ 24. ТЕОРИЯ КОМПЕНСАЦИОННОГО ЭФФЕКТА ДЛЯ ИЗБЫТОЧНЫХ ТЕРМОДИНАМИЧЕСКИХ ФУНКЦИЙ РАСТВОРОВ (ПРАВИЛО КИРЕЕВА)

В 1940 г. В. А. Киреев впервые обратил внимание на то, что для многих растворов существует параллелизм между величинами избыточных функций G^E , H^E и TS^E , часто переходящий в прямую пропорциональность между ними и наблюдаемый как для общих, так и для парциальных значений этих функций [111]. В дальнейшем указанная закономерность стала называться правилом Киреева [89]. Так, например, по измерениям В. А. Киреева [111] при 25°C отношение H^E/TS^E для растворов хлороформ—диэтиловый эфир равно 1,4 в интервале концентраций от 0,1 до 0,9 м. д.; для растворов гептан — этанол отношение H^E/TS^E составляет $\simeq -0,75$. Возможны случаи, что при какой-либо температуре $H^E/TS^E = 1$, следовательно, $G^E = 0$.

Некоторые из условий, при которых растворы должны следовать правилу Киреева, могут быть выяснены на основе неравновесной термодинамики [112].

Пусть компоненты а и б при заданных T и P смешиваются и образуют неидеальный раствор. Состояние, когда растворение еще не началось, обозначим индексом «1». Конечное состояние (растворение закончилось, и система пришла в равновесие) обозначим индексом «2». Рассмотрим сначала предельно упрощенную схему, позволяющую наиболее ясно охарактеризовать физический смысл допущений, прини-

маемых далее. Предположим, что отклонения термодинамических свойств раствора от свойств идеального раствора обусловлены только тем, что в ходе растворения идет реакция



Примем, что в единице объема раствора имеется N_a молей сорта a , N_b молей сорта b и N_{ab} молей соединения ab . Пусть A обозначает сродство и ξ — степень полноты реакции (V.162), отнесенную к единице объема, ξ изменяется от ξ_1 до ξ_2 . Выберем произвольную постоянную для ξ так, чтобы $\xi_1 = 0$. Из уравнения реакции (V.162) следует, что $d\xi = dN_{ab}$. Будем считать, что в ходе реакции (V.162) все малые элементы объема системы находятся в локальном равновесии. Выберем в качестве стандартного состояния для отсчета термодинамических функций системы идеальный раствор того же состава, что и состав изучаемой системы. Избыточная свободная энтальпия одного моля равновесного раствора определяется соотношением

$$\tilde{G}^E = -\frac{1}{NV} \int_V^{\xi_2} Ad\xi dV - \tilde{G}_{ид} = \tilde{H}^E - T\tilde{S}^E, \quad (V.163)$$

где $N = N_a + N_b + 2N_{ab}$ — общее число молей a и b в объеме V ; $G_{ид}$ — свободная энтальпия одного моля идеального раствора, содержащего такие же массы исходных компонентов a и b ; верхний индекс \sim здесь и далее означает величины, отнесенные к одному молю раствора.

Пусть G_{ab} , H_{ab} и S_{ab} означают изменения соответствующих избыточных термодинамических функций, когда при смешении компонентов a и b образуется один моль соединения ab , т. е. $d\xi = dN_{ab} = 1$. Поскольку реакция (V.162) является единственной причиной отклонений свойств раствора от идеальности, величины G_{ab} , H_{ab} и S_{ab} не зависят от количества компонентов a и b при их смешении, а избыточные функции раствора равны:

$$G^E = G_{ab} N_{ab}; \quad H^E = H_{ab} N_{ab}; \quad S^E = S_{ab} N_{ab}, \quad (V.164)$$

где $N_{ab} = \xi_2 - \xi_1 = \xi_2$. Так как энтальпия смешения идеального раствора равна нулю, то $H^E = H^M$, где H^M — изменение энтальпии при растворении. Отношения

$$\frac{G^E}{H^E} = \frac{G_{ab}}{H_{ab}} = \text{const}_1; \quad \frac{H^E}{S^E} = \frac{H_{ab}}{S_{ab}} = \text{const}_2 \quad (V.165)$$

в соответствии с изложенным не зависят от состава раствора. Следовательно, в рассматриваемом случае правило Киреева выполняется.

Предположим теперь, что избыточные термодинамические функции раствора отличны от нуля только потому, что растворение обусловлено реакциями вида:

1. $a + b \rightleftharpoons ab$
2. $a_2 + b \rightleftharpoons a_2 b$
3. $a + b_2 \rightleftharpoons ab_2$

Если бы отношения \tilde{G}^E/\tilde{H}^E или $\tilde{H}^E/T\tilde{S}^E$ не зависели от состава раствора, т. е. от ξ_{2i} , это означало бы линейную связь между степенями полноты ξ_{2i} различных нормальных реакций. Но это противоречило бы условию линейной независимости нормальных реакций. Следовательно, если в системе при заданных P и T протекает не менее двух нормальных реакций, для которых величины ΔH_i и ΔS_i отличны от нуля, правило Киреева (при указанных выше ограничениях) не выполняется.

Допустим, величины S_i^E и H_i^E для всех нормальных реакций, за исключением первой ($i = 1$), равны нулю. Сродство при $i \geq 2$ тождественно равно нулю. Степени полноты ξ_2, \dots, ξ_r в этом случае не являются переменными, характеризующими состояние неравновесной системы. Все нормальные реакции, за исключением первой, не изменяют состояние системы. Такого рода случаи рассмотрены в [113]. Согласно (V.170) и (V.167), имеем:

$$\left. \begin{aligned} \tilde{G}^E &= \Delta G_1 \sum_j w_{1j} N_j; \\ \tilde{H}^E &= \Delta H_1 \sum_j w_{1j} N_j; \\ \tilde{S}^E &= \Delta S_1 \sum_j w_{1j} N_j. \end{aligned} \right\} \quad (\text{V.172})$$

Из (V.150) следует:

$$\frac{\tilde{G}^E}{\tilde{H}^E} = \frac{\Delta G_1}{\Delta H_1} = \text{const}_1; \quad \frac{\tilde{H}^E}{\tilde{S}^E} = \frac{\Delta H_1}{\Delta S_1} = \text{const}_2. \quad (\text{V.173})$$

Таким образом, правило Киреева выполняется. В частности, если все N_j при $j \geq 2$ равны нулю, т. е. в растворе образуются только комплексы ab , то имеет место рассмотренный в начале этой статьи простейший случай. Отметим сходство между правилом Киреева и компенсационным эффектом в кинетике, если под компенсационным эффектом в кинетике подразумевается линейная связь между энтальпией и энтропией активации однопипных процессов. Сходство этих явлений обусловлено общностью их причин. Здесь говорится о двухкомпонентных растворах, но аналогичные рассуждения можно распространить и на многокомпонентные системы. Раствор следует правилу Киреева, если процесс растворения может быть описан как одна естественная или нормальная реакция.

Применение методов неравновесной термодинамики для изучения механизмов быстрых реакций, протекающих в ходе растворения веществ, может содействовать разработке теории термодинамических свойств растворов.

§ 25. СОПОСТАВЛЕНИЕ ТЕОРИЙ КОНСТАНТ СКОРОСТЕЙ РЕАКЦИЙ

Вернемся к основному уравнению (V.68) теории констант скоростей реакций неидеальных систем

$$k = \kappa \frac{4\pi e k_B T}{h} e^{-\Delta G^\ddagger / RT}. \quad (\text{V.174})$$

Формально оно отличается от уравнения (V.5) теории абсолютных скоростей реакций (ТАС) лишь множителем $4\pi e$. На самом же деле различие между (V.5) и (V.174) состоит прежде всего в разном смысле величин, входящих в эти уравнения.

1. В уравнении (V.5) множитель $k_B T/h$ представляет собой частоту, с которой активный комплекс проходит при температуре T через вершину потенциального барьера, изображенного на рис. 34 [94]. В уравнении (V.174) множитель $4\pi k_B T/h$ — максимальная частота при данной температуре, с которой закрытая макросистема или квазистационарная микросистема может изменять свою энергию на величину, равную $k_B T$. Эта величина, которая играет роль единицы частоты, для процессов, протекающих в микро- или макросистемах при заданной температуре T .

2. В уравнении (V.5) трансмиссионный коэффициент κ_\ddagger представляет собой вероятность распада активного комплекса A^\ddagger на продукты реакции. Принимается $\kappa_\ddagger = 1$. Время жизни активного комплекса A^\ddagger неопределенно [95]. Отсюда часто дается вывод, что сам комплекс недоступен экспериментальному исследованию. В теории РРКМ трансмиссионный коэффициент реакции непосредственно не рассматривается. В уравнении (V.174) κ характеризует вероятность возникновения в активном комплексе A^\ddagger переходного состояния A^\ddagger . Время жизни активного комплекса вполне определено, оно равно $(k^{\ddagger-} + k^{\ddagger+})^{-1}$ и может быть установлено экспериментально. Активный комплекс A^\ddagger доступен экспериментальному исследованию.

3. В уравнении (V.5) множитель $e^{-\Delta G^\ddagger / RT}$ есть (с точностью до размерной постоянной) константа равновесия реакции $\sum_i \nu_i M_i \rightleftharpoons A^\ddagger$; $e^{-\Delta G^\ddagger / RT}$ определяет относительную вероятность возникновения таких микросостояний термодинамически равновесной стандартной системы, для которых характерно присутствие молекул активного комплекса. В уравнении (V.174) множитель $e^{-\Delta G^\ddagger / RT}$, в соответствии с принципом Больцмана, характеризует относительную вероятность возникновения в среде активного комплекса, точнее $e^{-\Delta G^\ddagger / RT}$ — отношение термодинамической вероятности неравновесного или равновесного стандартного состояния системы с активным комплексом к термодинамической вероятности того же стандартного состояния системы, когда активного комплекса нет. Стандартное состояние системы при выводе уравнения (V.174) — это такое гипотетическое состояние системы, когда концентрации каждого из исходных реагентов $[M_i]$ равны единице (при каком-

либо произвольном выборе единицы концентрации). Предполагается, что в стандартном состоянии константа скорости реакции остается точно такой же, как и в реальных условиях эксперимента, когда концентрации $[M_i]$ обычно не равны единице. Отметим, что в § 19 рассматриваются и такие случаи, когда $\Delta G^\ddagger = 0$ или $\Delta G^\ddagger < 0$. В теории констант скоростей реакций в идеальных газах эти случаи не обсуждаются.

При выводе уравнения (V.5) рассматривается стандартная система, находящаяся в состоянии полного термодинамического равновесия. При выводе (V.174) речь идет о двух различных состояниях стандартной системы. Оба они или, по крайней мере, какое либо одно из них термодинамически неравновесны.

4. В ТАС и теории РРKM активный комплекс A^\ddagger состоит из молекул исходных реагентов (две или три молекулы). Состав и свойства активного комплекса не зависят от концентраций реагентов. Величины κ и ΔG^\ddagger жестко определены.

В теории, ведущей к уравнению (V.174), из молекул реагентов состоит лишь ядро активного комплекса. Кроме ядра в молекулах A^\ddagger присутствует и играет весьма важную роль сольватная оболочка, состав и свойства которой могут изменяться в ходе реакции с изменением состава среды. Величины ΔG^\ddagger и κ в неидеальных системах связаны с составом сольватной оболочки активного комплекса. Поэтому κ , ΔG^\ddagger и лимитирующая стадия реакции в общем случае могут изменяться с изменением концентрации реагентов по мере приближения к химическому равновесию.

Произведение $\kappa e^{-\Delta G^\ddagger/RT}$ может оставаться постоянным, хотя величины ΔG^\ddagger и κ могут существенно меняться в ходе реакции. Поэтому в неидеальных системах возможны и такие случаи, когда константа скорости χ и κ не сохраняют свое значение, несмотря на то, что лимитирующая стадия реакции изменяется.

5. В теории абсолютных скоростей реакции (ТАС) понятия активного комплекса A^\ddagger и переходного состояния A^+ совпадают. При выводе уравнения (V.174) в отличие от ТАС и теории РРKM предполагается, что переходное состояние A^+ доступно экспериментальному исследованию, например, методами пикосекундной спектроскопии, если достаточно велика концентрация активных комплексов в растворе.

6. С помощью теории ТАС нельзя определить трансмиссионный коэффициент реакции κ . Теория изокинетического эффекта [уравнение (V.105)] дает такой метод. Формула

$$R \ln 4\pi e \kappa = -\frac{A}{B}; \quad \kappa = \frac{1}{2} e^{-\frac{A'}{(RB)^2}} = \frac{1}{2} e^{-\frac{(\Delta E^+)^2}{2(RB)^2}};$$

$$A' = RB [A + RB (1 + \ln 2\pi)] = (\Delta E^+)^2/2 \quad (V.175)$$

представляет собой второе основное соотношение теории. Пользуясь уравнениями (V.174), (V.175), можно рассчитать ΔG^\ddagger , ΔS^\ddagger , k^\ddagger , $k^{\ddagger'}$, k^+ , оценить концентрацию молекул A^\ddagger и углубить представления о механизме реакций. Следовательно, для лучшего понимания механизма реакции требуется отыскание изокинетических зависимо-

стей. Они могут наблюдаться при сопоставлении однотипных реакций, изменении состава растворителя, изменении давления при заданном составе и температуре раствора и т. п.

7. Теории ТАС и РРКМ, как справедливо подчеркивается в кн. П. Робинсона и К. Холбрука [95], в своей основе — с т а т и с т и ч е с к и е теории. Применение аппарата статистической механики требует детальной характеристики молекулярной модели активного комплекса. Для самых простых молекул исходных реагентов эта задача сложна. В случае непростых молекул степень сложности задачи сильно возрастает даже для мономолекулярных реакций [95]. Теория констант скоростей реакций в неидеальных системах (см. § 19—24), в сущности, термодинамическая теория (имеется в виду неравновесная термодинамика). Она представляет собой дальнейшее развитие обычных термодинамических методов теоретического исследования химических реакций. Потребность в такой теории и термодинамическом подходе, в частности, диктуется тем, что в неидеальных газах и тем более в жидких растворах активные комплексы — сложные системы, состоящие из ядра и сольватной оболочки, методы детального описания которой пока что отсутствуют. Понятие об активном комплексе A^\ddagger , как о некоторой частице, изолированной от окружающей среды, в неидеальных системах представляет собой приближение, степень точности которого не всегда ясна. Детальное описание молекул A^\ddagger , необходимое для статистических расчетов неидеальных систем, в особенности жидких растворов, пока что вызывает большие затруднения.

Сказанное не следует трактовать как отрицание значения теорий ТАС и РРКМ при изучении макросистем, близких по свойствам к идеальным газам. Можно полагать, что оба метода, как термодинамический, так и статистический, полезны, соответственно, в неидеальных и идеальных системах и дополняя друг друга будут содействовать дальнейшему развитию теории констант скоростей реакций в целом. При обсуждении проблем, относящихся к идеальным газам, целесообразно исходить из первых принципов физики (см. § 19). Тем самым можно избежать противоречий и трудностей, рассмотренных в § 17 и 18.

8. Теории ТАС и РРКМ не предполагают промежуточных стадий в ходе реакции образования молекул A^\ddagger из молекул реагентов. В теории констант скоростей реакций в неидеальных системах вывод о существовании промежуточных комплексов представляется естественным. Здесь, как уже отмечалось в § 22, открывается возможность постепенного, последовательного совершенствования, углубления знаний о механизмах процессов, элементарные события которых можно описывать с помощью уравнений, подобных уравнениям химических реакций.

9. Теория констант скоростей реакций в неидеальных системах позволила выяснить природу кинетического компенсационного эффекта. Эмпирические постоянные A и B в уравнении (V.103), описывающем кинетический компенсационный эффект, имеют глубокий физический смысл. Если температура системы равна B , активный комплекс A^\ddagger возникает в результате обратимой реакции. Произведение $k_F B$ есть стандартное отклонение энергии A^\ddagger , находящейся в квазистационарном

состоянии, от среднего значения энергии A^\ddagger . Величина $k_B V$ играет роль термодинамической температуры колебательных состояний активного комплекса A^\ddagger . Частота стандартного отклонения энергии A^\ddagger от среднего значения равна $4\pi k_B V/h$. Промежуток времени, за который вероятность некоторого произвольного начального состояния комплекса A^\ddagger уменьшается в e раз, $\tau = h/4\pi k_B V$. Величина постоянной A в уравнении (V.103) зависит от квадрата флуктуации ΔE^\ddagger , т. е. от энергии, которая необходима для возникновения в активном комплексе A^\ddagger переходного состояния A^\ddagger , которое непосредственно распадается на продукты реакции.

ЛИТЕРАТУРА

1. Шахпаронов М. И. Введение в современную теорию растворов. М.; Высшая школа, 1976.
2. Пинетел Дж., Мак-Клеллан О. Водородная связь. — М.: Мир, 1964.
3. Кочнев И. Н., Сидорова А. И. — В сб.: Молекулярная физика и биофизика водных систем/ Под ред. А. И. Сидоровой. — Л.: изд-во ЛГУ, 1974, 2, 74.
4. Скрышевский А. Ф. Структурный анализ жидкостей. — М.: Высшая школа, 1971.
5. Дуров В. А. — В сб.: Физика и физико-химия жидкостей/ Под ред. Л. П. Филиппова и М. И. Шахпаронова — М.: изд-во МГУ, 1976, 3, 125.
6. Hassion F. X., Cole R. H. — J. Ch. Phys.; 1955; 23; 1756.
7. Dannhauser W., Cole R. H. J. Ch. Phys., 1955, 23, 1762.
8. Dannhauser W. — J. Ch Phys., 1968, 48; 1911, 1918.
9. Усачева Т. М., Шахпаронов М. И. — В сб.: Современные проблемы физической химии, 1980, т. 12.
10. Эмануэль Н. М., Кнорре Д. Г. Курс химической кинетики. — 3-е изд. — М.: Высшая школа, 1974.
11. Крёгер Ф. Химия несовершенных кристаллов. — М.: Мир, 1969.
12. Шахпаронов М. И., Дуров В. А. — Вестн. МГУ. — Химия, 1976, № 6, с. 679.
13. Гленсдорф П., Пригожин И. Термодинамическая теория структуры устойчивости и флуктуаций. — М.: Мир, 1973.
14. Николис Г., Пригожин И. Самоорганизация в неравновесных системах. — М.: Мир, 1979.
15. Еремин Е. Н. Основы химической кинетики. — М.: Высшая школа, 1976.
16. Колдин Е. Быстрые реакции в растворе. — М.: Мир, 1966.
17. Методы исследования быстрых реакций/ Под ред. Г. Хеммиса. М.: Мир, 1977.
18. Брандт А. А. Исследование диэлектриков на сверхвысоких частотах. — М.: Физматгиз, 1963.
19. Левин В. В. — В сб.; Современные проблемы физической химии/ Под ред. М. И. Шахпаронова и П. А. Акишина, 1970, т. 4, с. 283.
20. Фрелих Г. Физика диэлектриков. — М.: ИЛ, 1960.
21. Губкин А. Н. Физика диэлектриков. — М.: Высшая школа, 1971, т. 1.
22. Шахпаронов М. И. Методы исследования теплового движения и строения жидкостей. — М.: изд-во МГУ, 1963.
23. Шахпаронов М. И. — Журнал ВХО им. Д. И. Менделеева. 1975, № 1, 20, 43.
24. Ахадов Я. Ю. Диэлектрические свойства чистых жидкостей. — М.: изд-во стандартов, 1972; Ахадов Я. Ю. Диэлектрические свойства бинарных растворов. — М.: Наука, 1977.
25. Иоффе Б. В. Рефрактометрические методы химии. — Л.: Госхимиздат, 1960.
26. Шахпаронов М. И., Капиткин Б. Т., Левин В. В., Глушкова Н. В. — Вестн. МГУ, 1974, Деп. № 706.

27. Stumper U. Adv. Mol. Rel. Proc., 1975, 7, 189.
28. Осипов О. А., Минкин В. И., Гарновский А. Д. Справочник по дипольным моментам. — М.: Высшая школа, 1971.
29. Sheppard R. J., Grant E. Adv. Mol. Rel. Proc., 1974, 6, 61.
30. Бергман Л. Ультразвук. — М.: ИЛ, 1966.
31. Физическая акустика /Под ред. У. Мэзона. — М.: Мир, 1966, т. I, ч. А.
32. Михайлов И. Г., Соловьев В. А., Сырников Ю. П. Основы молекулярной акустики. — М.: Наука, 1964.
33. Физическая акустика /Под ред. У. Мэзона. — М.: Мир, 1968, т. II, ч. А.
34. Ноздрев В. Ф., Федорищенко Н. Ф. Молекулярная акустика. — М.: Высшая школа, 1974.
35. Баранский К. Н., Север Г. А., Величина Г. С. — Письма в ЖЭТФ, 1971, 13, 52.
36. Шахпаронов М. И. — В сб.: Современные проблемы физической химии, 1970, 5, 3; Вестн. МГУ. — Химия, 1969, № 3, 3.
37. Шахпаронов М. И., Зиновьев О. И. — В кн.: Физика и физико-химия жидкостей, 1973, 2, 5.
38. Шахпаронов М. И., Зиновьев О. И., Ключникова Т. Н., Лупина М. И. — Вестн. МГУ. — Химия, 1974, № 1; 37.
39. Зиновьев О. И., Шахпаронов М. И. — Вестн. МГУ. — Химия, 1974, № 3, 188.
40. Шахпаронов М. И., Зиновьев О. И., Даманская А. Ю., Тупицын В. П. — Химия гетероциклических соединений, 1976, № 2, 147.
41. Лиснянский Л. И. — ЖФХ, 1971, 45, 1059.
42. Маринов К. Д., Шахпаронов М. И. — Вестн. МГУ. — Химия, 1974, № 1; 40.
43. Ландау Л. Д., Лифшиц Е. М. Электродинамика сплошных сред. — М.: Физматгиз, 1959.
44. Бенедек Дж. — Усп. физ. наук, 1972, 106, 481.
45. Фабелинский И. Л. Молекулярное рассеяние света. — М.: Наука, 1965.
46. Беридзе Д. К. — В сб.: Современные проблемы физической химии. — М.: изд-во МГУ, 1972, 5, 323.
47. Анисимов М. А. — Усп. физ. наук, 1974, 114, 249.
48. Эскин В. Е. Рассеяние света растворами полимеров. — М.: Наука, 1973.
49. Шахпаронов М. И., Закурдаева Н. П. — В сб.: Современные проблемы физической химии /Под ред. М. И. Шахпаронова и П. А. Акишина. — М.: изд-во МГУ, 1970, 4, 214.
50. Шахпаронов М. И., Шленкина Н. Г. — Вестн. МГУ. — Химия, 1971, 12, 398.
51. Шленкина Н. Г., Шахпаронов М. И. — Вестн. МГУ. — Химия, 1971, № 3, 359.
52. Рейхе Б., Ланшина Л. В., Шахпаронов М. И. — ЖСХ, 1972, 13, 790.
53. Шахпаронов М. И., Кораблева Е. Ю., Паначев Ф. И. — В сб.: Современные проблемы физической химии, 1979, 12.
54. Тупицын В. П., Шахпаронов М. И. — ЖФХ, 1976, 50, 1861.
55. Einstein A. Ann. d. Phys., 1910, 33, 1275.
56. Хабибуллаев П. К., Халиулин М. Г., Алиев С. С., Парпиев К., Шахпаронов М. И. — В сб.: Физика и физико-химия жидкостей / Под ред. М. И. Шахпаронова и Л. П. Филиппова. — М.: изд-во МГУ, 1972, вып. 1, 37.
57. Хабибуллаев П. К., Шахпаронов М. И. — Акуст. журн., 1972, 18, 305.
58. Старунов В. С., Тиганов Е. В., Фабелинский И. Л. — Письма в ЖЭТФ, 1967, 5, 317.
59. Mayer G., Gires F. Compt. Rend., 1964, 258, 2039.
60. Песин М. С., Фабелинский И. Л. Пикосекундная спектроскопия и изучение быстротекающих процессов. — УФН, 1976, 120, 273.
61. Duguay M. A., Hansen J. W. Appl. Phys. Lett., 1969, 15, 192; Opt. Comm., 1969, 1, 254.
62. Laubereau A., D. von der Linde, Kaiser W. Phys. Rev. Lett., 1972, 28, 1162.

63. Laubereau A., Kehl G., Kaiser W. Opt. Comm., 1974, 11, 74.
64. Александров И. В. Теория магнитной релаксации. Релаксация в жидких и твердых немагнитных парамагнетиках. — М.: Наука, 1975.
65. Ландау Л. Д., Лифшиц Е. М. Квантовая механика. Нерелятивистская теория. — М.: Физматгиз, 1963.
66. Эмсли Дж., Финей Дж., Сатклиф Л. Спектроскопия ЯМР высокого разрешения. — М.: Мир, 1968, т. 1.
67. Raynes W. T., Raza M. A., Mol. Phys., 1971, 20, 339.
68. Шахпаронов М. И., Райхе Б., Ланшина Л. В. — В сб.: Физика и физико-химия жидкостей/Под ред. М. И. Шахпаронова. 1973, вып. 2, 89.
69. Попп Дж., Шнейдер В., Бернштейн Г. Спектры ядерного магнитного резонанса высокого разрешения. — М.: ИЛ, 1962.
70. Керрингтон А., Мак-Лечлан Э. Магнитный резонанс и его применение в химии. — М.: Мир, 1970.
71. Шахпаронов М. И., Чекалин Н. В. — В сб.: Физика и физико-химия жидкостей/ Под ред. М. И. Шахпаронова и Л. П. Филиппова. 1972, вып. 1, 151.
72. Bloembergen N., Purcell E. M., Pound R. V. Phys. Rev., 1948, 73, 679.
73. Блюменфельд А. А., Воеводский В. В., Семенов А. Г. Применение электронного парамагнитного резонанса в химии. — Новосибирск, изд-во СО АН СССР, 1962.
74. Сергеев Г. Б., Казанская Н. Ф., Ужинов Б. М., Паписова В. И., Турман В. С., Мелузова Г. Б., Зенин С. В., Романов В. В. Экспериментальные методы химической кинетики/Под ред. акад. Н. М. Эмануэля. — М.: Высшая школа, 1971.
75. Буланин М. О., Орлова Н. Д. Спектроскопические исследования вращательного движения молекул в конденсированных системах. — В кн.: Спектроскопия взаимодействующих молекул. — Л.: изд-во ЛГУ, 1970.
76. Теренин А. Н. Фотоника молекул красителей — Л.: Наука, 1967.
77. Свердлов А. М., Ковнер М. А., Крайнов Е. П. Колебательные спектры многоатомных молекул. — М.: Физматгиз, 1970.
78. Кириллин В. А., Шейндлин А. Е. Термодинамика растворов. — М.: Госэнергоиздат, 1956.
79. Мищенко К. П., Полторацкий Г. М. Термодинамика и строение водных и неводных растворов электролитов. — 2-е изд. — Л.: Химия, 1976.
80. Росотти Я., Росотти Х. Определение констант устойчивости и других констант равновесия в растворах. — М.: Мир, 1965.
81. Химия и термодинамика растворов. — Л.: изд-во ЛГУ, 1964, вып. 1; 1968, вып. 2; 1973, вып. 3.
82. International Data Series. Selected Data on Mixtures H. Kehiaian; 1973—1976. Thermodynamic Res. Centr. Texas. Univ. USA.
83. Базаров И. П. Термодинамика. — М.: Высшая школа, 1976.
84. Байбуз В. Ф., Зицман В. Ю. Методы термодинамического расчета ассоциированных соединений. — М.: ИВТ АН СССР, 1977.
85. К. Крокстон. Физика жидкого состояния. Статистическое введение. — М.: Мир, 1978.
86. Карапетьянц М. Х. Химическая термодинамика. — 3-е изд. — М.: Химия, 1975.
87. Филиппов Л. П. Методы прогнозирования свойств жидкостей и газов. — М.: изд-во МГУ, 1978. Филиппов Л. П. Методы расчета и прогнозирования свойств жидкостей и газов на основе теории термодинамического подобия: Обзоры по теплофизическим свойствам веществ, № 2. — М.: ИВТ АН СССР, 1977.
88. Паташинский А. З., Покровский В. Л. Флуктуационная теория фазовых переходов. — М.: Физматгиз, 1975.
89. Шахпаронов М. И. Введение в молекулярную теорию растворов. — М.: Гостехиздат, 1956.
90. Garg S. R., Bertie I. E., Kilp H., Smyth C. P. J. Chem. Phys., 1968, 49, 2251.
91. Шахпаронов М. И., Капиткин Б. Т., Левин В. В. — ЖФХ, 1972, 46, 498.
92. Зиновьев О. И. Шахпаронов М. И. — ЖФХ, 1978, 52, 336.

93. Еремин Е. Н. Основы химической кинетики в газах и растворах. — М.: Изд-во МГУ, 1971.
94. С. Глессон, К. Лейдлер, Г. Эйринг. Теория абсолютных скоростей реакций. — М.: ИЛ, 1948.
95. П. Робинсон, К. Холбрук. Мономолекулярные реакции. — М.: Мир, 1975.
96. Туницкий Н. Н., Каминский В. А., Тимашев С. Ф. Методы физико-химической кинетики. — М.: Химия, 1972.
97. Шахпаронов М. И. Теория констант скоростей реакций и неравновесная термодинамика: Методическая разработка к курсу «Теория жидких систем». М.: изд-во МГУ, 1975.
98. Шахпаронов М. И. — Вестн. МГУ. — Химия, 1976, т. 17, 290.
99. Мандельштам Л. И., Тамм И. Е. — Изв. АН СССР. — Сер. физич., 1945, 9, 122.
100. Леонтович М. А. Статистическая физика. — М.: Гостехиздат, 1944, с. 110.
101. Терлецкий Я. П. Статистическая физика. — М.: Высшая школа, 1966, 92.
102. Давыдов А. С. Квантовая механика. — М.: Наука, 1973.
103. Branch С. Е. К., Nixon А. С., J. Am. Chem. Soc., 1936, 58, 2499.
104. Л. Гаммет. Основы физической органической химии. — М.: Мир, 1972.
105. Norris J. F., Fasce E. V., Staud J. C. J. Am. Ch. Soc., 1935, 57, 1415.
106. Шахпаронов М. И. — ЖФХ, 1966, 40, 543.
107. Шахпаронов М. И. — ЖФХ, 1967, 40, 110.
108. Шахпаронов М. И. — Вестн. МГУ. — Химия, 1976, 17, 551.
109. Leffler J. E. J. Org Chem., 1955, 20, 1202.
110. Шахпаронов М. И., Шипов Г. И. — Вестн. МГУ. — Химия, 1978, 19, № 1, 34.
111. Киреев В. А. — ЖФХ, 1940, 14, 1455.
112. Шахпаронов М. И. — ЖФХ, 1977, 51, 2189.
113. Шахпаронов М. И., Хабибуллаев П. К. — Вестн. МГУ. — Химия, 1971, 12, 3.

НЕРАВНОВЕСНАЯ ТЕРМОДИНАМИКА БЫСТРЫХ РЕАКЦИЙ И ИХ МЕХАНИЗМЫ

ГЛАВА VI

ТЕОРИЯ НЕКОЛЛЕКТИВНЫХ ПРОЦЕССОВ. ОДНА РЕАКЦИЯ

§ 26. ЛОКАЛЬНОЕ РАВНОВЕСИЕ

О неравновесной термодинамике. Неравновесная термодинамика изучает закономерности, присущие неравновесным макроскопическим системам с учетом теплового движения. Она устанавливает связь между переносом теплоты и другими процессами — механическими, химическими, электромагнитными. Ее методы подобны методам механики и электродинамики сплошных сред. Они в своей основе те же, что и методы классической теории поля [1].

В классической теории поля сплошная среда (или континуум) распределена в евклидовом пространстве. Среда бесконечно делима. Ее «частицы» и «элементы объема» dV могут быть сколь угодно малыми.

С позиции корпускулярных теорий, элемент объема dV хотя и мал по сравнению с объемом V всей системы, но содержит достаточно большое число частиц (молекул, атомов и т. п.).

Подробный обзор содержания неравновесной термодинамики не входит в задачу этой книги. Остановимся лишь на некоторых ее положениях, значение которых необходимо для понимания последующих глав книги.

Читателю, желающему получить более полное представление о неравновесной термодинамике, можно рекомендовать монографии И. Дьярмати [1], С. де Гроота и П. Мазура [2].

Локальное равновесие. Неравновесная термодинамика опирается на представление о локальном равновесии. Согласно этому представлению каждый малый элемент, любая малая часть массы неравновесной системы находится в состоянии термодинамического равновесия. Она подчиняется всем соотношениям равновесной термодинамики. Поэтому их состояния могут быть охарактеризованы с помощью температуры, энтропии и других макроскопических переменных в зависимости от природы системы.

Макроскопические свойства в приближении локального равновесия являются функциями пространственных координат и времени. В итоге, неравновесные состояния непрерывных, т. е. гомогенных, систем описываются с помощью представлений о поле температур, поле энтропий и других скалярных, векторных или тензорных полях. Изменения неравновесных состояний описываются дифференциальными уравнениями в частных производных.

Представление о локальном равновесии приближенно. Степень пригодности этого представления может быть оценена опытом или расчетами.

Из опыта следует, что термодинамическое равновесие в малых частях системы устанавливается во много раз быстрее, чем во всей системе. С понижением температуры T и плотности ρ время установления локального равновесия возрастает. Оно стремится к бесконечности при $T \rightarrow 0$ К или $\rho \rightarrow 0$. Поэтому для систем, находящихся при очень низких температурах, и газов при очень высоких степенях разрежения представление о локальном равновесии неприменимо. Вопрос о границах применимости принципа локального равновесия имеет две стороны, тесно связанные друг с другом: а) как велики могут быть отклонения от равновесия в системе, чтобы принцип локального равновесия сохранял силу? б) как скоро устанавливаются значения T и S в малых частях системы? Под малой частью системы следует понимать такую, к которой в состоянии термодинамического равновесия соотношения термодинамики еще применимы с точностью порядка, по крайней мере, десятых долей процента. Как показывает опыт, обычно такие части системы содержат примерно 10^4 молекул. Качественно соотношения термодинамики для жидких фаз вдали от критических состояний сохраняют силу даже для частей, содержащих всего 10^3 молекул [3].

Теоретические оценки Мейкснера [4] показывают, что в газах локальное равновесие существует, когда на расстоянии, равном длине свободного пробега l , и з м е н е н и я температуры ΔT , давления Δp и других макроскопических свойств системы малы по сравнению с самими величинами T , p и других свойств.

Если $T = 300$ К и $p = 10^5$ Па, длина свободного пробега атомов газа составляет около 10^{-5} см. При температурном градиенте 10^5 К/см $\Delta T/l \simeq 1/300$. При градиенте давления, равном 10^9 Па/см, $\Delta p/l \simeq 10^{-1}$. Эти цифры дают основания считать, что область применимости представления о локальном равновесии для газов очень широка. Для жидкостей вдали от 0 К представление о локальном равновесии применимо при значительно больших отклонениях от термодинамического равновесия, чем только что указанные выше.

С позиций классической статистической механики представление о времени, требующемся для установления температуры, можно связать с временем, необходимым для возникновения максвелловского распределения скоростей v частиц:

$$dW(v) = A \exp\left(-\frac{mv^2}{2k_B T}\right) v^2 dv. \quad (\text{VI.1})$$

Максвелловское распределение есть функция температуры. При максвелловском распределении скоростей средняя кинетическая энергия, приходящаяся на одну степень свободы, равна $k_B T/2$. Максвелловское распределение скоростей выполняется во всех случаях, когда кинетическая энергия системы, находящейся в термодинамическом равновесии, равна сумме кинетических энергий отдельных частиц. Для жидкостей и твердых тел это справедливо, поэтому максвелловское распределение имеет место не только для газов, но и для жидкостей и твердых тел [5].

Если в системе установилось максвелловское распределение скоростей частиц, то с позиций классической статистической механики ее температура определена. Неравновесная термодинамика применима, когда неравновесные процессы настолько медленны, что ни для одного из сортов частиц любой малой, но макроскопической области нет существенных отклонений от максвелловского распределения скоростей. В газах, как известно, промежутки времени, требующийся для установления распределения Максвелла τ_M по порядку величины, равен отношению длины свободного пробега молекул l к скорости звука c . При 273 К и $p = 10^5$ Па $\simeq 1$ атм $l = 10^{-8}$ м, $c \simeq 10^2$ м/с, $\tau_{M, г} \approx l/c \approx 10^{-10}$ с. При росте плотности газа l будет уменьшаться и соответственно будет уменьшаться τ_M . Применяя представление об l к жидкостям, получим: $l \simeq 10^{-11}$ м, скорость передачи теплоты по порядку величины равна скорости звука, $c \simeq 10^3$ м/с, $\tau_{M, ж} = 10^{-11}/10^3 = 10^{-14}$ м/с.

Хотя, как будет видно из дальнейшего, этот расчет дает правильный результат, он не вполне хорошо обоснован, так как представление о длине свободного пробега частиц в жидкости не имеет ясного физического содержания.

Но из термодинамической теории релаксационных явлений, излагаемой в этой главе, следует, что понятие о времени релаксации τ макроскопической системы имеет смысл, если величина τ существенно превышает время τ_M , требующееся в среднем для установления максвелловского распределения скоростей в локально равновесной системе. Поэтому для наименьших наблюдаемых экспериментально времен релаксации τ_{min} должно выполняться неравенство

$$\tau_{min} \gg \tau_M. \quad (VI.2)$$

Таким образом, вопрос о порядке величины τ_M в жидких фазах может быть решен экспериментально.

Исследования диэлектрической релаксации и релаксации анизотропных флуктуаций показывают, что наблюдаемые на опыте методами диэлектрической и релеевской спектроскопии наименьшие времена релаксации τ_{min} в жидкостях при 300 К и атмосферном давлении имеют величину порядка 10^{-12} с.

Следовательно, для локально равновесной жидкой фазы, в которой наблюдается релаксация при 300 К и 10^5 Па, величина τ_M должна составлять не более 10^{-13} с, чтобы неравенство (VI.2) выполнялось.

Далее надо иметь в виду, что теория сплошных сред в принципе не может ответить на вопрос о величине τ_M , поскольку она сама опирает-

ся на понятие о температуре, как одной из основных характеристик состояния среды. Но можно показать, что классическая гидродинамика не содержит утверждений, противоречащих величине $\tau_m \simeq 10^{-14}$ с при 300 К. Так, например, из классической гидродинамики следует, что гиперзвуковые волны в жидкости распространяются адиабатически, если их частота ω удовлетворяет неравенству

$$\omega \ll \frac{\rho c^2 C_V}{\kappa}, \quad \text{[(VI.3)]}$$

где ρ — плотность жидкости; c — скорость звука на частоте ω ; C_V — теплоемкость при постоянном объеме; κ — коэффициент теплопроводности. Правая часть (VI.3) для жидких фаз имеет величину порядка 10^{13} Гц. Следовательно, наименьшая величина периода адиабатических гиперзвуковых волн, удовлетворяющих неравенству (VI.3), не противоречит неравенству (VI.2), характеризующему время τ_m установления локального равновесия.

Из соотношения неопределенности энергия — время вытекает, что минимальный период времени, для которого понятие о температуре имеет смысл, подчиняется неравенству $\tau_m \gg 10^{-11}/T$ (см., например, [3]). Поэтому при 300 К временной интервал $\tau_m \gg 3 \cdot 10^{-14}$ с. Таким образом, при 300 К 10^{-12} с $\gg \tau_m \gg 3 \cdot 10^{-14}$ с.

Прямой расчет динамических свойств упрощенных моделей одноатомных жидкостей методами молекулярной динамики [6] показал, что τ_m по порядку величины равно промежутку времени, необходимому для осуществления в среднем на один атом всего двух столкновений. При 300 К такой интервал времени составляет около 10^{-13} с. Надо, впрочем, иметь в виду, что оценки величины τ_m с помощью метода молекулярной динамики желательно выполнять для моделей, содержащих 10^3 молекул и более. Иначе флуктуации температуры должны исчезать медленнее, чем в реальных макроскопических системах и соответственно оценки τ_m могут получаться несколько завышенными.

Итак, хотя представление о локальном равновесии имеет приближенный характер, оно с хорошей степенью точности применимо для очень широкого круга необратимых процессов, протекающих в жидких фазах.

§ 27. ХИМИЧЕСКИЕ ПОТОКИ И СИЛЫ

Потоки — это необратимые процессы в макроскопических средах. Силы есть причины, вызывающие потоки.

Рассмотрим изолированную многокомпонентную гомогенную неравновесную систему, малые макроскопические части которой находятся в состоянии локального равновесия. Состояние системы можно, следовательно, охарактеризовать набором f переменных $x_1, \dots, x_i, \dots, x_f$. Ими могут быть, например, внутренняя энергия, степени полноты реакций, числа молей компонентов и ряд других.

В изолированной неравновесной системе самопроизвольно идут необратимые процессы, стремящиеся привести систему в состояние

термодинамического равновесия. Эти процессы сопровождаются изменением во времени переменных $x_1, \dots, x_i, \dots, x_f$. Пусть при термодинамическом равновесии указанные экстенсивные переменные принимают значения $x_1^0, \dots, x_i^0, \dots, x_f^0$.

Для описания неравновесных состояний часто бывает удобно пользоваться переменными α_i , обозначающими отклонения x_i от x_i^0 :

$$\alpha_i = x_i - x_i^0 \quad (i = 1, 2, \dots, f). \quad (\text{VI.4})$$

Потоки J_j , по определению, есть скорости изменения переменных x_i или α_i во времени:

$$J_i = \frac{dx_i}{dt} = \frac{d\alpha_i}{dt} \equiv \dot{x}_i \equiv \dot{\alpha}_i. \quad (\text{VI.5})$$

Энтропия S изолированной неравновесной системы при необратимых процессах самопроизвольно возрастает. Увеличение энтропии можно рассматривать как причину возникновения потоков J_i . Сила X_i , термодинамически сопряженная с координатой x_i в изолированной системе, по определению, равна:

$$X_i \equiv \left(\frac{\partial S}{\partial x_i} \right)_{x_j} \equiv \left(\frac{\partial S}{\partial \alpha_i} \right)_{\alpha_j}. \quad (\text{VI.6})$$

Производство энтропии. Разность энтропий равновесного состояния S_0 и неравновесного состояния S изолированной системы по второму закону термодинамики всегда положительна $\Delta S = S_0 - S > 0$. Возникновение энтропии $d_i S/dt$ в единицу времени внутри системы в соответствии с этим законом тоже всегда положительно:

$$\Pi \equiv \frac{d_i S}{dt} > 0. \quad (\text{VI.7})$$

Здесь индекс « i » указывает, что речь идет о приросте энтропии за счет процессов, протекающих внутри системы.

Величину Π принято называть *производством энтропии*. Производство энтропии равно нулю, если система находится в состоянии термодинамического равновесия. Пользуясь определениями потоков и сил (VI.5) и (VI.6), для изолированной системы получаем:

$$\Pi = \sum_{i=1}^f \left(\frac{\partial S}{\partial x_i} \right) \dot{x}_i = \sum_{i=1}^f X_i J_i. \quad (\text{VI.8})$$

Таким образом, производство энтропии в рассматриваемом случае есть симметричная билинейная функция потоков и сил. В уравнении (VI.8) Π есть производство энтропии в системе, взятой в целом. Другими словами, Π — интегральное выражение для производства энтропии. Уравнение (VI.8) играет в неравновесной термодинамике большую роль. Оно выполняется не только для изолированных, но и для любых других систем, закрытых и открытых.

Уравнение (VI.8) справедливо не только для всей системы, но и для любой ее малой части. Напомним, что понятие о «малой части» системы здесь применяется в том смысле, который оно имеет в теории сплошных сред (см. § 26).

Сродство реакции. В соответствии с определением (VI.6) сила, термодинамически сопряженная со степенью полноты реакции ξ_α (координатной реакции), равна:

$$\left(\frac{1}{T}\right) \cdot A_\alpha \equiv \left(\frac{\partial S}{\partial \xi_\alpha}\right)_{U, V, \xi_\beta} \quad (\alpha, \beta = 1, 2, \dots, r). \quad (\text{VI.9})$$

A_α называется сродством реакции α . При других внешних переменных сродство реакции, протекающей в однокомпонентной жидкой фазе, определяется соотношениями

$$\begin{aligned} A_\alpha &= -\left(\frac{\partial G}{\partial \xi_\alpha}\right)_{P, T, \xi_\beta} = -\left(\frac{\partial F}{\partial \xi_\alpha}\right)_{V, T, \xi_\beta} = -\left(\frac{\partial H}{\partial \xi_\alpha}\right)_{S, P, \xi_\beta} = \\ &= -\left(\frac{\partial U}{\partial \xi_\alpha}\right)_{S, V, \xi_\beta}. \end{aligned} \quad (\text{VI.10})$$

Рассмотрим случай, когда внешними переменными служат температура и давление. Тогда характеристическая функция системы — свободная энтальпия G . Полный дифференциал dG имеет вид

$$\begin{aligned} dG &= \left(\frac{\partial G}{\partial T}\right)_{P, \xi} dT + \left(\frac{\partial G}{\partial P}\right)_{T, \xi} dP + \sum_{\alpha=1}^r \left(\frac{\partial G}{\partial \xi_\alpha}\right)_{P, T, \xi_\beta} d\xi_\alpha = \\ &= -SdT + VdP - \sum_{\alpha} A_\alpha d\xi_\alpha. \end{aligned} \quad (\text{VI.11})$$

Вместо степеней полноты реакций ξ_α в качестве внутренних переменных, характеризующих неравновесные состояния системы, могут фигурировать концентрации молекул M_i , например числа молей таких молекул n_i в объеме V , занимаемом системой. Тогда дифференциал G имеет вид

$$dG = -SdT + VdP + \sum_{i=1}^k \mu_i dn_i, \quad (\text{VI.12})$$

где индекс « i » обозначает вид молекул i ; k — общее число различных видов молекул; μ_i — химический потенциал M_i ,

$$\mu_i = \left(\frac{\partial G}{\partial n_i}\right)_{P, T, n_j} \quad (i, j = 1, 2, \dots, k) \quad (i \neq j). \quad (\text{VI.13})$$

Соотношение (VI.12) называют уравнением Гиббса. Уравнение (VI.12) преобразуется в уравнение (VI.11) следующим образом. Имеем:

$$dn_i = \sum_{\alpha=1}^r dn_{i\alpha}, \quad (\text{VI.14})$$

где $dn_{i\alpha}$ — вклад реакции α в dn_i . Используя (VI.14) и (III.14), получаем:

$$\sum_{i=1}^k \mu_i dn_i = \sum_{i=1}^k \mu_i \sum_{\alpha=1}^r dn_{i\alpha} = \sum_i \mu_i \sum_{\alpha} \Delta v_{i\alpha} d\xi_\alpha = \sum_{\alpha} d\xi_\alpha \sum_i \mu_i \Delta v_{i\alpha} =$$

$$= - \sum_{\alpha=1}^r A_{\alpha} d\xi_{\alpha}. \quad (\text{VI.15})$$

Таким образом, сродство реакции α , т. е. A_{α} , связано с химическими потенциалами реагирующих веществ и разностями стехиометрических коэффициентов реакции α соотношением

$$A_{\alpha} = - \sum_{i=1}^k \mu_i \Delta v_{i\alpha}. \quad (\text{VI.16})$$

Производная степени полноты реакции α по времени $\dot{\xi}_{\alpha}$ представляет собой поток, непосредственно связанный с термодинамической силой — сродством A_{α} :

$$\dot{\xi}_{\alpha} \equiv \frac{d\xi_{\alpha}}{dt} = \frac{1}{\Delta v_{i\alpha}} \frac{dn_{i\alpha}}{dt} = v_{\alpha}, \quad (\text{VI.17})$$

где v_{α} — скорость реакции α .

В состоянии термодинамического равновесия при постоянных T и P свободная энтальпия системы G приобретает минимальное значение. Поэтому все A_{α} ($\alpha = 1, 2, \dots, r$) обращаются в нуль. Так как $\xi_{\alpha} = \xi_{\alpha 0} = \text{const}$, то скорости реакций также становятся равными нулю. Таким образом, с исчезновением всех термодинамических сил A_{α} в равновесной системе прекращаются и все потоки $v_{\alpha} \equiv \dot{\xi}_{\alpha}$. Опыт показывает, что потоки зависят от сил.

Производство энтропии и феноменологический коэффициент. Предположим, что в изолированной неравновесной жидкой фазе, имеющей заданный объем V , протекает только один необратимый процесс — одна двусторонняя реакция:



Степень полноты этой реакции равна ξ . В такой жидкости имеется только один поток:

$$\dot{\xi} \equiv v. \quad (\text{VI.19})$$

В природе подобных систем нет. В любой неравновесной жидкости всегда протекает множество необратимых процессов. Но прежде чем перейти к описанию сложных случаев, следует проанализировать свойства наиболее простой системы, как некоторой полезной абстрактной схемы.

Пусть A — сродство реакции (VI.18). Поскольку система изолирована и ее объем задан, характеристическим потенциалом системы служит внутренняя энергия $U = U(S, V, \xi)$. Уравнение Гиббса при внешних переменных S и V для системы, в которой идет одна реакция, имеет вид

$$dU = TdS - PdV + \sum_i \mu_i dn_i = TdS - PdV - Ad\dot{\xi} \quad (\text{VI.20})$$

или

$$TdS = dU + PdV + Ad\dot{\xi}. \quad (\text{VI.21})$$

Так как система изолирована и в ней протекает лишь один необратимый процесс [реакция (VI.17)], прирост энтропии dS может быть вызван только этим процессом. Энтропия производится в н у т р и системы, а не за счет взаимодействия системы с окружением. Поэтому в данном случае $dS = d_i S$, где индекс «i» означает, что речь идет об энтропии, возникающей внутри системы за счет реакции. Так как система изолирована, т. е. не обменивается с окружением ни теплотой, ни работой, то $dU = 0$ и $dV = 0$. Поэтому

$$d_i S = \frac{A}{T} d\xi. \quad (\text{VI.22})$$

Дифференцируя по времени обе части равенства (VI.22), получаем выражение для производства энтропии [см. уравнение (VI.7)], обусловленного реакцией (VI.18):

$$\Pi = \frac{d_i S}{dt} = \frac{A}{T} \dot{\xi}. \quad (\text{VI.23})$$

Здесь было использовано представление об изолированности системы, чтобы не усложнять вывод формулы (VI.23). Она описывает вклад в производство энтропии, обусловленный реакцией (VI.18) и, в общем случае, когда система не изолирована.

Скорость реакции $\dot{\xi}$ зависит от сродства A . При термодинамическом равновесии $A_0 = 0$ и $\dot{\xi}_0 = 0$. Разлагая функцию $\dot{\xi} = f(A)$ в ряд около точки, соответствующей термодинамическому равновесию, и ограничиваясь линейным членом ряда, получаем:

$$\dot{\xi} = \left(\frac{\partial \dot{\xi}}{\partial A} \right)_{A=0} dA. \quad (\text{VI.24})$$

Производную потока $\dot{\xi}$ по силе A обычно обозначают символом L . Так как $dA = A - A_0$ и $A_0 = 0$, то $dA = A$. Поэтому (VI.24) можно переписать следующим образом:

$$\dot{\xi} = LA. \quad (\text{VI.25})$$

Это — феноменологическое уравнение в том смысле, что коэффициент L определяют экспериментально. L называют феноменологическим коэффициентом.

Подставляя (VI.25) в (VI.23), получаем для производства энтропии, обусловленного реакцией (VI.18), следующее выражение:

$$\Pi = \frac{1}{T} LA^2 > 0. \quad (\text{VI.26})$$

По второму закону термодинамически в неравновесной системе, т. е. при $A \neq 0$, производство энтропии всегда положительно. Следовательно, поскольку Π квадратичная функция A , феноменологический коэффициент L тоже положителен:

$$L > 0. \quad (\text{VI.27})$$

Связь между сродством и константой равновесия реакции. Согласно (VI.16) сродство A связано с химическими потенциалами μ_i реагирую-

щих веществ μ_i и разностями стехиометрических коэффициентов $\Delta \nu_i = \nu_i' - \nu_i$ обратной и прямой реакцией (VI.18) соотношением

$$A = - \sum_{i=1}^K \mu_i \Delta \nu_i. \quad (\text{VI.28})$$

Суммирование в (VI.28) производится по всем сортам молекул, участвующих в прямой и обратной реакциях (VI.18). Химический потенциал μ_i компонента M_i связан с активностью a_i уравнением

$$\mu_i = \mu_{0i} + RT \ln a_i, \quad (\text{VI.29})$$

где μ_{0i} — химический потенциал компонента M_i в стандартном состоянии. Подставляя (VI.29) в (VI.28), получаем:

$$A = - \sum_i \mu_{0i} \Delta \nu_i - RT \sum_i \Delta \nu_i \ln a_i. \quad (\text{VI.30})$$

Введем обозначение:

$$- \sum_i \mu_{0i} \Delta \nu_i = RT \ln K. \quad (\text{VI.31})$$

Выражение (VI.31) не зависит от концентрации компонентов реакции. Оно определяет постоянную K , физический смысл которой разъясняется ниже. Подставляя (VI.31) в (VI.30), получаем:

$$\begin{aligned} A &= RT \ln K - RT \sum_i \ln a_i^{\Delta \nu_i} = RT \ln \frac{K}{\prod_i a_i^{\Delta \nu_i}} = \\ &= RT \ln K \frac{\prod_i a_i^{\nu_i}}{\prod_i a_i^{\nu_i'}}. \end{aligned} \quad (\text{VI.32})$$

При термодинамическом равновесии $A = 0$ и активности $a_i = a_{0i}$. Следовательно,

$$K = \frac{\prod_i a_{0i}^{\nu_i'}}{\prod_i a_{0i}^{\Delta \nu_i}} = \prod_i a_{0i}^{\Delta \nu_i}. \quad (\text{VI.33})$$

Уравнение (VI.33) связывает константу K с функцией равновесных активностей $\prod_i a_{0i}^{\Delta \nu_i}$ компонентов раствора, участвующих в реакции (VI.18). Постоянную K называют константой равновесия реакции (VI.18).

Таким образом, из (VI.32) следует, что сродство A представляет собой умноженный на RT логарифм отношения константы равновесия K к функции неравновесных активностей $\prod_i a_i^{\Delta \nu_i}$.

Если жидкая фаза обладает свойствами идеального раствора, активности компонентов равны их концентрациям, которые в зависимости от условий задачи могут быть выражены в мольных долях x_i , чис-

лах молей c_i , содержащихся в единице объема раствора, и т. д. Функция активностей в (VI.33) заменяется на $\prod_i x_i^{\Delta v_i}$, $\prod_i c_i^{\Delta v_i}$ и т. д., а константа K — на K_x , K_c и т. д.

Уравнения

$$K_x = \prod_i x_{0i}^{\Delta v_i}; \quad (\text{VI.34})$$

$$K_c = \prod_i c_{0i}^{\Delta v_i} \quad (\text{VI.35})$$

представляют собой различные формулировки закона действующих масс.

О физическом смысле феноменологического коэффициента реакции L . Скорость двусторонней реакции (VI.18) ξ , как известно, равна разности скоростей прямой ξ_F и обратной ξ_B реакций:

$$\xi = \xi_F - \xi_B. \quad (\text{VI.36})$$

По основному закону химической кинетики скорости прямой и обратной реакций (VI.18) определяются уравнениями:

$$\xi_F = kV \prod_i a_i^{q_i}; \quad (\text{VI.37})$$

$$\xi_B = k' V \prod_i a_i^{q'_i}, \quad (\text{VI.38})$$

где q_i и q'_i — некоторые числа, целые или дробные, как правило, положительные, но могут быть и отрицательные. Если реакция (VI.18) элементарная, то $q_i = v_i$ и $q'_i = v'_i$, поэтому

$$\xi_F = kV \prod_i a_i^{v_i}; \quad (\text{VI.39})$$

$$\xi_B = k' V \prod_i a_i^{v'_i}, \quad (\text{VI.40})$$

где k и k' — константы скоростей прямой и обратной реакции (VI.18) в единице объема раствора. В дальнейшем реакция (VI.18) будет считаться элементарной. При термодинамическом равновесии $\xi_F = \xi_B$ и активности $a_i = a_{0i}$. Тогда из уравнений (VI.39) и (VI.40) следует:

$$\frac{\prod_i a_{0i}^{v'_i}}{\prod_i a_{0i}^{v_i}} = \frac{k}{k'} = K. \quad (\text{VI.41})$$

Таким образом, константа равновесия K равна отношению констант скоростей прямой и обратной реакций.

Из уравнений (VI.36), (VI.39) — (VI.41) следует:

$$\xi = \xi_F \left(1 - \frac{\xi_B}{\xi_F} \right) = \xi_F \left(1 - \frac{\prod_i a_i^{\Delta v_i}}{K} \right). \quad (\text{VI.42})$$

Но, согласно (VI.32),

$$\frac{\prod_i a_i^{\Delta \nu_i}}{K} = e^{-\frac{A}{RT}}, \quad (\text{VI.43})$$

поэтому

$$\dot{\xi} = \dot{\xi}_F \left(1 - e^{-\frac{A}{RT}} \right). \quad (\text{VI.44})$$

Допустим, что отклонение системы от термодинамического равновесия достаточно мало, чтобы выполнялось неравенство

$$A \ll RT. \quad (\text{VI.45})$$

Разлагая $e^{-A/RT}$ в степенной ряд и ограничиваясь линейным членом ряда, имеем:

$$e^{-A/RT} \simeq 1 - \frac{A}{RT}. \quad (\text{VI.46})$$

Подставляя (VI.46) в (VI.44), получаем

$$\dot{\xi} = \dot{\xi}_F \frac{A}{RT}. \quad (\text{VI.47})$$

Если отклонение системы от состояния термодинамического равновесия мало, т. е. система близка к динамическому равновесию, то различием между $\dot{\xi}_F$ и $\dot{\xi}_B$ можно пренебречь:

$$\dot{\xi}_F \simeq \dot{\xi}_B = rV, \quad (\text{VI.48})$$

где r — скорость прямой или обратной реакций (VI.18) в единице объема системы при термодинамическом равновесии. Пользуясь (VI.48) и (VI.47), находим

$$\dot{\xi} = \frac{rV}{RT} = LA. \quad (\text{VI.49})$$

Так как феноменологический коэффициент L реакции (VI.18), зависит от температуры, то величину $1/T$ можно включить в L без изменения обозначений. Имеем

$$L = \frac{rV}{RT} = \frac{V}{RT} k \prod_i a_{0i}^{\nu_i} = \frac{V}{RT} k' \prod_i a_{0i}'^{\nu_i}. \quad (\text{VI.50})$$

Выражение (VI.50) справедливо, если выполняется неравенство (VI.45). Случаи, когда неравенство (VI.45) неприменимо, в этой книге не рассматриваются. Отметим лишь, что неравенство (VI.45) сохраняет силу для весьма широкого круга процессов, протекающих в жидких фазах.

Следовательно, сродство представляет собой функцию активностей или концентраций исходных веществ и продуктов реакции в неравновесном и равновесном состояниях системы, а также стехиометрических коэффициентов уравнения реакции. Если реакция элементарная, то сродство A зависит от механизма реакции, который прежде всего определяется видом и числом реагирующих частиц. Феноменологичес-

кий коэффициент L , если реакция (VI.18) элементарная, зависит от равновесных концентраций, точнее активностей, исходных веществ или же продуктов реакции, стехиометрических коэффициентов и констант скоростей прямой или, соответственно, обратной реакции. Феноменологический коэффициент, следовательно, связан не только с механизмом, но и с кинетикой элементарной реакции.

Таким образом, если бы можно было выполнять экспериментальные исследования, которые давали бы непосредственную информацию о величинах A и L , то такая информация содержала бы важные сведения о механизме и кинетике реакции. К сожалению, такими возможностями физика и химия не располагают. В случае медленных реакций, обычно, доступны прямому определению лишь концентрации реагирующих веществ в неравновесном и равновесном состояниях системы. Стехиометрические коэффициенты остаются неизвестными. Они подбираются. Вопрос о механизме элементарных событий медленных реакций, в особенности для реакций в жидких фазах, при этом, как правило, остается не ясным.

Для быстрых и в особенности сверхбыстрых реакций проблема еще более осложняется. Во-первых, прямые измерения концентраций реагирующих веществ за очень малые промежутки времени чаще всего невозможны. Во-вторых, одни и те же вещества одновременно и в равной мере участвуют в целом ряде быстрых и сверхбыстрых процессов. Поэтому, даже если бы концентрации реагентов и продуктов реакции можно было измерять, для выяснения механизмов и кинетики элементарных процессов нужно было бы научиться различать эти механизмы по каким-то другим признакам, не связанным непосредственно с величинами концентраций и стехиометрических коэффициентов реакции.

Решение этих проблем найдено с помощью следующего метода [7,8]. Поскольку A и L непосредственно измерить нельзя, изучаются другие свойства жидких фаз, которые доступны измерению и дают информацию о поведении системы за короткие промежутки времени. Отыскивая связь между результатами измерений и величинами A и L , получают сведения об этих величинах. При этом оказывается, что сама возможность установления такой связи зависит от механизма реакции. Иначе говоря, возможность «наблюдения» или не «наблюдения» реакции для некоторых из методов исследования зависит от элементарного механизма реакции (см. § 16).

Важную роль играют здесь методы исследования, связанные с явлениями релаксации. Чтобы выяснить теоретические основы этих методов, необходимо воспользоваться химическим уравнением состояния.

§ 28. ХИМИЧЕСКОЕ УРАВНЕНИЕ СОСТОЯНИЯ. ОДИН РЕЛАКСАЦИОННЫЙ ПРОЦЕСС

Химическое уравнение состояния. Предположим, что в жидкой фазе происходит только один неколлективный процесс и ее состояние можно определить с помощью обобщенных термодинамических координат x , y , и ξ . С этими обобщенными координатами термодинамически сопряжены обобщенные силы X , Y , A .

Пусть \mathcal{P} — термодинамический потенциал, являющийся характеристической функцией переменных x , y и ξ . Тогда $d\mathcal{P}$ имеет вид (см., например, [7])

$$d\mathcal{P} = \pm Xdx \pm Ydy - A d\xi. \quad (\text{VI.51})$$

Так, например, если $x = T$ и $y = P$, то $X = -S$; $Y = V$ и \mathcal{P} представляет собой свободную энтальпию G . Ее полный дифференциал

$$dG = -SdT + VdP - A d\xi. \quad (\text{VI.52})$$

Пусть отклонения системы от состояния термодинамического равновесия малы. Тогда можно принять, что в уравнении $\dot{\xi} = LA$ феноменологический коэффициент L постоянен. Справедливость этого утверждения следует из выражений (VI.47) и (VI.49). Сродство A , согласно (VI.51), определяется соотношением

$$A = -\left(\frac{\partial \mathcal{P}}{\partial \xi}\right)_{xy}. \quad (\text{VI.53})$$

В состоянии термодинамического равновесия термодинамический потенциал минимален, поэтому A обращается в нуль и при прохождении системы через состояние равновесия изменяет знак. Следовательно, в отличие от L нельзя пренебречь зависимостью A от переменных, характеризующих состояние системы. Уравнение, описывающее эту зависимость,

$$A = A(x, y, \xi) \quad (\text{VI.54})$$

называется *химическим уравнением состояния*.

Уравнение релаксации. Время релаксации. Разложим химическое уравнение состояния в ряд в окрестности точки (x_0, y_0, ξ_0) . Ограничиваясь линейными членами ряда,

$$\begin{aligned} A(x, y, \xi) = A(x_0, y_0, \xi_0) &+ \left(\frac{\partial A}{\partial \xi}\right)_{x, y, \xi=\xi_0} (\xi - \xi_0) + \left(\frac{\partial A}{\partial x}\right)_{y, \xi, x=x_0} (x - x_0) \\ &+ \left(\frac{\partial A}{\partial y}\right)_{x, \xi, y=y_0} (y - y_0). \end{aligned} \quad (\text{VI.55})$$

Пусть точка x_0, y_0, ξ_0 соответствует полному термодинамическому равновесию. Тогда сродство $A(x_0, y_0, \xi_0) = 0$. Степень полноты ξ , как уже было сказано в § 7, определяется с точностью до некоторой произвольной постоянной. Выберем эту постоянную так, чтобы $\xi_0 = 0$, следовательно,

$$\xi - \xi_0 = \xi. \quad (\text{VI.56})$$

Подставляя (VI.56) и (VI.55) в (VI.49), получаем:

$$\dot{\xi} = L \left[\left(\frac{\partial A}{\partial \xi}\right)_{x_0, y_0, \xi=\xi_0} \xi + \left(\frac{\partial A}{\partial x}\right)_{\xi y} (x - x_0) + \left(\frac{\partial A}{\partial y}\right)_{\xi x} (y - y_0) \right]. \quad (\text{VI.57})$$

Предположив, что x и y постоянны, причем $x = x_0$ и $y = y_0$, имеем:

$$\dot{\xi} = L \left(\frac{\partial A}{\partial \xi}\right)_{x_0, y_0, \xi_0} \xi = -\frac{\xi}{\tau_{xy}}. \quad (\text{VI.58})$$

Так как L и $\left(\frac{\partial A}{\partial \xi}\right)_{x_0, y_0, \xi_0}$ константы, то

$$\frac{1}{\tau_{xy}} = -L \left(\frac{\partial A}{\partial \xi} \right)_{x_0, y_0, \xi_0} \quad (\text{VI.59})$$

представляет собой некоторую постоянную.

Дифференциальное уравнение (VI.58) описывает процесс самопроизвольного возвращения неравновесной системы в состояние полного термодинамического равновесия, т. е. релаксацию. В ходе этого процесса внешние переменные состояния системы x и y остаются неизменными. Уравнение (VI.58) справедливо в рассматриваемом здесь простом случае, когда релаксация осуществляется с помощью одной реакции (VI.18). Уравнение (VI.58) представляет собой линейное однородное дифференциальное уравнение первого порядка относительно ξ . Разделяя переменные и интегрируя по времени от 0 до t и по ξ от $\xi_{t=0}$ до $\xi(t)$, получим:

$$\xi(t) = \xi_{t=0} e^{-t/\tau_{xy}}, \quad (\text{VI.60})$$

где $\xi_{t=0}$ — степень полноты реакции в неравновесной системе в момент начала отсчета времени $t=0$; $\xi(t)$ — степень полноты реакции в какой-либо другой момент времени $t \neq 0$.

Постоянная τ_{xy} — время релаксации системы, когда релаксация протекает при постоянстве x и y . При $t = \tau_{xy}$ степень полноты реакции ξ уменьшается в e раз по сравнению с $\xi_{t=0} = 0$. Величину τ_{xy}^{-1} иногда называют частотой релаксации. Смысл этого наименования будет пояснен в § 32.

Производная

$$\left(\frac{\partial A}{\partial \xi} \right)_{x, y} = - \left(\frac{\partial^2 \mathcal{P}}{\partial \xi^2} \right)_{x, y}. \quad (\text{VI.61})$$

При термодинамическом равновесии \mathcal{P} приобретает минимальное значение. Поэтому вторая производная \mathcal{P} по ξ в точке равновесия всегда положительна и производная $(dA/d\xi)_{x_0, y_0, \xi=\xi_0}$ всегда отрицательна. Феноменологический коэффициент L всегда положителен [см. (VI.27)]. Таким образом, время релаксации, согласно (VI.59), всегда положительно.

Расчет производной $(\partial A/\partial \xi)_{P, T}$. Пусть $x = T$, $y = P$. Найдем производную $(dA/d\xi)_{T, P, \xi=0}$. Зная эту производную и пользуясь выражением (VI.50), получим уравнение, связывающее время релаксации при постоянных температуре и давлении τ_{PT} с константой скорости реакции, равновесными активностями или концентрациями реагентов и стехиометрическими коэффициентами уравнения реакции. При постоянстве T и P сродство A определяется соотношением

$$A = - \left(\frac{\partial G}{\partial \xi} \right)_{T, P}. \quad (\text{VI.62})$$

Имеем [см. (VI.32)]:

$$A(P, T, \xi) = RT \ln K(P, T) - RT \ln \prod_i a_i^{\Delta \nu_i}. \quad (\text{VI.63})$$

Константа равновесия элементарной реакции (VI.18) $K(P, T)$ зависит только от P и T , но не от ξ . Следовательно,

$$\left(\frac{\partial A}{\partial \xi}\right)_{P, T, \xi_0} = -RT \sum_i \Delta \nu_i \left(\frac{\partial \ln a_i}{\partial \xi}\right)_{P, T, \xi_0}. \quad (\text{VI.64})$$

Как известно,

$$[a_i = f_i x_i, \quad (\text{VI.65})$$

где x_i — молярная доля компонента i в растворе; f_i — коэффициент активности этого компонента. В качестве стандартного состояния здесь выбран чистый жидкий компонент i при тех же давлении и температуре, что и раствор. Подставляя (VI.65) в (VI.64), получаем:

$$\left(\frac{\partial A}{\partial \xi}\right)_{P, T, \xi=0} = RT \sum_i \frac{\Delta \nu_i}{f_{0i}} \left(\frac{\partial f_i}{\partial \xi}\right)_{P, T, \xi_0} - RT \sum_i \Delta \nu_i \left(\frac{\partial \ln x_i}{\partial \xi}\right)_{P, T, \xi_0}, \quad (\text{VI.66})$$

где f_{0i} — коэффициент активности компонента i при термодинамическом равновесии. Молярная доля x_i по определению равна

$$x_i = n_i/n, \quad (\text{VI.67})$$

где n_i — число молей компонента i в объеме V , занимаемом системой; n — общее число молей вещества, заключенного в этом объеме, $n = \sum_i n_i$. Согласно (III.15)

$$\left(\frac{\partial n_i}{\partial \xi}\right)_{PT} = \Delta \nu_i; \quad \left(\frac{\partial n}{\partial \xi}\right)_{PT} = \sum_i \left(\frac{\partial n_i}{\partial \xi}\right)_{PT} = \sum_i \Delta \nu_i. \quad (\text{VI.68})$$

Здесь надо подчеркнуть, что соотношения (VI.68) справедливы для изменений чисел молей dn_i и dn во всем объеме среды. Для единицы объема среды они могут не выполняться, если реакция сопровождается изменением объема системы. Так, например, в ходе реакции $M_2 \rightarrow 2M_1$ изменение числа молекул во всей системе $dn = dn_1 + dn_2$, а в единице объема равно

$$\frac{n + dn}{V + dV} - \frac{n}{V} = \frac{Vdn - ndV}{V(V + dV)}. \quad (\text{VI.69})$$

Чтобы учесть это, следует воспользоваться соотношением

$$\left(\frac{\partial n}{\partial \xi}\right)_{PT} = \left(\frac{\partial n}{\partial V}\right)_{PT} \left(\frac{\partial V}{\partial \xi}\right)_{PT, \xi_0} = \frac{\Delta V}{V_M}, \quad (\text{VI.70})$$

где $V_M = (dV/dn)_{P, T, \xi_0}$ — средний молярный объем равновесного раствора; $V_M = \sum_i x_{0i} V_{Mi}$;

$$\Delta V = (\partial V / \partial \xi)_{P, T, \xi_0} \quad (\text{VI.71})$$

объемный эффект реакции (VI.18) в термодинамически равновесной системе при постоянстве P и T (изменение объема равновесной системы при изменении степени полноты реакции на единицу).

Пользуясь (VI.67) — (VI.68), преобразуем (VI.66), и для системы в целом будем иметь:

$$\left(\frac{\partial A}{\partial \xi}\right)_{P, T, \xi_0} = -RT \sum_i \frac{\Delta v_i}{f_{0i}} \left(\frac{\partial f_i}{\partial \xi}\right)_{P, T, \xi_0} - \frac{RT}{n_0} \left[\sum_i \frac{(\Delta v_i)^2}{x_{0i}} - \sum_i (\Delta v_i)^2 \right], \quad (\text{VI.72})$$

где индекс «0» характеризует равновесные значения коэффициента активности, молярной доли и общего числа молей в системе.

Если же воспользоваться (VI.70) и (VI.66), то

$$\begin{aligned} \left(\frac{\partial A}{\partial \xi}\right)_{P, T, \xi=0} = & -RT \sum_i \frac{\Delta v_i}{f_{0i}} \left(\frac{\partial f_i}{\partial \xi}\right)_{P, T, \xi=0} - RT \left[\sum_i \frac{(\Delta v_i)^2}{n_{0i}} - \right. \\ & \left. - \frac{1}{n_0} \left(\frac{\Delta V}{V_M}\right)^2 \right]. \end{aligned} \quad (\text{VI.73})$$

Таким образом, для расчета $(dA/d\xi)_{PT}$ в общем случае надо знать не только концентрации, но и коэффициенты активности веществ, участвующих в реакции (VI.18). Точнее, надо располагать сведениями о функциях $f_i = f_i(p, T, \xi)$ при состояниях системы, близких к термодинамическому равновесию.

Такая информация, как правило, отсутствует. Поэтому в качестве первого приближения, которое для многих задач достаточно, можно принять, что компоненты реакции образуют идеальный раствор. Тогда все коэффициенты активности равны единице, и их производные по ξ обращаются в нуль. Уравнения (VI.72) и (VI.73) принимают вид

$$\begin{aligned} \left(\frac{\partial A}{\partial \xi}\right)_{P, T, \xi_0} = & -\frac{RT}{n_0} \left[\sum_i \frac{(\Delta v_i)^2}{x_{0i}} - \sum_i (\Delta v_i)^2 \right] = \\ = & -RT \left[\sum_i \frac{(\Delta v_i)^2}{n_{0i}} - \frac{1}{n_0} \left(\frac{\Delta V}{V_M}\right)^2 \right]. \end{aligned} \quad (\text{VI.74})$$

Здесь надо сказать, что в идеальном растворе, строго говоря, объемный и тепловой эффекты реакции (VI.18) должны были бы быть равны нулю. В идеальном растворе, согласно статистико-механическим расчетам (см., например, [9]), взаимодействие между молекулами не ведет к изменению энергии системы. Полагая, что при отличных от нуля тепловом ΔH и объемном ΔV эффектах реакции (VI.18) раствор остается идеальным, считаем, что отклонениями свойств раствора от закона Рауля, обусловленными реакцией (VI.18), можно пренебречь. Опыт показывает, что при небольших величинах ΔH и ΔV , наблюдаемых в случае слабых химических взаимодействий, — это хорошее приближение к действительности.

В тех случаях, когда тепловые и объемные эффекты реакции (VI.18) велики, т. е. когда энергии образования химических связей имеют величины порядка 10^3 кДж/моль, замена активностей на концентрации представляет собой хотя и широко распространенное, но более грубое приближение. Впрочем, и в этих случаях результаты расчетов качественно согласуются с опытом.

§ 29. ВРЕМЯ РЕЛАКСАЦИИ ПРИ ПОСТОЯННЫХ ТЕМПЕРАТУРЕ И ДАВЛЕНИИ. ПРИМЕРЫ

Время релаксации τ_{TP} . Согласно (VI.50), (VI.59) и (VI.64) для неидеальных растворов уравнение, связывающее τ_{TP} с активностями веществ, участвующих в элементарной реакции, и стехиометрическими коэффициентами уравнения (VI.18), имеет вид

$$\tau_{PT}^{-1} = kV \prod_i a_{0i}^{\nu_i} \sum_i \Delta \nu_i \left(\frac{\partial \ln a_i}{\partial \xi} \right)_{T, P, \xi=0} \quad (VI.75)$$

где k — константа скорости прямой реакции (VI.18) в единице объема раствора. Множитель $k \prod_i a_{0i}^{\nu_i}$ можно заменить на равный ему множитель $k' \prod_i a_{0i}^{\nu_i}$ [см. (VI.50)], где k' — константа скорости обратной реакции (VI.18). Для неидеальных растворов, следовательно, нужно знать активности компонентов как функции степени полноты реакции ξ .

Если раствор идеален, то $a_i = x_i$. Тогда, согласно (VI.74):

$$\begin{aligned} \tau_{PT}^{-1} &= k_x V \prod_i x_{0i}^{\nu_i} \sum_i \Delta \nu_i \left(\frac{\partial \ln x_i}{\partial \xi} \right)_{T, P, \xi=0} = \\ &= k_x V \prod_i x_{0i}^{\nu_i} \left[\frac{(\Delta \nu_i)^2}{[n_{0i}]} - \frac{1}{n_0} \left(\frac{\Delta V_i}{V_M} \right)^2 \right] = k_c \prod_i c_{0i}^{\nu_i} \left[\frac{(\Delta \nu_i)^2}{c_{0i}} - \right. \\ &\quad \left. - \frac{1}{c_0} \left(\frac{\Delta V}{V_M} \right)^2 \right] = k_c \prod_i c_{0i}^{\nu_i} \left[\sum_i \frac{(\Delta \nu_i)^2}{c_{0i}} - \frac{(\sum_i \Delta \nu_i)^2}{c_0} \right], \quad (VI.76) \end{aligned}$$

где k_x — константа скорости прямой реакции (VI.18), если концентрации компонентов выражены в молярных долях; k_c — константа скорости этой реакции, если концентрации компонентов выражены в молях на единицу объема; $c_{0i} = n_{0i}/V$; $c_0 = n_0/V$. Уравнение (IV.76) справедливо для жидких и газообразных идеальных растворов.

Рассмотрим выражения τ_{PT}^{-1} для различных видов неколлективных элементарных реакций (VI.18) в идеальных растворах.

Элементарные реакции в прямом и обратном направлениях мономолекулярные:



В этом случае $\sum_i \Delta \nu_i = 0$. Элементарные события прямой и обратной реакции (VI.77) следует рассматривать, как самопроизвольные превращения молекул M_1 и M_2 , а не как результат их взаимодействий с другими частицами системы. Объемный эффект реакции равен нулю. Имеем:

$$\tau_{PT} = k_c c_{01} \left(\frac{1}{c_{01}} + \frac{1}{c_{02}} \right) = k'_c c_{02} \left(\frac{1}{c_{01}} + \frac{1}{c_{02}} \right) = k + k'. \quad (VI.78)$$

Здесь время релаксации не зависит от равновесных концентраций реагирующих веществ c_{01} и c_{02} . Так как реакция (VI.77) протекает без

изменения объема системы, то надо полагать, что изотермические времена релаксации при постоянном давлении и объеме в данном случае одинаковы, т. е. $\tau_{PT} = \tau_{VT}$. Доказательство этого будет дано в § 30.

Прямая элементарная реакция мономолекулярная, обратная элементарная реакция бимолекулярная:



Имеем: $\nu_1 = 1$; $\nu'_1 = 0$; $\nu_2 = \nu_3 = 0$; $\nu'_2 = \nu'_3 = 1$; $\sum_i \Delta \nu_i = 1$;

$$\tau_{PT}^{-1} = k_c \left(1 + \frac{c_{01}}{c_{02}} + \frac{c_{01}}{c_{03}} - \frac{c_{01}}{c_0} \right). \quad (\text{VI.80})$$

В частном случае, когда



$$\tau_{PT}^{-1} = k_c \left(1 + \frac{4c_{01}}{c_2} - \frac{c_1}{c_0} \right). \quad (\text{VI.82})$$

Для идеального газообразного раствора в этом случае справедливо равенство $\Delta V = V_m$.

Прямая и обратная элементарные реакции бимолекулярные:



где $\sum_i \Delta \nu_i = 0$. Объемный эффект реакции отсутствует.

$$\tau_{PT}^{-1} = k(c_{01} + c_{02}) + k'(c_{03} + c_{04}) = c_0 [k_1(x_1 + x_2) + k'(x_3 + x_4)]. \quad (\text{VI.84})$$

В этом случае $\tau_{PT} = \tau_{VT}$ (см. § 30). Изотермическое время релаксации обратно пропорционально c_0 , т. е. общему числу молей всех компонентов в единице объема системы.

Элементарные реакции, в ходе которых происходит одновременное взаимодействие большого числа молекул, будут рассмотрены в гл. IX.

§ 30. ВЛИЯНИЕ ВНЕШНИХ УСЛОВИЙ НА ВРЕМЯ РЕЛАКСАЦИИ

Частные производные сродства реакции. Вернемся к уравнению (VI.59) для времени релаксации

$$\tau_{xy}^{-1} = -L \left(\frac{\partial A}{\partial \xi} \right)_{x_0, y_0, \xi_0}. \quad (\text{VI.85})$$

Феноменологический коэффициент

$$L = \frac{kV}{RT} \prod_i a_{0i}^{\nu_i} \quad (\text{VI.86})$$

и частная производная сродства A по степени полноты реакции

$$\left(\frac{\partial A}{\partial \xi} \right)_{xy} \quad (\text{VI.87})$$

зависят от внешних переменных x и y , характеризующих условия, в которых идет релаксация системы. При малых отклонениях системы

от состояния равновесия зависимость L от x и y очень мала и ею можно пренебречь. Этого нельзя сказать о производной $(\partial A / \partial \xi)_{xy}$.

Изменим внешние условия релаксации системы. Будем поддерживать постоянными не x и y , а, например, z и y , где z — физическая величина, характеризующая состояние системы, отличающаяся от x и y . Тогда в уравнении (VI.85) вместо τ_{xy} должно фигурировать время релаксации при постоянных z и y , т. е. τ_{zy} ; вместо производной $(\frac{\partial A}{\partial \xi})_{xy}$ должна быть производная $(\partial A / \partial \xi)_{zy}$. Отношение времен релаксации τ_{xy} и τ_{zy} равно отношению этих производных:

$$\frac{\tau_{xy}}{\tau_{zy}} = \frac{(\partial A / \partial \xi)_{zy}}{(\partial A / \partial \xi)_{xy}} \quad (\text{VI.88})$$

Выведем уравнения, связывающие эти производные с теми свойствами системы, которые могут быть измерены.

Пусть $\mathcal{P} = \mathcal{P}(x, y, \xi)$ — термодинамический потенциал, характеристическая функция состояния системы, когда в качестве независимых переменных фигурируют x , y и ξ . Полный дифференциал

$$d\mathcal{P} = \pm X dx \pm Y dy - A d\xi. \quad (\text{VI.89})$$

Изменение порядка дифференцирования \mathcal{P} по x , y и ξ не влияет на результат, поэтому

$$\left(\frac{\partial A}{\partial x} \right)_{\xi y} = - \left(\frac{\partial^2 \mathcal{P}}{\partial \xi \partial x} \right)_y = - \left(\frac{\partial^2 \mathcal{P}}{\partial x \partial \xi} \right)_y = \mp \left(\frac{\partial X}{\partial \xi} \right)_{xy}. \quad (\text{VI.90})$$

Полный дифференциал сродства A имеет вид

$$dA = \left(\frac{\partial A}{\partial x} \right)_{\xi y} dx + \left(\frac{\partial A}{\partial y} \right)_{\xi x} dy + \left(\frac{\partial A}{\partial \xi} \right)_{xy} d\xi. \quad (\text{VI.91})$$

Отсюда следует, что

$$\left(\frac{\partial A}{\partial \xi} \right)_{zy} = \left(\frac{\partial A}{\partial \xi} \right)_{xy} + \left(\frac{\partial A}{\partial x} \right)_{\xi y} \left(\frac{\partial x}{\partial \xi} \right)_{zy}. \quad (\text{VI.92})$$

Отметим, что в качестве z может фигурировать не только термодинамическая координата, но и термодинамическая сила X , Y и т. п. Пользуясь уравнением (VI.90), получаем:

$$\left(\frac{\partial A}{\partial \xi} \right)_{zy} = \left(\frac{\partial A}{\partial \xi} \right)_{xy} \mp \left(\frac{\partial X}{\partial \xi} \right)_{xy} \left(\frac{\partial x}{\partial \xi} \right)_{zy}. \quad (\text{VI.93})$$

Примем, что y сохраняется постоянным, а x и ξ меняются так, что сродство A остается неизменным, $dA = 0$. Тогда из уравнения (VI.91) следует:

$$\left(\frac{\partial A}{\partial x} \right)_{\xi y} = - \left(\frac{\partial A}{\partial \xi} \right)_{xy} \left(\frac{\partial \xi}{\partial x} \right)_{Ay}. \quad (\text{VI.94})$$

Уравнение (VI.94) представляет интерес в тех случаях, когда $(\partial A / \partial \xi)_{xy}$ отлично от нуля.

Дифференцируя какую-либо функцию состояния $z = z(x, y, \xi)$ при этих же условиях, имеем:

$$\left(\frac{\partial z}{\partial x}\right)_{Ay} - \left(\frac{\partial z}{\partial x}\right)_{\xi y} = \left(\frac{\partial z}{\partial \xi}\right)_{xy} \left(\frac{\partial \xi}{\partial x}\right)_{Ay}. \quad (\text{VI.95})$$

Выберем теперь в качестве независимых переменных z, y и ξ и рассмотрим функцию $x = x(z, y, \xi)$. Дифференцируя x по z и ξ при условии постоянства y , получим:

$$dx = \left(\frac{\partial x}{\partial z}\right)_{y\xi} dz + \left(\frac{\partial x}{\partial \xi}\right)_{yz} d\xi. \quad (\text{VI.96})$$

При постоянстве A и y

$$\left(\frac{\partial x}{\partial x}\right)_{Ay} \equiv 1 = \left(\frac{\partial x}{\partial z}\right)_{y\xi} \left(\frac{\partial z}{\partial x}\right)_{Ay} + \left(\frac{\partial x}{\partial \xi}\right)_{yz} \left(\frac{\partial \xi}{\partial x}\right)_{Ay}. \quad (\text{VI.97})$$

Отсюда следует, что

$$\left(\frac{\partial x}{\partial z}\right)_{y\xi} \left(\frac{\partial z}{\partial x}\right)_{Ay} = 1 - \left(\frac{\partial x}{\partial \xi}\right)_{yz} \left(\frac{\partial \xi}{\partial x}\right)_{Ay}. \quad (\text{VI.98})$$

Влияние внешних условий на время релаксации. С помощью уравнений (VI.94) и (VI.97) преобразуем уравнение (VI.92) к виду, удобному для решения вопроса о зависимости времени релаксации от условий протекания процесса релаксации:

$$\begin{aligned} \left(\frac{\partial A}{\partial \xi}\right)_{zy} &= \left(\frac{\partial A}{\partial \xi}\right)_{xy} - \left(\frac{\partial A}{\partial \xi}\right)_{xy} \left(\frac{\partial \xi}{\partial x}\right)_{Ay} \left(\frac{\partial x}{\partial \xi}\right)_{yz} = \left(\frac{\partial A}{\partial \xi}\right)_{xy} \left[1 - \right. \\ &\quad \left. - \left(\frac{\partial \xi}{\partial x}\right)_{Ay} \left(\frac{\partial x}{\partial \xi}\right)_{yz}\right] = \left(\frac{\partial A}{\partial \xi}\right)_{xy} \left(\frac{\partial x}{\partial z}\right)_{y\xi} \left(\frac{\partial z}{\partial x}\right)_{Ay}. \end{aligned} \quad (\text{VI.99})$$

Подставляя (VI.99) в (VI.88), находим:

$$\begin{aligned} \frac{\tau_{xy}}{\tau_{zy}} &= \frac{(\partial A / \partial \xi)_{zy}}{(\partial A / \partial \xi)_{xy}} = \left(\frac{\partial z}{\partial x}\right)_{Ay} \left(\frac{\partial x}{\partial z}\right)_{\xi y} = 1 - \left(\frac{\partial x}{\partial \xi}\right)_{zy} \left(\frac{\partial \xi}{\partial x}\right)_{Ay} = 1 - \\ &\quad - \frac{(\partial x / \partial \xi)_{zy}}{(\partial x / \partial \xi)_{Ay}}. \end{aligned} \quad (\text{VI.100})$$

Рассмотрим физический смысл операторов $\left(\frac{\partial}{\partial x}\right)_A$ и $\left(\frac{\partial}{\partial x}\right)_\xi$. При разложении сродства A в ряд Тейлора берется производная A около точки термодинамического равновесия, где A постоянно и равно нулю. Поэтому оператор $\left(\frac{\partial}{\partial x}\right)_A$ здесь означает, что дифференцирование по x выполняется при условии, что система термодинамически равновесна. Оператор $\left(\frac{\partial}{\partial x}\right)_\xi$ обозначает дифференцирование при остановленной реакции (VI.18). Определяется «мгновенное» значение производной, когда период наблюдения за системой достаточно мал, чтобы изменением степени полноты ξ реакции (VI.18) можно было пренебречь.

Пусть β_T — изотермическая, а β_S — адиабатическая сжимаемость:

$$\beta_T = -\frac{1}{V} \left(\frac{\partial V}{\partial P}\right)_T; \quad (\text{VI.101})$$

$$\beta_S = - \frac{1}{V} \left(\frac{\partial V}{\partial P} \right)_S. \quad (\text{VI.102})$$

C_P и C_V — молярные теплоемкости при постоянном давлении или объеме соответственно:

$$C_P = \left(\frac{\partial Q}{\partial T} \right)_P = T \left(\frac{\partial S}{\partial T} \right)_P; \quad (\text{VI.103})$$

$$C_V = \left(\frac{\partial Q}{\partial T} \right)_V = T \left(\frac{\partial S}{\partial T} \right)_V. \quad (\text{VI.104})$$

Индекс «о» будет означать, что сжимаемость и теплоемкость системы определены в условиях термодинамического равновесия. Индексом « ∞ » будут обозначены величины сжимаемости и теплоемкостей, когда время, за которое производится их измерение, настолько мало, что реакцию (VI.18) можно считать «замороженной». Пользуясь уравнением (VI.100), получаем:

$$\frac{\tau_{PT}}{\tau_{VT}} = \frac{(\partial A / \partial \xi)_{VT}}{(\partial A / \partial \xi)_{PT}} = \left(\frac{\partial V}{\partial P} \right)_{AT} \left(\frac{\partial P}{\partial V} \right)_{\xi T} = \frac{\beta_T^\circ}{\beta_T^\infty}; \quad (\text{VI.105})$$

$$\frac{\tau_{PT}}{\tau_{PS}} = \frac{(\partial A / \partial \xi)_{PS}}{(\partial A / \partial \xi)_{PT}} = \left(\frac{\partial S}{\partial T} \right)_{AP} \left(\frac{\partial T}{\partial S} \right)_{\xi P} = \frac{C_P^\circ}{C_P^\infty}; \quad (\text{VI.106})$$

$$\frac{\tau_{VT}}{\tau_{VS}} = \frac{(\partial A / \partial \xi)_{VS}}{(\partial A / \partial \xi)_{VT}} = \left(\frac{\partial S}{\partial T} \right)_{AV} \left(\frac{\partial T}{\partial S} \right)_{\xi V} = \frac{C_V^\circ}{C_V^\infty}; \quad (\text{VI.107})$$

$$\frac{\tau_{PS}}{\tau_{VS}} = \frac{(\partial A / \partial \xi)_{VS}}{(\partial A / \partial \xi)_{PS}} = \left(\frac{\partial V}{\partial P} \right)_{AS} \left(\frac{\partial P}{\partial V} \right)_{\xi S} = \frac{\beta_S^\circ}{\beta_S^\infty}. \quad (\text{VI.108})$$

Расчет τ_{VT} . Согласно (VI.105)

$$\left(\frac{\partial A}{\partial \xi} \right)_{VT} = \left(\frac{\partial A}{\partial \xi} \right)_{PT} \left(1 + \frac{\delta \beta_T}{\beta_T^\infty} \right), \quad (\text{VI.109})$$

где

$$\delta \beta_T = \beta_T^\circ - \beta_T^\infty = - \frac{1}{V} \left[\left(\frac{\partial V}{\partial P} \right)_{AT} - \left(\frac{\partial V}{\partial P} \right)_{\xi T} \right]. \quad (\text{VI.110})$$

Воспользуемся уравнением (VI.95). Пусть $x = P$, $y = T$, $z = V$. Тогда уравнение (VI.95) примет следующую форму:

$$\left(\frac{\partial V}{\partial P} \right)_{AT} - \left(\frac{\partial V}{\partial P} \right)_{\xi T} = \left(\frac{\partial V}{\partial \xi} \right)_{PT} \left(\frac{\partial \xi}{\partial P} \right)_{AT}. \quad (\text{VI.111})$$

В этих обозначениях уравнения (VI.94) и (VI.90) имеют вид:

$$\left(\frac{\partial A}{\partial P} \right)_{\xi T} = - \left(\frac{\partial A}{\partial \xi} \right)_{PT} \left(\frac{\partial \xi}{\partial P} \right)_{AT}; \quad (\text{VI.112})$$

$$\left(\frac{\partial A}{\partial P} \right)_{\xi T} = - \left(\frac{\partial V}{\partial \xi} \right)_{PT}. \quad (\text{VI.113})$$

Используя уравнения (VI.111) — (VI.113), преобразуем (VI.110):

$$\beta_T^\circ - \beta_T^\infty = \delta\beta_T = -\frac{1}{V} \left(\frac{\partial V}{\partial \xi} \right)^2 \left(\frac{\partial \xi}{\partial A} \right)_{PT} = -\frac{1}{V} \frac{(\Delta V)^2}{(\partial A / \partial \xi)_{PT}}, \quad (\text{VI.114})$$

где ΔV — прирост объема системы при увеличении степени полноты реакции (VI.18) на единицу, т. е. объемный эффект этой реакции. Подставляя (VI.114) в (VI.109), находим:

$$\left(\frac{\partial A}{\partial \xi} \right)_{VT} = \left(\frac{\partial A}{\partial \xi} \right)_{PT} - \frac{1}{V} \frac{(\Delta V)^2}{\beta_T^\infty}. \quad (\text{VI.115})$$

Отсюда вытекает важный вывод. Если объемный эффект реакции (VI.18) ΔV равен нулю, то $(\partial A / \partial \xi)_{PT} = (\partial A / \partial \xi)_{VT}$ и, следовательно [см. (VI.105)], времена релаксации τ_{PT} и τ_{VT} , связанные с реакцией (VI.18), одинаковы.

Воспользуемся выражением (VI.74) производной $(dA/d\xi)_{PT}$, полученным для идеального раствора, тогда, так как $V = n_0 V_M$,

$$\left(\frac{\partial A}{\partial \xi} \right)_{VT, \xi=0} = -\frac{RT}{V} \left[\sum_i \frac{(\Delta v_i)^2}{c_{0i}} - \frac{(\Delta V)^2}{V_M} + \frac{(\Delta V)^2}{RT\beta_T^\infty} \right]. \quad (\text{VI.116})$$

Подставляя это уравнение в (IV.85) и учитывая (VI.86), напомним:

$$\tau_{VT}^{-1} = k_c \prod_i c_{0i}^{v_i} \left[\sum_i \frac{(\Delta v_i)^2}{c_{0i}} - \frac{1}{c_0} \left(\frac{\Delta V}{V_M} \right)^2 + \frac{(\Delta V)^2}{RT\beta_T^\infty} \right]. \quad (\text{VI.117})$$

Для идеального газа $PV = nRT$ и, следовательно,

$$\beta_T^\circ = \beta_T^\infty = \frac{V}{nRT}. \quad (\text{VI.118})$$

Поэтому

$$\left(\frac{\partial A}{\partial \xi} \right)_{V, T, \xi=0} = -\frac{RT}{V} \sum_i \frac{(\Delta v_i)^2}{c_{0i}} \quad (\text{VI.119})$$

и время релаксации τ_{VT} подчиняется соотношению

$$\tau_{VT}^{-1} = k_c \prod_i c_{0i}^{v_i} \sum_i \frac{(\Delta v_i)^2}{c_{0i}}. \quad (\text{VI.120})$$

§ 31. РЕЛАКСАЦИОННАЯ СИЛА И МЕХАНИЗМ РЕАКЦИИ

О методике определения τ_{xy} . Когда скорость $\bar{\xi}$ реакции (VI.18) велика, прямые определения $\bar{\xi}$ обычно неосуществимы. Скорость быстрой и сверхбыстрой реакции можно найти, изучая другие свойства системы — диэлектрическую проницаемость, поглощение звука и т. д. Пусть z обозначает такое свойство системы, которое зависит не только от x и y , но и от ξ . Производные z по x в равновесном и неравновесном состояниях неодинаковы:

$$\left(\frac{\partial z}{\partial x} \right)_{ly} \neq \left(\frac{\partial z}{\partial x} \right)_{\xi y}. \quad (\text{VI.121})$$

В этом неравенстве обе производные вычисляются при постоянной степени полноты реакции. В левой части неравенства ξ постоянно и равно нулю. В правой части фигурирует мгновенное значение производной в неравновесном состоянии системы, когда $\xi \neq 0$. Так как величина $(\partial z/\partial x)_y$ зависит от ξ , то поведение свойства системы z при изменении внешней переменной x и постоянстве другой внешней переменной y в принципе может служить источником сведений о реакции (VI.18).

Релаксационная сила. Согласно (VI.100)

$$\frac{(\partial z/\partial x)_{Ay}}{(\partial z/\partial x)_{\xi y}} = \frac{\tau_{xy}}{\tau_{yz}}. \quad (\text{VI.122})$$

Степень «чувствительности» свойства z к реакции (VI.18) в указанных условиях тем выше, чем сильнее неравенство $\tau_{yz} > \tau_{xy}$ или $\tau_{xy} > \tau_{yz}$, т. е. чем больше модуль следующих соотношений:

$$b = \left| \frac{(\partial z/\partial x)_{Ay} - (\partial z/\partial x)_{\xi y}}{(\partial z/\partial x)_{Ay}} \right| = \left| 1 - \frac{\tau_{yz}}{\tau_{xy}} \right|; \quad (\text{VI.123})$$

$$b_1 = \left| \frac{(\partial z/\partial x)_{Ay} - (\partial z/\partial x)_{\xi y}}{(\partial z/\partial x)_{\xi y}} \right| = \left| \frac{\tau_{xy}}{\tau_{yz}} - 1 \right|, \quad (\text{VI.124})$$

где b или b_1 называется релаксационной силой. Выбирается то из соотношений (VI.123), (VI.124), которое удобнее применять.

Термин «сила» здесь условен; b никак не связано с понятиями о механических, термодинамических или каких-либо иных силах. Если релаксационная сила равна нулю, связь между $(\partial z/\partial x)_y$ и ξ отсутствует. Величина релаксационной силы, как будет показано далее, связана с механизмом неколлективной реакции (VI.18).

Пусть, например, T и P — внешние переменные. Состояние неравновесной системы зависит от T , P и ξ . Предположим, что температура сохраняется постоянной, а давление меняется по воле экспериментатора. Это приводит к изменению объема V системы. Определение релаксационной силы сводится к измерению изотермической сжимаемости в равновесных условиях и в неравновесных, когда реакция (VI.18) «заморожена», так что степень полноты $\xi \neq 0$ и постоянна. В этом примере $x \equiv P$; $y \equiv T$; $z \equiv V$; $\tau_{xy} \equiv \tau_{PT}$; $\tau_{yz} \equiv \tau_{VT}$. Если объемный эффект реакции (VI.18) при постоянных T и P равен нулю, то, как было показано в § 30, $\tau_{PT} = \tau_{VT}$. Согласно (VI.105) в этом случае $\beta_T^\circ = \beta_T^\infty$, а это значит, что изотермическая сжимаемость системы не зависит от степени полноты реакции (VI.18). И наоборот, в тех случаях, когда $(\partial V/\partial \xi)_{PT} \neq 0$, согласно (VI.110), $\beta_T^\circ > \beta_T^\infty$ и, следовательно (см. VI.105), $\tau_{PT} > \tau_{VT}$. Если опыт показывает, что $\beta_T^\circ \neq \beta_T^\infty$, то механизм элементарной реакции (VI.18) должен быть таков, чтобы объемный эффект этой реакции отличался от нуля. Это должна быть реакция вида (VI.79). В тех же случаях, когда $\beta_T^\circ = \beta_T^\infty$, механизм реакции (VI.18) должен удовлетворять условию $\Delta V = 0$. Это может быть реакция вида (VI.77) или (VI.83). Информация о механизме реакции (VI.18) может быть уточнена и дополнена с помощью аналогичных исследований других свойств системы.

Итак, сведения о временах релаксации могут быть получены исследованиями таких свойств системы z , которые зависят от внешних переменных x и y , от степени полноты реакции ξ и времени t , поскольку в неравновесных системах ξ представляет собой функцию t . Остановимся на этом вопросе подробнее.

§ 32. ДИНАМИЧЕСКОЕ УРАВНЕНИЕ СОСТОЯНИЯ

Рассмотрим поведение свойства z неравновесной системы, в которой может идти элементарная реакция (VI.18). Состояние этой системы определяется независимыми переменными x , y , и ξ , так что $z = z(x, y, \xi)$. Поскольку система неравновесна, в общем случае все три переменные x , y и ξ зависят от времени t . Предположим, что зависимость внешних переменных x и y от t задана. Уравнение, связывающее производную по времени \dot{z} с \dot{x} и \dot{y} , называют динамическим уравнением состояния.

Разложим функцию $z = z(x, y, \xi)$ в ряд Тейлора в окрестности точки $x_0, y_0, \xi_0 = 0$, соответствующей состоянию термодинамического равновесия. Напомним, что при термодинамическом равновесии $\xi_0 = \xi_0(x_0, y_0)$, так что состояние системы определяется только двумя переменными x_0 и y_0 (индекс «0» отмечает равновесные значения переменных состояния). Уравнение $z_0 = z_0(x_0, y_0)$ в точке равновесия дает полное описание состояния системы. Для неравновесной системы уравнение $z = z(x, y)$ представляет собой не полное уравнение состояния. В линейном приближении имеем:

$$z - z_0 = \left(\frac{\partial z}{\partial \xi} \right)_{xy} \xi + \left(\frac{\partial z}{\partial x} \right)_{\xi y} (x - x_0) + \left(\frac{\partial z}{\partial y} \right)_{\xi x} (y - y_0). \quad (\text{VI.125})$$

Продифференцируем (VI.125) по времени t и получим:

$$\frac{d}{dt} (z - z_0) = \left(\frac{\partial z}{\partial \xi} \right)_{xy} \dot{\xi} + \left(\frac{\partial z}{\partial x} \right)_{\xi y} \frac{d}{dt} (x - x_0) + \left(\frac{\partial z}{\partial y} \right)_{\xi x} \frac{d}{dt} (y - y_0). \quad (\text{VI.126})$$

Согласно (VI.57) скорость реакции в линейном приближении равна:

$$\dot{\xi} = L \left[\left(\frac{\partial A}{\partial \xi} \right)_{xy} \xi + \left(\frac{\partial A}{\partial x} \right)_{\xi y} (x - x_0) + \left(\frac{\partial A}{\partial y} \right)_{\xi x} (y - y_0) \right]. \quad (\text{VI.127})$$

Преобразуем (VI.127) с помощью (VI.85) и (VI.94):

$$\dot{\xi} = -\frac{1}{\tau_{xy}} \left[\xi - \left(\frac{\partial \xi}{\partial x} \right)_{Ay} (x - x_0) - \left(\frac{\partial \xi}{\partial y} \right)_{Ax} (y - y_0) \right]. \quad (\text{VI.128})$$

Исключим ξ и $\dot{\xi}$ из (VI.125) и (VI.128). Для этого надо в (VI.126) заменить $\dot{\xi}$ на правую часть равенства (VI.128), после чего с помощью (VI.125) исключить ξ . Это дает:

$$\begin{aligned} \left(1 + \tau_{xy} \frac{d}{dt} \right) (z - z_0) = & \left[\left(\frac{\partial z}{\partial \xi} \right)_{xy} \left(\frac{\partial \xi}{\partial x} \right)_{Ay} + \left(\frac{\partial z}{\partial x} \right)_{\xi y} \left(1 + \tau_{xy} \frac{d}{dt} \right) \right] (x - x_0) \times \\ & \times \left[\left(\frac{\partial z}{\partial \xi} \right)_{xy} \left(\frac{\partial \xi}{\partial y} \right)_{Ax} + \left(\frac{\partial z}{\partial y} \right)_{\xi x} \left(1 + \tau_{xy} \frac{d}{dt} \right) \right] (y - y_0). \quad (\text{VI.129}) \end{aligned}$$

Меняя в (VI.95) x и y местами, имеем:

$$\left(\frac{\partial z}{\partial \xi}\right)_{xy} \left(\frac{\partial \xi}{\partial y}\right)_{Ax} = \left(\frac{\partial z}{\partial y}\right)_{Ax} - \left(\frac{\partial z}{\partial y}\right)_{\xi x}. \quad (\text{VI.130})$$

После подстановки (VI.95) и (VI.130) в (VI.129) находим:

$$\begin{aligned} \left(1 + \tau_{xy} \frac{d}{dt}\right) (z - z_0) = & \left[\left(\frac{\partial z}{\partial x}\right)_{Ay} + \left(\frac{\partial z}{\partial x}\right)_{\xi y} \tau_{xy} \frac{d}{dt}\right] (x - x_0) + \\ & + \left[\left(\frac{\partial z}{\partial y}\right)_{Ax} + \left(\frac{\partial z}{\partial y}\right)_{\xi x} \tau_{xy} \frac{d}{dt}\right] (y - y_0). \end{aligned} \quad (\text{VI.131})$$

Это соотношение и есть динамическое уравнение состояния интересующей нас системы. Уравнение (VI.131) представляет собой линейное разложение неполного уравнения состояния $z = z(x, y)$ около точки x_0, y_0 . Оно применимо не только для крайних случаев квазистатических и «мгновенных» процессов, но и для конечных скоростей реакции. Для квазистатических процессов все члены уравнения (VI.131), которые содержат дифференциальный оператор $\frac{d}{dt}$, могут быть отброшены. Тогда получим линейное разложение уравнения состояния системы, находящейся в полном термодинамическом равновесии $z = z(x_0, y_0)$:

$$z_{01} - z_{02} = \left(\frac{\partial z}{\partial x}\right)_{Ay} (x_{01} - x_{02}) + \left(\frac{\partial z}{\partial y}\right)_{Ax} (y_{01} - y_{02}). \quad (\text{VI.132})$$

Если, наоборот, состояние системы меняется быстро, то играют роль только члены, содержащие дифференциальный оператор $\frac{d}{dt}$, и уравнение (VI.131) также имеет вид статического уравнения состояния, но для данного момента времени с фиксированной («замороженной») реакцией [7].

Из уравнения (VI.100) следует:

$$\left(\frac{\partial z}{\partial x}\right)_{\xi y} = \frac{\tau_{yz}}{\tau_{xy}} \left(\frac{\partial z}{\partial x}\right)_{Ay} \quad (\text{VI.133})$$

и аналогичное соотношение для $(\partial z / \partial y)_{\xi x}$.

Подставим значения производных $(\partial z / \partial x)_{\xi y}$ и $(\partial z / \partial y)_{\xi x}$ в (IV.131):

$$\begin{aligned} \left(1 + \tau_{xy} \frac{d}{dt}\right) (z - z_0) = & \left(\frac{\partial z}{\partial x}\right)_{Ay} \left(1 + \tau_{yz} \frac{d}{dt}\right) (x - x_0) + \\ & + \left(\frac{\partial z}{\partial y}\right)_{Ax} \left(1 + \tau_{xz} \frac{d}{dt}\right) (y - y_0). \end{aligned} \quad (\text{VI.134})$$

Вычитая (VI.132) из (VI.134), имеем:

$$\tau_{xy} \frac{d}{dt} (z - z_0) = \left(\frac{\partial z}{\partial x}\right)_{Ay} \tau_{yz} \frac{d}{dt} (x - x_0) + \left(\frac{\partial z}{\partial y}\right)_{Ax} \tau_{xz} \frac{d}{dt} (y - y_0). \quad (\text{VI.135})$$

Если времена релаксации равны, т. е.

$$\tau_{xy} = \tau_{yz} = \tau_{xz}, \quad (\text{VI.136})$$

то (VI.135) представляет собой производную по времени от квазистатического уравнения состояния (VI.132). В квазистатическом состоянии

скорость реакции равна нулю. При равенстве времен релаксации уравнение (VI.135) не дает сведений о реакции (VI.18). Такие сведения, как уже было сказано в § 31, могут быть получены лишь при условии, что одно или оба равенства (VI.136) нарушаются.

Рассмотрим теперь динамическое уравнение состояния в частном, но очень важном для применений случае, когда внешние переменные x и y испытывают гармонические колебания, в результате которых в жидкости распространяются волны.

§ 33. ГАРМОНИЧЕСКИЕ ИЗМЕНЕНИЯ СОСТОЯНИЯ СИСТЕМЫ И РЕЛАКСАЦИЯ

Описание гармонических колебаний. При механических и электромагнитных воздействиях часто создаются такие возмущения системы, которые по форме близки к гармоническим колебаниям. Пусть независимые переменные x и y , а также их функция z в результате внешних воздействий испытывают гармонические колебания с круговой частотой $\omega = 2\pi\nu$, где ν — число колебаний в секунду, т. е. частота в герцах, например

$$x - x_0 = \Delta x = a_x \cos(\omega t + \varphi), \quad (\text{VI.137})$$

где a_x — амплитуда колебаний внешней переменной x (давления, напряженности электрического поля и т. п.); φ — начальная фаза колебаний. Уравнение (VI.137) можно представить в форме показательного выражения, если воспользоваться уравнением Эйлера:

$$e^{\alpha j} = \cos \alpha + j \sin \alpha, \quad (\text{VI.138})$$

где $j = \sqrt{-1}$; $\cos \alpha$ — вещественная часть комплексного показательного выражения

$$\cos \alpha = \operatorname{Re} [e^{\alpha j}]; \quad (\text{VI.139})$$

$\sin \alpha$ — коэффициент при мнимой части $e^{\alpha j}$,

$$\sin \alpha = \operatorname{Im} [e^{\alpha j}]. \quad (\text{VI.140})$$

Таким образом, (VI.137) можно переписать в следующей форме:

$$\Delta x = \operatorname{Re} [a_x e^{j(\omega t + \varphi)}] = \operatorname{Re} [\bar{a}'_x e^{j\omega t}], \quad (\text{VI.141})$$

где \bar{a}'_x — комплексная амплитуда, $\bar{a}'_x = a_x e^{j\varphi}$.

Модуль комплексной амплитуды совпадает с амплитудой гармонического колебания a_x , аргумент комплексной амплитуды равен начальной фазе колебаний φ . Математические операции с показательными функциями проще, чем с тригонометрическими. Если эти математические операции линейные, т. е. сводятся к сложению, умножению на постоянные коэффициенты, дифференцированию, интегрированию, то можно не указывать, что речь идет только о действительной части комплексного выражения, до тех пор, пока вычисления не проведены до конца. Когда в окончательном результате расчета такое указание отсутствует, оно подразумевается.

Оператор дифференцирования (VI.141) по времени заменяется умножением Δx на $j\omega$:

$$\frac{d}{dt} (x - x_0) = j\omega (x - x_0). \quad (\text{VI.142})$$

Динамическое уравнение состояния при гармонических возмущениях. При гармонических колебаниях переменных x , y и z динамическое уравнение состояния (VI.134) можно записать в следующей форме:

$$(1 + j\omega\tau_{xy}) (z - z_0) = \left(\frac{\partial z}{\partial x} \right)_{Ay} (1 + j\omega\tau_{yz}) (x - x_0) + \left(\frac{\partial z}{\partial y} \right)_{Ax} (1 + j\omega\tau_{xz}) (y - y_0). \quad (\text{VI.143})$$

Деля обе части этого уравнения на $1 + j\omega\tau_{xy}$, получим:

$$z - z_0 = \left(\frac{\partial z}{\partial x} \right)_{Ay} \frac{1 + j\omega\tau_{yz}}{1 + j\omega\tau_{xy}} (x - x_0) + \left(\frac{\partial z}{\partial y} \right)_{Ax} \frac{1 + j\omega\tau_{xz}}{1 + j\omega\tau_{xy}}. \quad (\text{VI.144})$$

Линейное разложение неполного уравнения состояния $z = z(x, y)$ по переменным x и y около точки x_0, y_0 в данном случае имеет вид

$$z - z_0 = \left(\frac{\partial z}{\partial x} \right)_y^r (x - x_0) + \left(\frac{\partial z}{\partial y} \right)_x^r (y - y_0). \quad (\text{VI.145})$$

Следовательно, $(\partial z / \partial x)_y^r$ и $(\partial z / \partial y)_x^r$ представляют собой эффективные коэффициенты неполного уравнения состояния при гармонических колебаниях внешних переменных. Будем называть их гармоническими коэффициентами. Индекс «г» указывает, что в системе распространяются гармонические колебания x и y . Таким образом:

$$\left(\frac{\partial z}{\partial x} \right)_y^r = \left(\frac{\partial z}{\partial x} \right)_{Ay} \frac{1 + j\omega\tau_{yz}}{1 + j\omega\tau_{xy}}; \quad (\text{VI.146})$$

$$\left(\frac{\partial z}{\partial y} \right)_x^r = \left(\frac{\partial z}{\partial y} \right)_{Ax} \frac{1 + j\omega\tau_{xz}}{1 + j\omega\tau_{xy}}. \quad (\text{VI.147})$$

Ограничимся описанием свойств уравнения (VI.146), так как уравнения (VI.146) и (VI.147) отличаются лишь индексами. Умножим числитель и знаменатель дроби в правой части уравнения (VI.146) на $1 - j\omega\tau_{xy}$. Этот прием позволяет разделить вещественную часть (VI.146) от мнимой. Получим:

$$\left(\frac{\partial z}{\partial x} \right)_y^r = \left(\frac{\partial z}{\partial x} \right)_{Ay} \left\{ \frac{1 + \omega^2 \tau_{xy} \tau_{yz}}{1 + \omega^2 \tau_{xy}^2} - j \frac{\omega (\tau_{xy} - \tau_{yz})}{1 + \omega^2 \tau_{xy}^2} \right\}, \quad (\text{VI.148})$$

где $(\partial z / \partial x)_y^r$ представляет собой комплексную функцию от действительной переменной ω . В ряде случаев удобно пользоваться нормализованными выражениями коэффициентов уравнения состояния. Нормализованный гармонический коэффициент при $(x - x_0)$ представляет собой безразмерную величину, определяемую соотношением

$$\left(\frac{\partial z}{\partial x} \right)_y^r / \left(\frac{\partial z}{\partial x} \right)_{Ay} = \alpha(\omega) - j\beta(\omega), \quad (\text{VI.149})$$

где

$$\alpha(\omega) = \frac{1 + \omega^2 \tau_{xy} \tau_{yz}}{1 + \omega^2 \tau_{xy}^2}; \quad \beta(\omega) = \frac{\omega(\tau_{xy} - \tau_{yz})}{1 + \omega^2 \tau_{xy}^2}. \quad (\text{VI.150})$$

Свойства нормализованного коэффициента определяются временами релаксации τ_{xy} , τ_{yz} и их отношением. Времена релаксации τ_{xy} и τ_{yz} , как было показано, — константы, зависящие от свойств среды, механизма реакции (VI.18) и внешних переменных. Частота ω задается экспериментатором. Она может меняться в интервале значений, обусловленном техническими возможностями опыта. Условимся считать «бесконечно большими» частоты ω , удовлетворяющие неравенствам:

$$\omega \gg \tau_{xy}^{-1}, \quad \omega \gg \tau_{yz}^{-1}. \quad (\text{VI.151})$$

Очень малыми условимся считать те частоты, для которых справедливы неравенства:

$$\omega \ll \tau_{xy}^{-1}; \quad \omega \ll \tau_{yz}^{-1}. \quad (\text{VI.152})$$

Примем для определенности, что $\tau_{xy} > \tau_{yz}$.

На рис. 41 представлена зависимость $\beta(\omega)$ от $\lg \omega$. График этой функции имеет форму колокола. Беря производную $\beta(\omega)$ по ω и приравнивая ее нулю, находим, что максимум $\beta(\omega)$ соответствует частоте

$$\omega_m = \tau_{xy}^{-1}, \quad (\text{VI.153})$$

где ω_m называется релаксационной частотой. $\beta(\omega_m)$ равно половине релаксационной силы b (VI.123):

$$\beta(\omega_m) = \frac{1}{2} \left(1 - \frac{\tau_{yz}}{\tau_{xy}} \right) = \frac{b}{2}. \quad (\text{VI.154})$$

Пользуясь выражением релаксационной силы b , перепишем уравнения (VI.150):

$$\alpha(\omega) = \frac{1 + \omega^2 \tau_{xy}^2 (1 - b)}{1 + \omega^2 \tau_{xy}^2}; \quad (\text{VI.155})$$

$$\beta(\omega) = b \frac{\omega \tau_{xy}}{1 + \omega^2 \tau_{xy}^2}. \quad (\text{VI.156})$$

Согласно (VI.156) величины $\beta(\omega) = \frac{1}{2} \beta(\omega_m) = \frac{b}{4}$ наблюдаются при двух частотах ω_1 и ω_2 , которые подчиняются соотношениям:

$$\omega_1 : \omega_m : \omega_2 = (2 - \sqrt{3}) : 1 : (2 + \sqrt{3}) = 0,268 : 1 : 3,732; \quad (\text{VI.157})$$

$$\omega_2 / \omega_1 = (2 + \sqrt{3}) / (2 - \sqrt{3}) = 13,9.$$

Эти отношения частот выполняются только для тех систем, где протекает простой релаксационный процесс, т. е. такой, для описания которого при заданных внешних переменных x и y достаточно одного значения времени релаксации τ_{xy} . Релаксационная сила в этих условиях определяется выбором переменной z .

На рис. 42 изображена зависимость $\alpha(\omega)$ от $\lg \omega$. Когда $\tau_{xy} > \tau_{yz}$, величина $\alpha(\omega)$ уменьшается с ростом частоты. Если $\tau_{xy} < \tau_{yz}$, величина $\alpha(\omega)$ возрастает с увеличением частоты. Значение α при $\omega \rightarrow$

$\rightarrow 0$, т. е. в равновесных условиях, равно $\alpha(0) = 1$. Разность между равновесной и «мгновенной» предельными величинами $\alpha(\infty)$ равна:

$$|\alpha(0) - \alpha(\infty)| = b. \quad (\text{VI.158})$$

Частоте $\omega_m = \tau_{xy}^{-1}$ соответствует половина «ступеньки», изображенной на рис. 42:

$$|\alpha(0) - \alpha(\omega_m)| = b/2. \quad (\text{VI.159})$$

При простом релаксационном процессе отклонению $\alpha(\omega)$ от равновесного значения на одну десятую часть релаксационной силы, согласно (VI.155), должна соответствовать частота $\omega' = \frac{1}{3} \omega_m$; на одну четвертую релаксационной силы — частота $\omega'' = \frac{\sqrt{3}}{3} \omega_m$; на три четверти релаксационной силы — частота $\omega''' = \sqrt{3} \omega_m$; на $9b/10$ — частота

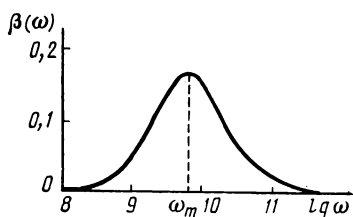


Рис. 41. График зависимости $\beta(\omega)$ уравнения (VI.156) от $\lg \omega$
 $\tau_{xy} = 1,5 \cdot 10^{-10}$ с; $\tau_{yz} = 1 \times 10^{-10}$ с

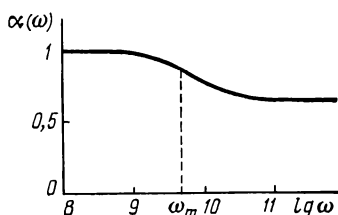


Рис. 42. График зависимости $\alpha(\omega)$ уравнения (VI.155) от $\lg \omega$; $\tau_{xy} = 1,5 \cdot 10^{-10}$ с; $\tau_{yz} = 1 \cdot 10^{-10}$ с

$\omega''' = 3\omega_m$. Следовательно, при одиночном релаксационном процессе:

$$\omega''''/\omega' = 9; \quad \omega'''/\omega'' = 3. \quad (\text{VI.160})$$

Из (VI.160) следует, что примерно 90% дисперсии при простом релаксационном процессе наблюдается в интервале частот, где ω изменяется на порядок. В дальнейшем будет показано, что в системах, где одновременно протекает несколько простых релаксационных процессов с близкими по величине временами релаксации τ_{xy} , отношения (VI.160) всегда увеличиваются.

Таким образом, исследование частотной зависимости гармонического нормализованного коэффициента состояния позволяет установить, с какой степенью точности можно принять, что в системе, выведенной из термодинамического равновесия, будет протекать одиночный релаксационный процесс. В последнем случае по данным об одной лишь действительной части $\alpha(\omega)$ или только лишь о коэффициенте $\beta(\omega)$ при мнимой части комплексной функции (VI.149) можно определить время релаксации τ_{xy} и релаксационную силу b , что эквивалентно отысканию τ_{yz} . Каждое из соотношений (VI.155) и (VI.156), в принципе, содержит полную информацию о простом релаксационном процессе.

Если $\tau_{yz} = \tau_{xy}$, то во всей области частот $\alpha(\omega) = 1$ и $\beta(\omega) = 0$. Это значит, что свойство z выбрано неудачно — исследование частотной зависимости z не дает возможности изучать релаксацию, обусловленную реакцией (VI.18).

Тригонометрическая форма гармонического коэффициента состояния. Алгебраическое выражение (VI.149) после преобразования к тригонометрической форме имеет вид

$$\left(\frac{\partial z}{\partial x}\right)_y^r / \left(\frac{\partial z}{\partial x}\right)_{Ay} = \frac{1 + \tau_{yz} \tau_{xy}}{2} + \rho (\cos t - \rho j \sin t), \quad (\text{VI.161})$$

где ρ — модуль комплексной части нормализованного коэффициента:

$$\rho = \frac{1}{2} (1 - \tau_{yz} \tau_{xy}) = \frac{b}{2}; \quad (\text{VI.162})$$

t — главное значение аргумента $t + 2\pi r$ комплексного числа, соответствующего частоте ω :

$$\cos t = \frac{1 - \omega^2 \tau_{xy}^2}{1 + \omega^2 \tau_{xy}^2}; \quad (\text{VI.163})$$

$$\sin t = \frac{2\omega \tau_{xy}}{1 + \omega^2 \tau_{xy}^2}. \quad (\text{VI.164})$$

Если $t = 0$, то

$$(\partial z / \partial x)^r = (\partial z / \partial x)_{Ay}. \quad (\text{VI.165})$$

Если $t = \pi$, то

$$\left(\frac{\partial z}{\partial x}\right)_y^r = \left(\frac{\partial z}{\partial x}\right)_{Ay} \frac{\tau_{yz}}{\tau_{xy}} = \left(\frac{\partial z}{\partial x}\right)_{\xi y}. \quad (\text{VI.166})$$

Введем обозначения:

$$\begin{aligned} \left(\frac{\partial z}{\partial x}\right)_y^{r'} &= \left(\frac{\partial z}{\partial x}\right)_{Ay} \left(\frac{1 + \tau_{yz} \tau_{xy}}{2} + \rho \cos t\right); \\ \left(\frac{\partial z}{\partial x}\right)_y^{r''} &= \left(\frac{\partial z}{\partial x}\right)_{Ay} \rho \sin t, \end{aligned} \quad (\text{VI.167})$$

где $(\partial z / \partial x)_y^{r'}$ — действительная часть гармонического коэффициента состояния; $(\partial z / \partial x)_y^{r''}$ — коэффициент при мнимой части. Воспользуемся геометрическим представлением комплексной функции на плоскости с помощью прямоугольной системы координат. Отложим по оси x величины $(\partial z / \partial x)_y^{r'}$, а по оси y величины $(\partial z / \partial x)_y^{r''}$.

Как мы условились, $\tau_{xy} > \tau_{yz}$, следовательно, $\rho > 0$, $\sin t = \frac{\beta(\omega)}{\rho}$ положителен и t может принимать лишь те значения, которые находятся в интервале $0 \leq t \leq \pi$. Поэтому геометрический образ нормализованного гармонического коэффициента состояния представляет собой полуокружность радиуса $b/2$, центр которой располагается на действительной оси на расстоянии от начала координат, равном $(1 + \tau_{yz} / \tau_{xy})/2$, как это показано на рис. 43. Диаграмма, изображенная на этом

рисунке, называется в теории комплексных функций диаграммой Ар-гана (1806), хотя в 1799 г. она уже применялась Гауссом. При геометрическом описании свойств диэлектриков, подвергающихся воздействию радиоволн, возможно, впервые этой диаграммой пользовались К. С. Коул и Р. Т. Коул (1941 г.). Поэтому в литературе по теории диэлектриков ее часто называют диаграммой Коула — Коула. Если $\tau_{yz} > \tau_{xy}$, то $\rho < 0$ и диаграмма нормализованного гармонического коэффициента состояния имеет вид, изображенный на рис. 44.

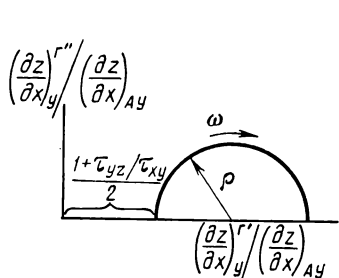


Рис. 43. Геометрический образ нормализованного гармонического коэффициента состояния $\left(\frac{\partial z}{\partial x}\right)_y^r / \left(\frac{\partial z}{\partial x}\right)_{Ay}$ при $\tau_{xy} > \tau_{yz}$: $(1 + \tau_{yz}/\tau_{xy})/2$ — расстояние от начала координат до центра полу-окружности

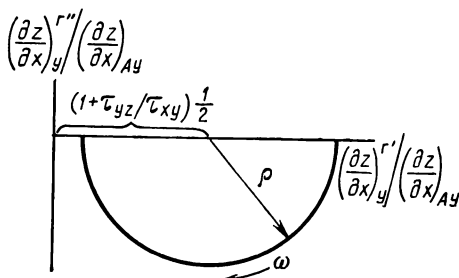


Рис. 44. Геометрический образ нормализованного гармонического коэффициента состояния $\left(\frac{\partial z}{\partial x}\right)_y^r / \left(\frac{\partial z}{\partial x}\right)_{Ay}$ при $\tau_{xy} < \tau_{yz}$ [случай одной реакции (VI.161)]

Гармонический коэффициент состояния и его предельные значения. Приведем одно важное соотношение, связывающее гармонический коэффициент состояния $\left(\frac{\partial z}{\partial x}\right)_y^r$ с релаксационной силой b . Уравнение (VI.148) с помощью (VI.133) после простых преобразований дает:

$$\left(\frac{\partial z}{\partial x}\right)_y^{r'} = \left(\frac{\partial z}{\partial x}\right)_{\xi y} + \frac{\left(\frac{\partial z}{\partial x}\right)_{Ay} - \left(\frac{\partial z}{\partial x}\right)_{\xi y}}{1 + \omega^2 \tau_{xy}^2}; \quad (\text{VI.168})$$

$$\left(\frac{\partial z}{\partial x}\right)_y^{r''} = \left[\left(\frac{\partial z}{\partial x}\right)_{Ay} - \left(\frac{\partial z}{\partial x}\right)_{\xi y}\right] \frac{\omega \tau_{xy}}{1 + \omega^2 \tau_{xy}^2}. \quad (\text{VI.169})$$

Эти уравнения устанавливают связь между действительной или мнимой частью гармонического коэффициента состояния и предельными значениями гармонического коэффициента, мгновенному $\left(\frac{\partial z}{\partial x}\right)_{\xi y}$ и равновесному $\left(\frac{\partial z}{\partial x}\right)_{Ay}$. Соответственно, выражение $\left(\frac{\partial z}{\partial x}\right)_y^r$ можно записать в следующей, часто употребляемой форме:

$$\left(\frac{\partial z}{\partial x}\right)_y^r = \left(\frac{\partial z}{\partial x}\right)_y^{r'} + i \left(\frac{\partial z}{\partial x}\right)_y^{r''} = \left(\frac{\partial z}{\partial x}\right)_{\xi y} + \frac{\left(\frac{\partial z}{\partial x}\right)_{Ay} - \left(\frac{\partial z}{\partial x}\right)_{\xi y}}{1 + j\omega \tau_{xy}}. \quad (\text{VI.170})$$

§ 34. СВЯЗИ МЕЖДУ РЕЛАКСАЦИОННЫМИ СИЛАМИ И ТЕРМОДИНАМИЧЕСКИМИ ХАРАКТЕРИСТИКАМИ РЕАКЦИИ

Термодинамические характеристики реакции. Одна из термодинамических характеристик реакции — объемный эффект $\Delta V = (dV/d\xi)_{PT}$ уже упоминалась в § 30. ΔV — изменение объема системы при изменении степени полноты реакции на единицу в условиях постоянства температуры и давления. Аналогично определяются «тепловой эффект» при постоянном объеме $\Delta U = (dU/d\xi)_{VT}$ и постоянном давлении $\Delta H = (dH/d\xi)_{PT}$, где U — внутренняя энергия, а H — энтальпия системы. Рассматриваются также изменения энтропии системы, когда реакция (VI.18) протекает при постоянном давлении $\Delta S_P = (dS/d\xi)_{PT}$ или при постоянном объеме $\Delta S_V = (dS/d\xi)_{VT}$. Так как $G = H - TS$, то связь между энергетическими и энтропийными эффектами реакции при постоянном давлении имеет вид

$$\left(\frac{\partial G}{\partial \xi}\right)_{PT} = \left(\frac{\partial H}{\partial \xi}\right)_{PT} - T \left(\frac{\partial S}{\partial \xi}\right)_{PT}. \quad (\text{VI.171})$$

При описании процесса релаксации химическое уравнение состояния разлагалось в ряд около точки, соответствующей термодинамическому равновесию. В этом случае $(dG/d\xi)_{PT} = 0$. Связь между ΔH и ΔS_P можно выразить так:

$$\Delta H = T \Delta S_P. \quad (\text{VI.172})$$

Дифференцируя по ξ известное соотношение для свободной энергии системы $F = U - TS$ и полагая $(dF/d\xi)_{VT} = 0$, имеем:

$$\Delta U = T \Delta S_V. \quad (\text{VI.173})$$

Следует подчеркнуть, что рассматриваемые здесь термодинамические характеристики реакции относятся к состоянию термодинамического равновесия. Они не совпадают с изменениями объемов, энтальпий и других термодинамических свойств жидких фаз, когда реакция (VI.18) протекает в неравновесных условиях. В частности, когда система неравновесна, соотношения $(dG/d\xi)_{PT} = \Delta G = 0$ и $(dF/d\xi)_{VT} = \Delta F = 0$ не выполняются.

Приведем некоторые из соотношений между релаксационными силами и термодинамическими характеристиками реакции при допущении, что влиянием внешних полей на систему можно пренебречь.

Изотермическая релаксация объема. Этот вопрос уже обсуждался в § 31. Пусть система, в которой протекает реакция (VI.18), находится в термостате, так что $y = T = \text{const}$. Примем, что внешняя переменная x — давление P . Измеряется объем системы, $z = V$. В этом случае релаксационная сила

$$b_{PT} = 1 - \frac{\tau_{VT}}{\tau_{PT}} = 1 - \frac{\beta_T^\infty}{\beta_T^0} = \frac{\delta \beta_T}{\beta_T^0}, \quad (\text{VI.174})$$

где $\delta \beta_T = \beta_T^0 - \beta_T^\infty$. Пользуясь (VI.114), получаем:

$$b_{PT} = - \frac{1}{V \beta_T^0} \frac{(\Delta V)^2}{(\partial A / \partial \xi)_{PT}}. \quad (\text{VI.175})$$

При изотермической релаксации объема релаксационная сила пропорциональна квадрату изотермического объемного эффекта реакции и не зависит от ΔH или ΔU .

Изотермическая релаксация давления. В этом случае $y = T$, $x = V$, $z = P$. Релаксационная сила b_{VT} равна:

$$b_{VT} = \left| 1 - \frac{\tau_{PT}}{\tau_{VT}} \right| = \frac{\tau_{PT}}{\tau_{VT}} - 1 = - \frac{1}{V \beta_T^\infty} \frac{(\Delta V)^2}{(\partial A / \partial \xi)_{PT}} = \frac{\beta_T^0}{\beta_T^\infty} b_{PT}, \quad (\text{VI.176})$$

так как $\tau_{PT} > \tau_{VT}$.

Изобарическая релаксация температуры. Пусть $y = P$, $x = S$ и $z = T$. Тогда релаксационная сила b_{PS} равна:

$$b_{PS} = \left| 1 - \frac{\tau_{PT}}{\tau_{PS}} \right| = \frac{C_P^0}{C_P^\infty} - 1 = \frac{\delta C_P}{C_P^\infty}, \quad (\text{VI.177})$$

где $\delta C_P = C_P^0 - C_P^\infty$ — разность между равновесными и мгновенными величинами молярной теплоемкости при постоянном давлении:

$$\delta C_P = \frac{T}{n} \left[\left(\frac{\partial S}{\partial T} \right)_{AP} - \left(\frac{\partial S}{\partial T} \right)_{\xi P} \right]. \quad (\text{VI.178})$$

Согласно уравнению (VI.95)

$$\left(\frac{\partial S}{\partial T} \right)_{AP} - \left(\frac{\partial S}{\partial T} \right)_{\xi P} = \left(\frac{\partial S}{\partial \xi} \right)_{PT} \left(\frac{\partial \xi}{\partial T} \right)_{AP}, \quad (\text{VI.179})$$

если $z = S$; $x = T$; $y = P$.

Соответственно, уравнения (VI.94) и (VI.89) принимают следующую форму:

$$\left(\frac{\partial A}{\partial T} \right)_{\xi P} = - \left(\frac{\partial A}{\partial \xi} \right)_{PT} \left(\frac{\partial \xi}{\partial T} \right)_{AP}; \quad (\text{VI.180})$$

$$\left(\frac{\partial A}{\partial T} \right)_{\xi P} = \left(\frac{\partial S}{\partial \xi} \right)_{PT} = \Delta S_P. \quad (\text{VI.181})$$

Используя уравнения (VI.178) — (VI.181), получаем:

$$\delta C_P = - \frac{T}{n_0} \frac{(\Delta S_P)^2}{(\partial A / \partial \xi)_{PT}, \xi=0} \quad (\text{VI.182})$$

или, учитывая (VI.172),

$$\delta C_P = - \frac{(\Delta H)^2}{n_0 T (\partial A / \partial \xi)_{PT}, \xi=0}. \quad (\text{VI.183})$$

Таким образом,

$$b_{PS} = - \frac{(\Delta H)^2}{n_0 T C_P^\infty (\partial A / \partial \xi)_{PT}, \xi=0}. \quad (\text{VI.184})$$

Изохорическая релаксация температуры. Полагая $y = V$, $x = S$ и $z = T$ и проводя такие же расчеты, как и для b_{PS} , напишем:

$$b_{VS} = \left| 1 - \frac{\tau_{VT}}{\tau_{VS}} \right| = \frac{C_V^0}{C_V^\infty} - 1 = \frac{\delta C_V}{C_V^\infty} = - \frac{T}{n_0 C_V^\infty} \frac{(\Delta S_V)^2}{(\partial A / \partial \xi)_{VT}, \xi=0}. \quad (\text{VI.185})$$

С помощью (VI.109) и (VI.173) находим:

$$b_{VS} = - \frac{T}{n_0 C_V^\infty} \frac{\beta_T^\infty (\Delta S_V)^2}{\beta_T^\circ (\partial A / \partial \xi)_{PT, \xi=0}} = - \frac{\beta_T^\infty}{n^\circ T C_V^\infty \beta_T^\circ} \frac{(\Delta U)^2}{(\partial A / \partial \xi)_{PT, \xi=0}}. \quad (\text{VI.186})$$

Адиабатическая релаксация объема. Допустим, что релаксация объема, связанная с реакцией (VI.18), происходит при постоянстве энтропии системы, т. е. в адиабатических условиях. Полагая $y = S$, $x = P$, и $z = V$, получаем:

$$b_{PS} = 1 - \frac{\tau_{VS}}{\tau_{PS}} = 1 - \frac{\beta_S^\infty}{\beta_S^\circ} = \frac{\delta \beta_S}{\beta_S^\circ}, \quad (\text{VI.187})$$

где β_S° и β_S^∞ — равновесное и мгновенное значения адиабатической сжимаемости системы. Выполняя преобразования, аналогичные тем, которые приведены выше, придем к следующему уравнению:

$$\begin{aligned} \delta \beta_S &= - \frac{1}{V} \left(\frac{\partial V}{\partial \xi} \right)_{PS} \left(\frac{\partial \xi}{\partial P} \right)_{AS} = \frac{1}{V} \left(\frac{\partial V}{\partial \xi} \right)_{PS} \left(\frac{\partial A}{\partial P} \right)_{\xi S} \left(\frac{\partial \xi}{\partial A} \right)_{PS} = \\ &= - \frac{1}{V} \left(\frac{\partial V}{\partial \xi} \right)_{PS}^2 \left(\frac{\partial \xi}{\partial A} \right)_{PS} = - \frac{C_P^\infty}{V C_P^\circ} \frac{(\partial V / \partial \xi)_{PS}^2}{(\partial A / \partial \xi)_{PT, \xi=0}}. \end{aligned} \quad (\text{VI.188})$$

Поскольку $(\partial A / \partial \xi)_{PT, \xi=0}$ всегда отрицательно, величины $\delta \beta_T$, $\delta \beta_S$, δC_P и δC_V всегда положительны. Выражение (VI.188) неудобно для сопоставления с опытом. Адиабатический объемный эффект реакции $(\partial V / \partial \xi)_{PS}$ целесообразно выразить через более доступные опыту изотермические производные. Так как в рассматриваемой нами системе $V = V(T, P, \xi)$, то

$$dV = \left(\frac{\partial V}{\partial P} \right)_{\xi T} dP + \left(\frac{\partial V}{\partial T} \right)_{\xi P} dT + \left(\frac{\partial V}{\partial \xi} \right)_{PT} d\xi. \quad (\text{VI.189})$$

Отсюда следует:

$$\left(\frac{\partial V}{\partial \xi} \right)_{PS} = \left(\frac{\partial V}{\partial \xi} \right)_{PT} + \left(\frac{\partial V}{\partial T} \right)_{\xi P} \left(\frac{\partial T}{\partial \xi} \right)_{PS}. \quad (\text{VI.190})$$

Пользуясь уравнением $T = T(S, P, \xi)$, вычисляя производную $(\partial T / \partial \xi)_{TP} \equiv 0$ и подставляя результат в (VI.190), находим:

$$\left(\frac{\partial V}{\partial \xi} \right)_{PS} = \left(\frac{\partial V}{\partial \xi} \right)_{PT} - \left(\frac{\partial V}{\partial \xi} \right)_{\xi P} \left(\frac{\partial T}{\partial S} \right)_{P\xi} \left(\frac{\partial S}{\partial \xi} \right)_{TP} = \Delta V - \frac{V_M T \theta^\infty}{C_P^\infty} \Delta S_P, \quad (\text{VI.191})$$

где θ^∞ — мгновенный коэффициент теплового расширения

$$\theta^\infty = \frac{1}{V} \left(\frac{\partial V}{\partial T} \right)_{\xi P}. \quad (\text{VI.192})$$

Подставим (VI.191) в (VI.188):

$$\delta \beta_S = - \frac{C_P^\infty}{V C_P^\circ} \left[\Delta V - \frac{V_M T \theta^\infty}{C_P^\infty} \Delta S_P \right]^2 / \left(\frac{\partial A}{\partial \xi} \right)_{PT, \xi=0}. \quad (\text{VI.193})$$

Теперь получим выражение, связывающее $\delta\beta_S$ с равновесным изотермическим коэффициентом расширения θ° . Учитывая, что

$$\left(\frac{\partial V}{\partial \xi}\right)_{PS} = \left(\frac{\partial V}{\partial A}\right)_{PS} \left(\frac{\partial A}{\partial \xi}\right)_{PS}, \quad (\text{VI.194})$$

преобразуем (VI.187) к следующему виду:

$$\delta\beta_S = -\frac{1}{V} \left(\frac{\partial V}{\partial A}\right)_{PS}^2 \left(\frac{\partial A}{\partial \xi}\right)_{PS} = \frac{C_P^\circ}{VC_P^\infty} \left(\frac{\partial V}{\partial A}\right)_{PS} \left(\frac{\partial A}{\partial \xi}\right)_{PT, \xi=0}. \quad (\text{VI.195})$$

Рассмотрим теперь функции $V = V(T, P, A)$ и $T = T(S, P, A)$. Производя преобразования, подобные тем, которые были выполнены при выводе уравнения (VI.191), получим:

$$\left(\frac{\partial V}{\partial A}\right)_{PS} = \left(\frac{\partial V}{\partial A}\right)_{PT} + \left(\frac{\partial V}{\partial T}\right)_{AP} \left(\frac{\partial T}{\partial A}\right)_{PS}, \quad (\text{VI.196})$$

$$\left(\frac{\partial T}{\partial A}\right)_{PS} = -\left(\frac{\partial T}{\partial S}\right)_{PA} \left(\frac{\partial S}{\partial A}\right)_{PT}; \quad (\text{VI.197})$$

$$\left(\frac{\partial V}{\partial A}\right)_{PS} = \left(\frac{\partial V}{\partial A}\right)_{AP} \left(\frac{\partial T}{\partial S}\right)_{AP} \left(\frac{\partial S}{\partial A}\right)_{PT} = \left(\frac{\partial V}{\partial A}\right)_{PT} - \frac{V_M T \theta^\circ}{C_P^\circ} \left(\frac{\partial S}{\partial A}\right)_{PT}. \quad (\text{VI.198})$$

Имеем:

$$\left(\frac{\partial V}{\partial A}\right)_{PT} = \left(\frac{\partial V}{\partial \xi}\right)_{PT} \left(\frac{\partial \xi}{\partial A}\right)_{PT}; \quad (\text{VI.199})$$

$$\left(\frac{\partial S}{\partial A}\right)_{PT} = \left(\frac{\partial S}{\partial \xi}\right)_{PT} \left(\frac{\partial \xi}{\partial A}\right)_{PT}. \quad (\text{VI.200})$$

Пользуясь (VI.198) — (VI.200) и (VI.195), придем к уравнению

$$\delta\beta_S = -\frac{C_P^\circ}{VC_P^\infty} \left(\Delta V - \frac{V_M T \theta^\circ}{C_P^\circ} \Delta S_P\right)^2 / \left(\frac{\partial \xi}{\partial A}\right)_{PT, \xi=0}. \quad (\text{VI.201})$$

Таким образом, выражение для релаксационной силы при адиабатической релаксации b_{PS} :

$$b_{PS} = \frac{\delta\beta_S}{\beta_S^\circ} = -\frac{C_P^\circ}{VC_P^\infty \beta_S^\circ \left(\frac{\partial A}{\partial \xi}\right)_{PT}} \left(\Delta V - \frac{V_M T \theta^\circ}{C_P^\circ} \Delta S_P\right)^2. \quad (\text{VI.202})$$

Выполним теперь следующие преобразования. Воспользуемся термодинамическими соотношениями:

$$\beta_T = \beta_S \frac{C_P}{C_V}; \quad (\text{VI.203})$$

$$\beta_T = \beta_S + \frac{V_M T \theta^2}{C_P}. \quad (\text{VI.204})$$

Комбинируя (VI.203) и (VI.204), имеем:

$$\beta_S = \frac{V_M T \theta^2 C_V}{C_P (C_P - C_V)}. \quad (\text{VI.205})$$

Примем в (VI.205) $\beta_S = \beta_S^\circ$, $C_V = C_V^\circ$, $C_P = C_P^\circ$, $\theta = \theta^\circ$. Подставим значение β_S° из (VI.205) в (VI.202) и выразим производную $(\partial A / \partial \xi)_{PT}$ через δC_P с помощью уравнения (VI.182):

$$b_{PS} = \frac{(C_P^\circ - C_V^\circ) \delta C_P}{C_P^\circ C_V^\circ} \left(1 - \frac{C_P^\circ}{V_M T \theta^\circ} \frac{\Delta V}{\Delta S_P} \right)^2. \quad (\text{VI.206})$$

При термодинамическом равновесии $\Delta S_P^\circ = \Delta H / T$, поэтому

$$b_{PS} = \frac{(C_P^\circ - C_V^\circ) \delta C_P}{C_P^\circ C_V^\circ} \left(1 - \frac{C_P^\circ}{V_M \theta^\circ} \frac{\Delta V}{\Delta H} \right)^2. \quad (\text{VI.207})$$

Это уравнение устанавливает связь между адиабатической релаксационной силой и величинами δC_P , ΔV и ΔH .

С помощью уравнений (VI.114), и (VI.205) выражение (VI.206) преобразуется к виду

$$b_{PS} = \frac{C_P^\circ}{C_P^\infty} \left\{ \left(\frac{\delta \beta_T}{\beta_S} \right)^{1/2} - \left[(\gamma - 1) \frac{\delta C_P}{C_P^\circ} \right]^{1/2} \right\}^2, \quad (\text{VI.208})$$

где b_{VS} представлена как функция $\delta \beta_T$ и δC_P ; $\gamma = C_P^\circ / C_V^\circ$.

Рассмотренные примеры не исчерпывают всех возможных соотношений между релаксационными силами и термодинамическими характеристиками реакции. Здесь приведены в основном те выражения, которые понадобятся в дальнейшем.

§ 35. ДИЭЛЕКТРИЧЕСКАЯ РАДИОСПЕКТРОСКОПИЯ ПРОСТЫХ НЕКОЛЛЕКТИВНЫХ ПРОЦЕССОВ

Диэлектрическая радиоспектроскопия. Пусть через кювету, заполненную изотропной средой (жидкостью или газом), распространяется плоская монохроматическая электромагнитная волна. Жидкость или газ находятся в переменном электромагнитном поле. Ограничимся влиянием электрического поля $\vec{\mathcal{E}}_0$; магнитное поле учитывать не будем.

Температура и давление поддерживаются постоянными. От времени зависит лишь напряженность внешнего поля $\vec{\mathcal{E}}_0$.

Пусть среда представляет собой диэлектрик, т. е. ее электропроводность настолько мала, что ею можно пренебречь. Обозначим символом $\vec{\mathcal{E}}$ напряженность среднего макроскопического поля, действующего в элементе объема dV среды. Среднее макроскопическое поле $\vec{\mathcal{E}}$ зависит от положения внутренних и внешних (по отношению ко всей жидкости) источников поля. Оно представляет собой результат усреднения по всем возможным положениям внутренних источников в макроскопическом образце диэлектрика. При отсутствии внешних источников, т. е. при $\vec{\mathcal{E}}_0 = 0$, среднее макроскопическое поле изотропной жидкости или газа равно нулю и среда будет неполяризована.

Будем считать, что поле $\vec{\mathcal{E}}_0$ слабое по сравнению с молекулярными полями, и его влиянием на диэлектрическую проницаемость, внутреннюю энергию, плотность жидкости можно пренебречь. Но как бы ни было мало внешнее поле $\vec{\mathcal{E}}_0$, под его влиянием молекулы среды будут поляризоваться. В каждой из них возникает некоторый малый индуцированный дипольный момент. Если в среде есть полярные молекулы, то под влиянием внешнего поля $\vec{\mathcal{E}}_0$ постоянные дипольные моменты таких молекул будут проявлять тенденцию к ориентации в направлении, совпадающем с направлением внешнего поля. Векторная сумма всех индуцированных и постоянных дипольных моментов дает макроскопический электрический момент среды \vec{M} . Так как среда изотропна, векторы $\vec{\mathcal{E}}_0$, $\vec{\mathcal{E}}$ и \vec{M} равнонаправлены. Макроскопический электрический момент единицы объема среды $\vec{P} = \vec{M}/V$ называют поляризацией. Для описания состояния поляризованной среды удобно пользоваться вектором электрической индукции \vec{D} . По определению

$$\vec{D} = \vec{\mathcal{E}} + 4\pi\vec{P} = \epsilon\vec{\mathcal{E}}, \quad (\text{VI.209})$$

где ϵ — диэлектрическая проницаемость.

Определение (VI.209) сохраняет силу для любого изотропного диэлектрика, причем не только в тех случаях, когда поле $\vec{\mathcal{E}}$ постоянно, но и когда оно переменное. Диэлектрическая проницаемость ϵ зависит от частоты поля ν . В случае анизотропных сред диэлектрическая проницаемость представляет собой тензор ϵ_{ik} . Диэлектрическая радиоспектроскопия проводит измерения диэлектрической проницаемости в зависимости от частоты ν внешнего электрического поля в радиочастотном диапазоне, т. е. при частотах, лежащих в интервале от 0 до $\simeq 10^{12}$ Гц, что соответствует длинам электромагнитных волн в вакууме от ∞ до $\simeq 3 \cdot 10^{-4}$ м. В переменном поле, т. е. при $\nu \neq 0$, диэлектрическая проницаемость — комплексная величина:

$$\epsilon = \epsilon' + i\epsilon'', \quad (\text{VI.210})$$

где ϵ' — действительная часть диэлектрической проницаемости; ϵ'' — диэлектрические потери.

Термодинамические соотношения. В качестве переменной, характеризующей состояние изотропной системы в электрическом поле, можно применять $\vec{\mathcal{E}}$ или \vec{D} . Допустим, что в однокомпонентной жидкости (или газе) может протекать лишь один простой неколлективный процесс, а именно реакция



Для описания неравновесного состояния такой системы, находящейся в электрическом поле, достаточно задать 4 обобщенные координаты, например температуру T , давление P , напряженность среднего макроскопического поля $\vec{\mathcal{E}}$ и степень полноты ξ реакции (VI.211). В состоянии термодинамического равновесия при заданных значениях T , P и $\vec{\mathcal{E}}$ число независимых переменных уменьшится до трех, так как в этом

состоянии степень полноты реакции представляет собой функцию \vec{T} , P и \mathcal{E} :

$$\xi = \xi_0(T, P, \mathcal{E}). \quad (\text{VI.212})$$

Характеристической функцией неравновесной однокомпонентной системы, состояние которой определяется T , P , \mathcal{E} и ξ , служит термодинамический потенциал $G(T, P, \mathcal{E}, \xi)$. Его полный дифференциал равен [64]:

$$dG = -SdT + VdP - \frac{1}{4\pi} \vec{D}d\vec{\mathcal{E}} - Ad\xi. \quad (\text{VI.213})$$

В данном случае T , P , $\vec{\mathcal{E}}$ и ξ представляют собой термодинамические координаты (обобщенные координаты), а S , V , \vec{D} и A — обобщенные силы, термодинамически сопряженные с соответствующими координатами: S сопряжено с T , V с P , \vec{D} с $\vec{\mathcal{E}}$ и A с ξ .

При распространении монохроматической волны среда испытывает гармонические возмущения. Воспользуемся уравнениями (VI.168) и (VI.169) действительной и мнимой части коэффициента динамического уравнения состояния при гармонических возмущениях. Пусть $x \equiv \mathcal{E}$, $y \equiv T$, $\varphi \equiv P$ и $z \equiv D$. Уравнения (VI.168) и (VI.169) в этом случае имеют вид:

$$\left(\frac{\partial D}{\partial \mathcal{E}}\right)_{TP}^{r'} = \left(\frac{\partial D}{\partial \mathcal{E}}\right)_{\xi TP} + \frac{\left(\frac{\partial D}{\partial \mathcal{E}}\right)_{ATP} - \left(\frac{\partial D}{\partial \mathcal{E}}\right)_{\xi TP}}{1 + \omega^2 \tau_{\mathcal{E}}^2 TP}; \quad (\text{VI.214})$$

$$\left(\frac{\partial D}{\partial \mathcal{E}}\right)_{TP}^{r''} = \left[\left(\frac{\partial D}{\partial \mathcal{E}}\right)_{ATP} - \left(\frac{\partial D}{\partial \mathcal{E}}\right)_{\xi TP}\right] \frac{\omega \tau_{\mathcal{E}} TP}{1 + \omega^2 \tau_{\mathcal{E}}^2 TP}. \quad (\text{VI.215})$$

Заметим, что условие $y = \text{const}$ в уравнениях (VI.168) и (VI.169) здесь означает постоянство температуры и давления потому, что число независимых переменных равно 4.

Учитывая, что $\vec{D} = \epsilon \vec{\mathcal{E}}$, получаем:

$$\left(\frac{\partial D}{\partial \mathcal{E}}\right)_{TP}^{r'} = \epsilon'(\omega); \quad \left(\frac{\partial D}{\partial \mathcal{E}}\right)_{TP}^{r''} = \epsilon''(\omega); \quad (\text{VI.216})$$

$$\left(\frac{\partial D}{\partial \mathcal{E}}\right)_{ATP} = \epsilon_S; \quad \left(\frac{\partial D}{\partial \mathcal{E}}\right)_{\xi TP} = \epsilon_{\infty}. \quad (\text{VI.217})$$

В данном случае принято во внимание, что в слабых полях диэлектрическая проницаемость не зависит от поля. Поэтому $(d\xi/d\mathcal{E})_{TP} = 0$; ϵ_s — статическая диэлектрическая проницаемость, т. е. равновесное значение диэлектрической проницаемости среды в условиях, когда внешнее поле постоянно ($\omega = 0$); ϵ_{∞} — высокочастотный предел диэлектрической проницаемости, т. е. та ее величина, которая наблюдается при высоких частотах, когда период колебаний ω^{-1} настолько мал, что за промежуток времени ω^{-1} степень полноты реакции (VI.211) не успевает измениться и, следовательно, ξ можно считать постоянной.

Уравнение Дебая. Пользуясь (VI.216) и (VI.170) и принимая во внимание, что $\tau_{\mathcal{E}PT} = \tau_{PT}$, находим:

$$\varepsilon(\omega) = \varepsilon' + i\varepsilon'' = \varepsilon_{\infty} + \frac{\varepsilon_s - \varepsilon_{\infty}}{1 + i\omega\tau_{PT}}. \quad (\text{VI.218})$$

Уравнение (VI.218) часто называют уравнением Дебая. Оно описывает зависимость комплексной диэлектрической проницаемости от частоты внешнего электрического поля.

Подставляя (VI.216) в (VI.214) и (VI.215) или же отделяя в (VI.218) действительную часть от мнимой, напишем:

$$\varepsilon'(\omega) = \varepsilon_{\infty} + \frac{\varepsilon_s - \varepsilon_{\infty}}{1 + \omega^2\tau_{PT}^2}; \quad (\text{VI.219})$$

$$\varepsilon''(\omega) = (\varepsilon_s - \varepsilon_{\infty}) \frac{\omega\tau_{PT}}{1 + \omega^2\tau_{PT}^2}. \quad (\text{VI.220})$$

Графики уравнений (VI.219) и (VI.220) представлены на рис. 7 и 8. В тригонометрической форме уравнение (VI.217) имеет вид

$$\varepsilon(\omega) = \frac{\varepsilon_s + \varepsilon_{\infty}}{2} + \frac{\varepsilon_s - \varepsilon_{\infty}}{2} (\cos t + i \sin t), \quad (\text{VI.221})$$

где t — функция частоты, определяемая уравнениями (VI.163) и (VI.164); t изменяется от 0 при $\omega = 0$ до π при $\omega \rightarrow \infty$. График уравнения (VI.221) представлен на рис. 10. Это полуокружность радиуса $(\varepsilon_s - \varepsilon_{\infty})/2$, центр которой лежит на действительной оси ε' . Уравнение Дебая представляет собой одно из следствий общих соотношений неравновесной термодинамики, выведенных в этой главе, и предположения, что в системе протекает один простой неколлективный процесс.

Уравнение Дебая сохраняет силу и в некоторых более сложных случаях, которые будут рассмотрены позже. Здесь пока ограничимся следующим. Уравнение Дебая пригодно, когда процессы, протекающие в изотропной системе при релаксации поляризации, таковы, что поляризация изменяется с временем по экспоненте; изменение поляризации может быть описано с помощью одного времени релаксации τ_{xy} .

Пусть под влиянием внешнего поля в системе возникла поляризация. Уберем внешнее поле и позволим системе самопроизвольно возвратиться к тому состоянию равновесия, которое ей свойственно при заданных T , P и $\vec{\mathcal{E}} = 0$. Предположим, что в ходе релаксации системы с течением времени t поляризация уменьшается экспоненциально:

$$\mathcal{P}(t) = \mathcal{P}(0) e^{-t/\tau_{xy}}. \quad (\text{VI.222})$$

Воспользуемся одним из наиболее общих соотношений теории изотропных диэлектриков [10]

$$D(t) = \varepsilon_{\infty} \mathcal{E}(t) + \int_{-\infty}^t \mathcal{E}(u) \alpha(t-u) du, \quad (\text{VI.223})$$

где α пропорционально $\mathcal{P}(t)/\mathcal{P}(0)$, причем коэффициент пропорциональности имеет размерность $[t^{-1} \times \text{диэлектрическая проницаемость}]$; $\varepsilon_{\infty} \mathcal{E}(t)$ — вклад в электрическую индукцию $D(t)$ за счет электрон-

ной и атомной поляризации, которая устанавливается «мгновенно», т. е. за промежуток времени порядка 10^{-13} и менее. Второй член суммы в правой части равенства (VI.223) обусловлен более медленными процессами. В подынтегральном выражении t фигурирует как параметр. Следуя [10], продифференцируем (VI.223) по времени, как по параметру. Используя равенство

$$\frac{d\alpha(t)}{dt} = -\frac{1}{\tau_{xy}} \alpha(t), \quad (\text{VI.224})$$

вытекающее из (VI.222), после умножения на τ_{xy} получим:

$$\tau_{xy} \frac{dD(t)}{dt} = \varepsilon_{\infty} \tau_{xy} \frac{d\mathcal{E}(t)}{dt} + \tau_{xy} \alpha(0) \mathcal{E}(t) - \int_{-\infty}^t \mathcal{E}(u) \alpha(t-u) du. \quad (\text{VI.225})$$

Складывая соотношения (VI.223) и (VI.225), получим:

$$\tau_{xy} \frac{d}{dt} (D - \varepsilon_{\infty} \mathcal{E}) + D - \varepsilon_{\infty} \mathcal{E} = \tau_{xy} \alpha(0) \mathcal{E}. \quad (\text{VI.226})$$

Для определения неизвестной постоянной $\alpha(0)$ рассмотрим частный случай равновесия в постоянном поле:

$$\frac{d}{dt} (D - \varepsilon_{\infty} \mathcal{E}) = 0; \quad D = \varepsilon_s \mathcal{E}.$$

Поэтому из уравнения (VI.226) следует:

$$\tau_{xy} \alpha(0) = \varepsilon_s - \varepsilon_{\infty}. \quad (\text{VI.227})$$

Подставляя (VI.227) в (VI.226), находим:

$$\tau_{xy} \frac{d}{dt} (D - \varepsilon_{\infty} \mathcal{E}) + (D - \varepsilon_{\infty} \mathcal{E}) = (\varepsilon_s - \varepsilon_{\infty}) \mathcal{E}. \quad (\text{VI.228})$$

В случае, когда поле \mathcal{E} испытывает гармонические колебания:

$$\mathcal{E} = \text{Re} [\mathcal{E}_0 e^{i\omega t}], \quad (\text{VI.229})$$

находим:

$$\frac{d\mathcal{E}}{dt} = i\omega \mathcal{E}; \quad D = \varepsilon(\omega) \mathcal{E}; \quad \frac{dD}{dt} = i\omega \varepsilon(\omega) \mathcal{E}. \quad (\text{VI.230})$$

Подставляя эти выражения в уравнение (VI.227), получаем уравнение Дебая (VI. 218).

Уравнение Дебая представляет собой следствие эмпирического соотношения (VI.222). Но вопрос о том, в каких случаях применимо (VI.222), при таком подходе, остается открытым. Время релаксации τ_{xy} здесь фигурирует как некоторая эмпирическая постоянная. Чтобы выяснить физический смысл τ_{xy} , нужно знать механизм процесса релаксации поляризации и зависимость τ_{xy} от величин, характеризующих упомянутый механизм.

Релаксационная сила. Если диэлектрическая релаксация следует уравнению Дебая (VI.218), то релаксационная сила в соответствии с (VI.122) и (VI.123) равна:

$$b_d = 1 - \frac{\tau_{DTP}}{\tau_{ETP}} = \frac{\epsilon_s - \epsilon_\infty}{\epsilon_s}, \quad (\text{VI.231})$$

где индекс «*d*» означает, что речь идет о релаксационной силе процесса диэлектрической релаксации.

Таким образом, релаксационная сила b_d зависит от разности статической ϵ_s и высокочастотной ϵ_∞ диэлектрических проницаемостей системы.

Чтобы выяснить физический смысл разности $\epsilon_s - \epsilon_\infty$, надо воспользоваться молекулярной теорией диэлектриков.

Пусть в изотропном диэлектрике имеются полярные молекулы. В ходе теплового движения дипольные моменты молекул случайно могут ориентироваться так, что макроскопическая область системы, имеющая объем V , приобретает отличный от нуля электрический момент \vec{M} . Модуль этого момента следует гауссовскому распределению. В отсутствие внешнего поля все возможные ориентации вектора \vec{M} в лабораторной системе координат равновероятны, поэтому его среднее значение равно нулю, $\langle M \rangle = 0$. Но среднее квадратичное, т. е. $\langle M^2 \rangle$, не равно нулю. Согласно молекулярной теории диэлектриков [10] для однокомпонентных жидкостей

$$\epsilon_s - 1 = \frac{4\pi\epsilon_s}{2\epsilon_s + 1} \frac{\langle M^2 \rangle}{V k_B T}. \quad (\text{VI.232})$$

Нужно сказать, что случайный электрический момент M состоит из двух взаимосвязанных частей. Векторная сумма постоянных дипольных моментов равна M_d . Разность $M - M_d$ обусловлена электронной и атомной поляризацией, которая «мгновенно» возникает под влиянием поля \mathcal{E}_d , наведенного спонтанным моментом M_d . Величина $\epsilon_s - \epsilon_\infty$ представляет собой функцию $\langle M_d^2 \rangle$, которая имеет следующий вид:

$$\epsilon_s - \epsilon_\infty = \frac{4\pi\epsilon_s}{2\epsilon_s + \epsilon_\infty} \frac{\langle M_d^2 \rangle}{V k_B T}. \quad (\text{VI.233})$$

Можно пользоваться несколько менее точным соотношением

$$\epsilon_s - n^2 = \frac{4\pi\epsilon_s}{2\epsilon_s + n^2} \frac{\langle M_d^2 \rangle}{V k_B T}, \quad (\text{VI.234})$$

где n — показатель преломления в оптическом диапазоне частот. Различие состоит в том, что ϵ_∞ в (VI.233) зависит от электронной и атомной поляризации.

Допустим, что в жидкости имеются ассоциаты вида 1, 2, ..., n ., Вакуумные дипольные моменты ассоциатов равны; соответственно, $p_1, p_2, \dots, p_n, \dots$ (Здесь имеются в виду дипольные моменты изолирован-

ных молекул ассоциатов, как если бы такие молекулы находились в вакууме.) Можно показать [11], что в этом случае

$$\langle M_d^2 \rangle = \left(\frac{\epsilon_\infty + 2}{3} \right)^2 \sum_{n \geq 1} N_n p_n^2. \quad (\text{VI.235})$$

Множитель $[(\epsilon_\infty + 2)/3]^2$ учитывает отличие среды от вакуума.

«Диэлектрически наблюдаемые» реакции. Теперь рассмотрим связь между релаксационной силой и возможными механизмами диэлектрической релаксации. Как уже было сказано, предполагается, что в системе протекает один неколлективный процесс и только этот процесс и может быть причиной диэлектрической релаксации. Согласно (VI.231) и (VI.233) релаксационная сила b_d определяется соотношением

$$b_d = \frac{4\pi \langle M_d^2 \rangle}{(2\epsilon_s + \epsilon_\infty) V k_B T} = \frac{4\pi (\epsilon_\infty + 2)^2 \sum_{n \geq 1} N_n p_n^2}{9V k_B T (2\epsilon_s + \epsilon_\infty)}. \quad (\text{VI.236})$$

Если в системе полярных молекул нет, то $M_d = 0$ и $b_d = 0$. Допустим, что полярные молекулы имеются, но находятся в «замороженном» состоянии, т. е. не могут изменять ориентации, как в стеклах при низких температурах. Другими словами, никакие реакции с участием полярных молекул в системе не идут. При отличном от нуля электрическом моменте такая система не изотропна. Если же в соответствии с принятым выше условием система изотропна, то $\langle M \rangle = M = 0$, $\epsilon_s = \epsilon_\infty$ и $b_d = 0$.

Так как электрический момент M возникает лишь в результате реакции (VI.211), то в соответствии с этим условием при заданных P , T и \mathcal{E} величина $\langle M^2 \rangle$ зависит только от степени полноты этой реакции. В этих условиях

$$d\langle M^2 \rangle = \frac{\partial \langle M^2 \rangle}{\partial \xi} d\xi \quad (\text{VI.237})$$

и

$$\langle M^2 \rangle = \int_0^{\xi_0} \frac{\partial \langle M^2 \rangle}{\partial \xi} d\xi, \quad (\text{VI.238})$$

где ξ_0 — степень полноты реакций (VI.211), когда достигнуто термодинамическое равновесие. Таким образом, в рассматриваемом случае $\langle M^2 \rangle$, а следовательно, и релаксационная сила b_d отличны от нуля, если

$$\frac{\partial \langle M^2 \rangle}{\partial \xi} \neq 0 \quad (\text{VI.239})$$

Следовательно, методами диэлектрической радиоспектроскопии можно наблюдать только те реакции и связанные с ними процессы релаксации, для которых справедливо неравенство (VI.239). Такие реакции влияют на величину диэлектрической проницаемости системы. Условимся называть их «диэлектрически наблюдаемыми» реакциями. Если $\partial \langle M^2 \rangle / \partial \xi = 0$, то релаксационная сила равна нулю. Реакции, для которых $\partial \langle M^2 \rangle / \partial \xi = 0$, не могут быть обнаружены методами диэлектрической радиоспектроскопии. Это диэлектрически ненаблюдаемые реакции.

Допустим, что никаких ассоциатов полярных молекул в жидкой фазе нет. Это может быть, если система представляет собой бесконечно разбавленный раствор вещества, состоящего из полярных молекул в неполярном растворителе. Примем, что все полярные молекулы одинаковы и могут различаться лишь их ориентацией относительно лабораторной системы координат. Будем рассматривать вращения молекул на конечные углы как результат реакции (VI.211). Если элементарное событие реакции (VI.211) приводит лишь к тому, что какая-либо молекула изменит свою ориентацию на конечный угол относительно лабораторной системы координат, то уравнение (VI.211) такой «реакции» имеет вид

$$M_1 \rightleftharpoons M_2 \quad (\text{VI.240})$$

где M_1 — молекула до поворота; M_2 — та же молекула после поворота. Изменение ориентации молекулы здесь формально рассматривается как ее превращение. Для «реакции» (VI.240) $\Delta v_1 = -1$; $\Delta v_2 = 1$ и, следовательно, $d\xi = dn$. Так как ассоциатов нет, то, согласно (VI.235), $\langle M_d^2 \rangle \sim N \langle \mu_1^2 \rangle$, где N — общее число полярных мономерных молекул в объеме V , а $\langle \mu_1^2 \rangle$ — средний вклад, вносимый в $\langle M^2 \rangle$ дипольным моментом одной молекулы. Имеем:

$$\langle M_d^2 \rangle = N_A \left(\frac{\varepsilon_\infty + 2}{3} \right)^2 n \mu_1^2; \quad (\text{VI.241})$$

$$\frac{\partial \langle M_d^2 \rangle}{\partial \xi} = N_A \left(\frac{\varepsilon_\infty + 2}{3} \right)^2 \mu_1^2. \quad (\text{VI.242})$$

Выражение (VI.242) представляет собой вклад в макроскопический электрический момент $\langle M_d^2 \rangle$, вносимый одним моле полярных молекул в ходе «реакций» (VI.240), т. е. при случайных вращениях таких молекул на какие-либо конечные углы. Производная $d\langle M^2 \rangle / d\xi \neq 0$. «Реакция» (VI.240) диэлектрически наблюдаемая. Релаксационная сила такой системы равна:

$$b_d = \frac{4\pi (\varepsilon_\infty + 2)^2 N_A n \mu_1^2}{9(2\varepsilon_s + \varepsilon_\infty) V k_B T}, \quad (\text{VI.243})$$

где n — число молей полярных молекул в объеме V системы. Время релаксации τ_{PT} определяется соотношением (VI.78). В данном случае константы скорости прямой и обратной реакции одинаковы, $k = k'$. Кроме того, молекула M_1 до ее поворота с равной степенью вероятности может иметь любую ориентацию по отношению к лабораторной системе координат. Чтобы не учитывать один и тот же процесс дважды, надо ввести множитель $1/2$ в правую часть (VI.78). Следовательно, в данном случае

$$\tau_{PT}^{-1} = k. \quad (\text{VI.244})$$

Время релаксации не зависит, в явной форме, от концентрации полярных молекул.

Примем теперь, что в только что рассмотренной системе мономерные полярные молекулы имеют две конформации, дипольные моменты

которых равны μ_{11} и μ_{12} . Числа молекул каждой конформации в объеме V равны N_{11} и N_{12} . Отвлечемся от вращательного движения. Допустим, что вращательное движение молекул «заморожено». В системе идет лишь реакция



Имеем:

$$\langle M_d^2 \rangle = N_A \left(\frac{\varepsilon_\infty + 2}{3} \right)^2 (n_{11} \mu_{11}^2 + n_{12} \mu_{12}^2). \quad (\text{VI.246})$$

Учитывая, что здесь $dn_{11} = -d\xi$ и $dn_{12} = d\xi$, получаем:

$$\frac{\partial \langle M_d^2 \rangle}{\partial \xi} = (\mu_{12}^2 - \mu_{11}^2) N_A \left(\frac{\varepsilon_\infty + 2}{3} \right)^2. \quad (\text{VI.247})$$

Релаксационная сила, согласно (VI.238) и (VI.236), равна:

$$b_d = \frac{4\pi(\varepsilon_\infty + 2)^2 N_A n_{12} (\mu_{12}^2 - \mu_{11}^2)}{9(2\varepsilon_s + \varepsilon_\infty) V k_B T}, \quad (\text{VI.248})$$

где n_{12} — термодинамически равновесное число молей конформера M_{12} в объеме V . Релаксационная сила отлична от нуля и реакция (VI.245) диэлектрически наблюдаемая в тех случаях, когда произведение

$$n_{12} (\mu_{12}^2 - \mu_{11}^2) \neq 0, \quad (\text{VI.249})$$

т. е. дипольные моменты конформеров неодинаковы и равновесная концентрация n_{12} достаточно велика. Время диэлектрической релаксации, связанной с реакцией (VI.245), согласно (VI.78) равно:

$$\tau_{PT} = (k + k')^{-1}. \quad (\text{VI.250})$$

Теперь предположим, что дипольные моменты в жидкой фазе могут образовывать ассоциаты. Пусть в объеме V жидкости при термодинамическом равновесии имеется N_1 молекул мономеров и N_2 молекул димеров. Идет реакция



В этом случае $\Delta v_1 = -2$ и $\Delta v_2 = 1$; $dn_1 = -2d\xi$ и $dn_2 = d\xi$;

$$\frac{d \langle M^2 \rangle}{d \xi} \sim (\mu_2^2 - 2\mu_1^2). \quad (\text{VI.252})$$

Релаксационная сила

$$b_d = \frac{4\pi(\varepsilon_\infty + 2)^2 N_A n_2 (\mu_2^2 - 2\mu_1^2)}{9(2\varepsilon_s + \varepsilon_\infty) V k_B T}. \quad (\text{VI.253})$$

Диэлектрически наблюдаемые те реакции димеризации полярных молекул, для которых

$$\mu_2^2 \neq 2\mu_1^2. \quad (\text{VI.254})$$

Такое неравенство будет выполняться, если дипольные моменты мономерных молекул в димере расположены так, что угол между ними отличается от 90° . Если дипольные моменты мономеров в димере расположены под прямым углом по отношению друг к другу, релаксационная сила, связанная с реакцией (VI.251), будет равна нулю и реакция (VI.251) будет диэлектрически ненаблюдаемая.

Время диэлектрической релаксации, связанной с реакцией (VI.251), зависит от концентрации ассоциатов:

$$\tau_{PT}^{-1} = k_c (4c_1^{-1} + K^{-1}), \quad (\text{VI.255})$$

где $c_1 = n_1/V$; $K = k_c/k'_c$ — константа равновесия реакции (VI.251).

С помощью аналогичных рассуждений можно показать, что реакция ассоциации полярной молекулы с неполярной, не сопровождающаяся изменением дипольного момента, диэлектрически ненаблюдаемая. Реакция



диэлектрически наблюдаема, если имеет место следующее неравенство.

$$\mu_1^2 + \mu_2^2 \neq \mu_3^2 + \mu_4^2. \quad (\text{VI.257})$$

Итак, в слабых полях методами диэлектрической радиоспектроскопии непосредственно наблюдаемы только те реакции, которые ведут к изменению среднего квадратичного электрического момента, а вместе с ним и диэлектрической проницаемости системы.

Здесь надо подчеркнуть следующее. В этой главе рассматривается идеализированный случай, когда в жидкости протекает только одна реакция. Если же в жидкой фазе идет две или большее число реакций, картина усложняется. Предположим, например, что в жидкой фазе, состоящей из полярных молекул, одновременно протекают реакции (VI.240) и (VI.251). Реакция (VI.240) непосредственно диэлектрически наблюдаемая. Реакция (VI.251) диэлектрически наблюдаемая, если выполняется неравенство (VI.254), и непосредственно ненаблюдаемая, если $\mu_2^2 = 2\mu_1^2$. Но реакция (VI.254) служит поставщиком мономерных молекул M_1 . Обычно она более медленная, чем реакция (VI.240), приводящая к поворотам молекул M_1 на конечный угол. Поэтому реакция (VI.254) в данном случае будет играть роль кинетически лимитирующей стадии процесса, приводящего к вращению мономерных молекул. В диэлектрическом радиоспектре будут наблюдаться две простые области дисперсии (см. гл. VII). Одна из них связана, в основном, с реакцией (VI.240). Другая, более низкочастотная, будет зависеть от реакции (VI.254), скорость которой определяет частоту вращения тех мономерных молекул, которые появляются при разрушении димеров. Таким образом, если в системе кроме реакции (VI.254) протекает и реакция (VI.240), как это и происходит в действительности, то обе реакции будут диэлектрически наблюдаемые. Реакция (VI.240) будет наблюдаться непосредственно, а реакция (VI.254) косвенно, как кинетически лимитирующая стадия реакции (VI.254). Точнее, в системе будут идти две диэлектрически наблюдаемые нормальные реакции. Теория нормальных реакций подробно излагается в следующей главе.

Могут быть и такие случаи, когда в системе имеет место множество реакций, каждая из которых удовлетворяет неравенству (VI.254), но все вместе приводят к такому вкладу в поляризацию системы, который равноценен вкладу мономерных молекул, как если бы ассоциация отсутствовала. Такие процессы тоже диэлектрически наблюдаемые.

§ 36. АКУСТИЧЕСКАЯ СПЕКТРОСКОПИЯ ПРОСТЫХ РЕАКЦИИ

Акустическая релаксация. Рассмотрим замкнутую изотропную жидкую систему, в которой распространяется плоская монохроматическая звуковая волна. Для жидких фаз в интервале частот от 0 до $\simeq 10^{11}$ Гц распространение звука, как правило, представляет собой почти адиабатический процесс. Различные области жидкости последовательно испытывают почти адиабатические сжатия и расширения. При этом состояние жидкости отклоняется от равновесного. В областях сжатия температура, давление и плотность жидкости повышаются; в областях расширения температура, давление и плотность жидкости снижаются. В жидкости протекают необратимые процессы, поэтому энергия звуковой волны переходит в теплоту. Жидкость нагревается, ее энтропия увеличивается.

Поместим жидкую фазу в термостат. Тогда нагревание устраняется путем отвода теплоты $dQ = Td_eS = -Td_iS$. Здесь d_eS — энтропия, поступающая в термостат от жидкости; d_iS — прирост энтропии жидкости за счет необратимых процессов, вызванных звуковой волной. В итоге энтропия жидкой фазы не изменяется: $dS = 0$. Взаимодействие звука с жидкостью в этих условиях формально протекает так, как если бы оно было обратимым процессом. Но в действительности, как уже было сказано, в жидкости возникает ряд необратимых процессов. Сюда относятся процессы переноса — поток теплоты, поток количества движения, диффузия и реакции, приводящие к перестройке структуры жидкости и различного рода изменениям ее молекул. Если амплитуда звуковой волны мала, то с хорошей степенью точности внутренние процессы можно считать независимыми от процессов переноса.

В качестве переменных, характеризующих состояние системы, удобно выбрать энтропию S , объем V , давление P . Будем считать, что в жидкой фазе может протекать лишь один внутренний процесс — реакция (VI.211). Пусть

$$x \equiv P; \quad y \equiv S; \quad z \equiv \rho = M/V. \quad (\text{VI.258})$$

Так как масса замкнутой системы постоянна, то условие $z \equiv \rho$ эквивалентно условию $z \equiv V$. Переменная P испытывает гармонические колебания, S сохраняется постоянной. Плотность ρ изменяется под влиянием давления. Производная

$$\left(\frac{\partial \rho}{\partial P} \right)_S = \rho \beta_S, \quad (\text{VI.259})$$

где β_S — адиабатическая сжимаемость жидкости,

$$\beta_S = - \frac{1}{V} \left(\frac{\partial V}{\partial P} \right)_S = \frac{1}{\rho} \left(\frac{\partial \rho}{\partial P} \right)_S. \quad (\text{VI.260})$$

Таким образом, в рассматриваемом случае:

$$\left(\frac{\partial z}{\partial x}\right)_y^r = \left(\frac{\partial \rho}{\partial P}\right)_S^r = \rho \beta_S(\omega); \quad \left(\frac{\partial z}{\partial x}\right)_{Ay} = \rho \beta_S^0; \quad \left(\frac{\partial z}{\partial x}\right)_{\xi y} = \rho \beta_S^\infty, \quad (\text{VI.261})$$

где $\beta_S(\omega)$ — комплексная адиабатическая сжимаемость — функция частоты звуковых колебаний:

$$\beta_S = \beta_S' + i\beta_S''; \quad (\text{VI.262})$$

β_S^0 — равновесная адиабатическая сжимаемость при $\omega \rightarrow 0$;
 β_S^∞ — высокочастотный предел адиабатической сжимаемости при $\omega \rightarrow \infty$. Пользуясь (VI.168) — (VI.170) и (VI.262), получаем:

$$\beta_S(\omega) = \beta_S^\infty + \frac{\beta_S^0 - \beta_S^\infty}{1 + i\omega\tau_{PS}}. \quad (\text{VI.263})$$

Оно описывает зависимость адиабатической сжимаемости от частоты звуковых колебаний. Это уравнение представляет собой аналог уравнения Дебая (VI.218). Преобразуя (VI.263), получаем:

$$\beta_S' = \beta_S^\infty + \frac{\beta_S^0 - \beta_S^\infty}{1 + \omega^2\tau_{PS}^2}; \quad (\text{VI.264})$$

$$\beta_S'' = (\beta_S^0 - \beta_S^\infty) \frac{\omega\tau_{PS}}{1 + \omega^2\tau_{PS}^2}, \quad (\text{VI.265})$$

где τ_{PS} — время релаксации неравновесного состояния системы, если релаксация протекает при постоянных давлении и энтропии. Отклонение системы от состояния термодинамического равновесия в данном случае сводится к изменению степени полноты ξ реакции (VI.211). Релаксация представляет собой процесс возвращения ξ к равновесному значению $\xi_0 = \xi_0(S, P)$.

Акустически наблюдаемые реакции. Из уравнений (VI.187) — (VI.202) следует, что акустическая релаксационная сила b_a зависит от теплового эффекта реакции ΔH и от объемного эффекта $\Delta \bar{V}$. Если тепловой и объемный эффекты реакции (VI.211) отсутствуют, то акустическая релаксационная сила равна нулю и, следовательно, акустической релаксации, связанной с реакцией (VI.211), не будет. Другими словами, реакция, не сопровождающаяся тепловым и объемным эффектами, акустически не наблюдаемая.

Рассмотрим примеры, приведенные в предыдущем параграфе. Допустим, что жидкость неассоциирована и единственная «реакция», которая в ней идет, — это случайные скачкообразные изменения положения молекул — вращения на конечные углы, или же случайные перемещения центра тяжести молекул, или, наконец, одновременные случайные скачкообразные изменения и ориентации молекулы и положения ее центра тяжести. Как уже говорилось, такие скачки можно представить в виде мономолекулярной реакции (VI.240). В низкомолекулярных маловязких жидкостях при температурах, далеких от критической точки, в большинстве случаев такие «элементарные» события не сопровождаются изменением энтальпии и объема системы. Они акустически

не наблюдаемые. Но могут быть и такие скачки молекул, в результате которых в жидкости образуются полости или «дырки», как это представлено на рис. 45. Концентрация «дырок» зависит от состояния жидкости. Она растет, когда состояние жидкости приближается к окрестности критической точки равновесия жидкость—пар. Образование и исчезновение дырок можно представить как мономолекулярную реакцию:



где M_{if} — молекула жидкости, находящаяся под действием случайной внешней силы F , возникшей в результате взаимодействия с соседними частицами до перемещения в дырку; M_i — та же молекула после перемещения ее в дырку. При перемещении молекулы в дырку

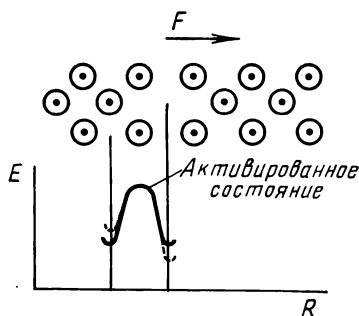


Рис. 45. Схематическое изображение реакции (VI.266), приводящей к возникновению дырок:

E — потенциальная энергия; R — расстояние; сплошная линия — потенциальный барьер при отсутствии сдвиговой силы; пунктир — при действии сдвиговой силы

внешняя по отношению к молекуле сила F , действующая на молекулу M_{if} , производит работу. Энтальпия системы уменьшается. Поэтому процесс образования и исчезновения дырок — акустически наблюдаемая реакция. Согласно теории Эйринга этот процесс приводит к явлениям вязкого течения.

Предположим теперь, что молекулы жидкости имеют две конформации. Молекулы не меняют своего положения, но способны приобретать то одну, то другую конформацию. В жидкой фазе имеет место только одна реакция равновесия между конформациями M_{11} и M_{12} :



Энтальпия конформеров может быть одинаковой или различной. На рис. 46 изображены возможные энтальпийные диаграммы для тех конформационных переходов, когда они осуществляются путем внутреннего вращения и, следовательно, конформеры M_{11} и M_{12} представляют собой два поворотных изомера молекулы M_1 . В случаях, когда изменение энтальпии в результате поворотно-изомерного превращения равно нулю, реакция (VI.267) акустически ненаблюдаемая. В случаях, когда энтальпии поворотных изомеров различны, реакция (VI.267) акустически наблюдаемая.

Молекулы могут находиться в основном и возбужденных состояниях. Допустим, ради простоты, что имеется лишь одно возбужденное

состояние M_1^* , что, разумеется, не соответствует действительности. В жидкости идет реакция



Переход молекулы из основного состояния в возбужденное (колебательное или электронное) сопровождается изменением энтальпии системы. Поэтому реакция (VI.268) акустически наблюдаемая.

Рассмотрим реакции ассоциации. Реакция образования димеров (VI.251) акустически наблюдаемая. Она увеличивает число химических

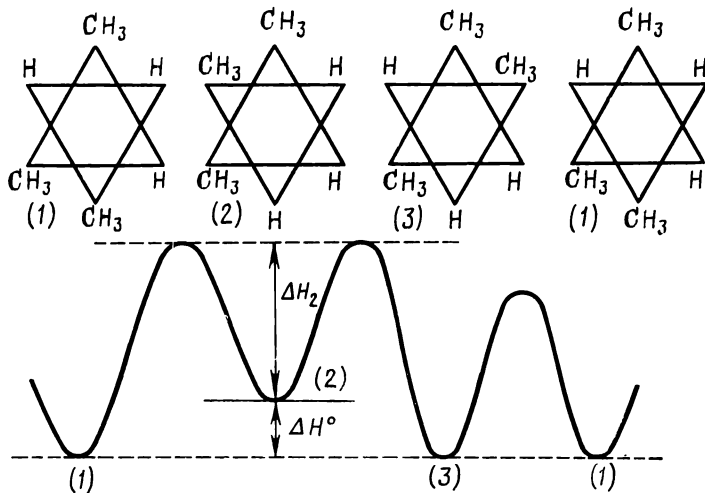


Рис. 46. Изменения энтальпии при конформационных превращениях в молекулах 2-метилбутана:

переходы $1 \rightleftharpoons 3$ акустически ненаблюдаемые; $1 \rightleftharpoons 2$ и $2 \rightleftharpoons 3$ акустически наблюдаемые [7]

связей и, следовательно, уменьшает энтальпию и объем системы. Реакция



может быть акустически наблюдаемой в тех случаях, когда изменяются число или энергия химических связей между молекулами. Если число химических связей и их энергия в ходе реакции (VI.269) не изменяются, такая реакция непосредственно акустически ненаблюдаемая.

§ 37. РЕЛЕЕВСКАЯ СПЕКТРОСКОПИЯ ПРОСТЫХ РЕАКЦИЙ

Релеевская спектроскопия как метод исследования сверхбыстрых процессов в жидких фазах охарактеризована в гл. IV. Здесь остановимся на вопросах, которые представляют интерес для частного случая, когда в жидкой фазе протекает одна простая реакция, вызывающая отклонения жидкости от изотропности.

Анизотропные флуктуации. Рассмотрим макроскопический объем V однокомпонентной жидкости. В среднем жидкость изотропна, но если молекулы жидкости не имеют шаровой симметрии, так что $\gamma^2 \neq 0$, то в ходе теплового движения в жидкости возникают случайные нарушения изотропных свойств, т. е. анизотропные флуктуации. Диэлектрическая проницаемость области, где возникает анизотропная флуктуация, представляет собой симметричный тензор второго ранга:

$$\varepsilon_{ik} = \frac{1}{3} \varepsilon \delta_{ik} + \Delta \varepsilon_{ik}, \quad (\text{VI.270})$$

где ε — средняя диэлектрическая проницаемость жидкости для электромагнитных волн, частота которых равна ν_0 ; $\Delta \varepsilon_{ik}$ — симметричный тензор второго ранга со следом, равным нулю. Компоненты этого тензора обусловлены анизотропными флуктуациями, спонтанно возникающими в некоторой замкнутой области G объема V жидкости. Линейные размеры области G по порядку величины равны $\simeq 10^{-6}$ см.

Если бы анизотропные флуктуации отсутствовали, т. е. жидкость была бы вполне изотропна, анизотропия поляризуемости объема V жидкости Γ^2 была бы равна нулю. В этом случае свет, рассеянный анизотропными молекулами, должен был бы погашаться благодаря интерференции. Анизотропные флуктуации — одна из причин релеевского рассеяния света. Анизотропные флуктуации приводят к отличию от нуля макроскопической анизотропии поляризуемости жидкости Γ^2 . Если жидкость полярна, то анизотропные флуктуации сопровождаются появлением у жидкости макроскопического электрического момента M , о котором уже говорилось в § 35.

Предположим, что на кювету с жидкостью падает поляризованный монохроматический луч света. Будем наблюдать свет, рассеянный под прямым углом. Расположим систему декартовых координат так, как на рис. 25. Ось X направлена вдоль падающего луча, а ось Y — вдоль рассеянного луча. Если электрический вектор падающего луча направлен вдоль оси Z , то интегральная интенсивность $I_{\text{ан}Z}$ света, рассеянного анизотропными флуктуациями диэлектрической проницаемости $\Delta \varepsilon_{iz}$, определяется уравнением

$$I_{\text{ан}Z} = \frac{I_{0Z}}{r^2} V \frac{\pi^2}{2\lambda_0^4} \sum_V \langle (\Delta \varepsilon_{iz})^2 \rangle G \quad (i = X, Z), \quad (\text{VI.271})$$

где I_{0Z} — интенсивность луча, падающего на кювету с жидкостью; λ_0 — длина волны света; r — расстояние от центра рассеивающего объема V до прибора, регистрирующего рассеянное излучение; G — замкнутый элемент объема жидкости, не находящийся около поверхности жидкой фазы; $\Delta \varepsilon_{iz}$ — анизотропная компонента тензора диэлектрической проницаемости в элементе объема G ; $\Delta \varepsilon_{iz}$ обусловлена анизотропными флуктуациями в элементе объема G . Линейные размеры области G по порядку величины равны $\simeq 10^{-6}$ см. Знак $\langle \dots \rangle$ обозначает статистическое усреднение. $I_{\text{ан}Z}$ можно разложить на две поляризованные компоненты $I_{\text{ан}XZ}$ и $I_{\text{ан}ZZ}$. $I_{\text{ан}XZ}$ — интенсивность

анизотропного рассеяния света, когда электрический вектор падающего на жидкость излучения направлен вдоль оси Z , а электрический вектор рассеянного излучения направлен вдоль оси X ; $I_{\text{ан}ZZ}$ — интенсивность анизотропного рассеяния света, когда электрические векторы падающего и рассеянного света направлены вдоль оси Z .

Наибольший интерес представляет компонента $I_{\text{ан}XZ}$, так как ее удобнее измерить:

$$I_{\text{ан}XZ} \sim \langle (\Delta \epsilon_{XZ})^2 \rangle G. \quad (\text{VI.272})$$

Спектр света, рассеянного анизотропными флуктуациями $\Delta \epsilon_{iZ}$, связан с кинетикой процессов образования и исчезновения флуктуаций. Сейчас мы ограничиваемся случаями, когда процессы образования и исчезновения анизотропных флуктуаций вызваны одной реакцией вида (VI.211).

Анизотропный релеевский спектр одной реакции [12]. Допустим, что в замкнутой области G жидкости идет одна элементарная реакция вида (VI.211). Если под влиянием теплового движения или какого-либо иного возмущения жидкость в области G перешла в неравновесное состояние, т. е. степень полноты ξ реакции (VI.211) отклонилась от равновесного значения ξ_0 , то затем происходит релаксация, в результате которой ξ возвратится к значению ξ_0 . Будем считать, что релаксация протекает при постоянных значениях давления P и температуры T .

Как было показано в § 28, в этом случае

$$\Delta \xi(t) = \Delta \xi(0) e^{-t/\tau_{PT}}, \quad (\text{VI.273})$$

где $\Delta \xi(t) = \xi(t) - \xi_0$; $\Delta \xi(0) = \xi(0) - \xi_0$, т. е. отклонения степени полноты ξ от равновесного значения ξ_0 в моменты времени $t > 0$ и $t = 0$ соответственно.

В принципе далеко не все реакции могут влиять на $\Delta \epsilon_{iZ}$. В линейном приближении при заданных P и T имеем:

$$d\epsilon_{iZ} = \left(\frac{\partial \Delta \epsilon_{iZ}}{\partial \xi} \right)_{PT, \xi = \xi_0} d\xi. \quad (\text{VI.274})$$

Переходя к конечным малым разностям для интересующего нас элемента объема G , получаем:

$$\Delta \epsilon_{iZ, t} = \left(\frac{\partial \Delta \epsilon_{iZ}}{\partial \xi} \right)_{PT, \xi = \xi_0} \Delta \xi_t. \quad (\text{VI.275})$$

Комбинируя (VI.273) и (VI.275), пишем:

$$\Delta \epsilon_{iZ, t} = \Delta \epsilon_{iZ, t=0} e^{-t/\tau_{PT}}. \quad (\text{VI.276})$$

Поляризованная вдоль оси Z падающая монохроматическая световая волна имеет электрический вектор $\mathcal{E}_{0Z} e^{i\omega_0 t}$. Изменение во времени анизотропной флуктуации $\Delta \epsilon_{iZ}$, связанное с реакцией (VI.211), модулирует рассеянный свет. В линейном приближении модулирующая

функция $\Phi_G(t)$ для элемента объема G пропорциональна $\Delta\epsilon_{iZ}$. Поэтому электрический вектор рассеянной световой волны имеет вид

$$\mathcal{E}_{iZ, G}(t) = \mathcal{E}_{0Z} e^{i\omega_0 t} \Phi_G(t) = \mathcal{E}_{0Z} B_G^{iZ} e^{-(\tau_P^{-1} - i\omega_0)t} \quad (i = X, Z), \quad (\text{VI.277})$$

где B_G^{iZ} — некоторая, пока не известная функция, не зависящая от времени t . Применяя преобразование Фурье, получаем:

$$\mathcal{E}_{iZG}(\omega) = \int_{-\infty}^{+\infty} \mathcal{E}_{iZG}(\omega') e^{i\omega' t} d\omega', \quad (\text{VI.278})$$

$$\mathcal{E}_{iZG}(\omega') = \frac{1}{\pi} \int_0^{\infty} \mathcal{E}_{iZG}(t) e^{-i\omega' t} dt = \frac{\mathcal{E}_0 B_G^{iZ}}{\pi} \int_0^{\infty} e^{-(\tau_P^{-1} + i\omega)t} dt, \quad (\text{VI.279})$$

где круговая частота $\omega = \omega' - \omega_0$. Лапласовский образ функции (VI.279) имеет вид

$$\mathcal{E}_{iZG}(\omega) = \frac{\mathcal{E}_0 B_G^{iZ}}{\pi i} \frac{1}{\tau_P^{-1} + i\omega}. \quad (\text{VI.280})$$

Частотное распределение интенсивности $I_{\text{ан}iZ}$ в спектре света, рассеянного объемом жидкости V и связанного с $\langle (\Delta\epsilon_{iZ})^2 \rangle$, имеет вид

$$I_{iZ}(\omega) = \sum_V \langle \mathcal{E}_{iZG}(\omega) \mathcal{E}_{iZG}^*(\omega) \rangle = \sum_V \frac{\mathcal{E}_0^2 \langle (B_G^{iZ})^2 \rangle \tau_{PT}^2}{\pi^2 (1 + \omega^2 \tau_{PT}^2)}. \quad (\text{VI.281})$$

Найдем теперь $\langle B_{iZ}^2 \rangle = \sum_V \langle (B_G^{iZ})^2 \rangle$:

$$2 \int_{-\infty}^0 I_{iZ}(\omega) d\omega = I_{\text{ан}iZ} = \frac{\mathcal{E}_0^2 \langle B_{iZ}^2 \rangle \tau_{PT}}{\pi}, \quad (\text{VI.282})$$

где $I_{\text{ан}iZ}$ — интегральная интенсивность той части анизотропного рассеяния света, которая связана с $\langle (\Delta\epsilon_{iZ})^2 \rangle$. Из уравнения (VI.282) следует:

$$\langle B_{iZ}^2 \rangle = \frac{\pi I_{\text{ан}iZ}}{\mathcal{E}_0^2 \tau_{PT}}. \quad (\text{VI.283})$$

Таким образом,

$$I_{\text{ан}iZ}(\omega) = \frac{I_{\text{ан}iZ} \tau_{PT}}{\pi (1 + \omega^2 \tau_{PT}^2)}. \quad (\text{VI.284})$$

Это и есть искомое частотное распределение интенсивности в спектре анизотропного рассеяния, обусловленного флуктуациями $\Delta\epsilon_{iK}$, вызванными реакцией (VI.211). Здесь $I_{\text{ан}iZ}(\omega)$ — интенсивность XZ -или ZZ -компоненты анизотропного рассеяния на частоте ω ; $I_{\text{ан}iZ}$ — интегральная интенсивность той же компоненты. Спектральная плотность определяется отношением $I_{\text{ан}iZ}(\omega)/I_{\text{ан}iZ}$. Она, как показывает

уравнение (VI.284), представляет собой лоренцевую функцию или «лоренциан».

Реакции, наблюдаемые методами релеевской спектроскопии. Интегральная интенсивность света, рассеянного анизотропными флуктуациями, в указанных выше условиях равна [12, 13, 14]:

$$I_{\text{ан } Z} = I_{\text{ан } XZ} + I_{\text{ан } ZZ} = Q' < \Gamma^2 >, \quad (\text{VI.285})$$

где $< \Gamma^2 >$ — средняя статистическая анизотропия поляризуемости макроскопического объема V жидкости.

$$Q' = \frac{56}{45} \frac{I_{0Z}}{r^2} \left(\frac{\pi}{\lambda_0} \right)^4 \left(\frac{n^2 + 2}{3} \right)^4 \frac{N_A \rho}{\sum_i M_i x_i}, \quad (\text{VI.286})$$

где I_{0Z} — интенсивность падающего линейно поляризованного излучения; λ_0 — длина волны этого излучения; n — показатель преломления жидкости для света, имеющего длину волны λ_0 . При рассеянии поляризованного света под прямым углом

$$\frac{I_{\text{ан } XZ}}{I_{\text{ан } ZZ}} = \frac{3}{4}. \quad (\text{VI.287})$$

Комбинируя (VI.284), (VI.285) и (VI.287), получаем:

$$I_{\text{ан } XZ}(\omega) = \frac{3}{7} Q' \frac{< \Gamma^2 > \tau_{PT}}{\pi (1 + \omega^2 \tau_{PT}^2)}; \quad (\text{VI.288})$$

$$I_{\text{ан } ZZ}(\omega) = \frac{4}{7} Q' \frac{< \Gamma^2 > \tau_{PT}}{\pi (1 + \omega^2 \tau_{PT}^2)}. \quad (\text{VI.289})$$

Уравнения (VI.288) и (VI.289) описывают распределение интенсивности в спектре X и Z компонент анизотропного рассеяния света, обусловленного одной реакцией (VI.211), если электрический вектор света, падающего на кювету, направлен вдоль оси Z .

Из уравнений (VI.288) и (VI.289) следует, что вклад в $I_{\text{ан } iZ}$ могут вносить только те реакции (VI.211), которые влияют на величину $< \Gamma^2 >$. Для таких реакций, наблюдаемых методами релеевской спектроскопии («релеевски наблюдаемые реакции»), производная

$$d< \Gamma^2 > / d\xi \neq 0. \quad (\text{VI.290})$$

Напомним, что ограничиваемся случаями, когда в системе протекает только одна реакция. Поэтому для однокомпонентной жидкости при постоянных P и T

$$d< \Gamma^2 > = \left(\frac{\partial < \Gamma^2 >}{\partial \xi} \right)_{PT} d\xi \quad (\text{VI.291})$$

и равновесное значение величины $< \Gamma^2 >$ равно:

$$< \Gamma^2 > = \int_0^{\xi_0} \frac{\partial < \Gamma^2 >}{\partial \xi} d\xi. \quad (\text{VI.292})$$

Так же, как и в случае ДР-спектров (см. § 35), если в жидкой фазе происходит две или более реакций, то вклад в релеевский спектр могут

вносить не только те реакции, которые непосредственно изменяют величину анизотропии поляризуемости $\langle \Gamma^2 \rangle$, но и реакции, косвенно содействующие изменению $\langle \Gamma^2 \rangle$.

Рассмотрим связь между механизмами реакций вида (VI.211) и возможностью их исследования методами релеевского рассеяния света. Будем следовать порядку, принятому в предыдущих параграфах этой главы. Предположим сначала, что жидкость неассоциирована. Конформационные превращения отсутствуют — все молекулы одинаковы. Тогда, как показано в [14]:

$$\langle \Gamma^2 \rangle = N \gamma_1^2 = N_A n \gamma_1^2, \quad (\text{VI.293})$$

где N — общее число мономерных молекул в объеме V жидкости; γ_1^2 — анизотропия поляризуемости одной молекулы, определяемая уравнением (IV.76).

В данном случае γ_1^2 играет роль средней флуктуации анизотропии поляризуемости элемента объема $v_m = V/N$ системы.

Вернемся к реакции (VI.240). Элементарные события этой реакции представляют собой случайные (броуновские) скачкообразные изменения ориентации молекул. Так как $dn = d\xi$,

$$\partial \langle \Gamma^2 \rangle / \partial \xi = N_A \gamma_1^2. \quad (\text{VI.294})$$

Уравнение (VI.294) показывает, что неравенство (VI.290) для реакции (VI.240) выполняется. Следовательно, реакция (VI.240) релеевски наблюдаема. Спектральная плотность анизотропного рассеяния в этом, как и во всех других рассматриваемых в этом параграфе случаях, определяется уравнением (VI.288). Проблема случайных изменений ориентации молекул изучалась методами статистической физики в работах К. А. Валиева, Е. Н. Иванова и некоторых других исследователей. Здесь следует сказать, что теория изотропных случайных изменений ориентации молекул на конечные углы приводит к уравнению, по форме сходному с (VI.288). Но вместо времени релаксации τ_{RT} фигурирует среднее время τ между двумя последовательными поворотами частицы.

Теперь перейдем к реакции (VI.245). Будем считать, что вращательное движение молекул «заморожено», но молекулы имеют две конформации M_{11} и M_{12} . Уравнение (VI.245) описывает превращение одного конформера в другой. Следуя [14], получаем:

$$\langle \Gamma^2 \rangle = N_A (n_{11} \gamma_{11}^2 + n_{12} \gamma_{12}^2), \quad (\text{VI.295})$$

где n_{11} и n_{12} — числа молей конформеров в объеме V жидкости; γ_{11}^2 и γ_{12}^2 — анизотропии поляризуемости молекул конформеров.

Имеем: $d\xi = -dn_{11} = dn_{22}$, поэтому

$$\partial \langle \Gamma^2 \rangle / \partial \xi = N_A (\gamma_{12}^2 - \gamma_{11}^2). \quad (\text{VI.296})$$

Производная $\partial \langle \Gamma^2 \rangle / \partial \xi$ отлична от нуля, когда $\gamma_{12}^2 \neq \gamma_{11}^2$. Это означает, что релеевски наблюдаемы те конформационные превращения, при которых изменяется анизотропия поляризуемости молекул.

Рассмотрим теперь такую однокомпонентную жидкость, анизотропные молекулы которой могут образовывать димеры. Следовательно, в жидкой фазе имеет место реакция (VI.251). В этом случае [14, 13]:

$$\langle \Gamma^2 \rangle = N_A (n_1 \gamma_1^2 + n_2 \gamma_2^2). \quad (\text{VI.297})$$

где n_1 и n_2 — числа молей мономеров и димеров в объеме V жидкой фазы; γ_1^2 и γ_2^2 — анизотропии поляризуемости молекул мономеров и димеров соответственно. Из уравнения реакции димеризации (VI.251) следует, что $dn_1 = -2 d\xi$ и $dn_2 = d\xi$. Поэтому

$$\frac{\partial \langle \Gamma^2 \rangle}{\partial \xi} = N_A (\gamma_2^2 - 2\gamma_1^2). \quad (\text{VI.298})$$

Производная $\partial \langle \Gamma^2 \rangle / \partial \xi$ для реакции димеризации будет отличаться от нуля, если

$$\gamma_2^2 \neq 2\gamma_1^2. \quad (\text{VI.299})$$

Величина γ_2^2 зависит от строения молекулы димера, т. е. от того, как расположены мономерные молекулы в димере. Если γ_2^2 такова, что неравенство (VI.299) выполняется, то производная $\partial \langle \Gamma^2 \rangle / \partial \xi$ для реакции (VI.251) отлична от нуля. Такая реакция (VI.251) релеевски наблюдаемая. Если же величина γ_2^2 равна $2\gamma_1^2$, то производная $\partial \langle \Gamma^2 \rangle / \partial \xi$ обращается в нуль. В этом случае реакция димеризации (VI.251) будет релеевски не наблюдаемая.

Рассмотрим в качестве примера частный случай, когда мономерные молекулы жидкой фазы осесимметричны, так что два главных значения тензора поляризуемости одинаковы. Таковы, например, молекулы бензола. Согласно (IV.76) анизотропия поляризуемости таких молекул равна

$$\gamma_1^2 = (\alpha_{11} - \alpha_{22})^2. \quad (\text{VI.300})$$

Можно показать, что в этом случае

$$\gamma_2^2 = 3\gamma_1^2 \left(\cos^2 \varphi + \frac{1}{3} \right), \quad (\text{VI.301})$$

где φ — угол между осями симметрии мономерных молекул в молекуле димера. Пусть $\varphi = 0$ или π , т. е. оси симметрии мономерных молекул в димере параллельны. Тогда $\gamma_2^2 = 4\gamma_1^2$ и разность $\gamma_2^2 - 2\gamma_1^2 = 2\gamma_1^2$. Реакция между осесимметричными молекулами, приводящая к образованию таких димеров, релеевски наблюдаемая.

Допустим теперь, что $\varphi = \pi/2$. Тогда $\gamma_2^2 = \gamma_1^2$ и $\gamma_2^2 - 2\gamma_1^2 = -\gamma_1^2$. Реакция образования таких димеров тоже релеевски наблюдаемая.

Если же $\cos^2 \varphi = 1/3$, т. е. $\varphi \simeq 56^\circ$, разность $\gamma_2^2 - 2\gamma_1^2$ будет равна нулю и реакция образования имеющих эту структуру димеров из осесимметричных молекул будет релеевски не наблюдаемая. В более общем случае, когда в однокомпонентной жидкой фазе присутствуют ассоциаты вида 1, 2, ..., p , ... формула, связывающая $\langle \Gamma^2 \rangle$ с числами молей ассоциатов n_1, n_2, \dots, n_p и анизотропиями поляризуемости молекул

ассоциатов $\gamma_1^2, \gamma_2^2, \dots, \gamma_p^2, \dots$ (здесь индексом «1» обозначены мономеры), имеет вид [44, 12, 16]

$$\langle \Gamma^2 \rangle = N_A \sum_{p \geq 1} n_p \gamma_p^2. \quad (\text{VI.302})$$

Если в жидкой фазе идет элементарная реакция



где индексы k, l, m и n обозначают виды молекул ассоциатов, то $d\xi = dn_m = dn_n = -dn_k = -dn_l$ и

$$\frac{1}{N_A} \frac{\partial \langle \Gamma^2 \rangle}{\partial \xi} = \gamma_m^2 + \gamma_n^2 - \gamma_k^2 - \gamma_l^2. \quad (\text{VI.304})$$

Релеевски наблюдаемые будут такие элементарные реакции вида (VI.303), для которых справедливо неравенство

$$\gamma_m^2 + \gamma_n^2 \neq \gamma_k^2 + \gamma_l^2. \quad (\text{VI.305})$$

Времена релаксации и релаксационные силы релеевски наблюдаемых простых реакций. Времена релаксации τ_{RT} релеевски наблюдаемых реакций связаны с константами скорости реакций и концентрациями или активностями реагирующих частиц соотношениями, которые приведены в § 29. Аналогом релаксационной силы в релеевской спектроскопии служит отношение интегральных интенсивностей света, рассеянного на анизотропных флуктуациях, и падающего света, $I_{\text{ан}iZ}/I_{0Z}$ или $I_{\text{ан}iY}/I_{0Y}$, если падающий на кювету свет линейно поляризован, и отношение $I_{\text{ан}}/I_0$, если падающий свет не поляризован. Здесь индекс «0» обозначает свет, падающий на кювету, индексы Z или Y — оси лабораторной системы координат, вдоль которых направлен электрический вектор линейно поляризованного падающего излучения, индекс i обозначает оси X или Z лабораторной системы координат, вдоль которых направлен электрический вектор линейно поляризованного рассеянного излучения. Отношения $I_{\text{ан}iZ}/I_{0Z}$, $I_{\text{ан}iY}/I_{0Y}$ и $I_{\text{ан}}/I_0$ пропорциональны средней статистической анизотропии поляризуемости $\langle \Gamma^2 \rangle$ объема V жидкости, определяемой с помощью (VI.292). Коэффициенты пропорциональности легко найти, пользуясь соотношениями (VI.285)—(VI.289), а также уравнениями, приведенными в гл. IV.

§ 38. О ПРИНЦИПАХ ИССЛЕДОВАНИЯ МЕХАНИЗМА ПРОСТЫХ РЕАКЦИЙ

Примеры, приведенные в § 35—37, показывают, что сама возможность наблюдения какой-либо элементарной реакции методами диэлектрической, акустической и релеевской спектроскопии зависит от механизма этой элементарной реакции, а также от строения молекул реагирующих веществ и продуктов реакции. Поэтому, как уже говорилось в § 16, изучая свойства жидких систем методами диэлектрической, акустической и релеевской спектроскопии и другими методами, не рассмотренными в этой главе, можно с высокой степенью вероят-

ности устанавливать механизмы быстрых и сверхбыстрых элементарных реакций и строение реагирующих частиц. Некоторые примеры, показывающие, как решается эта задача, будут рассмотрены далее. Здесь будут охарактеризованы только принципы отыскания таких решений.

Предположим, что жидкость состоит из полярных молекул. Ради простоты примем, что молекулы осесимметричны. Пусть в некоторой области частот акустического спектра, лежащей, скажем, в интервале 10^8 — 10^{10} Гц, обнаружена полоса поглощения звука, форма которой следует уравнению (VI.156) (см. рис. 18). Это означает, что в жидкости протекает сверхбыстрый акустически наблюдаемый процесс, время релаксации которого $\tau_{PS} \simeq 10^{-9}$ с. Тепловой и объемный эффекты этого процесса отличны от нуля. Такой процесс может быть либо реакцией образования дырок, либо реакцией димеризации, либо конформационным превращением при условии, что энтальпии конформеров различны, либо, наконец, реакцией возбуждения молекул. Процессы образования более сложных ассоциатов не учитываются, поскольку в этой главе рассматриваются гипотетические системы, в которых может протекать лишь один простой процесс вида (VI.18).

Допустим, что диэлектрический спектр в области радиочастот 10^8 — 10^{10} Гц не имеет полосы поглощения. Отсюда вытекает, что реакция (VI.18) не может быть процессом образования дырок, так как возникновение или исчезновение дырок в жидкости может сопровождаться поворотами молекул на конечные углы, и, следовательно, это диэлектрически ненаблюдаемый процесс. Предположим, далее, что в той же области частот $\nu' = \nu - \nu_0 = 10^8$ — 10^{10} Гц спектра анизотропного релеевского рассеяния света соответствующей полосы тоже нет. Иначе говоря, сверхбыстрая реакция, обнаруженная акустическими методами, релеевски не наблюдаемая.

Отсюда следует вывод, что исследуемая реакция не может быть и реакцией димеризации. Так как реакция не наблюдается ни диэлектрическими, ни релеевскими методами, то, если бы она была реакцией димеризации, строение димеров должно было бы быть таким, чтобы одновременно выполнялись соотношение $\mu_2^2 = 2 \mu_1^2$ для дипольных моментов и соотношение $\gamma_2^2 = 2 \gamma_1^2$ для анизотропии поляризуемости. Первое из этих равенств требует, чтобы оси симметрии молекул в димере составляли угол 90° , а второе выполняется, когда оси симметрии образуют угол $\approx 55^\circ$. Поэтому, если реакция димеризации осесимметричных молекул не наблюдаемая методами диэлектрической радиоспектроскопии, она должна быть релеевски наблюдаемой. Если же реакция димеризации осесимметричных молекул релеевски не наблюдаема, она должна быть диэлектрически наблюдаемая.

В итоге остается сделать выбор между реакциями возбуждения и конформационного превращения. В последнем случае молекулы конформеров M_{11} и M_{12} должны были бы одновременно удовлетворять следующим двум условиям:

$$\left. \begin{aligned} \mu_{11} &= \mu_{12}; \\ \gamma_{11}^2 &= \gamma_{12}^2; \end{aligned} \right\} \quad (\text{VI.306})$$

т. е. дипольные моменты и анизотропии поляризуемости молекул конформеров должны быть одинаковыми.

Чтобы окончательно решить вопрос о механизме интересующей нас реакции, можно получить акустические спектры при нескольких температурах, спектры ЯМР, ИК спектры, а также произвести рентгеноструктурные исследования. Акустические спектры позволяют определить релаксационную силу b_a при нескольких температурах. Объемный эффект ΔV реакций возбуждения молекул и конформационных превращений практически равен нулю. Поэтому по данным об акустической релаксационной силе, если известны теплоемкости C_P и C_V жидкой фазы с помощью соотношения

$$b_a = \frac{(C_P^\circ - C_V^\circ)(C_P^\circ - C_P^\infty)}{C_V^\circ C_P^\infty}, \quad (\text{VI.307})$$

которое вытекает из уравнения (VI.207) при $\Delta V = 0$, можно определить C_P^∞ и $C_P^\circ - C_P^\infty$. Для реакции возбуждения разность $\delta C_P = C_P^\circ - C_P^\infty$ должна возрастать с температурой. Кроме того, δC_P может быть рассчитана по данным о спектрах молекул (см. § 16) и сопоставлена с результатами акустического эксперимента. Исследования ЯМР, ИК спектров или рентгеноструктурный анализ позволят решить вопрос о существовании конформеров.

Таким образом, быстрая или сверхбыстрая реакция может быть обнаружена и ее механизм выяснен с высокой степенью вероятности, если исследование выполнено рядом независимых методов. Упомянутые методы должны давать информацию либо о механизме процесса, либо о строении молекул, либо о том и другом одновременно.

ГЛАВА VII

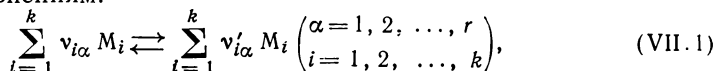
СЛОЖНЫЕ НЕКОЛЛЕКТИВНЫЕ ПРОЦЕССЫ. ПЕРЕХОД ОТ ЕСТЕСТВЕННЫХ К НОРМАЛЬНЫМ РЕАКЦИЯМ

В предыдущих главах было принято, что в жидкой фазе идет лишь одна элементарная реакция. Это приближение позволило изложить ряд основных вопросов теории быстрых процессов, избегая усложнений, которые возникают при описании систем, более близких к действительности. Теперь предположим, что в жидкой фазе одновременно протекает целый ряд связанных друг с другом процессов. Все эти процессы неколлективные. Каждый из них состоит из множества элементарных событий, которые могут быть описаны с помощью уравнений мономолекулярной, бимолекулярной или тримолекулярной реакции. Упрощение здесь сводится к отказу от учета коллективных процессов. Случаи, когда коллективные процессы играют существенную роль, будут рассмотрены позже, в гл. IX.

§ 39. СЛОЖНЫЕ РЕАКЦИИ

Химические потоки. Будем следовать методу Мейкснера в том варианте, который изложен Г. Бауэром в [7].

Предположим, что в гомогенной жидкой фазе протекает r реакций, элементарные события которых подчиняются следующим стехиометрическим уравнениям:



где M_i — вещество вида i ; $\nu_{i\alpha}$ — стехиометрические коэффициенты прямой реакции α ; $\nu'_{i\alpha}$ — стехиометрические коэффициенты обратной реакции α ; $\nu_{i\alpha}$ и $\nu'_{i\alpha}$ могут принимать значения 0, 1, 2. Сумма стехиометрических коэффициентов прямой или обратной реакции не превышает 3:

$$1 \leq \sum_i \nu_{i\alpha} \leq 3; \quad 1 \leq \sum_i \nu'_{i\alpha} \leq 3. \quad (\text{VII.2})$$

Процессы, где условия (VII.2) не выполняются, будем считать коллективными. Такие процессы пока что исключаются.

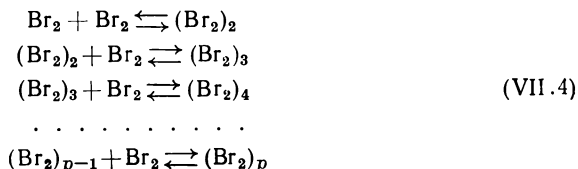
Степень полноты реакции α обозначим через ξ_α . Скорость реакции α или, иначе говоря, химический поток α

$$v_\alpha \equiv \dot{\xi}_\alpha \equiv \frac{d\xi_\alpha}{dt}. \quad (\text{VII.3})$$

Реакции (VII.1) могут быть взаимосвязаны. Другие потоки в системе отсутствуют. Каждый из потоков термодинамически сопряжен с «силой», возникающей в неравновесном состоянии. Эта сила называется родством A_α реакции α .

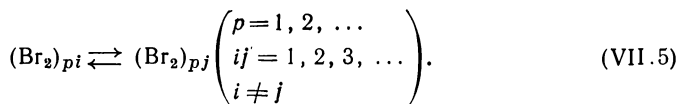
Реакции в жидком бром. Пусть однокомпонентная жидкость состоит из двухатомных молекул — таков, скажем, жидкий бром Br_2 . Молекулы Br_2 образуются за счет химической связи $\text{Br} - \text{Br}$. Энергия диссоциации этой связи $D_0 = 221$ кДж/моль (46,1 ккал/моль). Молекулы брома ассоциированы за счет слабых химических связей [3]. Молекулы ассоциатов могут содержать 2, 3, ..., p , ..., молекул Br_2 . Каждая из молекул Br_2 , по-видимому, может участвовать в шести относительно слабых химических связях с ближайшими молекулами Br_2 , энергия образования которых имеет величину порядка 10 кДж/моль. Не исключено существование еще более слабых связей между молекулами Br_2 . Поэтому молекулы ассоциатов могут образовывать сложные пространственные структуры — цепочки, двумерные и трехмерные сетки. p -Мерные ассоциаты могут иметь ряд форм, отличающихся взаимным расположением мономерных молекул Br_2 .

Следовательно, в жидком бромиде идут реакции ассоциации:

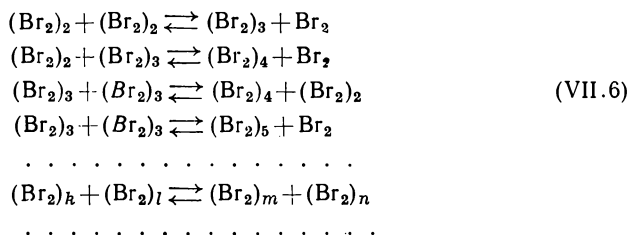


Кроме этих реакций в жидком броме идут мономолекулярные и бимолекулярные реакции перестройки ассоциатов.

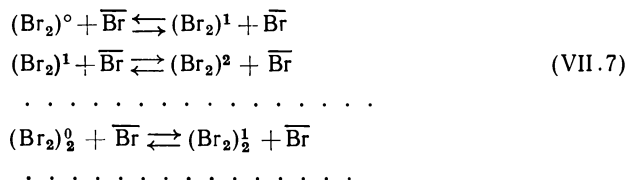
Мономолекулярные реакции представляют собой превращения одних изомерных форм, ассоциата, содержащего p молекул Br_2 , в другие:



Молекулы $(\text{Br}_2)_{pi}$ и $(\text{Br}_2)_{pj}$ отличаются расположением мономерных звеньев — молекул Br_2 — в ассоциате или числом слабых связей между молекулами Br_2 в ассоциате. Бимолекулярные реакции имеют вид:



Молекулы Br_2 и их ассоциаты могут находиться в основном и возбужденных колебательных состояниях. При тепловом движении в результате взаимодействий между молекулами их кинетическая энергия может переходить в энергию внутримолекулярных колебаний. Простейшие из таких реакций имеют вид:



где $(\text{Br}_2)^0$ — молекула Br_2 в основном колебательном состоянии; $(\text{Br}_2)^1$ — в первом возбужденном колебательном состоянии; $(\text{Br}_2)^2$ — во втором возбужденном колебательном состоянии и т. д. Символ $\overline{\text{Br}}$ обозначает партнера по взаимодействию, состояние ассоциации которого после взаимодействия остается неизменным, но кинетическая энергия может изменяться. При этом не имеет значения, находится ли партнер по взаимодействию в основном или возбужденном состоянии.

В (VII.7) учтены лишь те случаи, когда возбуждение или дезактивация молекул $(\text{Br}_2)_k$ происходит на соседние колебательные уровни, т. е. переходы имеют вид $n \rightarrow n + 1$ или $n \rightarrow n - 1$. Кроме (VII.7) возможны многоквантовые переходы и резонансные взаимодействия.

Реакции возбуждения электронных состояний тоже возможны, но в обычных условиях, при отсутствии сильных внешних воздействий, они маловероятны, так как энергия возбуждения электронных со-

стояний молекул, как правило, существенно выше энергии возбуждения колебательных состояний.

Группы реакций (VII.4)—(VII.7) образуют сложную систему взаимосвязанных процессов. Так, например, равновесная концентрация возбужденных молекул $(Br_2)^1$ зависит от равновесной концентрации невозбужденных молекул $(Br_2)^0$. Общая равновесная концентрация всех неассоциированных молекул $(Br_2)^0$, $(Br_2)^1$... зависит от равновесной концентрации ассоциатов. Равновесные концентрации изомерных $(Br_2)_{pi}$ форм зависят от равновесной общей концентрации p -меров $(Br_2)_p$ и т. д.

Феноменологические уравнения. Выше было принято, что реакции (VII.1) элементарные, и были приведены примеры таких реакций в жидком бrome. Если система неравновесная, то степени полноты элементарных реакций представляют собой независимые переменные (см. § 7). Скорости элементарных реакций $\dot{\xi}_\alpha$ непосредственно не зависят друг от друга. Каждый химический поток $\dot{\xi}_\alpha$ представляет собой функцию сопряженной с этим потоком термодинамической силы A_α . Разлагая функцию $\dot{\xi}_\alpha = f(A_\alpha)$ в ряд около точки, соответствующей термодинамическому равновесию, и ограничиваясь линейным членом ряда, получаем:

$$\dot{\xi}_\alpha = \left(\frac{\partial \dot{\xi}_\alpha}{\partial A_\alpha} \right)_{A_\alpha=0} dA_\alpha \quad (\alpha = 1, 2, \dots, r). \quad (VII.8)$$

Вводя обозначения

$$L_{\alpha\alpha} = \left(\frac{\partial \dot{\xi}_\alpha}{\partial A_\alpha} \right)_{A_\alpha=0}; \quad dA_\alpha \equiv A_\alpha, \quad (VII.9)$$

так как в состоянии равновесия $A_\alpha = 0$, имеем:

$$\dot{\xi}_\alpha = L_{\alpha\alpha} A_\alpha. \quad (VII.10)$$

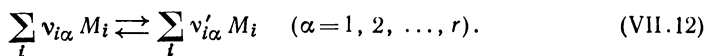
Уравнение (VII.10) представляет собой феноменологическое уравнение элементарной реакции α . $L_{\alpha\alpha}$ называется феноменологическим коэффициентом реакции α . Здесь и далее феноменологические коэффициенты фигурируют как постоянные. В малом интервале значений ξ в окрестности точки равновесия можно считать, что феноменологические коэффициенты не зависят от ξ .

Систему уравнений вида (VII.10) можно представить в форме векторного уравнения, вводя вектор-столбец $\dot{\xi}$, компонентами которого служат все скорости реакций $\dot{\xi}_\alpha$; вектор-столбец a , компонентами которого служат все сродства A_α , и матрицу феноменологических коэффициентов L :

$$\dot{\xi} = La. \quad (VII.11)$$

Так как реакции (VII.1) элементарные, матрица L диагональная. Все элементы матрицы L , не лежащие на главной диагонали, равны нулю.

Предположим теперь, что в гомогенной жидкой фазе имеется r неэлементарных реакций:



В этом случае стехиометрические коэффициенты могут быть целыми и дробными; ограничения (VII.2) отсутствуют. В неравновесном состоянии каждая из скоростей неэлементарных реакций $\dot{\xi}_\alpha$ ($\alpha = 1, 2, \dots, r$) в общем случае зависит от всех величин сродства A_β ($\beta = 1, 2, \dots, r$). Поэтому вместо (VII.10) получаем:

$$\dot{\xi}_\alpha = \sum_\beta L_{\alpha\beta} A_\beta \quad (\alpha, \beta = 1, 2, \dots, r), \quad (\text{VII.13})$$

где A_β — сродство реакции β ; $L_{\alpha\beta}$ — феноменологический коэффициент, учитывающий взаимосвязь между химическим потоком $\dot{\xi}_\alpha$ и сродством A_β , термодинамически сопряженным со степенью полноты ξ_β реакции β . Если с каким-либо из потоков β взаимосвязи нет, то соответствующий феноменологический коэффициент $L_{\alpha\beta}$ равен нулю. В малом интервале степеней полноты реакций $L_{\alpha\beta}$ постоянные.

Если объединить систему уравнений (VII.13) в векторное уравнение вида (VII.11), то матрица феноменологических коэффициентов $L_{\alpha\beta}$ будет квадратной, но не будет диагональной. Из второго закона термодинамики следует, что матрица $L_{\alpha\beta}$ положительно определенная. Можно считать эту квадратную матрицу симметричной, т. е. $L_{\alpha\beta} = L_{\beta\alpha}$ (теорема взаимности Онзагера) [1, 2].

Химические уравнения состояния. Состояние гомогенной неравновесной системы, в которой идет r реакций, определяется степенями полноты этих реакций $\xi_1, \xi_2, \dots, \xi_\alpha, \xi_\beta, \xi_\gamma, \dots, \xi_r$ и внешними переменными x и y , например температурой и давлением. Если на систему действует внешнее поле, то число внешних переменных, соответственно, увеличивается. Для такой системы существует r химических уравнений состояния. Эти уравнения связывают сродства A_β ($\beta = 1, 2, \dots, r$) с независимыми переменными, характеризующими состояние системы:

$$A_\beta = A_\beta(\xi_1, \dots, \xi_r, x, y). \quad (\text{VII.14})$$

Когда при заданных x и y в системе устанавливается полное термодинамическое равновесие, все силы и потоки исчезают. Скорости прямых реакций (VII.1) или (VII.12) равны скоростям соответствующих обратных реакций. Степени полноты реакций ξ_1, \dots, ξ_r становятся постоянными, равными $\xi_{10}, \dots, \xi_{r0}$. Величины $\xi_{10}, \dots, \xi_{r0}$ зависят только от переменных x и y , определяющих равновесное состояние. Иначе говоря, имеют место уравнения:

$$\dot{\xi}_{\alpha 0} = f_\alpha(x, y); \quad \alpha = 1, 2, \dots, r. \quad (\text{VII.15})$$

При термодинамическом равновесии ξ_α перестают быть независимыми переменными, необходимыми для характеристики состояния системы.

§ 40. УРАВНЕНИЯ РЕЛАКСАЦИИ

Разложим A_β около точки равновесия ($\xi_{10}, \dots, \xi_{r0}, x_0, y_0$) (см. § 28). Так как степени полноты реакций определяются с точностью до некоторой произвольной постоянной (см. § 6), примем, что $\xi_{\gamma 0} = 0$, где $\gamma = 1, 2, \dots, r$. В линейном приближении получим:

$$A_\beta = \sum_{\gamma} \left(\frac{\partial A_\beta}{\partial \xi_\gamma} \right)_{xy} \xi_\gamma + \left(\frac{\partial A_\beta}{\partial x} \right)_{\xi y} (x - x_0) + \left(\frac{\partial A_\beta}{\partial y} \right)_{\xi x} (y - y_0). \quad (\text{VII.16})$$

Производные вычисляются при условии постоянства не только x и y , но и всех других степеней полноты реакции, иных, чем ξ_γ . Пусть \mathcal{P} обозначает термодинамический потенциал системы, когда ее состояние определяется независимыми переменными x, y и $\{\xi\}$, тогда

$$d\mathcal{P} = \pm Xdx \pm Ydy - \sum_{\alpha} A_{\alpha} d\xi_{\alpha}. \quad (\text{VII.17})$$

Отсюда следует, что

$$\frac{\partial^2 \mathcal{P}}{\partial \xi_\beta \partial \xi_\gamma} = - \left(\frac{\partial A_\beta}{\partial \xi_\gamma} \right)_{xy}; \quad (\text{VII.18})$$

$$\frac{\partial^2 \mathcal{P}}{\partial \xi_\beta \partial x} = - \left(\frac{\partial A_\beta}{\partial x} \right)_{\xi y}; \quad (\text{VII.19})$$

$$\frac{\partial^2 \mathcal{P}}{\partial \xi_\beta \partial y} = - \left(\frac{\partial A_\beta}{\partial y} \right)_{\xi x}. \quad (\text{VII.20})$$

Объединим величины $(\partial A_\beta / \partial \xi_\gamma)$ в квадратную матрицу \mathbf{P} , а величины $(\partial A_\beta / \partial x)_{\xi y}$ и $(\partial A_\beta / \partial y)_{\xi x}$ — в векторы-столбцы \mathbf{p}_x и \mathbf{p}_y .

Пусть ξ вектор-столбец, элементами которого служат ξ_γ , и \mathbf{a} вектор-столбец, элементами которого служат A_β :

$$\xi \equiv \begin{pmatrix} \xi_1 \\ \vdots \\ \xi_\gamma \\ \vdots \\ \xi_r \end{pmatrix}; \quad \mathbf{a} \equiv \begin{pmatrix} A_1 \\ \vdots \\ A_\beta \\ \vdots \\ A_r \end{pmatrix}; \quad (\text{VII.21})$$

$$\mathbf{P} \equiv - \begin{pmatrix} \frac{\partial^2 \mathcal{P}}{\partial \xi_1^2} & \frac{\partial^2 \mathcal{P}}{\partial \xi_1 \partial \xi_2} & \dots & \frac{\partial^2 \mathcal{P}}{\partial \xi_1 \partial \xi_r} \\ \frac{\partial^2 \mathcal{P}}{\partial \xi_2 \partial \xi_1} & \dots & \dots & \dots \\ \frac{\partial^2 \mathcal{P}}{\partial \xi_r \partial \xi_1} & \dots & \dots & \frac{\partial^2 \mathcal{P}}{\partial \xi_r^2} \end{pmatrix}; \quad (\text{VII.22})$$

$$\mathbf{p}_x \equiv \begin{pmatrix} \frac{\partial A_1}{\partial x} \\ \vdots \\ \frac{\partial A_\beta}{\partial x} \\ \vdots \\ \frac{\partial A_r}{\partial x} \end{pmatrix}; \quad \mathbf{p}_y \equiv \begin{pmatrix} \frac{\partial A_1}{\partial y} \\ \vdots \\ \frac{\partial A_\beta}{\partial y} \\ \vdots \\ \frac{\partial A_r}{\partial y} \end{pmatrix}. \quad (\text{VII.23})$$

Пользуясь принятыми здесь обозначениями, можно представить систему уравнений (VII.16) в виде следующего векторного уравнения:

$$a = -P\xi + p_x(x-x_0) + p_y(y-y_0). \quad (\text{VII.24})$$

Комбинируя (VII.13) и (VII.16), получаем дифференциальные уравнения релаксации:

$$\begin{aligned} \dot{\xi}_\alpha = \sum_{\beta=1}^r L_{\alpha\beta} \left[\sum_{\gamma=1}^r \left(\frac{\partial A_\beta}{\partial \xi_\gamma} \right)_{xy} \xi_\gamma + \left(\frac{\partial A_\beta}{\partial x} \right)_{\xi y} (x-x_0) + \right. \\ \left. + \left(\frac{\partial A_\beta}{\partial y} \right)_{\xi x} (y-y_0) \right] \quad (\alpha = 1, 2, \dots, r). \end{aligned} \quad (\text{VII.25})$$

Это система r линейных неоднородных дифференциальных уравнений первого порядка относительно ξ .

Напишем уравнения (VII.13) в виде векторного уравнения

$$\dot{\xi} = L a, \quad (\text{VII.26})$$

где

$$\dot{\xi} \equiv \begin{pmatrix} \dot{\xi}_1 \\ \vdots \\ \dot{\xi}_\alpha \\ \vdots \\ \dot{\xi}_r \end{pmatrix}; \quad (\text{VII.27})$$

$$L = \begin{pmatrix} L_{11} & L_{12} & \dots & L_{1r} \\ \vdots & \vdots & \ddots & \vdots \\ L_{r1} & \dots & \dots & L_{rr} \end{pmatrix}. \quad (\text{VII.28})$$

С помощью уравнений (VII.26) и (VII.24) получаем:

$$\dot{\xi} = -L P \xi + L p_x(x-x_0) + L p_y(y-y_0). \quad (\text{VII.29})$$

Это векторное уравнение релаксации, связанной с r реакциями. Оно эквивалентно системе дифференциальных уравнений (VII.25).

Если химические потоки $1, 2, \dots, r$ и силы линейно независимы, т. е. феноменологические коэффициенты $L_{\alpha\beta}$ равны нулю при $\alpha \neq \beta$ и все производные $\partial A_\beta / \partial \xi_\gamma$ тоже равны нулю при $\beta \neq \gamma$, то при $x = x_0$ и $y = y_0$ система уравнений (VII.25) решается просто. Уравнения (VII.25) разделяются на r независимых дифференциальных уравнений:

$$\begin{aligned} \dot{\xi}_\alpha = L_{\alpha\alpha} \left[\left(\frac{\partial A_\alpha}{\partial \xi_\alpha} \right)_{xy} \xi_\alpha + \left(\frac{\partial A_\alpha}{\partial x} \right)_{\xi y} (x-x_0) + \right. \\ \left. + \left(\frac{\partial A_\alpha}{\partial y} \right)_{\xi x} (y-y_0) \right] \quad (\alpha = 1, 2, \dots, r). \end{aligned} \quad (\text{VII.30})$$

Каждое из этих уравнений аналогично дифференциальному уравнению простого релаксационного процесса (VI.57). Интегрируя (VII.30) при $x = x_0$ и $y = y_0$, получаем:

$$\xi_\alpha = \xi_{\alpha, t=0} \exp \left(- \frac{t}{\tau_{\alpha xy}} \right), \quad (\text{VII.31})$$

где $\tau_{\alpha xy}$ — время релаксации, связанное с реакцией α при постоянстве внешних переменных x и y :

$$\tau_{\alpha xy}^{-1} = -L_{\alpha\alpha} \left(\frac{\partial A_\alpha}{\partial \xi_\alpha} \right)_{xy}. \quad (\text{VII.32})$$

При $x = x_0$ и $y = y_0$ решение векторного уравнения релаксации (VII.29) имеет вид

$$\xi = [\exp(-\mathbf{L}Pt)] \xi_{t=0}. \quad (\text{VII.33})$$

Здесь $\xi_{t=0}$ — вектор-столбец, компонентами которого служат степени полноты ξ_α в момент начала отсчета времени $t = 0$; ξ — вектор-столбец, компонентами которого служат те же степени полноты в момент времени $t > 0$; $[\exp(-\mathbf{L}Pt)]$ — матрица, с помощью которой выполняется преобразование вектора $\xi_{t=0}$. Элементы этой матрицы легко определяются лишь в только что рассмотренном случае, когда все химические потоки и силы линейно независимы. Тогда недиагональные элементы матриц \mathbf{L} и \mathbf{P} равны нулю. Поэтому матрица $\mathbf{L}P$ диагональная, ее диагональные элементы равны $\tau_{\alpha xy}^{-1}$. И матрица $[\exp(-\mathbf{L}Pt)]$ также диагональная, ее элементы представляют собой экспоненциальные функции от элементов матрицы $(-\mathbf{L}Pt)$, т. е. $\exp(-t/\tau_{\alpha xy})$.

Предположим теперь, что матрица $\mathbf{L}P$ недиагональная. Представляют интерес два варианта: а) матрица \mathbf{L} диагональная; матрица \mathbf{P} недиагональная; б) матрица \mathbf{L} и матрица \mathbf{P} недиагональные. Здесь надо иметь в виду следующее. Как уже говорилось в § 39, матрица \mathbf{L} диагональная, если все r реакций элементарные. Что касается матрицы \mathbf{P} , то ее элементы $\frac{\partial^2 \mathcal{P}}{\partial \xi_\beta \partial \xi_\gamma}$ — это коэффициенты линейных по ξ_γ членов разложения (VII.16) сродства A_β в ряд около точки равновесия. Элементы матрицы \mathbf{P} — функции равновесных степеней полноты реакций. В состоянии термодинамического равновесия даже для элементарных реакций их степени полноты и, следовательно, концентрации реагентов могут быть взаимосвязаны. Примеры таких реакций имеются в § 39. Поэтому матрица \mathbf{P} может быть недиагональной и в тех случаях, когда все r реакций, идущих в системе, элементарные.

Вначале будет рассмотрен более общий вариант, когда в системе имеются неэлементарные реакции и обе матрицы \mathbf{L} и \mathbf{P} недиагональные. После этого легко перейти к частным случаям, когда реакции элементарные и, следовательно, матрица \mathbf{L} диагональная.

Если $\mathbf{L}P$ недиагональная матрица, т. е. естественные реакции взаимосвязаны, то, согласно уравнению (VII.33), каждая степень полноты реакции в момент времени t , $\xi_{\alpha t}$ в общем случае содержит как парамет-

ры все степени полноты реакции в начальный момент времени, $\xi_{\beta, t=0}$ ($\beta = 1, 2, \dots, r$), и все времена релаксации. Но физический смысл последних, как будет видно из дальнейшего, отличен от времени релаксации $\tau_{\alpha\gamma}$.

§ 41. ДИАГОНАЛИЗАЦИЯ МАТРИЦ L И P . ЕСТЕСТВЕННЫЕ И НОРМАЛЬНЫЕ РЕАКЦИИ

О способе отыскания решений уравнения релаксации. Итак, чтобы описать процесс релаксации в общем случае, когда в системе идет r взаимосвязанных реакций, надо найти метод, позволяющий вычислять элементы матрицы $[\exp(-L P t)]$. Известно, что степени полноты реакций ξ_1, \dots, ξ_r представляют собой некоторую систему координат, от которой зависит форма матриц L и P . Если естественные реакции взаимосвязаны, в этой системе координат матрицы L и P недиагональные. Но в другой системе координат ζ_1, \dots, ζ_r как матрица L , так и матрица P , вообще говоря, могут иметь диагональную форму. В теории матриц доказывается [17], что такая система координат существует, если обе матрицы вещественные и симметрические, причем одна из них положительно определенная. Координаты ζ_1, \dots, ζ_r представляют собой линейно независимые комбинации координат ξ_1, \dots, ξ_r .

Естественные и нормальные реакции. По аналогии с теорией малых колебаний систем точечных масс (например, колебаний атомных ядер в молекулах), где тоже применяется одновременное преобразование двух матриц к главным осям, координаты ξ_α именуются естественными координатами или степенями полноты естественных реакций (VII.12) или (VII.1). Координаты ζ_1, \dots, ζ_r называются нормальными координатами или степенями полноты нормальных реакций.

Связь между нормальными и естественными координатами имеет вид

$$\xi_\alpha = \sum_i x_{\alpha i} \zeta_i \quad (\alpha = 1, 2, \dots, r); (i = 1, 2, \dots, r) \quad (\text{VII.34})$$

где $x_{\alpha i}$ — постоянные во времени коэффициенты преобразований, в результате которых обе матрицы L и P становятся диагональными или, как говорят, преобразуются к главным осям координат. Задача состоит в том, чтобы найти коэффициенты преобразования $x_{\alpha i}$ или коэффициенты $w'_{i\alpha}$ обратного преобразования:

$$\zeta_i = \sum_\alpha w'_{i\alpha} \xi_\alpha \quad (i = 1, 2, \dots, r); (\alpha = 1, 2, \dots, r). \quad (\text{VII.35})$$

Коэффициенты уравнений (VII.34) и (VII.35) образуют постоянные во времени квадратные матрицы преобразования:

$$X \equiv \begin{pmatrix} x_{11} & \dots & x_{1r} \\ x_{r1} & \dots & x_{rr} \end{pmatrix}; \quad (\text{VII.36})$$

$$W \equiv \begin{pmatrix} w_{11} & \dots & w_{1r} \\ w_{r1} & \dots & w_{rr} \end{pmatrix}. \quad (\text{VII.37})$$

Уравнения (VII.34) и (VII.35) в векторной форме имеют вид:

$$\xi = X\xi; \quad (\text{VII.38})$$

$$\xi = W'\xi. \quad (\text{VII.39})$$

Далее в этом параграфе будет показано, что $W' = X'L^{-1}$, где L^{-1} — матрица, обратная матрице L ; X' и W' должны быть невырожденными постоянными во времени матрицами преобразования, такими, что линейные преобразования (VII.38) и (VII.39) однозначны и применимы не только для степеней полноты, но и для скоростей реакций.

Физический смысл этих математических преобразований следующий. Существование r линейно независимых функций ξ_i вида (VII.34) означает, что в неравновесной системе имеется r независимых друг от друга процессов. Когда система неравновесна, каждый такой процесс представляет собой нормальную реакцию — химический поток ξ_i . Каждый такой поток сопряжен с термодинамической силой (сродством A_i), которая при постоянных внешних переменных зависит только от одной нормальной координаты ξ_i . Как будет видно из дальнейшего изложения, во многих случаях непосредственно доступны экспериментальному исследованию именно такие независимые потоки — нормальные реакции. Задача состоит в том, чтобы, изучая нормальные реакции, установить те естественные элементарные процессы вида (VII.1), сочетание которых дает нормальные реакции. Для решения этой задачи прежде всего надо располагать методами нахождения матриц преобразования X или W .

Квадратичные формы. Диагонализация матриц. Чтобы облегчить чтение следующих параграфов, приведем некоторые из основных понятий теории квадратичных форм и теории матриц, в частности общий метод их диагонализации. Систематическое изложение этих вопросов имеется в руководствах по теории матриц, например в [16] и [17]. Там даны доказательства теорем, приводимых здесь без вывода.

Однородной квадратичной формой от r действительных или комплексных переменных ξ_1, \dots, ξ_r называется многочлен

$$\sum_{\alpha} \sum_{\beta} a_{\alpha\beta} \xi_{\alpha} \xi_{\beta} \quad (\alpha, \beta = 1, 2, \dots, r). \quad (\text{VII.40})$$

Пусть $x' \equiv [\xi_{\alpha}]$ — матрица-строка, а $x \equiv [\xi_{\beta}]$ — матрица-столбец. $A \equiv [a_{\alpha\beta}]$ — квадратная матрица порядка r , элементы которой есть $a_{\alpha\beta}$; $A' \equiv [a_{\alpha\beta}]$ — транспонированная матрица A . Это означает, что строки матрицы A' совпадают со столбцами матрицы A . В матричной записи квадратичная форма (VII.40) имеет вид

$$\sum_{\alpha} \sum_{\beta} a_{\alpha\beta} \xi_{\alpha} \xi_{\beta} \equiv X'AX \equiv X' A_1 X, \quad (\text{VII.41})$$

где $A_1 = \frac{1}{2}(A + A')$ — симметрическая часть матрицы A . Если бы матрица A была антисимметрическая, т. е. $a_{\alpha\beta} = -a_{\beta\alpha}$, то квадратичная форма была бы тождественно равна нулю. Поэтому обычно квадратичные формы пишут так, что коэффициенты $a_{\alpha\beta}$ являются элементами симметрической матрицы A_1 . В дальнейшем индекс «1» сим-

метрической матрицы A_1 будет опущен. Таким образом, коэффициенты квадратичной формы (VII.41) удовлетворяют условию

$$a_{\alpha\beta} = a_{\beta\alpha}. \quad (\text{VII.42})$$

В этой главе рассматриваются действительные квадратичные формы и действительные матрицы A , т. е. такие, каждый элемент которых $a_{\alpha\beta}$ — действительное число.

Если для любого набора действительных чисел ξ_1, \dots, ξ_r , не все из которых равны нулю, справедливо неравенство

$$x' A x > 0, \quad (\text{VII.43})$$

то действительная симметрическая квадратичная форма (VII.40) и соответствующая ей действительная симметрическая матрица A называются положительно определенными. Квадратная матрица I порядка n называется единичной, если все элементы на главной диагонали равны единице, а остальные элементы равны нулю:

$$I \equiv [\delta_{ik}]; \quad \delta_{ik} = \begin{cases} 0, & \text{если } i \neq k; \\ 1, & \text{если } i = k. \end{cases} \quad (\text{VII.44})$$

Квадратная матрица T называется ортогональной, если

$$T' T = T T' = I \quad (\text{VII.45})$$

и, следовательно,

$$T' = T^{-1}, \quad (\text{VII.46})$$

где T^{-1} — обозначает матрицу, обратную матрице T .

Для каждой действительной симметрической квадратичной формы (VII.41) существует действительная ортогональная матрица T , приводящая матрицу A к диагональному виду \tilde{A} :

$$\tilde{A} = T' A T = \begin{pmatrix} \lambda_1 & & 0 \\ & \ddots & \\ 0 & & \lambda_r \end{pmatrix}, \quad (\text{VII.47})$$

где λ_i ($i = 1, 2, \dots, r$) — собственные значения матрицы A ; i -й столбец матрицы T есть собственный вектор матрицы A , соответствующий собственному значению λ_i .

Две действительные симметрические матрицы A и B могут быть одновременно приведены к диагональной форме с помощью ортогональной матрицы T , такой, что

$$T' A T = \begin{pmatrix} \lambda_1 & & 0 \\ & \ddots & \\ 0 & & \lambda_r \end{pmatrix}; \quad T' B T = \begin{pmatrix} \mu_1 & & 0 \\ & \ddots & \\ 0 & & \mu_r \end{pmatrix}; \quad (\text{VII.48})$$

если матрица A положительно определенная. Пусть имеются две действительные симметрические матрицы A и B , причем матрица A положительно определенная. Тогда существует невырожденная матрица T , такая, что

$$T' A T = I; \quad (\text{VII.49})$$

$$T' B T = \begin{pmatrix} \mu_1 & & 0 \\ & \ddots & \\ 0 & & \mu_r \end{pmatrix}, \quad (\text{VII.50})$$

где μ_1, \dots, μ_r — спектр собственных значений матрицы \mathbf{B} . Собственные векторы \mathbf{x} и собственные значения μ матрицы \mathbf{AB} определяются соотношениями вида

$$\mathbf{Bx} = \mu \mathbf{A}^{-1} \mathbf{x}. \quad (\text{VII.51})$$

Матрица \mathbf{AB} может быть несимметрической.

Матрицы \mathbf{L} и \mathbf{P} и их квадратичные формы. Выясним некоторые свойства матриц \mathbf{L} и \mathbf{P} . Согласно теореме Онзагера [1, 2]:

$$L_{\alpha\beta} = L_{\beta\alpha}. \quad (\text{VII.52})$$

Следовательно, матрица \mathbf{L} симметрическая, т. е. $\mathbf{L}' = \mathbf{L}$. В неравновесной термодинамике доказывается, что производство энтропии Π (см. § 27) есть билинейная форма потоков и сил. В случае химических потоков и сил производство энтропии

$$\Pi = \frac{1}{T} \sum_{\alpha=1}^r A_{\alpha} \dot{\xi}_{\alpha} = \frac{1}{T} \mathbf{a}' \dot{\boldsymbol{\xi}}. \quad (\text{VII.53})$$

Комбинируя (VII.53) и (VII.13), получаем квадратичную форму

$$\Pi = \frac{1}{T} \sum_{\alpha} \sum_{\beta} L_{\alpha\beta} A_{\alpha} A_{\beta} = \frac{1}{T} \mathbf{a}' \mathbf{L} \mathbf{a}. \quad (\text{VII.54})$$

Из второго начала термодинамики следует, что в системе, где идут необратимые процессы, Π положительно. Таким образом, матрица \mathbf{L} положительно определенная. Система уравнений (VII.13) в векторной форме имеет вид

$$\dot{\boldsymbol{\xi}} = \mathbf{L} \mathbf{a}. \quad (\text{VII.55})$$

Решая (VII.55) относительно вектора столбца \mathbf{a} , получаем:

$$\mathbf{a} = \mathbf{L}^{-1} \dot{\boldsymbol{\xi}}. \quad (\text{VII.56})$$

Подставляя в (VII.54), находим:

$$\Pi = \frac{1}{T} \dot{\boldsymbol{\xi}}' \mathbf{L}'^{-1} \dot{\boldsymbol{\xi}} = \frac{1}{T} \dot{\boldsymbol{\xi}}' \mathbf{L}^{-1} \dot{\boldsymbol{\xi}}. \quad (\text{VII.57})$$

Здесь производство энтропии представлено в виде квадратичной формы от степеней полноты реакций ξ_1, \dots, ξ_r .

Из (VII.17) вытекает, что смешанные вторые производные \mathcal{P} не зависят от порядка дифференцирования:

$$\frac{\partial^2 \mathcal{P}}{\partial \xi_{\alpha} \partial \xi_{\beta}} = \frac{\partial^2 \mathcal{P}}{\partial \xi_{\beta} \partial \xi_{\alpha}}, \text{ т. е. } p_{\alpha\beta} = p_{\beta\alpha}. \quad (\text{VII.58})$$

Таким образом, матрица \mathbf{P} — симметрическая. Разложим термодинамический потенциал $\mathcal{P} = \mathcal{P}(xy, \{\xi\})$ в ряд около точки равновесия $x_0, y_0, \{\xi_0\}$ при условии, что $x = x_0$ и $y = y_0$. В состоянии термодинамического равновесия все химические силы A_{α} ($\alpha = 1, 2, \dots, r$) равны нулю. Следовательно, при $x = x_0$ и $y = y_0$ линейные члены разложения \mathcal{P} в ряд исчезают. Члены ряда, содержащие вторые производные $\frac{\partial^2 \mathcal{P}}{\partial \xi_{\alpha} \partial x}$ и $\frac{\partial^2 \mathcal{P}}{\partial \xi_{\alpha} \partial y}$, тоже отсутствуют, так как множители $(x - x_0)^2$

и $(y - y_0)^2$ равны нулю. Поэтому, ограничиваясь квадратичными членами ряда, получаем:

$$\begin{aligned} \mathcal{P} - \mathcal{P}_0 &= \frac{1}{2} \sum_{\alpha} \sum_{\beta} \left(\frac{\partial^2 \mathcal{P}}{\partial \xi_{\alpha} \partial \xi_{\beta}} \right)_{xy} \xi_{\alpha} \xi_{\beta} = -\frac{1}{2} \sum_{\alpha} \sum_{\beta} \left(\frac{\partial A_{\alpha}}{\partial \xi_{\beta}} \right)_{xy} \xi_{\alpha} \xi_{\beta} = \\ &= \frac{1}{2} \xi' P \xi. \end{aligned} \quad (\text{VII.59})$$

Следовательно, при условии $x \equiv x_0$ и $y = y_0$ термодинамический потенциал \mathcal{P} представляет собой квадратичную форму от степеней полноты реакций. Так как при этом дополнительном условии термодинамический потенциал имеет минимум, разность $\mathcal{P} - \mathcal{P}_0$ всегда положительна и P есть положительно определенная матрица.

Преобразование квадратичных форм Π и $\mathcal{P} - \mathcal{P}_0$ к нормальным координатам. Перейдем теперь от степеней полноты естественных реакций $\{\xi\}$ к степеням полноты нормальных реакций $\{\zeta\}$. С помощью уравнения (VII.38), учитывая, что $\xi' = \zeta' X'$, перепишем квадратичные формы (VII.57) и (VII.59) следующим образом:

$$\Pi = \frac{1}{T} \zeta' X' L^{-1} X \zeta; \quad (\text{VII.60})$$

$$\mathcal{P} - \mathcal{P}_0 = \frac{1}{2} \zeta' X' P X \zeta. \quad (\text{VII.61})$$

Квадратичная форма (VII.60) положительно определенная. Матрицы L^{-1} и P действительные и симметрические. Они одинакового порядка r . Поэтому в соответствии с теоремой об одновременном приведении к диагональному виду двух симметрических матриц можно потребовать, чтобы $X' L^{-1} X$ и $X' P X$ были диагональными матрицами.

Пусть x обозначает какой-либо столбец матрицы преобразования X . Из вышесказанного следует, что x есть собственный вектор матриц L^{-1} и P одновременно. Согласно обобщенной задаче о собственных значениях (VII.51) имеет место соотношение

$$P x = \frac{1}{\tau} L^{-1} x, \quad (\text{VII.62})$$

где P , L и $1/\tau$ соответствуют A , B и μ в уравнении (VII.51); x и $1/\tau$ — собственные векторы и собственные значения матрицы LP , которая может быть несимметрической. Уравнение (VII.62) однородно, поэтому собственные векторы x_i определяются с точностью до произвольной постоянной. Эти постоянные выбираются так, чтобы выполнялось соотношение (VII.49), т. е. чтобы матрицы $x_i' L^{-1} x_i$ были равны единице. Кроме того, собственные векторы взаимно ортогональны по отношению к L^{-1} . Таким образом, диагональная матрица $X' L^{-1} X$ представляет собой единичную матрицу и, следовательно, при соответствующем выборе произвольных постоянных

$$x_i' L^{-1} x_k = \delta_{ik}, \quad (\text{VII.63})$$

где δ_{ik} удовлетворяет условиям (VII.44).

Комбинируя уравнения (VII.62) и (VII.63), получаем:

$$x'_i P x_\kappa = \frac{1}{\tau_\kappa} x'_i L^{-1} x_\kappa = \frac{1}{\tau_\kappa} \delta_{i\kappa}. \quad (\text{VII.64})$$

Таким образом, диагональные элементы матрицы $X'PX$ равны собственным значениям $1/\tau_\kappa$. Диагональные элементы матрицы $X' L^{-1} X$ равны единице. Вместе с тем, как уже было сказано, τ_κ^{-1} есть собственные значения несимметрической матрицы LP . Итак,

$$L^{-1} = X' L^{-1} X = I, \quad (\text{VII.65})$$

$$\mathcal{P} = X' P X = T^{-1}, \quad (\text{VII.66})$$

где T^{-1} — диагональная матрица. Элементы ее главной диагонали равны собственным значениям τ_κ^{-1} . При такой матрице преобразования X квадратичные формы (VII.60) и (VII.61) имеют вид:

$$\Pi = \frac{1}{T} \xi' T \xi = \frac{1}{T} \xi' \xi; \quad (\text{VII.67})$$

$$\mathcal{P} - \mathcal{P}_0 = \frac{1}{2} \xi' T^{-1} \xi. \quad (\text{VII.68})$$

Так как матрицы $X' L^{-1}$ и X ортогональны по отношению друг к другу, то, пользуясь (VII.45) и (VII.46), получаем:

$$\xi = X^{-1} \xi = X' L^{-1} \xi \equiv W \xi, \quad (\text{VII.69})$$

где $W = X' L^{-1}$.

Из (VII.65) следует, что строки w'_i матрицы $W = X' L^{-1}$ и столбцы x_κ матрицы X подчиняются условию ортогональности:

$$w'_i x_\kappa = \delta_{i\kappa}. \quad (\text{VII.70})$$

Умножая обе части равенства (VII.65) справа на единичную матрицу $X^{-1} L L^{-1} X$, получаем:

$$(X' L^{-1}) L (L^{-1} X) = I. \quad (\text{VII.71})$$

Умножая обе части равенства (VII.66) слева на единичную матрицу $X' L^{-1} L (X')^{-1}$ и справа на единичную матрицу $X^{-1} L L^{-1} X$, находим

$$(X' L^{-1}) L P L (L^{-1} X) = T^{-1}, \quad (\text{VII.72})$$

где $X' L^{-1}$ — транспонированная матрица по отношению к $L^{-1} X$.

Соотношения (VII.71) и (VII.72) показывают, что столбцы w_i матрицы $L^{-1} X$ или строки w'_i матрицы $X' L^{-1}$ представляют собой собственные векторы двух матриц L и $L P L$ с тем же спектром собственных значений, который был найден у матриц P и LP .

Чтобы охарактеризовать отношение x и w' к несимметрической матрице LP , напишем уравнение (VII.62) в следующей форме:

$$\frac{1}{\tau} x = L P x. \quad (\text{VII.73})$$

Умножая на w' слева и справа обе части равенства (VII.73) и учитывая условие ортогональности (VII.70), получаем:

$$\frac{1}{\tau} w' = w' L P. \quad (\text{VII.74})$$

Итак, решение задачи о собственных значениях матрицы LP можно искать с помощью собственных векторов x , т. е. столбцов матрицы преобразования X или векторов w' -строк матрицы $W \equiv X'L^{-1}$. С этой целью матрица LP умножается на x справа или на w' слева. Собственное значение матрицы LP в обоих случаях остается тем же самым.

§ 42. УРАВНЕНИЯ РЕЛАКСАЦИИ НОРМАЛЬНЫХ РЕАКЦИЙ

Сродство нормальной реакции. Химические процессы не зависят от способа их описания с помощью естественных или нормальных степеней полноты реакций. Внешние переменные, концентрации компонентов, термодинамические потенциалы должны быть инвариантны по отношению к преобразованию (VII.38) или (VII.39). Для термодинамического потенциала \mathcal{P} имеем:

$$\mathcal{P}(x, y, \{\xi\}) = \mathcal{P}(x, y, \{\zeta\}). \quad (\text{VII.75})$$

В новых внутренних переменных полный дифференциал \mathcal{P} имеет вид

$$d\mathcal{P} = \pm Xdx \pm Ydy - \sum_{i=1}^r a_i d\zeta_i, \quad (\text{VII.76})$$

где a_i — сродство i -й нормальной реакции:

$$a_i = - \left(\frac{\partial \mathcal{P}}{\partial \zeta_i} \right)_{x, y, \zeta_j}. \quad (\text{VII.77})$$

Прежде чем установить, как сродство нормальной реакции зависит от сродства естественных реакций, рассмотрим, следуя [7], эту задачу в общем виде.

Пусть J некоторая производная величина, инвариантная относительно преобразования (VII.38). Векторы-столбцы

$$\frac{\partial J}{\partial \xi} \equiv \begin{pmatrix} \frac{\partial J}{\partial \xi_1} \\ \vdots \\ \frac{\partial J}{\partial \xi_r} \end{pmatrix}; \quad \frac{\partial J}{\partial \zeta} \equiv \begin{pmatrix} \frac{\partial J}{\partial \zeta_1} \\ \vdots \\ \frac{\partial J}{\partial \zeta_r} \end{pmatrix} \quad (\text{VII.78})$$

содержат все частные производные $\partial J / \partial \xi_\alpha$ и $\partial J / \partial \zeta_i$ соответственно. Дифференциал dJ связан с дифференциалами $d\xi$ и $d\zeta$ следующим образом:

$$dJ = \sum_{\alpha} d\xi_{\alpha} \frac{\partial J}{\partial \xi_{\alpha}} = (d\xi)' \frac{\partial J}{\partial \xi} = (d\zeta)' X' \left(\frac{\partial J}{\partial \xi} \right). \quad (\text{VII.79})$$

Так как $(Xd\zeta)' = (d\zeta)' X'$, а

$$dJ = \sum_i d\zeta_i \left(\frac{\partial J}{\partial \zeta_i} \right) = (d\zeta)' \left(\frac{\partial J}{\partial \zeta} \right), \quad (\text{VII.80})$$

то

$$\left(\frac{\partial J}{\partial \zeta} \right) = X' \left(\frac{\partial J}{\partial \xi} \right). \quad (\text{VII.81})$$

Точно так же

$$\left(\frac{\partial \mathcal{P}}{\partial \xi}\right)_{xy} = \mathbf{X}' \left(\frac{\partial \mathcal{P}}{\partial \xi}\right)_{xy} \quad (\text{VII.82})$$

или

$$\mathbf{a}_{\xi} = \mathbf{X}' \mathbf{a}, \quad (\text{VII.83})$$

где \mathbf{a}_{ξ} и \mathbf{a} — векторы-столбцы, компонентами которых служат сродства нормальных или естественных реакций соответственно. Пользуясь (VII.39) и (VII.66), преобразуем векторное химическое уравнение состояния (VII.24) к следующему виду:

$$\mathbf{a}_{\xi} = -T^{-1} \xi + \mathbf{X}' \mathbf{p}_x (x - x_0) + \mathbf{X}' \mathbf{p}_y (y - y_0). \quad (\text{VII.84})$$

Уравнение (VII.84) представляет собой векторное химическое уравнение состояния системы, в которой имеет место r нормальных реакций.

Феноменологическое уравнение (VII.56) с учетом (VII.83) и (VII.65) преобразуется к виду

$$\mathbf{a}_{\xi} = \dot{\xi}, \quad (\text{VII.85})$$

что непосредственно вытекает и из соотношения (VII.67) для производства энтропии П. Уравнение (VII.85) представляет собой математическую формулировку того, что скорость каждой из нормальных реакций $\dot{\xi}_i$ зависит только от соответствующего ей сродства \mathbf{a}_{ξ_i} . В свою очередь сродство \mathbf{a}_{ξ_i} зависит только от степени полноты i -й нормальной реакции и внешних переменных x и y :

$$\mathbf{a}_{\xi_i} = \mathbf{a}_{\xi_i}(x, y, \xi_i). \quad (\text{VII.86})$$

Разложим сродство i -й нормальной реакции \mathbf{a}_{ξ_i} в ряд около точки x_0, y_0, ξ_{i0} , соответствующей состоянию термодинамического равновесия. Степени полноты естественных реакций ξ_{α} , как уже говорилось, могут быть определены с точностью до некоторой произвольной постоянной. Если произвольные постоянные для всех степеней полноты реакции выбраны так, что $\xi_{\alpha 0} = 0$ для любых $\alpha = 1, \dots, r$, то, поскольку матрица преобразования \mathbf{X} или \mathbf{W} невырожденная [см. теорему (VII.49), (VII.50)], ξ_{i0} — тоже равно нулю. При термодинамическом равновесии сродства нормальных реакций обращаются в нуль, $\mathbf{a}_{\xi} = 0, i = 1, 2, \dots, r$. Полагая $x = x_0$ и $y = y_0$, получим:

$$\mathbf{a}_{\xi_j} - \mathbf{a}_{\xi_{j0}} = \mathbf{a}_{\xi_j} = \left(\frac{\partial \mathbf{a}_{\xi_i}}{\partial \xi_i}\right)_{xy} \xi_j. \quad (\text{VII.87})$$

Согласно (VII.85)

$$\mathbf{a}_{\xi_j} = \dot{\xi}_j, \quad (\text{VII.88})$$

поэтому

$$\dot{\xi}_j = -\frac{1}{\tau_{xy, j}} \xi_j, \quad (\text{VII.89})$$

где

$$\tau_{xy, j}^{-1} = -(\partial a_{\xi_j} / \partial \xi_j)_{xy}. \quad (\text{VII.90})$$

Интегрируя в интервале от $t = 0$ до t , находим:

$$\xi_j(t) = \xi_j(0) e^{-\frac{t}{\tau_{xy, j}}}, \quad j = 1, 2, \dots, r. \quad (\text{VII.91})$$

Система уравнений (VII.91) в векторной форме

$$\xi_t = [\exp(-T^{-1}t)] \xi_{(t=0)}, \quad (\text{VII.92})$$

где матрицы T^{-1} и [...] имеют вид:

$$T^{-1} \equiv \begin{pmatrix} \tau_{xy, 1}^{-1} & & 0 \\ & \ddots & \\ 0 & & \tau_{xy, r}^{-1} \end{pmatrix}; \quad (\text{VII.93})$$

$$[\exp(-T^{-1}t)] \equiv \begin{pmatrix} e^{-t/\tau_{xy, 1}} & & 0 \\ & \ddots & \\ 0 & & e^{-t/\tau_{xy, r}} \end{pmatrix}. \quad (\text{VII.94})$$

Этот результат следует и непосредственно из (VII.33), так как преобразование (VII.38) переводит матрицу LP в матрицы $\mathcal{L}\mathcal{P}$, где \mathcal{L} представляет собой единичную матрицу, а $\mathcal{P} = T^{-1}$. Таким образом, собственные значения матрицы LP представляют собой релаксационные частоты $\omega_j = \tau_{xy, j}^{-1}$.

Преобразуем (VII.92) к естественным координатам:

$$\xi(t) = X [\exp(-T^{-1}t)] \xi_{(t=0)}. \quad (\text{VII.95})$$

Компоненты вектора-столбца ξ , т. е. степени полноты естественных реакций, равны:

$$\xi_\alpha = \sum_k X_{\alpha k} e^{-t/\tau_{xy, k}} \xi_{k(t=0)} \quad (\text{VII.96})$$

или, пользуясь (VII.39),

$$\xi_\alpha = \sum_k \sum_l x_{\alpha k} e^{-t/\tau_{xy, k}} w'_{kl} \xi_l(t=0), \quad (\text{VII.97})$$

где

$$W = L^{-1}X; \quad W' = X' L^{-1} = X^{-1}. \quad (\text{VII.98})$$

Уравнение (VII.96) показывает, что степень полноты каждой из естественных реакций ξ_α может зависеть от всех времен релаксации системы $\tau_{xy, k}$. Начальные значения степеней полноты нормальных реакций, $\xi_{k(t=0)}$, можно составить из всех отклонений естественных степеней полноты ξ_α от равновесия. Поэтому в ходе изменения ξ_k с течением времени по экспоненте (VII.91) любая из степеней полноты естественных реакций может проходить через равновесное значение, равное нулю, максимум $r - 1$ раз [7].

§ 43. ДИНАМИЧЕСКОЕ УРАВНЕНИЕ СОСТОЯНИЯ И ЕГО КОЭФФИЦИЕНТЫ

Динамическое уравнение состояния в естественных координатах. Пусть z представляет собой некоторую внешнюю переменную — функцию состояния системы $z = z(x, y, \{\xi\})$. Следуя [7], разложим z в ряд в окрестности состояния равновесия $z_0 = z(x_0, y_0, \{\xi_0\})$. Ограничиваясь линейными членами ряда, получим:

$$z - z_0 = \sum_{\alpha} \left(\frac{\partial z}{\partial \xi_{\alpha}} \right)_{xy} \xi_{\alpha} + \left(\frac{\partial z}{\partial x} \right)_{\xi y} (x - x_0) + \left(\frac{\partial z}{\partial y} \right)_{\xi x} (y - y_0) \quad (\alpha = 1, 2, \dots, r). \quad (\text{VII.99})$$

Введем обозначение

$$z \equiv \begin{pmatrix} \frac{\partial z}{\partial \xi_1} \\ \vdots \\ \frac{\partial z}{\partial \xi_r} \end{pmatrix} \quad (\text{VII.100})$$

Тогда (VII.99) примет вид

$$z - z_0 = z' \xi + \left(\frac{\partial z}{\partial x} \right)_{y\xi} (x - x_0) + \left(\frac{\partial z}{\partial y} \right)_{x\xi} (y - y_0), \quad (\text{VII.101})$$

где z' — транспонированный вектор z , т. е. вектор-строка из элементов $(\partial z / \partial \xi_{\alpha})_{xy}$. Далее, так же как и в простом случае, приведенном в § 32, надо воспользоваться уравнением, выражающим зависимость скорости реакции $\dot{\xi}$ от переменных x , y и $\{\xi\}$. В данном случае речь идет об уравнении (VII.29). Для гармонических изменений состояния (см. § 33)

$$\dot{\xi} = i\omega I \xi, \quad (\text{VII.102})$$

где I — единичная матрица.

Поэтому уравнение (VII.29) принимает вид

$$(i\omega I + LP) \xi = Lp_x (x - x_0) + Lp_y (y - y_0). \quad (\text{VII.103})$$

Уравнение (VII.103) представляет собой систему линейных неоднородных уравнений для компонент вектора-столбца ξ . Применение векторных соотношений упрощает преобразование. Решение (VII.103) отыскивается путем умножения слева на матрицу $(i\omega I + LP)^{-1}$, обратную матрицу $(i\omega I + LP)$, что дает:

$$\xi = (i\omega I + LP)^{-1} [Lp_x (x - x_0) + Lp_y (y - y_0)] = (i\omega L^{-1} + P)^{-1} [p_x (x - x_0) + p_y (y - y_0)]. \quad (\text{VII.104})$$

Подставляя значение ξ из (VII.104) в (VII.101), получаем:

$$\begin{aligned} z - z_0 = & \left[\left(\frac{\partial z}{\partial x} \right)_{\xi y} + z' (i\omega L^{-1} + P)^{-1} p_x \right] (x - x_0) + \\ & + \left[\left(\frac{\partial z}{\partial y} \right)_{\xi x} + z' (i\omega L^{-1} + P)^{-1} p_y \right] (y - y_0). \end{aligned} \quad (\text{VII.105})$$

Прямые скобки содержат зависящие от частоты комплексные эффективные (гармонические) коэффициенты состояния $(\partial z/\partial x)_y^r$ и $(\partial z/\partial y)_x^r$; таким образом,

$$\left(\frac{\partial z}{\partial x}\right)_y^r = \left(\frac{\partial z}{\partial x}\right)_{\xi y} + z' (i\omega L^{-1} + P)^{-1} p_x = \left(\frac{\partial z}{\partial x}\right)_{\xi y} + z' [i\omega (LP)^{-1} + I]^{-1} P^{-1} p_x. \quad (\text{VII.106})$$

Выражение для $(\partial z/\partial y)_x^r$ аналогично (VII.106).

Второй член в правой части (VII.106) есть билинейная форма векторов z' и p_x ; $[i\omega (LP)^{-1} + I]^{-1} P^{-1}$ есть матрица этой билинейной формы.

Линейно-независимые естественные реакции. Предположим, что естественные реакции (VII.1) или (VII.12) линейно-независимые. Это означает, что в неравновесном состоянии в линейном приближении скорость каждой из естественных реакций ξ_α зависит только от термодинамически сопряженного с этой реакцией сродства A_α . Кроме того, в линейном приближении сродство A_α представляет собой функцию лишь одной степени полноты ξ_α . Следовательно, недиагональные элементы матриц L и P равны нулю; каждая из этих матриц диагональна. Матрицы LP и $(LP)^{-1}$ тоже диагональны. Они легко вычисляются, если диагональные элементы матриц L и P известны. Из (VII.31) следует, что диагональные элементы матрицы $(LP)^{-1}$ есть времена релаксации естественных реакций $\tau_{\alpha xy}$. Диагональные элементы матрицы $i\omega (LP)^{-1} + I$ равны $1 + i\omega \tau_{\alpha xy}$, поэтому элементы диагональной матрицы $[i\omega (LP)^{-1} + I]^{-1} P^{-1}$:

$$[i\omega (LP)^{-1} + I]^{-1} P^{-1} = - \frac{1}{1 + i\omega \tau_{\alpha xy}} \left(\frac{\partial A_\alpha}{\partial \xi_\alpha} \right)_{xy}^{-1}. \quad (\text{VII.107})$$

Подставляя (VII.107) в (VII.106), получаем:

$$\left(\frac{\partial z}{\partial x}\right)_y^r = \left(\frac{\partial z}{\partial x}\right)_{\xi y} - \sum_{\alpha} \frac{(\partial z/\partial \xi_\alpha)_{xy} (\partial \xi_\alpha/\partial A_\alpha)_{xy} (\partial A_\alpha/\partial x)_{\xi y}}{1 + i\omega \tau_{\alpha xy}}. \quad (\text{VII.108})$$

Соотношение (VII.108) можно упростить. Для этого воспользуемся уравнением (VI.90). Заменим в нем ξ на ξ_α и при дифференцировании по ξ_α все остальные степени полноты ξ_β , ($\beta \neq \alpha$) будем считать постоянными. Тогда получим:

$$\left(\frac{\partial z}{\partial x}\right)_y^r = \left(\frac{\partial z}{\partial x}\right)_{\xi y} \pm \sum_{\alpha} \frac{(\partial z/\partial \xi_\alpha)_{xy} (\partial X/\partial \xi_\alpha)_{xy} (\partial \xi_\alpha/\partial A_\alpha)_{xy}}{1 + i\omega \tau_{\alpha xy}}. \quad (\text{VII.109})$$

В этом выражении все частные производные под знаком суммы берутся при одних и тех же условиях — постоянства x , y и ξ_β .

С той же целью можно воспользоваться уравнениями (VI.94) и (VI.95). Для случая, когда в системе идет r естественных реакций, уравнения (VI.94) и (VI.95) обобщаются следующим образом:

$$\left(\frac{\partial A_\alpha}{\partial \xi_\alpha}\right)_{xy} = - \left(\frac{\partial A_\alpha}{\partial x}\right)_{\xi y} \left(\frac{\partial x}{\partial \xi_\alpha}\right)_{A_\alpha y}; \quad (\text{VII.110})$$

$$\left(\frac{\partial z}{\partial x}\right)_{A_{\alpha}y} - \left(\frac{\partial z}{\partial x}\right)_{\xi y} = \left(\frac{\partial z}{\partial \xi_{\alpha}}\right) \left(\frac{\partial \xi_{\alpha}}{\partial x}\right)_{A_{\alpha}y}. \quad (\text{VII.111})$$

Подставляя (VII.110) в (VII.108) и затем пользуясь (VII.111), находим:

$$\begin{aligned} \left(\frac{\partial z}{\partial x}\right)_y^r &= \left(\frac{\partial z}{\partial x}\right)_{\xi y} + \sum_{\alpha} \frac{(\partial z / \partial \xi_{\alpha})_{xy} (\partial \xi_{\alpha} / \partial x)_{A_{\alpha}y}}{1 + i\omega\tau_{\alpha xy}} = \left(\frac{\partial z}{\partial x}\right)_{\xi y} + \\ &+ \sum_{\alpha} \frac{(\partial z / \partial x)_{A_{\alpha}y} - (\partial z / \partial x)_{\xi y}}{1 + i\omega\tau_{\alpha xy}}. \end{aligned} \quad (\text{VII.112})$$

Это соотношение представляет собой аналог уравнения (VI.170). $(\partial z / \partial x)_{A_{\alpha}y}$ вычисляется при условии, что реакция α поддерживается в состоянии равновесия ($A_{\alpha} = 0$), а все остальные реакции либо остановлены, либо равновесны. $(\partial z / \partial x)_{\xi y}$ есть вклад в $(\partial z / \partial x)_y^r$, когда все r реакций остановлены (см. § 30). Умножая числитель и знаменатель каждого члена суммы в (VII.112) на $1 - i\omega\tau_{\alpha xy}$, отделяем действительную часть комплексного гармонического коэффициента $(\partial z / \partial x)_y^r$ от мнимой:

$$\left(\frac{\partial z}{\partial x}\right)_y^{r'} = \left(\frac{\partial z}{\partial x}\right)_{\xi y} + \sum_{\alpha} \frac{(\partial z / \partial x)_{A_{\alpha}y} - (\partial z / \partial x)_{\xi y}}{1 + \omega^2 \tau_{\alpha xy}^2}; \quad (\text{VII.113})$$

$$\left(\frac{\partial z}{\partial x}\right)_y^{r''} = \sum_{\alpha} \left[\left(\frac{\partial z}{\partial x}\right)_{A_{\alpha}y} - \left(\frac{\partial z}{\partial x}\right)_{\xi y} \right] \frac{\omega\tau_{\alpha xy}}{1 + \omega^2 \tau_{\alpha xy}^2}. \quad (\text{VII.114})$$

Величина $(\partial z / \partial x)_{\xi y}$ может быть измерена, если частота гармонических колебаний состояния системы такова, что для всех времен релаксации $\tau_{\alpha xy}$ справедливо неравенство $\omega\tau_{\alpha xy} \gg 1$, и

$$\left(\frac{\partial z}{\partial x}\right)_{A_{\alpha}y} - \left(\frac{\partial z}{\partial x}\right)_{\xi y} \ll \omega^2 \tau_{\alpha xy}^2. \quad (\text{VII.115})$$

Релаксационные силы. Разность $\left(\frac{\partial z}{\partial x}\right)_{A_{\alpha}y} - \left(\frac{\partial z}{\partial x}\right)_{\xi y}$ представляет собой вклад в $(\partial z / \partial x)_y^r$ одной реакции α , если $\omega^2 \tau_{\alpha xy}^2 \ll 1$, т. е. когда естественная реакция α близка к равновесию и скорости прямой и обратной реакций α можно считать одинаковыми, а остальные реакции не идут.

Релаксационные силы b_{α} определяются как модули отношений $(\partial z / \partial x)_{A_{\alpha}y} - (\partial z / \partial x)_{\xi y}$ к $(\partial z / \partial x)_{A_{\alpha}y}$ или $(\partial z / \partial x)_{\xi y}$:

$$b_{\alpha} = \left| \frac{(\partial z / \partial x)_{A_{\alpha}y} - (\partial z / \partial x)_{\xi y}}{(\partial z / \partial x)_{A_{\alpha}y}} \right|. \quad (\text{VII.116})$$

Здесь индекс A означает, что все реакции поддерживаются при $A \equiv 0$, т. е. остаются в равновесии

$$b_{1\alpha} = \left| \frac{(\partial z / \partial x)_{A_{\alpha}y} - (\partial z / \partial x)_{\xi y}}{(\partial z / \partial x)_{\xi y}} \right|. \quad (\text{VII.117})$$

b_α и $b_{1\alpha}$ характеризуют относительный вклад естественной реакции в гармонический коэффициент $(\partial z/\partial x)_y^r$, разумеется, при условии, что все естественные реакции независимы друг от друга. Выбор между соотношениями (VII.116) или (VII.117) основывается на соображениях удобства. Обычно выбирают то из них, где модули релаксационных сил меньше единицы.

Таким образом, в ходе релаксации системы каждая естественная реакция течет независимо от других. Этот результат справедлив только в тех случаях, когда матрицы L и P диагональны.

Если матрицы L и P недиагональны, прямой расчет вклада каждой из естественных реакций в $(\partial z/\partial x)_y^r$ с помощью уравнения (VII.106) затруднителен. Решение задачи облегчается преобразованием естественных координат в нормальные координаты.

Динамическое уравнение состояния в нормальных координатах. Свойства системы не зависят от выбора координат:

$$z(x, y, \{\xi\}) = z(x, y, \{\zeta\}), \quad (\text{VII.118})$$

поэтому вывод динамического уравнения состояния в нормальных координатах выполняется точно так же, как уравнения (VII.106). Введем обозначения:

$$\mathfrak{z} \equiv \begin{pmatrix} \frac{\partial z}{\partial \xi_1} \\ \vdots \\ \frac{\partial z}{\partial \xi_r} \end{pmatrix}; \quad (\text{VII.119})$$

$$\mathfrak{p}_x \equiv \begin{pmatrix} \frac{\partial A_{\xi_1}}{\partial x} \\ \vdots \\ \frac{\partial A_{\xi_r}}{\partial x} \end{pmatrix} \quad (\text{VII.120})$$

Векторы-столбцы \mathfrak{z} и \mathfrak{p}_x имеют здесь тот же смысл, что и векторы z и p_x для естественных реакций.

Матрица L заменяется единичной матрицей \mathcal{L} , которая получается из L преобразованием (VII.65). Матрица \mathfrak{p} с помощью (VII.66) преобразуется в диагональную матрицу \mathcal{P} . Таким образом, вместо (VII.106) получаем:

$$\left(\frac{\partial z}{\partial x}\right)_y^r = \left(\frac{\partial z}{\partial x}\right)_{\zeta y} + \mathfrak{Z}' [i\omega (\mathcal{L}\mathcal{P})^{-1} + I] \mathcal{P}^{-1} \mathfrak{p}_x. \quad (\text{VII.121})$$

Так как матрица преобразования X невырожденная, условие $\zeta = \text{const}$ означает, что $\xi = \text{const}$. Поэтому $(\partial z/\partial x)_{\zeta y} = (\partial z/\partial x)_{\xi y}$. Векторы \mathfrak{z} и \mathfrak{p}_x можно получить преобразованием векторов z и p_x с помощью уравнения (VII. 81):

$$\mathfrak{z} = X' z; \quad (\text{VII.122})$$

$$\mathfrak{p}_x = X' p_x. \quad (\text{VII.123})$$

Строки матрицы X' есть x'_i , а x_i представляет собой собственный вектор матрицы LP . Поэтому согласно (VII.122) и (VII.123) компоненты векторов \dot{z} и \dot{p}_x имеют вид:

$$\dot{z}_i = x'_i \dot{z}, \quad (\text{VII.124})$$

$$\dot{p}_{xi} = x'_i p_x. \quad (\text{VII.125})$$

Соотношение (VI.90) можно использовать либо непосредственно для (VII.121), либо после преобразования (VII.122) и (VII.123).

Из соотношений (VII.65) и (VII.66) следует, что

$$[i\omega (\mathcal{L}\mathcal{P})^{-1} + \mathbf{I}]^{-1} \mathcal{P}^{-1} = (i\omega \mathbf{T} + \mathbf{I})^{-1} \mathbf{T}. \quad (\text{VII.126})$$

Элементы диагональной матрицы (VII.126) имеют вид

$$\frac{\tau_{jxy}}{1 + i\omega \tau_{jxy}}. \quad (\text{VII.127})$$

С помощью (VII.121), (VII.127) получаем:

$$\left(\frac{\partial z}{\partial x}\right)_y^r = \left(\frac{\partial z}{\partial x}\right)_{\xi y} + \sum_j \frac{(x'_j z)(x'_j p_x) \tau_{jxy}}{1 + i\omega \tau_{jxy}}. \quad (\text{VII.128})$$

Так как матрица (VII.126) диагональная, для гармонического коэффициента в нормальных координатах получается выражение такого же вида, что и (VII.109):

$$\begin{aligned} \left(\frac{\partial z}{\partial x}\right)_y^r &= \left(\frac{\partial z}{\partial x}\right)_{\xi y} + \sum_j \frac{(\partial z / \partial \xi_i)_{xy} (\partial \xi_j / \partial a_j)_{xy} (\partial x / \partial a_j)_{\xi y}}{1 + i\omega \tau_{jxy}} = \\ &= \left(\frac{\partial z}{\partial x}\right)_{\xi y} + \sum_j \frac{(\partial z / \partial \xi_j)_{xy} (\partial \xi_j / \partial a_j) \tau_{jxy}}{1 + i\omega \tau_{jxy}}. \end{aligned} \quad (\text{VII.129})$$

Релаксационные силы нормальных реакций. Для нормальных реакций легко выводятся дифференциальные соотношения, подобные тем, которые приведены в § 30, в том числе следующие:

$$\left(\frac{\partial a_j}{\partial \xi_j}\right)_{xy} = -\left(\frac{\partial a_j}{\partial x}\right)_{\xi y} \left(\frac{\partial x}{\partial \xi_j}\right)_{a_j y} = -\left(\frac{\partial a_j}{\partial x}\right)_{\xi y} \left(\frac{\partial x}{\partial \xi_j}\right)_{a_j y}; \quad (\text{VII.130})$$

$$\left(\frac{\partial z}{\partial x}\right)_{a_j y} - \left(\frac{\partial z}{\partial x}\right)_{\xi y} = \left(\frac{\partial z}{\partial \xi_j}\right)_{xy} \left(\frac{\partial \xi_j}{\partial x}\right)_{a_j y}. \quad (\text{VII.131})$$

Так как разложение z в ряд производится около точки равновесия, индекс a_j указывает, что соответствующая производная получена для состояния термодинамического равновесия, когда скорости прямой и обратной нормальных реакций одинаковы. Подставляя (VII.130) и (VII.131) в первое из равенств (VII.129), находим:

$$\left(\frac{\partial z}{\partial x}\right)_y^r = \left(\frac{\partial z}{\partial x}\right)_{\xi y} + \sum_j \frac{(\partial z / \partial x)_{a_j y} - (\partial z / \partial x)_{\xi y}}{1 + i\omega \tau_{jxy}}. \quad (\text{VII.132})$$

Отсюда следует, что

$$\left(\frac{\partial z}{\partial x}\right)_y^{r'} = \left(\frac{\partial z}{\partial x}\right)_{\xi y} + \sum_i \frac{(\partial z / \partial x)_{a_i y} - (\partial z / \partial x)_{\xi y}}{1 + \omega^2 \tau_{ixy}^2}; \quad (\text{VII.133})$$

$$\left(\frac{\partial z}{\partial x}\right)_y^r = \sum_i \frac{[(\partial z/\partial x)_{a_i y} - (\partial z/\partial x)_{\xi y}] \omega \tau_{ixy}}{1 + \omega^2 \tau_{ixy}^2}. \quad (\text{VII.134})$$

Разность $\left(\frac{\partial z}{\partial x}\right)_{a_i y} - \left(\frac{\partial z}{\partial x}\right)_{\xi y}$ представляет собой вклад i -й нормальной реакции, если $\omega^2 \tau_{ixy}^2 \ll 1$, т. е. i -я нормальная реакция близка к равновесию; остальные нормальные реакции не идут — либо «заморожены», либо равновесны.

Релаксационные силы нормальных реакций определяются как модули отношения $(\partial z/\partial x)_{a_i y} - (\partial z/\partial x)_{\xi y}$ к $(\partial z/\partial x)_{A y}$ или $(\partial z/\partial x)_{\xi y}$:

$$b_i = \left| \frac{(\partial z/\partial x)_{a_i y} - (\partial z/\partial x)_{\xi y}}{(\partial z/\partial x)_{A y}} \right|; \quad (\text{VII.135})$$

$$b_{1i} = \left| \frac{(\partial z/\partial x)_{a_i y} - (\partial z/\partial x)_{\xi y}}{(\partial z/\partial x)_{\xi y}} \right|. \quad (\text{VII.136})$$

Производная $(\partial z/\partial x)_{A y}$ имеет здесь тот же смысл, что и в (VII.116). Обычно пользуются тем из модулей (VII.135) или (VII.136), который меньше единицы. Релаксационные силы b_i или b_{1i} характеризуют относительный вклад нормальной реакции в гармонический коэффициент $(\partial z/\partial x)_y^r$.

Сопоставление вкладов естественных и нормальных реакций в гармонический коэффициент $(\partial z/\partial x)_y^r$. Допустим, что естественные реакции (VII.1) или (VII.12) взаимосвязаны. Воспользуемся уравнением (VII.106):

$$\left(\frac{\partial z}{\partial x}\right)_y^r = \left(\frac{\partial z}{\partial x}\right)_{\xi y} + z' [\omega (\mathbf{L}\mathbf{P})^{-1} + \mathbf{I}]^{-1} \mathbf{P}^{-1} \mathbf{p}_x.$$

Считаем матрицы $\mathbf{L}\mathbf{P}$ и \mathbf{P} недиагональными. При частоте $\omega=0$ матрица $[\omega(\mathbf{L}\mathbf{P})^{-1} + \mathbf{I}]^{-1} = \mathbf{I}$; при $\omega \rightarrow \infty$ она представляет собой нулевую матрицу. Если $\omega = 0$, то

$$\left(\frac{\partial z}{\partial x}\right)_y^r = \left(\frac{\partial z}{\partial x}\right)_{A y}; \quad \text{при } \omega \rightarrow \infty \left(\frac{\partial z}{\partial x}\right)_y^r = \left(\frac{\partial z}{\partial x}\right)_{\xi y}.$$

Таким образом,

$$\left(\frac{\partial z}{\partial x}\right)_{A y} - \left(\frac{\partial z}{\partial x}\right)_{\xi y} = z' \mathbf{P}^{-1} \mathbf{p}_x. \quad (\text{VII.137})$$

Рассмотрим величину

$$\sum_{\alpha} \left[\left(\frac{\partial z}{\partial x}\right)_{A_{\alpha} y} - \left(\frac{\partial z}{\partial x}\right)_{\xi y} \right]. \quad (\text{VII.138})$$

Пользуясь (VII.111) и (VII.110), получаем:

$$\sum_{\alpha} \left[\left(\frac{\partial z}{\partial x}\right)_{A_{\alpha} y} - \left(\frac{\partial z}{\partial x}\right)_{\xi y} \right] = - \sum_{\alpha} \left(\frac{\partial z}{\partial \xi_{\alpha}} \right)_{xy} \left(\frac{\partial \xi_{\alpha}}{\partial A_{\alpha}} \right)_{xy} \left(\frac{\partial A_{\alpha}}{\partial x} \right)_{\xi y}. \quad (\text{VII.139})$$

Уравнения (VII.137) и (VII.139) идентичны лишь в том случае, если матрица P^{-1} диагональна. Тогда ее элементы равны — $(\partial \xi_\alpha / \partial A_\alpha)_{xy}$. Если матрица P^{-1} недиагональна, то

$$\sum_{\alpha} \left[\left(\frac{\partial z}{\partial x} \right)_{A_\alpha y} - \left(\frac{\partial z}{\partial x} \right)_{\xi_\alpha y} \right] \neq \left(\frac{\partial z}{\partial x} \right)_{A_y} - \left(\frac{\partial z}{\partial x} \right)_{\xi_y}. \quad (\text{VII.140})$$

Таким образом, (VII.138) определяет вклад всех естественных реакций в $(\partial z / \partial x)_y$ лишь в тех случаях, когда все естественные реакции полностью независимы друг от друга в неравновесном состоянии системы. Сродство каждой такой реакции A_α представляет собой функцию лишь одной степени полноты ξ_α , сопряженной с A_α .

Если сродств A_α зависит от двух или нескольких степеней полноты реакций, то (VII.138) не определяет вклада всех естественных реакций в гармонический коэффициент $(\partial z / \partial x)_y$.

Переход к другим внешним переменным. Допустим, например, что какой-либо процесс изучался с помощью методов акустической и диэлектрической радиоспектроскопии. В первом случае эксперимент дает времена релаксации τ_{PS} и релаксационные силы b_α , во втором — τ_{PT} и b_α (см. гл. VI). Чтобы сопоставить результаты, полученные разными методами, надо располагать соотношениями, позволяющими выполнять расчет τ_{PT} , если известно τ_{PS} , или же расчет τ_{PS} , если дано τ_{PT} .

В частном случае для простого процесса решение этой задачи приведено в гл. VI. Здесь будет рассмотрена задача в общем виде. Релаксационные частоты $\omega_{xy} = \tau_{xy}^{-1}$ представляют собой собственные значения матрицы LP . Матрица L при малых отклонениях системы от состояния равновесия остается неизменной, независимо от того, в каких условиях происходят такие отклонения. Элементы матрицы P

$$\left(\frac{\partial^2 \mathcal{P}}{\partial \xi_\alpha \partial \xi_\beta} \right)_{xy} = - \left(\frac{\partial A_\alpha}{\partial \xi_\beta} \right)_{xy}$$

зависят от внешних переменных x и y , поскольку $\mathcal{P} = \mathcal{P}(x, y, \{\xi\})$. При изменении внешних переменных, например замене x, y на X, Y , \mathcal{P} перестает быть характеристической функцией системы. Нужно воспользоваться другим термодинамическим потенциалом $\mathcal{P}' = \mathcal{P}'(X, Y, \{\xi\})$, полный дифференциал которого имеет вид

$$d\mathcal{P}' = \pm x dX \pm Y dy - \sum_{\alpha} A_\alpha d\xi_\alpha. \quad (\text{VII.141})$$

Квадратичная форма (VII.59) имеет теперь следующий вид:

$$\mathcal{P}' - \mathcal{P}'_0 = \frac{1}{2} \sum_{\alpha} \sum_{\beta} \left(\frac{\partial^2 \mathcal{P}'}{\partial \xi_\alpha \partial \xi_\beta} \right)_{xy} \xi_\alpha \xi_\beta = - \frac{1}{2} \sum_{\alpha} \sum_{\beta} \left(\frac{\partial A_\alpha}{\partial \xi_\beta} \right)_{xy} \xi_\alpha \xi_\beta. \quad (\text{VII.142})$$

При $X = \text{const}$ и $Y = \text{const}$ \mathcal{P}' имеет минимум. Поэтому квадратичная форма положительно определена. Примем, что в уравнениях (VI.92)

и (VI.93) $z \equiv X$. Для r естественных реакций уравнение (VI.93) имеет вид

$$\left(\frac{\partial A_\alpha}{\partial \xi_\beta}\right)_{xy} = \left(\frac{\partial A_\alpha}{\partial \xi_\beta}\right)_{xy} \mp \left(\frac{\partial X}{\partial \xi_\alpha}\right)_{xy} \left(\frac{\partial x}{\partial \xi_\beta}\right)_{xy}.$$

Учитывая, что $x = x(X, y, \{\xi\})$ и полагая $x = \text{const}$, получаем:

$$\left(\frac{\partial x}{\partial \xi_\beta}\right)_{xy} = - \left(\frac{\partial X}{\partial \xi_\beta}\right)_{xy} \left(\frac{\partial x}{\partial X}\right)_{\xi y}. \quad (\text{VII.143})$$

Таким образом

$$\left(\frac{\partial A_\alpha}{\partial \xi_\beta}\right)_{xy} = \left(\frac{\partial A_\alpha}{\partial \xi_\beta}\right)_{xy} \pm \left(\frac{\partial X}{\partial \xi_\alpha}\right)_{xy} \left(\frac{\partial X}{\partial \xi_\beta}\right)_{xy} \left(\frac{\partial x}{\partial X}\right)_{\xi y}. \quad (\text{VII.144})$$

Второй член в правой части равенства представляет собой элемент матрицы, получающейся в результате диадного умножения вектора $(\partial X / \partial \xi)_{xy}$ на самого себя*, помноженный на скаляр $(\partial x / \partial X)_{\xi y}$.

Задача на собственные значения решается теперь для пары матриц L^{-1} и P' . В общем случае собственные вектора и собственные значения матрицы LP' отличаются от собственных векторов и собственных значений матрицы LP :

$$\tau_{iXy}^{-1} \neq \tau_{ixy}^{-1}; \quad x_{iXy} \neq x_{ixy}. \quad (\text{VII.145})$$

Следовательно, матрица собственных значений T^{-1} и матрицы преобразования X и W изменятся. Компоненты векторов z и p_x , т. е. $(\partial z / \partial \xi_\alpha)_{xy}$ и $\partial^2 \mathcal{P} / \partial x \partial \xi_\alpha$, должны быть заменены на $(\partial z / \partial \xi_\alpha)_{Xy}$ и $\partial^2 \mathcal{P}' / \partial X \partial \xi_\alpha$. При изменении внешних переменных обычно рассматривается новая зависящая внешняя переменная z' .

§ 44. ВЫРОЖДЕННЫЕ МАТРИЦЫ L И P

В § 39—43 неявно подразумевалось, что матрицы L и P невырожденные. Действительно, если квадратичные формы (VII.57) и (VII.59) положительно определенные, то и матрицы L и P должны быть положительно определенными. Все собственные значения матриц L и P положительны. Поэтому показатели степени в экспоненциальных выражениях отрицательны. Отсюда следует, что система устойчивая. Она с течением времени неограниченно приближается к состоянию термодинамического равновесия.

Допустим, теперь, что для системы, в которой протекает r реакций матрицы L и P вырождены. Тогда по крайней мере одно из собственных значений матриц L и P равно нулю. Обратные матрицы L^{-1} и P^{-1} не могут быть построены. Квадратичные формы для производства энтро-

* При диадном умножении векторы a и b образуют матрицу

$$ab = \begin{pmatrix} a_1 b_1 & a_1 b_2 & a_1 b_3 \\ a_2 b_1 & a_2 b_2 & a_2 b_3 \\ a_3 b_1 & a_3 b_2 & a_3 b_3 \end{pmatrix}.$$

пии Π и разности термодинамических потенциалов $\mathcal{P} - \mathcal{P}_0$ неравновесного и равновесного состояния системы при условии постоянства внешних переменных полуопределены:

$$\Pi = \frac{1}{T} \mathbf{a}' \mathbf{L} \mathbf{a} \geq 0; \quad (\text{VII.146})$$

$$\mathcal{P} - \mathcal{P}_0 = \frac{1}{2} \boldsymbol{\xi}' \mathbf{P} \boldsymbol{\xi} \geq 0, \quad (\text{VII.147})$$

т. е. они могут быть равны нулю для A_α или ξ_α , не равных нулю. Рассмотрим этот вопрос подробнее.

Вырожденная матрица \mathbf{L} . Так как обратная матрица \mathbf{L}^{-1} в этом случае отсутствует, то соотношение (VII.62) применить нельзя. Одновременное преобразование матриц \mathbf{P} и \mathbf{L} к диагональной форме становится невозможным. Сама по себе матрица \mathbf{L} может быть диагонализирована и, соответственно, квадратичная форма Π может быть представлена в виде суммы квадратов. Если какое-либо из собственных значений матрицы \mathbf{L} равно нулю, то отсюда вытекает, что соответствующая реакция не идет, хотя ее сродство отлично от нуля. Такие состояния здесь не будут исследоваться.

Вырожденная матрица \mathbf{P} . Пусть число реакций r больше числа химических переменных m (см. § 7). Тогда $r - m$ реакций представляются собой линейные комбинации остальных реакций. Следовательно, $r - m$ производных функций состояния системы по степеням полноты ξ_{m+1}, \dots, ξ_r есть линейные комбинации первых m производных. Элементы матрицы \mathbf{P} представляют собой производные $-\partial A_\beta / \partial \xi_\gamma$. Следовательно, квадратная матрица порядка r имеет ранг m .

Решение задачи (VII.62) на собственные значения в этом случае возможно. При этом получается $r - m$ кратное собственное значение $\tau^{-1} = 0$. В ходе процесса релаксации степени полноты $r - m$ нормальных реакций остаются постоянными. В уравнении (VII.106) имеет смысл только первое из равенств, поскольку матрица \mathbf{P}^{-1} не существует.

Физический смысл этого результата прост. Если число реакций r больше, чем число химических степеней свободы m , то среди нормальных реакций будет $r - m$ реакций, которые оставляют систему неизменной. Такова, например, сумма трех реакций $A \rightleftharpoons B$, $B \rightleftharpoons C$ и $C \rightleftharpoons A$ при одинаковых степенях полноты этих реакций.

Сродства этих нормальных реакций a_{m+1}, \dots, a_r равны нулю не только при термодинамическом равновесии, но тождественно. Степени полноты этих реакций ξ_{m+1}, \dots, ξ_r не представляют собой переменных, характеризующих состояние системы. В векторах $\mathbf{X}' \mathbf{p}_x$ и $\mathbf{X}' \mathbf{z}$ компоненты с индексами $m + 1, \dots, r$ не должны присутствовать. Соответствующие релаксационные члены в (VII.128) должны быть опущены.

Собственные векторы \mathbf{x}_i , дающие собственные значения $\tau^{-1} = 0$, отыскиваются следующим образом. Согласно (VII.62) в этом случае

$$\mathbf{P} \mathbf{x}_i = 0 \quad (i = m + 1, \dots, r). \quad (\text{VII.148})$$

Собственные векторы x_i ($i = m + 1, \dots, r$) не должны подчиняться условию (VII.63), т. е. не обязаны быть взаимно ортогональны по отношению к L^{-1} . Но собственные векторы x_1, \dots, x_m должны быть ортогональными к векторам x_{m+1}, \dots, x_r по отношению к L^{-1} . Это дает $r - m$ соотношений между каждой из компонент векторов x_1, \dots, x_m и соответствующими компонентами векторов x_{m+1}, \dots, x_r [7].

ГЛАВА VIII

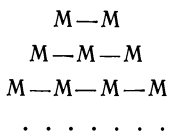
МЕХАНИЗМЫ РЕАКЦИЙ АССОЦИИИ И ПЕРЕСТРОЙКИ ЦЕПОЧЕЧНЫХ АССОЦИАТОВ

§ 45. ЭЛЕМЕНТАРНЫЕ РЕАКЦИИ

Рассмотрим однокомпонентную жидкость, в которой кроме мономеров M_1 имеются ассоциаты всех степеней: M_2, M_3, \dots, M_p . Ассоциация происходит за счет слабых химических связей.

Введем следующие упрощения: а) все связи между молекулами* $M - M$ в ассоциатах одинаковы, например только связи $H \dots O$, как в воде, или только $S - S$, как в жидкой сере. Предполагается, что все связи $M - M$ имеют одну и ту же энтальпию образования, одинаковые межъядерные расстояния и другие свойства; б) примем, что циклические ассоциаты отсутствуют. Это помогает сосредоточить внимание на принципах исследования явлений ассоциации.

Таким образом, в исследуемой жидкости кроме мономеров присутствуют цепочечные ассоциаты вида:



Естественные реакции с участием этих ассоциатов могут быть двух типов:



Элементарное событие реакции (VIII.1) сопровождается изменением числа связей $M - M$ на единицу. Реакции (VIII.1) имеют тепловой эффект. Элементарное событие реакции (VIII.2) не сопровождается изменением числа связей $M - M$. Реакции (VIII.2) не имеют теплового эффекта.

* Понятие «молекула» здесь трактуется обобщенно. В качестве «молекул» могут быть не только многоатомные электрически нейтральные частицы, но и атомы, а также ионы.

Если бы существовали циклические ассоциаты M'_p , то нужно было бы учесть процессы образования и разрушения циклов



Но, как уже было сказано, здесь принято, что эти реакции отсутствуют.

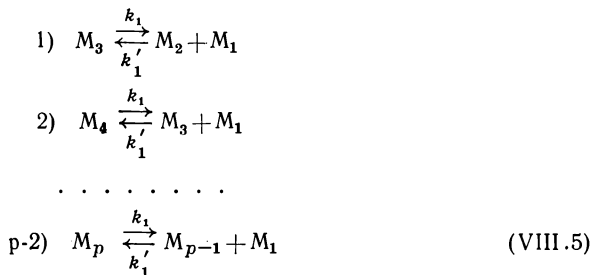
§ 46. РЕАКЦИИ С ИЗМЕНЕНИЕМ ЧИСЛА СВЯЗЕЙ

Рассмотрим сначала реакции (VIII.1). Надо построить для этих реакций матрицу LP (см. гл. VII) и найти ее собственные значения. Методы решения задачи зависят от средней степени ассоциации \bar{p} жидкости:

$$\bar{p} = \sum_{p=1}^{\infty} p c_p / \sum_{p=1}^{\infty} c_p, \quad (\text{VIII.4})$$

где c_p — число молей p -мера в объеме V жидкой фазы.

Примем, что $\bar{p} \gg 1$. Так как, в принципе, средняя степень ассоциации \bar{p} может стремиться к бесконечности, матрицы L и P должны иметь очень большие размеры. Трудности, возникающие при отыскании собственных значений, при некоторых упрощениях задачи преодолеваются следующим образом. Пусть имеется следующая подсистема из $p-2$ реакций типа (VIII.1):



Все реакции сводятся к отщеплению мономера от ассоциата или присоединению мономера к ассоциату. Реакция $M_2 \rightleftharpoons 2 M_1$ не учитывается. При $\bar{p} \gg 1$ концентрация димеров мала и вкладом реакции $M_2 \rightleftharpoons 2 M_1$ можно пренебречь. Принимаем, что константы скоростей всех реакций (VIII.5) одинаковы и равны k_1 , т. е. не зависят от степени ассоциации p . Кроме того, считаем, что ассоциаты образуют идеальный раствор. Поэтому активности ассоциатов можно заменять их концентрациями.

Число химических степеней свободы системы, в которой идут одни лишь реакции (VIII.5), определяется следующим образом. Общее число различных сортов молекул равно p . Поскольку система замкнутая, т. е. обмена веществом с окружающей средой не происходит, закон сохранения массы налагает условие

$$\sum p c_p = c_0 = \text{const.} \quad (\text{VIII.6})$$

Таким образом, число химических переменных равно $p - 1$, если система неравновесна. В термодинамически равновесной однокомпонентной системе концентрации всех ассоциатов при заданных внешних условиях однозначно определены, число химических переменных равно нулю.

Реакции отщепления мономеров (VIII.5) идут при постоянстве давления P и температуры T . Характеристическим термодинамическим потенциалом в этих условиях служит свободная энтальпия G . Пусть ξ_α и ξ_β обозначают степени полноты естественных реакций α и β ($\alpha, \beta = 1, 2, \dots, p - 2$).

Матрица G . Вычислим элементы матрицы $G \equiv P$. Согласно (VI.16) для реакции α имеем:

$$A_\alpha = - \left(\frac{\partial G}{\partial \xi_\alpha} \right)_{T, P, \xi_\beta} = - \sum \mu_i \Delta v_{i\alpha}. \quad (\text{VIII.7})$$

Если раствор идеален, то

$$\mu_i = \mu_0, i + RT \ln x_i. \quad (\text{VIII.8})$$

Поэтому

$$\begin{aligned} A_\alpha = - \sum_i \mu_i^0 \Delta v_{i\alpha} - RT \sum_i \Delta v_{i\alpha} \ln x_i = RT \ln K_{x\alpha} - \\ - RT \ln \prod_i x_i^{\Delta v_{i\alpha}}, \end{aligned} \quad (\text{VIII.9})$$

где $K_{x\alpha}$ — константа равновесия реакции α . Она не зависит от степеней полноты реакций. Дифференцируя A_α по ξ_β при постоянных P и T и учитывая, что $x_i = n_i/n$, получаем:

$$\left(\frac{\partial A_\alpha}{\partial \xi_\beta} \right)_{PT, \xi_0} = - RT \sum_i \Delta v_{i\alpha} \frac{\partial \ln n_i}{\partial \xi_\beta} + RT \sum_i \Delta v_{i\alpha} \frac{\partial \ln n}{\partial \xi_\beta} \quad (\beta = 1, 2, \dots, p - 2). \quad (\text{VIII.10})$$

Индекс ξ_0 означает, что производная берется в точке равновесия. Имеем:

$$\partial n_i / \partial \xi_\beta = \Delta v_{i\beta}; \quad (\text{VIII.11})$$

$$\sum_i \Delta v_{i\beta} = \frac{\partial n}{\partial \xi_\beta} = \left(\frac{\partial n}{\partial V} \right)_{PT} \left(\frac{\partial V}{\partial \xi_\beta} \right)_{PT} = \frac{\Delta V_\beta}{V_M}; \quad (\text{VIII.12})$$

$$\sum_i \Delta v_{i\alpha} = \frac{\partial n}{\partial \xi_\alpha} = \frac{\Delta V_\alpha}{V_M}, \quad (\text{VIII.13})$$

где ΔV_α и ΔV_β — объемные эффекты при постоянстве P и T реакций α и β , соответственно; V_M — молярный объем раствора. Комбинируя (VIII.10) — (VIII.13), получаем следующее выражение для элемента матрицы G :

$$G_{\alpha\beta} = \left(\frac{\partial^2 G}{\partial \xi_\alpha \partial \xi_\beta} \right)_{PT} = - \left(\frac{\partial A_\alpha}{\partial \xi_\beta} \right)_{PT} =$$

$$= \frac{RT}{V} \left[\sum_{i=1}^p \frac{\Delta v_{i\alpha} \Delta v_{i\beta}}{c_{0i}} - \frac{\Delta V_{\alpha} \Delta V_{\beta}}{c V_M^2} \right] (\alpha, \beta = 1, 2, \dots, p-2), \quad (\text{VIII.14})$$

где $c_{0i} = n_{0i}/V$ — равновесная концентрация ассоциата M_i , $c = \sum_i c_i$ — общее число молей ассоциатов в единице объема жидкости.

Следуя Бауэру [7] представим выражение в скобках в (VIII.14) через две новые матрицы: квадратную матрицу \mathbf{v} порядка p ($p-2$), в столбцах которой стоят величины $\Delta v_{i\alpha}$, принадлежащие отдельным реакциям, и диагональную матрицу c^{-1} , у которой на главной диагонали стоят величины, обратные равновесным концентрациям c_i^{-1} в том же порядке, что и в матрице \mathbf{v} . Введем вектор-столбец \mathbf{V} , компонентами которого служат изотермические объемные эффекты реакций ΔV_{α} ($\alpha = 1, 2, \dots, p-2$). Выражение

$$\mathbf{G} = \frac{RT}{V} \left(\mathbf{v}' c^{-1} \mathbf{v} - \frac{1}{c V_M^2} \mathbf{V} \mathbf{V}' \right) \quad (\text{VIII.15})$$

представляет собой искомую матрицу \mathbf{G} . Элементы этой матрицы совпадают с (VIII.14). Выражение (VIII.14) дает очень удобный метод построения матрицы \mathbf{G} , поскольку матрицу \mathbf{v} легко написать исходя из уравнений реакций (VIII.5). Диадное произведение векторов $\mathbf{V} \mathbf{V}'$ можно включить в матрицу $\mathbf{v}' c^{-1} \mathbf{v}$, если прибавить строку \mathbf{V}' в матрицу \mathbf{v} и в диагональной матрице c^{-1} добавить элемент $(c V_M^2)^{-1}$.

Примем, что объемные эффекты реакций ассоциации (VIII.5) равны нулю. В жидких фазах объемные эффекты этих реакций обычно не превышают 10 см^3 . Если $V_M \simeq 10^2 \text{ см}^3$, то $(\Delta V_{\alpha}/V_M)^2 \ll 1$. Так как c^{-1} всегда меньше c_i^{-1} , то пренебрежение объемными эффектами здесь существенно. Тогда матрица \mathbf{G} имеет вид

$$\mathbf{G} = \frac{RT}{V} \mathbf{v}' c^{-1} \mathbf{v}. \quad (\text{VIII.16})$$

Матрица \mathbf{L} . В гл. VII уже говорилось, что для элементарных реакций матрица \mathbf{L} диагональная. Действительно, скорость элементарной реакции $\dot{\xi}_{\alpha}$ непосредственно не зависит от скоростей и сродства других реакций. Вывод соотношения, аналогичного (VI.50), выполняется так же, как в гл. VI.

Имеем:

$$\begin{aligned} \dot{\xi}_{\alpha} &= V (\dot{\xi}_{\alpha F} - \dot{\xi}_{\alpha \beta}) = V \dot{\xi}_{\alpha F} \left(1 - \frac{\dot{\xi}_{\alpha \beta}}{\dot{\xi}_{\alpha F}} \right) = V \dot{\xi}_{\alpha F} \left(1 - \frac{\prod_i c_i^{\Delta v_{i\alpha}}}{K_{c\alpha}} \right) = \\ &= V \dot{\xi}_{\alpha F} \left(1 - \frac{\prod_i x_i^{\Delta v_{i\alpha}}}{K_{x\alpha}} \right) \simeq \frac{V}{RT} r_{\alpha} A_{\alpha} \end{aligned} \quad (\text{VIII.17})$$

или в векторной форме:

$$\dot{\xi} = \frac{V}{RT} \mathbf{R} \mathbf{a} = \mathbf{L} \mathbf{a}; \quad (\text{VIII.18})$$

$$\mathbf{L} = \frac{V}{RT} \mathbf{R}. \quad (\text{VIII.19})$$

Здесь r_α — скорость реакции α на единицу объема в прямом или обратном направлениях при динамическом равновесии; \mathbf{R} — диагональная матрица, элементами которой служат r_α :

$$r_\alpha = k_{c\alpha} \prod_i c_i^{v_{i\alpha}} = k'_{c\alpha} \prod_i c_i^{v'_{i\alpha}}. \quad (\text{VIII.20})$$

Для реакций (VIII.5) $k_{c\alpha} = k_1$ и $k'_{c\alpha} = k'_1$ независимо от номера реакции.

Как было сказано, скорость каждой элементарной реакции определяется сродством только этой реакции. Следовательно, согласно (VIII.9) и (VIII.10) матрица \mathbf{L} диагональная. Тем самым задача на собственные значения матриц \mathbf{L} и \mathbf{G} облегчается. Это упрощение задачи достигается благодаря выбору степеней полноты реакций в качестве внутренних переменных, характеризующих неравновесные состояния системы.

Таким образом матрица \mathbf{LG} имеет вид

$$\mathbf{LG} = \mathbf{R} \mathbf{v}' c^{-1} \mathbf{v}. \quad (\text{VIII.21})$$

§ 47. СОБСТВЕННЫЕ ЗНАЧЕНИЯ МАТРИЦЫ \mathbf{LG}

Для нахождения собственных значений τ_P^{-1} матрицы \mathbf{LG} будем решать уравнение

$$\frac{1}{\tau} \mathbf{w}' = \mathbf{w}' \mathbf{LG}, \quad (\text{VIII.22})$$

где \mathbf{w}' — вектор-строка матрицы преобразования (см. гл. VII). Для реакций (VIII.5) элементы на главной диагонали матрицы \mathbf{L} имеют вид

$$L_{\alpha\alpha} = \frac{V}{RT} k_1 c_{\alpha+2}, \quad (\text{VIII.23})$$

где α — порядковый номер реакции (VIII.5); $c_{\alpha+2}$ — концентрация ассоциата, содержащего $\alpha + 2$ мономерных молекул жидкости, выраженная в числах молей на единицу объема. Для подгруппы реакций (VIII.5) матрицы \mathbf{v} и c^{-1} имеют вид:

$$\mathbf{v} = \begin{pmatrix} 1 & 1 & 1 & \dots \\ 1 & 0 & 0 & \dots \\ -1 & 1 & 0 & \dots \\ 0 & -1 & 1 & \dots \\ \dots & \dots & \dots & \dots \end{pmatrix}; \quad c^{-1} = \begin{pmatrix} c_1^{-1} & & 0 \\ & c_2^{-1} & \\ & & \ddots \\ 0 & & & c_p^{-1} \end{pmatrix}. \quad (\text{VIII.24})$$

Константы скорости прямых и обратных реакций (VIII.5) k_1 и k'_1 не зависят от номера реакции α . Следовательно, и константа равновесия K_{01} всех реакций (VIII.5) одинакова, т. е.

$$K'_{01} = K_{01}^{-1} = \frac{c_2}{c_1^2} = \frac{c_3}{c_2 c_1} = \dots = \frac{c_p}{c_{p-1} c_1}. \quad (\text{VIII.25})$$

Отсюда получаем:

$$c_p = (K_{01}^{-1} c_1)^{p-1} c_1, \quad (\text{VIII.26})$$

где c_1 — равновесная концентрация неассоциированных молекул в молях на единицу объема.

Пользуясь (VIII.15), (VIII.24), (VIII.26) и пренебрегая объемными эффектами реакций, получаем:

$$LG = K'_{01} k_1 c_1 \begin{pmatrix} \frac{c_2}{c_1} + 1 + \frac{c_2}{c_3} & \frac{c_2}{c_1} - \frac{c_2}{c_3} & \frac{c_2}{c_1} \dots \\ \frac{c_3}{c_1} - 1 & \frac{c_3}{c_1} + 1 + \frac{c_3}{c_4} & \frac{c_3}{c_1} - \frac{c_3}{c_4} \dots \\ \frac{c_4}{c_1} & \frac{c_4}{c_1} - 1 & \frac{c_4}{c_1} + 1 + \frac{c_4}{c_5} \\ \vdots & \vdots & \vdots \\ \frac{c_{p-1}}{c_1} & \frac{c_{p-1}}{c_1} & \dots \dots \dots \end{pmatrix}. \quad (\text{VIII.27})$$

Сумма всех элементов первого столбца матрицы LG равна

$$\sum_i (LG)_{i1} = K'_{01} k_1 c_1 \left(\frac{1}{c_1} \sum_{i=2}^{p-1} c_i + \frac{c_2}{c_3} \right) \quad (\text{VIII.28})$$

Полагая $K'_{01} c_1 < 1$, замечая, что $\sum_i c_i$ представляет собой сумму убывающей геометрической прогрессии и $p \gg 1$, имеем

$$\frac{1}{c_1} \sum_{i=2}^{p-1} c_i = \frac{1}{c_1} \sum_{i=2}^{p-1} c_i (K'_{01} c_1)^{i-1} \simeq \frac{K'_{01} c_1}{1 - K'_{01} c_1}; \quad \frac{c_2}{c_3} = \frac{1}{K'_{01} c_1}. \quad (\text{VIII.29})$$

Знаменатель геометрической прогрессии $K'_{01} c_1 < 1$ представляет собой функцию средней степени ассоциации p жидкости. Действительно,

$$c = \sum_{p=1}^{\infty} c_p = \sum_{p=1}^{\infty} c_1 (K'_{01} c_1)^{p-1} = \frac{c_1}{1 - K'_{01} c_1}. \quad (\text{VIII.30})$$

Пусть $K'_{01} c_1 = x$. Перепишем (VIII.30), заменяя $K'_{01} c_1$ на x , получим:

$$\sum_{p=1}^{\infty} (K'_{01} c_1)^p = \sum_{p=1}^{\infty} x^p = \frac{x}{1-x}. \quad (\text{VIII.31})$$

Дифференцируя (VIII.31) по x , находим

$$\sum_{p=1}^{\infty} p x^{p-1} = \frac{1}{(1-x)^2}. \quad (\text{VIII.32})$$

Следовательно

$$c_0 = \sum_{u=1}^{\infty} p c_p = \sum_p p c_1 (K'_{01} c_1)^{p-1} = \frac{c_1}{(1 - K'_{01} c_1)^2} \quad (\text{VIII.33})$$

и средняя степень ассоциации

$$\bar{p} = \frac{c_0}{c} = \frac{1}{1 - K'_{01} c_1}, \quad (\text{VIII.34})$$

откуда

$$K'_{01} c_1 = 1 - \frac{1}{\bar{p}}. \quad (\text{VIII.35})$$

Поэтому

$$\sum_i (\mathbf{L}\mathbf{G})_{i1} = k_1 \left[\bar{p} \left(1 - \frac{1}{\bar{p}} \right) + 1 \right] \simeq k_1 (\bar{p} + 1), \quad (\text{VIII.36})$$

если $\bar{p} \gg 1$.

Для всех остальных столбцов матрицы $\mathbf{L}\mathbf{G}$ (полагая $p \rightarrow \infty$)

$$\sum_{i=1}^{\infty} (\mathbf{L}\mathbf{G})_{ij} = k_1 K'_{01} \sum_{p=2}^{\infty} c_p = k_1 \frac{(K'_{01} c_1)^2}{1 - K'_{01} c_1} \simeq k_1 \bar{p}. \quad (\text{VIII.37})$$

Так как в этом случае можно пренебречь разницей между \bar{p} и $\bar{p} + 1$, то при больших степенях ассоциации молекул рассматриваемой здесь жидкости сумма элементов любого столбца матрицы $\mathbf{L}\mathbf{G}$ практически одна и та же:

$$\sum_i (\mathbf{L}\mathbf{G})_{i1} \simeq k_1 \bar{p}; \quad \sum_i (\mathbf{L}\mathbf{G})_{i2} \simeq k_1 \bar{p}; \quad \dots; \quad \sum_i (\mathbf{L}\mathbf{G})_{i, p-2} \simeq k_1 \bar{p}.$$

Поэтому, если матрицу $\mathbf{L}\mathbf{G}$ умножить слева на вектор-строку $\mathbf{w}'_1 = (1, 1, \dots, 1)$, то получится вектор-строка, все компоненты которого равны $k_1 \bar{p}$:

$$\mathbf{w}'_1 \mathbf{L}\mathbf{G} = (k_1 \bar{p}, k_1 \bar{p}, \dots, k_1 \bar{p}) = k_1 \bar{p} (1, 1, \dots, 1) = k_1 \bar{p} \mathbf{w}'_1. \quad (\text{VIII.38})$$

Сравнивая это выражение с уравнением

$$\mathbf{w}' \mathbf{L}\mathbf{G} = \frac{1}{\tau} \mathbf{w}',$$

видим, что вектор-строка \mathbf{w}'_1 ведет себя как левый собственный вектор матрицы $\mathbf{L}\mathbf{G}$. Соответствующее собственное значение равно:

$$\tau_1^{-1} = k_1 \bar{p}, \quad (\text{VIII.39})$$

τ_1 — время релаксации, связанное с одной из нормальных реакций в системе, где имеют место естественные реакции (VIII.5).

Связи между нормальной и естественными реакциями (VIII.5). Пусть ζ_1 обозначает степень полноты этой нормальной реакции. Связь между ζ_1 и степенями полноты ξ_α естественных реакций (VIII.5) имеет вид

$$\zeta_1 = \omega'_1 \xi = \sum_{\alpha} \xi_{\alpha}. \quad (\text{VIII.40})$$

Поэтому дифференциалы $d\zeta_1$ и $d\xi_\alpha$ связаны соотношением

$$d\zeta_1 = \sum_{\alpha} d\xi_{\alpha}. \quad (\text{VIII.41})$$

О тепловом эффекте нормальной реакции (VIII.5). Изменение энтальпии системы. При изменении степеней полноты всех естественных реакций на $d\xi_\alpha$ и постоянстве P и T

$$dH = \sum_{\alpha} \left(\frac{\partial H}{\partial \xi_{\alpha}} \right)_{PT} d\xi_{\alpha}. \quad (\text{VIII.42})$$

Выше было сказано, что тепловой эффект всех реакций (VIII.5) одинаков, т. е.

$$\frac{\partial H}{\partial \xi_1} = \frac{\partial H}{\partial \xi_2} = \dots = \frac{\partial H}{\partial \xi_{p-2}} = \Delta H, \quad (\text{VIII.43})$$

поэтому

$$dH = \Delta H \sum_{\alpha} d\xi_{\alpha} = \Delta H d\zeta_1. \quad (\text{VIII.44})$$

Энтальпия H есть функция состояния: $H = H(P, T, \{\zeta\})$, где $\{\zeta\}$ обозначает множество степеней полноты нормальных реакций. При постоянных P и T

$$dH = \sum_i \frac{\partial H}{\partial \zeta_i} d\zeta_i. \quad (\text{VIII.45})$$

Сопоставляя (VIII.44) и (VIII.45), видим, что

$$\sum_{i \geq 2} \frac{\partial H}{\partial \zeta_i} d\zeta_i = 0. \quad (\text{VIII.46})$$

Так как ζ_i независимые переменные, $d\zeta_i \neq 0$, соотношение (VIII.46) удовлетворяется, если

$$\frac{\partial H}{\partial \zeta_i} = 0; \quad i = 2, 3, \dots, p-2. \quad (\text{VIII.47})$$

Таким образом, в рассматриваемом случае, лишь одна нормальная реакция, ζ_1 , имеет отличающийся от нуля тепловой эффект. Эта реакция акустически наблюдаемая. Она включает в себя все изменение состояния системы за счет реакций вида (VIII.5). Остальные нормальные реакции не имеют теплового эффекта и, следовательно, акустически ненаблюдаемы. Такой результат представляет собой следствие принятого ранее условия, согласно которому константы равновесия всех реакций (VIII.5) и константы скоростей всех реакций (VIII.5) одинаковы (включая и реакцию $M_2 \rightleftharpoons 2M_1$). Это дает $p - 2$ дополни-

тельных соотношения вида (VIII.25) между концентрациями p различных ассоциатов. Остается лишь одна независимая химическая переменная — степень полноты одной нормальной реакции.

Вырождение матрицы L . В случаях, когда число реакций r больше числа химических переменных m , представление матрицы феноменологических коэффициентов L диагональной матрицей $(V/RT)R$ не единственно возможное, так как отношения $\xi_{\alpha B}/\xi_{\alpha F}$ для различных реакций в (VIII.17) взаимосвязаны. Для $\xi_{\alpha B}/\xi_{\alpha F}$ могут быть использованы не только отдельные функции действующих масс, как в (VIII.17), но и линейные комбинации этих величин, принадлежащие остальным реакциям (VIII.5). Все же представление L в диагональной форме и в этом случае следует считать наиболее целесообразным, поскольку расчеты упрощаются. Согласно § 44 при $r > m$ только m релаксационных частот отличны от нуля и должны наблюдаться.

§ 48. БОЛЬШИЕ СТЕПЕНИ АССОЦИАЦИИ

Перейдем теперь от группы реакций (VIII.5) к полной системе всех реакций вида (VIII.1). Каждую из реакций (VIII.1), не входящую в подгруппу реакций (VIII.5), формально можно представить как линейную комбинацию реакций (VIII.5), включая реакцию $M_2 \rightleftharpoons 2 M_1$. Например, элементарная реакция



формально может быть представлена как сумма следующих реакций подгруппы (VIII.5):



Если константы скоростей всех элементарных реакций (VIII.1) одинаковы, то реакции (A) и (B) кинетически неразличимы. Число химических степеней свободы системы в этом случае остается тем же, что и для подгруппы реакций отщепления мономеров, т. е. равным единице.

Пусть общее число реакций (VIII.1) равно r . Число химических степеней свободы m равно единице. В § 44 было показано, что в этом случае получается $r - 1$ кратное собственное значение $\tau^{-1} = 0$; $r - 1$ нормальных реакций не изменяют состояние системы. Соответствующие им средства тождественно равны нулю.

Идет лишь одна нормальная реакция, которая влияет на состояние системы. Матрица LP имеет лишь одно отличное от нуля собственное значение. Прямой его расчет затруднителен. Можно воспользоваться следующим, не вполне строгим приемом.

Уравнение (VIII.39) определяет среднюю частоту событий, которые сводятся к отрыву молекулы M_1 от одного из двух концов цепочечного ассоциата M_r . Уравнение (VIII.39) показывает, что эта частота пропорциональна средней степени ассоциации \bar{p} . Так как все связи $M - M$

в ассоциатах приняты равноценными, вероятность разрыва любой из них одинакова. Если ассоциат содержит p мономерных звеньев, то он может принять участие в $(p - 1)$ различных реакциях вида (VIII.1). Поэтому средняя частота события, которое состоит в последовательном осуществлении всех возможных реакций вида (VIII.1), может быть принята в $\bar{p} - 1$ раз меньшей, чем τ_1^{-1} .

Таким образом,

$$\tau_{PT}^{-1} = \frac{k_1 \bar{p}}{\bar{p} - 1} \simeq k_1. \quad (\text{VIII.48})$$

При больших \bar{p} единиц в знаменателе (VIII.48) можно пренебречь.

Более строгое рассуждение состоит в следующем. Рассмотрим всю совокупность реакций (VIII.1). Если в системе протекает только одна нормальная реакция, влияющая на состояние системы, любая функция состояния Φ при отклонениях системы от равновесия, зависящая от степеней полноты $\{\xi\}$ реакций (VIII.1), представляет собой функцию степени полноты ξ_1 одной нормальной реакции:

$$\Phi(P, T, \{\xi\}) = \Phi_1(P, T, \{\xi\}) \equiv \Phi_1(P, T, \xi_1). \quad (\text{VIII.49})$$

Каждая из реакций (VIII.1) сводится к разрыву или образованию одной связи $M - M$. Все связи $M - M$ эквивалентны, поэтому

$$\left(\frac{\partial \Phi}{\partial \xi_1} \right)_{xy} = \left(\frac{\partial \Phi}{\partial \xi_2} \right)_{xy} = \dots = \left(\frac{\partial \Phi}{\partial \xi_r} \right)_{xy} = \Delta \Phi. \quad (\text{VIII.50})$$

Следовательно, при постоянстве P и T

$$d\Phi = \Delta \Phi \sum_{\alpha=1}^r d\xi_{\alpha} = \frac{\partial \Phi}{\partial \xi_1} d\xi_1. \quad (\text{VIII.51})$$

Соотношение (VIII.51) удовлетворяется в том случае, если

$$\Delta \Phi = \frac{\partial \Phi}{\partial \xi_1}; \quad (\text{VIII.52})$$

$$d\xi_1 = \sum_{\alpha} d\xi_{\alpha}. \quad (\text{VIII.53})$$

Собственный вектор-строка \mathbf{w}' , соответствующий (VIII.53), имеет вид

$$\mathbf{w}'_1 = (1, 1, \dots, 1). \quad (\text{VIII.54})$$

Соотношение (VIII.54), согласно вышесказанному, определено однозначно. Собственное значение $\tau \bar{p}^{-1}$ матрицы $\mathbf{L}\mathbf{G}$, соответствующее собственному вектору \mathbf{w}' , в принципе, можно найти, решая уравнение

$$\frac{1}{\tau} \mathbf{w}' = \mathbf{w}' \mathbf{L}\mathbf{G}.$$

Но в данном случае решение получается непосредственно на основе следующих соображений. Уравнение (VIII.53) означает, что вся совокупность естественных реакций (VIII.1) при условии, когда число химических переменных m равно единице, ведет себя как одна реакция. Молекулы различных ассоциатов в данном случае кинетически

неразличимы, точно так же, как кинетически неразличимы молекулы одного и того же ассоциата. Поэтому, когда константы скорости и константы равновесия всех реакций (VIII.5) одинаковы, уравнение (VIII.1) можно рассматривать как химическое уравнение одной элементарной реакции, причем концентрация $[M_p] = \sum_{p \geq 2} c_p$ — равна сумме концентраций всех ассоциатов, начиная с димеров, а концентрации $[M_k]$ и $[M_l]$ одинаковы и равны $\sum_{p \geq 2} c_p = [M_p] + c_1$.

Таким образом, для расчета времени релаксации τ_{PT} , связанного с нормальной реакцией ζ_1 , следует воспользоваться формулой (VI.76) для одной простой реакции, опустив член, зависящий от объемного эффекта. Кроме того, чтобы не учитывать одну и ту же реакцию (VIII.1) два раза, надо правую часть равенства (VI.76) умножить на 1/2. Таким образом,

$$\tau_{PT}^{-1} = \frac{1}{2} k_1 [M_p] \left(\frac{1}{[M_p]} + \frac{1}{[M_k]} + \frac{1}{[M_l]} \right). \quad (\text{VIII.55})$$

При $\bar{p} \gg 1$, $[M_p] \simeq [M_k] \simeq [M_l]$. Получаем:

$$\tau_{PT}^{-1} = \frac{3}{2} k_1; \quad \tau_{PT} = \frac{2}{3k_1}. \quad (\text{VIII.56})$$

Выражение (VIII.56) написано с учетом скорости прямой реакции (VIII.1). Аналогичное соотношение с учетом скорости обратной реакции (VIII.1) имеет вид

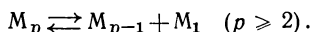
$$\tau_{PT}^{-1} = \frac{k'}{2} \frac{[M_k]}{\bar{p}} [M_l] \left[\frac{1}{[M_k]} + \frac{1}{[M_l]} + \frac{1}{[M_p]} \right]. \quad (\text{VIII.57})$$

Множитель $1/\bar{p}$ в правой части этого равенства учитывает, что образование Н-связи происходит с участием молекул, находящихся на конце цепочки, а не любого произвольно выбранного звена ассоциата M_k . Полагая $c = c_0 \bar{p}$ [см. ур. (VIII.34)], находим:

$$\tau_{PT}^{-1} = \frac{3}{2} k' \frac{c_0}{\bar{p}^2}. \quad (\text{VIII.58})$$

Соотношение (VIII.58) следует и непосредственно из (VIII.56), так как $k_1 = k'_1/K'_{01}$ и $K'_{01} = \bar{p}^2/c_0$ при $\bar{p} \gg 1$ [см. (VIII.33)—(VIII.35)].

Расхождение между (VIII.56) и (VIII.48) невелико. Оно вызвано нестрогостью рассуждения, на основе которого был осуществлен переход от (VIII.39) к (VIII.48). Соотношение (VIII.56) получено несколько более строгим методом. Этот метод можно применить к подгруппе реакций (VIII.5), так как эти реакции вместе с реакцией $M_2 \rightleftharpoons 2 M_1$ при равенстве констант скоростей и констант равновесий эквивалентны одной нормальной реакции



Пользуясь уравнением (VI.76) без учета объемного эффекта, получаем:

$$\tau_1^{-1} = k_1 [M_p] \left(\frac{1}{[M_p]} + \frac{1}{[M_{p-1}]} + \frac{1}{c_1} \right). \quad (\text{VIII.59})$$

При $\bar{p} \gg 1$, $[M_p] \simeq [M_{p-1}] \simeq c = \frac{c_1}{1 - K_{01} c_1} = \bar{p} c_1$, следовательно,

$$\tau_1^{-1} = k_1 (\bar{p} + 2) \simeq k_1 p, \quad (\text{VIII.60})$$

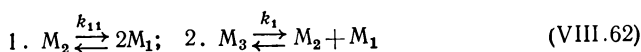
что совпадает с (VIII.39).

§ 49. МАЛЫЕ СТЕПЕНИ АССОЦИИИ

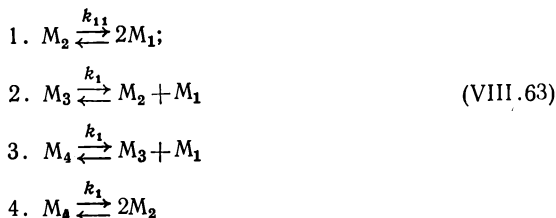
Если средняя степень ассоциации незначительна, т. е. $\bar{p} \geq 1$, то концентрация димеров M_2 относительно велика по сравнению с концентрациями остальных ассоциатов. Поэтому при отыскании собственных значений матрицы LG нельзя пренебрегать реакцией



В первом приближении расчет собственных значений выполняется на основе учета двух реакций:



Во втором приближении учитываются следующие реакции:



Реакциями, в которых участвуют ассоциаты M_p более высоких степеней: $p > 3$ в (VIII.62) или $p > 4$ в (VIII.63), пренебрегаем, так как при $\bar{p} \lesssim 1$ концентрация ассоциатов с $p \gg 1$ M_4, \dots, M_p очень мала и влияние реакций, в которых они участвуют, несущественно.

Рассмотрим первое приближение. В этом случае число химических переменных равно двум. Соответственно этому в системе должно быть два независимых релаксационных процесса — две нормальные реакции, степени полноты которых ξ_1 и ξ_2 представляют собой линейные комбинации степеней полноты естественных реакций ξ_1 и ξ_2 . Связь между ξ и ξ имеет вид:

$$\xi_1 = x_{11} \xi_1 + x_{12} \xi_2; \quad (\text{VIII.64})$$

$$\xi_2 = x_{21} \xi_1 + x_{22} \xi_2, \quad (\text{VIII.65})$$

где x_{11} и x_{12} — компоненты вектора-столбца x_1 ; x_{21} и x_{22} — компоненты вектора-столбца x_2 ; x_1 и x_2 — векторы-столбцы матрицы преобразования X [см. (VII.38)].

Матрицы c и v :

$$c^{-1} = \begin{pmatrix} c_1^{-1} & 0 \\ 0 & c_2^{-1} \end{pmatrix}; \quad v = \begin{pmatrix} 2 & 1 \\ -1 & 1 \\ 0 & -1 \end{pmatrix}. \quad (\text{VIII.66})$$

Матрица L :

$$L = \frac{V}{RT} \begin{pmatrix} k_{11} c_2 & 0 \\ 0 & k_1 c_3 \end{pmatrix} = \frac{V}{RT} R. \quad (\text{VIII.67})$$

Пользуясь (VIII.66), находим:

$$G = \frac{RT}{V} \mathbf{v}' c^{-1} \mathbf{v} = \frac{RT}{V} \begin{pmatrix} 4c_1^{-1} + c_2^{-1} & 2c_1^{-1} - c_2^{-1} \\ 2c_1^{-1} - c_2^{-1} & c_1^{-1} + c_2^{-1} + c_3^{-1} \end{pmatrix}. \quad (\text{VIII.68})$$

Подставив значение матрицы L и G в уравнение (VII.62), напомним:

$$\frac{1}{\tau} \frac{RT}{V} R^{-1} \mathbf{x} = \frac{RT}{V} \mathbf{v}' c^{-1} \mathbf{v} \mathbf{x}. \quad (\text{VIII.69})$$

Можно обе части равенства сократить на RT/V , тогда получим приведенную задачу на собственные значения:

$$\frac{1}{\tau} R^{-1} \mathbf{y} = \mathbf{v}^{-1} c^{-1} \mathbf{v} \mathbf{y}, \quad (\text{VIII.70})$$

где \mathbf{y} — собственные векторы, нормированные по отношению к R^{-1} .

Множитель RT/V не влияет на собственные значения и направления собственных векторов. Но поскольку собственные векторы \mathbf{y} нормированы по отношению к R^{-1} , матрица $\mathbf{v}' c^{-1} \mathbf{v}$ преобразуется не в T^{-1} , а в $(RT/V) T^{-1}$. Чтобы перейти к собственным векторам матрицы LG , надо выполнить деление на RT/V . Задача сводится, таким образом, к отысканию собственных значений матрицы:

$$LG = \begin{pmatrix} k_{11} \left(1 + \frac{4c_2}{c_1}\right) & k_{11} \left(\frac{2c_2}{c_1} - 1\right) \\ k_1 \frac{c_3}{c_2} \left(\frac{2c_2}{c_1} - 1\right) & k_1 \left(1 + \frac{c_3}{c_1} + \frac{c_3}{c_2}\right) \end{pmatrix} \equiv \begin{pmatrix} a_{11} & a_{12} \\ a_{21} & a_{22} \end{pmatrix}. \quad (\text{VIII.71})$$

Матрица LG достаточно проста: Чтобы решить уравнение (VIII.69), надо найти корни характеристического уравнения матрицы LG :

$$\begin{pmatrix} a_{11} - \frac{1}{\tau} & a_{12} \\ a_{21} & a_{22} - \frac{1}{\tau} \end{pmatrix} = 0. \quad (\text{VIII.72})$$

Как известно, корни характеристического уравнения квадратной матрицы A порядка n подчиняются следующим соотношениям:

$$\tau_1^{-1} + \tau_2^{-1} + \dots + \tau_n^{-1} = S_p(A); \quad (\text{VIII.73})$$

$$\frac{1}{\tau_1} \frac{1}{\tau_2} \dots \frac{1}{\tau_n} = \det(A), \quad (\text{VIII.74})$$

где $S_p(A)$ — след матрицы A ; $\det(A)$ — детерминант матрицы A , т. е. в данном случае:

$$\begin{vmatrix} a_{11} & a_{12} \\ a_{21} & a_{22} \end{vmatrix} = a_{11} a_{22} - a_{12} a_{21}. \quad (\text{VIII.75})$$

Следовательно, для корней матрицы (VIII.71) имеем:

$$\begin{aligned}\frac{1}{\tau_1} + \frac{1}{\tau_2} &= a_{11} + a_{22}; \\ \frac{1}{\tau_1} \frac{1}{\tau_2} &= a_{11} a_{22} - a_{12} a_{21}.\end{aligned}\quad (\text{VIII.76})$$

Решая эти уравнения, получаем:

$$\tau_1^{-1} = \frac{1}{2} (a_{11} + a_{22}) - \frac{1}{2} \sqrt{(a_{11} - a_{22})^2 + 4a_{12} a_{21}}; \quad (\text{VIII.77})$$

$$\tau_2^{-1} = \frac{1}{2} (a_{11} + a_{22}) + \frac{1}{2} \sqrt{(a_{11} - a_{22})^2 + 4a_{12} a_{21}}. \quad (\text{VIII.78})$$

Уравнение (VIII.77) определяет более низкую частоту релаксации, т. е. $\tau_1 > \tau_2$. Таким образом, релаксационные частоты τ_1^{-1} и τ_2^{-1} зависят от величин, характеризующих обе естественные реакции (VIII.62), т. е. от обеих констант скоростей k_{11} и k_1 и равновесных концентраций всех сортов молекул c_1 , c_2 и c_3 .

Второе приближение (VIII.63) рассматривается, в принципе, также, как первое. Получаются более громоздкие соотношения, которые нет необходимости здесь приводить.

Компоненты собственных векторов \mathbf{w}'_1 и \mathbf{w}'_2 . Найдем теперь соотношения, определяющие компоненты векторов \mathbf{w}'_1 и \mathbf{w}'_2 . Напомним, что степени полноты нормальных реакций ξ_i связаны со степенями полноты естественных реакций ξ_α соотношением

$$\xi = \mathbf{w} \xi,$$

которое в данном случае имеет вид

$$\begin{pmatrix} \xi_1 \\ \xi_2 \end{pmatrix} = \begin{pmatrix} w_{11} & w_{12} \\ w_{21} & w_{22} \end{pmatrix} \begin{pmatrix} \xi_1 \\ \xi_2 \end{pmatrix} = \begin{pmatrix} w_{11} \xi_1 + w_{12} \xi_2 \\ w_{21} \xi_1 + w_{22} \xi_2 \end{pmatrix}. \quad (\text{VIII.79})$$

Поэтому

$$\begin{aligned}\xi_1 &= \mathbf{w}'_1 \xi = w_{11} \xi_1 + w_{12} \xi_2 \\ \xi_2 &= \mathbf{w}'_2 \xi = w_{21} \xi_1 + w_{22} \xi_2.\end{aligned}\quad (\text{VIII.80})$$

Но согласно (VIII.22)

$$\mathbf{w}' \begin{pmatrix} a_{11} - \frac{1}{\tau} & a_{12} \\ a_{21} & a_{22} - \frac{1}{\tau} \end{pmatrix} = 0. \quad (\text{VIII.81})$$

Решение уравнения (VIII.81) для $1/\tau \equiv 1/\tau_1$ или $1/\tau_2$ дает собственные векторы \mathbf{w}'_1 и \mathbf{w}'_2 как функции релаксационных частот τ_1^{-1} и τ_2^{-1} и элементов матрицы $\mathbf{L}\mathbf{G}$, т. е. a_{11} , a_{12} , a_{21} и a_{22} . Прежде всего определим знаки компонент собственных векторов. Так как знаки a_{12} и a_{21} одинаковы, произведение $a_{12}a_{21}$ положительно. Поэтому из (VIII.77) следует, что τ_1^{-1} всегда меньше a_{11} и a_{22} , а из (VIII.78) вытекает, что τ_2^{-1} всегда больше a_{11} и a_{22} . Значит, диагональные элементы a_{11} — ($1/\tau$)

и $a_{22} - (1/\tau)$ в уравнении (VIII.81) положительны для τ_1^{-1} и отрицательны для τ_2^{-1} .

Из уравнения (VIII.81) вытекает, что

$$\begin{aligned} \left(a_{11} - \frac{1}{\tau_1}\right) w_{11} + a_{21} w_{12} &= 0; \\ a_{12} w_{11} + \left(a_{22} - \frac{1}{\tau_1}\right) w_{12} &= 0. \end{aligned} \quad (\text{VIII.82})$$

Если $a_{12} > 0$, компоненты вектора \mathbf{w}'_1 имеют противоположные знаки; при $a_{12} < 0$ компоненты вектора \mathbf{w}'_1 имеют одинаковые знаки.

Далее из уравнения (VIII.81) следует, что

$$\begin{aligned} \left(a_{11} - \frac{1}{\tau_2}\right) w_{21} - a_{21} w_{22} &= 0; \\ a_{12} w_{21} + \left(a_{22} - \frac{1}{\tau_2}\right) w_{22} &= 0. \end{aligned} \quad (\text{VIII.83})$$

Таким образом, если $a_{12} > 0$, компоненты вектора \mathbf{w}'_2 имеют одинаковые знаки, и если $a_{12} < 0$, компоненты вектора \mathbf{w}'_2 имеют противоположные знаки. Пользуясь (VIII.82) и (VIII.83), получаем:

$$\frac{w_{11}}{w_{12}} = -\frac{a_{21}}{a_{11} - \tau_1^{-1}} = -\frac{a_{22} - \tau_1^{-1}}{a_{12}}; \quad (\text{VIII.84})$$

$$\frac{w_{21}}{w_{22}} = -\frac{a_{21}}{a_{11} - \tau_2^{-1}} = -\frac{a_{22} - \tau_2^{-1}}{a_{12}}. \quad (\text{VIII.85})$$

Отсюда

$$\frac{w_{11}^2}{w_{12}^2} = \frac{a_{21} (a_{22} - \tau_1^{-1})}{a_{12} (a_{11} - \tau_1^{-1})}; \quad \frac{w_{21}^2}{w_{22}^2} = \frac{a_{21} (a_{22} - \tau_2^{-1})}{a_{12} (a_{11} - \tau_2^{-1})}. \quad (\text{VIII.86})$$

Компоненты собственных векторов линейно независимы. Из (VIII.84) — (VIII.86) следует, что с точностью до некоторого множителя α собственные векторы равны:

$$\begin{aligned} \mathbf{w}'_1 &= \alpha_1 [\mp \text{знак } (a_{12}) \sqrt{|a_{21} (a_{22} - \tau_1^{-1})|}, \sqrt{|a_{12} (a_{11} - \tau_1^{-1})|}]; \\ \mathbf{w}'_2 &= \alpha_2 [\pm \text{знак } (a_{12}) \sqrt{|a_{21} (a_{22} - \tau_2^{-1})|}, \sqrt{|a_{12} (a_{11} - \tau_2^{-1})|}]. \end{aligned} \quad (\text{VIII.87})$$

Величины α_1 и α_2 определяются из условия нормировки, аналогичного условию (VII.63), т. е.

$$\mathbf{w}'_i L^{-1} \mathbf{w}_k = \delta_{ik}, \quad (\text{VIII.88})$$

так что

$$\mathbf{w}'_1 \mathbf{w}_1 = \frac{RT}{V} \alpha^2 [|a_{21} (a_{22} - \tau_1^{-1})| + |a_{12} (a_{11} - \tau_1^{-1})|] = 1; \quad (\text{VIII.89})$$

$$\mathbf{w}'_2 \mathbf{w}_2 = \frac{RT}{V} \alpha^2 [|a_{21} (a_{22} - \tau_2^{-1})| + |a_{12} (a_{11} - \tau_2^{-1})|] = 1. \quad (\text{VIII.90})$$

Подставляя значения τ_1^{-1} и τ_2^{-1} из уравнений (VIII.77) и (VIII.78), получаем:

$$\alpha_1^{-2} = \frac{RT}{V} \left\{ \left| \frac{(a_{22} - a_{11})}{2} a_{21} + a_{21} Q \right| + \left| \frac{(a_{11} - a_{22})}{2} a_{12} + a_{12} Q \right| \right\}; \quad (\text{VIII.91})$$

$$\alpha_2^{-2} = \frac{RT}{V} \left\{ \left| \frac{(a_{22} - a_{11})}{2} a_{21} - a_{21} Q \right| + \left| \frac{(a_{11} - a_{22})}{2} a_{12} - a_{12} Q \right| \right\}, \quad (\text{VIII.92})$$

где $Q = \frac{1}{2} \sqrt{(a_{11} - a_{22})^2 + 4a_{12}a_{21}}$. В частности, если $a_{12} = a_{21}$, $\alpha_1 = \alpha_2 = \alpha$, и

$$\alpha^{-2} = \frac{RT}{V} |a_{12} Q| = \frac{RT}{V} |a_{12} (\tau_2^{-1} - \tau_1^{-1})|. \quad (\text{VIII.93})$$

В этом случае векторы \mathbf{w}'_1 и \mathbf{w}'_2 имеют вид:

$$\mathbf{w}'_1 = \left(\frac{V}{RT} \right)^{1/2} \left[\pm \text{знак } (a_{12}) \sqrt{\left| \frac{a_{22} - \tau_1^{-1}}{\tau_2^{-1} - \tau_1^{-1}} \right|}, \sqrt{\left| \frac{a_{11} - \tau_2^{-1}}{\tau_2^{-1} - \tau_1^{-1}} \right|} \right]; \quad (\text{VIII.94})$$

$$\mathbf{w}'_2 = \left(\frac{V}{RT} \right)^{1/2} \left[\pm \text{знак } (a_{12}) \sqrt{\left| \frac{a_{22} - \tau_2^{-1}}{\tau_2^{-1} - \tau_1^{-1}} \right|}, \sqrt{\left| \frac{a_{11} - \tau_1^{-1}}{\tau_2^{-1} - \tau_1^{-1}} \right|} \right]. \quad (\text{VIII.95})$$

Символ « \pm знак (a_{12}) » в (VIII.94) и (VIII.95) (и ранее) подразумевает, что знаки компонент зависят от знака a_{12} .

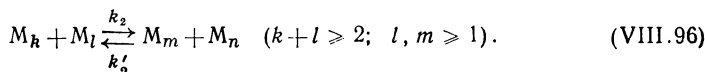
Расчет собственных значений τ_1^{-1} и τ_2^{-1} может быть выполнен в той же последовательности и с помощью собственных векторов \mathbf{x}_1 и \mathbf{x}_2 . Компоненты векторов-столбцов \mathbf{x}_1 и \mathbf{x}_2 отыскиваются так же, как и компоненты векторов \mathbf{w}'_1 и \mathbf{w}'_2 . Взаимосвязь между естественными реакциями в (VIII.62) характеризуют элементы a_{12} и a_{21} матрицы \mathbf{LG} . Если $a_{12} = a_{21} = 0$, то оба собственных вектора \mathbf{w}'_1 и \mathbf{w}'_2 или \mathbf{x}_1 и \mathbf{x}_2 становятся единичными векторами $\mathbf{x}_1 = \begin{pmatrix} 1 \\ 0 \end{pmatrix}$; $\mathbf{x}_2 = \begin{pmatrix} 0 \\ 1 \end{pmatrix}$; $\mathbf{w}'_1 = (1 \ 0)$, $\mathbf{w}'_2 = (0 \ 1)$.

В этом случае взаимосвязь между реакциями 1 и 2 отсутствует и, следовательно, каждая из них представляет собой нормальную реакцию, ответственную за соответствующий релаксационный процесс. Для матрицы (VIII.71) условие $a_{12} = a_{21} = 0$ выполняется, если $c_1/c_2 = 2$. Расчеты существенно упрощаются, когда концентрации c_1 , c_2 и c_3 и константы скорости k_{11} и k_1 таковы, что $a_{11} \gg a_{12}$, $a_{22} \gg a_{21}$ и $a_{12} \simeq a_{21}$. В таких случаях приближение $a_{12} \simeq a_{21} \simeq 0$ может быть вполне приемлемым.

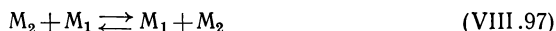
Здесь были рассмотрены реакции вида (VIII.1) при больших и малых средних степенях ассоциации. Перейдем теперь к реакциям (VIII.2).

§ 50. БИМОЛЕКУЛЯРНЫЕ РЕАКЦИИ ПЕРЕСТРОЙКИ АССОЦИАТОВ

Если в жидкостях присутствуют ассоциированные молекулы, то в принципе наряду с реакциями (VIII.1) идут бимолекулярные реакции (VIII.2), элементарные стадии которых имеют вид



Реакции (VIII.96) приводят к перераспределению связей $M - M$ в ассоциатах и изменению концентраций или ориентаций ассоциатов по отношению к окружающим молекулам и лабораторной системе координат. Общее число связей $M - M$ сохраняется. Поэтому реакции (VIII.96) акустически ненаблюдаемы. Самая простая из реакций (VIII.96) имеет вид



Любая из реакций (VIII.96) формально может быть представлена, как сочетание двух или нескольких реакций (VIII.1). Например, реакцию (VIII.97) можно формально представить как результат следующих двух элементарных событий реакций:

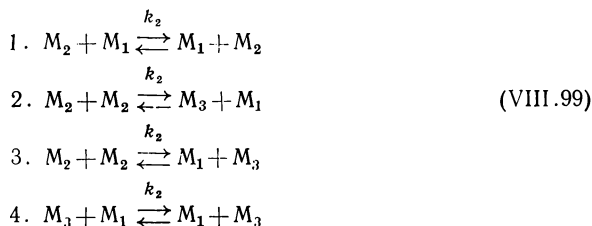


Отличие реакций (VIII.97) от реакций (VIII.98) состоит в том, что в реакции (VIII.97) молекулы M_1 и M_2 образуются непосредственно при взаимодействии двух молекул, M_2 и M_1 , — это одна элементарная стадия процесса переноса связи $M - M$. А в (VIII.98) тот же результат достигается с помощью двух элементарных стадий. То же самое относится и к другим реакциям (VIII.96).

Здесь будут рассмотрены только те случаи, когда константы равновесия и константы скоростей всех реакций (VIII.96) можно считать одинаковыми; константы прямых и обратных реакций (VIII.96) тоже совпадают, $k'_2 = k_2$.

Предположим, что в системе идут только реакции (VIII.96). Реакции (VIII.1), скажем, находятся в динамическом равновесии. Скорости прямых реакций равны скоростям обратных реакций. Тогда система, состоящая из p ассоциатов, имеет только одну химическую степень свободы; изменения чисел молей ассоциатов в равновесных и неравновесных состояниях системы ограничены условиями, наложенными на константы равновесия и константы скоростей реакций (VIII.96), вытекающими из уравнений реакции, и законом сохранения массы, поскольку система замкнутая. Например, при $p \leq 2$ в такого рода системе может идти только одна естественная реакция (VIII.97).

Действительно, если дифференциал dn_1 задан, то тем самым задан и dn_2 , так как по уравнению (VIII.97) и в соответствии с законом сохранения массы эти дифференциалы должны быть одинаковы. Система имеет одну химическую степень свободы. При $p \leq 3$ в рассматриваемой системе могут идти следующие четыре реакции вида (VIII.96):



Можно видеть, что число химических степеней свободы опять равно единице. В системе протекает одна нормальная реакция. Рассуждая

так же, как и при выводе (VIII.53), находим, что изменение степени полноты этой нормальной реакции $d\xi_1$ равно сумме $\sum_{\alpha=1}^4 d\xi_{\alpha}$.

С увеличением максимально возможной степени ассоциации число различных реакций вида (VIII.96) быстро возрастает. Если константы скоростей прямых и обратных реакций (VIII.96) одинаковы, то, поскольку $m = 1$, лишь одна нормальная реакция изменяет состояние системы, — та, для которой справедливо соотношение

$$d\xi_1 = \sum_{\alpha} d\xi_{\alpha}. \quad (\text{VIII.100})$$

Для расчета τ_2 можно воспользоваться уравнением (VI.76). При больших средних степенях ассоциации, $\bar{p} \gg 1$, индексы k , l , m и n принимают практически одни и те же значения. Чтобы не учитывать одну и ту же реакцию 2 раза, в уравнение (VI.76) надо ввести множитель $1/2$:

$$\tau_{\bar{p}^{\frac{1}{2}}, 2} = \frac{1}{2} [k_2 ([M_k] + [M_l]) + k'_2 ([M_m] + [M_n])] \simeq k_2 c, \quad (\text{VIII.101})$$

так как $k'_2 = k_2$ и, при $\bar{p} \gg 1$, $\sum_{p=1}^k c_p \simeq \sum_{p=1}^l c_p \simeq \sum_{p=1}^m c_p \simeq \sum_{p=1}^n c_p \simeq c$. Здесь, в отличие от (VIII.57), нет нужды вводить множитель $1/\bar{p}$, так как в реакции переноса Н-связи может принимать участие любое звено РОН цепочечного ассоциата. Из уравнения (VIII.101) видно, что время релаксации зависит не только от константы скорости реакции, но и от общей концентрации ассоциатов c , которая обратно пропорциональна средней степени ассоциации \bar{p} .

§ 51. СОПОСТАВЛЕНИЕ ВРЕМЕН РЕЛАКСАЦИИ, СВЯЗАННЫХ С РЕАКЦИЯМИ АССОЦИАЦИИ И РЕАКЦИЯМИ ПЕРЕСТРОЙКИ АССОЦИАТОВ

Реакции (VIII.96), как уже говорилось, акустическими методами не обнаруживаются. Но если молекулы мономеров или их ассоциатов полярны, эти реакции можно исследовать методами диэлектрической радиоспектроскопии, методами релеевской спектроскопии и рядом других. В принципе, реакции (VIII.1) и (VIII.96) взаимосвязаны. Это означает, что нормальные реакции, вообще говоря, должны зависеть от степеней полноты всех реакций (VIII.1) и (VIII.96). Когда система имеет всего две химические степени свободы и поэтому в ней идут только две нормальные реакции, каждая из этих нормальных реакций зависит как от естественных реакций вида (VIII.1), так и от естественных реакций (VIII.96). На практике в пределах ошибок опыта связью между реакциями (VIII.1) и (VIII.96) нередко можно пренебречь. Сопоставим в этих условиях время релаксации τ_1 , зависящее от естественных реакций (VIII.1), и время релаксации τ_2 , связанное с естественными реакциями вида (VIII.96). Константу скорости бимо-

лекулярной реакции k_2 в (VIII.101) можно переписать, используя соотношение

$$k_2 \left[\frac{\text{единица объема}}{\text{моль} \cdot \text{с}} \right] = k_{2x}/c_0, \quad (\text{VIII.102})$$

где c_0 — число молей в единице объема в пересчете на мономерные молекулы (см. уравнение (VIII.33) и k_{2x} имеет размерность $[\text{с}^{-1}]$. Подставляя (VIII.102) в (VIII.101) и пользуясь (VIII.30), (VIII.33), (VIII.34), получаем:

$$\tau_{\bar{P}T, 2}^{-1} = k_{2x} \frac{c}{c_0} = k_{2x}/\bar{p}, \quad (\text{VIII.103})$$

так как $c = c_1 \bar{p}$ и $c_0 = c_1 \bar{p}^2$.

Из (VIII.103) и (VIII.57) следует:

$$\frac{\tau_{PT, 2}}{\tau_{PT, 1}} = \frac{3}{2} \frac{\bar{p}}{\bar{p}} \frac{k_1}{k_{2x}}. \quad (\text{VIII.104})$$

Пользуясь уравнениями (V.67) теории констант скоростей реакций, находим:

$$k_1 = 4\pi e \kappa_1 \frac{k_B T}{h} e^{-\frac{\Delta G_1^\ddagger}{RT}} = \frac{k_B T}{h} e^{-\frac{\Delta G_{1K}^\ddagger}{RT}}; \quad (\text{VIII.105})$$

$$k_{2x} = 4\pi e \kappa_2 \frac{k_B T}{h} e^{-\frac{\Delta G_2^\ddagger}{RT}} = \frac{k_B T}{h} e^{-\frac{\Delta G_{2K}^\ddagger}{RT}}, \quad (\text{VIII.106})$$

где $\Delta G_{1K} = \Delta G_1^\ddagger + RT \ln 4\pi e \kappa_1$ и $\Delta G_{2K} = \Delta G_2^\ddagger + RT \ln 4\pi e \kappa_2$ (см. § 21). Следовательно,

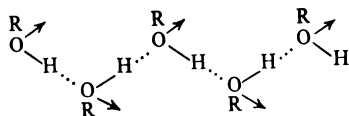
$$\frac{\tau_{PT, 2}}{\tau_{PT, 1}} = -\frac{3}{2} \frac{\kappa_1}{\kappa_2} \bar{p} e^{\frac{\Delta G_2^\ddagger - \Delta G_1^\ddagger}{RT}} = \frac{3}{2} \bar{p} e^{\frac{\Delta G_{2K}^\ddagger - \Delta G_{1K}^\ddagger}{RT}}. \quad (\text{VIII.107})$$

Уравнение (VIII.107) полезно при сопоставлениях теории с опытом. Если средняя степень ассоциации достаточно велика, то отношение $\tau_{PT, 2}/\tau_{PT, 1}$ больше единицы. С понижением температуры это отношение будет расти вследствие роста \bar{p} .

§ 52. РЕАКЦИИ РАЗРЫВА Н-СВЯЗИ В СПИРТАХ ROH

Если спирт одноатомный, т. е. в его молекуле имеется лишь одна группа OH, то, как уже отмечалось ранее, в тех случаях, когда углеводородный радикал не разветвлен или разветвлен незначительно, так что группа OH не экранирована соседними частями той же молекулы, ассоциатам спирта присуща в основном цепочечная структура,

возникающая с помощью связей $O - H \dots O$. Фрагменты цепочек при трансформации ассоциата имеют следующий вид:



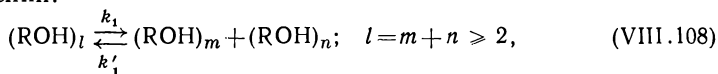
Здесь стрелками указаны направления дипольных моментов молекул RON в цепочке. Такие ассоциаты доминируют в метаноле, этаноле, пропаноле, бутанолах и ряде других спиртов с не очень большим числом атомов углерода в радикалах R [27, 28].

Кроме связей $O - H \dots O$ в жидких спиртах, по-видимому, существуют связи $C - H \dots O$ и $C - H \dots C$. Энергия их образования в 4—5 раз меньше, чем энергия образования связей $O - H \dots O$. Прямые доказательства присутствия связей $C - H \dots O$ и $C - H \dots C$ между молекулами спирта неизвестны. Но связи $C - H \dots O$ и $C - H \dots C$ дают о себе знать в тех системах, где отсутствуют более сильные связи $O - H \dots C$ или им подобные. Так, например, в дальних ИК спектрах жидких бензола, *n*-гексана, *n*-гептана и ряда других алканов, в области частот от $1,5 \cdot 10^{12}$ Гц до $3 \cdot 10^{12}$ Гц (или от 50 см^{-1} до 100 см^{-1}) наблюдается полоса поглощения, обусловленная слабыми водородными связями $C - H \dots C$ между соседними молекулами. Энтальпия образования этих связей составляет около 4 кДж/моль. Возникновение слабых связей $C - H \dots C$ сопровождается перераспределением электронной плотности. В результате из неполярных молекул мономеров бензола или $C_n H_{2n+2}$ при их ассоциации образуются слабополярные молекулы ассоциатов $(C_6 H_6)_p$ или $(C_n H_{2n+2})_p$, имеющие дипольные моменты порядка 3×10^{-12} Кл · м (или $\approx 0,1 D$). Это приводит к дипольной поляризации и диэлектрической релаксации, отчетливо наблюдаемой методами диэлектрической спектроскопии в миллиметровом радиодиапазоне.

Можно полагать, что в жидких спиртах, углеводородные радикалы которых содержат большое число атомов углерода, относительно слабые связи $C - H \dots O$ и $C - H \dots C$ выступают на первый план и вносят наибольший вклад в энергию межмолекулярного взаимодействия. Реакции с участием связей $O - H \dots O$ представляют собой лишь один из видов реакций, приводящих к образованию, разрушению или перестройке ассоциатов при тепловом движении в спиртах. Поскольку энергия связей $O - H \dots O$ в спиртах RON довольно велика — она превышает 20 кДж/моль, в низкомолекулярных спиртах и их растворах присутствие таких связей наблюдается сравнительно легко. Они играют наиболее заметную роль, более устойчивы и сравнительно хорошо изучены.

Таким образом, в жидких спиртах, в ходе теплового движения молекул протекают реакции образования и разрушения одной водородной связи $O - H \dots O$. Совокупность этих двусторонних естественных реакций может быть представлена с помощью следующих стехиометри-

ческих уравнений:



где l, m, n — числа мономерных звеньев RON в цепочечных ассоциатах; k_1 и k'_1 — константы скоростей реакций разрыва или образования одной связи $\text{O} - \text{H} \dots \text{O}$, соответственно. Константа равновесия этой реакции $K_{01} = k_1/k'_1$.

Если средняя степень ассоциации $\bar{p} \gg 1$, то концентрация мономерных молекул RON и димеров $(\text{RON})_2$ в спирте невелика. В этих условиях вполне применимо допущение, что константы равновесия и константы скоростей всех реакций (VIII.108) одинаковы. В тех случаях, когда \bar{p} по порядку величины близко к единице, концентрации мономеров и димеров относительно велики. В этих условиях целесообразно выделять реакцию разрыва H -связи в димерах, потому что изменение энтропии S системы в ходе этой реакции заметно отличается от изменений S в случае более сложных ассоциатов. Вместе с тем надо помнить, что понятие о «мономере», «димере», p -мерах в данном случае не вполне точное, потому что учитываются лишь связи $\text{O} - \text{H} \dots \text{O}$ и отбрасываются значительно менее прочные связи $\text{C} - \text{H} \dots \text{O}$ и $\text{C} - \text{H} \dots \text{C}$, а следовательно, и реакции их разрыва и образования.

Константа равновесия K_{01} и \bar{p} могут быть определены с помощью измерений статической диэлектрической проницаемости чистых спиртов и последующего теоретического анализа методами, развитыми в работах Кирквуда, Бро и ряда других исследователей [18—21]. Кроме того, K_{01} и \bar{p} могут быть найдены с помощью релеевского рассеяния света растворами спиртов, а также термодинамическими методами [22—26]. В пределах ошибок опыта результаты определений K_{01} и \bar{p} в чистых спиртах различными независимыми методами обычно совпадают.

Условимся в дальнейшем называть реакции (VIII.108) реакциями «разрыва одной H -связи» или «разрыва H -связи», подразумевая при этом, что в обратном направлении они ведут к образованию одной H -связи. Наряду с реакциями разрыва одной H -связи в спиртах могут происходить и такие элементарные события, в ходе которых одновременно разрываются две или большее число связей, т. е. коллективные реакции. Как показывает опыт, при температурах, далеких от температуры стеклования, спирта, вкладом коллективных реакций можно пренебречь, поэтому они рассматриваться не будут.

Из табл. 9 и 10 следует, что средняя степень ассоциации \bar{p} уменьшается с ростом температуры и увеличением числа атомов углерода в радикале. Для изомерных спиртов RON величина \bar{p} уменьшается с увеличением разветвленности радикала и при переходе от первичных спиртов, молекулы которых имеют группу CH_2OH , ко вторичным спиртам, содержащим группу CHOH , и далее к третичным спиртам, с гидроксильной группой у третичного атома углерода $\text{C} - \text{OH}$. Если радикал R в молекуле RON разветвлен, то в ряде случаев [27, 28] на первый план выступают кольцевые и «кустообразные» ассоциаты.

Константы равновесия K'_{01} ; средние степени ассоциации \bar{p} ; параметр η , зависящий от ширины потенциальной ямы заторможенного внутреннего вращения вокруг связи О—Н...О в цепочечных ассоциатах; энтальпия и энтропия реакции (VIII. 1), времена релаксации τ и релаксационные силы b низкочастотных областей акустической (τ_{a1} , b_{a1}) и диэлектрической (τ_{d1} , b_{d1}) релаксации в некоторых спиртах при 20°C

Соединения	K'_{01} , л/моль	\bar{p}	η	$\tau_{a1} \cdot 10^{10}$, с	$b_{a1} \cdot 10^2$	$\tau_{d1} \cdot 10^{10}$, с	b_{d1}	τ_{d1}/τ_{a1}	ΔH° , кДж/моль	ΔS° , Дж/моль·К
Метанол	—	30	0,25	[1,2]	$2 \cdot 10^{-1}$	0,54	0,880	—	22	20
Этанол	—	25	0,29	[1,4]	—	—	—	—	21	21
1-Пропанол	21	18	0,33	[0,76]	—	3,50	0,912	—	22	28
2-Пропанол	7,1	11	0,36	[1,0]	3,0	3,60	0,923	—	20	26
1-Бутанол	19	15	0,35	1,5	2,1	5,70	0,916	3,80	22	30
изо-Бутанол	17	12	0,36	4,5	1,3	7,80	0,920	1,73	23	32
2-Бутанол	15	8	0,41	2,3	2,8	5,20	0,915	2,26	24	50
3-Бутанол	—	3	—	3,5	—	—	—	—	—	—
1-Пентанол	15	13	0,36	0,74	3,5	7,20	0,902	9,72	21	31
изо-Пентанол	5,6	14	0,37	1,2	4,2	8,30	0,929	6,92	23	28
1-Гексанол	16	11	0,37	2	2	8,70	0,915	4,35	22	35
1-Гептанол	11	10	0,37	2	2,1	14,40	0,895	7,20	22	38
1-Октанол	9,3	8	0,38	—	—	16,70	0,878	—	22	39
2-Октанол	1,0	3	0,49	—	—	15,00	0,872	—	25	67
Циклогексанол, 40°C	6,15	11	0,35	1,5	—	9,60	0,84	6,40	23	44

Далее речь будет идти о тех алканолах, у которых преобладают цепочечные ассоциаты. Фактор корреляции Кирквуда молекул таких спиртов $g > 1$. Сюда относятся метанол, этанол и другие спирты, приведенные в табл. 9, 10. В этих таблицах кроме значений \bar{p} , характеризующих среднее число звеньев в цепочечных ассоциатах $(\text{RON})_p$, имеются величины параметра $\eta = \cos 2\varphi$, где 2φ обозначает угол, в пределах которого внутреннего вращение вокруг связей О—Н...О происходит «свободно», т. е. соответствует дну прямоуглольной потенциальной ямы, причем центр ямы соответствует *транс*-положению молекулы RON в цепочечном ассоциате. φ есть угол «незаторможенного» поворота вокруг связи О—Н...О вправо или влево по отношению к трансконфигурации молекул, образующих эту связь.

Здесь надо подчеркнуть следующее. Потенциал, описывающий заторможенное внутреннее вращение, зависит только от взаимного расположения звеньев ассоциата. Он описывает внутреннее вращение в изолированных молекулах ассоциата, как если бы цепочечные ассоциаты были в вакууме. В действительности, внутреннее вращение вокруг О—Н...О связей в цепочечном ассоциате, находящемся в жидкой фазе, как правило, не происходит. Этому препятствуют соседние молекулы жидкости. «Вращению» молекул RON вокруг связи О—Н...О

Константы скоростей реакций разрыва k_1 и образования k'_1
Н-связи в *n*-бутаноле и другие характеристики этих реакций
[29, 30] (ΔG_{1K}^\ddagger , ΔH_1^\ddagger в кДж/м; ΔS_{1K}^\ddagger в Дж/моль·К)

$t^\circ\text{C}$	$\tau \cdot 10^{10}, \text{с}$	$k_1 \cdot 10^{-8}, \text{с}^{-1}$	$c_0, \text{моль/л}$	ρ	$k_1 \cdot 10^{11}, \text{л/моль} \cdot \text{с}$	ΔG_{1K}^\ddagger	ΔH_1^\ddagger	ΔS_{1K}^\ddagger	$\Delta G_{1K}^{\ddagger'}$	$\Delta H_1^{\ddagger'}$	$\Delta S_{1K}^{\ddagger'}$
30	1,1	61	10,8	12	1						
20	1,5	44	10,9	15	1						
—20	4,0	17	11,3	30	1						
—40	10	6,6	11,5	48	1	17,0	15,2	—7	7	~0	~—28
—50	14	4,8	11,6	60	1						
—60	22	3,0	11,7	80	2						
—70	29	2,3	11,9	105	2						
—78	64	1,0	12,0	140	2						

в жидкости во многих случаях предшествует разрыв этой связи, после чего, в ходе теплового движения, очень быстро имеет место такое изменение положений окружающих молекул, в результате которого разорванная связь О — Н...О восстанавливается, но при иной взаимной ориентации звеньев ассоциата, соединенных этой связью. В итоге молекула цепочечного ассоциата спирта приобретает другую конформацию. В таких случаях «внутреннее вращение» в действительности включает в себя два последовательных элементарных события прямой и обратной реакций разрыва и образования Н-связи (VIII.108). Существует и другой механизм «внутреннего вращения», о котором будет сказано ниже.

§ 53. АКУСТИЧЕСКИЕ СПЕКТРЫ СПИРТОВ РОН И ИХ РАСШИФРОВКА

В интервале частот от 20 МГц до 1 ГГц в акустических спектрах спиртов, приведенных в табл. 9, наблюдается одна простая область акустической релаксации. Время акустической релаксации этой области у чистых спиртов τ_{a1} при 20°C составляет величину порядка 10^{-10} с. Релаксационная сила b_{a1} по порядку величины равна 10^{-2} . При понижении температуры время релаксации и релаксационная сила растут. Но время релаксации возрастает экспоненциально, а релаксационная сила увеличивается незначительно. Так, например, для *n*-бутанола при 30°C $\tau_{a1} = 1,1 \cdot 10^{-10}$ с; $b_{a1} = 2,4 \cdot 10^{-2}$; при —70°C $\tau_{a1} = 29 \cdot 10^{-10}$ с; $b_{a1} = 4,0 \cdot 10^{-2}$ [29]. В принципе, наблюдаемая в спиртах простая область акустической дисперсии могла бы быть обусловлена изменением структуры жидкости, сопровождающимся изменением энтальпии, либо колебательной релаксацией, либо конформационными превращениями молекул или их ассоциатов при условии, что энергии конформеров различны. Конформационные превращения

углеводородных радикалов R спиртов (см. табл. 9), как показывают исследования соответствующих углеводов [30], при 20° С могут наблюдаться в области частот, лежащих выше 1 ГГц.

Вращения свободных групп OH и OR, расположенных на концах цепочечных ассоциатов спиртов, также не могут быть причиной указанной выше области дисперсии. Во-первых, при понижении температуры число свободных групп OH и OR должно было бы уменьшаться и, следовательно, должна была бы снижаться релаксационная сила процесса. Но опыт показывает, что при понижении температуры b_{a1} во всех изученных спиртах растет. Во-вторых, вращения концевых групп OH и OR происходят очень быстро и могли бы наблюдаться лишь при частотах порядка 100 ГГц, пока не доступных акустическому эксперименту. Конформационные превращения ассоциатов акустически ненаблюдаемы, так как энтальпия жидкости очень слабо зависит от формы цепочек $(ROH)_n$ (см. с. 295). Колебательная релаксация сопровождается увеличением релаксационной силы при повышении температуры, что в рассматриваемом случае не подтверждается опытом. Кроме того, у жидкостей, молекулы которых не имеют высоких потенциальных барьеров, препятствующих внутреннему вращению, колебательная релаксация может наблюдаться лишь при частотах порядка 10 ГГц. Остается предположить, что в спиртах наблюдается структурная релаксация, точнее процессы разрыва и образования слабых химических связей. Они могут сопровождаться возникновением и исчезновением полостей или «дырок» в жидкой фазе и другими небольшими смещениями непосредственно взаимодействующих и соседних молекул. С ростом температуры концентрация ассоциатов падает, поэтому релаксационная сила b_{a1} при этом должна уменьшаться, что согласуется с опытом, если речь идет о температурах, далеких от точки стеклования. Поскольку зависимость τ_{PS} от температуры экспоненциальна, есть основания считать, что константа скорости упомянутой реакции подчиняется уравнению Аррениуса. Следовательно, реакция неколлективная. Ее элементарные события сводятся к разрыву или образованию одной слабой химической связи.

Как уже отмечалось, в спиртах могут быть по крайней мере три типа слабых связей: $O-H\cdots O$, $C-H\cdots O$ и $C-H\cdots C$. Энтальпия образования водородных связи $O-H\cdots O$ в несколько раз больше энтальпии образования водородных связей $C-H\cdots O$ и $C-H\cdots C$. Так как рассматриваемая область акустической дисперсии низкочастотная, то она должна быть обусловлена процессами разрыва и образования связей $O-H\cdots O$, наиболее прочных из перечисленных химических связей. Процессы образования и распада связей $C-H\cdots C$ и $C-H\cdots O$ должны быть более быстрыми, среднее время жизни таких связей более коротким.

Итак, простая область акустической дисперсии обусловлена реакциями вида (VIII.108), которые можно называть реакциями разрыва водородной связи $O-H\cdots O$.

Реакции разрыва H-связи при $\bar{p} \gg 1$. Нормальная реакция разрыва H-связи в спирте при средней степени ассоциации $\bar{p} \gg 1$ (на практике

при $\bar{p} \geq 3$) с достаточной степенью точности может быть представлена в виде суммы вкладов от всех двусторонних естественных реакций вида (VIII.108). Согласно уравнению (VIII.57) время релаксации $\tau_{PS,1}$ при $\bar{p} \gg 1$ связано с константами прямой k_1 и обратной k'_1 реакций вида (VIII.108) соотношениями:

$$\tau_{PS,1}^{-1} = \frac{3}{2} k_1 - \frac{3}{2} \frac{c_0}{\bar{p}^2} k'_1, \quad (\text{VIII.109})$$

где c_0 — общее число молей спирта в 1 л. По данным работы [31] при -60°C время акустической релаксации метанола $\tau_{PS,1} = 4 \cdot 10^{-10}$ с; этанола $4,8 \cdot 10^{-10}$ с; n — пропанола $7 \cdot 10^{-10}$ с; n -бутанола $2,2 \times 10^{-9}$ с; n — пентанола $2,6 \cdot 10^{-9}$ с. С увеличением объема, занимаемого углеводородным радикалом от метанола к n -пентанолу, примерно в 5 раз и, соответственно, уменьшением концентрации групп ОН в единице объема спирта распад цепочечных ассоциатов при прочих равных условиях (одинаковых давлении и температуре) замедляется примерно в 6 раз.

В табл. 10 в качестве примера приведены результаты расчета констант скоростей и связанных с ними величин для n -бутанола. Так как акустический спектр описывается одним временем релаксации, релаксационная сила следует соотношению

$$b_{a1} = \frac{(C_p^\circ - C_V^\circ) \delta C_1}{C_V^\circ (C_p^\circ - \delta C_1)} \left(1 - \frac{C_p^\circ}{V_m \theta^\circ} \frac{\Delta V_1}{\Delta H_1} \right)^2, \quad (\text{VIII.110})$$

где C_p° и C_V° — равновесные молярные теплоемкости спирта при постоянном давлении P или объеме V ; θ° — равновесный коэффициент теплового расширения; ΔV_1 и ΔH_1 — объемный и тепловой эффекты реакции (VIII.108); V_m — молярный объем спирта; δC_1 — релаксирующая часть теплоемкости, связанная с реакцией (VIII.108). δC_1 определяется уравнением (VI.183):

$$\delta C_1 = \frac{(\Delta H_1)^2}{n_0 T \left(\frac{\partial^2 G}{\partial \xi_1^2} \right)_{PT}}, \quad (\text{VIII.111})$$

где n_0 — число молей спирта в объеме V . Следуя (VIII.56), получаем:

$$\left(\frac{\partial^2 G}{\partial \xi_1^2} \right)_{PT} = \frac{RT}{V} \left[\frac{1}{[M_m]} + \frac{1}{[M_l]} + \frac{1}{[M_n]} \right], \quad (\text{VIII.112})$$

где $[M_l]$, $[M_m]$, $[M_n]$ — числа молей всех видов ассоциатов $(\text{ROH})_l$, $(\text{ROH})_m$ и $(\text{ROH})_n$ в единице объема спирта:

$$[M_l] = \sum_{p=2}^l c_p; [M_m] = \sum_{p=1}^m c_p; [M_n] = \sum_{p=1}^n c_p.$$

При $\bar{p} = 1$; $[M_l] = 0$; $\partial^2 G / \partial \xi_1^2 \rightarrow \infty$; $\delta C_1 = 0$ и $b_{a1} = 0$; т. е., если ассоциатов нет, релаксационная сила обращается в нуль, полоса, соответствующая реакциям (VIII.108), в акустическом спектре исчезает. Если $\bar{p} \rightarrow \infty$, то $[M_l]$, $[M_m]$ и $[M_n]$ приобретают значения порядка V_m / N_A

т. е. очень малы. В этих условиях $\frac{\partial^2 G}{\partial \zeta_1^2} \rightarrow \infty$, $\delta C_1 \rightarrow 0$ и $b_{a1} \rightarrow 0$. В условиях, когда все молекулы спирта входят в состав ассоциата — это может быть ниже температуры стеклования спирта, реакция разрыва Н-связи практически не идет. Полоса поглощения в акустическом спектре, обусловленная реакциями (VIII.108), при $\bar{p} \rightarrow \infty$ также отсутствует. Следовательно, в интервале $1 \leq \bar{p} \leq \infty$ релаксирующая теплоемкость δC_1 , обусловленная реакциями разрыва Н-связи, проходит через максимум. При $\bar{p} \gg 1$ суммы концентраций ассоциатов $[M_1]$, $[M_m]$ и $[M_n]$ по порядку величины равны c . Далее, учитывая, что $\Delta V \ll V_m$, $n_0/V = c_0$ и $c_0/c = \bar{p}$, находим:

$$\delta C_1 = \frac{R}{3\bar{p}} \left(\frac{\Delta H_1}{RT} \right)^2. \quad (\text{VIII.113})$$

Поскольку $\Delta V \ll V_m$, влиянием объемного эффекта на δC_1 можно пренебречь. Тепловой и объемный эффекты реакции разрыва Н-связи в состоянии равновесия ΔH и ΔV совпадают с разностями ΔH° и ΔV° состояний системы до и после реакции лишь в тех случаях, когда систему можно рассматривать как идеальный газ. Величины ΔH° и ΔV° реакций разрыва Н-связи можно найти, если известна зависимость статической диэлектрической проницаемости ϵ_s от температуры и давления. В работе [28] с помощью данных об ϵ_s найдены константы равновесия реакций разрыва Н-связей K_{01} . Далее по зависимости K_{01} от T определены энтальпии разрыва водородной связи О — Н...О; $\Delta H^\circ = 21$ — 22 кДж/моль. Кроме того, зная K_{01} , по уравнению (VIII.33) и (VIII.34) можно рассчитать концентрации мономеров c_1 и средние степени ассоциации спиртов \bar{p} . Затем по уравнению (VIII.109) нетрудно вычислить константы скорости прямой и обратной реакций разрыва Н-связи k_1 и k'_1 при ряде температур. Потом по уравнению

$$\Delta H^\ddagger = -R \frac{d \ln k}{d(1/T)} - RT \quad (\text{VIII.114})$$

отыскивается величина энтальпии активации прямой и обратной реакции. С помощью уравнений

$$\Delta G_k^\ddagger = RT \left(\ln \frac{k_B}{n} + \ln T - \ln k \right); \quad (\text{VIII.115})$$

$$\Delta S_k^\ddagger = (\Delta H^\ddagger - \Delta G_k^\ddagger) / T \quad (\text{VIII.116})$$

определяются величины кажущейся свободной энтальпии активации ΔG_k^\ddagger и кажущейся энтропии активации ΔS_k^\ddagger прямой и обратной реакций разрыва Н-связи. Значения этих величин при 293 К приведены в табл. 10. Приблизительно считая, что в условиях равновесия $\Delta H \simeq \Delta H^\circ$, с помощью уравнения (VIII.110) можно попытаться оценить порядок величины объемного эффекта реакции разрыва Н-связи. Расчеты показывают, что для изученных спиртов ROH найденные так величины ΔV_1 составляют около 5 см^3 [31].

Константы скоростей реакций разрыва k_1 и образования k_1' Н-связи в *трет*-бутаноле и другие характеристики этих реакций [29, 32] (ΔG^\ddagger , ΔH^\ddagger , кДж/моль; ΔS^\ddagger , Дж/моль·К)

t°, C	$\tau \cdot 10^{10}, \text{c}$	$b_a \cdot 10^2$	$k_1 \cdot 10^4, \text{c}^{-1}$	$c_0, \text{моль/л}$	$c_1, \text{моль/л}$	$c_2, \text{моль/л}$	$c_3, \text{моль/л}$	$c_4, \text{моль/л}$	$c_5, \text{моль/л}$	\bar{p}	$k_1', \text{л} \cdot \text{моль}^{-1} \cdot \text{с}^{-1}$	$\Delta G_{1\text{K}}^\ddagger$	$\Delta H_{1\text{K}}^\ddagger$	$\Delta S_{1\text{K}}^\ddagger$	$\Delta G_{1\text{K}}^{\ddagger'}$	$\Delta H_{1\text{K}}^{\ddagger'}$	$\Delta S_{1\text{K}}^{\ddagger'}$
30	2,7	4,7	19	10,5	1,55	0,92	0,54	0,3	0,16	2,6	7						
40	2,0	4,2	28	10,3	2,1	1,1	0,60	0,3	0,16	2,2	7	20,5	23,4	10	24	0	—75
60	1,3	3,7	46	10	3,5	1,6	0,73	0,34	0,16	1,7	6						

В дальнейшем результаты расчетов энтальпий и кажущихся энтропий активации прямой и обратной реакций (VIII.108) будут проанализированы подробно. Это поможет прояснить важные особенности механизмов реакций разрыва и образования связи О—Н...О в спиртах. Здесь отметим, что энтальпия активации реакций разрыва Н-связи отлична от нуля. Энтальпия активации реакции образования связи О—Н...О для всех изученных спиртов ROH равна нулю.

Реакция разрыва Н-связи при $\bar{p} \simeq 1$. В работе [32], в частности, изучен акустический спектр жидкого третичного бутилового спирта, где по оценкам, имеющимся в работах [20, 33—35], средняя степень ассоциации \bar{p} при 30° С равна 2,6, а при 40 и 60° С, соответственно, $\bar{p} = 2,2$ и $\bar{p} = 1,7$ (температура плавления *трет*-бутанола равна 25,66°С). Зависимость K_{01} от T приводит к значениям энтальпии и энтропии ассоциации молекул *трет*-бутанола $\Delta H^\circ = 23$ кДж/моль и $\Delta S^\circ = 63$ кДж/моль.

Исследования акустического спектра *трет*-бутанола [29, 32] показали, что в интервале частот от 10 МГц до 3,35 ГГц наблюдается одна простая релаксационная область акустической дисперсии, характеристики которой приведены в табл. 11. Из этой таблицы следует, что время релаксации τ_{PS1} и релаксационная сила b_{a1} по порядку величины такие же, как и у других изомеров бутанола. Зависимость τ_{PS1} и b_{a1} от температуры аналогична той, которая наблюдается у других спиртов ROH. Отметим, что параметр B уравнения

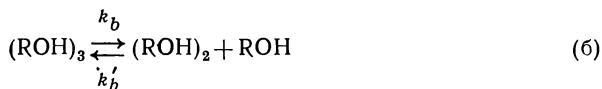
$$\frac{\alpha}{f^2} = \frac{A}{1 + 4\pi^2 f^2 \tau_{PS1}^2} + B \quad (\text{VIII.117})$$

больше, чем вклад в α/f^2 , обусловленный сдвиговой вязкостью η_s , т. е. $B > \alpha_{\text{кл}}/f^2$. Это указывает на то, что кроме обнаруженного простого релаксационного процесса при более высоких частотах звука в *трет*-бутаноле должны наблюдаться другие более быстрые релаксационные процессы. В жидком *трет*-бутаноле кроме мономеров, димеров и тримеров, конечно, имеются и ассоциаты $(C_4H_9OH)_p$, с $p \gg 4$.

Но в первом приближении можно принять, что эти ассоциаты отсутствуют. При $\bar{p} = 2,6$ (30°C) это вносит ошибку $\simeq 25\%$, при $\bar{p} = 2,2$ (40°C) ошибка снижается до $\simeq 20\%$, а при $\bar{p} = 1,7$ (60°C) она падает до $\simeq 1\%$. По данным, приведенным в работах [33, 34], даже в твердой фазе, где степень ассоциации спиртов резко возрастает, ассоциаты *трет*-бутанола в среднем содержат не более трех молекул. Итак, в первом приближении будем считать, что в жидком *трет*-бутаноле имеются только мономеры, димеры и тримеры. Наблюдаемая простая область акустической дисперсии по соображениям, которые были изложены выше, обусловлена реакциями (VIII.108) разрыва одной связи $\text{O}—\text{H}\dots\text{O}$. Так как в данном случае неравенство $\bar{p} \gg 1$ не выполняется, расчет нормальной реакции, вызывающей акустическую релаксацию в *трет*-бутаноле, можно осуществить в указанном приближении, отказываясь от учета реакций разрыва H -связи в тетрамерах и более сложных ассоциатах. Необходимо учесть, что при $\bar{p} \simeq 1$ роль димеров $(\text{ROH})_2$ во много раз выше, чем в тех случаях, когда $\bar{p} \gg 1$. В *трет*-бутаноле при 30°C димеры составляют около 40% всех ассоциатов, а при 60°C содержание димеров возрастает до 70% от всех ассоциатов. Поэтому не следует пренебрегать особенностями реакции разрыва H -связи в димерах, отличающими эту реакцию от аналогичных реакций в более сложных ассоциатах. Как известно, образование димера $(\text{ROH})_2$ сопровождается большим уменьшением энтропии, чем то, которое наблюдается при образовании одной H -связи в более сложных ассоциатах [25, 21, 26]. Энтальпии реакций разрыва H -связи в димерах и других ассоциатах одинаковы. В итоге константа равновесия K_{011} , а следовательно, и константы скорости реакции



отличаются от соответствующих величин реакции



Так как обнаруженная в работах [29, 32] область акустической дисперсии в пределах ошибок эксперимента следует уравнению (VIII.117) с одним значением времени релаксации $\tau_{PS, 1}$, то в соответствии с теорией процессов релаксации, можно принять, что эта область обусловлена одной нормальной реакцией, степень полноты которой есть линейная комбинация степеней полноты естественных реакций (а) и (б). Могут быть лишь две независимые линейные комбинации:

$$\xi_1 = x_{1a} \xi_a + x_{1b} \xi_b; \quad (\text{VIII.118})$$

$$\xi_2 = x_{2a} \xi_a + x_{2b} \xi_b, \quad (\text{VIII.119})$$

где ξ_a и ξ_b — степени полноты естественных реакций а и б; ξ_1 и ξ_2 — степени полноты двух нормальных реакций; x_{1a} , x_{1b} , x_{2a} , x_{2b} — постоянные во времени множители в линейных комбинациях (VIII.118)

и (VIII.119), определяющие вклады естественных реакций (а) и (б) в нормальные реакции (VIII.118) и (VIII.119). Одна из двух нормальных реакций ответственна за наблюдаемую в диапазоне частот от 10 МГц до 2,9 ГГц область акустической дисперсии; другая нормальная реакция должна приводить к акустической дисперсии при более высоких частотах. Чтобы найти связь между временами релаксации нормальных реакций τ_{PS1} и τ_{PS2} и константами скоростей естественных реакций k_a и k_b или k'_a и k'_b , надо решить векторное уравнение (VII.73)

$$\frac{1}{\tau} \mathbf{x} = \mathbf{L} \mathbf{G} \mathbf{x}, \quad (\text{VIII.120})$$

где \mathbf{L} — диагональная матрица. Диагональные элементы этой матрицы есть феноменологические коэффициенты естественных реакций а и б; L_{aa} и L_{bb} ; \mathbf{G} — положительно определенная квадратная матрица, элементами которой служат вторые производные свободной энтальпии *трет*-бутанола по степеням полноты реакций ξ_a и ξ_b ; \mathbf{x} — вектор-столбец матрицы \mathbf{X} , с помощью которой осуществляется линейное преобразование степеней полноты естественных реакций к степеням полноты нормальных реакций.

Обозначим через c_1 , c_2 и c_3 концентрации мономеров, димеров и тримеров в моль/л. Так как объемный эффект ΔV естественных реакций (а) и (б) мал, то $(\Delta V/V_m)^2 \ll 1$ и элементы матрицы \mathbf{G} можно считать не зависящими от объема. Рассматривая жидкий *трет*-бутанол как идеальный раствор, состоящий из мономеров, димеров и тримеров, и пользуясь соотношениями (VIII.66) и (VIII.67), получаем:

$$\mathbf{v} = \begin{vmatrix} 2 & 1 \\ -1 & 1 \\ 0 & 1 \end{vmatrix}; \quad \mathbf{c}^{-1} = \begin{vmatrix} c_1^{-1} & 0 & 0 \\ 0 & c_1^{-1} & 0 \\ 0 & 0 & c_1^{-1} \end{vmatrix}; \quad (\text{VIII.121})$$

$$\mathbf{L} = \frac{V}{RT} \begin{vmatrix} k_a c_2 & 0 \\ 0 & k_b c_3 \end{vmatrix} = \frac{V}{RT} \mathbf{Q}. \quad (\text{VIII.122})$$

С помощью уравнений (VIII.68) и (VIII.70) получаем:

$$\tau^{-1} \mathbf{y} = \begin{vmatrix} k_a \left(4 \frac{c_2}{c_1} + 1 \right) & k_a \left(2 \frac{c_2}{c_1} - 1 \right) \\ k_b \left(2 \frac{c_3}{c_1} - \frac{c_3}{c_2} \right) & k_b \left(\frac{c_3}{c_1} + \frac{c_3}{c_2} + 1 \right) \end{vmatrix} \mathbf{y}, \quad (\text{VIII.123})$$

где \mathbf{y} — собственные векторы, нормированные по отношению к \mathbf{Q}^{-1} :

$$\mathbf{y}_i \mathbf{Q}^{-1} \mathbf{y}_j = \delta_{ij}, \quad (\text{VIII.124})$$

Таким образом, компоненты векторов \mathbf{y}_1 и \mathbf{y}_2 отличаются от соответствующих компонент векторов \mathbf{x}_1 и \mathbf{x}_2 некоторым постоянным во времени множителем.

Задача сводится к отысканию собственных значений матрицы LG .

$$LG = \begin{vmatrix} k_a \left(4 \frac{c_2}{c_1} + 1 \right) & k_a \left(2 \frac{c_2}{c_1} - 1 \right) \\ k_b \left(2 \frac{c_3}{c_1} - \frac{c_3}{c_2} \right) & k_b \left(\frac{c_3}{c_1} + \frac{c_3}{c_2} + 1 \right) \end{vmatrix} = \begin{vmatrix} h_{11} & h_{12} \\ h_{21} & h_{22} \end{vmatrix}. \quad (\text{VIII.125})$$

Чтобы решить уравнение (VIII.123), следует приравнять нулю определитель характеристической матрицы:

$$\begin{vmatrix} h_{11} - \tau^{-1} & h_{12} \\ h_{21} & h_{22} - \tau^{-1} \end{vmatrix} = 0, \quad (\text{VIII.126})$$

т. е. решить уравнение

$$\tau^{-2} - (h_{11} + h_{22}) \tau^{-1} + h_{11} h_{22} - h_{12} h_{21} = 0. \quad (\text{VIII.127})$$

Тогда

$$\tau_{1,2}^{-1} = \frac{1}{2} (h_{11} + h_{22}) \mp \frac{1}{2} \sqrt{(h_{11} - h_{22})^2 + 4h_{12} h_{21}}. \quad (\text{VIII.128})$$

Знак минус определяет более низкую частоту релаксации τ_1^{-1} , т. е. большее время релаксации τ_1 .

Взаимосвязь между естественными реакциями (а) и (б) характеризуют элементы h_{12} и h_{21} в матрице LG . Если h_{12} и $h_{21} = 0$, то оба собственных вектора y_1 и y_2 становятся единичными векторами $y_1 = \begin{pmatrix} 1 \\ 0 \end{pmatrix}$,

$y_2 = \begin{pmatrix} 0 \\ 1 \end{pmatrix}$. В этом случае взаимодействие между реакциями (а) и (б) отсутствует и, следовательно, каждая из них играет роль нормальной реакции, ответственной за одну простую область акустической дисперсии. Условие $h_{12} = h_{21} = 0$ выполняется, если $c_2/c_1 = K_{0a} c_1 = 1/2$ и $2 \frac{c_3}{c_1} - \frac{c_3}{c_2} = 0$.

Когда h_{12} и h_{21} не равны нулю, времена релаксации τ_1 и τ_2 представляют собой функции констант скоростей реакций k_a и k_b и концентраций c_1, c_2, c_3 . Тогда расчеты упрощаются, если есть достаточные основания полагать, что $k_a \gg k_b$, или $k_a \ll k_b$, или концентрации c_1, c_2, c_3 таковы, что $h_{11} \gg h_{12}$ и $h_{22} \gg h_{21}$.

Для третичного бутанола при 30° С согласно данным, приведенным в [20], $K_{01} = 4$ м. д.⁻¹, при 40° С $K_{01} = 2,6$ м. д.⁻¹ и при 60° С $K_{01} = 1,3$ м. д.⁻¹. При переходе от размерности м. д.⁻¹ к л/моль K_{01} , выраженные в м. д.⁻¹, надо разделить на c_0 — число молей спирта в 1 л. Расчеты [20] основаны на допущении, что константы равновесия реакций разрыва Н-связей не зависят от числа молекул ROH в ассоциатах. В этом приближении концентрация ассоциата, содержащего p молекул спирта, определяется соотношением

$$c_p = \frac{c_0}{p^2} \left(\frac{K_{01}}{p^2} \right)^{p-1}, \quad (\text{VIII.129})$$

где $c_0 = 10^3 \rho/M$; ρ — плотность жидкости; M — молекулярная масса. Результаты расчета концентраций при 30, 40 и 60° С приведены в

табл. 11. Из таблицы видно, что произведение $K_{01}c_1$ при 30° С равно 0,59, при 40° С равно 0,53 и при 60° С равно 0,46. Как было показано В. В. Левиным [21], константа равновесия реакции разрыва Н-связи в ассоциатах $(\text{ROH})_2$ $K_{0a} = c_1^2/c_2$ несколько больше, чем K_{0b} , а K_{0b} — больше, чем K_{04}, \dots, K_{0p} . Так как концентрации $c_1, c_2, c_3, \dots, c_p$ рассчитаны при условии, что $K_{0a} = K_{0b} = \dots = K_{0p}$, то отношения концентраций $c_2/c_1, c_3/c_1$, следующие из этой таблицы, завышены. С учетом всего сказанного можно принять, что для *трет*-бутанола $h_{12} \simeq h_{21} \simeq 0$. Естественные реакции (а) и (б) приближенно можно считать нормальными. Ошибка, вносимая за счет этого приближения при расчетах времен релаксации, по порядку величины составляет около 10%, что находится в пределах точности определений τ_a .

Задача теперь состоит в том, чтобы установить, какая именно из естественных реакций (а) или (б) ответственна за акустическую дисперсию, наблюдаемую в *трет*-бутаноле при частотах, лежащих в интервале от 10 МГц до 2,9 ГГц.

Сравним реакции (а) и (б). Прямые реакции в обоих случаях однопотипны. Это реакции, сопровождающиеся разрывом одной Н-связи. С помощью уравнения (VII.76) получаем:

$$\tau_a^{-1} \simeq \tau_{PT}^{-1} = k_a \left(1 + 4 \frac{c_2}{c_1} \right) \simeq 3 k_a; \quad (\text{VIII.130})$$

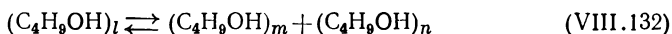
$$\tau_b^{-1} \simeq k_b \left(1 + \frac{c_3}{c_1} + \frac{c_3}{c_2} \right) \simeq 1,75 k_a. \quad (\text{VIII.131})$$

Если бы константы скоростей реакций k_a и k_b были бы равны, то время релаксации τ_b должно было бы лишь в 1,7 раза превышать τ_a . Но следует ожидать, что k_a существенно больше k_b . Этот вывод вытекает из данных о скорости и поглощении звука в области гиперзвуковых частот, приведенных в [29]. Так, например, высокочастотный предел наблюдаемой простой области дисперсии скорости звука $c_\infty = 1138$ м/с. Измерения скорости звука на частоте 3,35 ГГц оптическим методом [29] дают при 30° С значение $c_r = 1135 \pm 6$ м/с. Следовательно, на частоте 3,35 ГГц вторая область дисперсии скорости звука еще не наблюдается. Релаксационная частота первой области акустической дисперсии при 30° С равна 0,59 ГГц. Таким образом можно ожидать, что вторая простая область акустической дисперсии имеет релаксационную частоту примерно на порядок большую, чем релаксационная частота первой области.

Теперь надо обратить внимание на зависимость релаксационной силы b_{a1} от температуры. С повышением температуры от 30 до 60° С релаксационная сила уменьшается от $4,7 \cdot 10^{-2}$ до $3,7 \cdot 10^{-2}$ (см. табл. 11) Концентрация димеров растет от 0,9 моль до $\simeq 1,6$ моль. Концентрация тримеров и более сложных ассоциатов, взятых вместе ($c = c_1 - c_2$), падает от $\simeq 1,6$ моль до $\simeq 0,8$ моль. Поэтому можно полагать, что акустическая релаксация в *трет*-бутаноле, наблюдаемая в области частот от 10 МГц до 3,35 ГГц, обусловлена реакциями разрыва Н-связи в тримерах и более сложных ассоциатах. Если бы *трет*-бутанол оста-

Вался жидким при температурах ниже 25°C , то его степень ассоциации \bar{p} возросла бы в несколько раз, концентрация димеров резко уменьшилась бы и акустический спектр *трет*-бутанола был бы вполне аналогичен акустическому спектру других изомерных бутанолов.

Итак, можно прийти к выводу, что в *трет*-бутаноле наблюдаются реакции разрыва Н-связи



с $l \geq 3$, причем главную роль играет реакция (б). По уравнению (VIII.131) были рассчитаны константы скорости k_b прямой реакции (б). Затем с помощью соотношения $k'_b = k_b/K_{об}$ были определены константы скорости обратной реакции, а также величины свободной энтальпии ΔG^\ddagger , энтальпии ΔH^\ddagger и энтропии ΔS^\ddagger прямой и обратной реакции (б). Результаты расчета приведены в табл. 11. Как и для других спиртов, реакция разрыва Н-связи проходит через стадию образования активного комплекса; энергия активации обратной реакции (а) в пределах ошибок опыта равна нулю.

§ 54. ИССЛЕДОВАНИЕ ДИЭЛЕКТРИЧЕСКИХ РАДИОСПЕКТРОВ СПИРТОВ ROH

Диэлектрические радиоспектры (ДР-спектры) спиртов ROH изучались многими исследователями [18, 19, 20, 21, 27, 28]. Будем пользоваться, в основном, результатами работы [28], где подведены итоги предыдущих исследований и выполнены новые измерения. Диэлектрические спектры изучены практически во всем радиодиапазоне от низких частот до частот порядка 100 ГГц. ДР-спектры спиртов сложнее акустических спектров. Они состоят из нескольких простых релаксационных областей дисперсии. Рассмотрим эти области последовательно, начиная с относительно низкочастотной, которая будет обозначаться индексом «1». На рис. 47 в качестве примера представлена диаграмма комплексной диэлектрической проницаемости *n*-пропанола при 40 и -80°C .

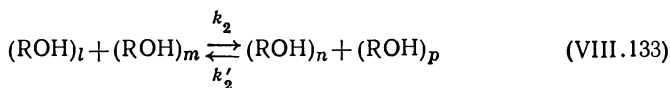
Первая простая область дисперсии диэлектрической проницаемости. Времена релаксации τ_{d1} этой области дисперсии в спиртах ROH, как правило, больше, чем времена акустической релаксации τ_{a1} (разумеется, в тех же спиртах). Подобно τ_{a1} они растут при понижении температуры, но τ_{d1} увеличиваются значительно быстрее, чем τ_{a1} , так как отношение τ_{d1}/τ_{a1} при низких температурах может быть много больше единицы. Так, например, для *n*-бутанола при 20°C $\tau_{d1}/\tau_{a1} = 5,7 \cdot 10^{-10} \text{ с} / 1,7 \cdot 10^{-10} \text{ с} = 3,3$; при -70°C $\tau_{d1}/\tau_{a1} = 1 \cdot 10^{-7} \text{ с} / 3 \cdot 10^{-9} \text{ с} = 33$. Релаксационная сила низкочастотной полосы поглощения в ДР-спектре b_{d1} увеличивается от 0,912 при 20°C до 0,97 при -100°C [28]. Средняя степень ассоциации *n*-бутанола \bar{p} при 20°C , рассчитанная по данным о статической диэлектрической проницаемости, равна 15 ± 2 ; при -70°C — равна 110 ± 20 . В растворах время релаксации τ_{d1} и релаксационная сила b_{d1} спиртов зависят от концентрации спирта и вида растворителя. Например, при 20°C

τ_{d1} чистого метанола равно $5,5 \cdot 10^{-11}$ с, $b_{d1} = 0,92$, в растворе метанол — четыреххлористый углерод, содержащем 0,2 м. д. метанола, $\tau_{d1} = 14,6 \cdot 10^{-11}$ с, $b_{d1} = 0,85$, в растворе метанол — ацетонитрил при концентрации метанола, равной 0,1 м. д., $\tau_{d1} = 0,8 \cdot 10^{-11}$ с, $b_{d1} = 0,85$ [36]. Логарифм времени релаксации $\ln \tau_{d1}$ при температурах, далеких от точки стеклования спиртов, линейно зависит от $1/T$.

Рассмотрим вопрос о механизме первой простой области диэлектрической релаксации [31, 37] при высоких средних степенях ассоциации $\bar{p} \gg 1$. То что τ_{d1} в этих случаях значительно больше τ_{a1} , дает основание считать, что механизмы низкочастотных процессов диэлектрической и акустической релаксации разные. Процесс, обуславливающий низкочастотную диэлектрическую релаксацию, в акустических спектрах не наблюдается. Следовательно, элементарные естественные реакции этого процесса не должны влиять на энтальпию и объем спирта.

Так как τ_{d1} и b_{d1} сильно зависят от концентрации спиртов в растворах и от растворителя, первая область дисперсии не может быть обусловлена конформационными превращениями мономерных молекул или цепочечных ассоциатов спирта. Исключаются и процессы возбуждения и дезактивации внутримолекулярных колебаний, поскольку они не могут влиять на скорость поляризации жидкости при наложении внешнего поля, — дипольный момент колебательно-возбужденных молекул практически не отличается от дипольного момента молекул в основном колебательном состоянии.

Таким образом низкочастотная диэлектрическая релаксация в спиртах RON может быть обусловлена лишь процессами перестройки ассоциатов спиртов при тепловом движении молекул. В отличие от реакций разрыва H -связей элементарные события низкочастотной диэлектрической релаксации не должны сопровождаться изменением числа H -связей. Линейная зависимость $\ln \tau_{d1}$ от $1/T$ указывает на то, что в данном случае речь идет о неколлективных реакциях. Следовательно, это могут быть естественные реакции переноса связи $O-H...O$ в цепочечных ассоциатах спиртов, рассмотренные автором в работе [37]:



Надо иметь в виду, что константы скоростей прямых и обратных естественных реакций переноса H -связи практически одинаковы. При $\bar{p} \gg 1$ сумма степеней полноты всех естественных реакций переноса H -

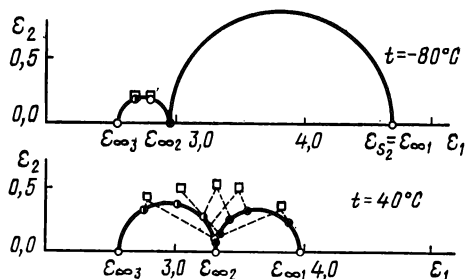


Рис. 47. Диаграмма комплексной диэлектрической проницаемости n -пропанола при 40 и -80°C [27]

Константы скорости реакций переноса Н-связи цепочечных ассоциатов спиртов ROH при 20°C и другие характеристики этих реакций [28]

Соединение	$k_2 \cdot 10^8$, л/моль · с	ΔG_{2K}^\ddagger , кДж/м	ΔH_{2K}^\ddagger , кДж/м	ΔS_{2K}^\ddagger , Дж/моль · К
<i>n</i> -Пропанол	42	12,6	14	8
2-Пропанол	24	13,8	17	14
<i>n</i> -Бутанол	25	13,4	18	14
<i>изо</i> -Бутанол	15	14,3	19	19
2-Бутанол	12	15,5	25	35
<i>n</i> -Пентанол	20	14,3	18	13
<i>изо</i> -Пентанол	18	14,2	20	20
<i>n</i> -Гексанол	13	15,9	19	12
<i>n</i> -Гептанол	10	16,3	20	17
<i>n</i> -Октанол	10	—	—	—
2-Октанол	4	18,9	36	58
Деканол	8	—	—	—
Циклогексанол, 25°C	6	19,6	31	38

связи равна степени полноты нормальной реакции, ответственной за простой релаксационный процесс. Эта нормальная реакция, как и составляющие ее естественные реакции, акустически ненаблюдаемая, но вносит вклад в процесс поляризации спиртов при наложении внешнего поля. Она активна в ДР-спектре, т. е. «диэлектрически наблюдаемая».

С помощью уравнения (VIII.103)

$$\tau_{d1}^{-1} = k_2 c = k_{2x} c_0 / \bar{p} \quad (\text{VIII.134})$$

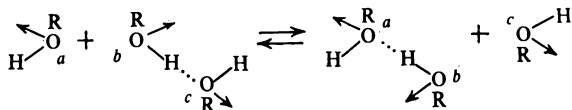
можно рассчитать константы скорости реакций переноса Н-связи при допущении, что эти константы не зависят от чисел молекул ROH в реагирующих друг с другом молекулах ассоциатов.

Из уравнения (VIII.104) следует, что отношение времен релаксации τ_{d1}/τ_{a1} , если они обусловлены реакциями (VIII.133) и (VIII.132) между цепочечными ассоциатами, должно быть приблизительно пропорционально \bar{p} . Опыт согласуется с этим выводом теории. Так, у *n*-бутанола увеличение \bar{p} в десять раз при понижении температуры от +20 до —70° С сопровождается возрастанием отношения τ_{d1}/τ_{a1} так же примерно в 10 раз. Аналогичные соотношения наблюдаются и у других спиртов ROH с небольшими неразветвленными радикалами R.

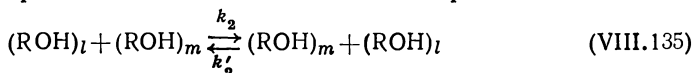
В табл. 12 приведены результаты расчетов k_2 и связанных с k_2 величин для ряда нормальных и нескольких изомерных алканов и для циклогексанола. Возможные относительные погрешности значений k_2 , приведенных в табл. 12, равны 30—50%. Погрешности определений ΔH^\ddagger составляют ± 2 кДж/моль, ΔS^\ddagger от ± 4 до ± 8 Дж/моль · К; ΔG^\ddagger — около ± 1 кДж/моль.

О реакциях переноса Н-связей в цепочечных ассоциатах. Среди процессов переноса связей О—Н...О имеются реакции, в результате

которых получаются такие же ассоциаты, как и до реакции. Но положение ассоциатов в конечном счете становится другим, электрический момент ассоциатов может изменить свое направление. Например,



Водородная связь в димере, состоящем из молекул *bc*, переносится к молекуле *a*. Происходит изменение ориентации дипольного момента молекулы *b*. Направления дипольных моментов молекул *a*, *b* и *c* обозначены стрелками. При наложении внешнего поля такие реакции переноса связи $\text{O}-\text{H}\cdots\text{O}$ будут вносить вклад в поляризацию системы. В итоге молекула цепочечного ассоциата приобретает другую конформацию. Элементарная стадия такой естественной реакции имеет вид



Константы скоростей реакций (VIII.135) в рассматриваемых здесь приближениях и, по-видимому, в пределах ошибок опыта не отличаются от констант скоростей других реакций переноса связи $\text{O}-\text{H}\cdots\text{O}$.

Реакции разрыва H -связи тоже вносят вклад в поляризацию системы. Их скорость при $\bar{p} \gg 1$ больше скорости реакций переноса H -связи, поэтому реакции разрыва H -связи при $\bar{p} \gg 1$ должны наблюдаться в более высокочастотной области ДР-спектра. Представляет интерес сопоставить вклады в ДР-спектр, вносимые реакциями переноса и реакциями разрыва H -связи в зависимости от величины средней степени ассоциации спирта \bar{p} .

Предположим, что каждая из естественных реакций разрыва H -связи и каждая из естественных реакций переноса H -связи приблизительно равновероятны. На самом деле это не совсем так, но в грубом приближении разницей в вероятностях участия ассоциата в естественных реакциях вида (VIII.132), (VIII.133) или (VIII.135) можно пренебречь.

Допустим далее, что каждая из этих естественных реакций вносит приблизительно одинаковый вклад в релаксационную силу соответствующего простого релаксационного процесса. Тогда общий вклад реакций переноса H -связей в релаксационную силу будет пропорционален числу различных естественных реакций переноса H -связи в спирте при заданных температуре и давлении. Точно так же суммарный вклад реакций разрыва H -связи будет пропорционален общему числу всех возможных таких реакций. Отношение числа всех возможных реакций переноса H -связи N_2 к числу всех возможных реакций разрыва H -связи N_1 дает представление о роли этих двух видов реакций в диэлектрической релаксации спирта при заданных внешних условиях. Качественная характеристика зависимости N_2/N_1 от средней степени ассоциации \bar{p} может быть получена с помощью расчетов этого отношения для ассоциатов различной степени слож-

Таблица 13

Число различных реакций разрыва Н-связи N_1 и переноса Н-связи N_2 и отношения N_2/N_1 и $\Sigma N_2/\Sigma N_1$ для ассоциатов $(\text{ROH})_p$ при $p \leq 10$

p	Реакции разрыва Н-связи	N_1	Реакции переноса Н-связи	N_2	N_2/N_1	$\Sigma N_2/\Sigma N_1$
2	$M_2 \rightleftharpoons 2M_1$	1	$M_1 + M_2 \rightleftharpoons M_2 + M_1$ $M_2 + M_2 \rightleftharpoons M_2 + M_2$ $M_2 + M_2 \rightleftharpoons M_1 + M_3$	3	3	3
3	$M_3 \rightleftharpoons M_1MM_2$	1	$M_3 + M_1 \rightleftharpoons M_1 + M_3$ $M_3 + M_2 \rightleftharpoons M_2 + M_3$ $M_3 + M_3 \rightleftharpoons M_3 + M_3$ $M_3 + M_2 \rightleftharpoons M_4 + M_1$ $M_3 + M_3 \rightleftharpoons M_1 + M_5$ $M_3 + M_3 \rightleftharpoons M_2 + M_4$	6	6	$\frac{9}{2} = 4,5$
4	$M_4 \rightleftharpoons M_1 + M_3$ $M_4 \rightleftharpoons M_2 + M_2$	2	$M_4 + M_1 \rightleftharpoons M_1 + M_4$ $M_4 + M_2 \rightleftharpoons M_2 + M_4$ $M_4 + M_3 \rightleftharpoons M_3 + M_4$ $M_4 + M_4 \rightleftharpoons M_4 + M_4$ $M_4 + M_2 \rightleftharpoons M_5 + M_1$ $M_4 + M_2 \rightleftharpoons M_6 + M_1$ $M_4 + M_3 \rightleftharpoons M_5 + M_2$ $M_4 + M_4 \rightleftharpoons M_7 + M_1$ $M_4 + M_4 \rightleftharpoons M_6 + M_2$ $M_4 + M_4 \rightleftharpoons M_5 + M_3$	10	5	$\frac{19}{4} = 4,75$
5	$M_5 \rightleftharpoons M_1 + M_4$ $M_5 \rightleftharpoons M_2 + M_3$	2	$M_5 + M_1 \rightleftharpoons M_1 + M_5$ $M_5 + M_3 \rightleftharpoons M_4 + M_6$	15	7,5	$\frac{34}{6} = 5,66$
6	$M_6 \rightleftharpoons M_1 + M_5$	3	$M_6 + M_1 \rightleftharpoons M_1 + M_6$	21	7	$\frac{55}{9} = 6,1$
7	$M_7 \rightleftharpoons M_1 + M_6$	3	$M_7 + M_1 \rightleftharpoons M_1 + M_7$	28	9,3	$\frac{83}{12} = 6,9$
8	$M_8 \rightleftharpoons M_1 + M_7$	4	$M_8 + M_1 \rightleftharpoons M_1 + M_8$	36	9	$\frac{119}{16} = 7,5$
9	$M_9 \rightleftharpoons M_1 + M_8$	5	$M_9 + M_1 \rightleftharpoons M_1 + M_9$	45	9	$\frac{164}{21} = 7,8$
10	$M_{10} \rightleftharpoons M_1 + M_9$	5	$M_{10} + M_1 \rightleftharpoons M_1 + M_{10}$	55	11	$\frac{215}{26} = 8,3$

Примечание. Во второй и четвертой графах этой таблицы учтены все реакции разрыва или, соответственно, переноса Н-связи, происходящие с участием ассоциата, степень ассоциации которого равна p , за исключением тех реакций, которые были уже учтены для ассоциатов с меньшими чем p степенями ассоциации. Приведенные числа реакций не учитывают тех реакций переноса Н-связи, в которых участвуют ассоциаты $(\text{ROH})_p$ и $(\text{ROH})_q$ при $q > p$.

ности. В табл. 13 приведены результаты таких расчетов для $(\text{ROH})_2$, $(\text{ROH})_3$, $(\text{ROH})_4$, ..., $(\text{ROH})_{10}$. Эти расчеты показывают, что с ростом числа звеньев в цепочечном ассоциате число всех возможных реакций переноса Н-связи и отношение N_2/N_1 очень быстро увеличиваются. Релаксационные процессы, обусловленные реакциями переноса Н-связи и разрыва Н-связи, иногда могут протекать с близкими частотами релаксации. В ДР-спектре активны оба типа реакций. Если средняя степень ассоциации спирта \bar{p} велика, то в ДР-спектрах основную роль будут играть реакции переноса Н-связи. Если же \bar{p} по порядку величины близки к единице, то на первый план могут выступать реакции разрыва Н-связи.

§ 55. ПРИМЕНЕНИЕ ТЕОРИИ КОНСТАНТ СКОРОСТЕЙ РЕАКЦИИ (ТКСР)

Изокинетические эффекты. На рис. 48, а представлены графики зависимости энтальпии активации от кажущейся энтропии активации для прямых реакций разрыва Н-связи (ΔH_1^\ddagger , $\Delta S_{1к}^\ddagger$) и реакций переноса Н-связи (ΔH_2^\ddagger , $\Delta S_{2к}^\ddagger$). Величины ΔH^\ddagger и $\Delta S_{к}^\ddagger$ рассчитаны по данным о константах скоростей реакций, которые определены с помощью приведенных соотношений для времени акустической и диэлектрической релаксации.

Отметим, что энтальпии активации прямых реакций разрыва Н-связи и реакций переноса Н-связи для одних и тех же спиртов в пределах ошибок опыта совпадают, но меньше энтальпии образования связи $\text{O}—\text{H} \cdots \text{O}$ равной $\simeq 23$ кДж/моль. Кажущиеся энтропии активации прямых реакций разрыва Н-связи и реакций переноса Н-связи, рассчитанные в предположении, что величины $4\pi\epsilon k$ равны 1, существенно различаются.

Для прямых реакций разрыва Н-связи и для реакций переноса Н-связи (для последних, как уже говорилось, прямая и обратная реакции кинетически неразличимы) функции ΔH^\ddagger от $\Delta S_{к}^\ddagger$ линейны, т. е. наблюдается изокинетическая зависимость:

$$\Delta H_i^\ddagger = A + B\Delta S_{ik}^\ddagger. \quad (\text{VIII.136})$$

Для прямой реакции разрыва Н-связи $A_1 = 17,6$ кДж/моль, $B_1 = 410$ К; для реакции переноса Н-связи $A_2 = 12,0$ кДж/моль; $B_2 = 410$ К. Таким образом, изокинетические температуры прямых реакций разрыва связи $\text{O}—\text{H} \cdots \text{O}$ и реакций переноса связи $\text{O}—\text{H} \cdots \text{O}$ в спиртах ROH совпадают. Причины этой замечательной особенности можно выяснить с помощью теории констант скоростей реакций, изложенной в гл. V.

По формуле

$$R \ln \kappa_3 = R \ln 4\pi\epsilon k = -\frac{A}{B} \quad (\text{VIII.137})$$

нетрудно определить величины κ_3 и трансмиссионные коэффициенты κ , если известны из опыта эмпирические постоянные A и B изокинетической зависимости (V. 136). Пользуясь приведенными значениями A_1 и B_1 , получаем $R \ln 4\pi\epsilon k_1 = -42$ Дж/моль \cdot К. Следовательно,

$4 \text{ лех}_1 = e^{-6,1} = 6 \cdot 10^{-3}$; трансмиссионный коэффициент прямых реакций разрыва связи O—H...O в спиртах RON $\kappa_1 = 1,8 \cdot 10^{-4}$. Значения A_2 и B_2 дают $R \ln 4 \text{ лех}_2 = -29 \text{ Дж/моль} \cdot \text{К}$. Отсюда следует, что $4 \text{ лех}_2 \simeq 3 \cdot 10^{-2}$ и трансмиссионный коэффициент реакций переноса связи O—H...O в спиртах RON $\kappa_2 \simeq 9 \cdot 10^{-4}$.

Трансмиссионные коэффициенты реакций разрыва и переноса связи O—H...O κ_1 и κ_2 меньше величины $1/2$, соответствующей состоянию

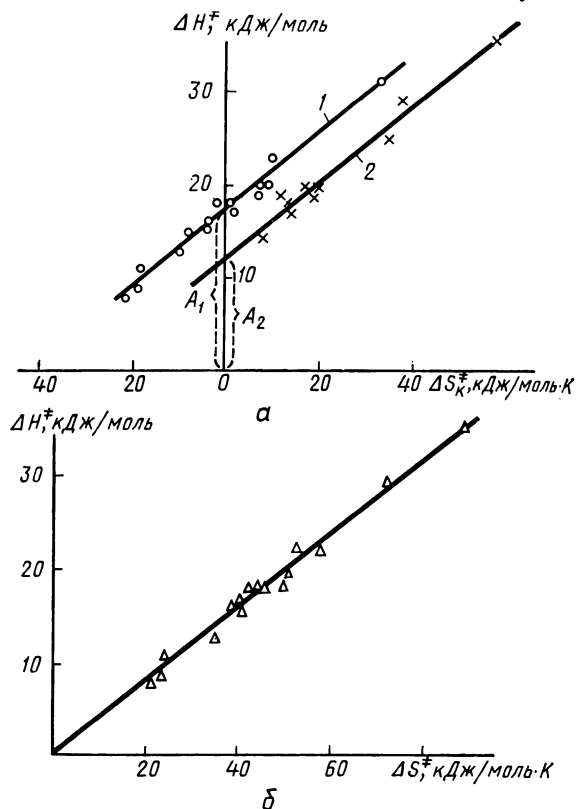


Рис. 48. Изокинетический эффект реакций разрыва Н-связи и переноса Н-связи в спиртах RON :

a — по оси абсцисс отложены кажущиеся энтропии активации ΔS_K^{\ddagger} соответствующих реакций; b — по оси абсцисс отложены истинные значения энтропий активации ΔS^{\ddagger} тех же реакций

термодинамического равновесия. В обоих случаях изучаются хотя и близкие к равновесию, но все же неравновесные состояния жидкостей. Из ТКСР (см. гл. V) следует, что величины трансмиссионных коэффициентов реакций в неидеальных системах зависят от механизма реакции и степени ее отклонения от равновесия. Так, например, для медленной реакции алкохолиза паразамещенных бензоилхлоридов в отсутствии равновесия величина $4 \text{ лех} = 2,5 \cdot 10^{-14}$ и трансмиссионный коэффициент $\kappa \simeq 10^{-15}$.

В рассматриваемых случаях, когда речь идет о сверхбыстрых реакциях, естественно ожидать, что благодаря малым отклонениям от равновесия трансмиссионные коэффициенты должны быть относительно велики, что и подтверждается опытом.

По формулам

$$\Delta S^\ddagger = \Delta S_K^\ddagger - R \ln 4\pi e k; \quad (\text{VIII.138})$$

$$\Delta G^\ddagger = \Delta G_K^\ddagger + RT \ln 4\pi e k \quad (\text{VIII.139})$$

можно найти подлинные величины энтропии и свободной энтальпии активации прямой реакции разрыва Н-связи О — Н...О и реакции переноса этой связи. Оказывается, что в пределах ошибок определения этих величин, они совпадают, т. е. $\Delta G_1^\ddagger = \Delta G_2^\ddagger = \Delta G_{1,2}^\ddagger$ и $\Delta S_1^\ddagger = \Delta S_2^\ddagger = \Delta S_{1,2}^\ddagger$. График зависимости энтальпии активации $\Delta H_{1,2}^\ddagger$ от $\Delta S_{1,2}^\ddagger$ представлен на рис. 48, б. Экспериментальные точки для реакций (VIII.1) и (VIII.2) ложатся на одну и ту же прямую, проходящую через начало координат. Угол ее наклона $B = \Delta H_{1,2}^\ddagger / \Delta S_{1,2}^\ddagger = 410 \text{ К}$.

Рассмотрим физический смысл этой зависимости. При образовании активного комплекса A^\ddagger в элементе объема, где возникает A^\ddagger , происходит локальное возрастание энтальпии системы, равное ΔH^\ddagger на моль A^\ddagger , т. е. локальный «разогрев» системы, сопровождающийся уменьшением общего числа слабых межмолекулярных химических связей, возрастанием числа трансляционных степеней свободы и локальным увеличением энтропии системы, равным ΔS^\ddagger на моль A^\ddagger . Пусть δ обозначает эффективное число новых трансляционных степеней свободы, появляющихся в системе при возникновении одной молекулы A^\ddagger . Пусть S_b есть прирост энтропии жидкости, приходящийся на одну такую степень свободы трансляционного движения молекул. При 300 К (см. § 22) $S_b \simeq 23,7 \text{ Дж/моль} \cdot \text{К}$, тогда

$$\delta = \Delta S^\ddagger / S_b \quad (\text{VIII.140})$$

и энтальпия, требующаяся для возникновения одной эффективной степени свободы трансляционного движения молекул h^\ddagger , равна:

$$h^\ddagger = \frac{\Delta H}{\delta} = \frac{\Delta H^\ddagger}{\Delta S^\ddagger} S_b = B S_b. \quad (\text{VIII.141})$$

Величина h^\ddagger определяется параметром B . Чем больше B , тем больше прирост энтальпии h^\ddagger , приходящийся на одну эффективную степень свободы трансляционного движения молекул, появляющуюся в жидкости в процессе образования активного комплекса.

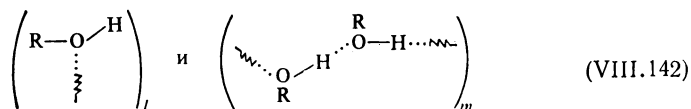
Для прямой реакции разрыва и реакций переноса одной связи О — Н...О в спиртах ROH величина h^\ddagger одинакова. Она равна 9,7 кДж/моль, т. е. почти такая же, как и для реакции алкоголиза бензоилхлоридов, рассмотренной в гл. IV. Совпадение может быть обусловлено тем, что при образовании активных комплексов во всех этих случаях происходит изменение состояния движения молекул спирта ROH.

Поскольку величины ΔH^\ddagger , ΔS^\ddagger и ΔG^\ddagger прямой реакции разрыва Н-связи и реакции переноса Н-связи одинаковы для каждого из изученных спиртов RON , активные комплексы этих реакций термодинамически неразличимы.

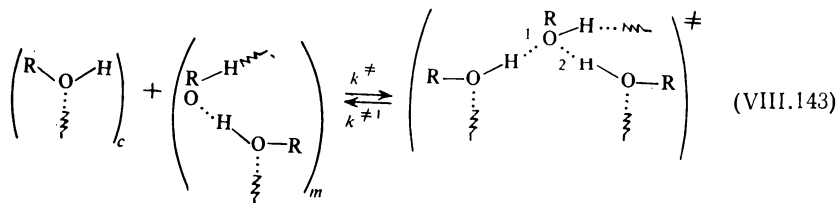
§ 56. АКТИВНЫЙ КОМПЛЕКС РЕАКЦИЙ РАЗРЫВА И ПЕРЕНОСА ОДНОЙ СВЯЗИ $\text{O} - \text{H} \dots \text{O}$ ПРИ ТЕПЛОВОМ ДВИЖЕНИИ В СПИРТАХ RON

Ядро активного комплекса. В § 54 рассмотрены реакции переноса связи $\text{O} - \text{H} \dots \text{O}$ в спиртах. В § 55 показано, что активные комплексы реакций переноса связей $\text{O} - \text{H} \dots \text{O}$ и реакций разрыва связи $\text{O} - \text{H} \dots \text{O}$ в цепочечных ассоциатах спиртов RON одинаковы. Точнее, ядра и оболочки активных комплексов A_1^\ddagger и A_2^\ddagger в пределах ошибок опыта термодинамически неразличимы. Два цепочечных ассоциата $(\text{RON})_l$ и $(\text{RON})_m$, взаимодействуя друг с другом, образуют активный комплекс $\text{A}_2^\ddagger \equiv \text{A}_1^\ddagger$. Ядро этого активного комплекса должно состоять из групп $\text{O} - \text{H} \dots \text{O}$, так как именно такие группы меняют свое состояние в ходе реакций (VIII.1) или (VIII.2). Напомним, что атомы кислорода в гидроксильной группе имеют две неподеленные пары электронов. Одна из них участвует в образовании водородной связи $\text{O} \dots \text{H}$, а другая, как правило, остается свободной.

Наиболее простой механизм образования ядер активных комплексов $\text{A}_1^\ddagger \equiv \text{A}_2^\ddagger$ представляется следующим. Пусть символы обозначают



цепочечные ассоциаты $(\text{RON})_l$ и $(\text{RON})_m$. Ядро активного комплекса образуется, когда свободный гидроксил, принадлежащий молекуле RON на конце цепочечного ассоциата $(\text{RON})_l$, присоединяется ко второй неподеленной паре электронов атома кислорода у одной из молекул ассоциата $(\text{RON})_m$. Эта молекула может быть любым из звеньев ассоциата $(\text{RON})_m$ внутренним или конечным:

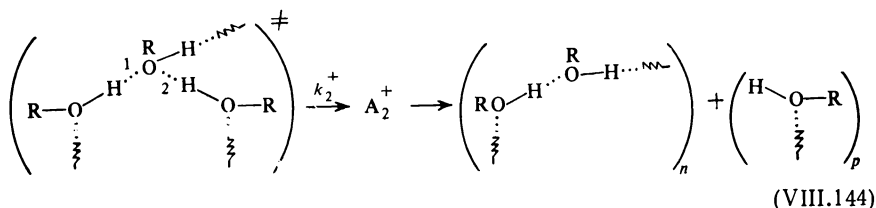


При образовании ядра A^\ddagger потенциальная энергия новой химической связи $\text{O} - \text{H} \dots \text{O}$ переходит в кинетическую энергию внутримолекулярных колебаний (химическая активация). Таким образом, избыточная

энергия внутримолекулярных колебаний активного комплекса A^\ddagger с учетом энергии активации (10—20 кДж/моль) достаточно велика, чтобы при соответствующей ее флуктуации разрушить одну или даже две связи $O - H \dots O$.

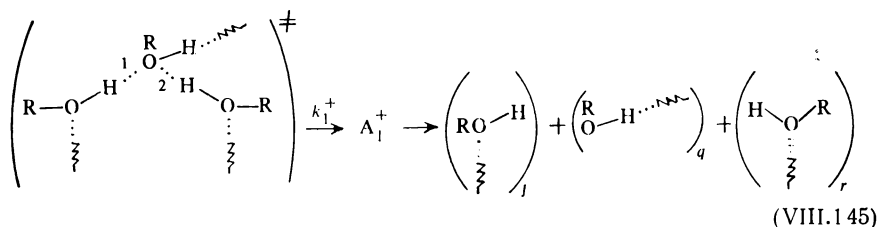
Изменения жидкой среды, которые связаны с «оболочкой» активного комплекса, пока не обсуждаем. В (VIII.143) k^\ddagger — константа скорости образования A^\ddagger ; $k^{\ddagger 1}$ — константа скорости распада A^\ddagger на молекулы $(ROH)_l$ и $(ROH)_m$, т. е. разрыва связи $O - H \dots O$, обозначенной цифрой 1.

Реакции разрушения A^\ddagger . Кроме распада на исходные реагенты активный комплекс A^\ddagger может разрушиться с образованием продуктов реакции. Возможны два способа разрушения A^\ddagger и, соответственно, два различных переходных состояния A_1^\ddagger и A_2^\ddagger . В одном случае текущая энергия колебательного возбуждения активного комплекса сосредоточивается на связи $O - H \dots O$, обозначенной в (VIII.143) цифрой 2, которая в результате этого разрывается:



Это заключительная стадия реакции переноса одной связи $O - H \dots O$ в спиртах ROH . k_2^+ обозначает здесь константу скорости «реакции», переводящей активный комплекс A^\ddagger в переходное состояние A_2^\ddagger . Активный комплекс распадается на два новых ассоциата $(ROH)_n$ и $(ROH)_p$ ($n + p = m + l$). Число водородных связей $O - H \dots O$ в системе сохраняется. Реакция в целом акустически ненаблюдаемая. Стадия образования и стадия разрушения активного комплекса, в принципе, могут быть обнаружены акустическими методами, поскольку первая из них сопровождается возрастанием энтальпии системы на величину ΔH^\ddagger , а вторая стадия — уменьшением энтальпии системы на ту же величину.

В другом случае текущая энергия колебательного возбуждения активного комплекса сосредоточивается на двух связях $O - H \dots O$, обозначенных цифрами 1 и 2, так, что обе эти связи одновременно разрываются:



Это заключительная стадия реакции разрыва одной H -связи. Активный комплекс распадается на три части. Одна из них — ассоциат

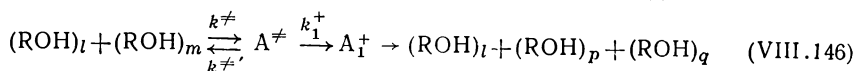
$(\text{ROH})_l$, принимавший участие в образовании активного комплекса, две других $(\text{ROH})_q$ и $(\text{ROH})_r$ представляют собой части ассоциата $(\text{ROH})_m$ ($r + q = m$). В итоге число связей $\text{O} - \text{H} \dots \text{O}$ уменьшается на единицу.

Оболочка активного комплекса. Под оболочкой активного комплекса подразумеваются те изменения среды, окружающей ядро A^\ddagger , которые необходимы для возникновения активного комплекса, т. е. ведут к локальному разогреву системы — увеличению ее энтальпии и энтропии. Из табл. 13 следует, что энтальпия и энтропия активации постепенно растут с увеличением числа атомов углерода в радикале R и степени разветвленности углеродного скелета радикала. Наибольшая энтальпия активации среди изученных спиртов ROH наблюдается у циклогексанола 31 кДж/моль. Для объяснения этой закономерности можно предложить следующую рабочую гипотезу. Энтальпия активации в данном случае необходима, главным образом, для создания в молекуле A^\ddagger колебательной энергии возбуждения, достаточной для того, чтобы разорвать две связи $\text{O} - \text{H} \dots \text{O}$ в ядре активного комплекса (см. VIII.145). С увеличением числа атомов C в углеводородном радикале и степени его разветвленности возрастает число связей $\text{C} - \text{H} \dots \text{C}$ и $\text{C} - \text{H} \dots \text{O}$ между радикалом R и окружающими молекулами ROH . Связи с окружающими молекулами способствуют колебательной дезактивации возбужденных ассоциатов [38]. Кроме того, при большем числе связей энергия возбуждения распределяется между большим числом колебательных степеней свободы. Для появления активного комплекса нужно, чтобы число связей $\text{C} - \text{H} \dots \text{C}$ и $\text{C} - \text{H} \dots \text{O}$ с окружением уменьшилось, энергия возбуждения комплекса увеличилась, возможности ее притока к ядру активного комплекса возросли, а отток энергии возбуждения в окружающую среду упал. Так как усложнение радикала R сопровождается ускорением оттока энергии колебательного возбуждения в окружающую среду, то для поддержания энергии возбуждения в A^\ddagger на должном уровне требуется разорвать большее число связей с окружением. Возрастание энтальпии активации сопровождается увеличением энтропии активации системы.

Количественная теория этих явлений пока еще не создана. Очень интересен тот факт, что изменение энергии активации в ряду спиртов ROH не отражается на трансмиссионных коэффициентах κ_1 и κ_2 . Отсюда можно заключить, что энергия колебательного возбуждения ядра A^\ddagger в этом ряду одинакова.

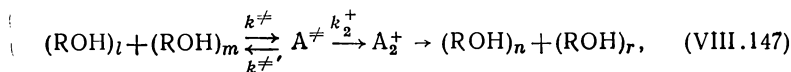
§ 57. О КИНЕТИКЕ РЕАКЦИИ ОБРАЗОВАНИЯ И РАСПАДА АКТИВНОГО КОМПЛЕКСА ПРИ РАЗРЫВЕ И ПЕРЕНОСЕ ОДНОЙ СВЯЗИ $\text{O} - \text{H} \dots \text{O}$ В СПИРТАХ ROH

Схема реакции разрыва связи $\text{O} - \text{H} \dots \text{O}$ имеет вид



где $p + q = m$.

Схема реакции переноса связи $O - H...O$



где $n + r = l + m$.

Первая стадия обеих реакций одинакова, но трансмиссионные коэффициенты κ_1 и κ_2 различны. Распад активных комплексов протекает двумя параллельными, независимыми путями. Найдем константы скоростей k^\ddagger , k^\ddagger' , k_1^+ , k_2^+ , фигурирующие в уравнениях (VIII.146) и (VIII.147). По определению

$$\kappa_1 = \frac{k_1^+}{k^\ddagger' + k_1^+ + k_2^+} = 1,8 \cdot 10^{-4}; \quad (VIII.148)$$

$$\kappa_2 = \frac{k_2^+}{k^\ddagger' + k_1^+ + k_2^+} = 9 \cdot 10^{-4}. \quad (VIII.149)$$

Далее, полагая, что концентрация активных комплексов в высокочастотных акустических и электромагнитных полях стационарна, получим:

$$\frac{dA^\ddagger}{dt} = k^\ddagger [M_l] [M_m] - k^\ddagger' [M_{A^\ddagger}] - k_1^+ [M_{A^\ddagger}] - k_2^+ [M_{A^\ddagger}]. \quad (VIII.150)$$

Отсюда следует, что

$$k^\ddagger = \frac{[M_{A^\ddagger}]}{[M_l] [M_m]} (k^\ddagger' + k_1^+ + k_2^+) = e^{-\frac{\Delta G^\ddagger}{RT}} (k^\ddagger' + k_1^+ + k_2^+). \quad (VIII.151)$$

Ниже показано, что реакция образования связи $O - H...O$ протекает без активации, причем вероятность сохранения вновь образовавшейся связи $O - H...O$ много меньше единицы.

Если вероятность распада вновь образовавшейся второй связи $O - H...O$ в (VIII.143) такая же, как вероятность разрушения вновь образовавшейся, первой связи $O - H...O$, то согласно (VIII.162)

$$k^\ddagger' = k_1'' = \frac{4\pi e k_B T}{h} = 7 \cdot 10^{11} T c^{-1}. \quad (VIII.152)$$

С помощью уравнений (VIII.148) и (VIII.149) получаем:

$$\frac{k_1^+}{k_2^+} = \frac{\kappa_1}{\kappa_2} = \frac{\kappa_1}{\kappa_2} \frac{1 - \kappa_2}{1 - \kappa_1} \frac{k^\ddagger' + k_2^+}{k^\ddagger' + k_1^+}. \quad (VIII.153)$$

Так как $\kappa_1' \ll 1$ и $\kappa_2' \ll 1$, то

$$\frac{k^\ddagger' + k_2^+}{k^\ddagger' + k_1^+} \simeq 1. \quad (VIII.154)$$

Поскольку $k_1^+ \neq k_2^+$, из (VIII.154) следует, что k_1^+ и k_2^+ много меньше k^\ddagger' . Из уравнений (VIII.148), (VIII.149) и (VIII.152) вытекают соотношения:

$$k_1^+ = 1,8 \cdot 10^{-4} k^\ddagger' = 1,3 \cdot 10^8 T^{-1} c \quad (VIII.155)$$

$$k_2^+ = 9 \cdot 10^{-4} k^{\neq'} = 6,3 \cdot 10^8 \text{ Тс}^{-1}; \quad (\text{VIII.156})$$

$$k^{\neq} = e^{-\frac{\Delta G^{\neq}}{RT}} \quad k^{\neq'} = \frac{4\pi e k_B T}{h} e^{-\frac{\Delta G^{\neq'}}{RT}} \quad \Delta/\text{моль} \cdot \text{с}. \quad (\text{VIII.157})$$

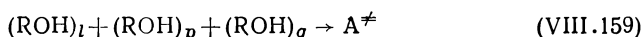
Так, например, для *n*-бутанола при 300 К константа скорости реакции образования активного комплекса $k_1^+ = 3 \cdot 10^{13} \text{ л/моль} \cdot \text{с}$; константа скорости реакции распада активного комплекса на исходные вещества $k^{\neq'} = 2 \cdot 10^{14} \text{ с}^{-1}$; константа скорости процесса возникновения в активном комплексе переходного состояния $A_1^{\ddagger} k_1^+ = 4 \cdot 10^{10} \text{ с}^{-1}$; константа скорости возникновения в активном комплексе переходного состояния $A_2^{\ddagger} k_2^+ = 2 \cdot 10^{11} \text{ с}^{-1}$.

В активном комплексе спиртов RON состояния A_2^{\ddagger} , приводящие к разрушению одной связи $\text{O} - \text{H} \dots \text{O}$, возникают примерно в 5 раз чаще, чем состояния A_1^{\ddagger} , когда одновременно распадаются обе связи $\text{O} - \text{H} \dots \text{O}$.

Таким образом, $\tau_{a1} > \tau_{a1}$, в основном, лишь потому, что τ_{a1} пропорционально средней степени ассоциации \bar{p} , в то время как τ_{a1} не зависит от \bar{p} при $\bar{p} \gg 1$. При термодинамическом равновесии, в соответствии с принципом детального баланса, вторая фаза реакции разрыва одной связи $\text{O} - \text{H} \dots \text{O}$



должна уравниваться реакцией



Реакция образования связи $\text{O} - \text{H} \dots \text{O}$. Как уже отмечалось, эта реакция происходит без энтальпии активации, $\Delta H^{\neq} = 0$, $\Delta G_k^{\neq} = -T\Delta S_k^{\neq}$ и $\Delta S_k^{\neq} < 0$ (см. табл. 11). Эти соотношения формально можно рассматривать как частный случай линейной функции (VIII.136), если прямая линия совпадает с той из осей координат, по которой отложены значения кажущихся энтропий активации ΔS_k^{\neq} . В данном случае *A* и *B* в уравнении (VIII.136) равны нулю, уравнение (VIII.136) не дает определенных значений трансмиссионного коэффициента. Но энтальпия активации в пределах ошибок опыта равна нулю, и как было показано в § 22, истинная (не кажущаяся) энтропия активации во всех этих случаях тоже равна нулю. Тогда согласно (VIII.138)

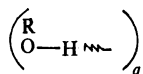
$$\Delta S_k^{\neq} = R \ln 4\pi e k^{\neq'}. \quad (\text{VIII.160})$$

Поскольку и $\Delta H^{\neq'} = 0$, и $\Delta S^{\neq'} = 0$, истинная свободная энтальпия активации тоже равна нулю: $\Delta G^{\neq'} = 0$. Уравнение для константы скорости реакции образования связей $\text{O} - \text{H} \dots \text{O}$ в спиртах RON имеет вид

$$k_1' = 4\pi e k^{\neq'} \frac{k_B T}{h}. \quad (\text{VIII.161})$$

Значения $\Delta S_k^{\neq'}$ определены с точностью, не превышающей $\pm 30\%$. Поэтому с помощью уравнений (VIII.160) и (VIII.161) можно вычис-

лить лишь порядок величины κ' . В соответствии с (VIII.159) активный комплекс A^\ddagger возникает, но активация системы при этом не происходит. Связи $O - H \dots O$ образуются немедленно, как только какая-либо из молекул спирта, имеющая свободную гидроксильную группу, и другая молекула спирта, атом кислорода которой может участвовать в связи $O - H \dots O$, контактируют друг с другом. Но возникновение связи $O - H \dots O$ сопровождается возрастанием кинетической энергии системы за счет энергии химического взаимодействия. Этой кинетической энергии достаточно, чтобы вновь возникшая связь $O - H \dots O$ тут же разрушилась. Связь $O - H \dots O$ может сохраниться в тех случаях, когда к атому кислорода, имеющему две свободные неподеленные пары электронов



одновременно присоединяются два ассоциата $(ROH)_p$ и $(ROH)_l$. Образуются сразу две новые водородные связи $O - H \dots O$, т. е. комплекс A^\ddagger . Кинетическая энергия, высвобождающаяся в результате этого взаимодействия, равна энергии двух химических связей.

Следовательно, возникший таким путем комплекс A^\ddagger крайне неустойчив. В большинстве случаев он будет распадаться на исходные молекулы $(ROH)_g$, $(ROH)_p$ и $(ROH)_l$. Но в некоторых случаях одна из молекул, например $(ROH)_l$, в момент разрыва вновь образовавшейся связи $O - H \dots O$ может унести с собой большую часть кинетической энергии всей системы. Тогда связь $O - H \dots O$ между ассоциатами $(ROH)_p$ и $(ROH)_g$ сохранится.

Множитель κ' в уравнениях (VIII.160) и (VIII.161) обозначает вероятность сохранения вновь возникающей связи $O - H \dots O$. Расчеты показывают, что для всех спиртов, приведенных в табл. 9, за исключением *трет*-бутанола, κ' по порядку величины равно $10^{-3} - 10^{-4}$. Для *трет*-бутанола $\kappa' \simeq 10^{-6}$. Отсюда можно заключить, что во всех первичных спиртах, приведенных в табл. 9, за исключением третичного бутилового спирта, устойчивость вновь образовавшихся связей $O - H \dots O$ приблизительно одинакова.

Наибольший интерес представляют изомерные бутанолы, поскольку здесь можно сопоставить изомеры ROH . Для *n*-бутанола $\kappa' = 10^{-3}$, для изобутанола и *втор*-бутанола κ' , соответственно, равна $2 \cdot 10^{-4}$ и $1 \cdot 10^{-4}$. Учитывая вышесказанное, это различие может быть следствием ошибок при определениях κ' . В третичном бутаноле вероятность сохранения вновь образовавшихся связей $O - H \dots O$ примерно на два порядка меньше, чем в нормальных и вторичных изомерных спиртах. Это согласуется с малой степенью ассоциации *трет*-бутанола, а также с тем, что группа OH в *трет*-бутаноле частично экранирована метильными группами. Вероятность распада вновь образовавшейся связи $O - H \dots O$ равна $1 - \kappa \simeq 1$. Константа скорости распада связи в момент ее образования, следовательно, равна:

$$k_1'' \simeq \frac{4\pi k_B T}{h} \quad (\text{VIII.162})$$

§ 58. ДРУГИЕ СВЕРХБЫСТРЫЕ РЕАКЦИИ В СПИРТАХ ROH. ВЫСОКОЧАСТОТНАЯ ДИСПЕРСИЯ ДИЭЛЕКТРИЧЕСКОЙ ПРОНИЦАЕМОСТИ

В области более высоких частот дисперсия диэлектрической проницаемости спиртов ROH в пределах ошибок опыта обычно может быть подразделена на две или три простых области. Исследования этих областей показывают [28], что здесь могут наблюдаться сочетания

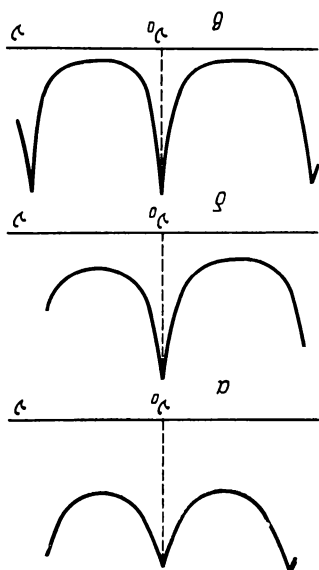


Рис. 49. Спектр света, рассеянного анизотропными флуктуациями в бензиловом спирте (электрический вектор падающего света направлен по оси Z, электрический вектор света, рассеянного под углом 90° , направлен по оси X):

a — 15° C; б — 0° C; в — 60° C

тронными флуктуациями. Теория анизотропного рассеяния света в жидкостях, содержащих цепочечные ассоциаты, развита в работе [16].

В алканолах интенсивность анизотропного рассеяния света очень мала. Более надежны измерения релеевских спектров тех спиртов, углеводородные радикалы которых содержат ароматические циклы. Анизотропия поляризуемости молекул таких спиртов велика, и спектры анизотропного рассеяния света с помощью современной техники эксперимента могут быть изучены. На рис. 49 представлены спектры света, рассеянного анизотропными флуктуациями в бензиловом спирте [39]. Время релаксации анизотропных флуктуаций вычислялось по

следующих процессов: а) реакции разрыва и образования одной связи O — H...O в полимерных ассоциатах и димерах; б) конформационные изменения цепочечных ассоциатов в результате «шарнирных» изменений положения групп OR молекул ROH в ассоциате; в) повороты групп OH и OR, расположенных на концах цепочечных ассоциатов; г) процессы образования и распада рассмотренных выше активных комплексов реакций (VIII.1) и (VIII.2); д) переориентация молекул ROH, не имеющих связей O — H...O с другими молекулами. Такие молекулы условно считают неассоциированными. В действительности они могут принимать участие в связях C — H...C и C — H...O. Поэтому в данном случае речь идет в основном о процессах образования и разрушения этих связей.

В целом высокочастотные ДР-спектры спиртов мало изучены. Измерения в области частот порядка 100 ГГц пока еще скудны, поэтому расшифровка высокочастотных ДР-спектров на простые области дисперсии и их идентификация имеют качественный характер.

Релеевские спектры. Для изучения процессов ассоциации большой интерес представляют спектры света, рассеянного анизотропными флуктуациями.

Теория анизотропного рассеяния света в жидкостях, содержащих цепочечные ассоциаты, развита в работе [16]. В алканолах интенсивность анизотропного рассеяния света очень мала. Более надежны измерения релеевских спектров тех спиртов, углеводородные радикалы которых содержат ароматические циклы. Анизотропия поляризуемости молекул таких спиртов велика, и спектры анизотропного рассеяния света с помощью современной техники эксперимента могут быть изучены. На рис. 49 представлены спектры света, рассеянного анизотропными флуктуациями в бензиловом спирте [39]. Время релаксации анизотропных флуктуаций вычислялось по

$$\tau_{\text{ан}} = (2\pi\Delta\nu_{1/2})^{-1}, \quad (\text{VIII} \cdot 163)$$

где $\Delta\nu_{1/2}$ — полуширина спектра анизотропного рассеяния после вычета аппаратной функции; c — скорость света. $\tau_{\text{ан}}$ оказалось равным $1 \cdot 10^{-10}$ с при -15°C ; $7 \cdot 10^{-11}$ с при 0°C ; $4 \cdot 10^{-11}$ с при 20°C ; $2 \cdot 10^{-11}$ при 40°C ; $1 \cdot 10^{-11}$ с при 60°C . Основной вклад в анизотропное рассеяние света должна вносить та реакция, которая сопровождается наибольшим изменением анизотропии поляризуемости. Для цепочечных ассоциатов спиртов такова реакция димеризации: $2 \text{RON} \rightleftharpoons (\text{RON})_2$. Она протекает быстрее реакции разрыва и переноса связи $\text{O} - \text{H} \dots \text{O}$ в более сложных ассоциатах RON . Кроме того, в ходе реакции димеризации молекул спиртов анизотропия поляризуемости системы, приходящаяся на одну молекулу спирта, увеличивается сильнее, чем в случае более сложных цепочечных ассоциатов.

Ниже в качестве примера приведены результаты [15] расчета анизотропии поляризуемости цепочечных ассоциатов метанола, усредненной по всем возможным конформациям таких ассоциатов.

$\rho, \dots\dots\dots$	1	2	3	4	5	6	7	8	9	10
$\langle \gamma_p^2 \rangle \cdot 10^{50}, \text{ см}^6$	37	87	133	180	227	273	460	926	1390	1860
$\frac{\langle \gamma_p^2 \rangle}{\rho} 10^{50}, \text{ см}^6$	37	43,5	44,4	45	45,4	45,6	46,0	46,3	46,4	46,4

Во второй строке содержатся значения средней анизотропии поляризуемости молекул ассоциатов, в третьей строке указаны величины средней анизотропии поляризуемости γ_p^2 , приходящейся на одну молекулу RON в ассоциате.

ГЛАВА IX

ТЕОРИЯ КОЛЛЕКТИВНЫХ РЕАКЦИЙ *

До сих пор речь шла, в основном, о неколлективных реакциях — относительно простом случае, когда элементарные события реакций в жидкой фазе приближенно можно свести к превращениям одной, двух или трех молекул.

Наряду с неколлективными реакциями в жидкой фазе всегда протекают коллективные процессы, в элементарных событиях которых одновременно может принимать участие большое число частиц. Эти явления давно уже привлекли внимание исследователей. Теоретическое рассмотрение их обычно происходит в двух направлениях. Первое опирается на модель Изинга. Второе связано с представлением о свободном объеме.

Неколлективные и коллективные реакции в жидкостях тесно взаимосвязаны и при определенных условиях переходят друг в друга. В этой

* Эта глава написана вместе с В. А. Дуровым.

главе будет показано, при каких условиях и почему неколлективные реакции в жидкостях отступают на второй план и главную роль начинают играть коллективные реакции. Рассмотрим, в каком аспекте такой подход может быть полезен для разработки молекулярной теории явлений стеклования и фазовых переходов. Начнем с описания существующих представлений: модели Изинга и теории свободного объема.

§ 59. МОДЕЛЬ ИЗИНГА

Это наиболее простая модель коллективных, или, что одно и то же, кооперативных процессов. Она состоит в следующем. Молекулы твердого тела, жидкости или газа («решеточный газ») располагаются в узлах кристаллической решетки или каким-либо другим относительно упорядоченным образом. Каждая молекула может находиться в двух и только в двух состояниях. Модель не учитывает ни форму, ни строение, ни какие-либо другие особенности молекулы, за исключением одного свойства. Это может быть, например, точечный электрический или магнитный момент. Тогда молекулу можно представить в виде точечного вектора, принимающего только два положения. Одно из них — вектор направлен вверх, другое — вектор направлен вниз. Молекула может скачкообразно менять свое направление на 180° . В других вариантах частица может быть возбужденной или невозбужденной. Частица может рассматриваться и просто, как узел решетки, — точка, которой сопоставляется спиновая переменная S_i ($i = 1, 2, \dots, N$), имеющая численные значения $+1$ или -1 . В узлах решетки могут быть два типа частиц — тогда речь идет о модели бинарного сплава. Во всех случаях математическая трактовка модели в принципе одна и та же. Модель может быть одномерной, двумерной и трехмерной.

Если вероятности состояний частиц в решетке взаимосвязаны, т. е. имеет место корреляция, то процессы изменения состояний частиц в узлах решетки становятся кооперативными. Состояние каждого из узлов зависит от состояния соседних, а в более сложных случаях — и удаленных узлов решетки. Подробнее эта модель рассматривается в [40, 41]. Здесь остановимся на преимуществах и недостатках модели Изинга.

Основное преимущество модели Изинга состоит в том, что она позволяет в максимально упрощенной форме, отвлекаясь от каких-либо деталей, связанных с индивидуальными особенностями частиц, описать корреляцию и выявить ряд закономерностей в свойствах вещества, зависящих только от корреляции частиц. Простота модели облегчает ее математическое описание. Методы, основанные на модели Изинга, успешно применены в теории фазовых переходов и критических явлений. Речь идет о флуктуационной теории фазовых переходов, или, как ее еще называют, «масштабной теории» или «теории скейлинга» [41, 42].

Модель Изинга применяется также и для описания процессов стеклования [43], [44].

Но модель Изинга не может описывать индивидуальные особенности, присущие проявлениям кооперативных свойств в различных системах. Она не может выразить взаимосвязь между конкретными неколлективными и коллективными процессами, которые имеют место в спиртах, окислах, углеводородах и т. д. Попытки отразить влияние индивидуальных свойств частиц на их корреляцию с помощью расчетов, основанных на модели Изинга, встречаются с большими трудностями и вряд ли могут быть успешными, если модель не будет существенно усложнена.

§ 60. МОДЕЛЬ «СВОБОДНОГО ОБЪЕМА»

Эта модель давно используется при описании различных свойств жидкостей, в том числе процессов стеклования. Ее истоки восходят к работам Я. И. Френкеля и ряда других авторов. Обзор этих исследований имеется в [45—47]. Модель «свободного объема», так же как и модель Изинга, в принципе основана на отказе от учета индивидуальных особенностей в свойствах частиц системы. Согласно этой модели частицы жидкости не полностью заполняют объем, занимаемый системой. Существенное отличие модели «свободного объема» состоит в том, что эта модель не так точно определена, как модель Изинга. Представление о свободном объеме, лежащее в основе модели, имеет, по существу, интуитивный характер. Оно не может быть строго определено. Известны по крайней мере четыре различные попытки охарактеризовать это понятие [48], [50]:

1. Свободный объем v_f определяется соотношением $v_f = v - v_c$, где $v = V/N$ — полный объем системы, приходящийся на одну молекулу; v_c — объем молекулы, рассчитываемый по известным значениям ван-дерваальсовых радиусов атомов, входящих в молекулу, с учетом химического строения молекул. Величина v_c не может быть точно определена, во-первых, потому что сами ван-дерваальсовы радиусы атомов не вполне точно определены, см., например, [3], во-вторых, потому что размеры эффективных атомов в молекулах отличаются от ван-дерваальсовых радиусов и, как правило, их также нельзя считать вполне точно установленными [49].

2. Свободный объем v_f считается равным разности v и v_0 , где v_0 — объем, приходящийся на одну молекулу жидкой фазы при абсолютном нуле температуры; $v_0 = \lim_{T \rightarrow 0} v(T)$. Ясно, что эта экстраполяция не позволяет считать v_f вполне определенным.

3. v_f рассчитывается с помощью грубоприближенной дырочной теории жидкостей, как сумма всех дырок, спонтанно возникающих при тепловом движении молекул в жидкой фазе в заданных внешних условиях [50].

4. В ячеечной теории жидкостей [51] свободный объем фигурирует как некоторый средний объем, в котором при заданных внешних условиях может свободно двигаться молекула. Но, в действительности, свободного движения молекул в жидкости, такого, как в разреженных газах, нет. Поэтому в ячеечной теории, как впрочем и в дру-

гих вариантах теории, использующей понятие «свободного объема», по существу, v_f играет роль эмпирического подгоночного параметра.

Здесь нет необходимости детально сопоставлять результаты расчетов при различных вариантах определения величины свободного объема. Подробно этот вопрос рассмотрен в работе [50]. Отметим лишь, что оценки v_f для одних и тех же веществ, выполненные с помощью указанных методов, обычно не согласуются друг с другом. Величины v_f нередко различаются в 3—4 раза.

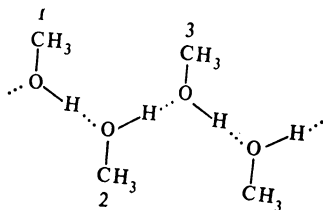
Уступая модели Изинга в строгости решения задачи, модель свободного объема сохраняет недостатки, присущие модели Изинга. Она также не позволяет изучать взаимосвязь между коллективными и неколлективными процессами, протекающими в жидких фазах.

Вместе с тем модель свободного объема, как и модель Изинга, позволяет трактовать ряд общих закономерностей, наблюдаемых в свойствах жидких фаз. Отметим, что модель свободного объема в последние годы нередко применяется при описании явлений стеклования [47].

Перейдем теперь к изложению теории коллективных реакций, основные идеи которой развиты автором и В. А. Дуровым в работах [52, 53, 64].

§ 61. О МОДЕЛИ КОЛЛЕКТИВНОЙ РЕАКЦИИ

Понятие о коллективных реакциях было введено в § 4. Поясним его с помощью одного примера. Рассмотрим цепочечный ассоциат жидкого метанола $(\text{CH}_3\text{OH})_p$:



Ради наглядности здесь представлен фрагмент ассоциата, имеющий трансконформацию. Ассоциат $(\text{CH}_3\text{OH})_p$ окружен другими ассоциатами и мономерными молекулами метанола, которые, как уже говорилось, могут образовывать с группами CH_3 изображенного здесь фрагмента ассоциата $(\text{CH}_3\text{OH})_p$ связи $\text{C} - \text{H} \cdots \text{O}$ и $\text{C} - \text{H} \cdots \text{C}$. При повышении температуры число таких связей в единице объема метанола уменьшается, а при понижении температуры постепенно возрастает до максимально возможного, когда все или почти все протоны групп CH_3 ассоциата $(\text{CH}_3\text{OH})_p$ принимают участие в связях $\text{C} - \text{H} \cdots \text{C}$ и $\text{C} - \text{H} \cdots \text{O}$ с окружающими молекулами метанола.

При тепловом движении молекулы CH_3OH , входящие в состав ассоциата $(\text{CH}_3\text{OH})_p$, изменяют свое положение и состояние. В частности, происходят реакции разрыва и образования связей $\text{O} - \text{H} \cdots \text{O}$, $\text{C} - \text{H} \cdots \text{C}$ и $\text{C} - \text{H} \cdots \text{O}$, о которых уже упоминалось в гл. II. Механизм неколлективных реакций разрыва и образования H -связей

$O - H \cdots O$ подробно обсуждался в гл. VIII. Реакции разрыва связей $O - H \cdots O$ проходят через стадию образования активного комплекса. Активный комплекс в данном случае представляет собой некоторое неустойчивое состояние жидкого метанола. Если метанол находится при заданной температуре и давлении, то возникновение активного комплекса характеризуется возрастанием свободной энтальпии метанола на некоторую, вполне определенную величину ΔG_1^\ddagger — свободную энтальпию активации реакции разрыва связи $O - H \cdots O$.

При 300 К метильные группы сравнительно слабо связаны с окружающими молекулами. Энергия теплового движения относительно велика, среднее время жизни связей $O - H \cdots O$ в ассоциатах составляет

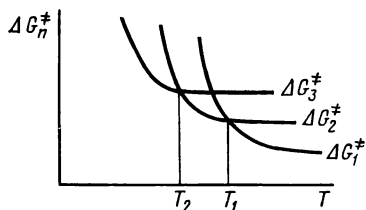


Рис. 50. Один из возможных видов температурной зависимости свободной энтальпии активации ΔG_n^\ddagger неколлективных ($n = 1$) и коллективных ($n > 1$) элементарных событий реакции

около 10^{-11} с, а связей $C - H \cdots C$ — около 10^{-12} с. С понижением температуры энергия теплового движения уменьшается, метильные группы молекул метанола чаще оказываются относительно прочно связанными с окружением. В этих условиях свободная энтальпия образования активного состояния, необходимого для разрыва связи $O - H \cdots O$, может возрастать так, как это изображено на рис. 50.

Кроме реакции разрыва одной связи $O - H \cdots O$ в жидкости могут идти и такие реакции, в ходе которых разрывается сразу две или большее число связей $O - H \cdots O$. Предположим, например, что в изображенном фрагменте ассоциата $(CH_3OH)_p$ метильные группы молекул 1, 2 и 3 фиксированы девятью связями $C - H \cdots C$ и $C - H \cdots O$. Энергия разрыва девяти таких связей составляет около 40 кДж/моль, что примерно в два раза превышает энергию разрыва одной связи $O - H \cdots O$. При фиксированных положениях групп CH_3 изменение ориентации группы OH молекулы, обозначенной индексом «2», произойдет только в том случае, если разорвутся сразу обе связи $O - H \cdots O$, соединяющие молекулы 1, 2 и 3.

Пусть свободная энтальпия активации реакции разрыва двух связей $O - H \cdots O$ равна ΔG_2^\ddagger . При комнатной температуре ΔG_2^\ddagger значительно больше, чем ΔG_1^\ddagger , и одновременный разрыв двух связей $O - H \cdots O$ происходит редко. Но при низких температурах может возникнуть ситуация, изображенная на рис. 50, когда ниже некоторой температуры T_1 в результате фиксации групп CH_3 ΔG_2^\ddagger становится меньше ΔG_1^\ddagger . В этих условиях в ходе теплового движения элементарные события реакции разрыва двух связей $O - H \cdots O$ могут происходить чаще, чем элементарные события реакции разрыва одной связи $O - H \cdots O$. При еще более низких температурах на первый план могут

выйти элементарные события реакции разрыва трех связей $O-H\cdots O$, если, скажем, осуществится неравенство $\Delta G_3^\ddagger < \Delta G_2^\ddagger$ и т. д.

Таким образом, при понижении температуры свободная энтальпия активации реакций разрыва слабых химических связей между молекулами может в конце концов возрасти настолько, что неравенство $\Delta G_n^\ddagger/RT \gg 1$ будет выполняться для всех n и эти реакции, а вместе с ними и перемещения молекул практически прекратятся. Жидкость в таких условиях будет аморфным твердым телом. Она станет подобной стеклу.

§ 62. ЭЛЕМЕНТАРНЫЕ СТАДИИ КОЛЛЕКТИВНЫХ РЕАКЦИЙ

Как уже говорилось в § 4, элементарные события или элементарные стадии коллективных реакций есть коллективные события. Они представляют собой несколько взаимосвязанных друг с другом одновременно протекающих простых событий. Простые события можно описать уравнениями вида

$$\sum_i v_i M_i \rightarrow \sum_i v'_i M_i \quad (IX.1)$$

Например, мономолекулярная реакция изомеризации молекул



где B — изомер A .

Под одновременностью простых событий имеется в виду, что они протекают в некотором интервале времени δt , по порядку величины таком, которое требуется для осуществления одного изолированного события в тех же термодинамических условиях. Если простые события не коррелируют, т. е. не взаимосвязаны, то каждое из них представляет собой элементарную стадию какой-либо неколлективной элементарной реакции. Если же они коррелируют друг с другом, то совокупность нескольких взаимосвязанных простых событий есть элементарное событие коллективной реакции.

В принципе, возможна также корреляция простых событий, происходящих в различные моменты времени в одной и той же области пространства (временная корреляция), и, в общем случае, корреляция простых событий, происходящих в различные моменты времени в разных областях пространства (пространственно-временная корреляция). Здесь рассматривается только пространственная корреляция, т. е. взаимосвязь простых событий, происходящих одновременно (в указанном выше смысле) в различных областях пространства, занимаемого жидкостью.

Предположим, сначала, что в системе имеет место только одна неколлективная реакция. Элементарные события прямой неколлективной реакции имеют вид

$$\sum_i v_i M_i \rightarrow \sum_i v'_i M_i. \quad (a)$$

$$\sum_i \nu_i' M_i \rightarrow \sum_i \nu_i M_i. \quad (a')$$

Например, реакции $A \rightarrow B$ и $B \rightarrow A$. Пусть система находится в состоянии термодинамического равновесия. При заданной концентрации реагентов и определенных внешних условиях в единицу времени в единице объема жидкой системы происходит n_{1a} элементарных событий прямой реакции (а) и столько же элементарных событий обратной реакции (а'). $Q_a = n_{1a} V$ есть общее число событий вида (а) в объеме жидкости V в единицу времени.

Вероятность неколлективных событий. Выберем вдали от поверхности жидкости произвольно некоторые два малых одинаковых элемента объема dV_1 и dV_2 , центры которых в лабораторной системе координат определяются радиусами-векторами \vec{R}_1 и \vec{R}_2 . Расстояние между центрами указанных

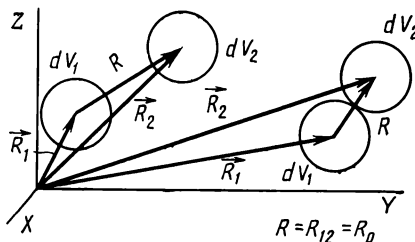


Рис. 51. К определению элементов объема dV_1 и dV_2

элементов объема $R = |\vec{R}_1 - \vec{R}_2|$ (рис. 51). В отсутствие внешних полей жидкая фаза изотропна. Поэтому направление радиуса-вектора \vec{R} несущественно, имеет значение лишь его модуль R .

Найдем вероятность $dW_1^a(\vec{R}_1, \delta t)$ того, что некоторое произвольно выбранное событие из набора $Q_a \delta t$ событий прямой реакции (а), происходящих в момент времени δt , располагается в элементе объема dV_1 , т. е. его координаты лежат в интервалах $(X_1, X_1 + dX_1)$; $(Y_1, Y_1 + dY_1)$; $(Z_1, Z_1 + dZ_1)$. Символ δt в $dW_1^a(\vec{R}_1, \delta t)$ подчеркивает, что рассматриваются лишь те события, которые происходят за указанный промежуток времени δt . В дальнейшем, ради упрощения обозначений, этот символ будет опускаться, так что $dW_1^a(\vec{R}_1, \delta t) \equiv dW_1^a(\vec{R}_1)$.

Кроме того, введем обозначения:

$$B_a = Q_a \delta t \quad \text{и} \quad B_{a'} = Q_{a'} \delta t. \quad (IX.3)$$

В соответствии с теорией вероятности dW_1^a определяется соотношением

$$dW_1^a = \rho_1^a(X_1, Y_1, Z_1) dX_1 dY_1 dZ_1, \quad (IX.4)$$

где ρ_1^a — плотность вероятности указанного события; $\rho_1^a(X_1, Y_1, Z_1)$ определяется свойствами системы, их зависимостью от координат X, Y, Z .

Если система в среднем изотропна и однородна, т. е. ее свойства не зависят от координат (далее будем полагать, что это условие выполняется), то плотность вероятности $\rho_1^a(X_1, Y_1, Z_1) = \text{const}$.

Любое из событий $Q_a \delta t$, в том числе и то, которое нами выбрано в соответствии с условиями задачи, находится в объеме V . Это достоверное утверждение, его вероятность равна единице:

$$\int_V dW_1^a = 1 = \int_V \int_V \rho_1^a(X_1, Y_1, Z_1) dX_1 dY_1 dZ_1 = \rho_1^a V. \quad \text{[(IX.5)}$$

Следовательно, плотность вероятности распределения событий простой неколлективной реакции в объеме V жидкости равна:

$$\rho_1^a = 1/V. \quad \text{(IX.6)}$$

Вероятность dW_1^a того, что событие 1 происходит в элементе объема dV_1 , равна:

$$dW_1^a(\vec{R}_1) = \frac{dV_1}{V}. \quad \text{(IX.7)}$$

Вероятность того, что событие 2 происходит в элементе объема dV_2 , равна:

$$dW_1^a(\vec{R}_2) = \frac{dV_2}{V}. \quad \text{(IX.8)}$$

Найдем вероятность $dW_2^a(\vec{R}_1, \vec{R}_2)$ того, что события 1 и 2 одновременно происходят в элементах объема dV_1 и dV_2 , соответственно. Поскольку реакция неколлективная, события 1 и 2 не зависят друг от друга и вероятность dW_2^a равна произведению вероятностей $dW_1^a(\vec{R}_1)$ и $dW_1^a(\vec{R}_2)$:

$$dW_2^a = \frac{dV_1 dV_2}{V^2}. \quad \text{(IX.9)}$$

Отметим, что dW_2^a не зависит от расстояния между dV_1 и dV_2 . Аналогично, вероятность того, что заданные 1, 2, ..., l события реакции (а) происходят в элементах объема dV_1, dV_2, \dots, dV_l , соответственно, равна:

$$dW_l^a(\vec{R}_1, \vec{R}_2, \dots, \vec{R}_l) = \frac{1}{V^l} dV_1 dV_2 \dots dV_l \quad \text{(IX.10)}$$

$$(l = 1, 2, \dots, B_a).$$

§ 63. ВЕРОЯТНОСТЬ СОВПАДЕНИЯ ЭЛЕМЕНТАРНЫХ СОБЫТИЙ ПРЯМОЙ НЕКОЛЛЕКТИВНОЙ РЕАКЦИИ

Предположим, что в системе имеет место одна неколлективная реакция (IX.1) и, следовательно, для прямой реакции (а) выполняется соотношение (IX.10). Пусть в сферическом элементе объема $dV_1 = v_1$, диаметр которого r_1 , а центр расположен в точке \vec{R}_1 , происходит одно элементарное событие прямой реакции (а). Рассмотрим элемент объема $v_2 = 7 v_1$, заключенный между двумя концентрическими сферами dV_2 и $dV_1 = v_1$. Диаметр r_2 сферы dV_2 равен $2 r_1$.

Допустим, что на промежутке времени δt в элементах объема v_1 и v_2 происходят определенные события 1 и 2 прямой реакции (а).

Поскольку реакция неколлективная, эти события независимы и вероятность их совпадения, согласно (IX.9), равна:

$$dW_2^a = \frac{v_1 v_2}{V^2}. \quad (\text{IX.11})$$

Теперь допустим, что событиями, происходящими в v_1 и v_2 , могут быть любые из B_a событий, происходящих за время δt в объеме V жидкости. Воспользуемся соотношением (IX.10), в котором $dV_1 = v_1$, $dV_2 = v_2$, $dV_3 = dV_4 = \dots = dV_{B_a} = V - v$, где $v = 8 v_1 = = 1/6 \pi r_2^3$. Кроме того, в соотношении (IX.10) должен появиться множитель $B_a(B_a - 1)/2$, так как в объемах v_1 и v_2 могут оказаться любые из B_a событий реакции (а). Имеем:

$$W_2^a = \frac{B_a(B_a - 1) 7v_1^2 (V - v)^{B_a - 2}}{2 V^{B_a}}. \quad (\text{IX.12})$$

Полагая $B_a \rightarrow \infty$ и $V \rightarrow \infty$, причем $B_a/V = b = \text{const}$, принимая $B_a - 2 \simeq B_a$, получим:

$$\left(1 - \frac{v}{V}\right)^{B_a} = \left(1 - \frac{vb}{B_a}\right)^{B_a} = \left(1 - \frac{1}{B'_a}\right)^{B'_a vb} = e^{-vb} = e^{-\frac{B_a v}{V}}. \quad (\text{IX.13})$$

Здесь были использованы соотношения

$$B'_a = B_a/bv \text{ и } \lim_{n \rightarrow \infty} \left(1 - \frac{1}{n}\right)^n = e^{-1}. \quad (\text{IX.14})$$

Таким образом, искомая вероятность

$$W_2^a = \frac{B_a^2 v_1 v_2}{2V^2} e^{-\frac{B_a v}{V}} = \frac{B_a^2 7v_1^2}{2V^2} e^{-\frac{8B_a v_1}{V}}. \quad (\text{IX.15})$$

Оценим величину W_2^a . Пусть $r_1 = 10^{-7}$ см, $v_1 = 5,2 \cdot 10^{-22}$ см³, $v \simeq 4,2 \cdot 10^{-21}$ см³, $V = 1$ л = 10^3 см³. Для неколлективной мономолекулярной реакции при $k = 10^8$ с⁻¹, $c = 1$ моль/л число элементарных событий, происходящих в единице объема за время δt ,

$$b = c(1 - e^{-k\delta t}) N_A \simeq ck N_A \delta t = 6 \cdot 10^{28} \delta t.$$

При $\delta t = 10^{-12}$ с, $B_a v/V = 2,5 \cdot 10^{-4}$, $e^{-B_a v/V} \simeq 1$

$$W_2^a \simeq \frac{7B_a v_1^2}{2V^2} \simeq 3 \cdot 10^{-9}.$$

Таким образом, вероятность W_2^a случайного совпадения даже двух неколлективных событий в различных малых элементах объема мала.

§ 64. КОРРЕЛЯЦИЯ ПРОСТЫХ СОБЫТИЙ

Допустим теперь, что термодинамическое состояние жидкой фазы изменилось (например, изменилась температура), так что прямая (а) и обратная (а') реакции стали коллективными.

Рассмотрим такой вариант коллективной реакции, когда все простые события одинаковы, т. е. принадлежат либо только прямой (а), либо обратной реакции (а'). Теперь простые события 1 и 2 нельзя считать независимыми друг от друга, по крайней мере при не очень больших расстояниях между элементами объема dV_1 и dV_2 . Элементы объема dV_1 и dV_2 минимальные, в которых могут поместиться молекулы, принимающие участие в одном элементарном событии (а) или (а').

Элементарные события прямой коллективной реакции (а) в данном случае могут различаться только числом коррелирующих простых событий и расстояниями между ними, но не видом простых событий. То же самое относится и к обратной коллективной реакции (а').

Взаимосвязь, или, как принято говорить, корреляцию, между двумя простыми событиями можно учесть с помощью функции $F_2^a(\vec{R}_1, \vec{R}_2) = F_2^a(R)$ для простых событий прямой реакции и $F_2^{a'}(R)$ для простых событий обратной реакции:

$$dW_2^a = F_2^a(R) \frac{dV_1 dV_2}{V^2}; \quad (\text{IX.16})$$

$$dW_2^{a'} = F_2^{a'}(R) \frac{dV_1 dV_2}{V^2}. \quad (\text{IX.17})$$

В случае неколлективной реакции $F_2^a(R) = F_2^{a'}(R) = 1$. По аналогии с функциями распределения в теории неидеальных систем $F_2^a(R)$ и $F_2^{a'}(R)$ будем называть радиальными функциями распределения событий (РФРС). Предположим, что речь идет о корреляции l простых событий прямой реакции (а). Тогда вероятность того, что заданные события 1, 2, ..., l реакции (а) происходят в элементах объема dV_1, dV_2, \dots, dV_l , соответственно, равна:

$$dW_l^a(\vec{R}_1, \vec{R}_2, \dots, \vec{R}_l) = \frac{1}{V^l} F_l^a(\vec{R}_1, \vec{R}_2, \dots, \vec{R}_l) dV_1 dV_2 \dots dV_l, \quad (\text{IX.18})$$

где $F_l^a(\vec{R}_1, \vec{R}_2, \dots, \vec{R}_l)$ — корреляционная функция порядка l реакции (а). В случае неколлективной реакции

$$F_l^a(\vec{R}_1, \dots, \vec{R}_l) = 1. \quad (\text{IX.19})$$

Аналогичное соотношение имеет место для обратной коллективной реакции (а'). Нужно лишь индекс «а» в (IX.18) заменить на индекс «а'».

В общем случае, когда простые события прямой (а) и обратной (а') реакций также взаимосвязаны, следует ввести корреляционные функции реакций (КФР) $F_{l,k}^{a,a'}(\vec{R}_1^a, \vec{R}_2^a, \dots, \vec{R}_l^a; \vec{R}_1^{a'}, \vec{R}_2^{a'}, \dots, \vec{R}_k^{a'})$, где $l = 1, 2, \dots, B_a; k = 1, 2, \dots, B_{a'}$. Тогда вероятность того, что первое, второе, ..., l -е простые события прямой реакции (а) за время δt происходят в элементах объема dV_1^a, \dots, dV_l^a и в тот же промежуток времени δt первое, второе, ..., k -е простые события обратной реакции (а') происходят в других элементах объема $dV_1^{a'}, \dots, dV_k^{a'}$, имеет вид

$$dW_{l,k}^{a,a'} = \frac{1}{V^{l+k}} F_{l,k}^{a,a'} dV_1^a \dots dV_l^a dV_1^{a'} \dots dV_k^{a'}. \quad (\text{IX.20})$$

Если простые события прямой и обратной реакции не взаимосвязаны, то

$$F_{l,k}^{a,a'} = F_l^a F_k^{a'}. \quad (\text{IX.21})$$

И если любые простые события некоррелируют, т. е. коллективные события отсутствуют:

$$F_{l,k}^{a,a'}(\vec{R}_1^a, \dots, \vec{R}_l^a, \vec{R}_1^{a'}, \dots, \vec{R}_k^{a'}) = \prod_{i=1}^l F_{1,0}^a(\vec{R}_i^a) \prod_{j=1}^k F_{0,1}^{a'}(\vec{R}_j^{a'}) = 1, \quad (\text{IX.22})$$

поскольку в этом случае корреляционные функции любого порядка обращаются в единицу.

§ 65. СВОЙСТВА КОРРЕЛЯЦИОННЫХ ФУНКЦИЙ РЕАКЦИИ (КФР)

Вернемся к тому варианту коллективной реакции, когда коллективные события состоят из одинаковых простых событий. В настоящее время экспериментальных данных о КФР F_l^a и $F_l^{a'}$ нет. Поэтому при характеристике свойств КФР будем исходить из общих физических соображений. В связи с этим напомним, что хорошо известные корреляционные функции распределения положений молекул $F_n(\vec{R})$, играющие в теории неидеальных систем роль, аналогичную роли КФР в теории коллективных реакций, были вначале априорно введены Орнштейном и Цернике в 1914 г. в развитой ими теории критической опалесценции. Первые экспериментальные данные о $F_2(\vec{R})$ для жидкостей были получены в 1927 г. Дебаем и независимо от него Цернике и Принсом. Соотношения, устанавливающие связь функций $F_n(\vec{R})$ с формализмом классической статистической механики, были найдены в 1935 г. независимо друг от друга И. Ивоном и Д. Кирквудом. Позднее, в 1946 г., они были выведены в наиболее общей и строгой форме Н. Н. Боголюбовым.

Из общих физических соображений следует, что все КФР F_l^a или $F_l^{a'}$ должны иметь следующие свойства:

1. КФР, как это следует из их определения, удовлетворяют условию нормировки

$$\int_V \dots \int_V dW_l^a = \frac{1}{V^l} \int_V \dots \int_V F_l^a dV_1 \dots dV_l = 1. \quad (\text{IX.23})$$

2. Если все простые события тождественны, КФР представляют собой симметричные функции координат простых событий

$$F_l^a(\vec{R}_1, \vec{R}_2, \dots, \vec{R}_i, \dots, \vec{R}_j, \dots, \vec{R}_l) = F_l^a(\vec{R}_1, \vec{R}_2, \dots, \vec{R}_j, \dots, \vec{R}_i, \dots, \vec{R}_l).$$

(IX.24)

3. При пересечении каких-либо двух или большего числа элементов объема, входящих в группу из l элементов dV_1, \dots, dV_l , КФР соот-

ветствующего порядка обращается в нуль. Примем, что пересекаются элементы объема dV_i и dV_j . Это означает, что расстояние R_{ij} между центрами dV_i и dV_j меньше расстояния R_0 , при котором dV_i и dV_j соприкасаются, но не пересекаются. Так как молекулы, заполняющие dV_i и dV_j , благодаря силам отталкивания не могут проникать друг в друга, коллективные события с участием молекул, находящихся в элементах объема dV_i и dV_j , происходят не могут, их вероятности dW_i^a и $dW_i^{a'}$ равны нулю. Напомним, что элементы объема dV_1, \dots, dV_l минимальные, в которых при заданных условиях могут поместиться молекулы, принимающие непосредственное участие в одном элементарном событии (а) или (а'). Множители $dV_1 \dots dV_l/V^l$ не равны нулю.

Равенства $dW_i^a = 0$ и $dW_i^{a'} = 0$ означают, что соответствующие КФР равны нулю. Таким образом,

$$F_l^a(\vec{R}_1, \vec{R}_2, \dots, \vec{R}_l) = 0 \text{ при } R_{ij} = |\vec{R}_i - \vec{R}_j| < R_0. \quad (\text{IX.25})$$

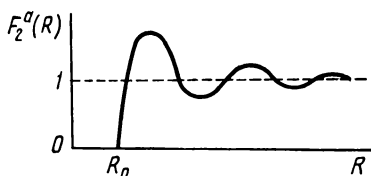


Рис. 52. Один из возможных графиков зависимости корреляционной функции событий реакции $F_2^a(R)$ от расстояния R

Как уже было сказано, условие (IX.25) выполняется при пересечении любой пары элементов объема в группе dV_1, \dots, dV_l .

4. В группе, состоящей из l простых событий, выберем произвольно какое-либо одно простое событие, например первое, и предположим, что все расстояния $R_{1j} = |\vec{R}_1 - \vec{R}_j|$, ($j = 2, \dots, l$) между центром элемента объема dV_1 и центрами элементов объема dV_j очень велики, $= R_{1j} \rightarrow \infty$. Тогда

$$F_l^a(\vec{R}_1, \vec{R}_2, \dots, \vec{R}_l) \rightarrow F_{l-1}^a(\vec{R}_2, \dots, \vec{R}_l). \quad (\text{IX.26})$$

Это соотношение справедливо для изотропных жидких фаз, если их состояние не соответствует ближайшей окрестности точек фазовых переходов. Физический смысл его прост. При очень больших расстояниях R_{1j} исчезает взаимосвязь между простым событием, которое происходит в элементе объема dV_1 , и простыми событиями, которые имеют место в элементах объема dV_2, \dots, dV_l . Если все расстояния $R_{ij} = |\vec{R}_i - \vec{R}_j|$ очень велики, то корреляция простых событий отсутствует:

$$F_l^a(\vec{R}_1, \vec{R}_2, \dots, \vec{R}_l) \rightarrow \prod_i F_1^a(\vec{R}_i) = 1 \text{ при } R_{ij} \rightarrow \infty. \quad (\text{IX.27})$$

Таким образом, бинарная корреляционная функция реакции $F_2^a(R)$ равна нулю при $R < R_0$ и стремится к единице при $R \rightarrow \infty$. В принципе возможны различные варианты зависимости $F_2^a(R)$ от R . В одних случаях $F_2^a(R)$ может иметь лишь один максимум, в других случаях — несколько максимумов (рис. 52).

§ 66. ПРОСТАЯ КОЛЛЕКТИВНАЯ РЕАКЦИЯ

Простой коллективной реакцией будем называть такую реакцию, все коллективные события которой состоят из *одинаковых* простых событий. Коллективные события прямой реакции (а) состоят только из простых событий этой прямой реакции. Коллективные события обратной реакции (а') состоят только из простых событий этой обратной реакции. Рассмотрим состояние системы, близкое к термодинамическому равновесию. Введем следующие обозначения: n_{la} —число коллективных событий, происходящих в единицу времени в единице объема жидкости, каждое из которых состоит из l взаимосвязанных простых событий прямой реакции (а); $n_{la'}$ — число коллективных событий, происходящих в единицу времени в единице объема жидкости, каждое из которых состоит из l взаимосвязанных простых событий обратной реакции (а').

В соответствии с принципом детального баланса при термодинамическом равновесии

$$n_{la}^{\circ} = n_{la'}^{\circ}. \quad (\text{IX.28})$$

Если же система неравновесна, то $n_{la} \neq n_{la'}$. Общее число коллективных и неколлективных элементарных событий прямой реакции (а) N_a и обратной реакции (а') $N_{a'}$, происходящих в единицу времени в единице объема, равно:

$$N_a = \sum_{l \geq 1} n_{la}; \quad N_{a'} = \sum_{l \geq 1} n_{la'}. \quad (\text{IX.29})$$

При $l = 1$ речь идет об элементарных событиях неколлективных реакций (а) и (а'), которые тоже могут быть. Для термодинамически равновесной системы $N_a^{\circ} = N_{a'}^{\circ}$.

Величины N_a и $N_{a'}$ есть суммарные скорости прямой и обратной коллективных реакций (а) или (а'), соответственно, если скорость реакции определять числом ее элементарных стадий в единицу времени. Аналогично, величины n_{la} или $n_{la'}$ можно рассматривать как скорости таких коллективных реакций (а) или (а'), все элементарные события которых одинаковы, причем каждое из них представляет собой l коррелированных простых событий вида (а) или (а'), соответственно. Соотношения (IX.29) выражают, следовательно, принцип независимости элементарных реакций применительно к данному случаю.

Общее число простых событий (а) и (а'), протекающих в единицу времени в единице объема жидкости:

$$S_a = \sum_{l \geq 1} l n_{la}; \quad S_{a'} = \sum_{l \geq 1} l n_{la'}, \quad (\text{IX.30})$$

есть скорости реакций, охарактеризованные числом простых событий этих реакций, т. е. рассчитанные с помощью стехиометрического уравнения (IX.1):

$$S_a = \xi_{1a} N_A; \quad S_{a'} = \xi_{1a'} N_A \quad (\text{IX.31})$$

(объем $V = 1$).

Размерность величин S_a и $S_{a'}$ есть $\left[\frac{\text{событие}}{\text{объем} \cdot \text{с}} \right] = \left[\frac{\text{молекула}}{\text{объем} \cdot \text{с}} \right]$. Скорость реакции (а), выраженная в $\left[\frac{\text{моль}}{\text{объем} \cdot \text{с}} \right]$, ξ_{1a} , $\xi_{1a'}$ отличается от S_a и $S_{a'}$ размерным множителем, равным N_A^{-1} , где N_A — число Авогадро. Скорость реакции (IX.1) в объеме V равна:

$$\xi = V (\dot{\xi}_{1a} - \dot{\xi}_{1a'}), \quad (\text{IX.32})$$

где $\dot{\xi}$ — степень полноты реакции, рассчитанная с помощью уравнения (IX.1).

Среднее число простых событий в одном коллективном событии определяется соотношением

$$\langle l \rangle_a = \frac{S_a}{N_a} = \sum_{l \geq 1} l \frac{n_{la}}{N_a} = \sum_{l \geq 1} l p_{la} \quad (\text{IX.33})$$

и представляет собой характеристику коллективности реакции. При $\langle l \rangle_a = 1$ реакция (а) неколлективная. Каждое из N_a элементарных событий по определению независимо от всех остальных $N_a - 1$ элементарных событий реакции. Отношение

$$p_{la} = n_{la}/N_a \quad (\text{IX.34})$$

представляет собой вероятность того, что некоторое произвольно выбранное элементарное событие прямой коллективной реакции (а) из общего числа N_a элементарных событий этой реакции, есть событие, состоящее из l взаимосвязанных простых событий прямой реакции (а) или, короче, l -событие. Для обратной реакции (а') точно так же имеем:

$$\langle l \rangle_{a'} = \sum_{l \geq 1} l p_{la'}; \quad p_{la'} = \frac{n_{la'}}{N_{a'}}. \quad (\text{IX.35})$$

При термодинамическом равновесии

$$\langle l \rangle_a^\circ = \langle l \rangle_{a'}^\circ \quad \text{и} \quad p_{la}^\circ = p_{la'}^\circ. \quad (\text{IX.36})$$

Связь между числами l -событий n_{la} и вероятностями dW_l^a . Рассмотрим коллективную прямую реакцию (а), происходящую в единице объема системы. В единицу времени происходит n_{1a} одиночных (т. е. неколлективных) событий, n_{2a} двойных, n_{3a} тройных, ..., n_{la} l -событий и т. д. Общее число простых событий, происходящих за промежуток времени δt , равно $S_a \delta t = B_a$.

Найдем вероятность того, что среди B_a простых событий имеется k коллективных l -событий. Пространство событий B_a имеет $3 B_a$ измерений, так как положение каждого из простых событий определяется тремя декартовыми координатами. В областях $3 B_a$ -мерного пространства событий, удовлетворяющих поставленной задаче, корреляционная функция реакции $F_{B_a}^a$ должна иметь следующий вид:

$$F_{B_a}^a = \prod_{i=1}^k F_{l_i}^a(\{i\}) F_{B_a - l k}^a \quad (\text{IX.37})$$

где $\{i\}$ обозначает всю совокупность пространственных координат соответствующей группы из l коррелирующих друг с другом простых событий (1, 2, ..., k -й группы).

Так как в соответствии с условиями задачи l простых событий коррелируют друг с другом, $F_l^a(\{i\})$ не могут быть выражены через КФР более низкого порядка. Среди $B_a - lk$ простых событий нет ни одной группы l простых событий, коррелирующих между собой и некоррелирующих с остальными. Поэтому КФР $F_{B_a - lk}^a$ не может быть представлена в виде

$$F_{B_a - lk}^a = F_l^a(\{k+1\}) F_{B_a - l(k+1)}^a.$$

Таким образом, искомая вероятность определяется интегралом

$$\int dW_{B_a, l_1, k}. \quad (\text{IX.38})$$

Интегрирование выполняется по той области $3B_a$ -мерного пространства событий, в которой справедливо соотношение (IX.37), т. е. $F_l^a(\{i\})$ не могут быть выражены через КФР низшего порядка, $F_{B_a - lk}^a$ не содержат множителей вида F_l^a . По определению КФР $F_{B_a - lk}^a$ зависит только от координат $B_a - lk$ простых событий, не входящих в группу из коллективных l -событий.

Выведем формулу, связывающую число одиночных, неколлективных событий n_{1a} с КФР $F_{B_a}^a$. В единицу времени в единице объема, как уже говорилось, происходит n_{1a} одиночных, n_{2a} — двойных, n_{3a} — тройных, ..., n_{la} — l -событий и т. д. Число простых событий, происходящих за промежуток времени δt , есть $B_a = S_a \delta t$.

Перенумеруем простые события. По определению математического ожидания число одиночных простых событий, происходящих за промежутки времени δt , равно:

$$n_{1a} \delta t = \sum_{k \geq 1} k d\omega_k, \quad (\text{IX.39})$$

где $d\omega_k$ есть вероятность того, что среди B_a простых событий имеется ровно k одиночных событий.

Выразим $d\omega_k$ через КФР. Для этого найдем вероятность того, что первые k (т. е. 1, 2, 3, ..., k) из перенумерованных простых событий — одиночные и в системе имеется ровно k одиночных событий (т. е. среди остальных $B_a - k$ перенумерованных простых событий одиночных нет). В областях $3B_a$ -мерного пространства событий, удовлетворяющих поставленной задаче, КФР $F_{B_a}^a$ имеет вид

$$\begin{aligned} F_{B_a}^a(\vec{R}_1, \dots, \vec{R}_k, \vec{R}_{k+1}, \dots, \vec{R}_{B_a}) &= \prod_{i=1}^k F_1^a(\{i\}) \cdot F_{B_a - k}^a = \\ &= F_{B_a - k}^a(\vec{R}_{k+1}, \dots, \vec{R}_{B_a}), \end{aligned} \quad (\text{IX.40})$$

так как все КФР одиночных событий $F_1^a(\{i\})$, согласно (IX.7), равны единице. Согласно вышесказанному, КФР $F_{B_a-k}^a$ не содержит множителей вида $F_1^a(\vec{R}_i)$.

Следовательно, вероятность того, что первые k простых событий элементарные и в системе больше нет элементарных событий, определяется интегралом

$$\int_{F_{B_a-k}^a = F_{B_a-k}^a} dW_{B_a, 1, k}. \quad (\text{IX.41})$$

Интегрирование производится по всем областям трехмерного пространства событий, удовлетворяющим сформулированным требованиям.

Теперь необходимо учесть условие произвольности выбора первых k событий из общего числа B_a событий. Для этого интеграл (IX.41) надо умножить на число способов выбора k простых событий из общего числа B_a таких событий, т. е. на $C_{B_a}^k = \frac{1}{k!} \prod_{j=0}^{k-1} C_{B_a-j}^1$. В итоге получаем:

$$n_{1a} \delta t = \left[\sum_{k=1}^{B_a-2} k \frac{1}{k!} \left(\prod_{j=0}^{k-1} C_{B_a-j}^1 \right) \int_{F_{B_a-k}^a = F_{B_a-k}^a} dW_{B_a, 1, k} \right] + \\ + B_a \int_{F_{B_a}^a = 1} dW_{B_a, 1, B_a}. \quad (\text{IX.42})$$

Если в системе нет коллективной реакции, то согласно (IX.22), КФР $F_{B_a}^a = 1$, $k = B_a$ и все члены суммы в квадратных скобках равны нулю, так как объемы соответствующих областей интегрирования равны нулю. В этом случае, согласно (IX.23), $\int_{F_{B_a}^a = 1} dW_{B_a, 1, B_a} = 1$

и $n_{1a} \delta t = B_a$, как и должно быть. С помощью точно таких же рассуждений можно показать, что числа l -событий, происходящих за промежутки времени δt , определяются соотношениями:

$$n_{la} \delta t = \left[\sum_{k=1}^{B_a/l} k \frac{1}{k!} \left(\prod_{i=0}^{k-1} C_{B_a-li}^l \right) \int dW_{B_a, l, k} \right], \quad (\text{IX.43})$$

где

$$\frac{1}{k!} \left(\prod_{i=0}^{k-1} C_{B_a-li}^l \right) = \frac{1}{k!} \frac{B_a!}{(B_a - kl)! (l!)^k} \quad (\text{IX.44})$$

есть число способов выбора k групп коллективных событий, в каждое из которых входит l простых событий из общего числа B_a простых событий, причем B_a велико ($B_a \rightarrow \infty$).

Таким образом, соотношения (IX.42) и (IX.43) позволяют, в принципе, установить взаимосвязь между числами l -событий n_{la} и корреляционными функциями реакций, а также связь между числами n_{la} и радиусом корреляции простых событий R_c , поскольку интегрирование производится по областям пространства событий, где выполняются условия корреляции.

Связь между скоростью прямой коллективной реакции (а) и корреляционными функциями реакции (КФР). Пусть в системе за промежуток времени δt происходит B_a простых событий реакции (а) в областях пространства с центрами в $\vec{R}_1, \dots, \vec{R}_{B_a}$. Выделим в жидкости элемент объема dV' , центр которого определяется радиусом-вектором \vec{R}' . Величина элемента объема dV' должна быть очень мала по сравнению с объемом V всей системы и в то же время не должна быть меньше того минимального объема, в котором могут поместиться молекулы, принимающие участие в одном простом событии реакции (а). Приближенно dV' можно считать «точкой», положение которой определяется вектором \vec{R}' . Пусть некоторая функция $f_{dV'}(\vec{R})$ удовлетворяет условию

$$\begin{aligned} f_{dV'}(\vec{R}) &= 1, \text{ если } \vec{R} = \vec{R}'; \\ f_{dV'}(\vec{R}) &= 0, \text{ если } \vec{R} \neq \vec{R}'. \end{aligned} \quad (\text{IX.45})$$

ξ_{1a} обозначает среднюю по объему системы скорость прямой реакции, отнесенную к единице объема. Тогда скорость реакции $\xi_{1a}(\vec{R}')$ в точке \vec{R}' определяется соотношением

$$\xi_{1a}(\vec{R}') = \frac{1}{\delta t dV' N_A} \sum_{1 \leq i \leq B_a} f_{dV'}(\vec{R}_i). \quad (\text{IX.46})$$

Среднее по объему значение скорости $\xi_{1a}(\vec{R}')$ имеет вид

$$\langle \xi_{1a}(\vec{R}') \rangle = \xi_{1a} = \int \xi_{1a}(\vec{R}', \{R_i\}) dW_{B_a}, \quad (\text{IX.47})$$

где интегрирование производится по пространству событий B_a .

Рассмотрим теперь два непересекающихся элемента объема dV' и dV'' , положение которых определяется векторами \vec{R}' и \vec{R}'' . Парную пространственную корреляцию скоростей реакций $\xi_{1a}(\vec{R}')$ и $\xi_{1a}(\vec{R}'')$ можно выразить соотношением

$$\begin{aligned} \langle \xi_{1a}(\vec{R}') \xi_{1a}(\vec{R}'') \rangle &= \int \xi_{1a}(\{\vec{R}_i\} | \vec{R}') \xi_{1a}(\{\vec{R}_i\} | \vec{R}'') dW_{B_a} = \\ &= (\xi_{1a})^2 \tilde{F}_2^a(R), \end{aligned} \quad (\text{IX.48})$$

где

$$\tilde{F}_2^a(|\vec{R}' - \vec{R}''|) = \frac{1}{dV' dV''} \int_{dV'} \int_{dV''} F_2^a(|\vec{R}_1 - \vec{R}_2|) d\vec{R}_1 d\vec{R}_2, \quad (\text{IX.49})$$

Таким образом, $F_2^a(R)$ описывает корреляцию скоростей прямой реакции (а) в различных элементах объема. Аналогично, с помощью КФР F_l^a ($l \geq 3$) можно охарактеризовать корреляцию скоростей реакции (а) в трех, четырех и т. д. элементах объема реагирующей системы. Эти выводы справедливы и для КФР $F_l^{a'}$ обратной реакции (а').

§ 67. СКОРОСТЬ КОЛЛЕКТИВНОЙ РЕАКЦИИ

В предыдущих параграфах этой главы были охарактеризованы основные понятия теории коллективных реакций и установлены физическая и математическая связи между корреляционными функциями реакций (КФР) и другими характеристиками коллективной реакции, такими, как n_{1a} , ξ_{1a} . Теперь рассмотрим те свойства, которые отличают скорость коллективной элементарной реакции от скорости неколлективной элементарной реакции, описываемой тем же стехиометрическим уравнением (IX.1).

Запишем еще раз стехиометрическое уравнение простых событий рассматриваемой коллективной реакции



Степень полноты ξ и сродство A реакции (IX.50) определяются с помощью тех же соотношений (см. гл. II и VI), как и для неколлективной реакции. Около состояния равновесия скорость реакции (IX.50) ξ и сродство A связаны соотношением (VI.49)

$$\xi = V (\dot{\xi}_{1a} - \dot{\xi}_{1a'}) = LA, \quad (\text{IX.51})$$

где L — феноменологический коэффициент реакции. Выведем выражение для L с учетом того, что реакция (IX.50) коллективная.

Элементарные l -события коллективной реакции (IX.50) можно записать в виде следующего уравнения:



Здесь используется принцип независимости элементарных реакций. Это означает, что каждое подмножество коллективных l -событий рассматривается как элементарная l -реакция. В (IX.52) k_l и k'_l обозначают константы скорости прямой и обратной реакций, соответственно. Закон действующих масс для l -реакции (IX.52) в том случае, если раствор неидеальный, имеет вид

$$K_{pl} = \frac{\prod_i a_i^{\nu'_i l}}{\prod_i a_i^{\nu_i l}} = (K_{p1})^l, \quad (\text{IX.53})$$

где $a_i = \gamma_i c_i$ — активности реагента i ; K_{pl} — константа равновесия l -реакции; K_{p1} — константа равновесия, найденная с помощью

стехиометрического уравнения (IX.50), т. е. без учета корреляции простых событий этой реакции. Применяя для описания каждой l -реакции основной постулат химической кинетики, получаем следующие выражения для чисел l -событий прямой n_{la} и обратной $n_{la'}$ реакций (IX.50) в единице объема в единицу времени:

$$n_{la} = k_l N_A \prod_i a_i^{\nu_i l}; \quad n_{la'} = k'_l N_A \prod_i a_i^{\nu_i' l} N_a. \quad (\text{IX.54})$$

Действительно, чтобы произошло элементарное событие прямой или обратной l -реакции, молекулы, принимающие участие в простых событиях прямой (а) или обратной (а') реакции, должны находиться в достаточно близких друг к другу элементах объема dV_1, dV_2, \dots, dV_l . Вероятность этого события, согласно основному закону химической кинетики, определяется множителем $\prod_i a_i^{\nu_i l}$ для прямой реакции или

$\prod_i a_i^{\nu_i' l}$ для обратной реакции. Константы скорости k_l и k'_l определяют число элементарных событий l -реакций в единице объема системы, если активности всех реагентов равны единице. Поскольку коэффициенты активности γ_i для сложных неидеальных систем, как правило, неизвестны, часто полагают $\gamma_i = 1$. Константы скорости прямой и обратной l -реакции имеют вид (см. гл. V):

$$k_l = \kappa_{la} \frac{4\pi e k_B T}{h} \exp \left(- \frac{\Delta G_{al}^\ddagger}{RT} \right); \\ k'_l = \kappa_{la'} \frac{4\pi e k_B T}{h} \exp \left(- \frac{\Delta G_{a'l}^\ddagger}{RT} \right), \quad (\text{IX.55})$$

где κ_{la} и $\kappa_{la'}$ — трансмиссионные коэффициенты прямой и обратной l -реакций; ΔG_{al}^\ddagger и $\Delta G_{a'l}^\ddagger$ — свободные энтальпии активации. В состоянии термодинамического равновесия

$$\frac{k_l}{k'_l} = K_{pl} = (K_{pl})^l. \quad (\text{IX.56})$$

Вероятности l событий прямой и обратной l -реакции (IX.52) определяются соотношениями:

$$\xi_{pla} = \frac{k_l \prod_i a_i^{\nu_i l}}{\sum_{l \geq 1} k_l \prod_i a_i^{\nu_i l}}; \quad p_{la'} = \frac{k'_l \prod_i a_i^{\nu_i' l}}{\sum_{l \geq 1} k'_l \prod_i a_i^{\nu_i' l}}. \quad (\text{IX.57})$$

Так как в каждом l -событии происходит l простых событий, получаем следующее выражение для скорости коллективной реакции (IX.50) в объеме V [см. (IX.30)]:

$$\xi = V \left[\sum_{l \geq 1} l k_l \prod_i a_i^{\nu_i l} - \sum_{l \geq 1} l k'_l \prod_i a_i^{\nu_i' l} \right] =$$

$$= V \left[\sum_{l \geq 1} l k_l \prod_i a_i^{v_i l} \left(1 - \frac{k'_l}{k_l} \prod_i a_i^{\Delta v_i l} \right) \right]. \quad (\text{IX.58})$$

Используя (IX.56), преобразуем выражение в круглых скобках к следующему виду:

$$1 - \frac{\prod_i a_i^{\Delta v_i l}}{(K_{p1})^l} = 1 - e^{-\frac{lA}{RT}}. \quad (\text{IX.59})$$

Таким образом,

$$\dot{\xi} = V \left[\sum_{l \geq 1} l k_l \prod_i a_i^{v_i l} \left(1 - e^{-\frac{lA}{RT}} \right) \right]. \quad (\text{IX.60})$$

Вблизи состояния равновесия $\frac{lA}{RT} \ll 1$. Полагая, что $\exp - \left(\frac{lA}{RT} \right) \simeq 1 - lA/RT$, получаем:

$$\dot{\xi} = \frac{V}{RT} \left[\sum_{l \geq 1} l^2 k_l \prod_i a_i^{v_i l} \right] A \quad (\text{IX.61})$$

и, следовательно,

$$L_k = \frac{V}{RT} \left[\sum_{l \geq 1} l^2 k_l \prod_i a_i^{v_i l} \right]. \quad (\text{IX.62})$$

Используя (IX.57), преобразуем выражение для феноменологического коэффициента коллективной реакции L_k к следующему виду:

$$L_k = \frac{V}{RT} \langle l^2 \rangle_a \left[\sum_{l \geq 1} k_l \prod_i a_i^{v_i l} \right], \quad (\text{IX.63})$$

где $\langle l^2 \rangle_a = \langle l^2 \rangle_{a'} = \sum_{l \geq 1} l^2 p_{la}$ — среднее квадрата числа простых событий в l -событиях в состоянии термодинамического равновесия. Выражение для времени релаксации имеет вид (см. гл. VI)

$$\tau_{xy}^{-1} = -L_k \left(\frac{\partial A}{\partial \xi} \right)_{xy}. \quad (\text{IX.64})$$

Для определенности рассмотрим случай, когда $x = T$ и $y = P$, т. е. релаксация происходит при постоянстве температуры и давления. Если раствор идеальный, т. е. $a_i = c_i$, то

$$\left(\frac{\partial A}{\partial \xi} \right)_{PT} = -\frac{RT}{V} \left[\sum_i \frac{(\Delta v_i)^2}{c_i} - \frac{(\Delta V)^2}{V_M} \right]. \quad (\text{IX.65})$$

Заменяя в (IX.63) a_i на c_i и подставляя (IX.65) и (IX.63) в (IX.64), получаем:

$$\tau_{PT}^{-1} = \langle l^2 \rangle_a \sum_{l \geq 1} k_l \prod_i c_i^{v_i l} \left[\sum_i \frac{(\Delta v_i)^2}{c_i} - \frac{(\Delta V)^2}{V_M} \right]. \quad (\text{IX.66})$$

Таким образом, применяя для описания l -событий основной постулат химической кинетики, получаем выражение времени релаксации системы, обусловленное реакцией (IX.50), когда она коллективная. Время релаксации, связанное с коллективной реакцией, отличается от времени релаксации неколлективной реакции выражением для феноменологического коэффициента L_k , в котором решающую роль играют вероятности p_{la} или p_{la}' .

§ 68. О ПРОЦЕССЕ СТЕКЛОВАНИЯ

Будем исходить из предположения, что роль коллективных реакций, происходящих при тепловом движении молекул, возрастает в окрестности точек стеклования жидкостей, фазовых переходов второго рода и в области критических явлений. Рассмотрим процессы стеклования.

Стеклование. Как известно [43], структурным стеклованием называется переход от жидкого состояния с непрерывно и постепенно меняющейся структурой к твердому, стеклообразному состоянию с фиксированной структурой. Стекла образуются неорганическими оксидами, органическими полимерами, низкомолекулярными жидкостями, такими, например, как глицерин, глюкоза, алканолы, толуол, алканы, расплавленными солями и некоторыми металлическими сплавами. В принципе, по-видимому, все вещества могут быть получены в стеклообразном состоянии, в том числе и инертные газы.

Переход вещества в стеклообразное состояние определяется по температурной зависимости термодинамических и кинетических свойств. На рис. 53 приведены типичные графики зависимости ряда физических свойств от температуры в области стеклования. Кривая I описывает температурную зависимость ряда термодинамических функций состояния: объема V , внутренней энергии U , энтропии S , энтальпии H и т. д. Кривая II описывает температурную зависимость ряда кинетических и динамических характеристик: скорости звука c , модуля сдвига и модуля Юнга, логарифма вязкости, логарифма электрического сопротивления и др. Температура стеклования T_g наиболее часто определяется как точка пересечения экстраполированных кривых I и II (рис. 53).

Температура стеклования T_g зависит от внешнего давления и, как это впервые показано в работе [55], от скорости охлаждения. В работах [54, 55] для всех веществ условно в качестве «стандартной» температуры стеклования $T_g^{\text{ст}}$ введена температура, при которой время механической или диэлектрической релаксации $\tau = 10^2$ с. При изменении скорости охлаждения в 10 раз температура стеклования смещается на величину порядка $3 \cdot 10^{-2} T_g^{\text{ст}}$ [56].

При переходе жидкости в стеклообразное состояние объем V , энтропия S , энтальпия H претерпевают излом. Коэффициенты объемного расширения, теплоемкость и ряд других вторых производных термодинамических потенциалов изменяются скачкообразно. На основании этого некоторые исследователи рассматривают стеклование как фазовый переход второго рода. Критика этой точки зрения дана в кн. [43].

Как было показано еще в работах П. П. Кобеко [57], переход в стеклообразное состояние тесно связан с процессами релаксации в системе. При понижении температуры скорость перестройки структуры жидкости в ходе теплового движения уменьшается. При заданной скорости охлаждения наступает момент, когда тепловые процессы перестройки структуры не успевают следовать за понижением температуры: структура вещества становится неравновесной, «замороженной». Поэтому структура стекла близка к структуре жидкости вблизи температуры стеклования T_g . Следовательно, при описании стеклования как фазового перехода необходимо учитывать то, что стеклование представляет собой неравновесный процесс. Если бы система находилась в состоянии полного термодинамического равновесия, вместо стеклования происходила бы кристаллизация с образованием упорядоченной твердой фазы при равновесной температуре $T_{кр}$, лежащей выше T_g .

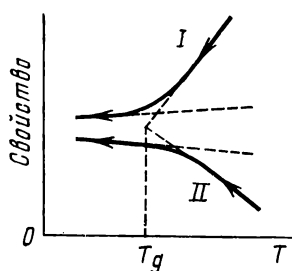


Рис. 53. Два типа (I и II) температурных зависимостей свойств аморфных веществ при переходе из жидкого состояния в стеклообразное [43]

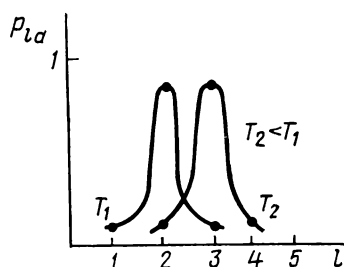


Рис. 54. Функции распределения вероятностей коллективных событий $p_{l\alpha}$ в окрестности точки стеклования

Рассмотрим стеклование с позиций теории коллективных реакций.

Коллективная реакция и стеклование. В начале этой главы уже говорилось о возможном механизме стеклования метанола. Процессы образования и разрушения ассоциатов и комплексов и конформационные превращения, протекающие в жидкой фазе при заданных P и T и сопровождающиеся изменением положений молекул, требуют преодоления некоторого барьера свободной энтальпии ΔG^\ddagger . Обычно этот барьер в несколько раз превышает среднюю энергию теплового движения молекул, которая по порядку величины равна $k_B T$. Если ΔG^\ddagger велико по сравнению с $k_B T$, то в накоплении энергии для преодоления барьера принимает участие большое число молекул. В этом случае каждое простое событие какой-либо реакции (например, разрыв Н-связи) сопровождается изменениями состояния многих молекул. Эти изменения могут быть простыми событиями той же самой или (в более общем случае) других реакций. Тогда они коллективные события. Если же энергетический барьер не очень велик по сравнению с $k_B T$, то число молекул, меняющих свое состояние в ходе отдельного простого собы-

тия, невелико, и такие реакции могут быть неколлективными. Оба типа реакций сосуществуют друг с другом в жидкой фазе, вероятно, при любых температурах. Между ними нет резкой границы. При более высоких температурах вдали от точки стеклования и при очень малых скоростях охлаждения преобладают неколлективные процессы. При низких температурах в окрестности точки стеклования и при не очень малых скоростях охлаждения главную роль играют коллективные реакции. Термины «высокая» и «низкая» температуры имеют смысл только по отношению к точке стеклования определенной жидкой фазы. На рис. 54 приведены примеры зависимости вероятностей p_{la} от l при различных температурах в окрестности точки стеклования. При всех температурах вероятности p_{la} имеют острый максимум, положение которого по мере приближения к точке стеклования сдвигается в направлении больших l . Это означает, что при данных T и P основной вклад в скорость реакции вносит только одна из l -коллективных реакций, например такая, где $\langle l^2 \rangle \simeq m^2$. Тогда

$$\begin{aligned} p_l &\simeq 0 \text{ при } l \neq m; \\ p_l &\simeq 1 \text{ при } l = m. \end{aligned} \quad (\text{IX.67})$$

и в выражении (IX.63) для феноменологического коэффициента коллективной реакции L_k можно ограничиться одним членом:

$$L_k \simeq m^2 k_{ma} \prod_i a_i^{v_i m}, \quad (\text{IX.68})$$

где

$$k_{ma} = \kappa_{ma} \frac{4\pi e k_B T}{h} e^{-\frac{\Delta G_{ma}^\ddagger}{RT}}; \quad (\text{IX.69})$$

$$\Delta G_{ma}^\ddagger = m \Delta G_{ia}^\ddagger, \quad (\text{IX.70})$$

где ΔG_{ia}^\ddagger — вклад одного простого события (а) в свободную энтальпию активации коллективного m -события. Соответственно упрощается и формула (IX.66) для времени релаксации:

$$\tau_{P\ddagger}^{-1} = \langle l^2 \rangle k_{<l>} \prod_i c_i^{v_i l} \left[\sum_i \frac{(\Delta v_i)^2}{c_i} - \frac{(\Delta V)^2}{V_M} \right] = -L_k \left(\frac{\partial A}{\partial \xi} \right)_{PT}. \quad (\text{IX.71})$$

В рассматриваемом здесь случае простой коллективной реакции зависимость свободных энтальпий активации l -событий от температуры имеет вид, схематически изображенный на рис. 50. Иными словами, при заданных условиях реакция перестройки структуры жидкости в ходе теплового движения в основном идет по тому пути, который требует наименьших затрат свободной энтальпии. При температурах, превышающих T_1 , реакция в основном неколлективная. В интервале температур от T_1 до T_2 в реакции главную роль играют коллективные двойные события и т. д.

При точном соблюдении условий (IX.67) зависимость времени релаксации коллективной реакции от температуры была бы ступенчатой.

В действительности, условия (IX.67) выполняются приближенно. Поэтому ступенчатость функции τ от T не наблюдается.

Подчеркнем, что при стекловании реакция перестройки структуры в ходе теплового движения протекает в условиях, отличающихся от термодинамического равновесия. Влияние скорости изменения состояния жидкости можно проиллюстрировать следующей аналогией [43]. Если выстрелить в струю воды, она сломается. С помощью скоростной фотографии можно запечатлеть осколки воды, которые по внешнему виду будут такими же, как и осколки льда. Если бы можно было выполнить мгновенный, как фотографирование при выстреле, рентгеноструктурный анализ этих осколков, то оказалось бы, что дальнего порядка в осколках воды нет, т. е. это действительно вода, а не лед. В неравновесных условиях свободная энтальпия активации коллективных l -событий может оказаться меньше свободной энтальпии активации неколлективных, одиночных событий реакции (IX.50).

Выясним теперь, какая из двух величин L_k или $\left(\frac{\partial A}{\partial \xi}\right)_{PT}$ вносит около точки стеклования основной вклад в зависимость времени релаксации τ от температуры. Вклад рассматриваемой реакции в релаксирующую теплоемкость δC_P , согласно уравнению (VI.183), определяется соотношением

$$\delta C_P = C_P^\circ - C_P^\infty = - \frac{(\Delta H)^2}{n_0 T \left(\partial A / \partial \xi\right)_{PT}}, \quad (\text{IX.72})$$

Здесь C_P° — теплоемкость термодинамически равновесной жидкости; C_P^∞ — теплоемкость при замороженной реакции (IX.50). Иными словами, C_P^∞ представляет собой теплоемкость жидкости, в которой не происходит перестроек структуры. На рис. 55 в качестве примера представлена зависимость теплоемкости C_P глицерина от температуры в кристаллическом и стеклообразном состояниях [57]. При температурах, более низких, чем температура стеклования глицерина $T_g \simeq 185$ К, теплоемкости кристалла и стекла практически совпадают. Экстраполируя этот результат в область температур $T > T_g$, получаем $C_P^\infty \simeq C_P^{\text{крист}}$. Величина $\delta C_P = C_P^\circ - C_P^\infty$, как видно из рис. 55, практически не зависит от температуры. Следовательно, и величина $\left(\frac{\partial A}{\partial \xi}\right)_{PT}$ меняется мало. Но время механической и диэлектрической релаксации жидкого глицерина в интервале температур от T_g до $T_g + 100$ К уменьшается примерно на 11 порядков. Это означает, что зависимость времени релаксации от температуры практически полностью определяется феноменологическим коэффициентом L_k .

Поскольку величина $(\partial A / \partial \xi)_{PT}$ в основном зависит от суммы c_i^{-1} , где c_i — концентрации реагентов, то сказанное выше дает основание полагать, что изменение концентрации ассоциатов в жидкой фазе в окрестности точки стеклования не оказывает существенного влияния и на величину L_k .

Таким образом, зависимость времени релаксации τ_{PT} жидкости от температуры в окрестности точки стеклования определяется, в основ-

ном, константой скорости коллективной реакции k_l . Этот вывод подтверждается расчетами, выполненными для ряда других веществ [52].

Введем обозначение

$$Y = \langle l^2 \rangle k_{\langle l \rangle} \prod_i c_i^{v_i l} \left[\sum_i \frac{(\Delta v_i)^2}{c_i} - \frac{(\Delta V)^2}{V_M} \right] \simeq \text{const.} \quad (\text{IX.73})$$

Тогда уравнение (IX.71) примет вид

$$\tau_{PT}^{-1} = k_{\langle l \rangle} Y = Y' T \exp \left[- \frac{\langle l \rangle \Delta G_1^\ddagger}{RT} \right], \quad (\text{IX.74})$$

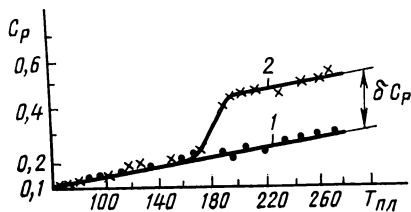


Рис. 55. Температурная зависимость теплоемкости C_p глицерина в кристаллической (кривая 1) и стеклообразной (кривая 2) модификациях [57]

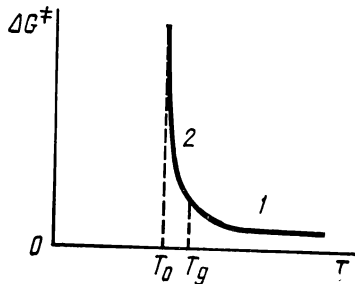


Рис. 56. Температурная зависимость свободной энтальпии активации:

1 — свободная энтальпия активации в жидком состоянии (соответствует равновесной структуре); 2 — свободная энтальпия активации в стеклообразном состоянии

где

$$Y' = 4\pi \kappa'_l k_B Y / h. \quad (\text{IX.75})$$

Если принять $4\pi \kappa'_l = 1$, $\Delta G_1^\ddagger = \Delta G_{1g}^\ddagger$ (см. гл. V), то

$$\tau_{PT}^{-1} = Y_1 \exp \left[- \frac{\langle l \rangle \Delta G_{1g}^\ddagger}{RT} \right], \quad (\text{IX.76})$$

где

$$Y_1 = \frac{k_B T}{h} Y. \quad (\text{IX.77})$$

Для глицерина при температуре стеклования $\simeq 185$ К $\langle l \rangle$ составляет $\simeq 3$. При этом коэффициент вязкости глицерина η достигает 10^{13} П. В интервале между T_g и $T_g + 100$ К вязкость глицерина, а вместе с ней и время акустической релаксации $\tau_{PS} \simeq \tau_{PT}$ уменьшается в 10^{11} раз. Тем не менее трансляционное движение молекул, а следовательно, и реакции разрыва и образования Н-связей в глицерине в точке стеклования не прекращаются. Они практически полностью «вымерзают», т. е. $\eta \rightarrow \infty$ и $\tau \rightarrow \infty$ при температуре T_0 , примерно на 50 К меньшей,

чем температура стеклования. Согласно (IX.76) $\tau \rightarrow \infty$ при $\langle l \rangle \rightarrow \infty$. Иначе говоря, полное прекращение коллективной реакции происходит в условиях, когда свободная энтальпия активации $\Delta G_{\langle l \rangle}^{\neq} = \langle l \rangle \Delta G_1^{\neq}$ обращается в бесконечность. График такой зависимости свободной энтальпии активации от температуры представлен на рис. 56. Такая зависимость ΔG^{\neq} от T в окрестности температуры стеклования хорошо известна [43], она описывается эмпирическим соотношением

$$\Delta G^{\neq} = \Delta G_1^{\neq} \frac{T}{T - T_0}, \quad (\text{IX.78})$$

где ΔG_1^{\neq} — свободная энтальпия активации при температуре $T \gg \gg T_0$, т. е. когда $\frac{T}{T - T_0} \simeq 1$ и влиянием коллективной реакции на тепловое движение молекул жидкости можно пренебречь.

§ 69. УРАВНЕНИЕ ВИЛЬЯМСА — ЛАНДЕЛА — ФЕРРИ И ДРУГИЕ ЭМПИРИЧЕСКИЕ СООТНОШЕНИЯ

Уравнение (IX.76) можно преобразовать к форме, совпадающей с эмпирическим соотношением Вильямса — Ландела — Ферри (ВЛФ). Запишем выражения для τ с помощью (IX.76) при двух температурах — некоторой произвольной температуре T и температуре стеклования T_g . Логарифмируя и находя разность $\lg \tau(T) - \lg \tau(T_g)$, получим:

$$\lg \frac{\tau(T)}{\tau(T_g)} = -\frac{0,43 \Delta G_{1g}^{\neq}}{R} \left[\frac{\langle l_{T_g} \rangle}{T_g} - \frac{\langle l_T \rangle}{T} \right] = -\frac{0,43}{RT_g} \langle l_{T_g} \rangle \left\{ 1 - \frac{T_g}{T} \frac{\langle l_T \rangle}{\langle l_{T_g} \rangle} \right\}. \quad (\text{IX.79})$$

Вводя обозначение

$$C_1^g = \frac{0,43 \langle l_{T_g} \rangle \Delta G_{1g}^{\neq}}{RT_g}, \quad (\text{IX.80})$$

преобразуем (IX.79) далее:

$$\begin{aligned} \lg \frac{\tau(T)}{\tau(T_g)} &= -C_1^g \left\{ \frac{T \langle l_{T_g} \rangle - T_g \langle l_T \rangle}{T \langle l_{T_g} \rangle} \right\} = -C_1^g (T - T_g) \left\{ \frac{T \langle l_{T_g} \rangle - T_g \langle l_T \rangle}{(T - T_g) T \langle l_{T_g} \rangle} \right\} = \\ &= -\frac{C_1^g (T - T_g)}{T - T_g} \left\{ \frac{1}{1 + \frac{T_g \langle l_T \rangle}{T \langle l_{T_g} \rangle - T_g \langle l_T \rangle}} \right\} = -\frac{C_1^g (T - T_g)}{\frac{T_g (T - T_g) \langle l_T \rangle}{T \langle l_{T_g} \rangle - T_g \langle l_T \rangle} + T - T_g} = \\ &= -\frac{C_1^g (T - T_g)}{C_2^g + (T - T_g)}, \end{aligned} \quad (\text{IX.81})$$

где

$$C_2^g = \frac{T_g (T - T_g) \langle l_T \rangle}{T \langle l_{T_g} \rangle - T_g \langle l_T \rangle}. \quad (\text{IX.82})$$

Уравнение (IX.81) внешне совпадает с уравнением ВЛФ [47]

$$\lg \frac{\tau(T)}{\tau(T_g)} = - \frac{C_1^g (T - T_g)}{C_2^g + (T - T_g)}. \quad (\text{IX.83})$$

Но в уравнении Вильямса — Ландела — Ферри C_1^g и C_2^g представляют собой некоторые константы, сохраняющие приблизительное постоянство для групп веществ, сходных по составу. Уравнение ВЛФ чаще применяют в несколько иной форме. При температуре стеклования T_g время релаксации очень велико, порядка 10^2 с, и его трудно измерять. Поэтому удобнее пользоваться вместо температуры T_g какой-либо другой более высокой температурой T_s , отстоящей от T_g , например, на 50 К:

$$T_s = T_g + 50 \text{ К}. \quad (\text{IX.84})$$

Тогда уравнение (IX.83) приобретает следующую форму:

$$\lg \frac{\tau(T)}{\tau(T_s)} = \lg a_T = - \frac{C_1 (T - T_s)}{C_2 + (T - T_s)}, \quad (\text{IX.85})$$

где

$$C_1 = \frac{C_1^g C_2^g}{[C_2^g + (T_s - T_g)]}; \quad (\text{IX.86})$$

$$C_2 = C_2^g + T_s - T_g. \quad (\text{IX.87})$$

В [47] приводятся следующие величины эмпирических постоянных C_1 и C_2 при $T_s \simeq T_g + 50 \text{ К}$: $C_1 = 8,86$; $C_2 = 101,6 \text{ К}$; тогда $C_1^g = 17,4$; $C_2^g = 51,6 \text{ К}$.

Физический смысл эмпирического коэффициента C_1^g следующий. C_1^g характеризует связь между свободной энтальпией активации неколлективной реакции (IX.50) и температурой стеклования системы T_g , когда реакция (IX.50) коллективная и среднее значение чисел простых событий $\langle l_{T_g} \rangle$ в элементарных событиях коллективной реакции настолько велико, что происходит стеклование системы. Если, как это обычно бывает, температура T находится в области, где отклонения от уравнения Аррениуса велики, то коллективный характер реакции выражен отчетливо, $\langle l_T \rangle$ больше единицы. Если для какой-либо группы веществ параметр C_1^g приблизительно постоянен, то в этом ряду веществ при равенстве $\langle l_{T_g} \rangle$ температура стеклования должна быть тем ниже, чем меньше свободная энтальпия активации ΔG_1^\ddagger неколлективной реакции (IX.50).

Рассмотрим в качестве примера три спирта: пропанол, пропиленгликоль и глицерин. Из экспериментальных данных, приведенных в работе [62], вытекает, что параметры C_1^g и C_2^g уравнения ВЛФ для этих жидкостей имеют следующие значения:

	$T_g, \text{ К}$	C_1^g	$C_2^g, \text{ К}$	$\Delta G_{1\eta}^\ddagger, \text{ кДж/моль}$
Пропанол	98	18,4	25	15 ± 4
Пропиленгликоль . . .	160	19,2	40	20 ± 4
Глицерин	185	18,1	53	31 ± 4

В области температур $T \gg T_g$ свободная энтальпия активации акустической релаксации пропанола $\Delta G_{1\alpha}^\ddagger$ и вязкого течения $\Delta G_{1\eta}^\ddagger$ практически совпадают [31]. Пользуясь значениями $C_1^g = 18,4$ и $\Delta G_{1\eta}^\ddagger = 15$ кДж/моль, получаем с помощью уравнения (IX.80) параметр $\langle lT_g \rangle$ для пропанола, равным 2,5. Это означает, что коллективные события реакций, приводящих в ходе теплового движения к локальным изменениям структуры пропанола в точке стеклования, т. е. при 98 К, в среднем состоят из 2,5 простых событий реакций разрыва одной Н-связи.

Предположим теперь, что в силу очевидного сходства упомянутых реакций, протекающих при тепловом движении в жидких спиртах, величина $\langle lT_g \rangle$ для всех трех спиртов одна и та же. Тогда из уравнения (IX.80) следует, что $\Delta G_{1\eta}^\ddagger$ пропиленгликоля должна быть равна 24 кДж/моль, а для глицерина 27 кДж/моль, что в пределах ошибок опыта согласуется с величинами, приведенными в таблице.

Что касается C_2^g , то, как следует из уравнения (IX.82), величина этой эмпирической постоянной в действительности должна зависеть от T . В эмпирическом уравнении Вильямса — Ландела — Ферри C_2^g имеет смысл некоторой средней, эффективной величины теоретической функции C_2^g для определенного интервала температур $\Delta T = T_s - T_g$ выше T_g -интервала, в котором $\ln \tau$ нелинейно зависит от T^{-1} .

$$C_2^g \text{ эмпи} \simeq \frac{T_g}{\Delta T} \int_{T_g}^{T_s + \Delta T} \frac{(T - T_g) \langle lT \rangle dT}{T \langle lT_g \rangle - T_g \langle lT \rangle}. \quad (\text{IX.88})$$

Эмпирическая величина C_2^g в уравнении ВЛФ существенно зависит от природы жидкой фазы. Так, для ряда органических полимеров, у которых температура стеклования T_g находится в интервале от 200 до 300 К, $C_2^g = 50$ К [58]. У неорганических оксидов, где связи между структурными элементами жидкой фазы обычно прочнее, чем в органических полимерах, T_g располагается между 600 и 800 К и C_2^g составляет около 300 К [59]. Эмпирические величины C_1^g и C_2^g в уравнении ВЛФ служат подгоночными параметрами. Естественно, величины их взаимосвязаны и, выбирая определенное значение для C_1^g , нужно соответственно подобрать и величину C_2^g , чтобы температурная зависимость τ приблизительно соответствовала опыту. Так как в действительности C_2^g , согласно уравнению (IX.82), непостоянная — она зависит от температуры, то эмпирическое уравнение ВЛФ при температурах, существенно превышающих T_g , приводит к неправильным результатам. При $T \gg T_g$ эмпирическое уравнение ВЛФ (IX.83) принимает следующую форму:

$$\tau^{-1} \sim \exp \left\{ - \frac{2,3 RC_1^g C_2^g}{RT} \right\}. \quad (\text{IX.89})$$

Это соотношение имеет тот же вид, что и уравнение Аррениуса. Энергия активации процесса релаксации $E_A = 2,3 RC_1^g C_2^g$ для всех жидкостей, следующих уравнению ВЛФ с заданными значениями C_1^g и C_2^g , должна быть одинаковой, что не соответствует действительности.

В литературе часто встречается другая эмпирическая формула, описывающая зависимость τ от T в окрестности температуры стеклования:

$$\lg \tau = A + \frac{B}{T - T_0}, \quad (\text{IX.90})$$

где T_0 — температура, при которой время релаксации $\tau \rightarrow \infty$. Температура T_0 лежит ниже температуры стеклования T_g . Если ввести обозначения

$$C_1^0 = \frac{B}{T_g - T_0}; \quad C_2^0 = T_g - T_0, \quad (\text{IX.91})$$

то эмпирическое соотношение (IX.90) легко преобразуется к выражению вида (IX.76). Сопоставляя (IX.91) и (IX.76), получаем:

$$\frac{2,3B}{T - T_0} = \frac{\langle l \rangle \Delta G_{1g}^\ddagger}{RT}. \quad (\text{IX.92})$$

Пользуясь уравнениями (IX.79)—(IX.81) и (IX.91), можно преобразовать (IX.90) к соотношению, по форме совпадающему с уравнением ВЛФ.

Согласно (IX.76)—(IX.92) при температуре стеклования в жидкой фазе релаксационный процесс характеризуется одним временем релаксации. В ряде случаев это соответствует действительности [47]. Но нередко бывает и так, что в жидкой фазе при температурах, далеких от стеклования, наблюдается в основном один релаксационный процесс, а при понижении температуры возникает спектр времен релаксации, ширина которого увеличивается при $T \rightarrow T_g$ [7, 29, 47, 60]. Причина такого расхождения между теорией коллективных реакций и опытом состоит в том, что здесь мы ограничились описанием простой коллективной реакции.

В случае сложных коллективных реакций, о которых будет сказано далее, теория показывает, что коллективная реакция может сопровождаться уширением спектра времен релаксации.

Стеклование — кинетический фазовый переход второго рода. Из общих соображений, связанных с выводом выражений (IX.42), (IX.43), (IX.54) для чисел n_{1g} , следует, что среднее число $\langle l \rangle$ простых событий в элементарных событиях коллективной реакции[†](а) представляет собой монотонно возрастающую функцию среднего радиуса корреляции простых событий R_c . При $\langle l \rangle \rightarrow 1$, $R_c \rightarrow 0$, при $\langle l \rangle \rightarrow \infty$, $R_c \rightarrow \infty$. Поэтому резкое возрастание времени релаксации в области стеклования можно рассматривать как результат увеличения R_c при понижении температуры. Корреляция простых событий — причина стеклования. При температуре стеклования T_g рост радиуса корреляции не прекращается и время релаксации не стремится к бесконечности. Температура T_g представляет собой условную характеристику явлений стеклования, не имеющую вполне определенного физического смысла. Наибольший интерес представляет температура T_0 , где $\langle l \rangle$, R_c и τ стремятся к бесконечности. Это температура, при которой релаксация «вымерзает». Иначе говоря, прекращает существование один или несколько элементарных механизмов теплового движения в жидкой

фазе, приводящих к трансляционному движению частиц жидкости. Поэтому температуру T_0 можно рассматривать как температуру, при которой происходит кинетический фазовый переход второго рода в неравновесной системе; можно сказать, что это кинетическая критическая точка. Как показал в 1947 г. В. К. Семенченко [61], понятия «фазовые переходы второго рода» и «критические явления», по своему физическому содержанию родственны. Читателю, интересующемуся современными представлениями о фазовых переходах второго рода и критических явлениях, следует ознакомиться с книгами [41], [62], [63].

§ 70. СЛОЖНЫЕ КОЛЛЕКТИВНЫЕ РЕАКЦИИ

Терминология и обозначения. Рассмотрим систему, в которой происходят две коллективные реакции. Простые события этих реакций можно описать уравнениями

$$\sum_i v_{i1} M_i \rightleftharpoons \sum_i v'_{i1} M_i \quad (\text{IX.93})$$

$$\sum_i v_{i2} M_i \rightleftharpoons \sum_i v'_{i2} M_i \quad (\text{IX.94})$$

Допустим, что в ходе этих реакций возможна корреляция как между простыми событиями одной и той же реакции (IX.93) или (IX.94), так и между простыми событиями различных реакций. Обобщение развитого выше формализма для корреляционных функций реакции на случай двух или большего числа реакций не вызывает принципиальных затруднений и оно здесь не приводится. Обозначим простые события реакций (IX.93) и (IX.94) двумя индексами α и q . Индекс « α » обозначает номер реакций ($\alpha = 1, 2$); индекс « q » обозначает прямую ($q = 1$) или обратную ($q = 2$) реакции.

Рассмотрим реакции (IX.93) и (IX.94) около состояния термодинамического равновесия. Пусть в единицу времени в единице объема жидкости происходит $n_{l_{11}}, l_{12}, l_{21}, l_{22}$ элементарных событий, в которых коррелированно имеет место l_{11} простых событий прямой реакции (IX.93), l_{12} простых событий обратной реакции (IX.93), l_{21} простых событий прямой реакции (IX.94) и l_{22} простых событий обратной реакции (IX.94). Те коллективные события, в которых происходит одинаковое число простых событий прямой и обратной реакции (IX.93) и одинаковое число простых событий прямой и обратной реакций (IX.94) рассматриваться не будут. Если в какой-либо области ΔV жидкости происходят такие коллективные события, что

$$l_{11} = l_{12}; \quad l_{21} = l_{22}, \quad (\text{IX.95})$$

то эти события не изменяют состояние системы в области ΔV .

Пусть в системе происходит не две, а r реакций. Все множество событий (неколлективных и коллективных) можно разбить на два подмножества: подмножество смешанных событий и подмножество несмешанных событий. Смешанные события состоят из простых событий различных реакций α ($\alpha = 1, 2, \dots, r$). Несмешанные коллективные события состоят из одинаковых событий одной и той же реакции α (прямой или обратной). Если подмножество смешанных коллективных

событий пусто, в системе могут происходить только несмешанные коллективные события. Если в системе не происходит коллективных событий, то подмножество несмешанных событий состоит из неколлективных событий реакций αq (напомним, что индекс $q = 1$ обозначает прямую реакцию α , а индекс $q = 2$ — обратную реакцию α).

Для двух коллективных реакций (IX.93), (IX.94) множество чисел различных коллективных событий, происходящих в единицу времени в единице объема жидкости, $n_{l_{11}, l_{12}, l_{21}, l_{22}} = \{n_{l_{\alpha q}}\}$ может быть представлено как сумма трех непересекающихся подмножеств двумя различными способами:

$$\{n_{l_{\alpha q}}\} = \{n_{l_{\alpha q}}, l_{11} > l_{12}\} \cup \{n_{l_{\alpha q}}, l_{11} < l_{12}\} \cup \{n_{l_{\alpha q}}, l_{11} = l_{12}\}; \quad (\text{IX.96})$$

$$\{n_{l_{\alpha q}}\} = \{n_{l_{\alpha q}}, l_{21} > l_{22}\} \cup \{n_{l_{\alpha q}}, l_{21} < l_{22}\} \cup \{n_{l_{\alpha q}}, l_{21} = l_{22}\}, \quad (\text{IX.97})$$

где U — знак суммы множеств. Определим подмножества $T_1, T_2, T_{\alpha q}$ соотношениями:

$$T_1 = \{n_{l_{\alpha q}}, l_{11} > l_{12}\} \cup \{n_{l_{\alpha q}}, l_{11} < l_{12}\} \equiv T_{11} \cup T_{12}; \quad (\text{IX.98})$$

$$T_2 = \{n_{l_{\alpha q}}, l_{21} > l_{22}\} \cup \{n_{l_{\alpha q}}, l_{21} < l_{22}\} \equiv T_{21} \cup T_{22}. \quad (\text{IX.99})$$

Простые события реакции αq участвуют только в коллективных или неколлективных событиях, входящих в подмножество $T_{\alpha q}$.

Две реакции. Феноменологические коэффициенты. Приведем без вывода результаты расчета феноменологических коэффициентов сложных коллективных реакций. Если в системе протекает две коллективные реакции (IX.93) и (IX.94), то можно показать [66], что матрица L_k системы, состоящей из двух коллективных реакций, симметрическая. Элементы матрицы L_k имеют вид

$$L_{\alpha\alpha} = \frac{V}{RTN_A} \langle (l_{\alpha 1} - l_{\alpha 2})^2_{\alpha 1} \rangle \sum_{\{l_{\alpha q} \in \alpha 1\}} n_{\{l_{\alpha q}\}}, \quad (\text{IX.100})$$

где символ $\{l_{\alpha q} \in \alpha 1\}$ обозначает, что суммирование производится по элементам подмножества $T_{\alpha 1}$;

$$L_{\alpha\beta} = L_{\beta\alpha} = \frac{V}{RTN_A} \langle (l_{\alpha 1} - l_{\alpha 2})(l_{\beta 1} - l_{\beta 2}) \rangle_{\alpha 1} \sum_{\{l_{\alpha q} \in \alpha 1\}} n_{\{l_{\alpha q}\}}. \quad (\text{IX.101})$$

Таким образом, в более общем случае, когда в системе происходит две коллективные реакции, матрица L_k может быть недиагональной. Недиagonalность матрицы L_k может представлять собой следствие корреляции простых событий двух различных коллективных реакций (IX.93) и (IX.94). Можно показать, что в общем случае недиагональность матрицы L_k означает расширение спектра времен релаксации систем, связанных с реакциями (IX.93) и (IX.94) [64].

Предположим, что исследуется акустическая релаксация в системе, где одна из двух реакций (IX.93), (IX.94) акустически ненаблюдаема, так как связанные с ней тепловой и объемный эффекты равны нулю. Для нахождения времен релаксации необходимо решить уравнение (см. гл. VII)

$$\frac{1}{\tau} \mathbf{x} = \mathbf{L}_k \mathbf{P} \mathbf{x}. \quad (\text{IX.102})$$

Выражения для элементов матрицы \mathbf{P} , т. е. $\left(\frac{\partial A_\alpha}{\partial \xi_\beta} \right)_{xy}$, как уже говорилось, не зависят от того, коллективная реакция или неколлективная.

Если обе реакции (IX.93) и (IX.94) неколлективные и нормальные, то в рассматриваемом случае будет наблюдаться только одно время акустической релаксации. Но если реакции (IX.93) и (IX.94) коллективные, то элементы матрицы феноменологических коэффициентов изменяются. Тогда даже при отсутствии корреляции между событиями реакций (IX.93) и (IX.94) матрица $\mathbf{L}_k \mathbf{P}$ может стать недиагональной лишь потому, что изменятся диагональные элементы матрицы \mathbf{L}_k . Собственные векторы \mathbf{x} в этом случае имеют две отличные от нуля компоненты. Это означает, что в такой системе при понижении температуры переход к коллективным реакциям будет сопровождаться возникновением новой простой области акустической релаксации. «Невидимая» акустическими методами реакция в результате возникновения корреляции с простыми событиями второй реакции становится акустически наблюдаемой. При этом в первом приближении общий вклад обоих релаксационных процессов в релаксирующую адиабатическую сжимаемость не изменяется, иными словами, происходит перераспределение вкладов реакций в суммарную дисперсию скорости звука при постоянстве последней.

Приведенные здесь результаты обобщены в работах [64] на случай r реакций. В этом случае спектр времен релаксации при понижении температуры может стать более сложным.

Таким образом, теория коллективных реакций в принципе позволяет объяснить с единой точки зрения экспериментальные факты, наблюдаемые при исследовании жидкостей в области стеклования, и установить связь между явлениями стеклования и механизмами быстрых реакций, протекающих в жидкостях при температурах, далеких от области стеклования.

ЛИТЕРАТУРА

1. Дьярмати И. Неравновесная термодинамика. Теория поля и вариационные принципы. — М., Мир; 1974.
2. Де Гроот С., Мазур П. Неравновесная термодинамика. — М., Мир; 1964.
3. Шахпаронов М. И. Введение в современную теорию растворов. — М.: Высшая школа; 1976.
4. Meixner J. Ann. der Phys.; 1941; 39; 333; Zs. phys. chem.; 1943; B.53; 235.
5. Леонтович М. А. Статистическая физика. — М. — Л.: ОГИЗ; Гостехиздат; 1944.
6. Alder B., Wainwright T. J. Chem. Phys. 1957; 27; 1208.
7. Физическая акустика/Под ред. У. Мэзона. — М., Мир; 1968; II часть А.
8. Шахпаронов М. И. — ЖВХО им. Д. И. Менделеева; 1975; 20; 43.
9. Шахпаронов М. И. Введение в молекулярную теорию растворов. — М.: Гостехиздат, 1956.
10. Фрелих Г. Теория диэлектриков. — М.: ИЛ, 1960.
11. Шахпаронов М. И., Высоцкая В. И., Левин В. В. — В сб.: Современные проблемы физической химии, 1970, 5, с. 480.
12. Шахпаронов М. И., Зиновьев О. И. — В сб.: Физика и физико-химия жидкостей, 1973, 2, 5.

13. Шахпаронов М. И. — В сб.: Современные проблемы физической химии; 1970, 5, 3.
14. Шахпаронов М. И. — Вестн. МГУ. — Химия, 1969, 10, № 3, 3.
15. Дуров В. А. — В сб.: Физика и физико-химия жидкостей, 1976, 3, 125.
16. Беллман Л. Введение в теорию матриц. — М.: Наука. 1969.
17. Гантмахер Ф. Р. Теория матриц. — М.: Наука, 1967.
18. Oster G., Kirkwood J. G. J. Chem. Phys. 1943, 11, 175.
19. Brot P. C. Ann. de phys., 1957, 3, 714.
20. Dannhauser W., Bahe L. W. J. Chem. Phys. 1964, 40, 3058.
21. Левин В. В. — В сб.: Физика и физико-химия жидкостей, 1972, 1, 176.
22. Пригожин И., Дефей Р. Химическая термодинамика. — Новосибирск: Наука; 1966.
23. Лиснянский Л. И. — ЖФХ, 1971, 45, 1059.
24. Маринов К. Д., Шахпаронов М. И. — Вестн. МГУ, 1974, № 1, 49.
25. Смирнова Н. А., — В сб.: Химия и термодинамика растворов, 1968; 2: 3.
26. Комаров Е. В., Кардо-Сысоева Л. Г., Пшеницына Е. Л., — В сб.: Химия и термодинамика растворов, 1973, 3, 128.
27. Усачева Т. М. Кандидатская диссертация. — Химфак МГУ, 1977.
28. Усачева Т. М., Шахпаронов М. И. — В сб.: Современные проблемы физической химии, 1980, т. 12.
29. Сперкач В. С., Шахпаронов М. И. — Акуст. журн., 1975, 21, 276. — В сб.: Физика и физико-химия жидкостей. 1976, 3, 64.
30. Внутреннее вращение молекул. Под ред. Орвилл-Томаса В. Д. — М.: Мир, 1977.
31. Хабибуллаев П. К., Шахпаронов М. И. — Вестн. МГУ. — Химия, 1971, № 1, 3.
32. Верблян Л. В., Сперкач В. С., Шахпаронов М. И. — Акуст. журн., 1973, 19, 448.
33. Meakins R. I. Austr. J. Chem., 1953, 6, 104
34. Harris F. E., Haycock E. W. J. Chem. Phys., 1953, 21, 11.
35. Davis J. C., Pitzer K., Rao C. N. J. Phys. Chem., 1960, 64, 1744.
36. Казанцева С. И., Шахпаронов М. И., Левин В. В. — В сб.: Физика и физико-химия жидкостей 1976, 3, 52.
37. Шахпаронов М. И. — ДАН СССР, 1967, 175, 1097.
38. Хабибуллаев П. К., Шахпаронов М. И. — Акуст. журн., 1972, 18, 365.
39. Зиновьев О. И. Кандидатская диссертация. — Химфак МГУ, 1974.
40. Хуанг К. Статистическая механика. — М.: Мир, 1966, гл. 16.
41. Паташинский А. З., Покровский В. Л. Флуктуационная теория фазовых переходов. — М.: Наука, 1975.
42. Анисимов М. А. — УФН, 114, 249, 1974.
43. Бартенев Г. М., Зеленов Ю. В. Курс физики полимеров. — Л.: Химия, 1976.
44. Перепечко И. И. Свойства полимеров при низких температурах. — М.: Химия, 1972.
45. Френкель Я. И. Кинетическая теория жидкостей. — М.: Изд. АН СССР, 1945.
46. Уббелолде. Плавление и кристаллическая структура. — М.: Мир, 1969.
47. Ферри Д. Вязкоупругие свойства полимеров. — М.: ИЛ, 1963.
48. Fondy A. J. Phys. Chem., 1954, 58, 929.
49. Татевский В. М. Строение молекул. — М.: Химия, 1977.
50. Сандитов Д. С., Бартенев Г. М. ЖФХ. 1972, 46, 2214.
51. Lennard-Jones I. E., Devonshire A. F. Proc. Roy. Soc., 1937, A 163, 63.
52. Шахпаронов М. И., Дуров В. А., — Вестн. МГУ. — Химия, 1976, № 6, 679. ЖФХ, 1979, 53, 1401.
53. Дуров В. А., Шахпаронов М. И. ЖФХ. 1979, 53, 1833, 2251, 2256, 2456.
54. Бартенев Г. М., Лукьянов И. А. — ЖФХ, 1955, 29, 1486.
55. Бартенев Г. М. — ДАН СССР, 1951, 75, 227.
56. Бартенев Г. М. Строение и механические свойства неорганических стекол. — М.: Госстройиздат, 1966.
57. Ксбеко П. П. Аморфные вещества. — М.— Л.: Изд. АН СССР, 1952.

58. Сандитов Д. С., Бартенев Г. М. — ВМС, 1972, Б14, 882.
 59. Beastul B. A. Glasstedin. Berichte, 1959, 32, 59.
 60. Dawidson D. W., Cole R. H. J. Chem. Phys., 1951, 19, 1484.
 61. Семенченко В. К. — ЖФХ; 1947; 21; 1461; 1951; 25; 121.
 62. Базаров И. П. Термодинамика. — М.: Высшая школа; 1976.
 63. Румер Ю. Б., Рывкин М. Ш. Термодинамика; статистическая физика и кинетика. — М.: Физматгиз, 1977.
 64. Дуров В. А., Кандидатская диссертация. Химфак МГУ, 1977; ЖФХ, 1979, 53, 3086, 3092.

ПРИЛОЖЕНИЕ

О других вариантах теории [1—3] констант скоростей реакций

Второй вариант теории [1—3]. Следуя [1—3], примем, что реакция разложения молекулы A^{\ddagger} соответствует движению вдоль одной из координат комплекса с частотой ν_c , причем $\nu_c = k_B T/h$. Тогда вклад движения вдоль координаты в статистическую сумму равен:

$$(1 - e^{-h\nu_c/k_B T})^{-1} \approx k_B T/h\nu_c. \quad (A.1)$$

«Скорость, с которой происходит разложение, т. е. скорость перехода через барьер, можно принять равной частоте ν_c колебания активированного комплекса вдоль координаты реакции, так как каждое колебание приводит к распаду». Произведение $k_B T/h\nu_c$ на ν_c равно $k_B T/h$ [1].

В этом варианте, кроме того, что было сказано в § 17, возникают следующие трудности. После прохождения вершины барьера, при перемещении в направлении координаты реакции, потенциальная энергия уменьшается. Поэтому силовая постоянная отрицательна. Но тогда не ясен физический смысл понятия о частоте колебаний ν_c .

При 300 К величина $k_B T/h$ равна $6 \cdot 10^{12} \text{ с}^{-1}$, т. е. около 200 см^{-1} . Чтобы выполнялось неравенство $\nu_c \ll \frac{k_B T}{h}$, нужно, чтобы ν_c было порядка 20 см^{-1} .

Третий вариант [2]. Приведем анализ этого варианта, имеющийся в статье Пальма [4]. Под активированным комплексом в [2], как и в [1], понимается состояние системы на вершине потенциального барьера при движении вдоль координаты реакции. Авторы книги [2] утверждают, что предлагаемый ими вариант теории не основывается на предположении о существовании равновесия между активированными комплексами и исходными реагентами. Как уже говорилось в § 17, это предположение представляет собой одно из наиболее уязвимых пунктов теории. В уравнении (16.16) на с. 412 кн. [2] имеется множитель

$$\sum_n \omega_n e^{-E_n/k_B T}. \quad (A.2)$$

На с. 411 кн. [2], т. е. в начале вывода, этот множитель фигурирует как сумма состояний исходной конфигурации системы за исключением степени свободы движения вдоль координаты реакции. Предполагается, что в этой исходной конфигурации распределение энергии между различными степенями свободы равновесное по отношению к исходным веществам. Весь вывод построен на предположении, что состояния, обозначенные индексом n , равновесны с исходными веществами. Но в конечных выражениях (16.16) и (16.17) кн. [2] множитель (A.2) трактуется как сумма состояний активированного комплекса. Если состояния n действительно относятся к первоначальной конфигурации, то тогда они не могут рассматриваться как состояния активированного комплекса. Если же они относятся к активированному комплексу, то тем самым опять-таки допускается предположение о равновесной с исходными веществами концентрации активированных комплексов. Таким образом, третий вариант теории не имеет преимуществ по сравнению с первыми двумя.

О работе Хориути. Теория активированного комплекса рассматривается также в статье Хориути [5]. В начале этой статьи обсуждается правомерность постулата о равновесии между исходными реагентами и активированным комплексом.

«Наиболее распространенным, хотя и не очевидным, — пишет Хориути, — является предположение о существовании химического равновесия между реакционноспособными и неактивными молекулами, которое выдвинул впервые еще С. Аррениус для объяснения температурной зависимости скорости реакции. Очевидно, оно противоречит самому факту протекания реакции; предполагается, однако, что равновесие существенно не нарушается. Аналогичное предположение о существовании указанного равновесия сохраняется и в теории активированного комплекса (или переходного состояния).

Введение условия равновесия связано с тем, что этот прием позволяет рассчитывать с помощью соответствующих сумм по состояниям скорость элементарной реакции. Противоречия, содержащиеся в этом постулате теории активированного комплекса, не раз подвергались обсуждению и критике, в частности, в работах советских авторов. Однако до сих пор не было предложено такой теории, которая не пользовалась бы упомянутым условием химического равновесия.

Действительно, можно ли получить правильное значение скорости элементарной реакции, применяя условие равновесия?

Следующая модель, дополняющая модель Аррениуса, показывает, что как при равновесии, так и при его отсутствии скорость элементарной реакции получается одинаковой. Модель состоит из отверстий A и B , разделенных тонкой перегородкой с малым отверстием; отделение A содержит газ при тепловом равновесии, в отделении B — вакуум. Диаметр отверстия выбирается таким, чтобы поток газа был молекулярным. Молекула газа представляет собой реакционный комплекс, причем в отделении A она является начальным комплексом, в отделении B — конечным, а молекула, попадающая в отверстие, соответствует критическому состоянию.

Пусть \vec{v} — скорость, с которой молекулы из A переходят в B , а \vec{v}' — скорость, с которой молекулы пересекают площадь отверстия со стороны A . При условии, что стенка очень тонка, $\vec{v} = \vec{v}'$. Очевидно, что на \vec{v} и \vec{v}' не должно влиять присутствие газа в B . (Равенство давлений газа в A и B соответствует равновесию системы в целом.) Если отождествлять \vec{v} со скоростью элементарной реакции, то, во-первых, скорость этой реакции не будет зависеть от того, имеется ли равновесие в системе или нет, а, во-вторых, $\vec{v} = \vec{v}'$ в обоих этих случаях. Второй вывод означает, что все критические комплексы переходят в конечный комплекс. Назовем эту модель эффузионной.

Возможна другая модель, соответствующая схеме Нернста — Христиансена. В этой модели толщина стенки достаточно велика, а длина отверстия значительно больше его поперечного сечения. Следовательно, в этом канале молекулы могут сталкиваться друг с другом или со стенками, меняя направление или импульс.

Тогда $\vec{v}' > \vec{v}$ как в случае наличия газа в B , так и в его отсутствие. Эта модель называется диффузионной (кнудсеновская диффузия) и соответствует введению трансмиссионного коэффициента в теории активированного комплекса.

Модель Аррениуса развивалась в работах Мак-Льюиса, Пельцера и Вигнера до введения Эйрингом, Эвансом и Поляни метода переходного состояния. Как упоминалось, этот метод не свободен от возражений. В частности, в нем сохраняется традиционное положение о существовании равновесия между начальным и критическим комплексом, которое лежит в основе метода. Сейчас на этот вопрос можно ответить тем, что считать реакционный комплекс эффузионным. Хотя равновесное соотношение и не является самоочевидным, как полагают авторы, но из-за этого предположения нельзя считать метод непригодным (Фаулер, Гуггенгейм, Вейс), так как скорость элементарной реакции получается правильной даже при таком предположении» [5].

Надо иметь в виду следующее. Во-первых, в теории активированного комплекса речь идет о константах скоростей реакций k , а не о скоростях \vec{v} , что не одно и то же. Затем, если молекулы газа в отделении B не находятся в тепловом

равновесии с молекулами газа в A , то скорость молекул газа \vec{v} в A будет зависеть от состояния газа в B , поскольку стенка, разделяющая газы, проницаема в обоих направлениях. Поэтому средняя скорость молекул \vec{v} в начале процесса, когда в отделении B газа нет, и в ходе процесса, когда молекулы в B появляются, не обязана быть одинаковой. Далее, для очень малых отверстий квантовая неопределенность скорости \vec{v} сравнима с самой величиной \vec{v} . Следовательно, равенство $\vec{v} = \vec{v}'$ не обосновано даже для случая теплового равновесия. Вопрос о том, может ли диффузионная модель быть аналогом химической реакции, в [5] не рассматривается и остается открытым. Большая часть статьи Хориути посвящена обоснованию уравнения Бренстеда — Бьеррума для неидеальных систем с помощью методов, аналогичных тем, которые изложены в работах [1,2]. При этом вводится коэффициент активности переходного комплекса, т. е. величина, методы определения которой отсутствуют.

ЛИТЕРАТУРА

1. С. Глестон, К. Лейдлер, Г. Эйринг. Теория абсолютных скоростей реакций. — М.: ИЛ, 1948.
2. Г. Эйринг, Д. Уолтер, Д. Кимбалл. Квантовая химия. — М.: ИЛ, 1948.
3. Д. Хендерсон, Г. Эйринг. — В сб.: Нестехиометрические соединения. — М.: Химия, 1971, с. 60.
4. В. А. Пальм. — ЖФХ, 1955, 29, 1116.
5. Д. Хориути. — Журнал ВХО им. Д. И. Менделеева, 1959, 4, 783.

ОБЩАЯ ЛИТЕРАТУРА

1. Эмануэль Н. М., Кнорре Д. Г. Курс химической кинетики. — М.: Высшая школа, 1974.
2. Колдин Е. Быстрые реакции в растворе. — М.: Мир, 1966.
3. Методы исследования быстрых реакций/Под ред. Г. Хеммиса. — М.: Мир, 1977.
4. Шахпаровов М. И. Введение в современную теорию растворов. — М.: Высшая школа, 1976.
5. Кириллин В. А., Шейндлин А. Е. Термодинамика растворов. — М. — Л.: Госэнергоиздат, 1956.
6. Базаров И. П. Термодинамика. — М.: Высшая школа, 1976.
7. Физическая акустика/Под ред. У. Мэзона. — М., Мир; 1968; т. II; ч. А.
8. Дьярмати И. Неравновесная термодинамика. Теория поля и вариационные принципы. — М.: Мир, 1974.
9. Пригожин И. Введение в термодинамику необратимых процессов. — М.: ИЛ, 1960.
10. Пригожин И., Дефей Р. Химическая термодинамика. — Новосибирск; Наука; 1966.
11. Михайлов И. Г., Соловьев В. А., Сырников Ю. П. Основы молекулярной акустики. — М.: Наука; 1964.
12. Фрелих Г. Физика диэлектриков. — М.: ИЛ, 1960.
13. Фабелинский И. Л. Молекулярное рассеяние света. — М.: Наука, 1965.
14. Бартенев Г. М., Зеленов Ю. В. Курс физики полимеров. — Л.: Химия; 1976.
15. Перепечко И. И. Введение в физику полимеров. М.: Химия, 1978.

ОСНОВНЫЕ ОБОЗНАЧЕНИЯ

В книге рассматривается большое число различных величин, поэтому иногда возникает необходимость применять одно и то же буквенное обозначение для различных величин. Эти случаи оговорены в тексте. Статистические средние величины обозначены угловыми скобками $\langle \dots \rangle$; $\{ \dots \}$ — обозначение множества некоторых величин; векторные величины и обозначения матриц напечатаны жирным шрифтом. Узкоспециальные обозначения, употребляющиеся с соответствующими пояснениями лишь в одном каком-либо месте текста в указатель не входят.

$0, \infty$ — индексы при величинах в случае квазистатистических (0) и мгновенных (∞) изменений	\mathcal{E}_0 — вектор напряженности внешнего поля
A, A_α — сродство реакции (реакции α)	F — свободная энергия
A — постоянная уравнения (V.103)	f_i — коэффициент активности вещества i
A^\neq — активный комплекс	$F_2^a(R), F_2^{a'}(R)$ — функции корреляции простых событий прямой (a) или обратной (a') реакции
A^+ — переходное состояние активного комплекса	G — свободная энтальпия
a — вектор-столбец с компонентами A_α	\mathbf{G} — матрица из элементов $-(\partial A_\alpha / \partial \xi_\beta)_{PT}$
a_i — активность вещества i	ΔG^\neq — свободная энтальпия активации реакции
B — изокинетическая температура	ΔG_k^\neq — кажущаяся величина ΔG^\neq
b_a, b_d — релаксационная сила процесса акустической (b_a), диэлектрической (b_d) релаксации	H — энтальпия
c — скорость света в вакууме, скорость звука	ΔH — тепловой эффект реакции $(\partial H / \partial \xi)_P$
c_i, c_0 — концентрация в молях/литр вещества i ; $c_0 = \sum_i c_i$	ΔH^\neq — энтальпия активации реакции
$[c]$ — размерный множитель (литр/моль) $^n \cdot c^{-1}$	h — постоянная Планка; $\hbar = h/2\pi = 1,0545 \times 10^{-34}$ Дж·с $^{-1}$
c^{-1} — диагональная матрица из элементов c_i^{-1}	I — интенсивность луча света
C_P, C_V — молярные теплоемкости при постоянном давлении и постоянном объеме	\mathbf{I} — единичная матрица
δC — релаксирующая часть молярной теплоемкости	I, I_i — необратимый поток
D — вектор электрической индукции	k, k_α, k_1, k_c — константы скорости прямой реакции
E — потенциальная энергия системы	$k', k'_\alpha, k'_1, k'_c$ — константы скорости обратной реакции
E^+ — текущая энергия активного комплекса	k — комплексный волновой вектор
ΔE^+ — флуктуация текущей энергии	k^\neq — константа скорости образования A^\neq
E^\neq — эмпирическая энергия активации	$k^{\neq'}$ — константа скорости распада A^\neq на исходные вещества
\mathcal{E} — вектор напряженности среднего макроскопического поля в диэлектрике	k^+ — константа скорости реакции $A^\neq \rightarrow A^+$
	k_B — постоянная Больцмана, $k_B = 1,3805 \cdot 10^{-23}$ Дж·К $^{-1}$

$L, L_{\alpha\beta}$ — феноменологические коэффициенты	образованная собственными значениями τ_i^{-1}
L — матрица из коэффициентов $L_{\alpha\beta}$	U — внутренняя энергия
L^{-1} — матрица, обратная L	V — объем
L' — транспонированная матрица L	V_M — молярный объем
M, M_i — молекулярная масса вещества i	$\Delta V, \Delta_\alpha V$ — объемные эффекты реакций
$[M_i]$ — концентрация вещества i в произвольных единицах	v — скорость прямой реакции
N_i — число молекул вещества $i, N = \sum_i N_i$	V — вектор, составленный из величин $\Delta_\alpha V$
N_p — число молекул ассоциата вида p	W — матрица преобразования
N_A — постоянная Авогадро, $N_A = 6,02322 \cdot 10^{23}$ моль $^{-1}$	w_i — левый собственный вектор
n, n_λ — показатель преломления света на длине волны λ	X, Y, Z — декартовы координаты
n_∞ — показатель преломления света в оптическом диапазоне частот экстраполированный к $\lambda \rightarrow \infty$	x, X — общее выражение для внешних взаимно сопряженных переменных состояния
Π_i — число молей вещества $i; n = \sum_i n_i$	X_i — термодинамическая сила, сопряженная с потоком I_i
\mathcal{P} — вектор поляризации диэлектрика	x_i — концентрация вещества i в молярных долях, $x_i = n_i/n$
P — давление	x_i — собственный вектор, принадлежащий к релаксационной частоте τ_i^{-1}
p — вид ассоциата	X — матрица преобразования
p — электрический дипольный момент молекулы	y, Y — общее выражение для внешних взаимно сопряженных переменных состояния
P — матрица, составленная из элементов $\left(\frac{\partial^2 \mathcal{P}}{\partial \xi_\alpha \partial \xi_\beta} \right)_{xy}$	y — собственный вектор системы уравнений, деленный на RT/V
p_x, p_y — векторы, образованные величинами $(\partial A_\alpha / \partial x)_{\xi y}$ и $(\partial A_\alpha / \partial y)_{\xi x}$	z — зависимая внешняя переменная состояния
r — число реакций	z — вектор с компонентами $(\partial z / \partial \xi_\alpha)_{xy}$
R — газовая постоянная, $R = 8,314$ Дж \cdot К $^{-1}$ \cdot моль $^{-1}$	α_a — амплитудный коэффициент поглощения звука
r, r_α, r'_α — скорости прямой и обратной реакции в динамическом равновесии в единице объема	$\langle \alpha \rangle$ — средняя поляризуемость
R — диагональная матрица, образованная величинами r_α	β_S — адиабатическая сжимаемость
S — энтропия	β_T — изотермическая сжимаемость
ΔS^\ddagger — энтропия активации реакции; ΔS^\ddagger_K — кажущаяся величина ΔS^\ddagger	$\delta \beta_S$ — вклад реакции в β_S
ΔS_p — энтропийный эффект реакции при постоянном давлении	$\epsilon, \epsilon(\omega)$ — комплексная диэлектрическая проницаемость
T — температура в К	ϵ_s — статическая диэлектрическая проницаемость
T^{-1} — диагональная матрица,	ϵ' — действительная часть $\epsilon(\omega)$
	ϵ'' — диэлектрические потери
	ϵ_∞ — диэлектрическая проницаемость при $\omega \gg \tau_{xy}^{-1}$

ξ_i — степень полноты нормальной реакции i	уравнении реакции α слева и справа
$\dot{\xi}_i$ — скорость нормальной реакции i	$\Delta v_{i\alpha} = v'_{i\alpha} - v_{i\alpha}$
ξ — вектор с компонентами ξ_i	v — матрица из элементов $\Delta v_{i\alpha}$
$\dot{\xi}$ — вектор с компонентами $\dot{\xi}_i$	v — частота
η_s — коэффициент сдвиговой вязкости	ξ, ξ_α — степень полноты естественной реакции α
η_v — коэффициент объемной вязкости	$\dot{\xi}, \dot{\xi}_\alpha$ — скорость естественной реакции α
θ — изобарический коэффициент расширения $(\partial V / \partial T)_P / V$	ξ_F, ξ_B — скорости прямой и обратной реакции
κ — трансмиссионный коэффициент реакции	$\xi, \dot{\xi}$ — векторы, образованные величинами ξ_α и $\dot{\xi}_\alpha$
κ — коэффициент теплопроводности	Π — символ произведения
Λ — длина волны звука	Π — производство энтропии
λ — длина волны света	ρ — плотность
μ_i — химический потенциал вещества i (μ_{0i} — в стандартном состоянии)	Σ — символ суммы
$v_{i\alpha}, v'_{i\alpha}$ — стехиометрические коэффициенты вещества в	σ — химический сдвиг
	τ — время релаксации
	τ_{xy} — время релаксации при $x, y = \text{const}$
	τ_i^{-1} — собственные значения
	φ — фазовый угол
	$\omega = 2\pi\nu$ — круговая частота

ПРЕДМЕТНЫЙ УКАЗАТЕЛЬ

Адиабатическая сжимаемость комплексная 67
 — — равновесная 67
 — — высокочастотная 67
 — — зависимость от частоты звука 67 сл.
 — — степень свободы молекулы 120 сл.
 Активная молекула 115
 Активный комплекс 110, 129
 — — вероятность распада 303
 — — возможность изучения 163
 — — и координата реакции 115
 — — и порядок реакции 157—159
 — — и реакции при 0, К 159 сл.
 — — переходное состояние 120, 121, 129
 — — реакционный центр 136
 — — сольватная оболочка 129, 136—140, 154
 — — строение 135, 138
 — — ядро 129, 135, 136, 154
 Активация химическая 122
 Акустическая дисперсия простая область 223
 — — сложная реакция 284
 — — спектроскопия 64
 Акустические спектры 104—108
 Алканола 14—19, 22, 23, 279—307
 Аммиак жидкий 62

Анизотропия поляризуемости молекул 30, 31, 76—80
 Аргон 4, 10, 13
 Ассоциаты 4, 7, 11 сл.
 — алканолов 14—20, 279—307
 — — кольцевые 16, 18
 — — кустовые 16
 — — цепочечные 15
 — — — разветвленные 16
 — — — скачки групп OR 16
 Ассоциаты метанола 17
 — неполярных молекул 7
 Ассоциации степень 17 сл.
 — средняя степень 17 сл.
 Ацетон, релаксация поляризации 34
 Бензол 10, 11, 54, 55, 66, 69, 79, 91, 107, 109, 280
 Бензоил хлористый 128, 131
 — — паразамещенные 128
 Бензиловый спирт 61, 306
 Бром ассоциаты 236
 — реакции 236—238
 Бромбензол 91
 Бромистый водород 63
 пара-бромфенол 83
 Броуновское движение 32
 — — молекул 32
 н-Бутанол 282 сл.
 Трет-Бутанол 285—292

Ван-дер-Ваальсовы силы 11
 Вероятность событий неколлективных 313, 315
 — — коллективных 316
 — — термодинамическая 124
 Внутреннее вращение молекул в ассоциатах 281, 282; 295
 Внутренняя энергия 105
 Внутримолекулярные колебания когерентные 92 сл.
 — — некогерентные 92 сл.
 — — перераспределение энергии 92 сл.
 Вода 10, 12, 23, 24, 55, 100, 179
 Водородная связь сильная 11, 14—20 сл.
 — — слабая 11, 14—20 сл.
 Волновой вектор комплексный 65
 Волны гиперзвуковые 82
 Возмущения состояния системы гармонические 204
 Вращательная диффузия частиц 32
 Вращательные блуждания частиц 32
 — качания — 31
 Время релаксации 22, 34, 233—235 сл.
 — — акустической 70 сл.
 — — анизотропных флуктуаций 230—233
 — — влияние внешних условий 197—199
 — — методы определения 199
 — — поляризации 60 сл.
 — — спин-решеточной продольной 100 сл.
 — — — поперечной 100 сл.
 Вынужденное двойное лучепреломление 90
 — комбинационное рассеяние света 92 сл.
 Вязкое течение жидкостей 8
 Вязкость объемная 66
 — сдвиговая 66
 Гамильтониан жидкости 104 сл.
n-Гексан 92
n-Гептан 280
 Гелий 7, 10
 Глицерин 24, 25, 63, 101, 330, 331, 333
 Давление гидростатическое 65
 Деформации объемные 65 сл.
 — сдвиговые 65
 Диагонализация матриц 244—299
 Диаграмма Дебая 59
 — Девидсона—Коула 63 сл.
 — Коула—Коула 63 сл.
 — комплексной диэлектрической проницаемости 62
 Диметилформамид спектры ЯМР 98 сл.
 1,4-Диоксан 80, 82
 Диоксид серы 118

Дипольный момент и ассоциация 56
 Диполь-дипольное взаимодействие молекул 13
 Дисперсионное — — 13
 Дисперсия акустическая 66—72
 — диэлектрической проницаемости 60
 Дисперсные системы 32
 Диффузия 8
 Диэлектрики жидкие 49
 Диэлектрическая проницаемость 12, 49, 104
 — — влияние флуктуаций 57
 — — комплексная 49, 60
 — — локальная 57
 — — разбавленных растворов 54, 56
 — — растворов 56
 — — средняя 57
 Диэлектрические потери 49
 Единство химических и физических явлений 8, 22—32 сл.
 Закон Релея 73, 87
 Звук интенсивность 67
 — коэффициент поглощения 65
 — плотность энергии 67
 Звуковая волна избыточное давление 65
 — — поперечная 71
 — — продольная 65
 — — фазовая скорость 65
 Изинга модель 307—309
 Изокинетический эффект 141, 142—151
 Индекс поглощения звука 107
 Индуктивный резонанс 27 сл.
 Ионы 6
 Квазикристаллическая решетка 29
 — — вакансии 29
 — — дефекты 29
 — — междоузлия 29
 — — узлы 29
 Колесания валентные 102
 — деформационные 102
 Колебательная релаксация 91—93, 138—140
 Колебательные состояния молекул 117—119
 — — — плотность 117
 Коллективные реакции и стеклование 328—336
 Комплексы 4, 7, 11 сл.
 Компоненты Гросса 85 сл.
 — Мандельштама-Бриллюэна 85
 Константа скорости реакции 131
 — — — прямой 21, 109, 113
 — — — обратной 21, 110, 114
 Координата реакции 110, 114 сл.
 Корреляционные функции реакций 317 сл.
 — — и скорость реакций 323 сл.

Коэффициент расширения неравновес-
ный 211

— — равновесный 104, 211

Леонтовича—Фабелинского эффект
84 сл.

Линейные соотношения свободных
энтальпий 165—167

Локальное равновесие 66, 178—181

Лоренца функция 102

Магнитная спектроскопия 50, 93, 98

Магнитное поле напряженность 97

Магнитный момент атомных ядер
94 сл.

— — орбитальный 94

— — сложных частиц

— — спиновой 94

— — электронов 94

Метанол 15—18, 37, 38, 79 282, 307,
310 сл.

Метиловый эфир пальмитиновой кис-
лоты 61 сл.

Методы акустические 50, 223

— диэлектрической радиоспектроско-
пии 6, 49, 213 сл.

— ИК спектроскопии 50, 101

— люминесцентные 6, 50

— непрерывной струи 5, 56

— неравновесной термодинамики 36

— низких концентраций 50

— остановки реакции 50

— пикосекундной спектроскопии 50,
87

— релеевской спектроскопии 50,
226—233

— скачка давления 50

— скачка температуры 50

— струевой 50

— теплового максимума 50

— термодинамические 104

— флеш-метод 50

— флуоресцентный 50

— электронного парамагнитного ре-
зонанса 50, 101

Молекулы полярные 51

— процессы возбуждения 26 сл.

— — дезактивации 26 сл.

— — конформационные превращения
26

Неравновесная термодинамика 178

— система, внутренняя энергия 38

— — свободная энергия 39

— — свободная энтальпия 39

— — энтальпия 39

— — энтропия 39

Нитробензол 91

м-Нитротолуол 91

Нормальные реакции 44—48 сл.

— — не изменяющие систему 46—48,
260, 268 сл.

Обобщенная координата 125 сл.

— сила 126, 181

— средняя флуктуация 125 сл.

Объемный эффект реакции 108

Одноатомные жидкости 13

Одноатомный идеальный газ 114

Октанолы 19, 282

Оператор Гамильтона 127

Период полупревращения 22, 35

Показатель преломления 53, 90

Пиридин 82, 85

Поглощение звука 8, 50, 64—72,
223—226 сл.

— электромагнитных волн 8, 49—64

Поляризуемость атомная 54

— средняя 53

— электронная 54

Постоянная Керра 90

Потенциальная энергия взаимодейст-
вия молекул 9 сл.

Потенциальный барьер 33, 110 сл.,
114 сл.

Потоки необратимые 181

Правило Киреева 167—170

Принцип Больцмана 123—125, 127,
171

— детального равновесия 156

— локального равновесия 123, 124,
127

Производство энтропии 182

n-Пропанол 4, 282, 305, 333

Пропиленгликоль 333

Простая область дисперсии акустиче-
ской 66—72

— — радиоволн 60

Простые жидкости 14

Процессы возникновения флуктуаций
28—31

Распределение Максвелла 22, 179

Рассеяние света 8, 73—87, 226—233,
306, 307

Рассеяние света анизотропное 75—81,
86

— — изотропное 86

— — интенсивность 74

— — интервальное 73

— — когерентное

— — комбинационное 92, 103

— — некогерентное 92 сл.

— — степень деполаризации 74

— — и ассоциация 76

— — и комплексообразование 77 сл.

— — и конформационные превраще-
ния 80

— — и коэффициенты активности 81

— — на анизотропных флуктуациях
75—81, 86

— — на флуктуациях концентрации
75, 81

— — — плотности 75, 82—85

Реактивное поле 11 сл.
 Реакции акустически наблюдаемые 224—226
 — бимолекулярные 21, 39, 222, 226, 233, 276—279, 297—304
 — быстрые 4 сл.
 — в идеальных газах 164.
 — влияние среды 7, 136—140, 160
 — второго порядка 35
 — двусторонние 21
 — диэлектрически наблюдаемые 219—222
 — естественные 42, 129, 130, 140, 142, 243—249
 — коллективные 23, 83
 — — несмешанные 25, 336
 — смешанные 25, 336
 Реакции медленные 4, 5, 132—134
 — мономолекулярные 21, 39, 220, 221, 225, 226, 231, 279—292, 297—304
 — неколлективные 25, 83, 307
 — нормальные 42, 129, 130, 140, 142, 243—249
 — образования активного комплекса 112, 300
 — образования связей 22, 23, 158, 304 сл.
 — первого порядка 35
 — перераспределения связей 23, 107, 158, 297—304
 — промежуточные продукты 7, 163
 — простые 22—25, 189—235
 — разрыва связей 22, 23, 158, 221, 226, 232, 262—265, 279—292
 — резонансного переноса энергии 27 сл.
 — релеевски наблюдаемые 230—233
 — сверхбыстрые 4 сл.
 — сложные 24, 235—307
 — тримолекулярные 21, 158, 304 сл.
 — характеристические времена 22, 33—35
 Резонанс Ферми 102
 Резонансный перенос энергии 27
 Релаксация 33 сл.
 — вынужденной анизотропии 89
 — давления 210
 — колебательная 107
 — объема 209, 211
 — температуры 210 сл.
 — спин решеточная 99
 — — — поперечная 100 сл.
 — — — продольная 100 сл.
 Релаксационная сила 200, 201, 209—213, 233—235, 254—258
 — акустическая 70, 212, 213, 223, 283
 — — диэлектрическая 60, 218, 282
 Релеевский триплет 85

Световой эффект Керра 87
 Свободная энергия 104 сл.
 Свободная энтальпия 124, 127, 128—131
 — — активации 140—151
 — — кажущаяся 135, 140—151, 162
 Свободный объем жидкости 300, 310
 Сероуглерод 88, 91
 Силы межмолекулярного отталкивания 9 сл.
 — — притяжения 9—12
 — сопряженные с потоками 181
 Скорость звука высокочастотная 67
 — — равновесная 67
 — реакции обратной 110
 — — прямой 109, 130
 — элементарной реакции 21
 Собственные векторы 274—276
 Соотношения неопределенности 113—124
 Спектры комбинационного рассеяния 102 сл.
 — поглощения инфракрасные 102 сл.
 Спирты одноатомные активный комплекс 300—305
 — — акустические спектры 283—292
 — — диэлектрические спектры 292, 306
 Спирты одноатомные изокINETические эффекты 297
 — — реакции разрыва связи 279—292
 — — — переноса связи 294—297
 — — — образования связи 304 сл.
 — — релеевские спектры 306 сл.
 Средство реакции 183—189
 Стандартная свободная энтальпия активации 111
 — энтальпия активации 112, 135
 — состояние реагирующей системы 111, 129, 172
 Статистическая сумма 114
 Стеклование 327—336
 Степень полноты реакции естественной 36—38
 — — — нормальной 43, 44
 Столкновение молекул 27, 118
 Строение жидкостей 6, 13, 104
 Температура изокINETическая 145, 161, 173, 174
 — решетки 99
 — стеклования 327
 Тепловой эффект реакции 22, 145, 268
 Теория абсолютных скоростей реакций (ТАС) 109—115
 — — — противоречия 114, 115, 341—343
 — активных столкновений 110
 — быстрых реакций 6

Теория жидкостей 6
— кинетического компенсационного
 эффекта 141—151
— мономолекулярных реакций
 (РРКМ) 116—123
Теория термодинамического подобия
 6
Теплоемкость молярная 104 сл.
— релаксирующая 108
— удельная 66
Теплопроводности коэффициент 66
Термодинамические функции раство-
 ров избыточные 167—170
Тетрагидрофуран 82
Трансмиссионный коэффициент 111,
 116, 131, 140—151, 154, 155 171 сл.
Триоксан 82
Толуол 79, 91
Трихлорэтилен 82

Углерод 4

Уравнение Аррениуса 26, 110
— Блока 99 сл.
— Бренстедта—Бьеррума 115 сл.
— Вильямса—Ландела—Ферри 26,
 332, сл.
— Гаммета обобщенное 165
— Дебая 216 сл.
— Дэвидсона—Коула 64
— Клаузиуса—Мосотти 53
— Коула—Коула 63
— Лапласа 67
— Лоренца—Лоренца 53
— Эйнштейна 81
— релаксации 190, 240
— состояния динамическое 201—208,
 252—259
Уравнение состояния химическое 189,
 239, 249—251
Феноменологический коэффициент 42,
 184—189
Флуктуации анизотропные 20, 30, 227
— концентрации 20, 31
— плотности 28—30
Фононы время жизни 92 сл.
— когерентные 92 сл.
— некогерентные 92 сл.
Функции корреляции реакций 317 сл.
— распределения положений частиц
 13 сл.

Химические взаимодействия слабо
 10, 136, 138
— — — сильные 10
— — — энергия 10 сл.
— потоки 41, 236
— связи 10
— степени свободы 36, 39
Химический потенциал 21, 105
— сдвиг 97 сл.
Химическое сродство реакции 41
Химической кинетики основной закон
 109
Хинолин 79, 82, 84 сл.
Хлороформ 118 сл.

Циклопропан 118, 119, 122

Частота изменения состояния системы
 130
— универсальный масштаб 125—127,
 171
Четыреххлористый углерод 11, 54

Электрическая индукция 52 сл.
— поляризация 52
Электрический момент диполя 12, 30,
 31, 54
— — — вакуумный 54 сл.
— — — внутренний 54 сл.
Электромагнитные волны, скорость
 распространения 51
— — коэффициент поглощения 51
Элементарное событие 7, 21 сл.
Энергия испарения жидкости 11
— возбуждения критическая 120 сл.
— — текущая 120, 121, 154
— — фиксированная 120
— реактивного взаимодействия 12
Энтальпия 107, 124
— активации 140, 151
— образования 105, 124
Энтропия 105, 124
— активации 135, 140—151, 162,
 282, 283, 287.
— — кажущаяся 135, 140—151, 162
 282, 283, 287
Энтропийный эффект реакции 22, 145

ОГЛАВЛЕНИЕ

Предисловие	3
Глава I. Введение	4
Литература	8

Часть первая

ПРИНЦИПЫ ТЕОРИИ БЫСТРЫХ И СВЕРХБЫСТРЫХ РЕАКЦИЙ В ЖИДКОСТЯХ

Глава II. О механизмах теплового движения в жидкостях	9
§ 1. Межмолекулярные взаимодействия	9
§ 2. Строение жидкостей	13
§ 3. Об элементарных реакциях	20
§ 4. Процессы, протекающие при тепловом движении в жидкостях	22
§ 5. О процессах возникновения и разрушения флуктуаций при тепловом движении	29
Глава III. Элементы теории быстрых реакций	33
§ 6. Характеристические времена реакций	33
§ 7. Химические степени свободы системы. Естественные и нормальные реакции	36
§ 8. О взаимосвязях между естественными и нормальными реакциями	43
Глава IV. Экспериментальные методы изучения быстрых и сверхбыстрых реакций, протекающих при тепловом движении в жидкостях	
§ 9. Диэлектрическая радиоспектроскопия жидкостей	49
§ 10. Акустическая спектроскопия жидкостей	64
§ 11. Релеевская спектроскопия жидкостей	73
§ 12. Пикосекундная спектроскопия	87
§ 13. Магнитная спектроскопия	93
§ 14. Инфракрасная спектроскопия	101
§ 15. Термодинамические методы	104
§ 16. О способах выяснения механизмов быстрых реакций в жидких фазах	105
Глава V. Теория констант скоростей реакций и компенсационных эффектов в жидкостях	109
§ 17. Теория абсолютных скоростей реакций (ТАС) в идеальных газах	109
§ 18. Теория Райса — Рамспергера — Касселя — Маркуса (теория РРКМ)	116
§ 19. Теория констант скоростей реакций в неидеальных системах	123
§ 20. О строении активного комплекса A^\ddagger и механизмах его возникновения и разрушения	131

§ 21. Теория изокINETического эффекта. Расчет трансмиссионного коэффициента κ ; истинных энтропии и свободной энтальпии реакции скоростей и механизмы реакций в жидких средах	140
§ 22. Теория констант скоростей и механизмы реакций в жидких средах	151
§ 23. Вывод уравнения Гаммета и его обобщения	165
§ 24. Теория компенсационного эффекта для избыточных термодинамических функций растворов (правило Киреева)	167
§ 25. Сопоставление теорий констант скоростей реакций	171
Литература	174

Часть вторая

НЕРАВНОВЕСНАЯ ТЕРМОДИНАМИКА БЫСТРЫХ РЕАКЦИЙ И ИХ МЕХАНИЗМЫ

Глава VI. Теория неколлективных процессов. Одна реакция	178
§ 26. Локальное равновесие	178
§ 27. Химические потоки и силы	181
§ 28. Химическое уравнение состояния. Один релаксационный процесс	189
§ 29. Время релаксации при постоянных температуре и давлении. Примеры	194
§ 30. Влияние внешних условий на время релаксации	195
§ 31. Релаксационная сила и механизм реакции	199
§ 32. Динамическое уравнение состояния	201
§ 33. Гармонические изменения состояния системы и релаксация	203
§ 34. Связи между релаксационными силами и термодинамическими характеристиками реакции	209
§ 35. Диэлектрическая радиоспектроскопия простых неколлективных процессов	213
§ 36. Акустическая спектроскопия простых реакций	223
§ 37. Релеевская спектроскопия простых реакций	226
§ 38. О принципах исследования механизма простых реакций	233
Глава VII. Сложные неколлективные процессы. Переход от естественных к нормальным реакциям	235
§ 39. Сложные реакции	236
§ 40. Уравнения релаксации	240
§ 41. Диагонализация матриц L и P . Естественные и нормальные реакции	243
§ 42. Уравнения релаксации нормальных реакций	249
§ 43. Динамическое уравнение состояния и его коэффициенты	252
§ 44. Вырожденные матрицы L и P	259
Глава VIII. Механизмы реакций ассоциации и перестройки цепочечных ассоциатов	261
§ 45. Элементарные реакции	261
§ 46. Реакции с изменением числа связей	262
§ 47. Собственные значения матрицы LG	265
§ 48. Большие степени ассоциации	269
§ 49. Малые степени ассоциации	272
§ 50. Бимолекулярные реакции перестройки ассоциатов	276
§ 51. Сопоставление времен релаксации, связанных с реакциями ассоциации и реакциями перестройки ассоциатов	278
§ 52. Реакции разрыва H -связи в спиртах RON	279
§ 53. Акустические спектры спиртов RON и их расшифровка	283
§ 54. Исследование диэлектрических радиоспектров спиртов RON	292
§ 55. Применение теории констант скоростей реакций (ТКСР)	297
§ 56. Активный комплекс реакций разрыва и переноса одной связи $O-H\cdots O$ при тепловом движении в спиртах RON	300

§ 57. О кинетике реакций образования и распада активного комплекса при разрыве и переносе одной связи О — Н...О в спиртах ROH	302
§ 58. Другие сверхбыстрые реакции в спиртах ROH. Высоко-частотная дисперсия диэлектрической проницаемости	306
Г л а в а IX. Теория коллективных реакций	307
§ 59. Модель Изинга	308
§ 60. Модель «свободного объема»	309
§ 61. О модели коллективной реакции	310
§ 62. Элементарные стадии коллективных реакций	312
§ 63. Вероятность совпадения элементарных событий прямой не-коллективной реакции	314
§ 64. Корреляция простых событий	315
§ 65. Свойства корреляционных функций реакции (КФР)	317
§ 66. Простая коллективная реакция	319
§ 67. Скорость коллективной реакции	324
§ 68. О процессе стеклования	327
§ 69. Уравнение Вильямса — Ландела — Ферри и другие эмпи-рические соотношения	332
§ 70. Сложные коллективные реакции	336
Литература	338
Приложение	340
Общая литература	342
Основные обозначения	343
Предметный указатель	345

Михаил Иванович Шахпаронов

МЕХАНИЗМЫ БЫСТРЫХ ПРОЦЕССОВ В ЖИДКОСТЯХ

Зав. редакцией С. Ф. Кондрашкова

Редактор М. М. Поплавская

Младшие редакторы Т. С. Костян, С. М. Ерохина, Л. С. Макаркина

Художник Ю. Д. Федичкин

Художественный редактор Т. М. Скворцова

Технический редактор З. В. Нуждина

Корректор В. А. Орлова

ИБ № 2049

Изд. № ХИМ—634. Сдано в набор 26.10.79. Подп. в печать 01.07.80.
 Формат 60×90¹/₁₆. Бум. тип. № 1. Гарнитура литературная. Печать высокая.
 Объем 22 усл. печ. л. 22,30 уч.-изд. л. Тираж 5000 экз. Зак. № 1427 Цена 1 р. 10 к.
 Издательство «Высшая школа», Москва, К-51, Неглинная ул., д. 29/14
 Московская типография № 4 Союзполиграфпрома при Государственном комитете СССР
 по делам издательств, полиграфии и книжной торговли,
 129041, Москва, Б. Переяславская ул., д. 46

1p.10k.

